PHYSIKALISCHE BERICHTE

Herausgegeben vom

VERBAND DEUTSCHER PHYSIKALISCHER GESELLSCHAFTEN E. V.

unter der Redaktion

von H. EBERT und M. SCHÖN

Wissenschaftlicher Beirat:

J. BARTELS, W. GENTNER, P. GÖRLICH, D. HAHN, F. HUND, H. MOSER, M. PFLÜCKE, R. W. POHL, B. RAJEWSKY, R. ROMPE, F. TRENDELENBURG, R. VIEWEG, K. WOLF



AKADEMIE-VERLAG · BERLIN



PHYSIKALISCHE BERICHTE

Herausgegeben vom Verband Deutscher Physikalischer Gesellschaften e. V. unter der Redaktion von H. Ebert und M. Schön

Band 39

Juli 1960

Heft 7

0. Allgemeines

- 7-1 S. Suvorov. On the roles of experiment and theory in cognition. Soviet Phys.-Uspekhi 1, 179-190, 1958, Nr. 2. (Nov./Dez.) (Engl. Übers. aus: Usp. fis. Nauk 66, 375-390, 1958, Nov.) Kommentar zu dem Aufsatz gleichen Titels von Max Born aus: Physics in My Generation, Pergamon Press, London, 1956, S. 205. V. Weidemann.
- 7-2 V. A. Fock. Remarks on Bohr's article on his discussions with Einstein. Soviet Phys.-Uspekhi 1, 208-210, 1958, Nr. 2. (Nov./Dez.) (Engl. Übers. aus: Usp. fis. Nauk 66, 599-602, 1958, Dez.) Die kritischen Bemerkungen beziehen sich auf eine Abhandlung Bohrs, die im Buch "Albert Einstein: Philosopher-Scientist" erschienen ist, und gehen auf mündliche Diskussionen zwischen dem Vf. und Bohr zurück.

V. Weidemann.

- 7-3 Paul F. Schmidt. Truth in physics. Amer. J. Phys. 28, 24-32, 1960, Nr. 1. (Jan.) (Oberlin, O., Oberlin Coll.) Schön.
- 7-4* H. Preuss. Die Methoden der Molekülphysik und ihre Anwendungsbereiche. 1. Sonderband der Fortschritte der Physik (Herausgeber: RUDOLF RITSCHLund ROBERT ROMPE). VII u. 167 S. mit 8 Bildern und 64 Tabellen. Akademie-Verlag, Berlin, 1959. DM22,— (brosch.) ,... Einführung in das Gebiet der Quantenchemie, hauptsächlich ... eine Übersicht über den Stand der Forschung auf diesem Sektor der Physik ... "Inhalt: Erläuterungen und Bezeichnungsweisen. Einleitung. Grundsätzliches über die Verfahren: halbempische, theoretische und halbtheoretische. Literaturverzeichnis.

H. Ebert.

- 7-5* Joachim Dosse. Der Transistor. Ein neues Verstärkerelement. 3., verbesserte und erweiterte Aufl. 274 S. mit 132 teilweise mehrfahrbigen Bildern und 8 Farbtafeln. R. Oldenbourg, München, 1959. DM 26,— (Lw.) ,,..., Für die dritte Auflage mußten wiederum viele Abschnitte stark umgearbeitet werden, um dem neuesten Stand der Transistortechnik Rechnung zu tragen (s. Ber. 36, 771, 1957; 37, 309, 1958). Inhalt: Vorgeschichte. Wirkungsweise. Entwicklungsformen. Technische Eigenschaften. Schaltungen mit Transistoren. Formelzeichen und Zählpfeile. Schrifttum, Sachverzeichnis. H. Ehert
- 7-6* Erich Schott. Beiträge zur angewandten Glasforschung. VII u. 361 S. mit 256 teils mehrfarbigen Abb. Wissenschaftliche Verlagsgesellschaft m. b. H., Stuttgart, 1959.
 ,... Eine Art Festschrift zu der 75. Wiederkehr des Tages, an dem das erste Feuer in den Schmelzöfen unseres Unternehmens entzündet wurde, ... "Inhalt: 22 Arbeiten aus dem zentralen Entwicklungslaboratorium, über die z. T. an anderer Stelle berichtet werden wird.

 H. Ebert.
- 7-7 José Boichard. Louis Philippe Clerc. 1875-1959. Rev. Opt. (théor. instrum.) 38, 413-415, 1959, Nr. 9/10. (Sept./Okt.)
- 7-8 Noah Ernest Dorsey †. J. opt. Soc. Amer. 49, 1124-1125, 1959, Nr. 41. (Nov.)
- 7-9 Karl Wilhelm Meissner †. J. opt. Soc. Amer. 49, 1024-1025, 1959, Nr. 10. (Okt.).

- 7-10 P. Scherrer zum 70. Geburtstag am 3. Februar 1960. Z. Phys. 158, Vorsatzblatt, 1960, Nr. 1. (25. Jan.) Beggerow.
- 7-11 Dr.-Ing. e. h. Heinrich Mohn Ehrendoktor der Techn. Hochschule Darmstadt. Optik, Stuttgart 16, 745, 1959, Nr. 12. (Dez.)

 H. Ebert.
- 7-12 Kenneth N. Ogle. Gertrude Rand Edgar D. Tillyer Medalist for 1959. J. opt. Soc. Amer. 49, 937-941, 1959, Nr. 10. (Okt.) (Rochetser, Minn., Mayo Clin., Myao Found.)
- 7-13 W. Gentner. Einiges aus der frühen Geschichte der Gamma-Strahlen. Beitr. z. Physik u. Chemie d. 20. Jahrh. Lise Meitner, Otto Hahn, Max v. Laue z. 80. Geburtstag. Friedr. Vieweg u. Sohn, Braunschweig, 1959. S. 28-44. (Heidelberg, Max-Planck-Inst. Kernphys.) Dieser historische Artikel beschäftigt sich mit der Geschichte der γ-Strahlen von ihrer Entdeckung bis zu den 30er Jahren. Der Text besteht im wesentlichen aus Original-Zitaten wichtiger Arbeiten auf diesem Gebiet. Es sind immer die maßgebenden Stellen herausgegriffen und durch Text miteinander verbunden. Der Artikel ist in drei Kapitel eingeteilt; die Überschriften heißen: 1. Natur der γ-Strahlen, 2. Ursprung der γ-Strahlen, 3. Wechselwirkung mit der Materie. Das letzte Kapitel geht bis zur Entdeckung der Paarbildung und den ersten Arbeiten über die Vernichtungsstrahlung. Den Schluß bilden Zitate aus den ersten Arbeiten über die Delbrück- und Resonanzstreuung. Gentner.
- 7-14 H. Olsen und H. Wergeland. Bremsstrahlung. Beitr. z. Physik u. Chemie d. 20. Jahrh. Lise Meitner, Otto Hahn, Max v. Laue z. 80. Geburtstag. Friedr. Vieweg u. Sohn, Braunschweig, 1959. S. 66-73. (Trondheim, N. T. H., Fys. Inst.) Eine historische Übersicht über die Entwicklung der Theorie der Bremsstrahlung wird gegeben. Insbesondere werden die Arbeiten von Kramers und Wentzel diskutiert. Die Formel von Bethe und Heitler wird auf halbklassischem Weg hergeleitet.
- 7-15 M. Stanley Livingston. Early development of particle accelerators. Amer. J. Phys. 27, 626-629, 1959, Nr. 9. (Dez.) (Cambridge, Mass., Inst. Technol.)
- 7-16 E. Scott Barr. Historical survey of the early development of the infrared spectra region. Amer. J. Phys. 28, 42-54, 1960, Nr. 1. (Jan.) (Redstone Arsenal, Alabama, Army Rocket Guided Miss. Agency.)
- 7-17 Recommendations of the International Union of Pure and Applied Physics. Commission for Symbols, Units and Nomenclature. Nuclear Phys. 7, 299-303, 1958, Nr. 3. (Juni.)

 V. Weidemann.
- 7-18 E. R. Boyko, W. R. Busing, D. R. Fitzwater, D. van der Helm, G. A. Jeffrey, L. H. Jensen, Lynne L. Merritt, R. Shiono and D. E. Williams. The use of the IBM 650 and 704 for crystal structure analysis computations. Acta cryst. 12, 350—351, 1959, Nr. 4. (10. Apr.) Konferenz im Mellon-Institut, Pittsburgh am 4. Nov. 1958.
- 7-19 Karl K. Darrow. Bulletin of the American Physical Society 1959 Annual Meeting at New York. January 28-31, 1959. Bull. Amer. Phys. Soc. (2) 4, 2-72, 1959, Nr. 1. (28. Jan.) Berichtigung ebenda. S. 334, Nr. 5. (18. Juni.)
- 7-20 Karl K. Darrow. Bulletin of the American Physical Society, 1959 Southwestern Meeting, University of Texas at Austin, March 6-7, 1959. Bull. Amer. Phys. Soc. (2) 4, 90-106, 1959, Nr. 2. (6. März.)
- 7-21 Karl K. Darrow. Bulletin of the American Physical Society, 1959 "March" Meeting at MIT, Cambridge, Massachusetts. March 30, 31 and April 1-2, 1959. Bull. Amer. Phys. Soc. (2) 4, 126-192, 1959, Nr. 3. (30. März.) Berichtigung ebenda S. 336, Nr. 5. (18. Juni.)
- 7-22 Karl K. Darrow. Bulletin of the American Physical Society 1959 Washington Meeting, April 30, May 1 and 2, 1959. Bull. Amer. Phys. Soc. (2) 4, 212-300, 1959, Nr. 4. (30. Apr.)

- 7–23 Karl K. Darrow. Bulletin of the American Physical Society 1959 Summer Meeting in the East, June 18–20, 1959. Bull. Amer. Phys. Soc. (2) 4, 312–329, 1959, Nr. 5. (18. Juni.)
- 7-24 Karl K. Darrow. Bulletin of the American Physical Society 1959 Thanksgiving Meeting Case Institute of Technology, Cleveland, November 27-28, 1959. Bull. Amer. Phys. Soc. (2) 4, 398-431, 1959, Nr. 7. (27. Nov.)
- 7-25 Karl K. Darrow. Bulletin of the American Physical Society 1960 Annual Meeting at New York, January 27-30, 1960. Bull. Amer. Phys. Soc. (2) 5, 2-87, 1960, Nr. 1. (27. Jan.)
- 7-26 Arthur H. Snell. Minutes of the Conference on Weak Interactions held at Gatlinburg, Tennessee, October 27, 28 and 29, 1958. Bull. Amer. Phys. Soc. (2) 4, 76-84, 1959, Nr. 1. (28. Jan.)
- 7-27 Robert F. Kingsbury. Minutes of the Fall Meeting of the New England Section at Williams College, Williamstown, Massachusetts, on October, 11, 1958. Bull. Amer. Phys. Soc. (2) 4, 107—120, 1959, Nr. 2. (6. März.) Berichtigung ebenda S. 205, Nr. 3. (30. März.)
- 7–28 Raymond J. Emrich. Minutes of the Divisional Meeting of the Division of Fluid Dynamics, held in San Diego, California, November 24, 25, 26, 1958. Bull. Amer. Phys. Soc. (2) 4, 193–205, 1959, Nr. 3. (30. März.)
- 7-29 Minutes of the 1958 Thanksgiving Meeting held at Chicago, November 28-29, 1958. Bull. Amer. Phys. Soc. (2) 4, 303-304, 1959, Nr. 4. (30. Apr.) Berichtigung ebenda S. 340, Nr. 5. (18. Juni.)
- 7-30 W. W. Havens jr. Minutes of the Conference on Sector-Focused Cyclotrons at Sea Island, Georgia, February 2, 3 and 4, 1959. Bull. Amer. Phys. Soc. (2) 4, 305-306, 1959, Nr. 4. (30. Apr.)
- 7-31 Leon E. Smith. Minutes of the Spring Meeting of the Ohio Section of the American Physical Society, held at Capital University, Columbus, Ohio, on April 17-18, 1959. Bull. Amer. Phys. Soc. (2) 4, 336-338, 1959, Nr. 5. (18. Juni.)
- 7-32 Leon E. Smith. Minutes of the Fall Meeting of the Ohio Section of the American Physical Society, held at Kent State University, Kent, Ohio, on October 16-17, 1959. Bull. Amer. Phys. Soc. (2) 4, 470-471, 1959, Nr. 8. (28. Dez.)
- 7-33 W. A. Nierenberg. Bulletin of the American Physical Society 1959 Summer Meeting in the West, University of Hawaii, Honolulu, Hawaii. August 27-29, 1959. Bull. Amer. Phys. Soc. (2) 4, 348-379, 1959, Nr. 6. (27. Aug.)
- 7-34 W. A. Nierenberg. Bulletin of the American Physical Society 1959 Winter Meeting in the West, California Institute of Technology, Pasadena, December 28-30, 1959. Bull. Amer. Phys. Soc. (2) 4, 440-464, 1959, Nr. 8. (28. Dez.)
- 7–35 **Howard Carr.** Minutes of the Meeting of the Southeastern Section held at Loyola University, New Orleans, Louisiana, April 9, 10 and 11, 1959. Bull. Amer. Phys. Soc. (2) 4, 382–393, 1959, Nr. 6. (27. Aug.)
- 7-36 Abstracts of papers presented at the Topical Conference on Neutron Capture Reactions at Los Alamos, New Mexico, October 1-3, 1959. Bull. Amer. Phys. (2) 4, 472-477, 1959, Nr. 8. (28. Dez.)
- 7-37 Leonard O. Olsen. Proceedings of the American Association of Physics Teachers. Summer Meeting at Dartmouth College, Hanover, New Hampshire, June 25-27, 1959. Amer. J. Phys. 37, 678-682, 1959, Nr. 9. (Dez.)
- 7-38 Program of the 1959 Annual Meeting of the Optical Society of America, Chateau Laurier, Ottawa, Canada, October 8, 9 and 10, 1959. J. opt. Soc. Amer. 49, 1126-1141, 1959, Nr. 11. (Nov.)

- 7-39 J. A. Chapman and M. J. Whelan. Summarized proceeding of a conference on electron microscopy, Exeter, July 1959. Brit. J. appl. Phys. 11, 22-32, 1959, Nr. 1. (Jan.)
- 7-40 Viscount Hailsham. International convention on transistors and associated semiconductor devices. Opening address. Proc. Instn elect. Engrs (B) 106, 265, 1959, Suppl. Nr. 15.
- 7-41 Transactions of the 1959 International Symposium on Circuit and Information Theory held at Los Angeles, California, June 16-18, 1959. Trans. Inst. Radio Engrs, N. Y. CT-6, 1959, Spec. Suppl. (Mai.) S. 1-298.

 V. Weidemann.

I. Mathematik

- 7-42 E. Montaldi. Connections between generalized singular functions and Bessel functions. Nuovo Cim. (10) 12, 571-592, 1959, Nr. 6. (16. Juni.) (Milano, Univ., Ist. Sci. Fis.) Ausgehend von einer leichten Verallgemeinerung der Integraldarstellung der allgemeinen singulären Funktionen von Källen und Wilhelmsson kann der Vf. zahlreiche Integralbeziehungen ableiten, die einen engen Zusammenhang mit den Besselfunktionen zeigen.

 Behnsch.
- 7–43 G. F. Carrier. Useful approximations in Wiener-Hopf problems. J. appl. Phys. 30, 1769—1774, 1959, Nr. 11. (Nov.) (Cambridge, Mass., Harvard Univ.) Vf. zeigt, daß die Schwierigkeiten bei der Lösung des Wiener-Hopf-Problems in verschiedenen Fällen geringer sind, wenn der Kern der äquivalenten Integralgleichung durch einen einfacheren ersetzt wird. Es zeigt sich, daß die Näherung gut ist, wenn der Ersatzkern dieselbe Singularität und denselben Gültigkeitsbereich und dasselbe Moment erster Art besitzt wie der Originalkern. Die Näherung kann verbessert werden, wenn eine Übereinstimmung mit den höheren Momenten vorliegt. Sie ist ausgezeichnet, wenn das Moment zweiter Art beim Originalkern verschwindet. Mehrere Beispiele zur Illustration dieser Methode werden gebracht.
- 7–44 S. Stein und D. Johansen. Koinzidenzstatistik zufälliger Impulsfolgen. Tech. Mitt. P. T. T. 37, 325–328, 1959, Nr. 8. (1. Aug.) (Cambridge, Mass.) Vff. behandeln das folgende Problem: Gegeben sei eine Reihe von Impulsfolgen, wobei der Einsatz der Impulse einem Zufallsgesetz gehorcht, jedoch durch eine mittlere Folgefrequenz festgelegt ist. Die Impulslängen mögen eine bekannte Verteilungsfunktion besitzen. Gesucht werden die statistischen Eigenschaften der Koinzidenzfolge, die sich aus den vorgegebenen Reihen ergibt. Als Lösung werden verhältnismäßig einfache Integralausdrücke angegeben. Eine praktische Anwendung des Problems bildet der Mehrfach (diversity)-Empfang von Funksignalen.
- 7-45 U. F. Gianola. Nondestructive memory employing a domain oriented steel wire. J. appl. Phys. 29, 849-853, 1958, Nr. 5. (Mai.) (Murray Hill, N. J., Inc., Bell. Teleph. Labs.) Es wird ein Speicherelement beschrieben, bei dem ein Ablesen ohne Zerstörung der Information möglich ist. Es besteht aus einem Stahldraht, in dem (z. B. durch äußere Spannung) eine Vorzugslage der Magnetisierung parallel zur Drahtachse oder zirkular erzeugt worden ist. Die Magnetisierung J kann im Remanenzzustand zwei mögliche einander antiparallele Lagen einnehmen. Das Lesen erfolgt z. B. durch Herausdrehen von J durch einen Feldimpuls quer zur Vorzugslage und Unterscheidung der Vorzeichenfolge der Induktionsspannung, die infolge der reversiblen Änderung der Längskomponente von I in einer axialen Spule (bei axialer Vorzugsrichtung) auftritt. Experimentelle Ergebnisse, theoretische Betrachtung des Drehprozesses, auch für gekreuzte Felder, und Angaben über mögliche Ausführungsformen werden gebracht.

7-46 Andrew Gabor. High-density recording on magnetic tape. Electronics 32, 1959, Nr. 42, (16. Okt.) S. 72-75. (Plainview, N. Y., Potter Instrum. Co.) Die übliche Aufzeichnungsdichte von Impulsen auf Magnetbändern in elektronischen Rechenmaschinen liegt bei 200-300 bits/inch. Es wird eine Anordnung beschrieben, die Dichte auf 1500 bits/inch zu erhöhen. Die dabei auftretenden Probleme werden diskutiert. Das Verfahren besteht darin, die Uhr- und Informationsimpulse auf der gleichen Spur, aber um ein halbes Zeitintervall gegeneinander versetzt aufzuzeichnen.

Kallenbach.

7-47 A. Sowiński. Logarithmische Umwandlung kontinuierlicher Werte in Digitalwerte. Beitrag zur Theorie der Quantisierung. Prace Inst. Tele- i Radiotech., Warsaw 3, 1959, Nr. 2 (8), S. 123-130. (Orig. poln. m. dtsch. Zfg.) Vf. beschreibt eine Einrichtung zur Umwandlung kontinuierlicher Werte in Digitalwerte, wobei die Entladung eines Kondensators über einen Ohmschen Widerstand benützt wird. Dadurch wird eine logarithmische Transformierung eines Wertes in einen anderen ermöglicht. Die einfachen mathematischen Beziehungen, die dabei auftreten, werden angegeben.

Kallenbach.

II. Astronomie und Astrophysik

- 7-48 W. M. Sinton, H. L. Johnson and K. L. Hallam. Aluminizing technique and the ultraviolet efficiency of telescopes. Publ. astr. Soc. Pacif. 71, 239-240, 1959, Nr. 420. (Juni.) (Flagstaff, Arizona, Lowell Obs.) Dichte Filme von großer Lebensdauer werden bei einem Vakuum von 2·10-5 Torr und einer Bedampfungszeit von 6 s erhalten. Das Reflexionsvermögen bei 3000 Å steigt erheblich bei Verkürzung der Bedampfungszeit. Photoleektrische Untersuchungen am 42-inch Teleskop des Lowell-Observatoriums, dessen Spiegel nach diesen Erfahrungen neu belegt wurden, zeigten eine Verbesserung im Ultravioletten um 0m45 relativ zum gelben Spektralbereich. V. Weidemann.
- 7–49 S. F. Singer. Interplanetary ballistic missiles, a new astrophysical research tool. Astronaut. Acta. 4, 59–69, 1958, Nr. 1. (College Park, Maryland, Univ., Phys. Dep.) Die Explosion einer mit einem ferngelenkten Flugkörper auf den Mond transportierten H-Bombe ist ausführbar und wissenschaftlich lohnend. Einige astrophysikalische Anwendungen eines solchen Forschungsgerätes werden diskutiert.
- 7-50 Alex G. Smith, T. D. Carr and W. H. Perkins. Anomalous night-time reception of a major solar radio burst. Nature, Lond. 183, 597-598, 1959, Nr. 4661. (28. Febr.) (Gainesville, Univ. Florida, Dep. Phys.) 4 h vor Sonnenaufgang wurde auf 5 auf Mond und Jupiter gerichteten Antennen (Frequenzen 18 bis 27.6 MHz) ein "Noise-burst" beobachtet, der gleichzeitig auf der sonnenbeschienenen Halbkugel als starker solarer Burst beobachtet ist. Erklärung entweder als Mondecho oder durch ionosphärische Ausbreitung.

 Rawer.
- 7-51 Oystein Elgaröy. Observations of the fine structure of enhanced solar radio radiation with a narrow-band spectrum analyser. Nature, Lond. 184, 887-888, 1959, Nr. 4690. (19. Sept.) (Oslo, Univ., Solar Obs., Inst. Theor. Astrophys.) Bursts der Sonne wurden mit einem Empfänger von schmaler Bandbreite und fortlaufend durchgestimmter Frequenz untersucht. Die Bandbreite betrug 300 KHz, der Frequenzhub 190 bis 215 MHz. Es zeigten sich die verschiedenartigsten Strukturen in der Frequenzdrift der Strahlung. Feils bestand eine Frequenzdrift in mehreren parallelen Zügen von 2-5 MHz pro sec zu höheren Frequenzen, teils zeigte sich ein unregelmäßiges Driftmuster mit steigender und fallender Frequenzdrift von 2-4 MHz pro sec.
- 7-52 Per Maltby. Correlation between the intensity of the umbra of sunspots and enhanced radiation on 200 Mc./s. Nature, Lond. 184, 1391, 1959, Nr. 4696. (31. Okt.) (Oslo, Univ., Solar Obs., Inst. Theor. Astrophys.) Es wird untersucht, inwieweit eine Relation twischen dem Grad der Schwärze der Sonnenflecken und einer erhöhten Radiostrahlung

bei 200 MHz besteht. Es zeigt sich, daß Sonnenflecken, deren Grad der Schwärze eine Schwelle überschreitet, mit größerer Wahrscheinlichkeit von erhöhter Radiostrahlung begleitet sind als die Sonnenflecken, die heller sind als der Grenzwert jener Schwelle. Die Radiostrahlung der Sonne wurde durch Radiometer- und Interferometermessungen erfaßt.

- 7–53 L. A. Borisoglebsky. On the identification of coronal lines Ca~XV. Astr. Sh., Moskau 36, 950–907, 1959, Nr. 5. (Orig. russ. m. engl. Zfg.) Theoretische Bestimmung des Intensitätsverhältnisses der Linien des $Ca~XV~\lambda=5694,4$ und $5446,5~\mbox{Å}$ in der Sonnenkorona mit Hilfe neuer Daten der Übergangswahrscheinlichkeiten. Lamla.
- 7–54 T.V. Kazachevskaya and G. S. Ivanov-Kholodny. Continuous solar emission in the X-ray region. Astr. Sh., Moskau 36, 1022—1027, 1959, Nr. 6. (Orig. russ. m. engl. Zfg.) Die Berechnung des kontinuierlichen Emissionsspektrums der Sonnenkorona im Röntgengebiet führt auf eine Temperatur der Korona von etwa 1,5·10⁶° K. Die auf der Erdoberfläche auftreffende Koronastrahlung des Röntgengebietes ist > 0,3 erg cm⁻² sec⁻¹. Es zeigt sich, daß die Korona extrem inhomogen aufgebaut sein muß.

Lamla.

- 7-55 L. Biermann and R. Lüst. Radiation and particle precipitation upon the earth from solar flares. Proc. Inst. Radio Engrs N. Y. 47, 209-210, 1959, Nr. 2. (Febr.) (München, Max-Planck-Inst. Phys. Astrophys.) Kurze Übersicht, Tabelle der normalen und gestörten Strahlungsintensität im Gebiet der Ultraviolett- und Röntgenstrahlung, der korpuskularen Emission und der Radio-Strahlung.

 Rawer.
- 7-56 S. O. Obashev. An electromagnetic mechanism of heating of solar prominences. Astr. Sh., Moskau 36, 1037—1040, 1959, Nr. 6. (Orig. russ. m. engl. Zfg.) Die bei der Bildung und Aufheizung von eruptiven Protuberanzen der Sonne notwendigen Magnetfeldstärken sind größer als die zur Erzeugung ruhiger. Eine Formel zur Berechnung der Lebensdauer einer Protuberanz kann abgeleitet werden; die Lebensdauer ist der Größe der Protuberanz direkt und der magnetischen Feldstärke umgekehrt proportional. Eine Abschätzung der auf Grund der beobachteten Lebensdauer mit dieser Formel ermittelten Magnetfeldstärken ergibt mit anderweitig bestimmten Feldstärken eine Übereinstimmung.
- 7-57 I. K. Csada. General magnetic field of the sun. Based on magnetograms. I. Acta phys. chem., Szeged (NF) 5, 12-19, 1959, Nr. 1/2. (Szeged, Univ., Inst. Theor. Phys.) Um das allgemeine Magnetfeld der Sonne aus den Babcockschen Magnetogrammen zu bestimmen, sind geometrische und statistische Umrechnungen nötig, die vom Vf. beschrieben und am praktischen Beispiel erläutert werden.

 V. Weidemann.
- 7–58 Harold A. Papazian. The colors of jupiter. Publ. astr. Soc. Pacif. 71, 237–239, 1959, Nr. 420. (Juni.) (San Diego, Calif., Convair Sci. Res. Lab.) Vf. führt die Bänderstruktur der Farbe des Jupiter auf drei van Allen-Gürtel zurück, die einfallende Partikel auf bestimmte Oberflächenzonen konzentrieren. V. Weidemann.
- 7-59 Krafft A. Ehricke. Zur Auswahl von Flugbahnen für bemannte Raumfahrzeuge zu den Planeten Mars und Venus. Raketentech. Raumfahrtforsch. 4, 17-22, 1960, Nr. 1. (San Diego, Calif., Convair-Astronautics.) Mathematische Untersuchung der Parameter für die Auswahl von Flugbahnen, die für bemannte Expeditionen zu den Planeten Mars und Venus geeignet sind und eine kurze Expeditionsdauer aufweisen. Flugbahn, Zeitplanung, Energiebedarf bei kreisförmigen und elliptischen Übergangsbahnen, Antriebssysteme und Massenverhältnis werden an Hand von Diagrammen und Tabellen diskutiert. Die notwendigen "schnellen" Übergangsbahnen erfordern einen höheren energetischen Aufwand, sind aber im Vergleich zu den Hohmannschen Übergangsbahnen (Hohmann, W., Die Erreichbarkeit der Himmelskörper, Oldenbourg-Verlag, München 1925) bezüglich der Planung des Starttermins weniger eingeengt und ermöglichen eine Variation der Aufenthaltszeit am Zielplaneten.
- 7-60 F. M. Perkins. An analytical solution for flight time of satellites in eccentric and circular orbits. Astronaut. Acta 4, 113-134, 1958, Nr. 2. (San Diego, Calif., Convair

Astronautics Div., Premiliminary Design Systems Analysis Group.) Analytische Lösungen für das Verhältnis Höhe/Zeit werden für zentrische und exzentrische Satellitenbahnen gegeben. Aus einem Vergleich mit den Resultaten einer analytisch geschlossenen Lösung, die durch genaue, stufenweise integrierte Bahnberechnungen erhalten wird, kann geschlossen werden, daß die ersterwähnten Ergebnisse für die meisten technischen Zwecke ausreichend sicher sind. Das Verfahren ermöglicht die rasche und ökonomische Berechnung ganzer Scharen von Bahnen. Die Diagramme sind dimensionslos und deshalb in gleicher Weise für das metrische und englische Maßsystem brauchbar.

E. Hess.

- 7-61 H. E. Hinteregger, K. R. Damon and L. A. Hall. Analysis of photoelectrons from solar extreme ultraviolet. J. geophys. Res. 64, 961-969, 1959, Nr. 8. (Aug.) (Bedford, Mass., Air Force Cambridge Res. Center; Cambridge, Mass., Comstock a. Wescott Inc.) Eine planparallele Analysator-Anordnung mit 144 cm² großer W-Photokathode, Verzögerungs- und Schirmgitter mißt durch Spannungsvariation die Verzögerungs-Charakteristik der ausgelösten Photoelektronen. Labor-Versuche mit Hochdruck-Xe-Entladung. Ein Aufstieg bis zu 125 Meilen ergab eine vorläufige statistische Verteilung der Photoelektronen aus W im Bereich 1 bis 7 eV, wo ein Abfall von 20 zu 0,3 beobachtet wird. Eine vorläufige spektrale Zusammensetzung wird bis zu 584 Å gegeben. Daraus wird geschlossen, daß das Potential eines Körpers im innerplanetarischen Raum stark vom Photoelfekt bestimmt wird.
- 7-62 James A. van Allen and Louis A. Frank. Radiation measurements to 658,300 km with Pioneer IV. Nature, Lond. 184, 219—224, 1959, Nr. 4682. (25. Juli.) (Iowa City, State Univ.) Kurze Beschreibung der Strahlungs-Meßgeräte der kosmischen Rakete "Pioneer IV" (3. 3. 59). Ergebnisse der Beobachtungen in 2 Tabellen und 2 Figuren. Verglichen mit "Pioneer III" (6. 42. 58) ist die Strahlungsintensität im äußeren Gürtel erheblich höher (Faktor 300 bei 40 000 km). (Der Start von P. IV lag nach einer erdmagnetisch gestörten Periode, der von P. III in einer ruhigen.) Von 60 000 bis 92 000 km wird eine Zone starker lokaler Schwankungen durchflogen, über 92 000 km ist die Intensität sehr gering. In Mondnähe (60 000 km Abstand) war nichts Besonderes festzustellen. Neubestimmung der interplanetaren Intensität der Ultrastrahlung zu 1,8 ± 0,3 cm⁻² sec⁻¹. Der mit der russischen Mechta vom 2. 1. 59 beobachtete relative Anstieg des erdmagnetischen Feldes bei 21 000 km Entfernung und der damit nachgewiesene Ringstrom sollte mit dem Strahlungsgürtel zusammenhängen. (Alle Entfernungen vom Mittelpunkt der Erde bzw. des Mondes.)
- 7-63 A. J. Dessler. Upper atmosphere density variations due to hydromagnetic heating. Nature, Lond. 184, 261—262, 1959, Nr. 4682. (25. Juli.) (Palo Alto, Calif., Lockheed Aircraft Corp., Missiles a. Space Div.) Wo der solare Plasmastrom in Wechselwirkung mit dem erdmagnetischen Feld tritt, werden hydromagnetische Wellen angeregt, die sich um die ganze Atmosphäre herum ausbreiten und die schließlich den Höhenbereich 150 bis 200 km aufheizen. Das sei besonders bei magnetischen Störungen und bei solaren Radiostrahlungserhöhungen der Fall. Damit erklären sich die beobachteten Unregelmäßigkeiten der Satelliten-Bremsung, die mit Erhöhungen der solaren 10 cm-Strahlung zusammentreffen, aber auch das rasche Verschwinden der Elektronen aus dem Strahlungsgürtel des Argus-Experiments, als ein magnetischer Sturm einsetzte. Die Aufheizung erklärt schließlich durch vermehrte Bremsstrahlung auch die von Ballonen aus beobachtete erhöhte Röntgenstrahlung in der Polarlichtzone während magnetischer Stürme.
- 7-64 A. F. Bogorodsky. Relativistic effects in the motion of an artificial earth satellite. Astr. Sh., Moskau 36, 883-889, 1959, Nr. 5. (Orig. russ. m. engl. Zfg.) Mit Hilfe der Methode der Variation der Bahnelemente werden die relativistischen Bewegungsgleichungen eines Erdsatelliten untersucht. Es ergeben sich relativistische säkulare Störungen in der Länge des Knotens und des Perihels sowie in der Zeit des Periheldurchganges; die Hauptachse der Bahn, ihre Exzentrizität und ihre Neigung gegenüber dem Erdäquator bleiben dagegen erhalten.

- 7-65 A. C. B. Lovell. Radio astronomical measurements from earth satellites. Proc. roy. Soc. (A) 253, 494-500, 1959, Nr. 1275. (Dez.)

 Behnsch.
- 7-66 Leon Blitzer. Lunar-solar perturbations of an earth satellite. Amer. J. Phys. 27, 634-645, 1959, Nr. 9. (Dez.) (Tuscon, Ariz., Univ., Dep. Phys.)
- 7-67 Percy H. Carr, Robert M. Stewart jr. and Joseph H. Senne. Flash period of 1958 Delta I. Amer. J. Phys. 28, 64-66, 1960, Nr. 1. (Jan.) (Ames, I., Univ. Sci. Technol.) Schön.
- 7–68 I. S. Shklovsky, V. F. Yessipov, V. G. Kurt, V. I. Moroz and P. V. Scheglov. An artificial comet. Astr. Sh., Moskau 36, 1073–1077, 1959, Nr. 6. (Orig. russ. m. engl. Zfg.) Beschreibung der zur Beobachtung des von einer Rakete am 12. 9. 1959 erzeugten künstlichen Kometen Natriumwolke benutzten Instrumente und Mitteilung der ersten Beobachtungsergebnisse. Die photovisuelle Helligkeit wird zu $(5,5\pm0,5)$ Größenklassen angegeben.
- 7-69 L. A. Manning and V. R. Eshleman. Meteors in the ionosphere. Proc. Inst. Radio Engrs N. Y. 47, 186—199, 1959, Nr. 2. (Febr.) (Stanford, Calif., Univ., Radio Propag. Lab.) Radar-Meteor-Beobachtungen, Ionisations-Verteilung in der Spur des Meteors, Reflexion von Radiowellen an solchen Spuren, Vergleichstabelle zwischen optischen und Radio-Daten für verschiedene Meteorgrößen, Fading der Echo-Signale und Verformung des Schweifes, Windmessung mit Hilfe der Echos von Meteorschweifen, Ausdeutung der Radio-Messungen nach Meteor-Häufigkeit, Vorwärtsstreuung an Meteorschweifen.
- 7–70 E. I. Fialko. Über die Wahrscheinlichkeit der Ionisation durch Meteore. Radiotech i Elektronika 4, 4206–4208, 1959, Nr. 7. (Juli.) (Orig. russ.) Die Ionisation durch Meteore ist das Resultat von Zusammenstößen zwischen den Atomen der verdampfenden Meteore und den Luftteilchen. Die Intensität der Ionisation wird charakterisiert durch die lineare Elektronendichte, d. h. durch die Zahl der gebildeten Elektronen je Weglängeneinheit der Meteorspur. Es ist $\alpha=\beta\cdot(k/v)$ (k=Verdampfungsgeschwindigkeit, v=Geschwindigkeit des Meteors, $\beta=$ Ionisierungswahrscheinlichkeit). Vf. bestimmt die Ionisierungswahrscheinlichkeit $\beta(v)=a\cdot v^n$ (a=Konstante) aus der Meteorgeschwindigkeit v und der Größe des Exponenten n. Einer wahrscheinlichsten Meteorgeschwindigkeit von n \simeq 55 km/s entspricht ein n \simeq 1,5.
- 7-71 K. Goebel, P. Schmidlin und J. Zähringer. Das Tritium-Helium- und das Kalium-Argon-Alter des Meteoriten "Ramsdorf". Z. Naturf. 14a, 996—998, 1959, Nr. 11. (Nov.) (Geneve, CERN, SC-Div.; Heidelberg, Max-Planck-Inst. Kernphys.) An dem Meteoriten Ramsdorf, der am 26. VII. 1958 auf etwa 51° nördlicher Breite und 7° östlicher Länge fiel und einen Chondriten inhomogener Struktur und weicher Substanz darstellt, wurde der Gehalt an Tritium, ferner an den Edelgasen ³He, ⁴He, ²⁰Ne, ²¹Ne, ²²Ne, ³6A, ³8A und ⁴⁰A, außerdem der an Kalium bestimmt. Die Werte in Abhängigkeit von der Tiefe in der Probe sind angegeben. Aus dem Tr-Wert ergibt sich eine Intensität der Höhenstrahlung von 0,47 Primärteilchen/sec cm². Das Kalium-Argon-Alter berechnet sich zu 270 · 10⁶ a, das Tritium-Helium-Bestrahlungsalter zu 4 · 10⁶ a. Beide Werte sind sehr nieder, was auf Gasverluste schließen läßt.
- 7-72 R. E. Gershberg and V. I. Pronyk. On the theory of Stromgren's zones. Astr. Sh., Moskau 36, 902-904, 1959, Nr. 5. (Orig. russ. m. engl. Zfg.) Mit Hilfe theoretischer Modelle für Sterne frühen Spektraltyps (O 5 V B 2 V) werden die Radien der Strömgrenschen Zonen berechnet. Sie stimmen mit den beobachteten Radien der H II-Gebiete in der Nähe heißer Sterne überein.
- 7–73 Chushiro Hayashi, Jun Jugaku and Minoru Nishida. Evolution of massive stars. II. Helium-burning stage. Progr. theor. Phys., Kyoto 22, 531-543, 1959, Nr. 4. (Okt.) (Kyoto, Univ., Res. Inst. Fundam. Phys.; Dep. Nucl. Sci.) Vff. setzeń die Untersuchungen für Sternmodelle von 15,6 Sonnenmassen (Ber. Nr. 3–103) fort, indem das jetzt folgende Stadium der Verbrennung von Helium nach dem 3 α -Prozeß in Betracht

gezogen wird. Es werden folgende Zonen angenommen: konvektiver Heliumkern, Heliumzone im Strahlungsgleichgewicht, inhomogene Wasserstoff verbrennende Zwischenzone (CN-Zyklus) und Wasserstoffhülle. Die Modelle liegen in der Lücke des H-R-Diagramms der h und χ Persei-Haufen. Es zeigt sich, daß Modelle mit doppelten Energiequellen besonders empfindlich von beiden Energieerzeugungsraten abhängen. Die Evolution der Modelle mit zunehmender Größe der Kernzone und entsprechender Verlagerung der Wasserstoff verbrennenden Schale nach außen erfolgt in Richtung zunehmender effektiver Temperaturen mit einer Geschwindigkeit, die Δ log $T_{\rm e}$ proportional ist. Die Leuchtkraft bleibt konstant.

7-74 Kung Shu-mu and Chen Hsieh-chên. The interpretation of the Hertzsprung-Russell diagram and the hydrogen and helium content of various main sequences. Scientia Sinica 8, 962—978, 1959, Nr. 9. (Sept.) (Purple Mountain Obs., Acad. Sinica.) Unter der Annahme, daß der innere Aufbau der Sterne ähnlich dem der Sonne ist, berechnen Vff. mit Hilfe der theoretischen Masse-Leuchtkraft-Radius-Beziehung das mittlere Molekulargewicht und den Wasserstoffgehalt von 114 Doppelsternen und sechs Sternen der Hyaden. Neben einem festen Anteil von 2 Gewichtsprozent schwerer Elemente wird bei der Berechnung der Heliumgehalt und der Wasserstoff- und Heliumanteil der Opazität berücksichtigt. Im Hertzsprung-Russell-Diagramm lassen sich so Kurven konstanten Wasserstoffgehaltes zeichnen, die für mittlere und späte Spektraltypen zuverlässig sein dürften. Der ursprüngliche Wasserstoffgehalt der verschiedenen Hauptsequenzen läge dann zwischen 95% (Jornson und Hillner) und 84% (Sandage). V. Weidemann.

7-75 Kung Shu-mu? and Chen Hsieh-ehên. The distributions of the main sequences of populations I and II in the Hertzsprung-Russell diagram. Scientia Sinica 8, 979—989, 1959, Nr. 9. (Sept.) (Purple Mountain, Obs., Acad. Sinica.) Vff. erweitern ihre Untersuchung (vorst. Ref.) auf den Fall, daß der Anteil schwerer Elemente 1 bzw. 4 Gewichtsprozent beträgt, um schwache Population II und junge Population I zu erfassen. Für konstante Masse, Leuchtkraft und Radius ändert sich der Wasserstoffgehalt num 2 bis 6% derart, daß bei Zunahme des Anteils schwerer Elemente der Wasserstoffgehalt abnimmt. Der geringe Einfluß des Gehaltes an schweren Elementen auf die Position im Hertzsprung-Russell-Diagramm dürfte es daher schwer machen, von dieser Seite her zwischen den Hauptsequenzen der Populationen zu unterscheiden.

V. Weidemann.

7-76 I. M. Gordon. Bildungsmechanismus relativistischer Elektronen in den Atmosphären nichtstationärer Sterne. Sh. exp. teor. Fis. 37, 853-855, 1959, Nr. 3. (Orig. russ.) Die nichtthermische Strahlung der Supernovac vom Typ I, die im Maximum um zwei Größenordnungen über der Gesamtstrahlung eines Spiralnebels liegen kann, wird auf die Synchrotron-Strahlung relativistischer Elektronen zurückgeführt. Vf. versucht eine Entstehung dieser Elektronen in der Sternatmosphäre nachzuweisen (speziell für den Crab-Nebel). Mit ihrer Energie von 1011-1012 eV können diese Elektronen weder aus Kernreaktionen noch aus induktiver Beschleunigung stammen, die für Elektronen wegen der hohen magnetischen Bremsung wenig wirksam ist. Es wird gezeigt, daß eine primäre Protonenbeschleunigung viele Eigentümlichkeiten der Leuchtkraftkurven von Supernovae I sowie anderer nichtstationärer Sterne erklären kann. Die beiden zeitlichen Abschnitte in der Leuchtkraftkurve nach BAADE sind durch Kernzerfallsoder -spaltungsprozesse nicht zu verstehen; die Sekundärerzeugung relativistischer Elektronen liefert dagegen den 50-100 d nach dem Maximum beginnenden exponentiellen Abfall, wenn man annimmt, daß nach dieser Zeit keine merkliche Menge relativistischer Protonen mehr erzeugt wird und daß die Dichte in der Wolke im Gebiet der Sekundär- und Emissionsprozesse konstant bleibt; die Ausleuchtzeit (100 s) ist nämlich klein gegen die Stoßzeit, die einer Leuchtkraftabnahme auf 1/2 entspricht (70 d), so daß die Leuchtkraft proportional der Anzahl entstehender relativistischer Elektronen ist. Bei einer Protonenweglänge in Wasserstoff von 70 g/cm² ergibt sich aus der Abklingzeit der Leuchtkraft eine vernünftige Masse der Wolke von 1030 g. Der erste Teil der Leuchtkraftkurve entspricht der Periode, wo noch relativistische Protonen erzeugt werden und sich die Dichte ändert.

- 7-77 A. A. Nikitin. The investigation of the lines of heavy elements in the spectra of planetary nebulae. Astr. Sh., Moskau 36, 778-784, 1959, Nr. 5. (Orig. russ. m. engl. Zig.) Untersuchung der Anregungs- und Ionisationsverhältnisse des NIII in verschiedenen planetarischen Nebeln.
- 7-78 G. R. A. Ellis, D. G. Cartwright and J. R. V. Groves. Spaced observations of radio noise from the outer atmosphere. Nature, Lond. 184, 1391—1392, 1959, Nr. 4696. (31. Okt.) (Camden, N. S. W., C. S. I. R. O., Upper Atmos. Sect.; Salisbury, South Austr. Weapons Res. Est.) Vergleich der Feldstärkekurven für 18 "Noise bursts" auf 4,5 kHz von zwei australischen Stationen in 1000 km Abstand. 12 davon wurden von beiden Stationen empfangen, sie zeigen bis auf einen Fall mehr oder weniger gute Übereinstimmung in Weltzeit.
- 7–79 N. S. Kardashev. On the possibility of detection of resolved lines of atomic hydrogen in radio diapason. Astr. Sh., Moskau 36, 838–844, 1959, Nr. 5. (Orig. russ. m. engl. Zfg.) Untersuchung über die Emission des H-Atoms infolge von Übergängen zwischen Energieniveaus hoher Quantenzahlen. Die Übergangswahrscheinlichkeiten sind für Übergänge n \rightarrow n 1 bei großen n wesentlich größer als die zwischen den Komponenten der Fein-bzw. Hyperfeinstruktur. Die zu erwartenden Linien liegen im Bereich der mmbis m-Wellen. Lamla.
- 7-80 S.B. Pickelner and R. E. Gershberg. On the possibility of the formation of filamentary structures by twisting. Astr. Sh., Moskau 36, 785-793, 1959, Nr. 5. (Orig. russ. m. engl. Zfg.) Zur Deutung des Entstehungsmechanismus von Filamenten im interstellaren Gas wird das Verhalten eines länglichen Gasvolumens untersucht, das in Richtung seiner Längsachse von magnetischen Kraftlinien durchsetzt wird, die in dichteren Gaswirbeln enden, so daß das Volumen um seine Längsachse rotiert. Die bei der Rotation auftretende Magnetfeldkomponente drückt das Gas in der Längsachse zu "Filamenten" zusammen. Der Einfluß der Dämpfung im stationären Fall wird untersucht. Dabei zeigt sich, daß sie keine Rolle in den H-II-Gebieten spielt, aber in H-I-Gebieten und in der Chromosphäre die Bildung von Filamenten verhindert. Diskussion der Stationarität der Filamente.
- 7-81 E. N. Parker. Gross dynamics of the interstellar medium. Rev. mod. Phys. 30, 955-965, 1958, Nr. 3. (Juli.) (Chicago, Ill., Univ., Enrico Fermi Inst. Nucl. Stud.) Zur Frage der Bewegungsverhältnisse des interstellaren Gases wird ein umfassender Überblick über die gegenwärtigen Beobachtungen und Theorien gegeben. Spezielle Abschätzungen betreffen die magnetische Feldstärke und die Größe der turbulenten Energiedissipation. Zum Schluß wird die Vermutung ausgesprochen, daß alles Gas der Milchstraße schon sehr bald in Sterne kondensiert wäre, falls die Milchstraße keine ursprünglichen Magnetfelder enthalten hätte.
- 7 .83 S. A. Kaplan. On cosmic force-free fields. Astr. Sh. Moskau 36, 800-806, 1959, Nr. 5. (Orig. russ. m. engl. Zfg.) Untersuchung eines aus ebenen Schichten zusammengesetzten (Feld 1) und eines zylindrischen, schneckenförmigen (Feld 2) kräftefreien Magnetfeldes zur Ermittlung der der Beobachtung zugänglichen Korrelation zwischen der Intensität und der Polarisation der Synchrotron-Strahlung. Bei entsprechender Orientierung des Magnetfeldes (Symmetrieachse senkrecht zur Gesichtslinie) ist die Polarisation in beiden Feldern unabhängig von der Intensität der Strahlung und beträgt 100% im Falle des Feldes 1, 30-40% bei Feld 2. Allgemein nimmt der Polarisationsgrad mit zunehmender Streuung der Orientierung der Magnetfelder zur Gesichtslinie ab, auch dann, wenn die Intensität der Synchrotron-Strahlung zunimmt. Die Reduktion der Messungen am Crab-Nebel führt auf eine Beziehung zwischen Polarisation und Intensität, die mit der theoretisch bestimmten bei Annahme von kräftefreien Magnetfeldern nicht übereinstimmt. - Im Feld 1 ist eine Stoßwelle möglich, die die magnetische Feldstärke gemäß der Dichtediskontinuität an der Stoßfront vergrößert, aber den kräftefreien Charakter des Feldes nicht stört. Kräftefreie Magnetfelder in Gasen mit innerer Bewegung sind wahrscheinlich nicht stabil, so daß Vf. glaubt, daß unter kosmischen Bedingungen kräftefreie Magnetfelder selten sind. Lamla.

1960

7-83 **R. Hanbury Brown** and **C. Hazard.** The radio emission from normal galaxies. I. Observations of M_{31} and M_{33} at 158 Mc/s and 237 Mc/s. Mon. Not. R. astr. Soc. 119, 297—308, 1959, Nr. 3. (Macclesfield, Cheshire, Jodrell Band Exp. Stat.) Es wurde eine Radio-durchmusterung der Galaxien M 31 und M 33 bei 158 MHz durchgeführt. Die integrierte Radiohelligkeit (m_r) der beiden Galaxien wurde gemessen und mit der jeweiligen photographischen Helligkeit (m_p) verglichen. Die Differenz ($m_r - m_p$) ist nahezu gleich für beide Objekte. Die Verteilung der Intensität über M 31 läßt auf zwei Komponenten schließen, eine scheibenförmige und eine Korona. Die Korona stellt den größten Teil der Strahlung. Die Untersuchungen von M 33 zeigen ebenfalls eine Korona und sehr ähnliche Verhältnisse wie M 31.

III. Physik (Allgemeines)

- 7-84 R. Fleischmann. Die Relation der Gleichheit angewendet auf den Elektromagnetismus und der Versuch von Kohlrausch und Weber. Arch. Elektrotech. 43, 480-490, 1958, Nr. 7. (15. Aug.) (Erlangen, Univ., Phys. Inst.) Eingehend auf einen Aufsatz von Fischer (Ber. 37, 1325, 1958) und den Versuch von Kohlrausch und Weber weist Vf. darauf hin, daß ein wesentlicher Teil der Meinungsverschiedenheiten über Einheitensysteme durch eine ungenügende Unterscheidung der begrifflichen Definition der physikalischen Größen von den gewählten Einheiten bedingt seien. Läßt man die Gleichheitsaxiome der Mathematik auch für physikalische Größen gelten, so muß man die magnetischen und elektrischen Einheiten, z. B. die der magnetischen Spannung und des elektrischen Stromes (beide bezeichnet mit A) und gleichermaßen die des magnetischen Flusses und des elektrischen Spannungsstoßes Vs streng auseinanderhalten. Ihr Verhältnis, die aus dem Versuch von Kohlrausch und Weber folgende elektromagnetische Verkettungskonstante γ ist dann nicht dimensionslos und geht in die bekannte Beziehung zwischen Induktionskonstante und Influenzkonstante des leeren Raumes und der Lichtgeschwindigkeit als $\gamma^2 = e^2 \cdot \varepsilon_0 \cdot \mu_0$ ein.
- 7-85 **H. Holthusen.** Zur Geschichte der Einheit "Röntgen" und der Möglichkeiten ihrer Weiterentwicklung. Fortschr. Röntgenstr. 89, 746-752, 1958, Nr. 6. (Dez.) (Hamburg.) V. Weidemann.
- 7-86 M. Borneas. Observations in relation with a new system of units. Amer. J. Phys. 26, 40-41, 1958, Nr. 1. (Jan.) (Timisoara, Roman., Polytechn. Inst., Phys. Lab.)
- 7-87 A. David. Beware of the "glug", a new unit of mass. Amer. J. Phys. 26, 41, 1958, Nr. 1. (Jan.) (Acre, Isr., Natuical Coll.)
- 7-88 Haym Kruglak. Evaluating laboratory instruction by use of objective-type tests. Amer. J. Phys. 26, 31-32, 1958, Nr. 1. (Jan.) (Kalamazoo, Mich., Univ.)
- 7-89 Haym Kruglak. Evaluation of High School physics courses by college students. Amer. J. Phys. 27, 630-634, 1959, Nr. 9. (Dez.) (Kalamazoo, Mich., Univ.)
- 7-90 C. Adler. On the humanization of some physics problems. Amer. J. Phys. 26, 42, 1958, Nr. 1. (Jan.) (State Island, N. Y., Commun. Coll.)
- 7-91 Glenn Q. Lefler. Basic undergraduate physics preparation. Amer. J. Phys. 26, 39-40, 1958, Nr. 1. (Jan.) (Charleston, Ill., Univ.)
- 7-92 B. Richard Siebring and Duane H. Schwahn. Baccalaureate origins of Ph. D. Physicists, Amer. J. Phys. 27, 647-648, 1959, Nr. 9. (Dez.) (Milwaukee, Wisc., Univ.)
- 7-93 A. B. Arons. Structure, methods and objectives of the required Freshman calculus-physics course at Amherst College. Amer. J. Phys. 27, 658-666, 1959, Nr. 9. (Dez.) (Amherst, Mass., Amherst Coll.)

- 7-94 Julius Sumner Miller. It is important to know what questions to ask. Amer. J. Phys. 28, 38-42, 1960, Nr. 1. (Jan.) (El Camino College, Calif., Camino Coll.)
- 7-95 John A. Day. Report on a gifted student program at Linfield College. Amer. J. Phys. 28, 80, 1960, Nr. 1. (Jan.) (McMinnville, Oreg., Linfield Coll.)
- 7-96 W. C. Kelly. Introduction to apparatus drawings. Amer. J. Phys. 28, 33-34, 1960, Nr. 1. (Jan.) (New York, N. Y., Amer. Inst. Phys.)
- 7-97 R.B. Lindsay. Influence of the environment on the wave transmission of energy: resonance and relaxation. Amer. J. Phys. 28, 67-75, 1960, Nr. 1. (Jan.) (Providence, Rhode Isl., Univ.)
- 7-98 E. Saur. Zur Vorführung und Ausmessung des Trägheitsellipsoids eines beliebigen Körpers. Praxis Naturw. 8, 191-196, 1959, Nr. 7. (15. Juli.) (Gießen.) Eine Anordnung zur Ausmessung des Trägheitsellipsoids eines beliebigen Körpers sowie beliebiger Schnitte durch dasselbe wird beschrieben und an Beispielen erprobt.

E. Saur.

- 7-99 **0. S. Heavens.** Young's modulus of black soda glass fibers. Amer. J. Phys. 27, 670, 1959, Nr. 9. (Dez.) (Englefield Green, Surrey, Engl., Univ. London, Roy. Holloway Coll.)
- 7-100 W. F. Busse and F. C. Starr. Change of a viscoelastic sphere to a torus by random impacts. Amer. J. Phys. 28, 19-23, 1960, Nr. 1. (Jan.) (Wilmingon, Dela., du Pont de Nemours Co., Exp. Stat., Polychem. Dep.)
- 7-101 **D. D. Snyder** and **H. D. Nine.** Some "friction-free" demonstrations. Amer. J. Phys. 28, 76-77, 1960, Nr. 1. (Jan.) (Warren, Mich., Gen. Motors Corp., Res. Lab.)
- 7-102 **Herbert F. Newhall.** Gyroscope. Amer. J. Phys. **28**, 78-79, 1960, Nr. 1. (Jan.) (Ithaca, N. Y., Univ.)
- 7-103 **D. S. Ainslie.** Demonstration equipment for the Herschel divided tube experiments. Amer. J. Phys. **28**, 77-78, 1960, Nr. 1. (Jan.) (Toronto, Can., Univ.,)
- 7-104 David E. Moe. Inexpensive Boyle's law apparatus. Amer. J. Phys. 26, 35, 1958, Nr. 1. (Jan.) (Cleveland, O., Univ.)
- 7-105 W. C. Levengood. Evidence of rupture in droplet layers on heated liquid surfaces. Amer. J. Phys. 26, 35-37, 1958, Nr. 1. (Jan.) (Muncie, Ind., Ball Broth. Co.)
- 7-106 R. W. Christy and L. M. Rieser jr. Modification of Rüchardt's experiment. Amer. J. Phys. 26, 37-38, 1958, Nr. 1. (Jan.) (Hanover, N. Hampsh., Dartmouth Coll.)
- 7-107 **John W. Dewdney.** Newton's law of cooling as a laboratory introduction to exponential decay functions. Amer. J. Phys. **27**, 668-669, 1959, Nr. 9. (Dez.) (Hanover, N. Hampsh., Dartmouth Coll.)
- 7-108 Raymond L. Tanner. An advanced laboratory project: construction of a Wilson cloud chamber. Amer. J. Phys. 26, 12-13, 1958, Nr. 1. (Jan.) (Memphis, Tenn., Univ.)
- 7-109 W. K. Bertram, L. N. Hadley and F. K. Itamoto, Liquid drop nuclear model. Amer. J. Phys. 27, 668, 1959, Nr. 9. (Dez.) (Fort Collins, Col., Univ.)
- 7-110 George B. Savitsky. Simple graphical method of drawing and interpreting parallel planes through a unit crystal cell for any given set of Miller indices. Amer. J. Phys. 28, 12-16, 1960, Nr. 1. (Jan.) (Gainesville, Flor., Univ.)
- 7-111 Robert G. Marcley. Apparatus drawings project. Report Nr. 1. Balmer series spectrum tube. Amer. J. Phys. 28, 35-38, 1960, Nr. 1. (Jan.) (New York, N. Y., Amer. Inst. Phys.)

7–112 H. Mayer. Eine einfache Methode zur Sichtbarmachung von Elementarprozessen der Magnetisierung. Praxis Naturw. 8, 197–199, 1959, Nr. 7. (15. Juli.) (Clausthal-Zellerfeld.) Ein Verfahren zur objektiven Beobachtung der magnetischen Elementarbereiche dünner NiFe-Aufdampfschichten mit Hilfe des polarisationsoptischen Kerk-Effektes und deren Veränderungen mit der Magnetisierung wird beschrieben.

E. Saur.

- 7–113 B. C. Carlson. Fields of an accelerated point charge. Amer. J. Phys. 27, 669-670, 1959, Nr. 9. (Dez.) (Amew, I., Univ. Sci. Technol., Inst. Atom. Res., Dep. Phys.)
- 7-114 I. Richard Lapidus and Jerry L. Pietenpol. Classical interaction of an electric charge with a magnetic monopole. Amer. J. Phys. 28, 17-18, 1960, Nr. 1. (Jan.) (New York, N. Y., Columbia Univ.)
- 7-115 Julius Sumner Miller. Interesting extension of the kaleidoscope. Amer. J. Phys. 28, 80, 1960, Nr. 1. (Jan.) (El Camino College, Calif., El Camino Coll.)
- 7-116 Julius Sumner Miller. Interesting demonstration of induced emf. Amer. J. Phys. 28, 81, 1960, Nr. 1. (Jan). (El Camino College, Calif., El Camino Coll.) Schön.
- 7-117 Ludwig Bergmann. Versuche zur Drehung der Schwingungsebene polarisierten Lichtes. Praxis Naturw. 8, 182-190, 1959, Nr. 7. (15. Juli.) (Wetzlar.) Es wird gezeigt, wie mit einem Kleinbildprojektor die Drehung der Schwingungsebene polarisierten Lichtes durch Quarz, die Rotationsdispersion des Quarzes, die magnetische Drehung der Polarisationsebene des Lichtes (FARADAY-Effekt) und die RAYLEIGHsche Lichtfalle lichtstark und quantitativ vorgeführt werden können.
- 7–118 D. G. Douglas. On the use of the optical path concept in the study of spherical surfaces. Amer. J. Phys. 26, 14–16, 1958, Nr. 1. (Jan.) (Winnipeg, Man., Can., Univ.)
- 7-119 Nicholas Hull. Measurement of the Earth's field using Helmholtz coils. Amer. J. Phys. 27, 670-671, 1959, Nr. 9. (Dez.) (Covington, Kent., Villa Madonna Coll.)

Schön.

- 7–120 **Sigmar German.** Der heutige Stand der Hochvakuumtechnik. Feinwerktechnik **63**, 357—363, 1959, Nr. 10. (Okt.) (Braunschweig, Phys.-Tech. Bundesanst.) Es werden die physikalisch-technischen Prinzipien der nach apparativen Gesichtspunkten geordneten, z. Z. kommerziell erhältlichen Geräte dargelegt. Die Abschnitte: Pumpen. Vakuummeßinstrumente. Lecksucher. Eine weitere Veröffentlichung wird angekündigt. H. Ebert.
- 7-121 W. Frank und P. Hammes. Meßgenauigkeit von Piranimanometern mit Nickeldrähten und Heißleitern. Beitr. z. angew. Glasforsch. 1959, S. 199—208. (Mainz, Schott u. Gen., Zentr. Lab.) Die vom Thermistor als Indikator beim Piranivakuummeter erwartete bessere Anzeige hat sich eigentlich nur im Druckbereich 1 bis 10 Torr bestätigt. Anzeigekonstanz bei Verschmutzung ist nicht vorhanden; indes läßt die auftretende Parallelverschiebung leichter eine Korrektur zu. Ni-Drähte geben dem Gerät eine gute Anzeigekonstanz.

 H. Ebert.
- 7–122 Werner Espe. Glimmer als Werkstoff der Hochvakuumtechnik. II. Vakuum-Tech. 3, 29–38, 1959, Nr. 2. (März.) In Fortsetzung des systematischen Überblicks (Ber. Nr. 3–412) werden hier behandelt: Physikalische und chemische Eigenschaften (Farbe, Dichte Elastizität, Wärme, Elektrizität, Optik, Durchlässigkeit, Wärmestrahlung, UV., γ- u. β-Strahlen, He). Entgasung. Oberflächenbehandlung.

H. Ebert.

7-123 H. Adam. Vakuumdichte Molybdän-Glas-Verschmelzungen. Vakuum-Tech. 8, 59-62, 1959, Nr. 3. (Apr.) (Purley/Surrey.) Nachdem Molybdän-Einschmelzgläser z. B. Kodial) zur Verfügung stehen, lassen sich Molybdän-Stabein- u. -Ringanschmelzungen fabrikationsmäßig herstellen. Dabei kann auf eine besondere Wasserstoffschutzatmosphäre verzichtet werden. Stäbe bis 10 mm und Ringe bis 75 mm Durchnesser sind verwendbar. Die gewonnenen Erfahrungen lassen erwarten, das Verahren auf größere Abmessungen zu erweitern.

- 7-124 Siegried Buch und Wolfgang Voigt. Verbesserungen am Kompressionsvakuummeter McLeod mit quadratischer Skala. Vakuum-Tech. 8, 189—193, 1959, Nr. 7. (Okt.) (Ilmenau, Hochsch. Elektrotech.) Vorgeschlagen wird, die Kompressionskapillare zu neigen, halbkreishyperbel- oder ösenförmig zu biegen. Damit läßt sich in bestimmten Bereichen die Ablesung besser durchführen. Außerdem wird eine Vorrichtung konstruiert, wodurch das Heben und Senken des Niveaugefäßes wesentlich vereinfacht wird. Das Vorratsgefäß besteht aus zwei Stahlrohren mit unterschiedlichen Durchmessern (der Teil mit kleinerem Durchmesser nach unten), wird an Perlonbändern aufgehängt und in einem Stahlrohr geführt.
- 7-125 Hans-Werner Drawin. Ein neuartiges Lecksuchverfahren mit Hilfe negativer Ionen. Vakuum-Tech. 8, 215—219, I959, Nr. 8. (Dez.) (Bremen, Atlaswerke, Abt. Meß- u. Analysentech.) Es wird ein neues Lecksuchverfahren beschrieben, das im Gegensatz zu den bisher bekannten Verfahren den Elektronen-Resonanzeinfang halogenierter Testgase ausnutzt. Die besondere Lage dieser Resonanzeinfangquerschnitte in bezug auf die Elektronenenergie gestattet es, den durch negative Sauerstoff-Ionen und sonstige Gase hervorgerufenen Untergrund durch Wahl passender Elektronenbeschleunigungsspannungen praktisch auszuschalten. Damit wird die Anzeige unabhängig vom bereits vorhandenen Restgaspartialdruck. Eine nach dem neuen Prinzip arbeitende Ionenquelle wird beschrieben, ihre Kennlinie wird in Form von Kurvenscharen dargestellt. Die bei der Lecksuche erreichbare Empfindlichkeit wird mitgeteilt. Es zeigt sich, daß die Nachweisempfindlichkeit von massenspektrometrischen Lecksuchern erreicht werden kann.
- 7–126 Hans-Werner Drawin, Über die Verwendbarkeit des Kapazitäts-Mikromanometers als Absolutdruck-Meβinstrument. Z. Instrum.-Kde 68, 1–8, 1960, Nr. 1. (Jan.) (Bremen, Atlas-Werke, Abt. Meß- u. Analysentech.) Es wird gezeigt, daß das nach der elektrostatischen Druckkompensation arbeitende Kapazitäts-Mikromanometer als Absolutmanometer im Druckbereich von 10-5 bis 1 Torr ohne vorherige Eichung durch ein anderes Meßgerät einsetzbar ist. Es werden Formeln angegeben, die den Empfindlichkeitsfaktor (Druckfaktor) direkt aus den geometrischen Abmessungen des Druckmeßkondensators zu berechnen gestatten. Alle die Druckmessung eventuell verfälschenden Einflüsse wie Gasadsorption, Temperaturänderungen, Dielektrizitätskonstante etc. werden quantitativ diskutiert. Daraus folgt, daß das Manometer die Totaldrucke unabhängig von der Gas- und Dampfart anzeigt. An Hand von Meßergebnissen wird gezeigt, daß Übereinstimmung mit der Theorie besteht.
- 7-127 K. Thiele. Ein elektromagnetisch gesteuertes Allgasventil für Ultrahochvakuum. Vakuum-Tech. 8, 223-226, 1959, Nr. 8. (Dez.) (Rossendorf b. Dresden, Zentralinst. Kernphys.) Das Ventil ist eine Weiterentwicklung der von Decker (J. appl. Phys. 25, 1441, 1954) sowie Vogl und Evans (Rev. sci. Instrum. 27, 657, 1956) angegebenen Konstruktion, bei der ein Kugelschliffkern in einer Kugelschliffhülse liegt. Der Schliffkern enthält an einer stabartigen Verlängerung einen eingeschnolzenen Eisenkern, der wiederum in einer von außen über das Ventil geschobenen Magnetspule sitzt. Bei Stromdurchgang öffnet sich das Ventil. Durch eine elektromagnetische Verriegelungseinrichtung kann das Ventil dauernd in geöffneter Stellung gehalten und unter Fortnahme der Magnetspulen ausgeheizt werden.
- 7–128 I. A. Kaljabina and Ya. A. Yukhvidin. Experience in using mass-spectrometric methods in electro-vacuum technology. Vacuum, Lond. 9, 117–125, 1959, Nr. 2. (Mai.) Es wird über die Anwendung zweier ortsfester 60°-Massenspektrometer (MC-2: Massenbereich (Δ M) = 1... 600; Auflösung (Λ) = 300; Strömungsempfindlichkeit (E) = 10^{-5} ... 10^{-4} µl/sec MAGC-2: (Δ M) = 1... 90; (Λ) = 80; (E) = 10^{-6} ... 10^{-5} µl/sec) und eines tranportablen 60°-Gasanalysators mit oszillographischer Anzeige berichtet (Δ M = 1... 45; Λ = 30; statische Empfindlichkeit = 10 8 mm Hg/mm Anzeigeskala). Außer Hinweisen auf günstige Verfahrensmethoden werden Untersuchungsergebnisse der Gasabgabe von Materialien (Keramik, Glas) und Elektroden bei der Kathodenaktivierung und -formierung mitgeteilt. An Glimm-Stabilisatoren mit Gasgemischen wurde die Sorption einer Komponente beobachtet.

7–129 R. Jean. Détection des fuites bouchées par un liquide. Vide, Paris 13, 188–192, 1958, Nr. 76. Es ist darauf zu achten, daß Flüssigkeiten durch die Oberflächenspannung in sehr engen Kapillaren zurückgehalten werden können und damit diese kleinsten Kanäle verstopfen. Bei einer ersten Dichtigkeitsprobe kann sich auf diese Weise eine Apparatur leicht als dicht erweisen, um später unerwünscht große Lecks zu zeigen. Es wird vor Durchführung der Kontrolle ein wirksames Ausheizen empfohlen.

H. Ebert.

- 7-130 J. C. Boulassier. Dégazage de matériaux sous vide à la température ambiante. Vide, Paris 14, 39-44, 1959, Nr. 80. (März/Apr.) (Saclay, C. E. N., Serv. Phys. Appl.) Nach dem Verfahren von Knudsen (1909), weiter entwickelt von Barre und Mitarb. (1957), wird in Abhängigkeit die "spezifische Entgasungszahl" (Zahl der austretenden Moleküle je Zeit und Oberfläche) beobachtet. Es werden Metalle (Ti) und Legierungen (ARCAP) sowie organische Stoffe (Polyan, Polyester, Silicone u. a. m.) untersucht. Metalle und Legierungen desorbieren größenordnungsmäßig weniger als die organischen Stoffe. Polyan kommt den Metallen etwa gleich.
- 7-131 J. P. Boulloud et J. Schweitzer. Etude expérimentale de joints métalliques pour ultra-vide. Vide, Paris 14, 241-249, 1959, Nr. 82. (Juli/Aug.) (Saclay, C. E. N., Serv. Phys. Appl.) Es wurden verschiedene Ausführungen von Metallverbindungen zwischen Teilen eines Vakuumsystems auf ihre Dichtigkeit mit einem Helium-Lecksucher geprüft. Dabei wurde der Anpreßdruck verändert und die Deformation des Metalls an den Auflagestellen beobachtet. Der Lecksucher ermöglicht die Unterscheidung zwischen von außen eingedrungenen und aus Einschlüssen stammenden Gasmengen. Weder die Art noch die Oberflächenbeschaftenheit der Verbindungen scheint einen grundlegenden Einfluß zu haben. Der erforderliche Mindestdruck wurde für verschiedene Ausführungen bestimmt.
- 7-132 K. G. Muller. Description d'une jauge ultra-vide et quelques remarques sur la technique des ultra-vides en vue des installations entièrement métalliques. Vide, Paris 14, 250—259, 1959, Nr. 82. (Juli/Aug.) Eine Ionisationsvakuummeter-Röhre des Typs nach BAYARD und Alpert zur Messung kleinster Drücke wird beschrieben und ihre Kennlinien eingehend dargestellt. Es folgen Mitteilungen über das Meßzubehör und die erreichbare Meßgenauigkeit sowie ferner über den Aufbau eines Vakuumsystems aus Metall einschließlich der Verbindungen und Ventile. Schließlich werden Angaben über die verwendeten Getter- und Ionen-Verdampfer-Pumpen gemacht.
- 7-133 R. Servranekx et R. Leyniers. Vanne de sécurité pour les installations de vide. Vide, Paris 14, 295-299, 1959, Nr. 83. (Sept./Okt.) (Bruxelles, Inst. Interuniv. Sci. Nucl.) Beschreibung eines zwischen Vorpumpe und Diffusionspumpe angebrachten sicherheitsverschlusses zur Absperrung des Hauptvakuumsystems gegen den Vorzakuumteil. Der den Verschluß bewirkende Hohlkolben gibt die Leitung zur Vorzakuumpumpe bei hinreichend kleinem Gegendruck durch sein Gewicht frei. Das Schließen wird durch den Atmosphärendruck bewirkt. Durch eine kleine Nebenleitung st der Raum unter dem Hohlkolben mit der Vorvakuumleitung verbunden.

Poltz.

*Rudolf Jacckel und Horst Kutscher. Das Verhalten von Überschallströmungen bei Druck unter 1 Torr. Forschungsberichte des Landes Nordrhein-Westfalen Nr. 683. IS. mit 43 Abb. und 12 Tafeln im Anhang. Westdeutscher Verlag, Köln und Opladen, 1959. DM 50,— (kart.) Es wird gezeigt, daß die gasdynamischen Methoden auch auf die Vorgänge bei niedrigen Drucken anwendbar sind. Für die Untersuchung von Strömungsvorgängen in den Diffusions- und Dampfstrahlpumpen wurden folgende Verahren angewendet: graphische Konstruktion von Strömungsbildern, photographische Farb-)Aufnahmen von Strömungen und Sondenmessungen. Die gewonnenen experimentellen Ergebnisse [bestätigen die theoretischen gasdynamischen Berechnungen und reben eine wertvolle Unterlage zur quantitativen Behandlung der erwähnten Pumpenwauarten; außerdem sind sie von besonderem Wert bei anderen technischen Strömungstorgängen bei hohen Geschwindigkeiten und niedrigen Drucken, wie z. B. Überschalltanälen, weitreichenden Raketen und Satelliten.

- 7-135 Siegfried Tannert. Über eine einfache, automatisch arbeitende Unterdruckregutierung zur Erzielung konstanter Soge mit Wasserstrahlpumpen bei stark variablem Wasserdruck. Z. anal. Chem. 171, 4-4, 1959, Nr. 1. (9. Nov.) (Erfurt, Med. Akad., Med. Klinik.) Es wird eine mit labormäßigen Mitteln zu erstellende Vorrichtung beschrieben, mit der sich unter Verwendung einer Wasserstrahlpumpe auch bei erheblich schwankenden Wasserdrücken ein konstanter Sog im Bereich geringer bis mittelstarker, einstellbarer Unterdrucke erzielen läßt.
- 7-136 George Comsa. Über die Erzielung hoher Pumpgeschwindigkeiten mit Hilfe von Ionisationspumpen. Vakuum-Tech. 8, 76-77, 1959, Nr. 3. (Apr.) (Bukarest.) Druckfehlerberichtigung ebenda S. 200, Nr. 7. (Okt.) Baker und Yarwood (1957) geben einige kritische Bemerkungen zur Theorie der Sauggeschwindigkeit von Ionenpumpen und behandeln in diesem Zusammenhang die hohen Werte der Pumpgeschwindigkeiten, die Young (1956) mit Hilfe eines Alpert-Vakuummeters sowie Comsa und Musa (1957) mit Hilfe einer Pumpe ihrer eigenen Konstruktion erzielten. Vf. meint, daß die Bezugnahme von Baker und Yarwood auf die Konstanz des Verhältnisses des Ionenstromes zum Kollektor zu dem zur Wand im Druckbereich 10-4 bis 10-10 Torr keine Verbindung mit den erzielten hohen Pumpgeschwindigkeiten hat (nachst. Ref.). Die Berichtigungen zweier Druckfehler sind für den Inhalt zu beachten.
- 7-137 F. A. Baker und J. Yarwood. Die Pumpgeschwindigkeit einer Ionen- und Absorptionspumpe nach Comsa-Musa. Vakuum-Tech. 8, 77-78, 1959, Nr. 3. (Apr.) Vff. stellen fest, daß sie aus theoretischen Überlegungen mit den Ansprüchen übereinstimmen, die Comsa und Musa für die Pumpgeschwindigkeit ihrer Pumpe fordern, jedoch nicht ganz aus den gleichen Gründen, die Comsa vorschlägt. Vor allem seien zum Nachweis, daß der Adsorptionsfaktor eins ist, noch weitere Versuche erforderlich. H. Ebert.
- 7-138 George Comsa. Über das Glaswandpotential in Ionen- und Absorptionspumpen. Vakuum-Tech. 8, 194-200, 1959, Nr. 7. (Okt.) (Bukarest, Inst. Atomphys.) Vf. meint: "Würde man die von Baker und Yarwood vorgeschlagene Arbeitshypothese annehmen, so könnte die Pumpe nach meiner Ansicht praktisch gar nicht arbeiten!" Das Grundproblem liegt beim Potential der Glaswand. Vf. fand niedrige negative Werte (-2 bis -5 V gegenüber Glühfaden mit 0 V), während von Baker und Yarwood höhere positive Werte vermutet werden. Unter Hinweis auf eine Arbeit von Carter (1959) bestätigt Vf. nochmals seine Angaben. Auch er hält weitere Versuche für notwendig, wenn er auch die Frage des Wertes des Adsorptionsfaktors (angenommen gleich eins) nicht für entscheidend hält.
- 7-139 S. A. Vekshinsky, M. I. Menshikov and I. S. Rabinovich. High-vacuum pumps and units for accelerators. Vacuum, Lond. 9, 201-206, 1959, Nr. 3/4. (Juli/Sept.) Beschreibung, Maßskizzen, Abbildungen und Diagramme von Diffusionspumpen hoher Leistung. Die Pumpen haben eine verbesserte Ölfraktionierung, Ölabscheider mit geringem Widerstand und eine Kühlvorrichtung für flüssigen Stickstoff an der Pumpenmündung. Die Zufuhr der Kühlflüssigkeit erfolgt selbsttätig aus einem normalen Transportgefäß.
- 7-140 Norman Beecher. High vacuum pumping for modern electronic needs. Electronics 32, 1959, Nr. 41, (9. Okt.) S. 66-67. (Cambridge, Mass., Nat. Res. Corp.) Es wird mit einer kurzen Einführung eine Liste von zehn Vakuumpumpenherstellern aus Amerika, Deutschland, England und Frankreich mitgeteilt, enthaltend die Bauarten: 3stufige Fraktions-Öl-Diffusionspumpen, 2 stufige Öldiffusionspumpen nach BOOSTER, Ölejektoren und Öldiffusions-Ejektoren, Quecksilber-Diffusions- und Quecksilber-Ejektor-Diffusionspumpen, 1 onen-Getter-Pumpen, Molekularluftpumpen. H. Ebert.
- 7-141 A. Venema. La mesure du débit d'une pompe à vide. Vide, Paris 14, 113-120, 1959, Nr. 81. (Mai/Juni.) (Eindhoven, Pays-Bas, N. V. Philips' Gloeilampenfabr., Res. Labs.) Bei der Sauggeschwindigkeitsbestimmung ist die Frage der Druckmessung entscheidend. Wenn an der Pumpenmündung ein Prüfdorn (Durchmesser zweibis dreimal größer als der der Mündung) angebracht wird, so kann in ihm der Druck in üblicher

Weise durch Einbau des Vakuummeters in dem Dorn oder in einem Abzweig bestimmt werden. Die von anderen Autoren vorgeschlagenen Verfahren der Sauggeschwindigkeitsmessung werden besprochen. Bei dem Verfahren nach Dayton (1948) scheint die Frage der Druckmessung nicht einwandfrei geklärt; das nach Oatley (1954) wird für korrekt gehalten; bei dem nach Florescu (1958) müßte noch festgestellt werden, daß das Meßergebnis nicht vom Ort des Gaseinlassens abhängt. Ist das geschehen, könnte dieses Verfahren dort mit Erfolg verwendet werden, wo ein Prüfdorn nicht angebracht werden kann.

- 7 142A. Lorenz. Conception nouvelle des pompes à vide mécaniques. Vide, Paris 14, 121-127, 1959, Nr. 81. (Mai/Juni.) (Hanau, W. C. Heraeus GmbH.) Auf einer mittels Elektromotor betriebenen Welle sitzen azentrisch und um 180° gegeneinander versetzt zwei Kolben (beider Länge 2:1). Die Pumpwirkung wird meist in zwei Stufen erreicht. H. Ebert.
- 7-143 Roger E. Little and J. D. McKinley jr. On-off temperature control for electrically heated filaments. Rev. sci. Instrum. 29, 1143-1144, 1958, Nr. 12. (Dex.) (Washington, D. C., Nat. Bur. Stand.)
- 7-144 C. T. Tomizuka and D. Zimmerman. Improvement on a simple temperature controller. Rev. sci. Instrum. 30, 40, 1959, Nr. 1. (Jan.) (Chicago, Ill., Univ., Inst. Study Met.) Schön.
- 7-145 P. L. Start and M. W. Thring. Design of laboratory furnaces. J. sci. Instrum. 37, 17-24, 1960, Nr. 1. (Jan.) (Sheffield, Univ., Dep. Fuel Technol. Chem. Engng.) Behnsch.

- 7-146 D. A. Patterson and H. S. Goulart. Small oven for high-temperature optical measurements. Rev. sci. Instrum. 29, 1141-1142, 1958, Nr. 12. (Dez.) (Washington, D. C., U. S. Naval Res. Lab.)
- 7-147 P. L. Moody and C. Kolm. Syringe-type single-crystal furnace for materials containing a volatile constituent. Rev. sci. Instrum. 29, 1144-1145, 1958, Nr. 12. (Dez.) (Lexington, Mass., Inst. Technol., Lincoln Lab.) Schön.
- 7-148 A. R. Miedema, H. Postma and M. J. Steenland. Very low temperatures obtained by indirect cooling. Physica 24, S. 180, 1958, Suppl. (Sept.) (Leiden, Kamerlingh Onnes Lab.) V. Weidemann.
- 7-149 Charles J. Bronco. Robert M. St. John und R. G. Fowler. Pyrex demountable photomultiplier refrigerator. Rev. sci. Instrum. 29, 1145-1146, 1958, Nr. 12. (Dez.) Norman, Okla., Univ., Dep. Phys.)
- 7–150 Jaroslav Janák und Karel Tesařik. Automatisierung des Gaschromatographen für Volumenmessung. Z. anal. Chem. 164, 62-69, 1958, Nr. 1. (S. B.) (Brno (Brünn), Tschechosl. Akad. Wiss., Lab. Gasanalyse.) Es werden bisherige Arbeiten, die sich mit ler Ausführung des Gaschromatographen mit direkter Volumenabmessung der einzelnen Fraktionen befaßt haben, beurteilt. Die Automatisierung der Meßvorrichtung wird eschrieben, die den Austritt der Fraktionen unter konstantem Druck registriert. Der utomatisierte Gaschromatograph ist sowohl für die technische Kontrolle von Kohlenvasserstoffgasgemischen, als auch für die anspruchsvollere Kontrolle von Verunreini-Kirchner. ungen in Gasen geeignet.
- -151 J. van Katwijk. Erfahrungen mit der Automatisierung der massenspektronetrischen Gasanalyse. Z. anal. Chem. 164, 73-80, 1958, Nr. 1. (S. B.) (Amsterdam, Koninklijke/Shell-Lab.) Die Apparatur und der Analysengang für die massenspektronetrische Analyse von Gasgemischen mit bis zwanzig Komponenten unter Benutzung ines "analog-to-digital-converter" und einer elektronischen Rechenmaschine werden bechrieben. Ein Vergleich dieser Methode mit der normalen massenspektrometrischen nalyse mit photographischer Registrierung ergab, daß sie bei gleicher Genauigkeit den orteil größerer Schnelligkeit hat.

1960

- 7-152 O. Koch. Die Entwicklung und Anwendung physikalischer Meßmethoden in der amerikanischen chemischen Industrie. Bericht über Eindrücke von einer Studienreise int den USA. Chem.-Ing.-Tech. 30, 181-187, 1958, Nr. 3. (März.) (Leverkusen, Farbenfabr. Bayer.) Vf. berichtet über die besonders in der amerikanischen chemischen Industrie bemerkenswerte weite Anwendung und Neuentwicklung von physikalischen Meßmethoden für Labor und Betriebszwecke. Es wird über die Konstruktion und Verwendung folgender Meßgeräte berichtet: Farbmeßgeräte für die Farbkontrolle der Produktion von Farbstoffen, Pigmenten und Fertigprodukten; registrierende und regelnde Refraktometer, Colorimeter und Spektralphotometer; Gaschromatographen; RAMANSpektrometer; Wasserdampfmeßgeräte; Ultraschall-Durchflußmesser. Zwei neue Methoden der Hochfrequenzspektroskopie, die magnetische Kernresonanz und die paramagnetische Elektronenresonanz werden kurz beschrieben.
- 7-153 P. Jaulmes et R. Mestres. Sur la théorie de la chromatographie en phase gazeuse. J. Chim. phys. 56, 920-932, 1959, Nr. 11/12. (Nov./Dez.) (Montpellier, Univ., Fac. Pharm.) Es wird eine Theorie der Austauschchromatographie im System Gas-flüssig entwickelt. Dabei wird angenommen, daß die Säule ein poröses Material enthält, das mit einem nicht flüchtigen Lösungsmittel, der unbeweglichen Phase, getränkt ist. Die Theorie beruht auf der gleichen Grundlage wie eine früher entwickelte der Rektifikation und der Wasserdampfdestillation. Die Formeln erfordern die Kenntnis von nur zwei Parametern, von denen der erste die Säule und der zweite die zu chromatographierende Substanz und das unbewegliche Lösungsmittel charakterisiert. Beide sind unter gewissen Bedingungen bestimmmbar. Es kann also vorausgesagt werden, wie eine Trennung verlaufen wird; das beste Lösungsmittel und die geeignete Temperatur können gewählt werden.
- 7-154 H. R. Bachmann und F. X. Eder. Ein vereinfachtes Aufzeichnungsverfahren nach dem Rasterprinzip. Exp. Tech. Phys. 7, 187-191, 1959, Nr. 4. (Berlin, Humboldt-Univ., III. Phys. Inst.) Auf einem Kathodenstrahloszillographen wird ein mehrzeiliges Raster (ähnlich einem Fernschbild) geschrieben und mit einer Kinokamera so aufgenommen, daß während einer Hellphase der Kinoaufnahme gerade ein vollständiges Rasterbild gezeichnet wird. Dieses Verfahren ermöglicht eine hohe Schreibgeschwindigkeit bei tragbarem Filmverbrauch, es ist aber nur für in größerer Anzahl und statistisch verteilt auftretende Meßvorgänge brauchbar, da alle Vorgänge nicht registriert werden, die in die Dunkelphase der Kinoaufnahme fallen. Auf eine Synchronisation zwischen Zeilen- und Bildkippung kann dabei verzichtet werden. Zur weiteren Vereinfachung der Schaltanordnungen wird das Raster sinusförmig geschrieben.

H. R. Bachmann.

- 7-155 George Keinath. Recorder survey. Recording surfaces and marking methods. Circ. nat. Bur. Stand. 1959, Nr. 601, (1. Sept.) S. 1-41. Es wird ein ausführlicher Überblick über die verschiedenen Schreib- und Registrierverfahren gegeben, wie sie in der Mcßtechnik Verwendung finden. Besprochen werden die unterschiedlichen Papiersorten (abwaschbares, transparentes und Wachspapier), die Form des Papiers (Streifen, Kreisblatt, Schleife, Möbiussches Band) und die Schreibmittel (Tinte, Spritzfedern, Kohlepapier). Außer den Direktschreibverfahren werden die photographische, thermische, chemische, magnetische, elektrische und Ultraschall-Aufzeichnung beschrieben. Kallenbach.
- 7-156 A. C. Simon and D. A. Gildner. Microscope attachment for accurate microdrilling and the removal of analytical samples from small areas. Rev. sci. Instrum. 29, 1125—1128, 1958, Nr. 12. (Dez.) (Washington, D. C., U. S. Naval Res. Lab.)
- 7-157 Imre Vida. Hole-boring in glass. Rev. sci. Instrum. 30, 47, 1959, Nr. 1. (Jan.) (Norman, Okla., Univ., Phys. Dep.) Schön.
- 7–158 **F. Brischnik.** Ein berührungsloser elektronischer Abstandsmesser. Brown Boveri Mitt. **45**, 529–532, 1958, Nr. 11/12. (Nov./Dez.) Das beschriebene Gerät, das mit Hilfe einer Sondenkapazität Abstandsänderungen bis herab zur Größenordnung 10⁻³ mm mißt, ist speziell zur Untersuchung der Unrundheit umlaufender Maschinenteile entwickelt

und mit Hilfseinrichtungen versehen, um die periodischen Abstandsänderungen abschnittsweise im Kathodenstrahloszillographen als stehendes Bild sichtbar zu machen. Schreuer.

IV. Mathematische Physik

7-159 I. I. Zinnes. Hidden variables in quantum mechanics. Amer. J. Phys. 26, 1-4, 1958, Nr. 1. (Jan.) (Norman, Okla., Univ.)

7-160 Mario Verde. The inversion problem in wave mechanics and dispersion relations. Nuclear Phys. 9, 255-266, 1958/59, Nr. 2. (Dez.) (Torino, Univ., Ist. Fis., Ist. Naz. Fis. Nucl.) Es wird eine Methode der Ableitung der Gelfand-Levitan-Integralgleichung zur Bestimmung einer Wechselwirkung aus dem Spektrum des Hamilton-Operators angegeben, die sich unmittelbar auf die Dirac- und Klein-Gordon-Gleichungen übertragen läßt. Man erhält so eine natürliche Verallgemeinerung der Dispersionsbeziehungen für endliche Abstände.

7-161 **H. Mendlowitz.** Simplified approach to spin in Dirac theory. Amer. J. Phys. 26, 17-24, 1958, Nr. 1. (Jan.) (Washington, D. C., Nat. Bur. Stand.)

7-162 Harold V. McIntosh. On accidental degeneracy in classical and quantum mechanics. Amer. J. Phys. 27, 620-625, 1959, Nr. 9. (Dez.) (Baltimore, Maryl, RIAS.) Schön.

7-163 Julian Schwinger. Field theory commutators. Phys. Rev. Letters 3, 296-297, 1959, Nr. 6. (15. Sept.) (Cambridge, Mass., Harvard Univ.) Vf. bespricht einige zwischen den formalen Kommutationsbeziehungen und der Natur des Energiespektrums zu findende Widersprüche und zeigt, daß lokalisierte Feldoperatorprodukte als singulärende Grenzfälle von Produkten aufgefaßt werden müssen, die für nicht koinzidierende Punkte definiert sind.

7-164 E. M. Bruins. Configurations in quantum mechanics. Physica 25, 905-908, 1959, Nr. 10. (Okt.) (Amsterdam, Univ., Math. Inst.) Behandlung der Spinoralgebra als projektiven Linienkomplex. Es wird gezeigt, daß die 16 Punkte ψ , $\gamma_{\mu}\psi$, $\gamma_{\mu}\gamma_{\nu}\psi$ eine Kummersche Konfiguration in P_4 bilden. Davon ausgehend können alle Formeln und Identitäten zwischen Spinoren und γ -Matrizen in anschaulicher und einfacher Weise ohne größeren Aufwand hergeleitet werden.

Behnsch.

7-165 G. Heber. Feldgleichungen für nichtlokalisierbare Felder. Nuovo Cim. (10) 12, 553-563, 1959, Nr. 6. (16. Juni.) (Jena, Univ., Theor.-Phys. Inst.) Vf. hatte in zwei früheren Arbeiten (Heber, Ber. 37, 2032, 1958) den Meßprozeß von Feldgrößen mit Hilfe von der Quantenmechanik zu unterwerfenden Probekörpern untersucht. Das wesentlichste Ergebnis war, daß der Operator ξμ des Schwerpunktes des Probekörpers nicht mit der zu messenden Feldgröße kommutiert, d. h. daß statt Feldoperatoren in einem Punkt nur gewogene Mittelwerte gemessen werden können und auch die nur unscharf. Das Ziel der Untersuchungen ist, eine Formulierung der Feldtheorie zu finden, in der nur real meßbare Größen auftreten, oder in der die untersuchten Meßbarkeitsbeschränkungen enthalten sind. Vf. geht in der vorliegenden Arbeit mit Hilfe des Cartanschen Kalküls der Differentialformen zu einer integralen Formulierung der Feldgleichungen über, die er als direkt nachmeßbar ansieht. In diese kann er auf plausible Weise die ξ_μ einbauen und wieder zur differentiellen Form zurückgehen. Ursprüngliche und neue Feldgleichungen werden verglichen. Im Falle der Elektrodynamik ändern sich die Gleichungen nicht, jedoch werden die Vertauschungsrelationen der Feldgrößen zu q-Zahlen.

7-166 J. Rzewuski. Geometrical interpretation of conservation laws in the spinor space. Bull. Acad. polon. Sci. (math. astr. phys.) 7, 571-576, 1959, Nr. 9. (Wrocław, Univ., Inst. Theor. Phys.) Energie-Impuls- und Drehimpulserhaltung haben ihren Ursprung in Homogenität und Isotropie der Raum-Zeit. Bei allen anderen Erhaltungsgrößen fehlt eine solche geometrische Interpretation. Vf. nimmt als Schauplatz der physikalischen Vorgänge den Spinorraum (zweidimensionaler Darstellungsraum der uni-

modularen Gruppe und ihrer konjugiert komplexen). Davon ausgehend kann zunächst die Frage beantwortet werden, ob es Gruppen mit demselben Darstellungsraum gibt, die mit der unimodularen kommutieren, d. h. was für weitere Erhaltungsgrößen es gibt. Daraus gelingt es, eine Korrespondenz zwischen Elementarteilehen und den Darstellungen der vollen Gruppe (direktes Produkt aller derartigen Gruppen) herzustellen und eine geometrische Interpretation aller Erhaltungssätze zu gewinnen, auch Energie-Impuls und Drehimpuls. Einschränkende Bedingungen für die möglichen Darstellungen werden angegeben. Es wird gezeigt, daß der Spinorraum der einzige ist, der alle Erhaltungssätze liefert.

7-167 J. Lukierski. On the interpretation of isovector components. Bull. Acad. polon. Sci. (math. astr. phys.) 7, 577-581, 1959, Nr. 9. (Wrocław, Univ., Dep. Theor. Phys.) Geometrie im Darstellungsraum der PAULI-GÜRSEY-Gruppe A'. Ableitung von Beziehungen, die aus der Vertauschbarkeit mit der 6 parametrigen eigentlichen LORENTZ-Gruppe folgen.

Behnsch.

M. A. Braun. Zur Definition des Potentials in der Quantenfeldtheorie. Sh. exp. theor. Fis. 37, 816-822, 1959, Nr. 3. (Orig. russ.) Trotz vieler Arbeiten über die Wechselwirkung von Teilchen mittels eines effektiven Potentials (z. B. KLEIN, Progr. theor. Phys. 20, 257, 1958) ist das Problem der Definition und Konstruktion dieses Potentials in der Quantenfeldtheorie ungelöst. Vf. hält alle angegebenen Konstruktionsverfahren für unbefriedigend: Einige sind wesentlich grobe Näherungen (z. B. Teilchen fixiert, ihre Energie beim gegebenen Abstand als Potentiale betrachtet); andere liefern ein energieabhängiges Potential, das sich nicht in die übliche Schrödinger-Gleichung einbauen läßt; die Methoden zur Beseitigung dieser Energieabhängigkeit scheinen gekünstelt, kompliziert und wenig wirksam. Vf. untersucht die Definition des Potentials im Zusammenhang mit den Beschränkungen, welche der Übergangsamplitude durch die Forderung nach Orthonormalität und Vollständigkeit der Zustandsfunktionen für nichtwechselwirkende und wechselwirkende Teilchen auferlegt werden. Er geht dabei von dem Gedanken von Nowoshilow (J. exp. teor. Fis. 35, 742, 1958) aus, daß ein energieunabhängiges Potential mit Hilfe einer nichtlinearen Integralgleichung für die Übergangsamplitude gewonnen werden kann. Es wird nachgewiesen, daß das so konstruierte Potential die Streuung von Teilchen in einem Energiegebiet richtig beschreibt, wo noch keine neuen Teilchen erzeugt werden; auch die gebundenen Zustände werden richtig wiedergegeben. Die angegebenen expliziten Formeln präzisieren die von Nowo-SHILOW, allerdings nicht für das Nukleon-Nukleon-Potential, das wegen der mit dem Abstand zu stark abhängigen Korrekturglieder so noch nicht erfaßbar ist. Das gewonnene Potential ist jedoch nicht eindeutig: Für kleine Abstände bestehen Unterschiede zwischen den möglichen Formen; auf Grund der Problemstellung ist auch gar keine Eindeutigkeit zu erwarten.

7-169 David J. Thouless. Single-particle energies in the many-fermion system. Phys. Rev. (2) 114, 1383—1390, 1959, Nr. 6. (15. Juni.) (Berkeley., Calif., Univ., Lawrence Radiat. Lab.) Unter Verwendung der Störungstheorie und unter besonderer Berücksichtigung der Bruecknerschen Methode untersucht Vf. den Grundzustand eines Mehrfermionensystems und die Einteilchenpropagatoren im Systemgrundzustand und findet Beziehungen zwischen Einteilchenenergien, wie sie z. B. im optischen Modell der Kernreaktionen verwendet werden, und den Bruecknerschen self-consistent-Energien. Diese Untersuchung führt zwanglos auf die Verwendung eines Renomierungsfaktors zur Berücksichtigung der Fortpflanzung außerhalb der Energieschale. Die Störungstheorie läßt sich völlig als Funktion von Graphen ohne Fermionenselbstenergieteile formulieren, eine Methode, die zur Prüfung der in diesem Problem verwendeten Näherungen und zur Verknüpfung der Berechnungen der Grundzustandsenergie mit anderen Eigenschaften des Grundzustandes dient.

7-170 Roger G. Newton. Threshold properties of scattering and reaction cross sections. Phys. Rev. (2) 114, 1614-1618, 1959, Nr. 6. (15. Juni.) (Bloomington, Ind., Univ.) Das Verhalten von elastischen und inelastischen Streuquerschnitten an der Schwelle eines neuen Kanals wird aus allgemeinen Prinzipien abgeleitet. Die Ergebnisse eignen sich in gewissen Fällen für eine experimentelle Bestimmung der Spins und Paritäten

ler Reaktionsprodukte und nicht direkt beobachtbarer Streuamplituden und inelastischer Wirkungsquerschnitte. Es wird eine Λ nzahl von speziellen Fällen behandelt, deren Ergebnisse z.B. auf die Streuung von α-Teilchen, Protonen oder Deuteronen lurch Kerne an der Schwelle der Neutronen- oder neutralen π-Mesonenemission angewendet werden können.

- 7-171 A. A. Logunov and L. D. Solovyov. Dispersion relations for virtual photoproduction. Nuclear Phys. 10, 60-70, 1959, Nr. 1. (Febr.) (Dubna, USSR, Joint Inst. Nucl. Res., Lab. Theor. Phys.; Moscow, State Univ.) Die Elektron-Nukleon-Streuung, bei der ein Pion erzeugt wird, kann in niedrigster Ordnung bezüglich e als Emission ines Photons durch das Elektron und Wechselwirkung zwischen Nukleon und Photon nit Erzeugung eines Pions beschrieben werden. Für die Amplitude des "virtuellen Photoerzeugungsprozesses" werden Dispersionsbeziehungen diskutiert unter der Annahme, daß bei hohen Energien diese Amplitude energieunabhängig ist. Die auf Grund lieser Annahme in den Dispersionsbeziehungen auftretenden Konstanten können wegen der Eichinvarianzbedingung eindeutig durch Integrale des Imaginärteils der Amplitude ausgedrückt werden.
- A. A. Logunov. On the theory of dispersion relations for virtual processes. Nuclear Phys. 10, 71-81, 1959, Nr. 1. (Febr.) (Dubna, USSR, Joint Inst. Nucl. Res., Lab. Theor. Phys.) Die in der Arbeit von Logunov und Solovyov (vorst. Ref.) unteruchten Dispersionsbeziehungen für den Prozeß der "virtuellen Photoerzeugung" verden abgeleitet. In diese Beziehungen gehen Funktionen ein, die die elektromagnetiche Struktur des Nukleons charakterisieren, so daß ein Vergleich mit den experimenellen Daten über die Pionenerzeugung durch Elektronen Aussagen über den elektronagnetischen Formfaktor des Nukleons gestattet. Wiedecke.
- '-173 D. I. Blohinčev, V. S. Barašenkov and B. M. Barbašov. Nucleon structure and pion-pion interaction. Nuovo Cim. (10) 12, 602-610, 1959, Nr. 6. (16. Juni.) (Dubna, oint Inst. Nucl. Res.) Das Nukleon wird in erster Näherung als Verteilung über einen Bereich $\alpha \sim \hbar/Mc$ angesehen, der als Mesonenquelle wirkt. Ladungsverteilung ρ_π ınd Dichte des magnetischen Moments der Pionenwolke werden in einer Näherung beechnet, die einen Ein-Pionen-Zustand berücksichtigt. Die Oberfläche des Nukleons st als Gültigkeitsgrenze für diese Näherung definiert. ho_{π} hängt wesentlich vom Formaktor der Quellverteilung ab, für den $\mathrm{V}(\omega) = \exp\left[-\beta\left(\omega-1\right)
 ight]$ angesetzt wurde. β vurde so gewählt, daß die P-Phase für π-Nukleonenstreuung am besten auf das Exeriment paßt ($\beta = 1/7$). Die Ladungsverteilung des Neutrons oszilliert etwas in der lähe von Null und besitzt einen kleinen elektrischen Radius. Die Werte für $<{
 m r_{me}}>^2$ timmen mit denen von Hofstadter überein. Bei π -Nukleonstreuung kann man bei inem Stoßparameter b $> \hbar/\mathrm{m_\pi c}$ die Streuung als Wechselwirkung zwischen virtuellen nd ankommenden Pionen auffassen. Der Querschnitt wird abgeschätzt, und der experinentelle π-Absorptionskoeffizient wird mit dem aus dem optischen Modell verglichen.
- -174 S. Watanabe. Geometrical generalization of γ_5 -invariance. Nuovo Cim. (10) 13, 44-147, 1959, Nr. 1. (Juli.) (Yorktown Heights, N. Y., IBM Res. Lab.) Die Vierpinor-Wechselwirkung vom V-A-Typ ist invariant gegen die Transformation $\psi \rightarrow \exp$ α] $\gamma_5 \psi$, $\psi \to \exp{[-i\alpha]} \bar{\psi} \gamma_5$ (für jeden Spinor einzeln). Die entsprechenden freien elder sind nur invariant, wenn gleichzeitig m durch —m ersetzt wird. Elektronagnetische und π -Nukleonenwechselwirkung bleiben invariant, wenn $A_{\mu} \rightarrow -A_{\mu}$ und → -u. Vf. wiederholt seinen alten Vorschlag, den Minkowski-Raum durch eine numartige fünfte Koordinate x_5 zu ergänzen. Die kanonisch konjugierte zu x_5 sollte ie Masse sein. Inversion von ${
 m x_5}$ entspricht gerade der ${
 m \gamma_5}$ -Transformation. Alle freien AGRANGE-Funktionen sind nun vollständig invariant gegen Drehungen und Inversionen n 5-Raum. Volle 5-Invarianz wird als Selektionsprinzip für die "richtigen" Wechselirkungen benutzt. Starke, mittlere und schwache Wechselwirkungen können jetzt urch ihre Symmetrie bei kongruenten Transformationen und x5-Inversionen charak-Behnsch. erisiert werden.
- -175 E. Kazes. Generalization of the Levinson-Jauch theorem to an arbitrary number ^c channels. Nuovo Cim. (40) **13**, 983-987, 1959, Nr. 5. (1. Sept.) (Madison, Univ.

Wisconsin.) JAUCH gab einen allgemeinen Beweis der Beziehung zwischen gebundenen Zuständen und den Phasen für Potentialstreuung. Vf. zeigt, daß dieser Beweis auf Systeme verallgemeinert werden kann, die eine endliche Anzahl von Kanälen besitzen und auf Fälle, bei denen der freie und der vollständige Hamilton-Operator verschiedene stationäre Einteilchenzustände haben. Es besteht eine einfache Beziehung zwischen den beiden H-Operatoren und der Determinante und Spur der S-Matrix. Behnsch.

7-176 P. Michel Duffieux. Le photon entre l'onde et le corpuscule. Rev. Opt. (théor. instrum.) 38, 563-568, 1959, Nr. 12. (Dez.) (Besançon, Univ.) Vf. analysiert die theoretischen und die experimentellen Aspekte des Wellen-Teilchen-Dualismus: Einerseits ist dieser Dualismus mit der Diskrepanz zwischen "transzendenten" oder geometrischen und "operativen" Definitionen verknüpft; während der in transzendenten Definitionen enthaltene Betrag an Information unendlich ist, liefern Experimente immer nur endliche Informationsbeträge. Andrerseits äußert sich der Dualismus in der Gegenwart einer "Lücke" zwischen zwei experimentellen Gruppen, die nicht durch sie verknüpfende Experimente koordinierbar sind, nämlich der "energetischen" Gruppe, die durch Abzählung von Individuen zum Teilchenbild führt, und der "kinematischen" Gruppe, zu der die Fortpflanzung des Lichts ohne Energieaustausch gehört und die auf Kosten eines Verlustes der Elementarindividuen nur durch statistische Gesetze beschreibbar ist. Versuche einer Axiomatisierung des Dualismus hält Vf. für verfrüht.

7-177 N. N. Bogoljubow, A. A. Logunow und D. W. Schirkow. Die Methode der Dispersionsbeziehungen und die Störungstheorie. Sh. exp. teor. Fis. 37, 805-815, 1959, Nr. 3. (Orig. russ.) Die Arbeit schließt in Thematik und Ergebnissen an eine Untersuchung von REDMOND (Phys. Rev. 112, 1404, 1958) über die Eliminierung nichtphysikalischer Pole aus der Greenschen Funktion an, Während REDMOND sich aber auf eine Verknüpfung der Spektraldarstellungen für die Greensche Funktion und den Polarisationsoperator stützt, gehen Vff. von einem Summationsprinzip für die Informationen aus, die sich aus der Störungstheorie ergeben (KÄLLEN-LEHMANNSches Spektralintegral). Summiert man so die Beiträge der "logarithmischen Hauptgraphen", erhält man Ausdrücke für die Ausbreitungsfunktion des Photons in der Quantenelektrodynamik und die Ausbreitungsfunktion des Mesons in der symmetrischen Theorie, die alle wesentlichen Eigenschaften der REDMONDschen Ergebnisse besitzen: Ein richtiges analytisches Verhalten in der komplexen Ebene der Impulsvariable p² und eine Singularität hinsichtlich der Variablen e2 (Quadrat der Ladung) im Punkt e2 = 0. Im Unterschied zu REDMOND, der nur die niedrigste Ordnung der Störungstheorie richtig erhält, entsprechen die Ausdrücke der Vff. aber Gliedern beliebiger Ordnung der Störungsreihe im Gebiet großer p². Durch Berücksichtigung der niedersten logarithmischen Glieder wird gezeigt, daß das Anwendungsgebiet der neuen Formeln identisch ist mit dem der älteren Formeln mit logarithmischen Singularitäten und daß es durch die Bedingung einer kleinen invarianten Ladung begrenzt wird. Am Beispiel der Greenschen Funktion des Photons wird das Reduktionsverfahren auf renormierungs-invariante Form veranschaulicht. Den Schluß bilden einige Überlegungen über nichtrenormierbare Theorien.

7-178 A. M. Brodski und D. D. Iwanenko. Zusammenhang von Isospin und strangeness mit dem Verhalten von Spinoren gegen Inversion. Sh. exp. teor. Fis. 37, 876-877, 1959, Nr. 3. (Orig. russ.) Gewöhnlich behandelt man die Isotopie- und strangeness-Eigenschaften in einem Isoraum von 2, 2 oder 4 Dimensionen, manchmal unter Zulassung von Übergängen in einen pseudoeuklidischen Raum. Man kann aber auch versuchen, diese Eigenschaften in einem üblichen Raum zu behandeln, wobei man bisher unbenutzte Möglichkeiten für verschiedenes Verhalten von Spinoren gegenüber Inversionen und eine Verletzung der Paritätserhaltung berücksichtigt. Die hier vorgeschlagene Deutung ist eine Weiterentwicklung früherer spezieller Überlegungen, angefangen von Yang-Tiomno, (Phys. Rev. 79, 495, 1950) Salam (Proc. 7-th Rochester Conf. 1957) bis Brodski-Iwanenko (Ber. Nr. 1-188). Spinoren können sich sowohl bei räumlicher als auch bei zeitlichen Spiegelungen verschieden verhalten, wobei die Transformations-Matrizen sich durch die Faktoren -1, i, γ5 oder ihre Transformierten unterscheider

können. So entstehen paarweise verschiedene Spinordarstellungen der LORENTZ-Gruppe, die teilweise unitär äquivalent sind (sich aber gegen Ladungskonjugation verschieden verhalten). Es ergeben sich so Indizes N, S und Y, die sich verhalten wie eine Baryonenzahl, eine strangeness- bzw. eine Hyperladung; ferner erhält man neue Erhaltungssätze (streng genommen Erhaltungssätze einer Kongruenz hinsichtlich eines bestimmten klein-ganzzahligen Moduls): N bleibt streng erhalten, S und Y bleiben erhalten, wenn nur Invarianz gegen geometrische Inversion vorliegt. Die gleichzeitige Verletzung der Erhaltung von P, S und Y (P: Parität) läßt sich so verstehen.

7-179 L. D. Solowjow und G. N. Tentjukowa. Numerische Lösung der statischen Dispersionsbeziehungen für die P-Welle bei der Photoerzeugung. Sh. exp. teor. Fis. 37, 889-890 1959, Nr. 3. (Orig. russ.) Vff. haben eine exakte numerische Lösung der statischen Dispersionsbeziehungen nach CHEW (Ber. 37, 986, 1958) und LOGUNOW (Ber. 38, 1684, 1959) für die p-Amplitude der Photoerzeugung aufgestellt. Dabei wurde die von Omnes (Nuovo Cim. 7, 316, 1958) angegebene Methode der Reduktion linearer singulärer Integralgleichungen auf reguläre FREDHOLM-Gleichungen benutzt. Diese Reduktion (die im Fall der Streuung nicht eindeutig ist) wird eindeutig unter folgenden Bedingungen: Die Streuphasen an der Schwelle und im Unendlichen verschwinden, 2. Die Lösung der regulären Gleichung ist beschränkt und hat im Unendlichen den gleichen Wert wie die der singulären. Für die Phasen wurden Werte nach den statistischen Gleichungen von Chew-Low angenommen; diese wurden elektronisch integriert. Auch die Lösung der regulären Gleichungen für die Photerzeugung durch sukzessive Approximation erfolgte elektronisch. Die Lösungen für die Quadrupolamplituden und die e-Anteile der magnetischen Dipolamplituden verhalten sich qualitativ wie Produkte der entsprechenden Bornschen Glieder mit cos δ , die μ -Anteile der magnetischen Dipolamplituden verhalten sich wie q^{-3} sin δ . Ein Meson, das bei der Wechselwirkung eines Photons mit einem statischen magnetischen Moment eines Nukleons erzeugt wird, erfährt also immer eine Sekundärstreuung. Ferner zeigt sich, daß die elektrische Dipolamplitude in der statischen Näherung nicht von den magnetischen Momenten abhängt. Zum ersten Vergleich mit dem Experiment wurde der vollständige Ausdruck für die Photoerzeugungsamplitude unter Berücksichtigung der Korrekturen für die Erzeugung von π^0 -Mesonen pestimmt. Die experimentellen Werte zwischen 160 und 260 MeV liegen bedeutend besser auf der exakten theoretischen Kurve als auf der genäherten nach CHEW. Abweichungen für hohe Energien scheinen auf relativistischen Effekten zu beruhen.

7–180 Yasusi Ataka. The pion-nucleon S-wave scattering, the structure of the nucleon and the composite model of baryons and mesons. Progr. theor. Phys., Kyoto 22, 321-334, 1959, Nr. 3. (Sept.) (Osaka, Kinki, Univ., Dep. Phys.) Da es unmöglich erscheint, die Pionen-Nukleonen-s-Wellen-Streuung im Rahmen der Mesonentheorie zu erklären, chlägt Vf. vor, dieses Phänomen mit Hilfe des statistischen Pronen-Potentials mit gerigneter Isospin-Abhängigkeit zu deuten. Hierbei sollen die folgenden Charakteristika les Fermi-Yangschen Pionen-Modells herangezogen werden: 1. Pionen stellen geoundene Zustände eines Nukleons und eines Antinukleons dar; 2. zwischen Nukleon ind Antinukleon existiert ein anziehendes statisches Potential kurzer Reichweite und wischen Nukleon und Nukleon ein abstoßendes Potential kurzer Reichweite; 3. die Anzahl der Nukleonen und Antinukleonen bleibt unabhängig voneinander erhalten. Inter Verwendung dieses Modells erhält Vf. das statische Potential zwischen einem Pion und einem Nukleon. Wenn der Typ der Wechselwirkung vektoriell ist, dann längt das Pion-Nukleon-Potential entscheidend von der Ladung ab. In diesem Fall vird die Pion-Nukleon-Kraft im Zustand $\mathrm{I}=1/2$ anziehend, weshalb die gebundenen Justände von zwei Nukleonen und einem Antinukleon möglich sind. Näher betrachtet vird ein Zustand mit dem Isospin 1/2 und dem Spin 1/2 und diskutiert, wie das Modell uf jedes Baryon und Meson angewandt werden kann.

'-181 Reiji Sugano. Pseudoscalar coupling and S-wave pion-nucleon and kaon-nucleon cattering. Prog. theor. Phys., Kyoto 22, 381-395, 1959, Nr. 3. (Sept.) (Kyoto, Univ., Dep. Phys.) Nach Verwendung des Chew-Low-Formalismus untersuchte Vf. die ion-Nukleon-S-Wellen-Streuung für den Fall der YUKAWA-Wechselwirkung bei pseudoskalarer Kopplung. Es wird gezeigt, daß die S-Wellen-Amplitude der π -N-Streuung stark gedämpft ist im Vergleich zu den Ergebnissen der Störungstheorie. Dies rührt daher, daß die Matrixelemente zweiter Ordnung annulliert wurden und die Matrixelemente vierter Ordnung in der reduzierten Chew-Low-Gleichung als modifizierte Bornsche Terme erscheinen. Auf der gleichen Basis wurde die Photo-Pion-Erzeugung nahe der Schwellenenergie diskutiert. Für das Ladungsverhältnis der Photo-Pion-Erzeugung wurde bei der Schwellenenergie der Wert $\sigma(\pi^-p)/\sigma(\pi^+n)=2,27$ berechnet und ferner gezeigt, daß $\sigma(\pi^0p)<\sigma(\pi^0n)$ gilt. Der theoretische Wert für das Ladungsverhältnis ist größer als der experimentelle, der 1,87 \pm 0,13 beträgt. Ferner wurde gezeigt, daß bei den niederenergetischen K-N- und π -Y-Streuungen im Falle der ps-Kopplung die S-Wellen-Amplituden wesentlich verschieden sind von den π -N-Streuungen.

- Daisuke Ito, Miwae Yamazaki, Tetsuro Kobayashi and Kenju Mori. Pion production in pion-nucleon collision with assumption of strong pion-pion interaction. Progr. theor. Phys., Kyoto **22**, 448–451, *1959*, Nr. 3. (Sept.) (Tokyo, Univ. Eduacat., Dep. Phys.) Unter Verwendung des Modells der starken Pion-Pion-Wechselwirkung von KOVACS (Ber. 35, 392, 1956) behandelten Vff. das Problem der Pionen-Produktion bei Pionen-Nukleonen-Kollisionen, wobei die einfallenden Pionen eine Energie von 1,4 BeV besaßen. Zunächst sind die Wirkungsverteilungen der Nukleonen und Pionen graphisch dargestellt und mit den experimentellen Ergebnissen von Eisberg et al. (Ber. 35, 979, 1956) verglichen. Eine weitere Figur zeigt die Winkelkorrelation zwischen den zwei Pionen im Vergleich mit den Experimenten von Walker (Phys. Rev. 98, 1416, 1955). Die Impulsverteilungen der Pionen und Nukleonen und die Impuls-Winkelkorrelation der emittierten Pionen sind ebenfalls mit den Ergebnissen von Eisberg et al. vergleichend dargestellt. Für das Verzweigungsverhältnis $\{R=\sigma(p+\pi^-\to n+\pi^++\pi^-)/\{(\sigma(p+\pi^-\to p+\pi^-+\pi^0))\}\$ liefert das Kovacs-Modell den Wert R=8, demgegenüber steht der experimentelle Wert $R_{\rm exp}\approx 7$ bei 1,85 BeV nach WHITTEN und BLOCK (Ber. 38, 1913, 1959). Abschließend sind noch die Anteile der Partialwellen (Abhängigkeit von dem Bahndrehimpuls) an den Wirkungsquerschnitten des obigen Erzeugungsprozesses dargestellt. Kleinpoppen.
- 7-183 Kin-ichi Ishida. A note on the dispersion-theoretic approach to the one additional pion production by pion-nucleon collision. Progr. theor. Phys., Kyoto 22, 499-512, 1959, Nr. 4. (Okt.) (Yamagata, Univ., Fac. Liberal Arts Sci.) Es wird die Dispersions-relation bezüglich der dispersiven und absorptiven Teile für eine zusätzliche Pion-Erzeugung bei Pion-Nukleon-Kollision abgeleitet. Die retardierenden Matrixelemente sind auf der oberen Halbebene der komplexen Pion-Energie analytisch. Die abgeleitete Disperionsrelation wird als Integralgleichung für das Streumatrixelement benutzt. Numerische Berechnungen sollen in einer späteren Arbeit folgen.

 D. Schulz.
- 7-184 E. Brannen and W. Wehlau. Polarization and resolving time effects in photon correlation. Nature, Lond. 184, 263-264, 1959, Nr. 4682. (25, Juli.) (London, Canada, Univ. Western Ontario, Univ. Coll.)

 Heilig.
- 7-185 F. G. Sannikov. Approximations of the Thomas-Fermi function. Soviet Phys.-JETP 7, 1134—1135, 1958, Nr. 6. (Dez.) (Engl. Übers, aus: J. exp. theor. Phys., Moskau 34, 1650—1651, 1958, Juni.) Es wird eine neue Approximation der Thomas-Fermi-Funktion angegeben. Nach dem von Umeda angegebenen Maß für die Genauigkeit der approximativen Lösung ist diese Approximation besser als die Lösungen von Sommerfeld, Kerner, Tietz und Rosenthal.
- 7–186 Rodney Loudon. One-dimensional hydrogen atom. Amer. J. Phys. 27, 649–655, 1959, Nr. 9. (Dez.) (Oxford, Engl., Clarendon Lab.) Schön.
- 7-187 R. H. Ritchie. Interaction of charged particles with a degenerate Fermi-Dirac electron gas. Phys. Rev. (2) 114, 644-654, 1959, Nr. 3. (1. Mai.) (Oak Ridge, Tenn., Nat. Lab., Health Phys. Div.) Ausdrücke für die Selbstenergie und die Wechselwirkungs-

188 - 193

wahrscheinlichkeit geladener Partikel in einem entarteten Fermi-Dirac-Elektronengas werden angegeben in Verallgemeinerung der Theorie von Lindhard und Hubbard. Dabei werden die Wechselwirkungen zwischen den Elektronen im Gas in einer Störungstheorie 1. Näherung behandelt. Numerische Resultate für die Wechselwirkungswahrscheinlichkeit werden für einen speziellen Fall angegeben. Die Ergebnisse bei der Anwendung der Methode von Feynman stimmen mit denen der elementareren Näherung überein.

- 7-188 G. Dresselhaus. Exchange energy of an electron gas in a strong magnetic field. Phys. Rev. (2) 114, 736-738, 1959, Nr. 3. (1. Mai.) (Ithaca, N. Y., Cornell Univ., Dep. Phys.) Die Änderung der Austauschenergie eines freien Elektronengases im Magnetfeld wird durch Ableitung der Form des "Fermi-Loches" um jedes Elektron berechnet. Die benutzten Wellenfunktionen diagonalisieren die kinetische Energie. Die resultierende Ladungsverteilung wird integriert, um die Austauschenergie zu bekommen. Sie hat dieselbe Periodizität im reziproken Magnetfeld wie die kinetische Energie. Daraus wird geschlossen, daß der de Haas-van Alphen-Effekt von der Feldänderung der Austauschenergie nicht beeinflußt wird, mit Ausnahme einer möglichen Verschiebung der Phase der Schwingungen.
- 7-189 J. Korringa. Dispersion of electron waves in a random lattice. Physica 24, S. 171, 1958, Suppl. (Sept.) (Columbus, Ohio, State Univ.) V. Weidemann.
- 7-190 W. F. G. Swann. Certain matters in relation to the restricted theory of relativity, with special reference to the clock paradox and the paradox of the identical twins. I. Fundamentals. Amer. J. Phys. 28, 55-64, 1960, Nr. 1. (Jan.) (Swarthmore, Penn., Franklin Inst., Bartol Res. Found.)
- 7-191 Henry Zatzkis. Model of a linear harmonic oscillator in the general theory of relativity. Phys. Rev. (2) 114, 1645—1647, 1959, Nr. 6. (15. Juni.) (Newark, N. J., Coll. Engng., Math. Dep.) Vf. prüft das auf dem klassischen Modell einer um das Zentrum einer idealen Flüssigkeitskugel schwingenden Punktmasse beruhende Modell eines linearen harmonischen Oszillators in der allgemeinen Relativitätstheorie. Die Bewegung erweist sich als nicht mehr harmonisch. In erster Näherung tritt zwar noch Harmonizität auf, die Schwingungsperiode hängt jedoch sowohl von der Amplitude als auch von der Krümmung des Raumes ab. Beide Größen suchen die Bewegung zu verlangsamen. Im Grenzfall des flachen Raumes stellt sich wieder die klassische Frequenz ein.
- 7–192 B. E. Laurent. Note on Møller's energy-momentum pseudo-tensor. Nuovo Cim. (10) 11, 740–742, 1959, Nr. 5. (März.) (Stockholm, Univ.) Es wird gezeigt, daß Møllers Variationsverfahren zur Gewinnung des Energie-Impuls-Pseudotensors eines gravitationserzeugenden Materiefeldes dadurch vereinfacht werden kann, daß die aus dem Ricci-Skalar gebildete Dichte statt als Funktion der $g^{\mu\nu}$ sowie ihrer ersten und zweiten Ableitungen als Funktion der $g^{\mu\nu}$, der $\Gamma^{\alpha}\beta_{\gamma}$ und der $\Gamma_{\beta\gamma,\delta}$ betrachtet wird.

Trümper.

D. D. Iwanenko und N. W. Mickiewicz. Zur Berücksichtigung der Gravitationsenergie. Sh. exp. teor. Fis. 37, 868—869, 1959, Nr. 3. (Orig. russ.) Die Definition von Energie und Impuls des Gravitationsfeldes stößt auf die Schwierigkeit, daß die Kontinuitätsgleichung bei ihrer Formulierung durch das Verschwinden der üblichen, nicht aber der kovarianten Divergenz den Sinn eines physikalischen Erhaltungssatzes annimmt. Diese Art der Erhaltung bei Verschwinden der üblichen Divergenz bezeichnen Vff. als "exakte Erhaltung". Der von Einstein eingeführte exakt erhalten bleibende "Pseudotensor" der Energie-Impulsdichte des Gravitationsfeldes ist einerseits nicht allgemeinkovariant, andererseits hängt die mit seiner Hilfe definierte Energie wesentlich von der Wahl der Bezugssysteme ab, die durch rein räumliche Koordinatentransformationen bei fester Zeitachse verbunden sind. Der von Lorentz und Levi-Civitá vorgeschlagene Tensor sämtlicher Felder, für den auch exakte Erhaltung gilt, verschwindet infolge der Einsteinschen Gleichung überalt in der Raumzeit und kann daher keine tiefere physikalische Bedeutung haben. Bei der Neuformulierung des Noetherschen Satzes für das

Gravitationsfeld durch die Vlf. (MISKIEWICZ, Ber. 38, 808, 1959) ergeben sich Größen, die erhalten bleiben, verschieden von den Einsteinschen sind und, wie jetzt gezeigt wird, eng mit dem später eingeführten Møllerschen "Pseudotensor" zusammenhängen. Hierbei können Gravitations- und andere Felder einheitlich behandelt werden, speziell hinsichtlich der Definition von Größen mit Erhaltungssatz, wie des kanonischen Quasitensors der Energie-Impulsdichte, ebenso bei der Abtrennung des Spinanteils der Energieund Impulsgrößen. Der kanonische Energie-Impuls Quasitensor löst die erwähnten Schwierigkeiten in der Definition der Gesamtenergie.

W. I. Pustowoit. Über lineare Gravitationstheorien. Sh. exp. teor. Fis. 37, 870-871, 1959, Nr. 3. (Orig. russ.) Trotz der allgemeinen Anerkennung der Einsteinschen Theorie versucht man immer noch, das Gravitationsproblem auf andere Weise zu lösen, speziell durch lineare Theorien, die sich auf die übliche pseudoeuklidische Metrik stützen. In den linearen Theorien von BIRKHOFF, BELINFANTE u. a. ergeben sich in erster Näherung für die drei "kritischen Effekte" die gleichen Werte wie bei EINSTEIN. Diese Theorien stoßen aber auf ernste prinzipielle Schwierigkeiten, u. a. ist die Energiedichte des Gravitationsseldes nicht positiv desinit. Vf. sucht experimentell auffindbare Unterschiede zwischen beiden Gruppen von Theorien; bei der Rotverschiebung und der Krümmung des Lichtstrahls im Schwerefeld ist hierfür keine Aussicht: Sie werden durch Feldgleichungen gegeben, die in der linearen Näherung der allgemeinen Relativitätstheorie übereinstimmen. Unterschiede kann es nur in Effekten geben, die außer durch die Feldgleichungen auch durch die Bewegungsgleichungen gegeben werden, z. B. im Keplerschen Gesetz. So ergibt sich für die Azimutabhängigkeit der Winkelgeschwindigkeit eines Erdsatelliten mit großer Exzentrizität zwischen der EINSTEINschen und der Belinfanteschen Theorie optimal ein Unterschied 5 · 10-12 Radiant/s. Die Keplerschen Gesetze nach beiden Theorien unterscheiden sich erst in zweiter Näherung, so daß Abweichungen im dritten KEPLERschen Gesetz außerhalb der Meßmöglichkeiten liegen. In der Perihelverschiebung besteht aber ein vielleicht beobachtbarer Unterschied. Nach BELINFANTE wachsen außerdem große Halbachse und Exzentrizität mit der Zeit an (beim Merkur allerdings nur um 1 cm/Umlauf): Die Planetenbahnen sind bei BELINFANTE nicht stationär.

7-195 Seiya Aramaki. Dispersion relations and high energy limits in quantum field theory. Progr. theor. Phys., Kyoto 22, 485-491, 1959, Nr. 4. (Okt.) (Tokyo, Univ. Educat., Dep. Phys.) Mit den Dispersionsrelationen von Bogoliubov und Symanzik kann das im Titel genannte Problem bestimmt werden, wenn der Bosonenpropagator und die Amplitude der Pion-Nukleon-Vorwärtsstreuung keine Nullstelle in ihrer komplexen Energieebene haben. Mit Nambus Störungsrechnung wird das Ausschließen von Nullstellen diskutiert.

D. Schulz.

7-196 Geoffrey Builder. Resolution of the clock paradox. Amer. J. Phys. 27, 656-658, 1959, Nr. 9. (Dez.) (Sydney, Austr., Univ., School Phys.) Schön.

V. Mechanik

7-197 Alfred Braier. L'équation différentielle des trajectoires décrites par un point matériel dans un champ de forces. Bul. Inst. Polit. Iasi (NS) (rum.) (8) 4, 1958, Nr. 1/2, S. 103—112. (Jassy, Inst. Polytech.) Durch Angabe der Resultate in kartesischen Koordinaten elinimiert Vf. die Zeit und gewinnt eine Formel, welche den Zusammenhang zwischen einem Kraftfeld und der darin durch einen materiellen Punkt beschriebenen Trajektorie gibt. Das gleiche Problem ist im Jahre 1945 von STOENESCU für Polarkoordinaten gelöst worden. Er eliminiert gleichfalls die Zeit und gewinnt nach umfangreichen Rechnungen eine allgemeine Beziehung, die er die "verallgemeinerte BINETSCHE Formel" nennt.

E. Hess.

1960

7-198 N. Irimiciuc. Sur le mouvement relatif du solide dont la masse est variable. Bul. Inst. Polit. Iasi (NS) (rum.) (8) 4, 1958, Nr. 1/2, S. 113-120. (Orig. rum. m. franz. Zfg.) (Iasi, Rum., Inst. Politehnic., Lehrst. Mech.) Vf. gibt die allgemeinen Theoreme und Bewegungsgleichungen eines festen Körpers mit veränderlicher Masse in Beziehung zu einem Aufpunkt, der seinerseits in einem absoluten Koordinatensystem beweglich ist. Es wird dabei vorausgesetzt, daß sich der Schwerpunkt in dem Körper verlagert und daß das unveränderlich mit dem Körper verbundene Koordinatensystem beliebig angenommen werden kann.

7–199 0. Schmid und K. Schneider. Die Bestimmung der Dichte von feuerfesten Baustoffen. Beiträge z. angew. Glasforsch. 1959, S. 58–67. (Mainz, Schott u. Gen., Zentr.-Lab.) Zur Klärung der Frage, wie weit eine Zerkleinerung bei einzelnen Stoffen getrieben werden muß, um Werte für die Dichte angeben zu können, wird ein Auftriebsverfahren entwickelt, wobei das verwendete Pyknometer nur noch die Aufgabe hat, das Pulver bei der Auftriebsmessung in der Flüssigkeit zusammenzuhalten. Die Korngröße spielt bei Silikatsteinen für die Dichtebestimmung, sobald alle Körner kleiner als 0,25 mm sind, keine wesentliche Rolle mehr. Da bei Quarzgut meist zahlreiche Gaseinschlüsse vorhanden sind, ist hier eine weitgetriebene Feinung notwendig, ähnlich bei Schamotte. Es werden ohne Temperaturangaben mitgeteilt: Silika etwa 2,325, Quarzgut 2,20 und Schamotte 2,70 g/cm³.

7-200 C. Norman Cochran. Automatic recording vacuum microbalance. Rev. sci. Instrum. 29, 1135-1138, 1958, Nr. 12. (Dez.) (New Kensington, Penn., Alcoa Res. Lab.) Schön.

7-201 Rolf Reissig. Über die totale Stabilität erzwungener Reibungsschwingungen. Abh. dtsch. Akad. Wiss., Berlin 1959, Nr. 1, S. 5-28. Es werden die erzwungenen Bewegungen eines schwingenden Systems mit nichtlinearen Rückstell- und Dämpfungskräften und COULOMBscher Reibung untersucht und gezeigt, daß totale Stabilität besteht, wenn der dämpfende Einfluß groß genug und die Nichtlinearität der Rückstellwirkung begrenzt ist. Für den Fall einer linearen Feder-Charakteristik wird die Störung der Bewegung durch eine variable Verstimmung des Reibungskoeffizienten betrachtet und eine Schranke für die bleibende Abweichung des Ausschlags und der Geschwindigkeit berechnet. Diese Schranke gilt auch für den Fall je eines Koeffizienten für die Hattund für die Gleitreibung. Es wird so ein Schwingermodell erhalten, das dem tatsächlichen Verlauf der Festkörperreibung Rechnung trägt.

7-202 George Barnes. Study of collisions. Part I. A survey of the periodical literature. Part II. Survey of the textbooks. Amer. J. Phys. 26, 5-8, 9-12, 1958, Nr. 1. (Jan.) (Reno, Nevada, Univ.) Schön.

7-203 William Primak and Daniel Post. Photoelastic constants of vitreous silica and its elastic coefficient of refractive index. J. appl. Phys. 30, 779—788, 1959, Nr 5. (Mai.) (Lemont, Ill., Argonne Nat. Lab.; Urbana, Ill., Univ.) Die photoelastischen Konstanten und ihre Dispersion für sichtbares Licht wurden für "Corning" und "Herasil No. 1" bestimmt. Für λ 5461 Å waren die photoelastischen Konstanten 4,22 · 10⁻¹³ (d/cm²)⁻¹ für den ordentlichen und 3,56 · 10⁻¹³ (d/cm²)⁻¹ für den außerordentlichen Strahl. Der Druckkoeffizient des Brechungsindex wurde bestimmt zu 0,909 · 10⁻¹² (d/cm²)⁻¹.

7-204 E. W. Dickson and H. Strauch. Apparatus for the measurement of internal friction and dynamic Young's modulus at kilocycle frequencies. J. sci. Instrum. 36, 425-428, 1959, Nr. 10. (Okt.) (Hinxton Hall, Essex, Tube Investments Res. Labs.) Aufbau und Wirkungsweise einer Einrichtung zur Messung des dynamischen Elastizitätsmoduls und der Dämpfung durch innere Reibung bei verschiedenen Temperaturen und Frequenzen. Die kapazitiv in ihrer longitudinalen Grundschwingung erregten zylindrischen Proben sind zur Vermeidung äußerer Energieverluste im Vakuum untergebracht und im Bewegungsknoten gehaltert. Die innere Dämpfung wird aus der kapazitiv gemessenen Amplitudenabnahme nach abgeschalteter Erregung, der Elastizitätsmodul aus der Eigenfrequenz und den Stababmessungen ermittelt.

- 7-205 J. E. Gordon, A. T. K. Seville and D. M. Marsh. Polymer-type elasticity in non-polymer crystals. Nature, Lond, 181, 1678, 1958, Nr. 4624. (14. Juni.) (Cambridge, Hinxton Hall, Tube Investm. Res. Labs.) Messungen des Schubmoduls an 6 α -Hydrochinon-Kristallen ergaben als Mittelwert 0,430 · 106 lb/in². Dieser Wert liegt tiefer als der Schubmodul von Eis und von Hexamethylentetramin, das unter den nichtpolymeren organischen Substanzen einen der niedrigsten Modulwerte hat (in < 100 > Richtung 2,03 · 106 lb/in²). Die Mehrzahl der anorganischen Salzkristalle liegt beträchtlich höher. Der niedere Schubmodul von α -Hydrochinon, der bei Hochpolymeren gefundenen Schubmodulwerten entspricht, läßt sich verstehen, wenn man die von POWELL vorgeschlagene komplizierte Gitterstruktur zugrunde legt, die elastische Deformationen zuläßt, wie sie bei Hochpolymeren auftreten.
- 7-206 B.M. Strunin. Zur statistischen Theorie der Dehnung von Metallen. Doklady Akad. nauk SSSR 125. 790-793, 1959, Nr. 4. (Orig. russ.) Die statistische Theorie betrachtet die inhomogenen inneren Mikrospannungen, die infolge der Kornstruktur eines polykristallinen Metalles bei makroskopisch homogener, einachsiger Dehnung auftreten, als statistisch verteilte, dem Zufallsgesetz gehorchende Störungen. Diese Auffassung wird diskutiert: Bei einer plastischen Verfornung rührt der Widerstand gegen die Verformung von den im Mikrobereich auftretenden elastischen Verzerrungen her. Die plastische Verformung im Mikrobereich führt zur Verfestigung des Materials und zu einer Homogenisierung des mikroskopischen Spannungszustandes. Wenn die plastische Verformungsfähigkeit der maximal gespannten Mikrobereiche erschöpft ist bzw. die innere Mikrospannung die interatomare Festigkeit überschreitet, beginnt der Bruch.
- 7-207 G. B. Benedek. Deduction of the volume dependence of the cohesive energy of solids from shock-wave compression measurements. Phys. Rev. (2) 114, 467-475, 1959, Nr. 2. (15. Apr.) (Cambridge, Mass., Harvard Univ. Div. Engng., Appl. Phys.) Durch Anwendung der Mie-Grüneisen-Zustandsgleichung auf Messungen der Kompression von Festkörpern durch starke Stoßwellen ist es möglich, die Volumenabhängigkeit der Kohäsionsenergie zu bestimmen. Die Methode wird angewandt auf Be, Al, Co, Ni, Cu und Ag.

 Zehler.
- 7-208 Egon Pfende. Sichtbarmachung der Knotenlinien und Messung der Amplituden an schwingenden Metallplatten mit Hilfe des Interferenzmikroskops. Z. angew. Phys. 11, 464-466, 1959, Nr. 42. (Dez.) (Aachen, Rhein,-Westf. T. H., Inst. Werkstoffe d. Elektrotechn.) Zur Untersuchung mechanischer Resonatoren lassen sich die bekannten Chladdischen Klangfiguren mit einem Interferenzmikroskop sichtbar machen. Der optische Strahlengang im Mikroskop entspricht dabei dem in einem Michelson-Interferometer. Das Interferenzbild ist längs der Knotenlinien gut zu erkennen, während es sonst verwaschen erscheint. Der Vorteil der Methode besteht darin, daß sich die Resonanzfrequenz sehr genau ermitteln läßt, außerdem können auch die Schwingungsamplituden gemessen werden.
- 7–209 A. Balogh. New method for the calculation of the natural frequencies of torsional cibration. Acta tech. hung. 19, 311–332, 1957, Nr. 3/4. (Orig. engl. m. dtsch. Zfg.) Um die natürlichen Frequenzen ungedämpfter Torsionsschwingungen zu erhalten, wird die Schwingungsgleichung aus der in gewohnter Weise entwickelten Determinante der Schwingung errechnet. Aus dieser Determinante wird ferner eine neue vereinfachte Schwingungsgleichung entwickelt, deren Vorteile an einigen praktischen Beispielen gezeigt werden.

 E. Hess.
- 7-210 Alfred H. Nissan and H. G. Higgins. A molecular approach to the problem of viscoelasticity. Nature, Lond. 184, 1477—1478, 1959, Nr. 4697. (7. Nov.) (Troy, N. Y., Rensselaer Polytech. Inst., Dep. Chem. Engng.; South Melbourne, C. S. I. R. O., Div. Forest Prod.) Nach einer Theorie der Vff. werden die rheologischen Eigenschaften von Papier, Zellulose, Eis usw. von der Konzentration der Wasserstoffbrückenbindungen bestimmt. Der Young-Modul und die aus dem Spannungs-Dehnungs-Diagramm zu erhaltende Zerreißenergie werden an einer Zellulose in Abhängigkeit vom Grad der durch

Acetylierung blockierten OH-Gruppen untersucht. Das Grundkonzept der Theorie wird bestätigt, doch scheinen nicht alle acetylierbaren OH-Gruppen die mechanischen Eigenschaften mitzubestimmen. Die sterischen Veränderungen durch schwache Acetylierung können dazu führen, daß vorher nicht am rheologischen Verhalten beteiligte OH-Gruppen dazu befähigt werden.

- 7-211 Stanley J. Gill. Anisotropic properties of strained viscoelastic fluids. I. A method for measuring strain birefringence. J. appl. Polym. Sci. 1, 17-23, 1959, Nr. 1. (Jan./ Febr.) (Boulder, Colorado, Univ., Dep. Chem.) Um Relaxationsphänomene in konzentrierten Lösungen in sehr kurzen Zeiten beobachten zu können, wurde ein Apparatentwickelt, bei dem die Gestalt eines flexiblen Rohres, welches die Lösung enthielt, plötzlich durch die Rotation einer elliptischen Hülse verändert wird. Der Spannungszustand der viscoelastischen Flüssigkeit wurde aus der Spannungsdoppelbrechung bestimmt. Messungen an 1,4% igen Lösungen von Carboxymethylcellulose zeigten, daß die Doppelbrechung in etwa 1 msec erzeugt wird.
- 7-212 E. McLaughlin. Viscosity and self-diffusion in liquids. Trans. Faraday Soc. 55, 28—38, 1959, Nr. 1 (Nr. 433). (Jan.) (London, Imp. Coll., Dep. Chem. Engng.) Für die näherungsweise Berechnung der Transportkoeffizienten in einer Flüssigkeit bestehend aus kugelförmigen symmetrischen Molekülen wird eine Theorie gegeben. Beim angewendeten Modell ist für den Transport von Masse und Moment das Vorhandensein von Löchern notwendig, aus dem Molarvolumen der Flüssigkeit läßt sich nach der Theorie der Transportkoeffizient berechnen, wenn die Konstanten der molekularen Wechselwirkung aus den Transporteigenschaften der entsprechenden Gase bekannt sind. Berechnete Werte für Viskosität und Selbstdiffusion für einfache kugelförmige und annähernd kugelsymmetrische Moleküle stimmen mit experimentellen Werten auf etwa 10% überein. (Zfg.)
- 7-213 K.S. Howard, L. W. Hammond, IR. A. McAllister. and F. P. Pike Viscosities and densities of benzene-acetic acid solutions up to their normal boiling points. J. phys. Chem. 62, 1597—1598, 1958, Nr. 12. (Dez.) (Raleigh, North Carolina State Coll., Dep. Chem. Engng.) Es werden McGwerte der kinematischen Viskosität und der Dichte von Benzoltssigsäure-Lösungen bei Temperaturen zwischen 20°C und dem Siedepunkt mitgeteilt. Die dynamische Viskosität beim Siedepunkt nimmt mit steigendem Benzolgehalt ab, ler kleinste Wert wird für 70 Molprozent Benzol mit 0,310 cP erreicht, gegen 0,319 cP beim reinen Benzol.
- 7-214 **E. R. Nightingale jr.** Viscosity of aqueous sodium perchlorate solutions. J. phys. Chem. **63**, 742-743, 1959, Nr. 5. (Mai.) (Lincoln, Nebraska, Univ., Dep. Chem.) Die Viskosität wäßriger Natriumperchloratlösungen wurde im Konzentrationsbereich 0,001 bis 2 M bei 25°C gemessen. Die Koeffizienten Λ und B der Jones-Dole-Gleichung $\frac{1}{2}$ / $\frac{1}{2}$ and $\frac{1}{2}$ + A \sqrt{c} + Bc ergeben sich zu Λ = 6,8 · 10⁻³ und B = 0,03. W. Weber.
- Z=215 R. N. Barfield. The viscosity of diethylamine-water mixtures. J. phys. Chem. 63, 783—1784, 1959, Nr. 10. (Okt.) (Ottawa, Canada, Nat. Res. Counc., Pure Chem. Div.) as werden Viskositätswerte für Mischungen von Diäthylamin mit Wasser für 0, 24,5 md 45°C mitgeteilt. Für das reine Diäthylamin wird für die Viskosität bei 25° der Vert $\eta=0.338$ cP gefunden. Die Mischungen zeigen ein Maximum im Bereich 13 bis 7 Molprozent Diäthylamin. Das Maximum wird steiler bei tieferer Temperatur und verschiebt sich nach kleineren Konzentrationen hin. Bei 0° und 15% Diäthylamin ereicht die Viskosität den Wert 13,6 cP.
- -216 Wladimir Philippoff and Frederick H. Gaskins. The capillary experiment in rheology. Trans. Soc. Rheology 2, 263—284, 1958. (Philadelphia, Penn., Franklin Inst., abs. Res. Devel.) Bei nicht-Newtonschen Flüssigkeiten, die ein elastisches Verhalten eigen, muß man bei Messungen im Kapillarviskosimeter eine bisher im allgemeinen icht beachtete Korrektur berücksichtigen. Entsprechend der Падемвасн-Коггекtur gibt sich eine Endkorrektur infolge gespeicherter elastischer Energie, die die Hälfte

der reversiblen elastischen Scherung beträgt. An experimentellen Werten werden die Einflüsse der Korrektur erörtert, sie tritt immer dann auf, wenn im Rotationsviskosimeter sich der Weissenbergessekt bemerkbar macht.

W. Weber.

- 7-217 A. Z. Golik and I. F. Klassen. Viscosity and conductivity of zinc and cadmium amalgams. Ukrain. fis. Sh. RSR 3, 683-687, 1958, Nr. 5. (Orig. russ. m. engl. Zfg.) (Kiev, State Univ.) Die Viskosität und die elektrische Leitfähigkeit von Zink- und Cadmiumamalgamen wurde im Temperaturbereich bis 400°C bei verschiedenen Konzentrationen gemessen. Aus der Temperaturabhängigkeit der Viskosität ergibt sich, daß die Aktivierungsenergie des viskosen Fließens eine lineare Funktion der Konzentration ist. Lösungen mit 20,8% Cd in Hg und 9,5% Zn im Hg, 25% Cd in Hg und 11,4% Zn in Hg sowie 30% Cd in Hg und 13,6% Zn in Hg sind gleichviskos im jeweils untersuchten Temperaturbereich. W. Weber.
- 7-218 A. O. Rietveld and A. van Itterbeek. Viscosity of gas mixtures. Physica 24, 180, 1958, Suppl. (Sept.) (Leiden, Kamerlingh Onnes Lab.)
- 7-219 Roberta Scott. Viscosity of fluid argon under conditions of constant density. Physica 24, 181, 1958, Suppl. (Sept.) (London, Univ., Queen Mary Coll., Dep. Phys.)
- T. W. F. Russell, G. W. Hodgson and G. W. Govier. Horizontal pipeline flow of mixtures of oil and water. Canad. J. chem. Engng. 37, 9-17, 1959, Nr. 1. (Febr.) (Edmonton, Univ. Alberta, Dep. Chem. Petrol. Engng.; Res. Council Alberta.) Nach einer ausführlichen Übersicht über vorangegangene Arbeiten anderer Autoren wird unter Zugrundelegen der Fanningschen Gleichung (Druckabfall über ein Rohrstück als Funktion der Reynoldsschen Zahl, des Rohrdurchmessers, der Strömungsgeschwindigkeit sowie eines Reibungsfaktors) das Problem theoretisch behandelt, die zur experimentellen Erprobung benutzte Apparatur beschrieben und das Ergebnis mitgeteilt: Der Druckabfall läßt sich im laminaren Gebiet mittels eines modifizierten Reibungsfaktors (errechnet für bestimmte Einlaßmengen und Wasser-Oberflächengeschwindigkeiten) darstellen; das Verhältnis (Einlaßmenge durch Öl-Wasser-Volumenkonzentration an gegebenem Ort) ist im laminaren Gebiet nur von der Flüssigkeitsviskosität und dem Flüssigkeitsanteil beim Einlassen, im Gebiet der Turbulenz auch noch von der Wasser-Oberflächengeschwindigkeit abhängig. Beobachtet werden die drei Fälle: mit Blasen, mit Schichtung, in Mischung, jeweils in den Gebieten: laminar, Übergang, turbulent. H. Ebert.
- 7-221 Gordon B. Skinner. Limitations of the reflected shock technique for studying fast chemical reactions. J. chem. Phys. 31, 268-269, 1959, Nr. 1. (Juli.) (Dayton, O., Monsanto Chem. Co., Res. Engng. Div.) Strehlow und Cohen (Ber. Nr. 3-231) hatten bei starken Stoßwellen in Argon die frontal reflektierte Welle langsamer gefunden, als berechnet war. Vf. findet entsprechend, daß der Druck in der reflektierten Front (vermutlich durch Grenzschichteinfluß) nicht sogleich seinen Sollwert erreicht, sondern dahinter noch ansteigt.

 Wecken.
- 7-222 A. G. Mackie and D. G. Weir. The propagation of shock waves of constant strength. Proc. Camb. phil. Soc. 56, 64-74, 1960, Nr. 1. (St. Andrews, St. Salvator's Coll.) Vf. betrachtet eindimensional-instationäre Strömungen eines vollkommenen Gases mit einer Stoßwelle, die zwei homentropische x-t-Bereiche trennt. Spezialfälle: (a) Stoßwelle überholt zentrierte Verdünnungswelle. (b) Bei t=0, x>0 ist u=0, $T=\mathrm{const}\cdot x$; ein Kolben $(X=\mathrm{bt}^2)$ erzeugt die Stoßwelle. Fall b) (Verallgemeinerung eines 1954 von Copson behandelten Falles) wird mittels hypergeometrischer Funktion gelöst.
- 7-223 V. P. Makushkin and A. V. Mishuev. Spherical barium titanate pressure pickups for shock waves in air. Soviet Phys.-Acoust. 5, 62-67, 1959, Nr. 1. (Jan./März.) (Engl. Übers. aus: J. Acoust. SSSR 5, 64, 1959, Nr. 1.) (Leningrad.) Es werden Druckempfänger zur Untersuchung von Schockwellen in Luft beschrieben. Die Elemente bestehen aus radialpolarisierten, kugelförmigen Bariumtitanat-Schalen von 1,9 bzw.

5 mm Außendurchmesser. Infolge der Kugelgestalt sind sie praktisch richtungsunabhängig. Als Halterung hat sich nach vielen Versuchen am besten ein länglicher, axial durchbohrter Gummikonus von 1 mm Dicke am Ende zum Mikrophon bewährt. Das dickere Ende wird von einem Metallrohr aufgenommen. Die Konstruktion ist bis zu Druckstößen von 3,5 kg/cm² brauchbar. Oszillogramme von Stoßwellen zeigen, daß Eigenschwingungen der Mikrophonschale Verzerrungen nicht verursachen.

Kallenbach.

7-224 A. I. Gubanov. Reflection and refraction of shock waves at the interface between two media. Soviet. Phys.-Tech. Phys. 3, 1869-1874, 1958, Nr. 9. (Sept.) (Engl. Übers. aus: J. tech. Phys. USSR 28, 2035, Nr. 9.) (Leningrad, Acad. Sci., Phys. Tech. Inst.)
V. Weidemann.

7-225 G. D. Gordon. Mechanism and speed of breakup of drops. J. appl. Phys. 30, 1759-1761, 1959, Nr. 11. (Nov.) (Silver Spring, Maryland, Operat. Res. Inc.) Von den drei beobachteten Arten des Auseinanderreißens eines Tropfens in einem Gasstrom wird der Fall mathematisch untersucht, wo der Tropfen vom Staudruck des strömenden Gases abgeflacht, dann zu einem Hohlkegel bzw. Schirm aufgeblasen wird, um anschließend zu zerreißen. Die mathematischen Analysen geben die Möglichkeit, die Zusammenhänge zwischen der Dauer des Zerreißvorganges, dem Tropfendurchmesser und der Geschwindigkeit des strömenden Gases dimensionslos darzustellen und sind einfacher und der physikalischen Vorstellung zugänglicher als eine frühere mathematische Entwicklung von HINZE (Appl. Sci. Research (A) 1, 273, 1948). Danach sinkt die Zeit des Vorganges mit abnehmendem Tropfendurchmesser bis zu einem bestimmten kritischen Durchmesser, um dann wieder steil anzusteigen, d. h. Tropfen mit kleineren als dem kritischen Durchmesser für eine bestimmte Gasgeschwindigkeit sind stabil. Außerdem ist für höhere Gasgeschwindigkeiten (relativ bezogen auf den sich ebenfalls **bewegenden Tropfen, z.** B. Wassertropfen) bei einem bestimmten gegebenen Durchmesser die Zerreißzeit kürzer und der kritische Durchmesser kleiner als für niedrigere Gasgeschwindigkeiten. Nach der angeführten mathematischen Betrachtung ergibt sich der kritische Durchmesser aus $D=16\,\sigma/\rho_g\,V^2$ mit $\sigma=$ Oberflächenspannung der Tropfenflüssigkeit, $\rho_g=$ Dichte des Gases und V= Differenz von Tropfen und Gasgeschwindigkeit. Besonders einfache Formeln für die Zeit des Zerreißvorganges ergeben sich, wenn entweder die Zähigkeit oder die Oberflächenspannung der Flüssigkeit des Tropfens vernachlässigt werden darf und der Durchmesser des Tropfens mehrere Male größer ist als der kritische: $\eta \gg \mathrm{DV} \; (\rho_{\mathsf{g}} \rho_{\mathsf{Fl}})^{1/2}, \; t = (2\,\mathrm{D/V}) \; (\rho_{\mathsf{Fl}}/\rho_{\mathsf{g}})^{1/2}, \; \sigma \ll \mathrm{DV^2} \rho_{\mathsf{g}}, \; t = 32\,\eta/\rho_{\mathsf{g}} \; \mathrm{V^2}.$

7-226 Peter Debye and Jerome Daen. Stability considerations on nonviscous jets exhibiting surface or body tension. Phys. Fluids 2, 416-421, 1959, Nr. 4. (Juli/Aug.) (Ithaca, N. Y., Cornell Univ.)

7-227 Kenneth E. Pope. A new double-integrating accelerometer. Control Engng 5, 1958, Nr. 11, (Nov.) S. 97-100. Zur laufenden Bestimmung der Geschwindigkeit und des Standortes von Fahrzeugen und Flugkörpern werden Beschleunigungsmesser angewendet, deren Meßwerte nach einmaliger Integration die jeweilige Geschwindigkeit ınd nach zweimaliger Integration die zurückgelegte Wegstrecke angeben. Bei dem bechriebenen Gerät wird die zweifache Integration nach einem neuen Verfahren durchgeführt, bei dem der Gesamtfehler unter 0,5% bleibt. Der Grundbauteil des Gerätes ist in Elektromotor; der Rotor trägt einen Schalter, mit dem bei jeder Umdrehung ein Schaltimpuls gegeben wird. Auch der Stator ist um dieselbe Achse drehbar, zusätzlich nit einer Unwucht versehen und mittels einer Feder gegenüber dem fest mit dem Fahreug verbundenen Apparategehäuse in der Ruhelage gehalten. Die Zusatzmasse ist o angeordnet, daß bei der Beschleunigung des Fahrzeuges der Stator gegen die Rücktellkraft der Feder verdreht wird, und zwar so weit, bis ein zwischen Stator und Appaategehäuse liegender Kontakt geschlossen wird. Hierdurch wird der Motorantrieb ingeschaltet. Der Motor läuft an, aber mit einer solchen Drehrichtung, daß das Rektionsmoment des Stators den Kontakt sofort wieder öffnet. Hält die äußere Bechleunigung an, so wiederholt sich der Vorgang intermittierend so, daß die Motoroeschleunigung und die äußere Beschleunigung sich in ihrer Wirkung im Mittel gerade entsprechen. Dabei steigt die Drehfrequenz des Motors sowie die Zahl der Schaltimpulse

fortlaufend an. Es wird gezeigt, daß Drehfrequenz und Impulszahl ein direktes Maß für die jeweilige Geschwindigkeit und den zurückgelegten Weg sind.

Mühlfeld.

- 7-228 D. B. Duncan. Analysis of an inertial guidance system. Jet Propulsion 28, 111-116, 1958, Nr. 2. (Febr.) (Downey, Calif., North American Aviation, Autonetics Div.) Die wesentlichen Bestimmungsgrößen eines auf Trägheitswirkung beruhenden Steuerungssystems werden für ein vereinfachtes Führungsproblem beschrieben. Fehlergleichungen, welche die Wirkung der Komponenten mit der Genauigkeit ihrer Führung verknüpfen, werden abgeleitet. Die Gleichungen lassen Schwingungen mit einer Frequenz von 84/min erkennen, die für Systeme, welche mit Trägheitswirkung arbeiten, typisch ist.
- Julius Sumner Miller. Physics of the dunking duck. Amer. J. Phys. 26, 42-43, 7 - 229Schön. 1958, Nr. 1. (Jan.) (El Camino College, Calif.)
- A. C. Gray and S. Thomas. Photoelectric apparatus for measuring velocity. J. sci. Instrum. **36**, 305-306, *1959*, Nr. 7. (Juli.) (Maribyrnong, Vict., Austr. Def. Sci. Serv., Dep. Supply, Def. Stands. Labs.) Einrichtung zur photoelektrischen Messung der Geschwindigkeit bewegter Körper bei ballistischen Untersuchungen. Der bewegte Körper unterbricht nacheinander im Abstand von 25 cm angebrachte Lichtschranken; die Zeit zwischen den Unterbrechungsimpulsen wird elektronisch ausgezählt. Die Meßfehler bleiben innerhalb ±0,2% des Sollwertes bei einem Meßbereich von 7 bis 35 m/s.

Schreuer.

- Daniel F. Dempsey. Focusing trajectories for projectiles in an inverse square field. Amer. J. Phys. 27, 667-668, 1959, Nr. 9. (Dez.) (Buffalo, N. Y., Canisius Coll.) Schön.
- D. W. Woodhead. Advance detonation in a tubular charge of explosive. Nature, Lond. 183, 1756-1757, 1959, Nr. 4677, (20, Juni.) (Buxton, Min. Power, Safety Mines Res, Est.) Die photographischen Aufnahmen mit Hilfe einer Trommelkamera zeigen, daß die Detonationsgeschwindigkeit in Hohlladungen über dem normalen Wert liegt. Ferner zeigten diese Aufnahmen der Detonationswellen in Rohren, die mit einfacher bzw. mehrfacher Hohlladung bestückt waren und die am Ende bzw. in der Mitte gezündet wurden, das Auftreten von mehreren Detonationswellen.
- M. P. Murgai and A. K. Ray. A dynamic treatment of the problem of pressure estimation in impact sensitivity experiments on explosives. Proc. nat. Inst. Sci. India (A) 24, 101-105, 1958, Nr. 2. (26. März.) Berichtigung ebenda vor S. 177, Nr. 3. (26. Mai.) (New Delhi, Defence Sci. Lab.) Die Lösung der sphärischen Wellengleichung für ein unendlich clastisches Medium nach Goldsmith und Allen wird angewendet zur Berechnung von Spitzendrücken bei Schlagempfindlichkeitsversuchen und mit den experimentell ermittelten Werten verglichen. Diese dynamische Betrachtung unterscheidet sich stark von der statischen Betrachtung, die auf der HERTZschen Aufpralltheorie beruht. Gehm.
- 7-234 P. Schmidt. Periodisch wiederholte Zündungen durch Stoßwellen. Arbeitsgem. Forsch. Nordrhein-Westf. 1959, Nr. 82. Bei pulsierenden Verbrennungen (V1-Triebwerk) treten sehr hohe Ausbreitungen der Flamme auf. Bei der gewöhnlichen Anwendung einer Stoßwelle erhält man viel zu geringe Temperaturerhöhungen, um eine Zündung einzuleiten. Doch werden diese wohl genügend hoch bei einer gasdynamischmolekularkinetischen Betrachtung des Stoßvorganges. Wie in einseitig offenen Schwingungsräumen sind auch in geschlossenen Räumen Zündungen durch Stoßwellen möglich. Praktisch wichtig ist ebenso die Ausbildung von Resonanz-Stoßwellen, welche als Wellen entstehen können, die eben, zylindrisch oder sphärisch sind. Vor allem sind weitere experimentelle Untersuchungen nötig. Staab.
- Irene Sänger-Bredt. Die Eigenschaften einiger leichter Elemente und ihrer Mischungen im Hinblick auf ihre Anwendung als Arbeitsgase in nicht konventionell beheizten Raketen. Raketentech. Raumfahrtforsch. 4, 7-16, 1960, Nr. 1. (Stuttgart, Forschungsinst.

Phys. Strahlantriebe e. V.) Nach der Bestimmung des Begriffes "Arbeitsgas" und Hinweisen auf seine Bedeutung in der neueren Entwicklung der Raketentechnik wird eine systematische Übersicht über die verschiedenen Möglichkeiten der Aufheizung von Arbeitsgasen und ihrer anschließenden Beschleunigung gebracht. Danach werden on reinem Wasserstoff, reinem Sauerstoff, von Mischungen dieser beiden Gase im Verhältnis 1:1 und 2:1 sowie von Helium und von argon-freier Luft Enthalpie-Entropie-Diagramme graphisch dargestellt. Die Berechnung dieser Diagramme erfolgte unter Berücksichtigung aller möglichen Dissoziationen und Ionisationen unter Gleichgewichtsverhältnissen zwischen 10 und 10⁻⁵ at und bei Temperaturen bis zu 10000° K aufwärts. Aus den Diagrammen wird der bei reiner thermodynamischer Entspannung in einer AVAL-Düse mit verschiedenen Druckgefällen erreichbare spezifische Impuls abgeleitet. Der Einfluß der mittleren Molgewichte und der spezifischen Gemischwärme auf die speziischen Impulse wird erörtert. Abschließend werden noch die bei den verschiedenen Arbeitsgasen unter Gleichgewichtsverhältnissen auftretenden Wärmeübergänge an die euerraumwände mit Hilfe von früher eingeführten Parametern für die Wärmeüberränge durch Konvektion und Strahlung vergleichsweise abgeschätzt.

- 7-236 M. I. Willinski. Beamed electromagnetic power as a propulsion energy source. A. R. S. J. 29, 601-603, 1959, Nr. 8. Gerichtete elektromagnetische Wellen für den Antrieb von Raketen können auf doppelte Weise benützt werden. 1. Man heizt einen Freibstoff wie Wasser oder Ammoniak usw., der durch eine Düse expandiert. 2. Die gerichteten elektromagnetischen Strahlen werden in elektrische Energie umgewandelt ür eine Ionen- oder Plasmarakete. Diese Energien sind ohne weiteres nach diesen Ausührungen für mehrere 100 Meilen anwendbar, wobei man 500 bis 1000 Megawatt überragen kann. Diese Energieübertragung erscheint recht günstig. Die Verwirklichung eines solchen Antriebssystems würde viele Vorteile z. B. in der Raumfahrt bieten. Umassende Versuche sollten dazu beginnen.
- 2-237 R. Goulard. Optimum magnetic field for stagnation heat transfer reduction at appersonic velocities. A. R. S. J. 29, 604—605, 1959, Nr. 8. Die Anwendung eines nagnetischen Feldes bei der Stelle einer Rakete z. B., wo die Gase zur Ruhe kommen, nat zwei entgegengesetzte Effekte zur Folge. Es reduziert den Wärmeübergang durch Konvektion, vergrößert aber den Wärmeübergang durch Strahlung. Für sehr hohe Gechwindigkeiten, wenn der letztere Effekt nicht vorherrschend ist, existiert ein optimales Magnetfeld, welches möglichst wenig Wärmeübergang zur Folge hat. Bei noch höheren Geschwindigkeiten herrscht die Strahlung vor und die Anwendung eines Magnetfeldes vergrößert den Energieübergang zur Spitze der Rakete z. B. Es wird gezeigt, daß ein eptimales Magnetfeld existiert, das vom Radius der Spitze abhängt.
- 2-238 V. Ya. Bazevich and S. M. Kogarko. Structure of turbident flame of homogeneous and heterogeneous mixtures. A. R. S. J. 29, 756—761, 1959, Nr. 10. Teil I. Nach experimentellen Untersuchungen an zweidimensionalen Verbrennungsvorrichtungen ergibt ich eine proportionale Vergrößerung der Verbrennungsprodukte über die Länge der Verbrennungszone. Die Mischung hat überall eine Temperatur gleich der zu Anfang. Es ist nicht anzunehmen, daß eine stärkere Verbrennung in Strahlantrieben nach UMMERFIELD eintritt.
- -239 M. Summerfield. Control of solid propellant burning rates by acoustic energy.

 R. S. J. 29, 791-792, 1959, Nr. 10. Teil I. Es wird vermutet, daß akustische Energie oher Leistung und hoher Frequenz die Verbrennung eines heterogenen Festtreibtoffes um das Mehrfache beschleunigt. Dabei wird angenommen, daß die akustische ewegung die Gasumsetzung in der dünnen Flammenzone vergrößert und so den Energieransport zur Oberfläche erhöht. Heterogene Treibstoffe werden mehr beeinflußt als omogene, da unvermischte Diffusionsflammen am meisten zu beeinflussen sind. Exerimente werden durchgeführt.

 Staab.
- -240 Bernard H. Paiewonsky. Transfer between vehicles in circular orbits. Jet Propulon 28, 121-123, 1958, Nr. 2. (Febr.) (Ohio, Wright Air Developm. Center.) Vf. atwickelt eine einfache Methode zur Berechnung des Verhältnisses der Bahnwinkel von

Fahrzeugen, welche sich bei Übergängen in eine andere Bahn nach den Hohmannschen Überlegungen bewegen sollen. Dieses Verhältnis wird berechnet, und es zeigt sich, daß es nur von dem Verhältnis der Bahnradien abhängt. Außerdem wird eine Methode zur Bestimmung der relativen Positionswinkel eines Satelliten aus Beobachtungen seines Einflugs angegeben.

E. Hess.

7-241 Stephen H. Crandall. Random vibration. Appl. Mech. Rev. 12, 739-742, 1959, Nr. 11. (Nov.) Es wird ein Überblick über Schwingungsprobleme gegeben, bei denen erzwungene Schwingungen infolge von statistisch schwankenden Kräften eine Rolle spielen. Solche Erscheinungen treten auf bei Seeschiffen, die dem Seegang ausgesetzt sind, bei Flugzeugen in turbulenten Luftströmungen sowie sehr stark bei Düsen- und Raketentriebwerken. Die Anregung durch statistisch schwankende Kräfte kann auch zu Ermüdungserscheinungen des Materials führen. Vf. skizziert die Rechenmethoden, die zur Behandlung dieser Schwingungen geeignet sind und die sich an die Verfahren der Nachrichtentechnik bei der Behandlung von Rauschproblemen anschließen. Ein umfangreiches Literaturverzeichnis beschließt die Arbeit.

VI. Akustik

7-242 Robert W. Young. Review of acoustical patents. J. acoust. Soc. Amer. 31, 1146-1160, 1290-1296, 1391-1406, 1959, Nr. 8 (Aug.), Nr. 9 (Sept.) u. Nr. 10. (Okt.) (San Diego, Calif., U. S. Naval Electron, Lab.)

7-243 R. Bruce Lindsay. Current publications on acoustics. J. acoust. Soc. Amer. 31, 1273-1274, 1390, 1959, Nr. 9 (Sept.) u. Nr. 10. (Okt.) (Providence, Rhode Isl., Univ.)

7-244 Walter Koidan and Earl D. Schubert. References to contemporary papers on acoustics. J. acoust. Soc. Amer. 31, 1275-1289, 1959, Nr. 9. (Sept.) (Washington, D. C., Nat. Bur. Stan.; Cleveland, O., Hear. Speech Center.)

- 7-245 L. M. Brekhovskikh. Surface waves in acoustics. Soviet Phys.-Acoust. 5, 3-12, 1959, Nr. 1. (Jan./März.) (Engl. Übers. aus: J. Acoust. SSSR 5, 4, 1959, Nr. 1.) Vf. gibt einen Überblick über Probleme der Oberflächenwellen. Diese Wellen zeichnen sich dadurch aus, daß ihre Amplitude exponentiell mit dem Abstand von der Grenzfläche abnimmt. Ihre Geschwindigkeit ist kleiner als die von Wellen im freien Raum. Als erstes wird eine ebene Fläche mit kammartigen Rippen untersucht. Es werden Formeln für den Schalldruck, die Schnelle und die Geschwindigkeit unter Berücksichtigung der Grenzbedingungen angegeben. Weiter wird die Anregung von Oberflächenwellen durch eine Punktquelle behandelt. Die Kugelwellen werden dabei aus ebenen Wellen zusammengesetzt. Der folgende Abschnitt behandelt die Wellengleichung mit Zylindersymmetrie. Als Beispiel wird die Oberflächenwelle in einer Flüssigkeit längs eines festen, dünnen, von einer Luftschicht umgebenen Stabes berechnet. Im letzten Teil wird die Richtcharakteristik eines dünnen schwingenden Stabes untersucht, der an beiden Enden in starren, unendlich langen Zylindern gleichen Durchmessers eingespannt ist. Kallenbach.
- 7-246 A. L. Polyakova. Thermodynamic theory of the absorption of finite-amplitude sound in relaxing media. Soviet Phys.-Acoust. 5, 85-90, 1959, Nr. 1. (Jan./März.) (Engl. Übers. aus: J. acoust. SSSR 5, 85, 1959, Nr. 1.) (Moscow, Acad. Sci., Acoust. Inst.) Vf. untersucht die Ausbreitung von Schall endlicher Amplitude vom Standpunkt der Thermodynamik irreversibler Prozesse aus. Es werden zwei mögliche Zustände vorausgesetzt, zwischen denen Übergänge unter dem Einfluß des Schallfeldes stattfinden können. Die Rechnungen zeigen, daß bei starken Schallamplituden die Absorption größer ist als bei infinitesimal kleinen und daß das Absorptionsmaximum nach Frequenzen unterhalb der Relaxationsfrequenz verschoben wird. Eine experimentelle Prüfung der theoretischen Ergebnisse wäre erwünscht.

7-247 S. Edelman, R. Brooks, S. Saito, E. Jones and E. R. Smith. A stroboscopic vibration analyzer. J. Res. nat. Bur. Stand. 63 C, 97-103, 1959, Nr. 2. (Okt./Dez.) (Washington, D. C.) Es wird ein stroboskopischer Schwingungsanalysator beschrieben, der vom Infraschall- bis zum Ultraschallbereich und von sehr kleinen bis zu großen, direkt sichtbaren Schwingungsamplituden brauchbar ist. Die Beobachtung erfolgt dabei intliekt mit Hilfe einer Reihe von Körperschallempfängern (bis zu 10), die auf dem zu beobachtenden Objekt befestigt werden. Führt der Körper Schwingungen aus, so geben die Empfänger Wechselspannungen gleicher Frequenz, aber unterschiedlicher Amplitude und Phase ab. Die Spannungen werden mit einer um etwa 1 Hz abweichenden Frequenz moduliert und daraus die Differenzfrequenz-Signale gebildet. Diese liefern die Grundlage für das stroboskopische Bild. Zur Darstellung wird ein Braunsches Rohr benutzt, auf welchem die zehn stroboskopischen Informationen mittels eines elektronischen Schalters nebeneinander dargestellt werden, so daß das Schwingungsbild mit einer Frequenz von 1 Hz bequem betrachtet werden kann. Die erforderlichen elektronischen Schaltungen sind angegeben.

7-248 W. Bausch und R. Schubert. Reflexionsarme Schallmeßräume. Frequenz 13, 324-331, 1959, Nr. 10. (Okt.) (Ladenburg.) Für einen reflexionsarmen Raum werden die maximalen Abweichungen von dem Abstandsgesetz, das für ein freies Schallfeld gilt, in Abhängigkeit von der Raumgröße und unter Annahme eines Reflexionsfaktors der Raumbegrenzungen im Bereich von 0,1 berechnet. Die Größenordnung der errechneten Abweichungen wird durch Messungen in Räumen bestätigt, die allseitig mit Absorptionskeilen aus Faserstoffen ausgekleidet sind. Für die Frequenzabhängigkeiten des Reflexionsfaktors werden Beispiele angegeben, die durch Impedanzrohrmessungen an Keilanordnungen und an dickeren Schichten des gleichen Materials ermittelt wurden. Einige Mitteilungen über technisches Zubehör von reflexionsarmen Räumen bilden den Schluß der Arbeit.

7-249 M. R. Schroeder. Methoden zur Messung der Diffusität in Hallräumen. Akust. Beih. 1959, S. 256-264, Nr. 1. (Murray Hill, N. J., Bell Teleph. Labs.) Als völlig liffus definiert Vf. das Schallfeld vor der mit Schluckstoff bekleideten Wand eines Hallraums, wenn die über diese Wand gemittelte Verteilung des Einfallskosinus, cos γ, der Verteilung eines Richtungskosinus der Schallenergieströmung E bei völliger Diffusität entspricht. Die Diffusitätsbedingung lautet damit: E (cos γ) = 1. Amplitude und Richtungskosinus der möglichen auf die Meßwand einfallenden Schallwellen werden durch zwei dimensionale FOURIER-Analyse des Schalldrucks an der Wand ermittelt. Die lazu nötigen mathematischen Beziehungen werden für Schallanregung mit einer einzelnen Frequenz und mit endlichen Frequenzbändern abgeleitet. Die in den Formeln auftretenden Integrale können durch Summen ersetzt werden, wenn die Meßpunkte nuf der Meßwand ein Gitter bilden, dessen Maschenweite in einfacher Beziehung zu len Lineardimensionen der Wand und zu der kleinsten im anregenden Spektrum aufzetenden Wellenlänge steht.

Venzke.

Werner Schirmer. Die Absorptionsgradmessung im Hallraum. Wiss. Z. Tech. Hochsch. Dresden 8, 538-540, 1958/59, Nr. 3. An einem rechteckigen Modellraum von von $1,0\times1,3\times1,6\approx2$ m³ Inhalt werden die Einflüsse von Schluckstoff-Verteilung und Diffusitätsmaßnahmen auf Absorptionsgrad-Meßergebnisse untersucht. Versuchsnaterial sind 8 cm dicke Mineralfaserplatten, die entweder eine ganze Wand, einen Teil les Bodens oder entsprechend DIN 52212 einen Teil dreier Raumbegrenzungen belecken. Zur Erhöhung der Diffusität werden willkürlich in den Raum gehängte Holzblatten von 30×30 cm² Fläche oder Wandprofilierungen benutzt. Die Ergebnisse entsprechen denen ähnlicher Untersuchungen E. Meyers und H. Kuttruffe (Ber. Nr. 6-221).

7-251 A. Lutsch. Ultrasonic barium titanate adhesion and paste transducers. Nature, Lond. 184, 1458—1460, 1959, Nr. 4697. (7. Nov.) (Pretoria, South Afric. Counc. Sci. Indust. Res., Nat. Phys. Res. Lab.) Eine Mischung von Bariumtitanatpulver und Athoxylin (Epoxydharz) bildet die Ausgangssubstanz für zwei neue Schallwandlerypen. Das Gemisch wird nach dem Auftragen auf den Prüfling mit hoher Gleich-

spannung polarisiert und bildet den sog. Pastenschwinger. Wird der Mischung ein Härter zugesetzt, so erstarrt diese während der Polarisation auf dem Prüfling zum sog. Adhäsionsschwinger. Die Empfindlichkeit beider Schallwandlertypen sinkt nach dem Abtrennen der Gleichspannungsquelle innerhalb kurzer Zeit auf rund 60% ab, bleibt dann aber über lange Zeit konstant. Die Körnigkeit des BaTiO₃-Pulvers wird in fünf Stufen zwischen 0,05 und 0,5 mm Durchmesser variiert. Für eine Testfrequenz von 2,5 MHz ergibt sich beim Adhäsionsschwinger bei allen Korngrößen gleiche Empfindlichkeit, während beim Pastenschwinger nur bei den gröberen BaTiO₃-Pulverstufen der piezoelektrische Effekt beobachtet wird. Die elektrische Impedanz der Schwinger ist beträchtlich höher und die DK erheblich kleiner als die entsprechenden Werte für den massiven BaTiO₃-Wandler. Die Vorteile der beiden beschriebenen Schwingertypen sind die hohe innere Dämpfung und der direkte Kontakt mit dem Prüfling, der die Unsicherheit der Koppelschicht vermeidet.

7-252 K.V. Goncharov. On the possibility of investigating the frequency-sensitivity characteristics of transducers by a spectral analysis of their thermal noise. Soviet Phys.-Acoust. 5, 120-122, 1959, Nr. 1. (Jan./März.) (Engl. Übers. aus.: J. Acoust. SSSR 5, 120, 1959, Nr. 1.) (Moscow State Univ., Acoust. Staff.) Es wird gezeigt, daß es bei der Messung des Frequenzganges des Übertragungsmaßes eines Wandlers nach dem Reziprozitätstheorem hauptsächlich auf die Bestimmung des Realteiles der elektrischen Impedanz ankommt. Wie Vf. früher nachwies, ist diese Größe proportional der Spektraldichte des thermischen Rauschens des Wandlers. Damit bietet sich die Möglichkeit, den Frequenzgang des Übertragungsmaßes durch Analyse des Rauschspektrums zu bestimmen. Als Beispiel werden Meßergebnisse an mehreren Hydrophonen (Frequenzberich bis 100 kHz) mitgeteilt, deren Rauschspektren mittels eines Suchtonanalysators (Bandbreite 500 Hz) gemessen wurden. Es ergab sich eine befriedigende Übereinstimmung mit der Kalibrierung nach dem Reziprozitätsverfahren. Kallenbach.

7–253 Émile Leipp. La wibration d'octave», paramètre sensible dans la spectre des instruments à cordes. C. R. Acad. Sci. Paris 249, 1474—1476, 1959, Nr. 16. (19. Okt.) In 72% aller Fälle ist die Intensität des Oktavteiltones bei Geigenklängen gleich oder größer als die des Grundtones. Ausgehend von Ramanschen Überlegungen wurden die Gründe dafür gesucht. Wenn eine Saite in einer Ebene sinusförmig schwingt, wird von ihr jedesmal, wenn sie nach oben und nach unten ausgelenkt ist, ein verstärkter Zug auf ihre Enden ausgeübt. Daraus folgt eine Erregung der Enden mit der doppelten Frequenz. Eine solche tritt bei kreisförmiger Schwingung nicht auf. Die angegebene Form der Oktavschwingung wird auf die Körperschwingung der Geige selbst übertragen.

Lottermoser.

- 7-254 Émile Leipp. Le degré hygrométrique de l'air ambiant. Paramètre sensible du spectre d'une corde harmonique en boyau. C. R. Acad. Sci. Paris 249, 2014-2016, 1959, Nr. 20. (16. Nov.) Bei Veränderung des Feuchtigkeitsgrades der Luft von 30 bis 90% wurden Saiten aus Nylon, lackiertem und unlackiertem Darm auf das Verhalten ihrer Eigenfrequenzen hin untersucht. Während in den ersten beiden Fällen kein Einfluß der Feuchtigkeit festzustellen war, sinken die Eigenfrequenzen bei Darmsaiten mit wachsender Feuchtigkeit im untersuchten Bereich um ungefähr eine kleine Terz. Lottermoser.
- 7–255 V. S. Vrkljan. Über die Schallgeschwindigkeit in Gasmischungen. III. Anz. österr. Akad. Wiss., math.-naturw. Kl. 1959, S. 225–227, Nr. 11. (Zagreb.) Vf. deutet die von ihm früher abgeleitete Formel für die Schallgeschwindigkeit in Gasmischungen. Sie läßt erkennen, daß die gesamte Energie der Gasmischung idealer Gase, die der Bewegung der Moleküle zugeschrieben wird, gleich ist der Summe der Energien, die die einzelnen Komponenten besitzen würden, wenn sie sich allein in demselben Raum befänden.
- 7-256 Graham W. Marks. Variation of acoustic velocity with temperature in aqueous solutions of certain inorganic sulfates. J. acoust. Soc. Amer. 31, 936-946, 1959, Nr. 7. (Juli.) (San Diego, Calif., U. S. Navy Electron Lab.) Mit einem Interferometer wurde bei einer Schallfrequenz von 500 kHz die Schallgeschwindigkeit in wäßrigen Lösungen von Li₂SO₄, Na₂SO₄, KHSO₄, K₂SO₄, (NH₄)₂ SO₄ und Mg SO₄ im Temperaturbereich

von 0 bis 80°C bestimmt. Die Messungen ergaben für alle untersuchten Flüssigkeiten, daß die Schallgeschwindigkeit mit steigender Temperatur zunächst wächst, um dann nach Erreichen eines Minimums wieder abzunehmen. Ferner wächst die Schallgeschwindigkeit mit zunehmender Konzentration. Die akustische Impedanz und die relative Assoziation zeigten bei 20°C eine lineare Abhängigkeit von der Konzentration.

P. Rieckmann.

- 7-257 G. P. Roshchina and E. D. Ishchenko. Investigation of ultrasound velocity in and compressibility of certain non-aqueous solutions of electrolytes. Ukrain fis. Sh., Kiew 4, 268-272, 1959, Nr. 2. (März/Apr.) (Orig. ukrain. m. engl. Zfg.) Vff. untersuchten die Schallgeschwindigkeit in KJ-Lösungen bei Glykol, Glycerin und Äthanol in Abhängigkeit von der Temperatur und von der Konzentration. In den beiden erstgerannten Lösungen wurde eine Abnahme der Schallgeschwindigkeit bei wachsender Elektrolytkonzentration festgestellt. Bei Äthanol blieb die Schallgeschwindigkeit praktisch unverändert. Weitere Messungen erstreckten sich auf die molekulare Lichtstreuung in diesen Lösungen. In den beiden erstgenannten Lösungsmitteln zeigten sich starke Konzentrationsschwankungen, die mit zunehmender Temperatur verschwanden. In Äthanol wurden solche Schwankungen dagegen nicht beobachtet. Kallenbach.
- 7-258 J. Nittel. Messungen der Schallgeschwindigkeit von Plasten nach dem Durchstrahlund Echoverfahren. Exp. Tech. Phys. 7, 14-19, 1959, Nr. 1. (Leipzig, Karl-Marx-Univ., Phys. Inst., Abt. Tech. Phys.) Die zur Schallgeschwindigkeitsmessung von stark absorbierenden Stoffen notwendigen Eigenschaften eines Meßgerätes werden besprochen. Die dadurch notwendigen Änderungen an einem Industriegerät (Funkwerk Erfurt, Typ 806) werden recht ausführlich mitgeteilt. Wiedergabe eines Impulsoszillogramms und Meßergebnisse an zwei Bunasorten.
- 7-259 Väinö Hovi and Esa Mäntysalo. Ultrasonic investigation of the elastic constants of solid carbon dioxide. Ann. Acad. Sci. fenn. Ser. A, VI. (Phys.) 1959, Nr. 24, S. 1-11. (Turku, Finland, Univ., Wihuri Phys. Lab.) Vff. bestimmten die Schallgeschwindigkeit von festem CO₂ im Frequenzbereich von 1,7-3,2 MHz. Die festem Kohlendioxydkristalle wurden durch Verflüssigung von gereinigtem Gas bei 55 Atm und -10° C und langsamer Abkühlung in flüssigem Sauerstoff gewonnen. Es ergaben sich Kristalle von 5-10 mm Länge und 5-7 mm Dicke. Sie wurden zwischen zwei Quarzkristalle gelegt, die als Sender und Empänger dienten. Für die Schallgeschwindigkeit ergaben sich 1960 m/s bei longitudinalen und 975 m/s bei transversalen Wellen. Aus diesen Werten wurde die adiabatische kubische Kompressibilität berechnet. Die erhaltenen Wertestimmen größenordnungsmäßig mit früheren, für festes Argon erhaltenen, überein.

Kallenbach.

- 7-260 A. Bernath et T. Herlescu. Sur le transfert de l'énergie ultrasonore par une couche liquide. Stud. Cerc. stiint., Ser. teh. (rum.) 5, 1958, Nr. 3/4, (Juli/Dez.) S. 131-145. Orig. rum. m. frz. Zfg.) Vff. untersuchten theoretisch den Übergang elastischer Schwinzungen zwischen zwei festen Körpern, die durch eine Flüssigkeitsschicht verbunden sind. Es werden Formeln für die hindurchtretende und reflektierte Energie sowohl für ongitudinale wie für transversale Wellen abgeleitet. Die Abhängigkeit von der Dicke der Flüssigkeitsschicht, dem Einfallswinkel und den Impedanzen der Medien wird angezeben und graphisch dargestellt.
- 7-261 N. F. Vollerner and M. I. Karnovskii. Calculating the concentration coefficient of some directional acoustical systems. Soviet Phys.-Acoust. 5, 24-29, 1959, Nr. 1. (Jan./März.) (Engl. Übers. aus: J. Acoust. SSSR 5, 25, 1959, Nr. 1.) (Kiev Polytech. Inst.) Es werden die Beziehungen zwischen dem axialen Konzentrationskoeffizienten und dem Verstärkungsfaktor von akustischen Richtwirkungssystemen mit Hilfe des Reziehrzitätstheorems untersucht. Betrachtet werden die folgenden vier Systeme: 1. Enternter Punkt A als Sender und Empfangssystem B, 2. Entfernter Punkt A als Sender und Empfangssystem B mit Richtwirkungsanordnung (z. B. Hohlzyfinder oder Horn), B. System B als Sender und entfernter Punkt A als Empfänger und 4. System B mit Richtstrahler und entfernter Punkt A als Empfänger. Die Ergebnisse der Rechnung

für zylindrische und axialsymmetrische Richtwirkungsanordnungen werden graphisch dargestellt. Kallenbach.

- E. V. Romanenko. Experimental investigation of the propagation of finite-amplitude spherical waves. Soviet Phys.-Acoust. 5, 100-104, 1959, Nr. 1. (Jan./März.) (Engl. 1) bers. aus: J. Acoust. SSSR 5, 101, 1959, Nr. 1.) (Moscow, Acad. Sci., Acoust. Inst.) VI. erzeugte in einem Tank mit fließendem Wasser (50 × 50 × 200 cm³) Ultraschallimpulse (1,15 MHz, 20-40 μsec Impulsdauer, 5-50 Hz Impulsfolgefrequenz). Dabei benützte er einen aus zwei Kugelhalbschalen zusammengesetzten Bariumtitanatwandler (16 mm Außendurchmesser) als Kugelstrahler, mit welchem ein maximaler Schalldruck an der Oberfläche von etwa 26 at erzeugt werden konnte. Als Empfänger dienten ebenfalls Bariumtitanatwandler, jedoch in Scheibenform und mit verschiedenen Abmessungen. Starke Ultraschallwellen erfahren bei der Ausbreitung in Wasser gewisse Verzerrungen. Die anfängliche Sinusform geht bei zunehmendem Abstand in eine Sägezahnform und bei weiterer Zunahme der Entfernung wieder in die Sinusform über. Der erste Effekt ist auf die Zunahme des Temperaturgradienten, der zweite auf die Viskosität und thermische Leitfähigkeit des Mediums zurückzuführen. Vf. konnte die Effekte, die bisher nur an ebenen Wellen beobachtet wurden, auch an Kugelwellen nachweisen. Die in der Sägezahnform enthaltenen Oberwellen wurden zur Kalibrierung der Bariumtitanatempfänger verwendet. Als Normal diente dabei ein Miniatur-Breitband-Titanatwandler. Kallenbach.
- 7–263 J. G. Parker. Rotational and vibrational relaxation in diatomic gases. Phys. Fluids 2, 449–462, 1959, Nr. 4. (Juli/Aug.) (Silver Spring, Maryland, Johns Hopkins Univ., Appl. Phys. Lab.) Für die symmetrischen Hantelmodelle werden die Anziehungskräfte als vom Schwerpunkt der gesamten Molekel ausgehend angesetzt, während für die Abstoßungspotentiale die Atome als Kraftzentren maßgebend seien. Es wird berechnet, wieviel Stöße Z_R bis zur Einstellung des Rotations- und des Schwingungsgleichgewichts (Z_V) erforderlich sind. Z_R steigt schwach, Z_V sinkt stark mit steigender Temperatur. Für Cl₂, N₂ und O₂ erfolgen Vergleiche mit dem Experiment. Abweichungen für letztere beide bei tiefen Temperaturen (kleinere Relaxationszeiten im Experiment) sollen durch Verunreinigungen bedingt sein. Klassische und quantenmechanische Berechnungsweise der Stoßanregung des Schwingungsfreiheitsgrades sind im Anhang gegenübergestellt.
- 7–264 **H. Singh.** Sound absorption in relation to free volume of liquids. Nuovo Cim. (10) 9, 545–546, 1958, Nr. 3. (1. Aug.) (Hoshiarpur, Ind., Panjab Univ., Phys. Honours School.) Im Falle gummielastischer Hochpolymerer, wie Polyisobutylen, wurde von Singh und Nolle gezeigt, daß für konstante viskose Schallabsorptionsverluste das freie Volumen konstant bleibt. Um bei Methylalkohol a/v^2 (α Absorpionskoeffizient, v Frequenz) konstant zu halten, ist bei einer Druckänderung von 480 auf 1650 kg/cm² eine Temperaturerhöhung von 10 auf 50°C notwendig. Dann liegen die Änderungen des spezifischen Volumens unter 3%, d. h. auch hier bleibt für konstante viskose Schallabsorptionsverluste das freie Volumen konstant. Spielen dagegen Relaxationsphänomene bei der Schallabsorption eine wesentliche Rolle, so ergibt sich vergleichsweise z. B. für Kohlenstoffdisulfid eine Änderung des spezifischen Volumens von 23%. Die Änderung der Schallabsorption ist dann nicht mehr in Übereinstimmung mit der Änderung des freien Volumens.
- 7-265 H. W. Helberg. Die Schwingung der Luftteilchen in Modellen poröser Schallabsorber. Acustica 9, 455-463, 1959, Nr. 3. (Göttingen, Univ., 111. Phys. Inst.) An der Schmalseite eines schallharten reflexionsfrei abgeschlossenen Rohres von 0,5×3,5 cm² Querschnitt ist ein Stück Wand von 24 cm Länge durch einen Absorber (RAYLEIGH-Modell) von 23 cm Tiefe ersetzt. Er besteht aus 4 cm² großen Elementen, die parallel angeordnete dünne Stahllamellen in 0,2 mm Abstand voneinander enthalten. Zwischen den Elementen sind Felder freigelassen, um die Bewegung von Öltröpfehen bei Anregung des Rohres mit Frequenzen zwischen 16 und 2500 Hz mikroskopisch beobachten zu können. Die Schnellkomponenten im Absorber und im Rohr vor dem Absorber sowie die Wandimpedanz der Schluckanordnung werden bei verschiedener Orientierung der

Elemente des Absorbers gemessen und mit theoretisch abgeleiteten Werten verglichen. Es wird gute Übereinstimmung festgestellt.

7–266 **G. Venzke.** Die Raumakustik der Kirchen verschiedener Baustilepochen. Acustica 9, 151–154, 1959, Nr. 3. (Braunschweig.) Die raumakustischen Verhältnisse in einigen ür ihre Stil- und Zeitepochen typischen Kirchen werden einander gegenübergestellt und die Frequenzabhängigkeiten ihrer Nachhallzeit diskutiert. (Zfg.) Venzke.

7-267 V. V. Furduev. Interference and coherence of acoustic signals. Soviet Phys.-Acoust. 5, 110-115, 1959, Nr. 1. (Jan./März.) (Engl. Übers. aus: J. Acoust. SSSR 5, 111, 1959, Nr. 1.) (Moscow Elect. Engng Comm. Inst.) Werden zwei Signale, die identisch, über um die Zeit τ gegeneinander verschoben sind, addiert, so setzt sich die mittlere zeistung des Summensignals aus den Leistungen der einzelnen Signale und einem Korrelationsgliede zusammen, das die Kohärenz kennzeichnet und sowohl positiv als nuch negativ sein kann. Vf. zeigt, daß in der Akustik bei Sprache und Musik, anders als n der Optik, der Interferenzeffekt ständig Größe und Vorzeichen ändert. Das Verhalten dieser Änderung wird durch eine "laufende Korrelationsfunktion" unter Zunilfenahme einer exponentiell abklingenden Bewertungsfunktion beschrieben. Die Überegungen werden auf den Nachhall in geschlossenen Räumen angewandt.

Callenbach.

7-268 **T. D. Northwood, M. T. Grisaru** and **M. A. Medeof.** Absorption of sound by a strip of absorptive material in a diffuse sound field. Berichtigung. J. acoust. Soc. Amer. **31**, 141, 1959, Nr. 8. (Aug.) (Ottawa, Can., Nat. Res. Counc., Div. Build. Res.) Ber. Nr. 6-218. Schön.

2-269 L. X. Nepomuceno. Der akustische Gleichrichter — ein richtungsabhängiges Element. An. Acad. brasil. Ci. 31, 37—48, 1959, Nr. 1. (März.) (S. José dos Campos, S. P., nst. tecnol. Aeronáut.) Vf. beschreibt eine Anordnung, die aus mehreren Reihen reestaffelt hintereinander aufgestellter paralleler Halbzylinderschalen (10 mm Außenlurchmesser) besteht. Eine solche Konfiguration zeigt einen akustischen Gleichrichterestekt. Das Verhältnis der Durchlaß- zur Sperrdämpfung beträgt 2, es steigt bei einer Reihe von Resonanzfrequenzen, die sich aus der Geometrie der Anordnung ergeben, teilweise bis zu 30 an. Elektrische Ersatzschaltbilder für die Wirkungsweise werden antegeben. Anwendungsmöglichkeiten bieten sich z. B. bei der Geräuschausfilterung bei Ventilatoren und Klimaanlagen sowie der Begrenzung von Motorgeräuschen, hauptsächlich für Düsenflugzeuge. Dazu ist jedoch eine genaue Dimensionierung der Gleichichter erforderlich.

2-270 Saburo Uemura. Flux-responsive reproducing head. Electrotech. J. Japan 4, 42-145, 1958, Nr. 4. (Dez.) Es wird ein Abhörkopf für Tonbandgeräte beschrieben, wei welchem die Ausgangsgröße direkt proportional dem Bandfluß und nicht wie sonst iblich proportional der zeitlichen Änderung des Bandflusses beim Abtasten des Bandes st. Dies wird dadurch erreicht, daß der Kopf den frequenzbestimmenden Teil eines Ichwingungskreises (500 kHz) bildet, dessen Induktanz durch den Bandfluß geändert wird. Die HF-Schwingung wird daher frequenzmoduliert und kann durch einen FM-Detektor demoduliert werden. Der Kopf ermöglicht die Abtastung sehr niedriger Frequenzen bei sehr kleiner Bandgeschwindigkeit.

VII. Optik

-271 Franz-Ludwig Deubner. Über die Verminderung des Streulichts in Abbildungsgetemen. Z. Astrophys. 47, 34–38, 1959, Nr. 1. (19. Jan.) (Freiburg/Br., Fraunhofer-Inst.) bei einem einfachen optischen Abbildungssystem wird untersucht, wie die Streulichtnensität am Bildort von der Lage der Streulichtquelle innerhalb des Strahlenganges bhängt. Es stellt sich heraus, daß die Streulichtintensität maximale Werte annimmt, enn sich die streuenden Flächen in der Nähe der Fokalebenen befinden.

Kiepenheuer.

Erik Ingelstam. Objektivprüfgeräte zur Messung der komplexen Kontrastübertragungsfunktion im Stockholmer "Institutet för optisk forskning". Photogr. Korr. 95, 135-138, 1959, Nr. 9. (Stockholm, Inst. optisk forskning.) Es wird die Prüfeinrichtung des Stockholmer Institutes mit ihren Einzelheiten beschrieben. Eine Wolframbandlampe wird durch einen Kondensor in die Bildebene eines Mikroobjektives abgebildet. Dieses beleuchtet mit großer Apertur eine Lochblende von etwa 2 um Lochdurchmesser. Das beleuchtete Loch wird durch den Prüfling im Unendlichen abgebildet. Ein gut korrigierter Kollimator bildet in seiner Brennebene das Loch ab. In dieser Bildebene befindet sich ein rotierender Sektorstern mit 128 Sektoren und dahinter ein Multiplier. Der Sektorstern ist in der Höhe und Seite verschiebbar, so daß verschiedene feine Gitterlinien unter verschiedenen Azimuten das Punktbild überstreichen können. Während sich so kontinuierlich im Bereich des Sektorsterns die Ortsfrequenz beim Verschieben des Sterns ändert, bleibt die Zeitfrequenz, die bei konstanter Drehzahl des Sterns erzeugt wird, fest. Daher genügt zur Registrierung der Kontrastübertragungsfunktion (CT-Funktion) ein Resonanzverstärker, der gleichzeitig die unerwünschten Oberwellen, die infolge der rechtecktigen Sektoren entstehen, heraussiebt, und nach Gleichrichtung ein Gleichstromschreiber. Für außeraxiale Bildpunkte wird die CT-Funktion druch Drehen des Prüflings um den Knotenpunkt und entsprechender Änderung des Abstandes vom Objektloch mittels eines T-Lineals gefunden. Es wird die Möglichkeit der Phasenmessung der Übertragungsfunktion angegeben.

Rosenbruch.

- 7-273 K. Rosenhauer und K.-J. Rosenbruch. Messung der Übertragungsphase mit dem Gittertestverfahren. Opt. Acta 6, 234 251, 1959, Nr. 3. (Juli.) (Braunschweig, Phys.-Tech. Bundesanst.) Ein Verfahren für die Messung der komplexen Übertragungsfunktion optischer Systeme wird angegeben, und die an verschiedenen Kleinbildobjektiven erhaltenen Ergebnisse werden mitgeteilt. Im allgemeinen bestimmt der Realteil der komplexen Übertragungsfunktion, der meist als Kontrastübertragungsfunktion, schlechthin bezeichnet wird, hinreichend die Gesamtbildqualität. Der imaginäre, die Phasenverschiebung bestimmende Anteil nimmt nur dann größere Beträge an, wenn die Kontrastübertragungsfaktor kleiner als 0,2 ist. Der Einfluß von Einzelbildfehlern, z. B. Koma und Bildfeldwölbung, auf die Gesamtbildqualität kann nur bei Kenntnis der Übertragungsphase richtig beurteilt werden.
- 7 274 G. C. Higgins, R. L. Lamberts and R. N. Wolfe. Validation of sine-wave analysis for photographic systems. Opt. Acta 6, 272-278, 1959, Nr. 3. (Juli.) (Rochester, N. Y., Eastman Kodak Co., Res. Labs.) Wenn die Differenzen der Beleuchtungsintensität B im Objekt einer photographischen Aufnahme nicht viel größer als $\log \Delta B = 0.5$ sind, kann man die Wiedergabe des Bildes einer Kante errechnen, wenn die Kontrastübertragungsfunktionen des Objektivs, des Negativfilms, und des Positivfilms bekannt sind. Ein Instrument wurde konstruiert, um ein Diapositiv punktweise zu photographieren, damit die über das Bildfeld schwankende Kontrastübertragungsfunktion des Objektivs als nahezu konstant angenommen werden konnte. Es wurden neun Bilder mit verschiedener, aber über das gesamte Format gleichmäßiger Abbildungsqualität aufgenommen. Diese Bilder wurden von Versuchspersonen nach ihrer Güte bewertet und aus den gemessenen Kontrastübertragungsfunktionen wurde nach dem Vorschlag von SCHADE die "äquivalente Bandbreite" berechnet. Die graphische Darstellung dieser beiden Qualitätsmessungen zeigt, daß man qualitativ richtige Ergebnisse er hält, daß die quantitativen Werte aber erhebliche Abweichungen ergeben. Wahrschein lich kann man mit einer Zahl weder den Inhalt der Kontrastübertragungsfunktion noch die visuell empfundene Bildgüte charakterisieren. Rosenbruch.
- 7-275 Jacques Simon. Utilisation d'une méthode visuelle pour la mesure du facteur contraste d'un objectif. Opt. Acta 6, 279-284, 1959, Nr. 3. (Juli.) (Paris, Inst. Opt. Es wurde ein Gerät entwickelt, das es gestattet, die Kontrastübertragungsfunktior eines optischen Systems visuell zu messen. Es werden Teste mit sinusförmiger Helligkeits verteilung einmal über ein ideales Abbildungssystem und gleichzeitig über den Prüfling und ein Mikroobjektiv so abgebildet, daß man beide Abbildungen mit einem Okulat gleichzeitig beobachten kann. Durch passende Anordnung und Umlenkspiegel sind beide

Abbildungen im Okular übereinander gleichgroß sichtbar. In der Pupille des gut korrigierten Fernrohrobjektivs besindet sich eine rechteckförmige Blende. Durch Drehen dieser Blende wird der Kontrast infolge der sich ändernden beugenden Öffnung im Vergleichsbild verändert, ohne die mittlere Beleuchtungsstärke dieses Bildes zu beeinstlussen. Bei der Messung werden durch Drehen der Blende beide Bilder auf gleichen Kontrast eingestellt. Bei hinreichender Gesichtsfeldgröße und -helligkeit kann der Kontrastabgleich auf besser als 1% eingestellt werden. Aus dem Drehwinkel der Blende läßt sich der eingestellte Kontrast berechnen, solange die Voraussetzung gilt, daß das Vergleichsobjektiv ideal ist.

7-276 Francis E. Washer, William P. Tayman and Walter R. Darling. Evaluation of lens distortion by visual and photographic methods. J. Res. nat. Bur. Stand. 61, 509, 1958, Nr. 6. (Dez.) (Washington.) Es wird über die Genauigkeit von Messungen der Verzeichnung vom Objektiven nach einer visuellen und photographischen Methode berichtet. Die systematischen Unterschiede ließen sich beheben, nachdem die verschiedenen Fehlerquellen beseitigt, verkleinert oder bei der Berechnung des Ergebnisses berücksichtigt wurden. Die photographische Methode benutzt eine Präzisions-Objektivprüfkamera, die visuelle Methode benutzt eine optische Bank, bei der zur Einstellung der Bildwinkel der Prüfling um den Knotenpunkt geschwenkt wird. Während die ursprüngliche Meßgenauigkeit nur eine Übereinstimmung der Werte der Verzeichnung von $\pm 20~\mu m$ erlaubte, gestattete die sorgfältige Überprüfung beider Methoden Verzeichnungsmessungen auf $\pm 5~\mu m$ zu machen. Die Hauptfehlerquelle lag in der Unebenheit des Plattenhalters bei der photographischen Methode.

7-277 Martial Lachenaud. Sur les possibilités de réalisation de systèmes optiques pour le moyen et le lointain infrarouge avec des monocristaux synthétiques artificiels. Rev. Opt. (théor. instrum.) 38, 541—555, 1959, Nr. 12. (Dez.) Die industrielle Herstellung synthetischer Einkristalle macht die Konstruktion korrigierter Abbildungssysteme für das mittlere und ferne ultrarote Spektralgebiet möglich. Die für diesen Zweck geeigneten Materialien, Thalliumbromid, Silberchlorid und Cäsiumchlorid und Cäsiumbromid werden bezüglich ihrer optischen Eigenschaften und bezüglich ihrer Bearbeitungsfähigkeit besprochen. Thalliumbromojodid (KRS-5) kombiniert mit Cäsiumjodid erlaubt die Herstellung einer achromatischen Kombination, die in bezug auf sphärische Aberration und Koma bis etwa 4 µ/m korrigiert ist. Nachdem Silberchlorid durch Zusätze genügend hart gemacht werden konnte, um optische Politur zu ermöglichen, können durch Kombination mit Cäsiumbromid Systeme bis etwa 15 µ/m entwickelt werden. Einzelheiten verschiedener bisher konstruierter Systeme werden ebenfalls besprochen. Bartholomevezyk.

7-278 Shinya Inoué and Hiroshi Kubota. Diffraction anomaly in polarizing microscopes. Nature, Lond. 182, 4725-4726, 1958, Nr. 4651. (20. Dez.) (Rochester, Univ., Inst. Opt.) Vgl. Shinya Inoué and W. Lewis Hyde, J. Bioph. Biochem. Cyt. 25, 831, 1957 u. Ber. 3-323.

7–279 **Jumpei Tsujiuchi.** Influence de l'aberration du condenseur sur l'image formée dans un microscope. Rev. Opt. (théor. instrum.) **38**, 57–74, 1959, Nr. 2. (Febr.) (Tokyo, Gov. Mech. Lab.) Dieser Einfluß tritt dann auf, wenn die Aberration des Kondensors groß und die Lichtquelle klein ist.

Heilig.

7-280 L. A. Duncanson, J. W. Eddell, M. B. Lloyd and W. T. Moore. Diffraction gratings for the measurement of spectra in the $20-100~\mu$ region. Spectrochim. Acta 1959, S. 64-69, Nr. 1. (März.) (The Frythe, Welwyn, Herts., I. C. I., Akers Res. Lab.) Es wird eine Methode zur Herstellung von Echelette-Gittern mit 200-400~Furchen/Zoll beschrieben. Die Registrierkurven von mit diesen Gittern aufgenommenem Wasserdampf sind abgebildet.

7-281 R. A. G. Carrington. A reference beam attenuator for use in infra-red spectroscopy. Spectrochim. Acta 1959, S. 157-159, Nr. 2. (Apr.) (Chester, Shell Res., Thornton Res. Center.) Zur Schwächung der Intensität des Vergleichsstrahles in einem Zweistrahlphotometer, um bei stark absorbierenden Proben den Untergrund zu vermindern, wird eine rotierende Lochscheibe verwendet.

7-282 S. G. Rautian. Real spectral apparatus. Soviet Phys.-Usphekhi 1, 245-273, 1958, Nr. 2. (Nov./Dez.) (Engl. Übers. aus: Usp. fis. Nauk 66, 475-517, 1958, Nov.) Die Probleme der Entzerrung gemessener oder registrierter spektraler Energieverteilungen, die durch die Apparatefunktionen der Spektralgeräte, der Registriereinrichtungen und weiter durch zufällige Fehler, etwa durch Schwankungserscheinungen des Empfängers, gestört sind, werden unter sehr allgemeinen Gesichtspunkten besprochen und in Zusammenhang mit den verschiedenen Definitionen des Auflösungsvermögens gebracht. Ein ausführlicher Überblick (mit sehr vielen, besonders neueren russischen Literaturangaben) über praktische Entzerrungsmethoden, die dabei benutzten Typen von Apparatefunktionen und Linienprofilen wird durch die Verwendung der Schreibung der grundlegenden Entzerrungsintegralgleichung in FOURIER-transformierter Form erleichtert und die inneren Zusammenhänge der verschiedenen bekannten Methoden dadurch erkennbar. Die Grenzen, die den Entzerrungsverfahren durch die zufälligen Meßfehler gesetzt sind und die bekanntlich in höheren Näherungen zu Instabilitäten führen, sind bedingt durch die höheren divergierenden harmonischen Komponenten des Störpegels. Die Konsequenz ist, daß die Eindeutigkeit der entzerrten Spektralverteilung - die im übrigen auch noch an gewisse Voraussetzungen über die Apparatefunktion bzw. deren FOURIER-Komponenten geknüpft ist - nicht von vornherein gesichert ist, wenn nicht weitere unabhängige Informationen herangezogen werden. — Da die klassische Definition des Auflösungsvermögens (RAYLEIGH) und spätere Erweiterungen (SPARROW) lediglich auf das Verhalten der gemessenen Verteilung in der näheren Umgebung des Linienschwerpunktes beruhen, ist neuerdings bei quantitativen Messungen mit mathematischer Auswertung der gesamten gemessenen Verteilung eine weitgehend verallgemeinerte Konzeption des Auflösungsvermögens verwendet worden. Danach wäre die Grenze des Auflösungsvermögens eines Spektralgerätes dadurch festzulegen, daß die Abweichungen der gemessenen Verteilung von der Apparatefunktion gleich werden dem mittleren Fehlerquadrat der Messung.

Bartholomeyczyk.

7-283 G. S. Denissoff. Über die Messung der Intensität starker Absorptionsbanden in den infraroten Spektren von Flüssigkeiten. Opt. i Spektrosk. 6, 475-477, 1959, Nr. 4. (Orig. russ.) Zur Untersuchung der Absorptionsspektren stark absorbierender Flüssigkeiten im Infrarot wurden Absorptionsküvetten mit sehr ebenen Steinsalzfenstern und im Vakuum aufgedampften Abstandsringen hergestellt. Die interferometrisch gemessenen Plattenabstände betrugen 1 bis 5 µ. Der mögliche Einfluß der selektiven Reflexion infolge der Verschiedenheit der Brechungsexponenten an der Grenzfläche Fenster-Flüssigkeit auf die Integralintensität und die Bandenkontur wird diskutiert.

v. Keussler.

- 7-284 W. I. Malyscheff und S. G. Rautian. Die Benutzung des Echelettegitters bei großen Beugungswinkeln. Opt. i Spektrosk. 6, 550-555, 1959, Nr. 4. (Orig. russ.) Es wird eine Gitteraufstellung beschrieben, bei der die Reflexion nicht, wie gewöhnlich, an der langen, sondern an der kurzen Seite der dreieckförmigen unsymmetrischen Gitterfurche erfolgt, so daß unter einem großen Winkel zur Gitternormale eingestrahlt und gebeugt wird. Durch Anwendung dieser Aufstellung konnte das Auflösungsvermögen bis zum Doppelten erhöht werden. Außerdem kann mit ihr bei vergrößertem Auflösungsvermögen mit dem gleichen Gitter ein größerer Wellenlängenbereich erfaßt werden.
- 7-285 W. K. Ablekoff. Über Bearbeitung mit Hilfe des Fabry-Perot-Interferometers erhaltener Spektrogramme. Opt. i Spektrosk. 6, 562-564, 1959, Nr. 4. (Orig. russ.) Der exakte Ausdruck für die Apparatefunktion des Fabry-Perot-Interferometers wird durch eine Näherung ersetzt und die Halbwertsbreite näherungsweise bestimmt. Sodann wird unter Zuhilfenahme der Operatorentheorie von Mikusinski, die eine leicht zu handhabende Beziehung zwischen der wahren Intensitätsverteilung, der Apparatefunktion und der resultierenden Intensitätsverteilung liefert, eine Beziehung angegeben, die gestattet, die wahre Intensitätsverteilung zu bestimmen.
- 7-286 J. N. Schkljarewski und A. A. Awdejenko. Erhöhung der Lichtdurchlässigkeit metallischer Deckschichten. Opt. i Spektrosk. 6, 678-684, 1959, Nr. 5. (Orig. russ.) Durch

Aufdampfen dünner Silberschichten auf Glas wurde die Durchlässigkeit daraufhin auf diese Silberunterlage aufgedampfter Aluminiumschichten im Gebiet 0,6-1,1 µ um den Faktor 2 und mehr erhöht. Auf diese Weise konnte die Leistungsfähigkeit eines Perot-Fabry-Interferometers wesentlich erhöht werden.

- 7–287 **R. E. Kagarise** and **J. W. Mayfield.** Simple interferometer for dispersion measurements of liquids in the $2-22~\mu$ region. Berichtigung. J. opt. Soc. Amer. 49, 1228, 1959, Nr. 12. (Dez.) Ber. 38, 1180, 1959.
- 7–288 **M. Faulstich.** Infrarotdurchlässige Gläser. Beitr. z. angew. Glasforsch. 1959, S. 269–286. (Mainz, Schott u. Gen., Zentr. Lab.) Nach einem Überblick über die verschiedenen Entwicklungsperioden seit 1870 wird gezeigt, daß mit dem Einsatz der (Arsensulfid-, Calciumaluminat-, Fluorphosphat- und Fluorid-)Gläser der Infrarot-Technik brauchbare Hilfsmittel zur Verfügung stehen.
- 7 289 H. Schröder. Wärmerestektierende Gläser. Beitr. z. angew. Glasforsch. 1959, S. 287—303. (Mainz, Schott u. Gen., Zentr. Lab.) Neben den bekannten Absorptionsgläsern stehen zur Abschirmung von Wärmestrahlen auch oberstächenbelegte Gläser (z. B. mit halbleitenden Metalloxydschichten) zur Verfügung, welche je nach Art des Belages begrenzte oder ausgedehnte Bereiche des ultraroten Spektrums wirksam restlektieren und Ausgaben zu erfüllen vermögen, für welche die üblichen Absorptionsgläser ungeeignet sind (a. d. Zfg.).
- 7-290 **0.** Vinz. Farben von Interferenzfiltern. Beitr. z. angew. Glasforsch. 1959, S. 1844—354. (Mainz, Schott u. Gen., Zentr. Lab.) Bei Beurteilung der Optimalfarbeigenschaften müssen die Gebiete geringen Filterdurchlasses (sog. Filterfüße) berücksichtigt werden. Zweckmäßig werden dabei nicht die Normreizkurven, sondern die Fransmissionskurve in flächengleiche Intervalle aufgegliedert, dann die spektrale Empfindlichkeit des Auges plus Filters $(\overline{\chi}_{\lambda})$ aufgesucht und summiert. So kann u. a. festgestellt werden, wie Farbton und Sättigung einer Interferenzfilterfarbe von der Lage des Maximums abhängen.
- 7-291 R. Schläfer. Anwendung monochromatischer Filter in den Naturwissenschaften. Beitr. z. angew. Glasforsch. 1959, S. 318-343. (Mainz, Schott u. Gen., Zentr. Lab.) Es werden besprochen: die eine Filteranordnung charakterisierenden Größen (wirksame Filterkurve, Trennfaktor, Gesamtdurchlässigkeit, Wirkung vom Sender auf den Empfänger), die verschiedenen (Absorptions-, Dispersions-, Interferenz-, Reflexions-) Filter Es folgen Anwendungsbeispiele für Interferenzfilter (u. a. Messung der spektralen Empfindlichkeit verschiedener Empfänger, spektrales Verhalten von Objekten in Durch- und Aufsicht, Fluoreszenzanalyse, RAMAN-Spektroskopie, Farbvergleich).

H. Ebert.

7-292 P. H. Lissberger and W. L. Wilcock. Properties of all-dielectric interference filters. 11. Filters in parallel beams of light incident obliquely and in convergent beams. Berichtigung. J. opt. Soc. Amer. 49, 1228, 1959, Nr. 12. (Dez.) Ber. Nr. 6-259.

Schör

7-293 Fritz König. Die Trägheit von Selensperrschicht-Photoelementen. Z. angew. Phys. 11, 418-428, 1959, Nr. 11. (Nov.) (Köln, Univ., H. Phys. Inst.) An 16 verschieden bergestellten Selen-Photoelementen wurde die Abhängigkeit von Frequenz und Vorspannung 1. des Scheinwiderstandes im Dunkeln und bei schwacher Beleuchtung sowie 2. der Photowechselspannung bei schwachem, intermittierendem Licht, bei Leerlauf und bei ohmschen Abschlußwiderständen gemessen. Eine Zweipoldarstellung unter Werwendung des Dunkelwiderstandes erfordert die Annahme einer Phasenverschiebung zwischen eingeprägtem Strom und dem Wechsellicht, die noch von der Zellenspannung schlängt. Die wesentlichsten Züge des Wechsellichtverhaltens lassen sich aus der Schottkyschen Theorie — jedoch nicht der vereinfachten — verstehen. Bei tiefen Frequenzen (unter 15 Hz) treten jedoch stärke Relaxationserscheinungen mit großen Zeitkonstanten auf, welche mit diesen Überlegungen nicht erfaßt werden können.

lenker.

7–294 Abbott Smith and David Dutton. Behavior of lead sulfide photocells in the ultraviolet. J. opt. Soc. Amer. 48, 1007–1009, 1958, Nr. 12. (Dez.) (Rochester, N. Y., Univ., Inst. Opt.) Die spektrale Empfindlichkeit von einigen Eastman-Kodak-Bleisulfid-Zellen wurde im Spektralbereich von 0,2 bis 2,0 μ gemessen. Die daraus bestimmte Quantenausbeute (definiert als die Anzahl der im Außenkreis fließenden Elektronen pro einfallendem Photon) ist von 2,0 bis 1,6 μ etwa konstant 0,75, steigt dann von 1,6 bis 1,0 μ auf etwa 1 an, bleibt von da konstant bis etwa 0,6 μ und steigt dann nach kürzeren Wellen hin auf 3,5 bei 0,2 μ an. Die bei 0,26 und 1,2 μ durchgeführten Messungen der Zeitkonstanten ergaben für beide Wellenlängenbereiche ungefähr gleiche Trägerlebensdauer. Demzufolge wird die Zunahme in der Quantenempfindlichkeit auf eine Zunahme der Zahl der angeregten Elektronen pro Quant bei kürzeren Wellenlängen infolge sekundärer Anregung zurückgeführt.

- 7-295 Nicole Louisnard et André Girard. Mesures effectuées sur quelques cellules photorésistantes dans l'infrarouge. Rev. Opt. (théor. instrum.) 38, 556-562, 1959, Nr. 12. (Dez.) Mit Hinblick auf ihre praktische Verwendbarkeit im schnellansprechenden Ultrarotspektrographen wurden 20 verschiedene Bleisulfid-, Bleiselenid- und Bleitellurid-Photowiderstände im Spektralgebiet von 1-6 µm auf ihre Frequenzabhängigkeit, spektralen Empfindlichkeitsverlauf, rauschäquivalente Eingangsleistung und örtliche Empfindlichkeitsverteilung an den einzelnen Punkten ihrer Oberfläche untersucht. Die Ergebnisse sind in Tabellen- und Kurvenform dargestellt. Die gemessenen Empfindlichkeiten der einzelnen Zellen im jeweitigen spektralen Maximum streuen in weitem Bereich zwischen 10² und 10⁵ V/W, die Zeitkonstanten zwischen etwa 10 und 800 µs. Die erfaßbare minimale Strahlungsleistung bewegt sich zwischen 10-8 und 10-11 Watt.
- 7–296 R. Clark Jones. Quantum efficiency of detectors for visible and infrared radiation. Advanc. Electron. 11, 87–183, 1959. (Cambridge, Mass., Polaroid Corp., Res. Lab.) Zur Beurteilung von Strahlungsempfängern wird eine Güteziffer Q_D ("Detective Quantum Efficiency") verwendet, die durch den Quotienten aus dem Quadrat des gemessenen und dem Quadrat des maximal möglichen Signal/Rausch-Verhältnisses bei monochromatischer Bestrahlung des Empfängers definiert ist. Für den idealen Empfänger mit $Q_D=1$ wird das Photonenrauschen der ständig aus der Umgebung auf den Empfänger treffenden konstanten Untergrundstrahlung (Tageslicht, Temperaturstrahlung des Empfängergehäuses usw.) als einzige Rauschquelle angesetzt. Die Berechnung dieser Güteziffer wird u. a. für das menschliche Auge, Photozellen, Vervielfacher, photographisches Negativmaterial, Photowiderstände und -elemente sowie thermische Empfänger angegeben; hierzu werden eine Reihe von z. T. noch unveröffentlichten Empfängerdaten mitgeteilt.
- 7-297 A. O. Sall. Über den Schwellenwert des optisch-akustischen Strahlungsempfängers. II. Räumlich ungleichmäßiges Wärmeauftreten in der Kammer des selektiven Empfängers. Hohe Zerhackungsfrequenz. Opt. i Spektrosk. 6, 556-561, 1959, Nr. 4. (Orig. russ.) Die Vorgänge in der gasgefüllten Kammer des Strahlungsempfängers werden einer theoretischen Betrachtung unterzogen. Zur numerischen Berechnung des Schwellenwertes für selektive und nichtselektive Strahlungsempfänger werden für hohe Zerhackungsfrequenz gültige Formeln abgeleitet. Für die Bestimmung der optimalen Zylinderlänge des selektiven Empfängers sowie die optimale Gaskonzentration werden ebenfalls Formeln aufgestellt.
- 7-298 M. L. Weingeroff, A. A. Ssiwkoff und A. P. Petroff. Das Crookes'sche Radiometer als Strahlungsmodulator. Opt. i Spektrosk. 6, 713, 1959, Nr. 5. (Orig. russ.) Ein Radiometer mit um 45° geneigtem Blättchen, das durch ein auf die geschwärzte Blättchenseite auftreffendes Strahlenbündel in Bewegung gehalten wird, moduliert durch periodische Unterbrechung ein anderes auf die spiegelnde Seite der Blättchen auffallendes Strahlenbündel.
- 7–299 Kazuki Ito and Kyohei Yamamura. Spectral reflectance measurement of white diffusing paint for photometric sphere. Bull. electrotech. Lab. Tokyo 23, 542–544/556

- 959, Nr. 7. (Orig. jap. m. engl. Zfg.) Um den Fehler abzuschätzen, der bei Messungen i der Photometerkugel infolge der nicht völlig aselektiven Reflexion des weißen Antrichs entsteht, wird der spektrale Reflexionsgrad verschiedener Anstriche (ZnO, MgO) ach der Methode von TERRIEN gemessen (Tabelle). Aus den Ergebnissen wird der orrektionsfaktor für die heterochromatische Photometrie mit der Photometerkugel rmittelt.
- -300 Wolfgang Hellenthal. Ein einfaches lichtelektrisches Kompensationspolarimeter nter Anwendung der Magnetorotation. Z. Instrum.-Kde 68, 16 17, 1960, Nr. 1. (Jan.) Münster/Westf., Univ., Phys. Inst.) Zur Untersuchung der magnetischen Eigen-chaften dünner, ferromagnetischer Schichten wird ein lichtelektrisches Polarimeter enutzt, bei welchem die magnetooptische Rotation (FARADAY-Effekt) durch ein lagnetfeld kompensiert und dabei auf die Nullstellung gekreuzter Polarisatoren einestellt wird. Teilkreise und andere, mechanisch zu bewegende Bauteile werden auf iese Weise vermieden, und es wird eine Genauigkeit von 10-3 Grad erreicht. Die Anendbarkeit der Methode für chemische und biologische Untersuchungen wird angeeutet.
- -301 Tibor Török. Hochspannungsfunkenerzeuger mit mechanisch gesteuertem Laderomkreis. Exp. Tech. Phys. 7, 49-59, 1959, Nr. 2. (Budapest, Loránd Eötvös Univ., ist. anorg. u. analyt. Chem.) Die periodische Erzeugung von Hochspannungsfunken folgt mit Hilfe eines rotierenden Synchronschalters im Ladestromkreis. Dieser schaltet nen Transformator eine Viertelperiode an einen Kondensator, wobei sich dieser aufdt. Anschließend wird der Kondensator abgeschaltet und kann sich über die Analysennkenstrecke entladen. Der zeitliche Verlauf der Kondensatorspannung wird auf Grund er für periodische und aperiodische Dämpfung gültigen Formeln des Ausgleichsstromes erechnet, insbesondere für zwei Schaltzeitpunkte: (a) wenn die stationäre Spannung eich Null ist (Einrichtung mit gesteuertem Ladestromkreis) und (b) wenn die stationäre pannung maximal ist (einfache Feussner-Einrichtung). Abschließend werden die für e verschiedenen Fälle notwendigen Dämpfungswiderstandswerte berechnet sowie das oblem der Überspannungen diskutiert.
- 302 H. M. Davis and J. Campbell. A versatile lightweight spectrographic source unit. tomic Energy Res. Establ. (Harwell) Rep. 1959, Nr. C/R 2605, S. 1-9. (Woolwich, K. A. E. A. Res. Group. Chem. Div.) Eine ausführliche Bauanleitung mit Schalthemata, Einzelteillisten, Zeichnungen und Abbildungen für ein handliches, vielseitig rwendbares Anregungsgerät für Spektralanalyse wird angegeben, das den Bereich n einer funkenähnlichen Entladung bis zum Abreißbogen bei einer Entladungsfolge H.-J. Hübner. n 50 oder 100 je sec umfaßt.
- 303 E. Jackwerth und H. Specker. Photometrische Wasserbestimmung in Ketonen, tern und Äthern. Z. anal. Chem. 171, 270-274, 1959, Nr. 4. (8. Dez.) (Dortmundolerbeck, Inst. Spektrochem., angew. Spektroskopie; Münster, Westf. Wilhelms-Univ.) e Abhängigkeit der Extinktion des Lithiumtrichlorocuprats in Ketonen, Estern und hern vom Wassergehalt der Lösungsmittel wird zur photometrischen Wasserbestim-Ach. ing benutzt.
- Joseph B. Keller. How dark is the shadow of a round-ended screen? J. appl. Phys. 304 , 1452-1454, 1959, Nr. 9. (Sept.) (New York, N. Y., Univ., Inst. Math. Sei.) Berech-Willenberg. ng der Beugungsfigur hinter einem Schirm.
- Harold Levine. Diffraction by an infinite slit. J. appl. Phys. 30, 1673-1682, 1959, 305 . 11. (Nov.) (Stanford, Calif., Univ., Appl. Math. Statist. Lab.) Die Beugung ebener ellen an einem unendlich langen Spalt wird unter Berücksichtigung streifenden Einls und kurzer Wellenlänge gegenüber der Spaltbreite untersucht. Eine zweckmäßige rmulierung des Randwertproblems ergibt die Feldverteilung in der Schirmebene rch Fourier-Transformation und läßt die Transmission des Spaltes direkt angeben. e Feldverteilungen auf dem Schirm werden durch ein Paar von Integralgleichungen geben, die für kurze Wellenlängen bei beliebigem Einfallswinkel eine systematische

Approximation erlauben. Einige Terme der asymptotischen Entwicklung werden für schrägen Einfall angegeben, und für den Fall, daß die Entwicklung bei streifendem: Einfall versagt, werden dafür Ausdrücke durch einen Grenzprozeß hergeleitet. Es werden Vergleiche mit den Ergebnissen am unendlichen Streifen angestellt. Hora.

- 7-306 W.S. Ssuchorukich. Die Fresnelsche Beugung an einem schmalen Schirm, einem Spalt und einer Halbebene bei einer nichtsphärischen Welle. Opt. i. Spektrosk 6, 523-527, 1959, Nr. 4. (Orig. russ.) Eine auf den Vorstellungen von Huygens basierende unstrenge Methode zur Lösung von Beugungsproblemen wird auf die Fresnelsche Beugung einer nichtsphärischen Welle an einem schmalen Schirm, einem Spalt und einer Halbebene angewendet. Die erhaltenen Ergebnisse werden unter Verwendung einer zylindrischen Lichtwelle experimentell geprüft.
- 7-307 E. A. Blyakhman and L. A. Chernov. Dependence of the pulsation frequency of a field at the focus of a lens on the dimensions of the diaphragm. Soviet Phys.-Acoust. 5, 20-23, 1959, Nr. 1. (Jan./März.) (Engl. Übers. aus.: J. Acoust. SSSR 5, 21, 1959, Nr. 1.) Bei der Wellenausbreitung in Medien mit statistisch verteilten Inhomogenitäten treten Schwankungen am Empfangsort auf, wenn die Inhomogenitäten sich bewegen. In einer früheren Arbeit hatten Vff. bereits die Abhängigkeit der spektralen Dichte der Feldschwankungsfrequenz von dem Durchmesser des Empfangssystems bei geordneter Bewegung der Inhomogenitäten untersucht. Die vorliegende Arbeit befaßt sich mit dem gleichen Problem bei statistisch ungeordneter Bewegung der Inhomogenitäten. Es wird ein Ausdruck für den quadratischen Mittelwert | \$\overline{\pi}^2\$ der Pulsationsfrequenz angegeben. Mit zunehmendem Durchmesser der Blendenöffnung nimmt die mittlere Pulsationsfrequenz ab. Experimentelle Daten, die aus dem Funkelessekt bei Sternbeobachtungen gewonnen wurden, bestätigten die gewonnenen Ergebnisse. Kallenbach.
- 7-308 M. N. Krom. Field fluctuations near the focus of a lens. Soviet Phys.-Acoust. 5, 43-48, 1959, Nr. 1. (Jan./März.) (Engl. Übers. aus: J. Acoust. SSSR 5, 45, 1959, Nr. 1.) Es werden die Feldschwankungen in der Nähe des Brennpunktes einer großen Linse berechnet, die entstehen, wenn die aufgefangenen Wellen ein Medium mit zeitlich schwankenden Inhomogenitäten passiert haben. Das Problem wurde bereits von Krasil'nikov und Tatarskii untersucht, jedoch unter der Voraussetzung, daß die Amplituden- und Phasenschwankungen klein sind. Chernov hat sich in seinen Berechnungen auf sehr große und sehr kleine Schwankungen beschränkt und bestimmte Verhältnisse zwischen Blendenöffnung und Korrelationsradius vorausgesetzt. Die Untersuchungen des Vf. sind von diesen Voraussetzungen frei. Die Ergebnisse werden für eine Reihe von Parameterwerten graphisch dargestellt. Kallenbach.
- J. Vincent-Geisse et M. J. Lecomte. Mesures récentes de constantes optiques dans Vinfrarouge, J. Phys. Radium 20, 841-848, 1959, Nr. 1. (Nov.) (Paris, Sorbonne, Lab Rech. Phys.) Die Arbeit teilt Messungen des Ultrarot-Laboratoriums der Sorbonne von Brechzahlen und Absorptionskonstanten verschiedener Substanzen im Gebiet von 1 bi 30 μ mit. Dabei wurde die Methode der Minimalablenkung beim Prisma und die de Totalreflexion benutzt, soweit die Durchlässigkeit sie zuließ. Die Interferenzmethod kam für Flüssigkeiten und Gebiete schwacher Absorption zur Anwendung. Es werder die Prinzipien der Methoden beschrieben und einige Resultate angeführt, darunter di Dispersion des Glases D 2828 vom "Maison Parra-Mantois", vom 1,2-Dichloräthan vom 1,2-Dibromäthan, Benzol, Tetrachlorkohlenstoff und Chloroform. Auch die Tech nik der Benutzung des Christiansen-Filters wird erwähnt und auf seine Brauchbarkei für spezielle Fälle hingewiesen. Es werden die Ergebnisse von Untersuchungen an de CHRISTIANSEN-Filtern 1. Cäsiumbromid in Tetrachlorkohlenstoff, 2. Quarz in 1,2-Dibrom äthan und 3. Glas D 2828 in Luft sowie der Einfluß der Temperatur auf das Filte CaF₂-CCI₄ angegeben. Mönch.
- 7-310 I.N. Schkljarewski, A. A. Awdejenko und W. G. Padalka. Messung der optische Konstanten des Antimons im infraroten Spektralgebiet bei einer Temperatur von 290 un 110°K. Opt. i Spektrosk. 6, 528-532, 1959, Nr. 4. (Orig. russ.) Der reelle und der im

- inäre Teil des komplexen Brechungsexponenten des Antimons wurden nach der lethode von Avery (Bestimmung der Depolarisation bei zwei verschiedenen Einfallstinkeln) bei 290 und 110°K im Spektralgebiet 1—12 µ gemessen. Mit Hilfe der eraltenen Meßwerte werden für diese Temperaturen Abhängigkeitskurven der beiden trößen von der Wellenlänge sowie des aus ihnen berechneten energetischen Aberptionskoeffizienten konstruiert.
- -311 M. Suffezyński. A model for investigation of the optical properties of noble metals. Bull. Acad. polon. Sci. (math., astr., phys.) 7, 169-173, 1959, Nr. 3. (London, Imperoll., Dep. Math.)

 Behnsch.
- -312 P. G. Kard. Über den Einfluß dünner Schichten auf die Totalrestexion. Opt. i pektrosk. 6, 533-536, 1959, Nr. 4. (Orig. russ.) Der Einfluß einer durchsichtigen Mehrachschicht zwischen zwei Medien auf den bei Totalrestexion an der Grenze dieser Medien intretenden Phasensprung wird theoretisch untersucht. Eine für numerische Berechungen geeignete Rekursionsformel wird aufgestellt. Als Beispiel wird die Berechnung ir eine einfache und eine zweisache Schicht, bei der in einem weiten Spektralbereich ie Disserberat der Phasensprünge der parallel und senkrecht zur Einfallsebene polarierten Komponenten zu einem Minimum wird, durchgeführt. v. Keussler.
- -313 B. P. Kosyreff und O. E. Werschinn. Bestimmung der Spektralkoeffizienten der iffusen Reflexion der infraroten Strahlung an geschwärzten Oberflächen. Opt. i Spektrosk., 542-549, 1959, Nr. 4. (Orig. russ.) Eine Methode zur Bestimmung der diffusen Reexion, bei der die diffus reflektierte Strahlung durch einen halbkugelförmigen sphärichen Spiegel auf den Empfänger konzentriert wird, sowie die ganze Apparatur, die den pektralen Verlauf der spiegelnden und der diffusen Reflexion zu bestimmen gestattet, ird beschrieben. Wellenabhängigkeitskurven der Reflexion im Gebiet von 1 bis 24 µ. Ind für verschiedene Arten von Ruß und für die Bi-, Zn-, Te- und Sb-Schwärze für verschiedene Schichtdicken erhalten worden.
- -314 A. M. Longoni. Teoria non locale dell'effetto Compton. Nuovo Cim. (10) 13, 802 is 808, 1959, Nr. 4. (16. Aug.) (Torino, Univ., Ist. Fis.) Anwendung der nichtlokalen heorie von Wataghin (1957) und Studium des asymptotischen Verhaltens des differenalen Wirkungsquerschnittes mit Hilfe dieser Theorie.

 H. Ebert.
- -315 F. Below und H. Grabke. Ein Näherungsverfahren zur Behandlung der sphärichen Aberration von Objektiven nach den Methoden der theoretischen Nachrichtentechnik. undfunktech. Mitt. 3, 94–96, 1959, Nr. 2. (Apr.) (S. B.) (Hamburg, Inst. Rundfunktech.) Unter der Annahme einer vereinfachten Formel für die sphärische Aberration hotographischer Objektive wird die Helligkeitsverteilung in der Gaussschen Bildebene äherungsweise berechnet.
- pt. Acta 6, 197–215, 1959, Nr. 3. (Juli.) (Rochester, N. Y., Eastman Kodak Co., es. Labs.) Die Arbeit gibt eine Verbesserung der Interpolationsformel des Vf. für die erechnung der Farbabweichung von Gläsern und anderen Materialien für optische insen. Ist ein Glas durch vier Daten gegeben, z. B. Brechzahl n_F , Dispersion $n_F n_C$ and die partielle Dispersion im Ultraviolett und Ultravot, so kann man die Brechzahl ur alle Wellenlängen berechnen. Vf. gibt vier Diagramme, die die optischen Qualiten der Gläser beschreiben: Gibt man die ultraviolette Teildispersion als Funktion der traroten Teildispersion an und wählt drei Gläser aus, die auf einer Geraden in dieser arstellung liegen, so erhält man ein System, das für das Gebiet von 365 nm bis 1010 nm raktisch korrigiert ist.
- 317 Orestes N. Stavroudis. Lens design. A new approach. J. Res. nat. Bur. Stand. BB, 31-42, 1959, Nr. 1. (Juli/Sept.) (Washington, D. C.) Die Arbeit beschreibt eine met Methode, die Aberrationen eines optischen Systems zu definieren und die Anwening dieser Methode bei der optischen Rechnung. Ein System von partiellen Differentialeichungen, die die optische Abbildung definieren, wird im Matrizenform dargestellt ad zur Ableitung der Aberrationen benutzt. Es wird gezeigt, daß die Form der Matrizen

die Berechnung der Aberrationen erleichtert und leicht die Bedingungsgleichung für die Parameter des optischen Systems gefunden werden können. Die Methode wird an dem einfachen Problem einer brechenden sphärischen Fläche demonstriert.

Rosenbruch.

- 7-318 **B. Jurek.** Systèmes rigoureusement aplanétiques à deux surfaces. Opt. Acta **6**, 222-233, 1959, Nr. 3. (Juli.) (Prague, Acad. Tech. Sci., Lab. Opt.) Die Flächen streng aplanatischer Objektive mit dem Objekt im Unendlichen sind niemals sphärisch. Die Form der Flächen kann durch gute Näherungsverfahren festgestellt werden. Für Spiegelsysteme gibt es verschiedene Methoden der exakten Berechnung, die angegeben werden. Rosenbruch.
- 7-319 B. W. Bokutj und F. J. Fedoroff. Zur Theorie der optischen Aktivität der Kristalle111. Allgemeine Gleichung der Normalen. Opt. i Spektrosk. 6, 536-541, 1959, Nr. 4(Orig. russ.) Eine allgemeine Gleichung der Normalen optisch aktiver Kristalle unter
 Berücksichtigung der der magnetischen Aktivität Rechnung tragender Glieder wird in
 invarianter Form abgeleitet. Die Theorie ergibt die Möglichkeit einer Ausbreitung von
 drei Wellen, wobei die Phasengeschwindigkeit der dritten Welle sehr klein im Verhältnis
 zur Lichtgeschwindigkeit sein muß.
- 7-320 I. M. Dion. Monoclinic glycine sulfate: optical parameters. Acta cryst. 12, 259 bis 260, 1959, Nr. 3. (10. März.) (Murray Hill, N. J., Bell Teleph. Lab.) Schön.
- 7-321 S. J. Lewikoff und L. P. Schischatzkaja. Über Wasserstoff- und Quecksilber-Helium-Lampen für C Φ 4-Spektrometer. Opt. i Spektrosk. 6, 688-691, 1959, Nr. 5. (Orig. russ.) Die Konstruktion und Eigenschaften der beiden Lampen werden beschrieben. Die Wasserstofflange dient zur Erzeugung des für Absorptionsmessungen notwendigen kurzweiligen ultravioletten Kontinuums. Die Quecksilber- und Helium-Linien der Quecksilber-Helium-Lampe dienen zur Eichung des Spektralphotometers. Beide Lampen können mit dem gleichen Zünd- und Stabilisierungsgerät betrieben werden.
- 7-322 Jean Dourgnon. Les réflexions mutuelles entre surfaces diffusantes. Rev. Opt. (théor. instrum.) 38, 365-394, 1959, Nr. 8. (Aug.) (Paris, Centre Sci. et Techn. Bâtiment.) Unter der Annahme, daß alle beteiligten Oberflächen gleichmäßig beleuchtet werden, kann man die zu betrachtenden Oberflächen auf eine vernünftige Anzahl reduzieren. Eine besonders einfache Lösung erhält man bei Benutzung der Matrixschreibenweise und einer Austauschfunktion, wie sie bei Strahlungsproblemen häufig auftritt. Die numerische Auswertung ist mit einer Digital- oder einer Analogierechenmaschine möglich. Einige Anwendungen dieser Rechnungen befassen sich mit Beleuchtungsfragen unter besonderer Berücksichtigung unveröffentlichter Arbeiten am "Centre Scintifique et Technique du Bâtiment".
- 7–323 M. Robert Edelson and Robert A. Plane. The photochemical equation of $Cr(NH_3)_6^{+3}$ and $Cr(NH_3)_5H_2O^{+3}$. J. phys. Chem. 63, 327–330, 1959, Nr. 3. (März.) (Ithaca, N. Y., Cornell Univ., Dep. Chem.) Vff. untersuchen den Austausch einer Ammoniakmolekel in $Cr(NH_3)_6^{+3}$ durch eine Wassermolekel aus dem Lösungsmittel bei Bestrahlung mit Licht verschiedener Wellenlängen. Die Quantenausbeute ist 0,32, unabhängig von der Temperatur, Konzentration, Lichtintensität und davon, welche der beiden Hauptabsorptionsbanden eingestrahlt wird. Ähnliche Ergebnisse werden für die Ersetzung einer NH₃-Molekel in $Cr(NH_3)_5H_2O^{+3}$ bei einer Quantenausbeute von 0,25 erhalten.

Vieth.

7-324 Richard M. Noyes. Photochemical space intermittency. A proposal for measuring diffusion coefficients of reactive free radicals. J. amer. chem. Soc. 81, 566—570, 1959, Nr. 3. (5. Febr.) Wenn photochemisch erzeugte Radikale durch eine Reaktion zweiter Ordnung vernichtet werden, und wenn man die Reaktionszelle so beleuchtet, daß sich helle und dunkle Bereiche abwechseln, dann hängt die räumlich durchschnittliche Radikalkonzentration nicht nur von der Gesamtbeleuchtung, sondern auch von der Größe der beleuchteten Bereiche ab. Dieser Raum-Intermittenzeffekt ähnelt dem zeitlichen, durch einen rotierenden Sektor erzeugten Licht-Intermittenzeffekt und erlaubt

s, die durchschnittliche Strecke zu messen, die ein Radikal während seiner Lebensdauer iffundiert. Für ein bestimmtes System mit bekannter Quantenausbeute und Geschwinigkeitskonstante müßte es möglich sein, die Diffusionskoeffizienten hoch reaktiver Radikale von kurzer Lebensdauer zu messen. Diese Diffusionskoeffizienten kann man it üblichen Methoden nicht bestimmen. Genaue Werte würden jedoch sehr zur Auftellung einer Theorie der molekularen Vorgänge in Flüssigkeiten beitragen.

Vieth.

- -325 Ray H. Luebbe jr. and John E. Willard. Temperature and phase effects on the hotolysis of ethyl iodide. J. Amer. chem. Soc. 81, 761−769, 1959, Nr. 4. (20. Febr.) Madison, Wisc., Univ., Dep. Chem.) Die Elementarstufen des photolytischen Zerfalls on Äthyliodid werden bei Bestrahlung mit Licht der Wellenlänge 253,7 nm bei +25 nd -70° C (flüssiges C_2H_5J) untersucht, um Informationen über die Aktivierungsnergien der Elementarreaktionen zu erhalten. Der Einfluß von Zusätzen auf die Photolyse des glasigen Äthyliodids wird bei −180°C untersucht. Zum Nachweis der Bildung on eingefangenen Radikalen während der Photolyse und der Radiolyse mit Co⁶⁰-γ-trahlung des festen C_2H_5J werden Messungen der paramagnetischen Elektronenresoanz durchgeführt. Die photolytischen Zerfallsprodukte sind bei allen untersuchten emperaturen: J_2 , HJ, C_2H_6 und C_2H_4 . Die möglichen Reaktionsstufen werden diskutert und die Quantenausbeuten der entstehenden Radikale bei den verschiedenen emperaturen abgeleitet.
- -326 J. D. Margerum, J. N. Pitts jr., J. G. Rutgers and S. Searles. Photochemical and see radical decompositions of oxetane. J. Amer. chem. Soc. 81, 1549—1554, 1959, Nr. 7. 5. Apr.) (Natick, Mass.) Die Untersuchungen des photochemischen Zerfalls von Oxetan Frimethylenoxyd) und zweier substituierter Oxetane zeigen, daß die photolytischen erfallsprodukte einem Reaktionsmechanismus entsprechen, bei dem die hauptsächchen photochemischen Primärprozesse in intramolekularen Umordnungen bestehen. Vieth.
- -327 Pierre Duhaut et Pierre Baumgartner. Etude d'un équilibre photostationnaire. Bulloc. Chim. Fr. 1959, S. 1540−1543, Nr. 10. (Okt.) (Rueil-Malmaison, Inst. franç. Pétrole, ab. Thermodyn. Cinét.) Das Gleichgewicht 2 NOCl $\rightleftharpoons 2$ NO + Cl₂ wird untersucht. Telichtung (mit 4300−5800 Å und 700 Watt) fördert die Dissoziation, es stellt sich ein hotostationäres Gleichgewicht ein, das nachgewiesen wurde. Im Dunkeln verläuft det thermische Rekombination. Die Reaktion wurde durch die Druckänderung verfolgt. Teles Geschwindigkeitsgesetz lautet: d(NOCl)/dt = k_3 (NO)²(Cl₂) mit k_3 = 1,62·107 cm⁶ col-²sec-¹ bei 20°C. Die Meßgeschwindigkeit setzt sich aus V_{photochemisch} V_{thermisch} zummen. M. Wiede mann.
- -328 Jacques Pouradier. Sur la nature de l'image latente. I. Emulsions sensibilisées par duction ou sulfuration. Sci. Industr. photogr. (2) 30, 121-133, 1959, Nr. 4. (Apr.) ber die Natur des latenten photographischen Bildes bestehen nach wie vor verschieene, sich oft widersprechende Hypothesen. Vf. unternimmt es, die vorhandenen experientellen Befunde kritisch zu sichten und zu untersuchen, ob neben den bereits vorschlagenen Deutungen noch andere, das Problem vereinfachende Hypothesen möglich nd. Angesichts der großen Zahl von vorgeschlagenen Modellen kann nicht jedes diskuert werden, sondern die in ihren Grundprinzipien übereinstimmenden werden zu einer ruppe zusammengefaßt. Es ergeben sich vier Gruppen: Das latente Bild besteht 1. aus eimen metallischen Silbers, 2. aus netzförmig verteilten, neutralen Silberatomen, 3. aus Zentren (Elektronen auf leeren Br-Gitterplätzen) oder 4. in physikalischen Vernderungen des Halogensilbers. Die bekannten und gemessenen Eigenschaften des latenn Bildes werden getrennt den a priori möglichen vier Modellen gegenübergestellt. Die liedergabe der Eigenschaften durch die Modelle wird diskutiert und tabellarisch zummengestellt. Das Modell, das niemals der Erfahrung widerspricht und die größte ahl der Eigenschaften wiedergibt, ist jenes, nach dem das latente Bild aus neutralen g-Atomen auf Ag--Gitterplätzen besteht. Wegen der Elektroneutralität muß sich ben einem Ag-Atom ein leerer Gitterplatz befinden. Die umgebenden Ionen deforieren die äußerste Elektronenbahn des Ag-Atoms, so daß das Valenzelektron wahrheinlich weniger fest gebunden ist als ohne Deformation. Möglich ist auch eine Reso-

nanz zwischen den beiden äußersten Zuständen des Valenzelektrons. Im Falle stärkerer latenter Bilder dürfte sich ein Aggregat aus mehreren Ag-Atomen, verbunden mit mehreren Fehlstellen, in der Nachbarschaft einer Versetzung bilden. Vieth.

- 7-329 H. Tellez-Plasencia. Ètude sur le noircissement photographique produit par les rayons X. IX. Bases d'une norme sensitométrique pour les émulsions radiographiques Nouvelle représentation des caractéristiques. Sci. Industr. photogr. (2) 30, 41-47, 1959, Nr. 2. (Febr.) In Fortsetzung früherer Arbeiten diskutiert Vf. die Schwärzungskurvem von Röntgenemulsionen. Bei verschiedener Zusammensetzung aber gleicher mittlerer Empfindlichkeit der Emulsionen schneiden sich die Schwärzungskurven beinahe im einem Punkt. Wenn die mittleren Empfindlichkeiten verschieden sind, ist es möglich, mit Hilfe des Abszissenabstandes dieses Punktes die Empfindlichkeit der Emulsion zu bestimmen. Die Kurven lassen sich durch Dehnung oder Verkürzung des Abszissenmaßestabes ineinander überführen. An Hand der Ergebnisse schlägt VI. eine Norm für die Empfindlichkeitsbestimmung von Emulsionen für Röntgenstrahlen vor.
- 7-330 J. E. de Langhe. Le noircissement photographique produit par les rayons X. Sci. Industr. photogr. (2) 30, 47-48, 1959, Nr. 2. (Febr.) Kurze Diskussion über die Auslegung einer vom Vf. angegebenen und von H. Tellez-Plasencia kritisierten Formel für die optische Dichte mehrerer Emulsionsschichten als Funktion der Kornzahl mit Anwort von H. Tellez-Plasencia.
- 7-331 Nicole Colombié. Étude de l'action des électrons sur différentes émulsions photographiques. Sci. Industr. photogr. (2) 30, 165-172, 1959, Nr. 5. (Mai.) (Toulouse, Fac. Sci., Lab. Opt. Electron.) Mit einem Elektronenmikroskop (RCA, 50 kV) belichtet Vf. eine Reihe von Emulsionen definiert (6 Kodak, 2 Crumière, 2 Guilleminot, 1 Lumière, 3 Gevaert und 3 Ilford) und mißt die Schwärzungskurven mit einem handelsüblichen Mikrodensitometer (Typ Vassy). Die Entwicklung erfolgt in drei verschiedenen Entwicklern (Feinkornentwickler, Kodak 19-B und ein sehr hart arbeitender Guilleminot-Entwickler). Die Energiemessung der Elektronen wird mit einem FARADAY-Käfig vorgenommen (Energieangabe in cb pro cm² der Fläche der photographischen Platten). Wie bereits früher festgestellt, ist für Elektronenbestrahlung das Reziprozitätsgesetz erfüllt. Die Schwärzungskurven der Emulsionen bei gleicher Entwicklung, bei verschiedener Entwicklung der Kodak-Kontrast und der Micro-Lumière-Platten und bei verschiedener Bestrahlung (25, 50, 90 kV) zweier Emulsionen werden angegeben. Empfindlichkeit (in cb/cm² für die Schwärzungen D = 0,2; 1 und 1,5), Kontrast (Neigung γ für 1 < D < 3) und Körnigkeit (willkürliche, relative Skale) sind tabellarisch erfaßt. Vieth.
- 7-332 A. P. Lukirski und I. A. Karpowitsch. Bestimmung der absoluten Empfindlichkeit einiger photographischer Materialien gegenüber ultraweicher Röntgenstrahlung. Opt. i Spektrosk. 6, 685-687, 1959, Nr. 5. (Orig. russ.) Für verschiedene photographische Emulsionen wurden Schwärzungskurven für Röntgenstrahlung der Wellenlängen 23,6, 44, 67 und 113 Å erhalten. Die absolute Empfindlichkeit wurde geschätzt.

v. Keussler.

- 7-333 **John G. Phillips.** Simple self-recording intensitometer attachment for microphotometers. J. opt. Soc. Amer. **49**, 972-973, 1959, Nr. 10. (Okt.) (Berkeley, Calif., Univ., Dep. Astr.)
- 7-334 George R. Brewer. Some characteristics of a magnetically focused electron beam. J. appl. Phys. 30, 1022-1038, 1959, Nr. 7. (Juli.) (Culver City, Calif., Hughes Aircraft Co., Res. Labs.) Das genaue Verhalten eines zylindrischen Elektronenstrahlenbündels in einem gleichförmigen magnetischen Längsfeld (Brillouin-Fluß) wird experimentell untersucht. Berücksichtigt wird der Einfluß der Optik der Elektronenkanone, der thermischen Transversalgeschwindigkeit u. a. m. Eine kurze Berechnung der Elektronenbewegung in einem magnetisch fokussierten Strahl wird im Anhang gegeben. Reich.
- 7-335 M. E. Haine and J. Vine. An electron-trajectory tracer for use with the resistance network analogue. Proc. Instn elect. Engrs, Lond. (B) 106, 517-525, 1959, Nr. 30.

Nov.) Es wird ein Instrument für direkte Analogieberechnung von Elektronenbahnen nit einem Netzwerk von Widerständen beschrieben. Die Einzelheiten der Konstruktion verden angegeben. Als Beispiele werden zwei elektrostatische Linsen berechnet und das Ergebnis mit experimentellen Resultaten verglichen. Schließlich werden Methoden zur Vergrößerung von Geschwindigkeit und Genauigkeit der Rechnung angegeben.

reytag.

- -336 A. M. Rosenfeld. On the influence of thickness of the focusing electrode on the optical haracteristics of an electrostatic immersion objective. Sh. tech. Fis. 29, 584 - 588, 1959, Nr. 5. Mai.) (Orig.russ.) Experimentelle Bestimmung einer als "Brennweite" bezeichneten Größe $V=\mathrm{L}\,\mathrm{V}\,(1+\mathrm{V})^{-2}$ (sie ist nur im Grenzfall $\mathrm{V} o\infty$ oder für kurze schwache Einzellinsen nit feldfreiem Ding- und Bildraum mit der üblicherweise in der Elektronenoptik definierten Brennweite identisch) aus Messung des Objekt-Bild-Abstandes L und der Verrößerung V an einem einstufigen Elektronen-Emissionsmikroskop. Die Größe F wurde ür fünf verschiedene Werte der Dicke der Steuerelektrode und vier verschiedene Werte ler Steuerspannung gemessen, wobei der Bohrungsdurchmesser der Steuerelektrode 2 mm) und der Anode (3 mm) sowie der Abstand Steuerelektrode-Anode (3 mm) kontant gehalten wurde. Dabei ergab sich praktisch Unabhängigkeit der Größe F von der Dicke der Steuerelektrode. Die kürzesten Brennweiten (2,8 mm) wurden bei negativer teuerspannung und starker Annäherung der Steuerlektrode an die Kathode, etwa durch Einschieben der Kathode ins Innere der Bohrung der Steuerelektrode, erzielt. Der echnisch erreichbare und praktisch verwendbare kleinste Wert der Brennweite wird u etwa 1,5 mm abgeschätzt.
- 337 Yu. V. Vorobyev. Errors of the images of the cathode electronic lenses with disturbed vial symmetry of field. Sh. tech. Fis. 29, 589—596, 1959, Nr. 5. (Mai.) (Orig. russ.) Theoretiche Untersuchung der geometrisch-optischen Bildfehler von elektrostatischen Immersionstlektronenlinsen mit gestörter Rotationssymmetrie. Ausdrücke für die Aberrationskoefzienten erster Ordnung und unter Beschränkung auf Felder mit mindestens zwei symmetrieebenen auch für die zweiter Ordnung werden abgeleitet. Aus den Ergebnissen olgen Ausdrücke für den Radius des "Kreises der kleinsten Verwirrung" und den astignatischen Abstand.
- 2-338 G. A. Grinberg and I. A. Shukeilo. Method of solution of some class of axisymmetric problems of potential theory and its application for calculation of fields of electronic-optic lenses. Sh. tech. Fis. 29, 1293—1303, 1959, Nr. 11. (Nov.) (Orig. russ.) Auftellung eines Gleichungssystems, nach welchem für eine auf einem konstanten Potential ergende rotationssymmetrische Elektrode vorgegebener Form zunächst die Verteilung er Oberflächenladung und daraus weiter die der Potentiale im ganzen Raum berechnet verden kann. Das Gleichungssystem läßt sich weitgehend vereinfachen und durch chrittweise Näherung lösen, wenn die Abmessungen eines meridionalen Querschnitts der Elektrode klein gegen den mittleren Abstand ihrer Oberfläche von der Achse ist. Im Verlauf dieser schrittweisen Näherung können die bei der Lösung ebener Potentialrobleme bewährten funktionentheoretischen Verfahren verwandt werden. Als Beispiel wird die Potentialverteilung für die Fälle einer Toruselektrode sowie eines Zylinderrohres indlicher Länge mit und ohne kreisförmige Innenblende berechnet.
- -339 Richard Gobrecht. Über die Messung des Astigmatismus elektrischer Elektronen-Insen. Exp. Tech. Phys. 6, 241-249, 1959, Nr. 6. (Berlin-Adlershof, Akad. Wiss., Ieinr.-Hertz-Inst. Schwingungsforsch.)
- -340 H. Römer und C. v. Fragstein. Eine einfache Methode zur Vergrößerungsbestimmung im Elektronenmikroskop. Optik, Stuttgart 16, 371—376, 1959, Nr. 6. (Juni.) (Köln.) bie in zwei Schritten durchgeführte Vergrößerungsbestimmung wird am Meßobjekt elbst vorgenommen. Erster Schritt: Bestimmung der Objektivvergrößerung durch die m Feintrieb der Objektischverstellung gemessene Verschiebung um Durchwesserlänge ines im Lichtmikroskop ausgemessenen Blendenlochs (Kontrolle dieser Verschiebung an inem ins Auge gefaßten Punkt des Zwischenbildschirus). Zweiter Schritt: Bestimmung er Projektivvergrößerung durch Vermessung des Bildabstands auf dem Endschirm

zweier, in bekanntem Abstand über das Zwischenbildschirmloch gespannter Drähter. Der maximale Fehler der Gesamtvergrößerungsbestimmung wird mit 2,9% angegeben.

7-341 M. E. Haine, A. E. Ennos and P. A. Einstein. Image intensifier for the electrons microscope. J. sci. Instrum. 35, 466—467, 1958, Nr. 12. (Dez.) (Harlow, Essex, Siemens Edison Swan Ltd.) An die Stelle des Beobachtungsleuchtschirms tritt eine amorphe. 15 µm dicke Selenschicht, deren Leitfähigkeitsänderung durch das bilderzeugende Elektronenbündel mit Hilfe des aus dem Fernsehen bekannten Vidiconprinzips (Abstaung mit langsamen Elektronen aus einem zusätzlichen Elektronenstrahler) zur Bildverstärkung ausgenutzt wird. Die Anordnung ist äußerst empfindlich. Schon Strahlstromdichten von 10-11 A/cm² reichen zur Erzielung brauchbarer Bilder aus.

Hanßen.

- 7-342 E. Lippert, W. Nägele, I. Seibold-Blankenstein, U. Staiger und W. Voss. Messung von Fluoreszenzspektren mit Hilfe von Spektralphotometern und Vergleichsstandards. Z. anal. Chem. 170, 4-48, 1959, Nr. 1. (5. Okt.) (8. B.) (Stuttgart, T. H., Lab. phys. Chem.) Die Banden in den Fluoreszenzspektren von Lösungen organischer Verbindungen sind meist schwach und breit und gelegentlich eine Funktion der Bestrahlungsdauer durch das Erregungslicht. Zur Messung von Fluoreszenzspektren sind daher rasch registrierende, hochempfindliche lichtelektrische Spektrometer besonders geeignet. Die Gesichtspunkte werden dargelegt, die bei der Verwendung handelsüblicher UV-Spektralphotometer in der Fluoreszenzspektroskopie zu beachten sind. Es werden fluoreszierende Lösungen ausgewählt, die als sekundäre Strahlungsstandards dienen und deren Fluoreszenzspektren gemeinsam mit denen der Proben gemessen werden. Auf diese Weise wird der Meßvorgang vereinfacht, und einige Fehlerquellen werden eliminiert, die in der Fluoreszenzspektroskopie im Vergleich zur Absorptionsspektroskopie zusätzlich auftreten. (Zfg.)
- 7-343 W. E. Ohnesorge and L. B. Rogers. Fluorescence of some metal chelate compounds of 8-quinolinol. I. Effect of metallic ion and solvent on spectrum and quantum yield. Spectrochim. Acta 1959, S. 27-40, Nr. 1. (März.) (Cambridge, Mass., Inst. Technol., Dep. Chem., Lab. Nucl. Sci.) Bei den Oxinaten der Metalle der Gruppe III A wird das Absorptionsmaximum mit steigender Ordnungszahl des Zentralions nach rot verschoben. Die Bandenverschiebung der zweiwertigen lonen der Mellor-Maley-Reihe folgt keiner solchen Regel, jedoch zeigen die Differenzen zwischen Absorptions- und Fluoreszenzmaximum bessere Regelmäßigkeit. Dabei verhalten sich die zwei- und dreiwertigen lonen in entgegengesetzter Weise. Das Maximum des Fluoreszenzspektrums wird nach rot verschoben und die Quantenausbeute nimmt ab mit steigender Ordnungszahl des Metallions. Bei der Temperatur des flüssigen Stickstoffs zeigen einige der Chelate neue, normalerweise nicht auftretende Emissionsbanden im kurzwelligen Bereich, die einen oberen Anregungszustand andeuten.
- 7-344 W. E. Ohnesorge and L. B. Rogers, Fluorescence of some metal chelate compounds of 8-quinolinol. 11. Effects of acid, alkali and ultraviolet radiation. Spectrochim. Acta 1959, S. 41-48, Nr. 1. (März.) (Cambridge, Mass., Inst. Technol., Dep. Chem., Lab. Nucl. Sci.) Die Zersetzung der Oxinate der dreiwertigen Metallionen der Gruppe III A durch Säuren wird untersucht. Eines der Zersetzungsprodukte kann das Oxin sein, es muß aber auch ein Zwischenprodukt wie z. B. AlOx² oder AlOx² angenommen werden. Diese Zwischenprodukte werden für das Ansteigen der Emission bei der Zersetzung durch Säuren oder durch Strahlung verantwortlich gemacht.

 Pruck ner.
- 7–345 Jose Fernandez and Ralph S. Becker. Unique luminescences of dry chlorophylls. J. chem. Phys. 31, 467–472, 1959, Nr. 2. (Aug.) (Houston, Tex., eniv., Dep. Chem.; Santiago, Cuba, Univ.) Die Absorptions- und Emissionsspektren von Chlorophyll a und b, Cu Chlorophyll b und Cu Äthylchlorophyllid a wurden in reinen trockenen Kohlenwasserstoffen untersucht. Bei $-180^{\circ}\mathrm{C}$ werden folgende Emissionsbanden beobachtet: Chlorophyll a 7550 \pm 20 Å, Chlorophyll b 7330 \pm 15 Å (Lebensdauer etwa 5·10–4sec), CU Chlorophyll b 8740 \pm 30 Å, Cu Äthylchlorophyllid a 8635 \pm 30 Å. Änderungen der langwelligsten Absorptionsbanden und der Emissionsbanden mit Zusatz von Hydroxyl-

onen und mit der Temperatur werden festgestellt und daraus auf die Natur der Überänge geschlossen. Ein Teil der langwelligen Absorption wird einem $n-\pi^*$ Singulettbergang, die Emissionsbande einem $n-\pi^*$ Triplettübergang zugeschrieben.

Schmillen.

- -346 Erwin M. Hörl. Electron bombardment of solid acctone. J. chem. Phys. 31, 64-565, 1959, Nr. 2. (Aug.) (Washington, D. C., Nat. Bur. Stand.) Accton wurde bei 20 der bei 77°K auf Kupfer kondensiert und mit Elektronen von 20 keV und der ntensität 50 m Watt/cm² bestrahlt. Während der Bestrahlung wurde die Emission iner breiten Bande mit einem Maximum bei 4400 Å beobachtet. Ferner wurde ein achleuchten beobachtet, das bei den verschiedenen Temperaturen einen verschiedenen eitlichen Verlauf zeigte, sowie ein Leuchten beim Erwärmen. Die Ergebnisse werden iskutiert und dabei vor allem die Diffusion und Rekombination von Fragmenten bei 7°K behandelt.
- -347 Richard Müller und Friedrich Dörr. Absorptions- und Phosphoreszenzspektren Promotound der Diazanaphthaline. (π - π -Phosphoreszenz nach n- π -Absorption bei den Piazanaphthalinen.) Z. Elektrochem. 63, 1150 1156, 1959, Nr. 9/10. (1. Dez.) (München, H., Phys.-Chem. Inst.) Messungen an sieben Verbindungen (z. B. Chinolin, Phthalan) in unpolarer, polarer und saurer Lösung. Absorptionsspektren: 290° K; Spektrohotometer PMQ II, Zeiß; Bereich 22–48000 cm⁻¹. Phosphoreszenzspektren: 100° K; chtelektrische Apparatur; Bereich 16–24000 cm⁻¹. Ergebnisse: Ausführliche Anaben. Vergleich mit Naphthalin. Die Struktur der Spektren zeigt als Hauptschwingsbande 1400 cm⁻¹. Zuordnung zu den Termen und Eigenfunktionen. Halogensubitution in der Nachbarschaft des Heteroatoms N wirkt ähnlich wie Polarität des Löngsmittels. Die Diazanaphthaline zeigen eine n- π -Absorptionsbande, aber übertschenderweise auch bei Anregung in der n- π -Bande die gleiche π - π -Phosphoreszenz ie Naphthalin. Deutungsversuch.
- -348 N. Riehl und R. Sizmann. Über den Einbau und Auswirkungen von Sauerstoff bei nS- und CdS-Phosphoren. Z. Naturf. 14a, 394-403, 1959, Nr. 4. (Apr.) (München, . H., Lab. techn. Phys.) Es wird untersucht, ob es sich bei dem Einfluß von Sauerstoff of die Lumineszenzeigenschaften von ZnS und CdS nur um indirekte (das Schmelzittel bei der Herstellung aktivierende) Wirkungen des Sauerstoffs handelt oder auch n direkte Wirkungen von ins Sulfidgitter substitutionell eingebautem Sauerstoff. Durch erechnungen der thermodynamischen Gleichgewichte verschiedener möglicher Reakonen wird gezeigt, daß eine durch Sauerstoff bewirkte Bildung von Schwefelfehlstellen ei den in Frage kommenden Temperaturen sich nicht wesentlich von der gewöhnlichen nermischen Zersetzung des reinen Zinksulfids unterscheidet. Die durch Sauerstoff herorgerufene Lumineszenzfähigkeit aktivatorfreier Zinksulfidphosphore und das durch nuerstoff bewirkte Glowkurven-Maximum zwischen 10° und 50° wird auf folgende itterstruktur zurückgeführt. Das Sauerstoffion (O=-) wird substitutionell für ein Schwefeln (S--) eingebaut. Durch die Neigung des Sauerstoffions em Zinkion näher an sich eranzuziehen, entsteht durch die Verlagerung des Zn++-lons einerseits ein Aktivator-Dehoust. entrum und andererseits eine Haftstelle.
- 5349 Klaus Albers. Zur Messung der Temperaturabhängigkeit der Lumineszenz von dS. Z. Naturf. 14a, 1002–1003, 1959, Nr. 11. (Nov.) (Berlin, Humboldt-Univ., H. hys. Inst.) Es wird gezeigt, daß die Temperaturauslöschung der roten Bande des CdS ngeregt mit $\lambda=365$ nm und $\lambda=435$ nm) durch Tempern im Vakuum bei 150 bis 10°C aufgehoben werden kann. Dieser Effekt wird auf ein Zusammenwirken von therischer Energie und kurzwelligem Licht auf die Lumineszenz-Zentren zurückgeführt, ad kann offenbar durch Zuführen von thermischer Energie allein rückgängig gemacht preden.

 D. Hahn.
- 350 R. Meyer. Mikroskopische Beobachtung von lumineszierenden Silberchloridkristale. Photogr. Korr. 95, 57—61, 1959, Nr. 4. (Dresden, T. H., Wiss.-Photogr. Inst.) An inzelkristallen von Silberchlorid bei Raumtemperatur und -- 190°C untersucht Vf. urch mikroskopische Beobachtung, ob die Lumineszenz strukturabhängig ist oder

nicht. (Beobachtung bei Raumtemperatur mit Rotlicht, Anregung bei -190°C mit Kohlebogenlicht durch Filter UG 2 und BG 23, AgCl-Kristalle durch Verdunstung ammoniakalischer AgCl-Lösungen gewonnen.) Die meisten Kristalle lumineszieren blaugrün, die restlichen zeigen Übergänge zwischen gelber und brauner Lumineszenz. An Einzelkristallen können drei typische Strukturen der Lumineszenz unterschieden werden: 1. Eine scharfe abgegrenzte Kantenlumineszenz bei sehr flachen Kristallen, die mit aktinischer Bestrahlung bei Raumtemperatur sehr leicht verschwindet. 2. Eine Eckenlumineszenz bei gut ausgebildeten oktaedrischen Kristallen, wenn sie mit einer der abgeflachten Spitzen (100-Fläche) auf der Unterlage stehen. Dabei können noch charakteristische Innenstrukturen auftreten. 3. Eine Kernlumineszenz bei stärkeren hexagonal oktaedrischen Kristallen, die flach (111-Fläche) auf der Unterlage liegen. Meist tritt an den spitzen Kanten zusätzliche Lumineszenz auf. Vorbelichtungen bei Raumtemperatur, durch die kein photolytisches Ag ausgeschieden wird, beeinflussen die Lumineszenz nicht, während sie durch photolytische Ausscheidungen gemindert wird. Auf Grund der Beobachtungen wird die blaugrüne Lumineszenz als Fehlstellenerscheinung gedeutet.

7-351 W. L. Wanmaker and C. Bakker. Luminescence of copper-activated calcium and strontium orthophosphates. J. electrochem. Soc. 106, 1027-1032, 1959, Nr. 12. (Dez.) (Eindhoven, Netherl., N. V. Philips' Gloeilampenfabr., Light Div.) In einer N2-Atmosphäre mit 0,03% H2-Gehalt bei 1160°-1240°C zweimal je eine Stunde gebranntes Ca₃(PO₄)₂: Cu gibt bei Anregung mit 2537 Å eine gute Lumineszenz. Zu hoher H₂-Gehalt reduziert das als Cu+ eingebaute Kupfer zum metallischen Zustand, zu geringer oxydiert zu Cu++, ebenso Brennen in Luft. Die unterhalb von 1180°C stabile Modifikation β-Ca₃(PO₄)₂ mit einem Cu: P₂O₅-Verhältnis 0,005 emittiert bei 4800 Å. Ein geringer Cu-Zusatz und erneutes Brennen bei 1280°C gibt eine bei Zimmertemperatur stabile α-Modifikation mit Emission bei 5700 Å, bei Anregung mit 3650 Å, Steigender Zusatz von Mn gibt ein weiteres immer mehr hervortretendes Emissionsmaximum bei 6500 Å, während gleichzeitig das bei 4800 Å schwächer wird, $\mathrm{Sr_3(PO_4)_2}$: Cu emittiert 4950 Å und 6150 Å, bei geringerem Cu-Gehalt auch bei 4450 Å. Koaktivierung mit Al und Mn gibt Maxima bei gleichen Wellenlängen, nur verschieden stark ausgeprägt. Die Temperaturabhängigkeit der Emission ist bei β-Calciumphosphat und bei Strontiumphosphat besonders stark. - Die praktische Verwendung dieser Phosphore in Lampen ergibt insofern Schwierigkeiten, als die geeigneten Binder beim Ausheizen von Luft schon relativ stark angegriffen werden. Ortmann.

7-352 B. E. Hunt and A. H. McKeag. Copper and tin-activated halogenphosphate phosphors. J. electrochem. Soc. 106, 1032—1036, 1959, Nr. 12. (Dez.) (Wembley, Engl., Gen. Elect. Co. Ltd., Res. Labs.) Eine Anzahl Kupfer- und Zinn-aktivierter Halogenphosphate ist beschrieben, die möglicherweise eine Anwendung in Hoch- und Niederdruckquecksilberlampen finden können. Das Brennen erfolgt in einer 0.5% H_2 enthaltenden N_2 - Atmosphäre, die Valenz des eingebauten Aktivators kann an der Körperfarbe des Kristalls erkannt werden, und ist durch erneutes Brennen in reinem N_2 zu korrigieren. Typisch sind mit Kupfer und Zinn aktivierte Barium-Chlorophosphate. — Kupferaktiviertes Barium-Chlorophosphat zeigt bei Anregung mit langwelligem UV rote Emission, die bei Temperaturerhöhung nach Gelb abwandert und stärker wird. Nur mit Zinn aktivierte Chlorophosphate zeigen schwache grüne Emission bei Anregung mit 2537 Å, welche bei Erwärmung nach Blau abwandert. — In Cu-aktiviertem Material sind blaue und rote Emission durch verschiedenartige Cu-Zentren bedingt. Die an sich nur in verschiedenen Phosphoren beobachteten Banden können unter gewissen Umständen beide in Bariumhalogenphosphat-Phosphoren erzeugt werden. Ortmann.

7 353 W. M. Agronowitsch und J. W. Konobejeff. Der Einfluß der Reabsorption auf Ausbeute und Dauer der Lumineszenz von Molekülkristallen. Opt. i Spektrosk. 6, 648 bis 658, Nr. 5. (Orig. russ.) Eine die Exzitonenverteilung in einem Molekülkristall beschreibende Gleichung, die der Reflexion des Lumineszenzlichtes von den Kristallflächer Rechnung trägt, wird einer Betrachtung unterzogen. Für den Fall eines hinreichend kleinen Diffusionskoeffizienten der Exzitonen wurden exakt die Quantenausbeute und

ie Lumineszenzdauer bestimmende Formeln für planparallele Kristalle beliebiger licke erhalten. Die Formeln für die Quantenausbeute gestatten, die spektrale Lulineszenzkurve des Kristalls zu berechnen.

- -354 N. A. Tolstoi und A. M. Tkatschuk. Untersuchung der spektralen Verteilung der bklingzeit des Leuchtens von Rubin mit Hilfe der Methode des Impuls-Taumeters. Opt. i pektrosk. 6, 659—664, 1959, Nr. 5. (Orig. russ.) Die Abhängigkeit der Abklingzeit τ ird für eine Reihe von Einzellinien im Lumineszenzspektrum von Kristallen des syntetischen Rubins mit verschiedenem Chromgehalt mit Hilfe eines Taumeters unterscht. Es ergab sich, daß Rubin gleichzeitig sieben oder acht verschiedene Abklingsiten besitzen kann, und daß der Gehalt an Chrom einen wesentlichen Einfluß nicht nur af die absolute Größe der τ der Einzellinien, sondern auch der Temperaturabhängigkeit er τ im Bereich von 80 bis 500°K ausübt.
- -355 N. A. Tolstoi. Formale Analyse der Theorie der zweistufigen Anregung der Phoshboreszenz und der Photoleitfähigkeit. 111. Vergleich zwischen Theorie und Experiment Leuchten des ZnS-Cu). Opt. i Spektrosk. 6, 665-671, 1949, Nr. 5. (Orig. russ.) Die aus er in früheren Arbeiten des Vf. entwickelte Theorie der zweistufigen Anregung zu ehenden Folgerungen werden mit einigen typischen stationären und Relaxationsgenschaften der eingehend untersuchten ZnS-Cu-Phosphore verglichen.

. Keussler.

356 M. Bancie-Grillot, E. F. Gross, E. Grillot und B. S. Rasbirin. Untersuchung der inienfluoreszenz und der Absorption reiner Kadmiumsulfidkristalle. Opt. i Spektrosk. 707—710, 1959, Nr. 5. (Orig. russ.) Die Genauigkeit bei der Untersuchung der blauen inienfluoreszenz reiner durch Sublimation bei einem hohen Temperaturgradienten ergestellter Cadmiumsulfidproben, bei einer Temperatur von 4,2°K wurde durch Verendung von Spektralapparaten hoher Dispersion erhöht und die Ergebnisse mit dennigen bei Untersuchung der Lichtabsorption in ebensolchen Kristallen verglichen. er beobachtete bei allen Linien gleiche Polarisationszustand der Fluoreszenzlinien eist darauf hin, daß die Linien Übergängen im gleichen System entsprechen.

. Keussler.

- 237 E. F. Gross, E. Grillot, B. P. Sachartschenja und M. Bancie-Grillot. Die Beeinussung der Linien der blauen Fluoreszenz und der Absorptionslinien einiger reiner admiumsulfidkristalle bei 4,2°K durch Magnetfelder. Opt. i Spektrosk. 6, 710-712, 259, Nr. 5. (Orig. russ.) Bei 4,2°K wurde an drei Fluoreszenzlinien durch Sublimation bi hohem Temperaturgradienten hergestellter Cadmiumsulfidkristalle bei einem Matefelde von 28 000 Oersted eine Zeeman-Aufspaltung in ein Dublett festgestellt, ohne dis eine diamagnetische Verschiebung eintrat.

 V. Keussler.
- 358 G. A. Wolff, I. Adams and J. W. Mellichamp. Electroluminescence of AlN. nys. Rev. (2) 114, 1262—1264, 1959, Nr. 5. (1. Juni.) (Fort Monmouth, N. J., U. S. my Sign. Res. Devel. Lab.) VII. beschreiben im sichtbaren Bereich Wechsel- und eichfeldlumineszenz des AlN, letztere im Bereich der Kathode. Daraus wird auf das orthandensein einer Sperrschicht und Elektronenstoßanregung geschlossen. Das nittierte Licht besteht aus engen Banden im Gebiet von 400—500 nm und breiten intinuierlichen Banden bei 500—700 nm, die entsprechend dem hinzugefügten Aktitor (Cu, Mn) verändert werden.
- 359 Henry F. Ivey. The effects of electrode resistance in electroluminescent cells. Trans. st. Radio Engrs, N. Y. ED-6, 335 -340, 1959, Nr. 3. (Juli.) (Bloomfield, N. J., Westinguse Elect. Corp., Res. Dep.) Elektrolumineszenz-Zellen benutzen als Stromzuleitung ndestens eine dünne, durchsichtige Schicht von Zinnoxyd, deren Flächenwiderstand cm² in der Größenordnung von 100 Ohm liegt. Der Widerstand dieser Elektrode können auch beide Elektroden aus einer Zinnoxydfolie bestehen hat einen Einfluß f den Spannungsabfall und die Verlustleistung. Mit den Mitteln der linearen Theorie r Übertragungsleitungen werden Konstanten des Ersatzstromkreises von Elektromineszenz-Zellen berechnet. In der Praxis haben diese Zellen allerdings nichtlineare genschaften, die die Berechnung erschweren. Die hier dargelegte Theorie gibt aber

trotzdem ein qualitatives Bild des Einflusses der Elektrodenwiderstände bei wirklicher Zellen. Macek.

- 7 360 D. W. G. Ballentyne. Crystal structure and electroluminescence in ZnS. J. Physic Chem. Solids 10, 242, 1959, Nr. 2/3. (Juli.) (Harlow, Engl., Siemens Edison Swan Ltd. Res. Lab.) Am Beispiel des Cu- und Ag-aktivierten ZnS wird gefunden, daß die kubigsche Modifikation bevorzugt elektrolumineszent ist. Bei mehr als 10-4 g Cu/g ZnS bzw. 10-3 g Ag/g ZnS ändert auch oberhalb 1024°C (Übergangstemperatur für hexagonales ZnS) geglühtes ZnS seine Kristall-Phase; ob dieser Übergang mit dem Verschwinder der tiefen Haftstellen gekoppelt ist, welches auch für das Auftreten der Wechselfeldanregung vorteilhaft ist, muß noch geklärt werden.
- 7-361 R. Goffaux. Propriétés électriques des poudres ZnS électroluminescent. Suppl. J. Phys. Radium 20, 18A 22A, 1959, Nr. 4. (Apr.) (Charleroi, Belg., Ateliers Construct. Elect., Lab. Rech. Phys.) Die Strom-Spannungs-Charakteristik eines elektrolumineszierenden ZnS-Pulvers bei 50 Hz ist ähnlich der eines Varistors. Die effektive Impedanz der elektrolumineszierenden Schicht kann durch eine Parallelschaltung eines variablem Widerstandes R_p und einer variablen Kapazität C_p repräsentiert werden. Eine Erklärung für die Änderung von R_p und C_p mit der angelegten Spannung wird unter Zugrundelegung einer früheren Arbeit über das Verhalten von Varistoren bei Wechselspannungen gegeben. Es wird vermutet, daß der Unterschied zwischen elektrolumineszierenden und nicht elektrolumineszierenden Phosphoren im wesentlichen auf einer größeren freien Elektronendichte und damit verknüpft auf einer höheren als der Gittertemperatur entsprechenden Elektronentemperatur beruht.
- 7-362 Světlana Damašková. Course of electroluminescence of ZnS-Cu-Mn. Czech. J. Phys. 9, 529, 1959, Nr. 4. (Prague, Acad. Sci., Inst. Phys.) An ZnSCuMn werden die Leuchtwellen bei Anregung mit Doppel-Rechteckimpulsen untersucht, wobei das Dielektrikum keinen Einfluß hat. Aus den Oszillogrammen lassen sich zwei Prozesse erkennen: 1. Direktanregung der Mn-Zentren durch stoßende (getunnelte) Elektronen, 2. Ionisierung der Mn- und Cu-Zentren in der Sperrschicht durch beschleunigte Elektronen. Hohe Feldstärke und kurze Impulsdauer fördern den ersten Prozeß und verhindern die Polarisation der Leuchtstoffsuspension.
- 7-363 O. N. Kasankin, F. M. Pekermann und L. N. Petoschina. Elektroluminophore auf Sulfid-Selenid-Basis. Opt. i Spektrosk. 6, 672—677, 1959, Nr. 5. (Orig. russ.) Die Herstellung durch Cu aktivierter Elektroluminophore auf ZnS·ZnSe-Basis in einer statischen (H₂S + HCl)-Atmosphäre ergab eine Ausgangsbasis mit größerem ZnSe-Gehalt und infolgedessen ergiebige Luminophore mit Lichtenission im langwelligen Spektralbereich. Bei der Untersuchung der Abhängigkeit der Helligkeit solcher Elektroluminophore von Spannung, Frequenz und Temperatur wurden einige Besonderheiten festgestellt, die sich durch Verringerung der Tiefe der Einfangniveaus bei Zusatz von Se erklären lassen.
- 7-364 Aadne Ore. Intermolecular energy transfer and concentration depolarization of fluorescent light. J. chem. Phys. 31, 442-443, 1959, Nr. 2. (Aug.) (Blindern, Norw., Univ., Phys. Inst.) Für die zwischenmolekulare Übertragung von Anregungsenergie fluoreszierender Lösungen wird im Anschluß an die Theorie der Resonanzübertragung nach Förster eine neue Formel abgeleitet für die Wahrscheinlichkeit, daß die Anregungsenergie vom primärangeregten Molekül M₁ emittiert wird. Vf. geht bei sonst gleichen Überlegungen von einem anderen Ansatz für die Wahrscheinlichkeit der Rückübertragung der Anregungsenergie vom Nachbarmolekül M₂ zurück zu M₁ aus. Die erhaltene neue Formel geht für kleine Konzentrationen in die Prastersche Formel über, besitzt aber Gültigkeit bis über die kritische Konzentration hinaus. Ihre Brauchbarkeit bei sehr hohen Konzentrationen wird am Beispiel der Fluoresceinfluoreszenz demonstriert.
- 7-365 W. L. Jermolajeff. Die Abhängigkeit der Wahrscheinlichkeit der Energieübertragung bei der sensibilisierten Fluoreszenz von der Oszillatorenstärke des Triplett-

Singulett-Überganges im Molekül des Energieakzeptors. Opt. i Spektrosk. 6, 642-467, 1959, Nr. 5. (Orig. russ.) Versuche des Vf. ergaben, daß bei der sensibilisierten Fluoreszenz das Ausleuchten des Energiedonators bei gleichbleibender Konzentration des Akzeptors sich beim Übergang von Naphthalin zu 1-Chlor-, 1-Brom-, und 1-Jod-Naphthalin als Akzeptoren nicht merklich ändert. Da in der Reihe der untersuchten Halogenderivate die Wahrscheinlichkeit des Triplett-Singulett-Überganges sich um drei Größenordnungen ändert, wird aus der Tatsache der nicht merklich verschiedenen Ausleuchtdauer der sensibilisierten Fluoreszenz der Halogenderivate des Naphthalins der Schluß gezogen, daß ihre sensibilisierte Fluoreszenz anscheinend auf Austausch-Resonanzessekte und nicht auf die Wechselwirkung der elektromagnetischen Felder der Moleküle des Energiedonators und des Energieakzeptors zurückzusühren ist.

. Keussler.

7-366 M. Graulier. Fluorescence des substances cristallines et des solutions excitées par les rayons X. Application à l'analyse. Bull. Soc. Chim. Fr. 1959, S. 1715—1721, Nr. 10. (Okt.) In seinem Überblick behandelt Vf. zunächst die Wechselwirkung der Röntgenstrahlung mit der Materie, dann das von Kristallen oder Lösungen emittierte Fluoreszenz-Licht. Die benützten Apparaturen, vor allem die Spektrometer, werden beschrieben, die Analyse eines oder mehrerer Elemente und die Genauigkeit erwähnt. Bei den Anwendungen sind aufgeführt: Legierungen; Spurennachweis in Mineralien; Oxydfilme; Katalysatorgifte; Bestimmung von Flüssigkeiten; Nachweis leichter Elemente, der nur möglich ist, wenn ihre Strahlung von einem schweren Element absorbiert wird; Mikroanalyse und Mikroradiographie; Messung der Dicke eines Niederschlags.

M. Wiedemann.

VIII. Wärme-Thermodynamik

7-367 M. W. Thring. Compact calorimeter for measuring the overall thermal efficiency of freestanding fires and stoves for room warming. J. sci. Instrum. 36, 488-491, 1959, Nr. 42. (Dez.) (Sheffield, Univ., Dep. Fuel Technol a. Chem. Engng.) Behnsch.

7-368 M. B. Panish, R. F. Newton, W. R. Grimes and F. F. Blankenship. Thermodynamic properties of molten and solid solutions of silver chloride and lithium chloride. J. phys. Chem. 63, 668-671, 1959, Nr. 5. (Mai.) (Oak Ridge, Tenn., Nat. Lab., Chem. Div.) Im Temperaturbereich von 300 bis 900°C wurden die freien Energien und andere thermodynamische Größen von festen und flüssigen Lösungen von AgCl und LiCl durch Messung mit galvanischen Elementen der Art Ag/AgCl, LiCl/Cl₂ bestimmt. Für die flüssigen Lösungen wird eine bedeutende positive Abweichung vom RAOULTschen Gesetz gefunden. Die Abhängigkeit der Aktivität des AgCl von der Zusammensetzung in der festen Lösung läßt darauf schließen, daß der Elektrolyt über einen weiten Konzentrationsbereich metastabil ist hinsichtlich der Trennung in zwei feste Phasen.

W. Weber.

7-369 John L. Margrave and Richard P. Wendt. Ratio (C_p/C_v) for perchloryl fluoride from velocity of sound measurements. J. chem. Phys. 31, 857, 1959, Nr. 3. (Sept.) (Madison, Wisc., Univ., Dep. Chem.)

7-370 A. Bellemans and Agnessa Babloyantz. On the free energy of liquid mixtures of ortho- and parahydrogen. Physica 24, 182, 1958, Suppl. (Sept.) (Bruxelles, Univ. Libre.)

V. Weidemann.

7-371 Roger L. Wilkins and Robert L. Altman. Thermodynamic properties of some boron-oxygen-hydrogen compounds. J. chem. Phys. 31, 337-340, 1959, Nr. 2. (Aug.) (Rocketdyne, Canoga Park, Calif., Res. Center.) Nach den Methoden der statistischen Mechanik wurden unter Benützung spektroskopischer Daten für die gasförmigen Verbindungen B, B₂, BH, BO und B₂O₃ für den idealen Gaszustand von 0-6000°K die Wärmekapazität, die Enthalpie und Entropie berechnet und tabelliert. Es wurde das

Modell des starren Rotors und harmonischen Oszillators zugrunde gelegt und Korrekturen angebracht.

M. Wiedemann.

- 7-372 Norman M. Wolcott. Debye Θ of hexagonal crystals at θ° K. J. chem. Phys. 31, 536-540, 1959, Nr. 2. (Aug.) (Washington, D. C., U. S. Naval Res. Lab.) Es werden Tabellen angegeben, die die Berechnung der charakteristischen Debye-Temperatur Θ bei θ° K für beliebige Kristalle mit hexagonaler Symmetrie gestatten. Notwendig sind hierfür die elastischen Konstanten, das Atomvolumen und die Kristalldichte. Für Mg, Zn, Cd, Be und Co werden die berechneten Werte mit den experimentell bestimmten verglichen und befriedigende Übereinstimmung gefunden. M. Wiedemann.
- 7-373 S. K. Sawwinych. Zur Thermodynamik von Idealkristallen. Fis. metall. (russ.) 6, 400-411, 1958, Nr. 3. (Orig. russ.) (Tomsk, Staatsuniv.) Im vorliegenden Aufsatz wird gezeigt, daß man das Verfahren von Salter, dessen Ergebnisse nur für hohe Temperaturen verwendbar waren, auch zur Ableitung von allgemeineren Formeln benutzen kann, die auch für ziemlich tiefe Temperaturen gültig sind. Die erhaltenen allgemeinen Ausdrücke für die thermodynamischen Funktionen werden zur Untersuchung der Zustandsgleichung und der spezifischen Wärme von kristallinem Argon benutzt. Zum Vergleich wird diese Aufgabe auch mit Hilfe der Näherungen von Grüneisen und Debye betrachtet. (Nach Zfg.)
- 7-374 D. L. Hildenbrand, G. C. Sinke, R. A. McDonald, W. R. Kramer and D. R. Stull. Thermodynamic and spectroscopic study of pyrrolidine. I. Thermodynamic properties in the solid, liquid and vapor states. J. chem. Phys. 31, 650-654, 1959, Nr. 3. (Sept.) (Midland, Mich., Dow Chem. Co., Thermal Lab.)
- 7-375 J. C. Evans and J. C. Wahr. Thermodynamic and spectroscopic study of pyrrolidine. II. Vibrational spectra and configuration. J. chem. Phys. 31, 655-662, 1959, Nr. 3. (Sept.) (Midland, Mich., Dow Chem. Co., Spectrosc. Lab.)

 Schön.
- 7-376 Bernard Dreyfus, Yves Ayant et Jean Peretti. Calcul exact de la chaleur spécifique pour un modèle particulier de solide. Physica 24, 180, 1958, Suppl. (Sept.) (Grenoble, France, Univ.)

 V. Weidemann.
- 7-377 W. I. Bengough and R. A. M. Thomson. A dilatometric method of measuring the heats of radiation-induced reactions. II. The heat of photochemical addition of bromotrichloromethane to vinyl acetate. Trans. Faraday Soc. 55, 268—271, 1959, Nr. 2 (Nr. 434). (Febr.) (Glasgow, Royal Coll. Sci. Technol., Dep. Chem. Technol.) In einer früher beschriebenen Anordnung wird gefunden, daß die Reaktionswärme weitgehend unabhängig von der Anfangskonzentration der Reaktanden ist. Für Anfangsmolverhältnisse von Bromtrichlormethan zu Vinylacetat wie 8:1 und 0,94:1 betragen die durchschnittlichen Reaktionswärmen 27,7 bzw. 27,2 kcal/Mol. Die spezifischen Wärmen und Ausdehnungskoeffizienten von Bromtrichlormethan sind 0,18 cal/g bzw. 1,062 · 10-3 grd-1; für Vinylacetat 0,47 cal/g bzw. 1,402 · 10-3 grd-1.
- 7-378 E. A. Mason and S. C. Saxena. Thermal conductivity of multicomponent gas mixtures. II. J. chem. Phys. 31, 511-514, 1959, Nr. 2. (Aug.) (College, Park Maryl., Univ., Inst. Mol. Phys.) Für den Koeffizienten der translatorischen Wärmeleitfähigkeit von Gasmischungen mit vielen Komponenten gibt es zwei Formeln, deren Genauigkeit für Mischungen mit verschiedenen Potentialfunktionen (meist binären) durch Vergleich mit anderen Berechnungen oder experimentellen Daten geprüft wird. Werden in der Muckenfuss-Curtiss-Formel die ersten Näherungen für die binären Diffusionskoeffizienten durch exaktere Werte ersetzt, so ist diese Formel so genau wie die derzeitigen experimentellen Bestimmungen. M. Wiedemann.
- 7-379 Richard S. Brokaw. Thermal conductivity of nitrogen-carbon dioxide mixtures. J. chem. Phys. 31, 571-572, 1959, Nr. 2. (Aug.) (Cleveland, O., Nat. Aeron, Space Adm., Lewis Res. Center.) Die Wärmeleitfähigkeit von N₂-CO₂-Mischungen wird in Abhängigkeit vom Molenbruch des N₂ für Temperaturen von 273 bis 1033°K berechnet und mit den experimentellen Daten verglichen. Aus dem Vergleich wird eine für die Wechselwirkung zwischen ungleichen Molekülen charakteristische Größe in Abhängigkeit von der Temperatur ermittelt. Die Abweichungen von der Linearität scheinen auf dieselben

Faktoren zurückzugehen, die die abnormen Diffusionskoeffizienten des Systems N₂-CO₂ verursachen. M. Wiedemann.

7-380 Robert W. Keyes. Laws of corresponding states for the thermal conductivity of molecular solids. J. chem. Phys. 31, 452-454, 1959, Nr. 2. (Aug.) (Pittsburgh, Penn., Westinghouse Res. Lab.) Auf der Basis eines Gesetzes korrespondierender Zustände, dem molekulare Einheiten zugrunde liegen, werden die Daten über die Wärmeleitähigkeiten von festem Neon, Argon, Krypton und auch festem p-Wasserstoff diskutiert. Dabei werden Abweichungen infolge quantenmechanischer Effekte berücklichtigt. Auch die Daten anderer Moleküle im festen Zustand, wie N₂O, C₆H₆, CO₂, H₂O, He, Xe werden erörtert. Auch auf den kritischen Konstanten kann ein Gesetz der korrespondierenden Zustände für die Wärmeleitfähigkeit aufgebaut werden.

M. Wiedemann.

7-381 S. A. Friedberg and D. Douthett. The influence of a magnetic field on the low emperature thermal conductivity of ferrimagnetic crystals. Physica 24, 176, 1958, Suppl. (Sept.) (Pittsburgh, Penn., Carnegie Inst. Technol.)

7-382 Anna Foner-Cohen. The thermal conductivity of monoisotropic ionic crystals (sodium luoride and cesium iodide) at low temperatures. Physica 24, 177, 1958, Suppl. (Sept.) Oak Ridge, Tenn., Nat. Lab., Solid State Div.)

7-383 G. K. White and S. B. Woods, Thermal conductivity of the solidified inert gases: argon, neon and krypton. Physica 24, 177, 1958, Suppl. (Sept.) (Ottawa, Nat. Res. Counc., Div. Pure Phys.)

2-384 P. N. Kubanskii. The effect of acoustic streaming on convective heat exchange. Soviet Phys.-Acoust. 5, 49-55, 1959, Nr. 1. (Jan./März.) (Engl. Übers. aus: J. Acoust. SSR 5, 51, 1959, Nr. 1.) (Leningrad Technol. Inst.) Eine Sekundärströmung in einer riskosen, kompressiblen Flüssigkeit kann durch die Form der Wände oder auch durch tarke akustische Schallfelder ("akustischer Wind") entstehen. Diese Strömung, die enkrecht zu der Wand des festen Körpers verläuft, kann den Wärmeaustausch zwischen Körper und Flüssigkeit erheblich beeinflussen. Vf. gibt die Ursachen für die Zunahme ler Wärmeübertragung an, die sich bei Versuchen von Martinelli, Boelter und Lemach gezeigt hatte. Er untersucht selbst den Wärmeübergang von der Wand eines Zylinelers in Luft in einem starken Schallfeld von stehenden Wellen. Die Erhöhung der Wärmelbertragung wird dadurch verursacht, daß die Sekundärströmung in die Grenzschicht und die benachbarten Schichten der laminaren Schichten eindringt. Kallenbach.

-385 Karl Stephan. Wärmeübergang und Druckabfall bei nicht ausgebildeter Laminartrömung in Rohren und in ebenen Spalten. Chem.-Ing. Tech. (A) 31, 773-778, 1959 Vr. 12. (Dez.) (Karlsruhe, T. H., Thermodynam. Inst.) Die bekannte Graetz-Nusseltösung für den Wärmeübergang laminarer Rohrströmungen setzt ausgebildete Gechwindigkeitsprofile bei Beginn einer Beheizung oder Abkühlung voraus. Für die limensionslose Wärmeübergangszahl Nu $= \alpha \cdot \mathrm{D}/\lambda$ ergibt sich dann ein Ausdruck von ler Form $Nu = f(L/D \cdot Pe)$. Hierbei ist α eine Wärmeübergangs- und λ eine Wärmeeitzahl, D ist der Rohrdurchmesser, L die Rohrlänge und Pe $= \mathrm{U}_0\cdot\mathrm{D/a}$ die Pécletche Kennzahl mit der mittleren Geschwindigkeit U₀ über den Rohrquerschnitt und der emperaturleitzahl a. Sofern bei Beginn der Beheizung oder Abkühlung das Geschwinigkeitsprofil noch nicht ausgebildet ist, überlagern sich die hydrodynamische und die hermische Einlaufströmung. Dieses Problem wird unter der Annahme konstanter toffwerte untersucht. Wie sich aus den Rechnungen ergibt, lassen sich die Geschwindigeits- und die Temperaturverteilung in der Nähe des Eintrittsquerschnitts durch die Blasius-Pohlhausen-Lösung der längsangeströmten ebenen Platte beschreiben. Erst großer Entfernung vom Eintrittsquerschnitt, wo die Geschwindigkeit die Werte der OISEUILLESchen Parabel angenommen hat, geht das Temperaturprofil asymptotisch ndie Werte der Graetz-Nusselt-Lösung über. Der Druckabfall stimmt in der Nähe des Intrittsquerschnitts mit der Blasius-Lösung überein und wächst hinreichend weit tromabwärts linear an. Die dimensionslosen Wärmeübergangszahlen lassen sich durch usdrücke von der Form Nu = f(L/D · Re, Pr) beschreiben, mit der Reynolds-Zahl ${
m Re}={
m U_0\cdot D/
u}$ und der Prandtl-Zahl Pr $={
m v/a}.$ Darin ist ${
m v}$ die kinematische Zähigkeit nd D der hydrodynamisch gleichwertige Durchmesser.

- 7-386 E. M. Shuchowizkij. Über die Stabilität einer ungleichmäßig erwärmten, elektrisch leitenden Flüssigkeit im Magnetfeld. Fis. metall. (russ.) 6, 385-394, 1958, Nr. 3. (Orig. russ.) (Permsk, Staatl. Pädagog. Inst.) In Flüssigkeiten sind vertikale Temperaturschichtungen bis zu einem bestimmten kritischen Temperaturgradienten stabil. Bei elektrisch leitenden Flüssigkeiten (z. B. flüssigen Metallen) ist unter dem Einfluß eines Magnetfeldes ein böherer Temperaturgradient stabil, da eine Bewegung der Flüssigkeit bremsende Wirbelströme induziert. In der vorliegenden Arbeit wird die Konvektionsströmung einer elektrisch leitenden Flüssigkeit in einem äußeren Magnetfeld für den Fall eines unendlichen vertikalen Zylinders betrachtet.

 H. R. Bachmann.
- 7–387 Georg Kling. Versuche über den Wärmeaustausch in Rohren mit kugeligen und zylindrischen Füllungen. Chem.-Ing.-Tech. (A) 31, 705–710, 1959, Nr. 11. (Nov.) (Ludwigshafen/Rhein, Badische Anilin- u. Soda-Fabr.) Vf. stellt alte und neue Meßergebnisse übersichtlich zusammen. Der Wärmestrom ist von der Rohrwand in die Füllkörperpackung hinein gerichtet. Die Einflüsse von Kugeldurchmesser, Rohrlänge und Rohrdurchmesser sowie Wärmeleitvermögen der Füllkörper werden eingehend besprochen.
- 7-388* Wärme- und Kälteverluste isolierter Rohrleitungen und Wände. Tabellenbuch für die Praxis. 2. Aufl. 339 S. im Eigenverlag des Herausgebers Grünzweig und Hartmann AG, Ludwigshafen am Rhein, 1959, DM 28, —. "Für die Durchführung diesbezüglicher Berechnungen sind entsprechende Tabellen eine besondere Erleichterung und Zeitgewinn. Die zunächst für den internen Gebrauch zusammengestellten Werte werden nach Ergänzungen und Verbesserungen nunmehr erneut der Allgemeinheit zugängig gemacht." Inhalt: Einleitung (Formeln, Beispiele). Wärme- und/oder Kälteverluste von Rohrleitungen in gekühlten Räumen. Wärmeübergangszahlen an ebenen Wänden und Rohren (z. T. bei Windanfall). Temperaturfaktor $[(T_1/100)^4 (T_2/100)^4]/(T_1 T_2)$. Natürliche Logarithmen.
- 7-389 B. F. Figgins, Eva Huzan and G. O. Jones. Thermal expansion of solids at low temperatures. Physica 24, 181, 1958, Suppl. (Sept.) (London, Univ., Queen Mary Coll., Dep. Phys.)

 V. Weidemann.
- 7-390 Heinrich Arnold und Horst Sackmann. Isomorphiebeziehungen zwischen kristallinflüssigen Phasen. IV. Mischbarkeit in binären Systemen mit mehreren smektischen Phasen.
 Z. Elektrochem. 63, 4171-4177, 1959, Nr. 9/10. (1. Dez.) (Halle/Saale, Univ., Inst.
 Phys. Chem.) 14 binäre Systeme, deren Komponenten unter anderem 4,4'-Azoxyzimtsäure-di-n-alkylester, 4,4'-Azoxybenzoesäurediäthylester und 4,4'-Di-n-octo (deco,
 dodeco)azoxybenzol, waren, wurden mit Hilfe des Heiztischmikroskops untersucht.
 In vier Fällen wurden Zustandsdiagramme aufgenommen, in zehn nur die Kontaktmethode benützt. Die smektischen Modifikationen der Komponenten konnten auf
 Grund ihrer Mischbarkeit in drei Gruppen geteilt werden, innerhalb einer Gruppe
 besteht lückenlose Mischbarkeit. Für die Phasen A werden Molekülschichten mit regellosen Querabständen der Moleküle, für B eine Kreuzgitteranordnung innerhalb der
 Molekülschichten angenommen.
- 7-391 H. Reiss, H. L. Frisch and J. L. Lebowitz. Statistical mechanics of rigid spheres. J. chem. Phys. 31, 369-380, 1959, Nr. 2. (Aug.) (Murray Hill, N. J., Bell Teleph. Lab.; Hoboken, N. J., Stevens Inst. Technol.) Für ein Fluidum aus N starren Kugeln des Durchmessers a wird eine Gleichgewichtstheorie entwickelt. Die Kugeln stehen in Kontakt mit dem gelösten Stoff, der ebenfalls starre Kugeln beliebiger Größe darstellt. Dabei wird eine neue Verteilungsfunktion G(r) eingeführt, die die Dichte der starren Kugeln mißt. Ausgehend von geometrischen Betrachtungen und dem Virialtheorem werden Gleichungen abgeleitet. Die Kenntnis von G(a) führt zur Zustandsgleichung. Der analytische Ausdruck ist exakt bis zum dritten Virialkoeffizienten, den vierten gibt er auf 3% und den fünften auf 5% genau. Auch für die Oberflächenspannung dieses Fluidums in Kontakt mit einer vollständig abstoßenden Wand wird ein Ausdruck erhalten. Die Ergebnisse werden mit den nach anderen Verfahren erhaltenen verglichen. Das Virialtheorem liefert also auch Informationen über die Mikrostruktur eines Systems.

- $^{\prime}$ -392 J. J. M. Beenakker, F. M. Varekamp and H. F. P. Knaap. The difference in the econd virial coefficient in the equation of state between the ortho and para modifications of I_2 and D_2 . Physica 24, 167, 1958, Suppl. (Sept.) (Leiden, Kamerlingh Onnes Lab.)
- 4-393 F. H. Varekamp and J. J. M. Beenakker. Non ideal mixing of gases at low pressures and liquid hydrogen temperatures. Physica 24, 167, 1958, Suppl. (Sept.) Leiden, Kamerlingh Onnes Lab.)

 V. Weidemann.
- 7-394 N. H. Fletcher. Size effect in heterogeneous nucleation. Berichtigung. J. chem. Phys. 31, 4136-4137, 1959, Nr. 4. (Okt.) (Sydney, Austr., C. S. I. R. O., Radiophys. Lab.) Ber. 38, 1455, 1959.
- 2-395 A. E. Korvezee and J. L. Meijering. Validity and consequences of Schreine-nakers' theorem on ternary distillation lines. J. chem. Phys. 31, 308-313, 1959, Nr. 2. Aug.) (Delft, Netherl., Technol. Univ., Lab. Phys. Chem.; Eindhoven, Netherl., Philip's Gloeilampenfabr., Res. Lab.) Für den Fall der Destillation ohne Rückfluß wird das Theorem von Schreinemaker, das von Redlich und Kister bestritten wurde, wire das Destillationslinien in ihren Endpunkten Tangenen für eine Seite des Dreiecks sein, das das Diagramm der ternären Mischung darstellt. Es werden Q₀-Werte definiert, die den Verlauf der Destillationslinien in den Ecken des Dreiecks bestimmen und aus binären Siedekurven ableitbar sind. Der Beweis des Theorems ist schwierig, wenn Q₀ im Ausgangs- oder Endpunkt nur wenig von 1 differiert. In ternären Systemen ohne Mischungslücke und ohne Azeotropie sind Destillationslinien nit einem Wendepunkt nicht wesentlich seltener als solche des normalen Typs, Destilationslinien mit zwei Wendepunkten dürften sehr selten sein. M. Wie demann.
- 2-396 Otto Redlich. Physically meaningful concepts. J. chem. Phys. 31, 314, 1959, Nr. 2. (Aug.) (Emeryville, Calif., Shell. Devel Co.) Vf. diskutiert die Behauptung von KORVEZEE und MEIJERING, daß in Übereinstimmung mit SCHREINEMAKER der Grenzvert für $x_1 = 1$ von $s = (dx_3/dx_1)$ einer Destillationslinie in einem ternären System Nullst. Er lehnt lim s als physikalisch sinnvolle Größe ab, da die Konvergenz nicht gleichörmig ist. Ob der Grenzwert Null eintritt, hängt davon ab, ob eine Spur der Komponente in der Ausgangsmischung vorhanden ist. Liegt also die Konzentration von 2 innerhalb der analytischen Fehlergrenzen, ist lim s ungewiß, es kann − 1 oder Null betragen.

M. Wiedemann.

2397 **H. Klumb** und **J. Lückert.** Zwei Verfahren zur Messung kleiner Dampfdrucke. Vakuum-Tech. 8, 62—66, 1959, Nr. 3. (Apr.) (Mainz, Johannes-Gutenberg-Univ., I. Phys. nst.) Die Dampfdrucke sind im Bereich 10^{-3} bis 10^{-6} Torr (ginge wohl auch tiefer; Klumb und Kollmansperger, 1953) mittels dem Radiometerverfahren, zwischen 10^{-1} md 10^{-4} Torr mittels dem Molekularstrahlverfahren (Effusionsprinzip, Knudsen 1909), Klumb (1954/58)) gemessen worden. Die Ergebnisse lassen sich in der üblichen Veise durch die Augustsche Dampfdruckformel: $\lg p = -A/T + B$ darstellen. Unterucht wurden Alkohole (s. Tab.) sowie einige Öl- und Fettproben (nach gründlicher Entasung war bei üblichen Hochvakuumfetten der Restdampfdruck etwa 10^{-6} Torr).

	\mathbf{A}	· B	
	etwa zwisc	-20 und	−80°C
Methanol	2,37	79 10,4714	
Äthanol	2,29	9,3975	
n-Propanol	2,50	9,6343	
iso-Propanol	2,62	26 10,5622	
n-Butanol	2,69	9,7992	
iso-Butanol	2,87	75 10,7258	
sec-Butanol	3,11	18 12,0498	

H. Ebert.

-398 Everett Thiele and David J. Wilson. A comparison of Slater's theory of unicolecular reactions with experimental data. Canad. J. Chem. 37, 1035—1037, 1959, Nr. 6. (Juni.) (Rochester, N. Y., Univ., Dep. Chem.) Die Umlagerung von Cyclobutylen in Butadien sowie die Zersetzung von Cyclobutan und $\rm N_2O_5$ sind monomolekulare Reaktionen, deren Geschwindigkeitskonstanten in Abhängigkeit vom Druck experimentell bekannt sind. Die theoretische Berechnung aus den Symmetrieeigenschaften der Normalschwingungen im Hinblick auf mögliche Reaktionskoordinaten verläuft unbefriedigend. Die Ursache hierfür wird in der Anharmonizität der Oszillatoren oder in der Art der Stoßaktivierung vermutet.

7-399 **Kenichi Fukui, Teijiro Yonezawa** and **Chikayoshi Nagata.** Reply to the comments on the "frontier electron theory". J. chem. Phys. **31**, 550-551, 1959, Nr. 2. (Aug.) (Kyoto, Jap., Univ., Fac. Engng.)

Bernard Pullman. Remarks on "Reply to the comments on frontier electron theory by Fukui, Yonezawa and Nagata." J. chem. Phys. 31, 551-552, 1959, Nr. 2. (Aug.) (Paris, France, Univ., Lab. Chim. Théor.)

- H. H. Greenwood. Comment on "Reply to the comments on the frontier electron theory by Fukui, Yonezawa and Nagata." J. chem. Phys. 31, 552-553, 1959, Nr. 2. (Aug.) (Billingham, Durham, Engl., Imp. Chem. Ind.)
- S. S. Sung, O. Chalvet and R. Daudel. Comments on a letter by Fukui. J. chem. Phys. 31, 553, 1959, Nr. 2. (Aug.) (Paris, France, Centre Mec. Ondul. Appl.) In der ersten Arbeit weisen Vff. Einwände von verschiedener Seite gegen ihre Theorie des Grenzelektrons zurück und diskutieren dabei besonders die Indices für die Reaktionsfähigkeit und die Superdelokalisierbarkeit. Die drei folgenden Arbeiten stellen Erwiderungen einzelner Autoren auf diese Zurückweisung ihrer Einwände dar.

 M. Wiedemann.
- 7-400 Z. G. Szabo und F. Solymosi. Die Änderung der katalytischen Aktivität und der elektrischen Leitfähigkeit des $MgO-Cr_2O_3$ -Mischoxyds während der Spinellbildung. Z. Elektrochem. 63, 1177—1183, 1959, Nr. 9/10. (1. Dez.) (Szeged, Ungl. Inst. anorg. analyt. Chem.) In einem modifizierten SCHWABschen Reaktor wurde die Änderung der katalytischen Eigenschaften des $MgO-Cr_2O_3$ -Mischkristalls bei der Zersetzung von Ameisensäure mittels Differentialmanometern, ferner die Änderung der elektrischen Leitfähigkeit beim Sintern bestimmt. Die Temperaturen lagen zwischen 500—1400°C. Bestimmt wurde die Aktivität, der Selektivitätsfaktor, die Aktivierungsenergie der dehydrierenden Reaktion, ferner der Widerstand und die Aktivierungsenergie der Leitfähigkeit. Die erhöhte Aktivität während der Spinellbildung, die etwa ab 600°C auftritt, wird auf die Bildung eines nichtgeordneten Übergangszustands zurückgeführt. Die Zunahme der Leitfähigkeit spricht für Defektelektronenleitung. M. Wiedemann.
- 7-401 Gerhard Schmid. Die autokatalytische Natur der kathodischen Reduktion von Salpetersäure zu salpetriger Säure. I. Zur Deutung stationärer Strom-Spannungs-Kurven. Z. Elektrochem. 63, 1183—1188, 1959, Nr. 9/10. (1. Dez.) (Köln, Univ., Inst. Phys. Chem. Kolloidchem.) Vf. diskutiert die Beziehung der Geschwindigkeit der Passivierung und Auflösung von Metallen in Salpetersäure zum Mechanismus der autokatalytischen Rückbildung der ursprünglich an der Kathode verbrauchten HNO_2 in der kathodischen Grenzschicht nach $2\,\text{NO} + \text{HNO}_3 + \text{H}_2\text{O} \rightarrow 3\,\text{HNO}_2$, die verhältnismäßig langsam verläuft. Die Darlegungen Vetters werden abgelehnt. Zwischen den beiden Durchtrittsreaktionen bei der kathodischen Reduktion von Salpeter- zu salpetriger Säure $\text{NO}_2 + \text{e} \Rightarrow \text{NO}_2$ nach Bonhoeffer und $\text{NO}^+ + \text{e} \Rightarrow \text{NO}$ nach Abel kann nach Ansicht des Vf. nicht unterschieden werden.
- 7-402 K. J. Vetter. Entgegnung auf die vorstehende Arbeit von G. Schmid über "Die autokatalytische Natur der kathodischen Reduktion von Salpetersäure zu salpetriger Säure". Z. Elektrochem. 63, 1189-1191, 1959, Nr. 9/10. (1. Dez.) (Berlin-Dahlem, Max-Planck-Ges., Fritz-Haber-Inst.) In Erwiderung auf die vorst. ref. Arbeit weist VI. darauf hin, daß seine Ergebnisse an blankem, die von Schmid dagegen an platiniertem Pt erhalten wurden. Er führt nochmals die Gründe an, die für das Vorliegen der ersten Durchtrittsreaktion sprechen, Jerner erörtert er seine Berechnungen des Reaktionsgrenzstroms.
- 7–403 G. Schmid. Antwort auf die vorstehende Entgegnung von K. J. Vetter. Z. Elektrochem. 63, 1191, 1959, Nr. 9/10. (1. Dez.) (Köln.) Vf. weist darauf hin, daß bei der

argumentation von Vetter die Reaktion $N_2O_4 + 2NO + 2H_2O \rightarrow 4HNO_2$ außer cht gelassen werden muß.

- 404 Gerhard Sehmid und Jochen Delfs. Die autokatalytische Natur der kathodischen Reduktion von Salpetersäure zu salpetriger Säure. II. Der galvanostatische Einschaltorgang. Z. Elektrochem. 63, 1192-1196, 1959, Nr. 9/10. (1. Dez.) (Köln, Univ., Inst. phys. Chem. Kolloidchem.) An einer Pt-Elektrode wurden Spannungs-Zeit-Oszilloramme des galvanostatischen Einschaltvorgangs bei der kathodischen Polarisation on nicht-gerührten Mischungen mehrfach molarer HNO3 und etwa um den Fakor 1000 verdünnterer HNO2 aufgenommen. Unterhalb einer kritischen Stromdichte, lie für die Konzentration der beiden Säuren charakteristisch ist, werden die Kuren abnorm. An der HNO3-HNO2-Kathode wird HNO2 zu NO reduziert. Dieses vird dann mit HNO3 wieder zu HNO2 oxydiert, wobei mehr HNO2 gebildet wird, so laß die Bruttoreaktion einer Reduktion von HNO3 entspricht. Oberhalb der kriischen Stromdichte kann die chemische Regeneration von HNO2 nicht Schritt alten, die Elektrode ist daher diffusionsgesteuert, und die potentialbestimmende INO₂ erschöpft sich nach einiger Zeit. Unterhalb der kritischen Stromdichte nehnen Vff. dagegen einen lawinenartigen Anstieg der Regenerierung an, der das Potenial zur Umkehr zwingt. M. Wiedemann.
- 2-405 Paul H. Emmett. Adsorption and catalysis. J. phys. Chem. 63, 449-456, 959, Nr. 4. (Apr.) (Baltimore, Md., John Hopkins Univ., Chem. Dep.) Der Übersichtstrükel zeigt die verschiedenen Zusammenhänge zwischen Adsorption und Katalyse owie die allgemeinen Entwicklungslinien bei der Erforschung des Katalysatorveraltens auf.
- 2-406 G. Boato, G. Scoles and M. E. Vallauri. Vapour pressure of isotopic liquids. Physica 24, 181, 1958, Suppl. (Sept.) (Genova, Univ., Ist. Fis.)
- 407 **H. Heastie.** Solid and liquid solutions of krypton and xenon. Physica 24, 182, 958, Suppl. (Sept.) (London, Univ., Queen Mary Coll.) V. Weidemann.
- 408 J. T. Kummer. The chemisorption of oxygen on silver. J. phys. Chem. 63, 60-463, 1959, Nr. 4. (Apr.) (Midland, Mich., Dow Chem. Co.) Um zu einem besseren Verständnis der katalytischen Äthylenoxydation an Silber zu gelangen, untersucht I. das System Silber-Sauerstoff. Es wird die Änderung des Oberflächenpotentials einer ag-Oberfläche durch die Chemisorption von Sauerstoff und der Paramagnetismus der ilberoberfläche nach der Sauerstoff-Chemisorption bestimmt. Die Änderung des Oberflächenpotentials wird durch Messung des elektrischen Ladungsflusses zwischen en Belegungen eines Kondensators ermittelt, der aus Gold- und Silberzylindern beteht. Durch Zugabe von Sauerstoff bei 220°C oder Reduzierung der Silberoberfläche nit Wasserstoff ändert sich nur das Oberflächential des Silbers, da Gold keinen auerstoff chemisorbiert. Die elektrometrische Messung ergibt für die O₂-Chemisorption ine negative Änderung des Oberflächenpotentials von 0,2 Volt. Der Oberflächenaramagnetismus wird mit Hilfe der Ortho-Para-Wasserstoff leicht paramagnetisch, ntsprechend einem ungepaarten Elektron auf 150 Å².
- -409 J. N. Wilson, H. H. Voge, D. P. Stevenson, A. E. Smith and L. T. Atkins. Physical techniques in the study of silver catalysts for ethylene oxidation. J. phys. Chem. 63, 63-468, 1959, Nr. 4. (Apr.) (Emeryville, Calif., Shell Developm. Co.) Wegen der roßen industriellen Bedeutung der Äthylenoxydierung an Silberkatalysatoren unteruchen Vff. den Einfluß der kristallographischen Orientierung aufgedampfter Silberchichten auf die Reaktion. Durch Aufdampfung im Vakuum oder bei 1 Torr N₂- oder lag-Atmosphäre erhält man Schichten mit willkürlich orientierten Kristalliten oder ollchen, deren (110)-Ebene parallel zur Glasträgeroberfläche verläuft. Beide sind anähernd gleich aktiv und selektiv. Eine orientiert kristallisierte Schicht rekristallisiert ei der Äthylenoxydation (250-280°C) innerhalb von 2 bis 4 Stunden zu einer willürlich orientierten, so daß ungewöhnliche Kristallfächen beim Gebrauch eines Kataly-

sators nicht zu erwarten sind. Die Erhitzung in Luft auf 250°C ergibt keine Desorientierung. Flüchtige Verunreinigungen der Ag-Katalysatoren werden mit einem Massenspektrometer bei Erwärmung bis nahe zum Schmelzpunkt ermittelt. Es zeigen sich in Ag, das durch Reduktion aus dem Oxyd oder durch Fällung aus der Lösung hergestelltworden ist, beachtliche Mengen an Kohlenstoff, Sauerstoff, Wasserstoff und Schwefelverbindungen. Teile von monomolekularen Schichten werden an spezifischen Oberflächen von 0,2 m²/g gefunden. Die Oberflächenpotentiale von pulverförmigem Ag, gemessen gegen Au in Luft, ergeben Werte von —500 bis +500 mV (reproduzierbar auf 10 mV). Die Chemisorption von P, S oder Cl-Verbindungen macht die Werte negativer.

- 7-410 R. Coekelbergs, A. Crucq, A. Frennet et G. Lienard. Complément à l'étude de l'échange hétérogène de chlore 36 entre l'acide chlorhydrique et le chlorure de méthyle. J. Chim. phys. 56, 967-974, 1959, Nr. 11/12. (Nov./Dez.) (Bruxelles, Ecole Roy. Milit.) Im Anschluß an Arbeiten mit einem Wolfram-Film wurde auf Molybdän-Filmen der elementare Austausch des 36Cl zwischen Salzsäure-Gas oder Methylchlorid und der mit chemisorbiertem Chlor gesättigten Oberfläche gemessen, ferner der globale Austausch von 36Cl zwischen HCl und CH₃Cl in Abhängigkeit von der Dicke des Mo-Films. Die Messungen wurden bei 250°C durchgeführt. Ein Austausch von Tritium zwischen damit markierter Salzsäure und Methylchlorid wurde am Mo-Film nicht beobachtet. Die Anschauung, daß der globale Austausch über chemisorbiertes Cl verläuft, wurde bestätigt, dabei wird zwischen leicht zugänglichen Plätzen auf der Metalloberfläche und unzugänglichen unterschieden, die Metallfilme sind also heterogen. Die Aktivierungsenergie der globalen Reaktion ist bei Mo kleiner als bei W.
- 7-411 Alfred H. Zeltmann and George Gerhold. Equilibrium in the exchange of hydrogen between arsine and water. J. chem. Phys. 31, 889-891, 1959, Nr. 4. (Okt.) (Los Alamos, N. Mex., Univ., Sci. Lab.) Schön.
- 7-412 E. E. Nikitin. On deviations from the Boltzmann distribution in the dissociation of diatomic molecules. Soviet Phys.-Doklady 2, 453–456, 1957, Nr. 5. (Sept./Okt.) (Engl. Übers. aus: Proc. Acad. Sci. USSR 116, 584, 1957, Nr. 4.) Vf. betrachtet eine Gasmischung aus AB- und C-Molekülen mit kleiner AB-Konzentration. Die Dissoziation der zweiatomigen Moleküle (AB \rightarrow A + B) infolge binärer Stöße mit den C-Molekülen wird mit Hilfe einer statistischen Methode untersucht. Kelbg.
- 7-413 Sidney W. Benson and D. V. S. Jain. Further studies of the pyrolysis of dimethyl ether. J. chem. Phys. 31, 1008-1017, 1959, Nr. 4. (Okt.) (Los Angeles, Calif., Univ., Dep. Chem.)
- 7–414 Karl Weiss. Zur Theorie der Verbrennungsgeschwindigkeit, Reaktionen zwischen ungleichen Teilen, Kohlenwasserstoffverbrennung. Z. Elektrochem. 63, 1081–1088, 1959, Nr. 9/10. (1. Dez.) (Mainz, Johannes-Gutenberg-Univ., Inst. theor. Phys.) Für die Verbrennung von Kohlenwasserstoffen der allgemeinen Zusammensetzung $C_{\alpha}H_{\beta}O_{\gamma}$ wird ein einfaches Bruttoschema gegeben, wobei die Dissoziation berücksichtigt wird. Entsprechend der Wärmetheorie der Verbrennung werden als charakteristische Größen die Reaktionswärme und die Flammentemperatur angesehen. Das Bruttoschema wird auf die Verbrennungsgleichungen, die zur Bestimmung der Verbrennungsgeschwindigkeit dienen, angewandt. Als Beispiel ist die Verbrennung von Hexan behandelt. Die Abhängigkeit der Verbrennungsgeschwindigkeit von der Gemischgröße wird für brennstoffarme wie brennstoffreiche Gemische gut wiedergegeben. M. Wiedemann.
- 7–415 **D. R. Lintin** and E. R. Wooding. Investigation of the ignition of a gas by an electric spark. Brit. J. appl. Phys. 10, 159–166, 1959, Nr. 4. (Apr.) (Sheffield, Univ.) Mines Res. Est.) Die Erscheinungen bei der Flammenfortpflanzung sind durch Impulse parallelen Lichtes von einigen µs Dauer auf einer lichtempfindlichen Schicht festgehalten worden. Ausführliche Schaltschemen von Versuchsanordnung und Verzögerungseinrichtung (Zeitunterschied zwischen Einsetzen von Zündfunken und Lichtimpuls) sind angegeben. Etwa 100 µs nach Zündung von Methan/Luft-Gemischen mit Funken

er minimalen Zündenergie (die Spannung wurde so gewählt, daß $50 \pm 20\%$ der Funken ündeten; eine Änderung der Funkenenergie um $\pm 5\%$ führte zu 100% bzw. Null ündungen) kann an der Ausbreitungsgeschwindigkeit des Flammenkernes erkannt erden, ob Fortpflanzung oder Erlöschen eintritt. Dieser Vorgang wird auch mathenatisch behandelt. Aus der zeitlichen Änderung des Flammenradius wurde die Flamnengeschwindigkeit berechnet; sie ist abhängig von dem Gemisch und fällt (von $\sim 10^4$ cm/s) experimentell in 1-2 ms auf ein Minimum (~ 100 cm/s), um dann nach twa 5 ms einen konstanten Wert anzunehmen. Tritt keine Zündung ein, wächst der lammenradius nur auf einen bestimmten, von der Zündfunkenenérgie abhängigen vert, Zündung erfolgt am leichtesten, wenn der Elektrodenabstand eine möglichst roße Energiedichte im Funken zuläßt und die Form der Elektroden den Vorgang öglichst wenig stört.

- -416 Joseph O. Hirschfelder and Alan McCone jr. Theory of flames produced by nimolecular reactions. I. Accurate numerical solutions. II. Ignition temperature and her types of approximations. Phys. Fluids 2, 551-564/565-574, 1959, Nr. 5. (Sept./ kt.) (Madison, Wisc., Univ., Theor. Chem. Lab.) I. Auf Grund von Verbrennungseichungen wurde in Übereinstimmung mit SPALDINGS Arbeit festgestellt, daß für den lärmeübergang ein Maximalwert existiert. Ist die Wärmeübertragung kleiner als eser Maximalwert, so gibt es für die Flammengeschwindigkeit zwei Lösungen. II. Die rklärung von Verbrennungsvorgängen erfolgt mit Hilfe der Verfahren von CORNER. DAMS, WILDE und KLEIN; auf der Grundlage von ADAMS und WILDE wird ein neues, ißerst genaues Näherungsschema entwickelt.
- 417 L.S. Kozachenko. Effect of flow pulsations on the turbulent speed of flame propagaon. A. R. S. J. 29, 761-764, 1959, Nr. 10. Teil I. Bei einem Bunsenbrenner kann der urbulenzgrad von 1,7bis 15,7% erhöht werden. Die turbulente Brenngeschwindigkeit u_t ann nach diesen Versuchen in der Form dargestellt werden $u_t = u_n + u' + u''$, wo u_n e normale Brenngeschwindigkeit in laminarem Gemisch ist, u' ist der Mittelwert der uadrate der Schwankungen der ursprünglichen Strömung und u" sind die entsprechenen Werte, welche die Flamme erzeugt. Bilder hoher Frequenz wurden auch aufgemmen.
- 418 S. A. Gol'denberg and V. S. Pelevin. Effect of pressure on the speed of flame opagation in a turbulent stream. A. R. S. J. 29, 765-768, 1959, Nr. 10. Teil I. Mit nem Bunsenbrenner, Druckänderungen p von 760 zu 100 Torr, REYNOLDS-Zahlen (Re) on $4 \cdot 10^3$ zu $20 \cdot 10^3$ wurde die turbulente Brenngeschwindigkeit (u_t) bestimmt. Wenn e konstant bleibt, wird ut größer mit kleiner werdendem p ähnlich wie bei laminarem istand ($u_t \approx p^{-0.25}$). Mit größer werdendem Re steigt u_t ($u_t \approx u_n \operatorname{Re}^{0,715}$). Es werden e turbulenten Eigenschaften geändert, welche von der Größe der Reibung abhängen. Staab.
- 419 D. B. Spalding. Theory of particle combustion at high pressures. A. R. S. J. 29, (8-835, 1959, Nr. 11. (Nov.) (London, Imp. Coll.) Da in den herkömmlichen Theorienr die Verbrennung von Brennstoff-Nebeln der steigende Gasdruck nicht berückchtigt ist, wird eine quantitative Theorie unter Berücksichtigung der zeitlichen Änrung der Flammenfront, des Verbrennungsgrades und der Verbrennungsleistung ge-Gehm. ben.
- M. Destriau et D. Cladé. Auto-inflammations comparées de l'ammoniac dans 420 xugène et dans l'oxyde azoteux. J. Chim. phys. 56, 936-939, 1959, Nr. 11/12. (Nov./ ez.) An Mischungen von NH₃-O₂ und NH₃-N₂O verschiedener Zusammensetzung urden die Grenzdrucke bestimmt, oberhalb derer spontane Entzündung bei einer gebenen Temperatur auftrat. Hierzu diente ein zylindrisches Reaktionsgefäß aus rchsichtigem Quarz von 8 cm Länge und 1,9 cm Durchmesser. Die Grenzdrucke ren für die Mischungen NH₃-O₂ höher als für die mit Stickoxydul. Im Falle des zwei-1 Systems lassen sich die Grenzdrucke durch eine thermische Theorie gut deuten. e Möglichkeit der Beteiligung von Ketten erscheint jedoch nicht ausgeschlossen.

7–421 Mme J. Gallard-Hasid, H. James et B. Imelik. Etude de l'influence des parois sun la cinétique de combustion du cyanogène. I. La réaction hétérogène d'oxydation du cyanogène en présence d'un xérogel de silice. J. Chim. phys. 56, 975–980, 1959, Nr. 11/12. (Nov., Dez.) (Paris, Sorbonne, Lab. Chim. Gén.) Nach der Technik der verzögerten Flammen wurde in einem Reaktionsgefäß von 125 mm Länge und 300 mm Durchmesser die Geschwindigkeit der heterogenen Oxydation von Dicyan an SiO₂-Xerogel untersucht. Die Geschwindigkeit gehorcht: v = 3,78 · 10⁻⁴/sec/cm²S³/⁴cm²(pc₂N₂/T)^{1/2}(po₂/T)^{1/2}·e⁻²²⁵⁰⁰/_{ET} mit S = spezifische Oberfläche der Kontaktmasse. Die Temperaturen lagen bei 700–850°C. Das Gesetz wird mit dem bei homogener Oxydation gültigen verglichen. Die Reaktion verläuft nach einem RIDEAL-Mechanismus mit drei Stufen: 1. chemische Adsorption der C_2N_2 , 2. Reaktion des gasförmigen Sauerstoffs mit dem chemisorbierten Dicyan und 3. Desorption der Reaktionsprodukte.

M. Wiedemann.

7–422 Guy Pannetier, Henri Guenebaut et Issam Hajal. Sur l'observation d'une luminescence à basse température. Bull. Soc. Chim. Fr. 1959, S. 1690–1691, Nr. 10. (Okt.) (Paris, Fac. Sci., Lab. Chim. X.) Die Produkte der Reaktion von Stickstoffwasserstoffsäure oder Hydrazin in atomaren Flammen mit Wasserstoffatomen N_3H+H oder N_2H_4+H wurden mittels flüssigen Stickstoffs auf 78°K abgekühlt und an einer Wand niedergeschlagen. Es wurde eine intensive blaugrüne Lumineszenz beobachtet, deren Ursprung diskutiert wird.

7-423 Sir Alfred Egerton. Réflexions sur la combustion du méthane. Bull. Soc. Chim. Fr. 1959, S. 1733-1743, Nr. 11/12. (Nov./Dez.) Vortrag vor der Société Chimique de France. Vf. schildert die Entwicklung der Verbrennungschemie im allgemeinen und der des Methan im besonderen, dabei geht er vor allem auf seine eigenen Arbeiten ein. Das Stoß-Phänomen in Motoren mit innerer Verbrennung wird behandelt, die Rolle von Pb-Tetraäthyl als Antiklopfmittel erwähnt und die Reaktionsprodukte diskutiert. Verschiedene Typen von Reaktionen bei der Verbrennung von Kohlenwasserstoften werden erörtert, darunter die Peroxy-Reaktionen. Der Einfluß der Wände wird erwähnt. Die eigentlichen Flammen werden gesondert behandelt. M. Wiedemann.

7-424 Adolphe van Tiggelen et Martial Grognard. Considérations théoriques sur l'action des inhibiteurs dans les flammes. Bull. Soc. Chim. Fr. 1959, S. 1818—1822, Nr. 11/12. (Nov./Dez.) (Louvain, Univ., Lab. Chim. Inorgan.) Die Wirkung von Inhibitoren auf Flammen kann in einer auf Kettenreaktionen beruhenden Theorie der Flammenausbreitung leicht gedeutet werden, nicht aber in einer rein thermischen Theorie. Die Inhibitoren zerstören die aktiven Radikale, die als Kettenausbreiter dienen. Die Rolle der Inhibitoren bei der Verengung der Grenzen der Entzündbarkeit wie bei der Herabsetzung der Flammengeschwindigkeit wird aufgezeigt. Die Hemmung kann als Sonderfall des Verhaltens einer ternären Mischung angesehen werden, die entweder zwei Brennstoffe und ein Oxydationsmittel oder zwei Oxydationsmittel und nur einen Brennstoff enthält.

M. Wie de mann.

7 425 V. N. Constantinescu. Betrachtungen über das Studium der Verbrennung einer in Bewegung sich befindenden Gasmischung. Bul. Inst. Polit. Bucureşti 20, 23—41, 1958, Nr. 1. (Jan./März.) (Orig. rum. m. dtsch. Zfg.) (Bucureşti, Inst. Politech., Lab. construct. aeronaut.) Auf Grund der Theorien von Scurlock und Tsien ergeben die Integralgleichungen für die Verbrennung eines Gasgemisches, daß in der ausgebrannten Zone die Geschwindigkeitsverteilung bei zweidimensionaler Bewegung einer linearen und be axial-symmetrischer Bewegung einer parabolischen Verteilung sich stark nähert. Die Verbrennungsräume mit veränderlichem Querschnitt werden einer näheren Betrachtung unterzogen.

7-426 Kh. Neumann. Rationalisation et automatisation de la lyophilisation de denrées alimentaires. Vide, Paris 14, 151-157, 1959, Nr. 81. (Mai./Juni.) (Köln, Inst. Industr. Biolog. Forsch.) Nach einem "barometrischen Temperaturmeßverfahren" läßt sich die Wärme-(Kälte-)Zufuhr so steuern, daß die nach den Erfordernissen optimale Temperatur in den Eiskernen des Trockengutes vorhanden ist. Dadurch kann die Trocknungsdauer verkürzt werden.

2-427 B. J. Alder and T. E. Wainwright. Studies in molecular dynamics. I. General method. J. chem. Phys. 31, 459-466, 1959, Nr. 2. (Aug.) (Livermore, Calif., Univ., Lawrence Radiat. Lab.) Die Untersuchung des Vielkörper-Problems mittels elektronicher Rechenmaschinen, die numerisch die simultanen Bewegungsgleichungen lösen, wird behandelt. Hierbei ist es möglich, das Verhalten mehrerer Hundert klassischer Teilchen, die in Wechselwirkung miteinander stehen, exakt zu berechnen. Die Grenzen des Verfahrens werden diskutiert. Die Art, wie das Programm der Maschine gestellt werden muß, wird eingehend geschildert. Das Verfahren kann auf viele Probleme der tatistischen Mechanik von Systemen im Gleichgewicht und von solchen, die nicht im Eleichgewicht stehen, angewandt werden.

- 4-428 E. Fick. Quantenstatistik eines Gases mit verschiedener Bahn- und Spintemperaur. Z. Phys. 157, 407-432, 1959, Nr. 4. (17. Dez.) (München, T. H., Inst. theor. Phys.) ein aus spinbehafteten Teilchen bestehendes System kann, wenn kein merklicher energieaustausch zwischen Bahn ("Gitter")- und Spinsystem stattfindet, eine von der pintemperatur T (≤0) unterschiedliche Bahntemperatur T₀ haben. Die Berechnung ler quantenstatistisch wahrscheinlichsten Verteilung identischer unabhängiger Teilchen uf den Bahn- und Spinenergieniveaus macht die Einführung dreier LAGRANGEscher Parameter (entsprechend den beiden energetischen Nebenbedingungen $\mathrm{E}_0=\mathrm{const}$ und $E_s = \text{const}$ sowie der Nebenbedingung für die Teilchenzahl N = const) erforderlich, lie die Bahn- und Spintemperatur sowie eine verallgemeinerte charakteristische LANCKSche Funktion darstellen. Außer im Gültigkeitsbereich der BOLTZMANNSchen Väherung (kleine Spinwerte für $T_0 \gg T_e$, $T_e = Entartungstemperatur, und beliebige <math>S_0 \gg S_0$) hängen die Verteilungen, die Bahn- und die Spinenergie, als Folge des Auschließungsprinzips für FERMI- bzw. Bose-Teilchen, sowohl von To als auch Ts ab. Es xistieren vier Wärmekapazitäten, die charakteristische Maxima haben. Die Zustandsleichungen, das Fermi-Dirac-Gas mit s $= \frac{1}{2}$ sowie die Einstein-Kondensation eines Bose-Gases werden erörtert. Anstelle der bekannten Temperaturunabhängigkeit des Paramagnetismus entarteter leitender Elektronen gilt für die Suszeptibilität eine To/Ts)-Abhängigkeit. Jörchel.
- 1429 W. W. Mullins. Analysis of the linear cooperative problem as a Markoff process. Phys. Rev. (2) 114, 389—393, 1959, Nr. 2. (15. Apr.) (Pittsburgh, Penn., Westinghouse Res. Lab., Metallurg. Dep.) Die statistische Gleichgewichtsstruktur einer linearen Kette, bei der jedes der in Wechselwirkung stehenden Elemente α Zustände anzunehmen ermag, wird bestimmt durch Anwendung der Theorie der Entropie eines Markoffcrozesses, um die freie Energie der Kette als Funktion ihrer Übergangswahrschenlicheiten auszudrücken. Der Hauptzweck der Arbeit besteht darin, eine neue Ableitung er Matrix-Methode anzugeben und die von verschiedenen Autoren vorgenommene ilschliche Anwendung eines Boltzmannschen Ausdruckes für die Übergangswahrcheinlichkeiten einer kooperativen Kette richtigzustellen.
- -430 I. Prigogine and P. Résibois. On the approach to equilibrium of quantum gases. hysica 24, 169, 1958, Suppl. (Sept.) (Bruxelles, Univ. Libre.)
- -431 I. Prigogine and S. Ono. Quantum theory of brownian motion. Physica 24, 184, 958, Suppl. (Sept.) (Bruxelles, Univ. Libre, Fac. Sci.) V. Weidemann.
- -432 Hans Wolter. Zum Sampling-Theorem zweiter Art. Arch. elekt. Übertr. 13, 77-481, 1959, Nr. 11. (Nov.) (Marburg/Lahn, Univ., Inst. angew. Phys.) Vf. setzt ich kritisch mit den Grenzen und Möglichkeiten der sampling-theorems auseinander. Gesonders wird hierbei die Optik berücksichtigt, da sie einen idealen Tiefpaß realisieren ußt. Aus einem Bildstück der Breite B sind dann mehr als 2WG Informationsangaben ugewinnen. Weitere Betrachtungen behandeln die Meßfehlerfortpflanzung.

H. Völz.

433 W. Koeppe. Recent investigations on the Thomson-Joule effect of gases and aseous mixtures. Physica 24, 167-168, 1958, Suppl. (Sept.) (Berlin, Humboldt-niv., Phys. Inst.)

V. Weidemann.

- 7-434 J. L. Lebowitz. Stationary nonequilibrium Gibbsian ensembles. Phys. Rev. (2.114, 4192-4202, 1959, Nr. 5. (1. Juni.) (Hoboken, N. J., Stevens Inst. Technol., Dep. Phys.) Vf. führt in vorliegender Arbeit seine Bemühungen um eine allgemeine Gibbssche statistische Mechanik nicht im Gleichgewicht befindlicher Systeme forte Durch geeignete Wahl von Wärmespeichern gelingt es, eine vereinfachte Liouville-Gleichung zur Beschreibung der Wärmeleitung abzuleiten. In einigen Fällen können die Ensembles, die ein solches System im Γ-Raum beschreiben, explizit angegeben werden. Als weiteres Problem wird die Brownsche Bewegung in einer Flüssigkeit mit ungleiche förmiger Temperaturverteilung untersucht.
- 7-435 P. C. Waterman and S. Alexander Stern. Separation of gas mixtures in a supersonic jet. J. chem. Phys. 31, 405-419, 1959, Nr. 2. (Aug.) (Tonawanda, N. Y., Linde Co., Div. Un. Carbide Corp., Res. Devel. Lab.) Die Erzeugung von Molekularstrahlen durch Expansion eines Gases durch eine LAVAL-Düse, die von BECKER gefunden worden war, wurde untersucht an den Gasmischungen: 57.8% $N_2-42.2\%$ År, 78.7% $N_2-21.3\%$ O₂ und 52,7% C₂H₄ — 47,3% N₂. Die Apparatur zur Herstellung dieser Stöße (Jets) mit Überschallgeschwindigkeit ist abgebildet und wird genau beschrieben. Das Trennungsphänomen wird untersucht, vor allem der Einfluß des Drucks auf den Trennfaktor, ferner der Abfall des Effekts stromabwärts von der Düse und seine Umkehr unter gewissen Bedingungen. Eine quantitative Theorie auf der Basis der Kinetik des freien Moleküls gibt gute Übereinstimmung mit den Beobachtungen. Dabei wird als Grundmechanismus der Trennung bei Komponenten verschiedener Masse die Verteilung der thermischen Geschwindigkeit genommen, die für die leichte Komponente breiter ist als für die schwere. Bei Komponenten gleicher Masse muß die Größendiffusion eingeführt werden. M. Wiedemann.
- 7–436 R. E. Walker and A. A. Westenberg. Molecular diffusion studies in gases at high temperature. 111. Results and interpretation of the He-A system. J. chem. Phys. 31, 519–522, 1959, Nr. 2. (Aug.) (Silver Spring, Maryl., Univ., Appl. Phys. Lab.) Bei Drucken von einer Atmosphäre wurde der binäre Diffusionskoeffizient im System He-A im Temperaturbereich 300–1100° K nach der Punktquellen-Technik bestimmt. Die Daten schließen an die Bestimmung der Konzentrationsabhängigkeit bei 298° K an. Diese Ergebnisse sowie die früher mit derselben Technik an den Systemen CO_2 -N₂ und He-N₂ erhaltenen werden diskutiert. Sie können durch Abstoßung zwischen He und Ar mit $\Phi_{\text{He-A}}(\mathbf{r}) = 1,81 \cdot 10^{-10}/r^8,^{12}$ erg im Bereich 2,21 Å < r < 2,57 Å gedeutet werden. Die Bestimmungen des Diffusionskoeffizienten aus Kleinwinkelstreuung schließen sich gut an die hier mitgeteilten an.
- 7-437 S. C. Saxena and E. A. Mason. Diffusion coefficients of gases from the rate of approach to the steady state in thermal diffusion. Mol. Phys. 2, 264—270, 1959, Nr. 3. (Juli.) (College Park, Maryland, Univ., Inst. Mol. Phys.) Vff. betrachten die Wärmediffusion einer binären Mischung durch eine enge Röhre, welche zwei Kugeln verbindet, die auf verschiedenen Temperaturen gehalten werden. Die Annäherung an den stationären Zustand wird mit Hilfe phänomenologischer Gleichungen beschrieben, und zwar strenger als bisher. Die Methode gestattet es, Diffusionskoeffizienten aus Messungen der Wärmediffusion zu ermitteln.
- 7-438 Eugene P. Gross and E. Atlee Jackson. Kinetic models and the linearized Boltzmann equation. Phys. Fluids 2, 432-441, 1959, Nr. 4. (Juli/Aug.) (Waltham, Mass., Brandeis Univ.; Bedford, Mass., Air Force Cambridge Res. Center.) Aus Betrachtungen über die Eigenwertspektren des Boltzmannschen Stoßoperators werden vereinfachte kinetische Modelle abgeleitet. Das "Ein-Relaxationszeit-Modell" von Bhatnagar, Gross und Krook (Phys. Rev. 94, 511, 1954) wird dabei als einfachstes Modell erhalten, für das sich sodann höhere Näherungen angeben lassen. Es wird diskutiert, welche Näherungen für stark verdünnte Gase aus Maxwell-Molekülen z. B. für Schallgeschwindigkeit, Couette-Strömung, Wärmeleitung und für gewisse nichtstationäre Vorgänge wie das Rayleigh-Problem brauchbar sind.

-439 Edward A. Desloge and Steven W. Matthysse. Collision term in the Boltzmann consport equation. Amer. J. Phys. 28, 1-11, 1960, Nr. 1. (Jan.) (New Haven, Conn., Jniv., Lab. Marine Phys.)

-440 J. M. J. Coremans, J. J. M. Beenakker, A. van Itterbeek and H. F. P. Knaap. The quantum-mechanical modification of the law of corresponding states for the viscosity of imple gases at low temperatures. Physica 24, 167, 1958, Suppl. (Sept.) (Leiden, V. Weidemann.

IX. Elektrizität und Magnetismus

- 441 L. Hartshorn. Precision electrical measurements. Research, Lond. 12, 307-314, 959, Nr. 8/9. (Aug./Sept.) (Teddington, Middl., Nat. Phys. Lab., Elect. Div.) Vf. eht davon aus, daß die Genauigkeit, mit der elektrische Meßresultate angegeben verden können, begrenzt ist durch die zeitliche Konstanz, die die zur Verifizierung der lektrischen Einheiten verfügbaren Hauptnormale aufweisen. Während die besten requenznormale — Quarzuhren und Atomuhren — relative Unsicherheiten von 10-10 nd weniger aufweisen, liegt die entsprechende Unsicherheitszahl bei den Normalen ür die eigentlichen elektrischen Einheiten um mehrere Zehnerpotenzen höher. Diese ahlen werden vom Vf. geschätzt wie folgt: Für die Widerstandseinheit auf etwa 10-6, ür die Spannungseinheit auf einige 10-6, für die Kapazitätseinheit auf etwa 5...10 10⁻⁵, für die Gegeninduktvitätsnormale, die einige große Staatslaboratorien für Fundanentalmessungen konstruiert haben, auf einige 10-6. Die Vergleichsmethoden für Gegennduktivitäten werden etwas spezieller dargestellt. In einer schematischen Aufstellung rird gezeigt, wie nach dem Arbeitsverfahren des NPL die Werte der Hauptnormale und nternormale für Widerstand, Kapazität und Induktivität an das fundamentale Gegennduktivitätsnormal angeschlossen werden. Hover.
- -442 **V. L. Herman.** On the possibility of applying the nonlinear effect of microradioave "saturation" with magnetic resonance for absolute capacity measurements. Ukrain. s. Sh. RSR **3**, 845, 1958, Nr. 6. (Orig. russ.)
- 443 Henry H. Kolm. Recent advances in the design of high-field de solenoid magnets. appl. Phys. 29, 489-491, 1958, Nr. 3. (März.) (S. B.) (Lexington, Mass., Inst. Technol., incoln Lab.) Durch Verbesserung der Kühlung gelingt es dem Vf., die stationär errichbare Feldstärke zu erhöhen. Der Wärmeübergang wird durch Oberflächenverampfung einer unterhüklten Flüssigkeit auf 2500 W/cm² gesteigert. Albach.
- 444 Karl Merkle. Über die ferromagnetische Anisotropie und ihre quantentheoretische ehandlung durch ein Einelektronenmodell. Z. Naturf. 14a, 938-951, 1959 Nr. 11. (Nov.) tuttgart, T. H., Inst. theor. angew. Phys.; Max-Planck-Inst. Metallforsch.) Vf. hrt die ferromagnetische Anisotropie auf die Spin-Bahn-Kopplung zurück und behreibt den ferromagnetischen Kristall durch ein Einelektronenmodell, wobei er die ristalleigenfunktionen nach BLOCH-Funktionen mit Spin entwickelt. Als Basisfunkonen werden dabei nicht die entarteten 3 d-Atomfunktionen, sondern sog. Zellennktionen verwendet, die schon in nullter Näherung die Wirkung des kubischen Kristallotentials berücksichtigen, was bekanntlich zur Aufspaltung des 5fach entarteten iveaus in ein 2fach und ein 3fach entartetes Niveau führt. Die Störungsrechnung beglich der Spin-Bahn-Kopplung zeigt, daß die Kristallenergie von der Gestalt der istandsdichte-Energie-Kurve in der Nähe der FERMI-Grenze abhängt. Für plausible 'erte η(F) und (dη/dE)_F bei Ni ergibt sich die richtige Größe und das richtige Vorichen von K1. Bei Annahme eines gemeinsamen d-Bandes für die flächenzentrierten Ni-Legierungen kann der Verlauf von K, als Funktion der Konzentration der Kommenten schon auf Grund eines sehr einfachen Bandmodells erklärt werden. Insbesonre ergibt sich auch die experimentell beobachtete Umkehr des Vorzeichens von K₁.

Mit einer groben Näherung für die Fermische Verteilungsfunktion wird die Temperaturahhängigkeit von $K_{1,\ lokal}$ erörtert. Dabei zeigt sich in erster Näherung ein zu T^2 proportionales Glied. In speziellen Fällen kann durch dieses Glied ein Wechsel des Vorzeichenss von K_1 bei Übergang zu höheren Temperaturen bewirkt werden. Jörchel.

- 7-445 R. Orbach. Antiferromagnetic magnon dispersion law and Bloch wall energies in ferromagnets and antiferromagnets. J. appl. Phys. 30, 1959, Suppl. zu Nr. 4, (Apr.) S. 233 S = 234 S. (Berkeley, Calif., Univ., Dep. Phys.) Kurzer Bericht über numerischee Berechnung der Energie von kurzen Ketten aus bis zu 10 Atomen mit Spin ½ und Austauschwechselwirkung bei periodischen Grenzbedingungen sowie bei der Bedingung fixierter paralleler oder antiparalleler Randspins. Im ersten Fall ergibt sich für antiferromagnetische Magnonen ein lineares Dispersionsgesetz. Im zweiten Fall zeigt die berechnete Energie der 180°-Bloch-Wand mit steigendem N gute Annäherung an die halbklassischen Werte nur bei der ferromagnetischen Wand.
- 7-446 Junjiro Kanamori. Superexchange interaction and symmetry properties of electron orbitals. J. Phys. Chem. Solids 10, 87-98, 1959, Nr. 2/3. (Juli.) (Osaka, Japan, Univ., Dep. Phys.) Die Beziehungen zwischen den Symmetrien der Elektroneneigenfunktionen von Kationen und Anionen und dem Vorzeichen der Superaustauschwechselwirkung (Ferro- oder Antiferromagnetismus) werden untersucht. Insbesondere werden die Fälle betrachtet, in denen das Kation oktaedrisch von Anionen umgeben ist und diese einen Winkel von 180° oder von 90° mit zwei Kationen bilden, sowie die Fälle, in denen das Kation tetraedrisch von Anionen umgeben ist.
- 7-447 J. S. Smart. Internal consistency of the Heisenberg-Dirac model for antiferromagnetism. J. Phys. Chem. Solids 11, 97-104, 1959, Nr. 1/2. (Sept.) (Upton, N. Y., Brookhaven Nat. Lab., Chem. Dep.) Im Rahmen der Bethe-Peierls-Weissschen Näherung wird das Austauschintegral J einmal aus der Néel-Temperatur und einmal aus der Suszeptibilität am Néel-Punkt für die sechs Substanzen MnF2, FeF2, LaFeO3, LaCrO3, KFeF3 und KCoF3 bestimmt. Es ergibt sich dasselbe Resultat innerhalb der experimentellen Meßgenauigkeit. (Resultat: |J|/k ist gleich 1,8; 3,0; 27; 28; 6,0 und 12°K.)
- 7-448 L. W. Kirenski. M. K. Sawtschenko und I. F. Dechtjarjow. Magnetisierungsprozesse im Ferromagnetikum. Sh. exp. teor. Fis. 37, 616-619, 1959, Nr. 3. (Orig. russ.) Die Magnetisierung eines Ferromagnetikums setzt sich zusammen aus der Verschiebung der Domänengrenzen, der Drehung des Magnetisierungsvektors der einzelnen Domänen in die Feldrichtung und dem Paraprozeß. Die Grenzenverschiebung kann reversibel oder irreversibel sein; im zweiten Fall ist sie verbunden mit Barkhausen-Sprüngen der Magnetisierung. Wäre dieses Schema ganz richtig, so müßte bei der Untersuchung des BARKHAUSEN-Effekts an einer Einkristallscheibe mit positiver Anisotropiekonstante und Schnittflächen in (110)-Richtung die maximale in der Meßspule registrierte Anzahl von Sprüngen in der Richtung der Achse leichtester Magnetisierung auftreten; in Wirklichkeit tritt dies Maximum senkrecht dazu ein. Dieses Ergebnis läßt sich nicht durch irreversible Verschiebungen von Teilen der Grenze erklären. Um diese und andere Diskrepanzen aufzuklären, untersuchten Vff. nach der Methode der Pulverfiguren und des magnetooptischen Kerr-Effekts die Dynamik der Domänenstruktur bei der Magnetisierung in Silicium-Eisenkristallen mit 3% Si. Die bisher angenommenen Prozesse (Grenzenverschiebung, Umbau der Domänenstruktur, Drehung des Magnetisierungsvektors und Paraprozeß) wurden bestätigt. Eine wesentliche Rolle spielt der Umbau der Domänenstruktur, der von zahlreichen Barkhausen-Sprüngen begleitet ist und der maximalen Suszeptibilität entspricht; die Grenzenverschiebung geht diesem Prozeß voran und vervollständigt ihn; die Drehung der Magnetisierung bildet den Abschluß des technischen Magnetisierungsprozesses. Vogel.
- 7-449 W. G. Barjachtar. Zur Theorie der Relaxation des magnetischen Moments im Ferrodielektrikum. Sh. exp. teor. Fis. 37, 690-694, 1959, Nr. 3. (Orig. russ.) Vf. u. a. hatten die Relaxation des magnetischen Moments im Ferrodielektrikum in einem

'emperaturgebiet $\Theta_c \gg T \gg \Theta_1 = \Theta_c (\mu M_0/\Theta_c)^{4/7}$ untersucht (μ Bohrsches Magneton. 1, spezifisches magnetisches Moment im Gleichgewicht, O. CURIE-Temperatur) und die Relaxationskonstanten berechnet (Ber. 38, 1581, 1959). Dabei zeigte sich, daß die Drehung des magnetischen Moments in die Ache leichtester Magnetisierung der langamste Prozeß ist. Hier wird die Einstellung des Absolutbetrages des magnetischen somentes und der Temperaturausgleich zwischen Gitter und Spinwellen für den Fall enauer untersucht, daß die Abweichung des magnetischen Moments von der Gleichewichtsrichtung unwesentlich ist. Diese Prozesse werden für Temperaturen T $\ll \Theta_c$ tudiert. Ist außerdem T $\gg \Theta_1$, so stellt sich zuerst die Bose-Verteilung ein, die dem lichtgleichgewichtswert des magnetischen Moments entspricht; dann erst nimmt das nagnetische Moment seinen Gleichgewichtswert an und dreht sich schließlich in seine leichgewichtsrichtung. Anders bei T $\ll \Theta_1$, dem neu behandelten Fall: Hier ist der deichgewichtswert des Betrages des Moments gleichzeitig mit der Bose-Verteilung der pinwellen eingestellt; auch hier dreht sich erst später das Moment in seine Gleichgeichtsrichtung. Der Temperaturausgleich zwischen Spinwellen und Gitter und die Relaxation des magnetischen Moments sowie die verschiedenen Relaxationszeiten weren durch einfache Ausdrücke dargestellt. Vogel.

- '-450 N. I. Kaganow und W. M. Zukernik. Nichtresonanzabsorption der Energie eines ragnetischen Wechselfeldes durch ein ferromagnetisches Dielektrikum Sh. exp. teor. is. 37, 823-832, 1959, Nr. 3. (Orig. russ.) Für die Absorption magnetischer Feldnergie durch ein Ferromagnetikum gibt es zwei Möglichkeiten, je nachdem das Wechseleld senkrecht oder parallel zum magnetischen Moment polarisiert ist; im ersten Fall reht das Feld das Moment, ohne seinen Betrag zu ändern, und im zweiten Fall ändert ch dieser Betrag. In beiden Fällen finden dissipative Prozesse statt (Wechselwirkung er Spinwellen miteinander und den Phononen). Mit Hilfe der Spinwellentheorie beechnen Vff. den Imaginärteil der longitudinalen magnetischen Suszeptibilität eines erromagnetischen Dielektrikums, der für die Absorption verantwortlich ist. Dabei erden folgende Annahmen gemacht: Die Probe ist bis zur Sättigung magnetisiert (nur ne Domäne); Fremdsubstanzen sollen zu vernachlässigen sein; die Probe besitzt ein agnetisches Moment, dessen Schwingungen sich als Spinwellen ausbreiten (die Temeratur ist so niedrig, daß keine Schwingungen der magnetischen Untergitter gegennander angeregt sind); dies gilt für Ferrite, deren Halbleitereigenschaften bei tiefen emperaturen unwesentlich sind; es wird nur eine Polarisation des Wechselfeldes in ichtung des Gleichgewichtsmoments betrachtet. Bei mittleren Frequenzen des Feldes vischen der reziproken mittleren Einstellzeit des Temperaturgleichgewichts und der ziproken Spin-Spin-Relaxationszeit $au_{
 m ss}$ verhält sich die Absorption wie ${
 m T}^{1/2}\omega au_{
 m ss}/(1$ - ω²τ²_{ss}); für sehr hohe Frequenzen geht sie wie ω^{3/2} gegen Null und ist T-unabhängig.
- 451 A. Z. Amatuni, Zur Berechnung des Grundzustandes für ein Antiferromagnetikum it einachsiger Anisotropie. Fis. metall. (russ.) 6, 395-399, 1958, Nr. 3. (Orig. russ.) s wird gezeigt, daß bei einem gewissen Schwellenwert für das äußere, parallel zur nisotropieachse gerichtete Magnetfeld und bei einem bestimmten Verhältnis zwischen en Anisotropiekonstanten ein Sprung der Parallelmagnetisierung von Null auf einen ewissen endlichen Wert auftritt, d. h., ein Phasenübergaug erster Art vorliegt. (Zfg.)

 H. R. Bachmann.
- 452 W. Opechowski. On the theory of the temperature dependence of the magnetization an ideal ferromagnet at low temperatures. Physica 24, 179, 1958, Suppl. (Sept.) Vancouver, Can., Univ. Brit. Columbia.)
- 453 F. B. Humphrey and E. M. Gyorgy. Flux reversal in soft ferromagnetics. J. appl. hys. 30, 935—939, 1959, Nr. 6. (Juni.) (Murray Hill, N. J., Bell Teleph. Labs., Inc.) s wird gezeigt, daß die Impulsummagnetisierung in weichmagnetischen Stoffen auf drei reschiedene Arten verlaufen kann: Durch Wandverschiebung (bei niedrigen Feldstärken), durch nichtkohärente Drehung (bei mittleren Feldstärken) und durch kohrente Drehung (bei hohen Feldstärken). Bei dünnen Permalloyschichten konnten alle ei Mechanismen in der gleichen Probe gefunden werden. Knicke in den Kurven der ziproken Schaltzeit als Funktion der Schaltfeldstärke zeigen hierbei die Feldbereiche

der einzelnen Mechanismen an. Ummagnetisierung durch Drehung konnte auch ar Ferritringen nachgewiesen werden.

- 7-454 R.W. DeBlois and C. P. Bean. Nucleation of ferromagnetic domains in irom whiskers. J. appl. Phys. 30, 1959, Suppl. zu Nr. 4, (Apr.) S. 225 S 226 S. (Schenectadys N. Y., Gen. Elect. Res. Lab.) Eisen-Einkristalle von etwa 10 mm Länge und einigen 4-Dicke wurden zunächst in der Längsrichtung bis zur Sättigung magnetisiert und danm mit örtlich begrenzten impulsförmigen Feldern entgegengesetzter Richtung ummagnetisiert Die hierzu nötige Feldstärke variierte mit dem Ort und erreichte in einigen Fällem bis zu etwa 480 Oe, während der theoretische Wert 560 Oe beträgt. Die Abweichungem vom theoretischen Wert werden durch Kristallfehler erklärt.
- 7-455 Mikio Yamamoto, Satoshi Taniguchi and Keizô Aoyagi. Ferromagnetic domain structure as affected by the uniavial anisotropy induced in a 40 percent Co-Ni single crystal. Sci. Rep. Res. Insts Tôhoku Univ. (A) 10, 20-33, 1958, Nr. 1. (Febr.) (Res Inst. Iron, Steel and Other Met.) Vff. zeigen durch Bitter-Streifen-Aufnahmen verschieden orientierter Einkristallflächen, daß die magnetische Bereichsstruktur des untersuchten Materials sehr fein unterteilt und kompliziert ist, sobald die Probe langsam von oberhalb der Curie-Temperatur abgekühlt worden ist. Nach Abschrecken von Temperaturen oberhalb des Curie-Punktes werden die Strukturen einfacher und gröber. Diese Erscheinung wird gedeutet, durch das Auftreten einer induzierten einachsigen Anisotropie, die sich bei genügend hohen Temperaturen in den einzelnen Bezirken ausbildet, indem sich unter dem Einfluß der spontanen Magnetisierung die Atome anisotrop anordnen. Dadurch werden die Bloch-Wände stabilisiert und hiermit Perminvareigenschaften ausgebildet.
- 7-456 I. J. Dsjaloschinski. Zum magnetoelektrischen Effekt in Antiferromagnetika. Sh. exp. teor. Fis. 37, 881-882, 1959, Nr. 3. (Orig. russ.) LANDAU und LIFSCHIZ (Elektrodynamik der Kontinua, Moskau 1958) zeigten, daß in einigen Antiferromagnetika ein eigenartiger Effekt auftreten kann, Im konstanten magnetischen (elektrischen) Feld wird ein dazu proportionales elektrisches (magnetisches) Moment erregt. Dieser Effekt hängt eng mit der magnetischen Symmetrie des Kristalls zusammen. Das thermodynamische Potential muß nämlich ein Glied enthalten, das proportional EH ist; in einem Paramagnetikum ist dies nicht möglich, weil sein Potential invariant gegen Zeitumkehr (Transformation R) ist, bei der das Magnetfeld das Zeichen wechselt, das elektrische nicht. Ist eine magnetische Struktur vorhanden, so kann die magnetische Symmetriegruppe entweder R nicht enthalten oder R nur als Kombination mit anderen Symmetrieelementen enthalten, die ein Auftreten von Gliedern EH im Potential ermöglichen. Es wird hier besonders auf das Cr₂O₃ hingewiesen, dessen magnetische Symmetrie sich so verhält. Es gibt hier zwei invariante lineare Kombinationen von E und H, nämlich E_zH_z und $E_xH_y + E_yH_x$ (z-Richtung = Kristallachse). Das thermodynamische Potential enthält also außer den üblichen Gliedern der parallelen und senkrechten elektrischen und magnetischen Polarisation noch zwei Glieder, die proportional den angegebenen Invarianten sind; die Koeffizienten dieser Glieder gehen auch in die Beziehungen zwischen Induktionen und Feldstärken ein, z. B. hängt die magnetische Induktion von den entsprechenden Komponenten beider Felder ab.
- 7-457 N. J. Poulis and H. M. Gijsman. Phase transitions in antiferromagnetic MnCl₂ · 4H₂O. Physica 24, 156-157, 1958, Suppl. (Sept.) (Leiden, Kamerlingh Onnes Lab.)
- 7-458 W. C. Koehler, E. O. Wollan, M. K. Wilkinson and J. W. Cable. Neutron diffraction studies of antiferromagnetic rare earth compounds. Physica 24, 157, 1958, Suppl. (Sept.) (Oak Ridge, Tenn., Nat. Lab.)
 V. Weidemann.
- 7-459 E. Kleimon und G. Klee. Ein Kernresonanzspektrometer für breite Linien Monatsber. dtsch. Akad. Wiss., Berlin 1, 463-467, 1959, Nr. 7/10. Das Spektrometer ist für Untersuchungen der Kernresonanzabsorption in Festkörpern und hochviskosen Flüssigkeiten (Beobachtung von Polymerisationsvorgängen) geeignet. Kaul.

7-460 S. Wilking. Kernresonanz in schwachen Magnetfeldern. Kernverstärker. Z. Phys. 157, 384-400, 1959, Nr. 3. (16. Nov.) (Karlsruhe, T. H., Phys. Inst.) Bekanntlich verlagt die Kernresonanzmethode in schwachen symmetrischen Feldern. Durch spezielle impulsverfahren mit veränderlichem Hilfsfeld läßt sich die untere Beobachtungsgrenze war verschieben, aber nicht umgehen. Vf. beschreibt eine Methode zur Beobachtung ernmagnetischer Resonanzeffekte in schwachen Magnetfeldern, die als Kombination ler magnetischen Kernresonanzmethode mit spezifischen Merkmalen der Molekulartrahl-Resonanzmethode angesehen werden kann. Sie erlaubt die stationäre Beobachung kernmagnetischer Resonanzeffekte an Flüssigkeiten in beliebig kleinen Magneteldern. Drei räumlich getrennte Magnetfelder werden von der zu untersuchenden Plüssigkeit nacheinander durchströmt: ein "Polarisatorfeld", ein "Zwischenfeld" als

960

Resonanzfeld und ein "Nachweisfeld". Im (starken) Polarisatorfeld $H_{\mathtt{A}}$ entsteht die

Besetzungszahldifferenz, im (schwachen) Zwischenfeld $\overset{
ightarrow}{ ext{H}_0}$ wird sie durch Resonanz-

einstrahlung geändert und im (starken) Nachweisfeld HB mit einem Kernresonanzletektor nachgewiesen. Es läßt sich dann zeigen, daß die verfügbare Nachweisleistung arepsilonines Resonanzüberganges proportional IIAHB ist, d. h. E hängt nicht wie bei der übichen Kernresonanzmethode von der Resonanzfeldstärke H_0 ab. Im Polarisatorfeld entsteht eine resultierende Kernmagnetisierung, die der lokalen Feldrichtung folgt und m Nachweisfeld mit einem Autodynkreis in Transistorschaltung (Ber. 32, 545, 1953) emessen wird. Ein im Zwischenfeld eingestrahltes Wechselfeld passender Frequenz ndert die Besetzungszahlendifferenz, beziehungsweise dreht den Magnetisierungsvektor. Die experimentelle Methode setzt voraus, daß die Durchströmungszeit der Strecke wischen Polarisator- und Nachweisfeld, verglichen mit der thermischen Relaxationseit der Flüssigkeit, hinreichend klein gemacht werden kann. In diesem Fall (was bei uederviskosen Flüssigkeiten im allgemeinen erreichbar ist) befolgt das Kernspinsystem ler Flüssigkeit im wesentlichen die gleichen Gesetze wie die Kernmomente freier Moleüle im Resonanzfeld einer Molekularstrahl-Resonanzapparatur. Resonanzübergänge on Protonen in H₂O konnten mit der vorgeschlagenen Methode mit konstanter Signaleistung bis zu LARMOR-Frequenzen von etwa 40 Hz nachgewiesen werden. Durch geignete Einstrahlung im Zwischenfeld kann dem Detektor kontinuierlich antiparallel nagnetisierte, d. h. emissionsfähige Substanz zugeführt werden, was einen ständigen Inergiefluß in den Nachweiskreis zur Folge hat. Die emittierten Photonen können dabei ine wesentlich höhere Quantenenergie besitzen als die vorher absorbierten (z. B. Taktor 10^6 bei $H_0 = 10^{-2}$ Gauß und $H_B = 10^4$ Gauß). Sie verstärken die Spannungsmplitude im Nachweiskreis. Vf. schlägt daher für diese Anordnung in Analogie zum Tolekularverstärker den Namen "Kernverstärker" vor. Die Pumpfrequenz wird durch $m I_{0}$ bestimmt, die Signalfrequenz durch $m H_{B}$. Die Pumpfrequenz kann daher um mehrere rößenordnungen kleiner sein als die Signalfrequenz.

461 S. Wilking. Mehrquantenübergänge von Protonen. Z. Phys. 157, 401–406, 1959, Ir. 3. (16. Nov.) (Karlsruhe, T. H., Phys. Inst.) Mit einer vorausgehend beschriebenen Ießanordnung (vorst. Ref.) wurden in H_2O außer der Protonen-Larmor-Resonanz $\omega = \gamma H_0$) auch Resonanzübergänge bei tieferen Frequenzen ($\omega < \gamma H_0$) beobachtet gyromagnetisches Verhältnis. H_0 Magnetfeldstärke). Bis zu 18 gut auflösbare Resonanzstellen konnten bei festem H_0 gefunden werden. Zusammengefaßt ergibt sich folgener Sachverhalt: (a) Die Resonanzbedingung läßt sich allgemein in der Form $n\omega = \gamma H_0$ chreiben, wenn n eine ganze Zahl bedeutet. Diese Gleichung ist um so besser erfüllt, a schwächer die Einstrahlung ist. (b) Es treten Resonanzverschiebungen auf, die bei arker Einstrahlung beträchtliche Werte annehmen können. (c) Die Halbwertsbreiten er Resonanzkurven nehmen mit wachsendem n etwa proportional 1/n ab. (d) In jeder esonanzstelle lassen sich mehrere volle Umdrehungen des Magnetisierungsvektors zwingen, jedoch ist der Drehwinkel für n > 1 nicht mehr proportional der Wechseldstärke. (e) Ein vorgegebener Drehwinkel erfordert bei festem n um so stärkere Einrahlung, je größer H_0 ist, d. h. die Übergangswahrscheinlichkeit nimmt mit wachender Feldstärke ab. (f) die Übergangswahrscheinlichkeit nimmt bei festem H_0 mit

wachsendem n ab. (g) Die Übergangswahrscheinlichkeit hängt für gerade und ungeraden in verschiedener Weise vom Neigungswinkel der Einstrahlspule gegen H₀ ab.

Kleinpoppen.

- 7-462 H. G. Hertz und W. Spalthoff. Über die chemische Verschiebung der Protonenresonanzen des Wassers in Elektrolytlösungen. Z. Elektrochem. 63, 1096-1110, 1959, Nr. 9/10. (1. Dez.) (Hamburg, Univ., Inst. Phys. Chem.) Die Verschiebungsänderung der Protonenresonanz in Wasser, Methanol, Äthanol, Essigsäure, Chloroform, Phenol und Chlorphenol bei Verdünnung mit den verschiedensten Lösungsmitteln werden zusammengestellt und diskutiert. Vff. selbst benützten ein einfaches kernmagnetisches Resonanzspektrometer mit einem Auflösungsvermögen von $\Delta H/H=4\cdot 10^{-8}$, das genau beschrieben wird. Die Feldstärke betrug 6007 Gauß. Sie untersuchten die Verschiebungsänderungen bei der Lösung starker Elektrolyte in Wasser. Der Einfluß der Temperatur wurde ebenfalls untersucht. Es ergibt sich die Erfahrungsregel, daß das Eingehen eines Moleküls in eine Wasserstoff-Brückenbindung die chemische Verschiebung des Brückenprotons in negativer Richtung ändert, d. h. sie führt zu einer verminderten Abschirmung. Häufig kann diese Abschirmungsverminderung als eine verstärkte Polarisation der XH-Bindung gedeutet werden. Es ist noch nicht möglich, die Meß-M. Wiedemann. ergebnisse in allen Einzelheiten zu deuten.
- 7-463 I. Solomon. Rotary spin echoes. Phys. Rev. Letters 2, 301-302, 1959, Nr. 7. (1. Apr.) (Gif-sur-Yvette, France, Centre Etudes Nucl. Saclay.) Erläuterung der experimentellen Bedingungen von Rotationsspin-Echos in Wasser und im sauerstofffreien Benzol.

 Kleinpoppen.
- 7-464 K. Alexander Müller, Electron paramagnetic resonance of manganese IV in SrTiO₃. Phys. Rev. Letters 2, 341-343, 1959, Nr. 8. (15, Apr.) (Zurich, Switzerl., Fed. Inst. Technol., Solid State Lab.) Vf. untersuchte das paramgnetische Resonanzspektrum eines Einkristalls von SrTiO₃, der auf Grund des Verneull-Prozesses unter Zugabe von 0,01 Gewichtsprozenten MnO₂ gezüchtet wurde. Die Messungen wurden bei Raumtemperatur der flüssigen Luft (wo das SrTiO₃ sich umzuwandeln beginnt von der kubischen Phase bei hohen Temperaturen in eine tetragonale Phase bei niedrigen Temperaturen) und bei der Temperatur des flüssigen Stickstoffes durchgeführt. Das Magnetfeld wurde variiert parallel zur (110)- und parallel zur (110)-Ebene. Beobachtet wurden sechs Hyperfeinstruktur-Liniengruppen, die von dem Kernspin I = 5/2 des Mn⁵⁵-Isotops herrühren. Der g-Faktor und die Hyperfeinstruktur-Konstante des Spektrums ergaben sich zu: $g = 1,994 \pm 0,001$ und $|A| = 75 \pm 1$ Gauß. Die Gruppen zeigten eine Feinstruktur-Aufspaltung, die von der Magnetfeldrichtung in bezug auf die Kristallachsen abhing. Die Aufspaltung war am größten, wenn das Magnetfeld parallel zur [100]-Richtung war. Hieraus folgerte Vf., daß sich die Mangan-Atome auf Gitterplätzen des SrTiO₃ befanden. Zwei Positionen sollen möglich sein: entweder sitzen Mn²⁺- oder Mn³⁺-Ionen an Sr²⁺-Gitterplätzen oder Mn²⁺-, Mn³⁺- oder Mn^{1V}-Ionen an Ti⁴⁺-Gitterplätzen (aus dem Experiment ergab sich, daß zwischen dem vierwertigen Mangan und seinen sechs Sauerstoffnachbaratomen starke kovalente Bindung herrscht, weshalb Mn^{1V} statt Mn⁴⁺ geschrieben wurde). Kleinpoppen.
 - 7-465 John A. Weil and John H. Anderson. Determination of the g tensor in paramagnetic resonance. J. chem. Phys. 28, 864-866, 1958, Nr. 5. (Mai.) (Princeton, N. J., Univ., Dep. Chem.; Pittsburgh-Penn., Mellon Inst.) Diskussion und Anwendung zweier Methoden zur Bestimmung der Größe und Orientierung der Hauptachsen des g-Tensors für einen Einkristall bei Benutzung paramagnetischer Resonanzdaten.

Kleinpoppen.

7–466 H. S. Jerrett. Paramagnetic resonance in copper dimethylglyoxime. J. chem. Phys. 28, 1260–1261, 1958, Nr. 6. (Juni.) (Wilmington, Dela., E. I. du Pont de Nemours Co., Centr. Res. Dep., Exp. Stat.) Es wurden paramagnetische Resonanzspektren von nadelförmigen Einkristallen aus Kupfer-Dimethylglyoxim erhalten. Die Symmetrie des Absorptionsspektrums ist rhombisch mit $g_z=2,136,\ g_x=2,065$ und $g_y=2,033\pm0,005$. Bei allen Kristallorientierungen wurde nur ein Absorptionspeak beobachtet, was darauf hindeutet, daß sich lediglich ein magnetisches Molekül in der Einheitszelle befindet.

Kleinpoppen.

-467 Charles P. Poole jr. and Roy S. Anderson. Electron spin resonance of ultraviolet readiated compounds. I. Unsaturated hydrocarbons. J. chem. Phys. 31, 346-354, 1959, dr. 2. (Aug.) (College Park, Maryl., Univ., Dep. Phys.) Eine Reihe ungesättigter alihatischer Kohlenwasserstoffe (Olefine) wurde bei 77°K mit UR-Licht von 2500-3800 Å estrahlt und die gebildeten Radikale bei dieser Temperatur eingefangen. Ein bewegcher Wasserstoff oder ein Methylradikal werden abgespaltet und diffundieren weg, as restliche Radikal ist unbeweglich und wird durch die strukturelle Resonanz stabilitert. Das restliche Radikal wird mittels Elektronenspin-Resonanz nachgewiesen, beützt wird ein 3 cm Spektrometer bei einem g-Faktor von 2. Alken-Radikale mit geader Kette zeigen eine gut aufgelöste Hyperfeinstruktur mit 4 oder mehr Komponenten, erzweigte Radikale dagegen noch mehr, aber schlecht aufgelöste Komponenten. Zuer Hyperfeinstruktur tragen fast nur diejenigen H-Atome bei, die an C-Atome geunden sind, die ihrerseits bei oder benachbart zur Position der einsamen Elektronen egen. Die Hyperfeinkopplungskonstanten sind ungefähr gleich.

M. Wiedemann.

468 J. C. Buchta, H. S. Gutowsky and D. E. Woessner. Nuclear resonance pulse pparatus. Rev. sci. Instrum. 29, 55—60, 1958, Nr. 1. (Jan.) (Urbana, Ill., Univ., loyes Chem. Lab.) Beschreibung einer Hochfrequenz-Impuls-Apparatur zur Beobehtung von kernmagnetischen reinen Quadrupol-Spinechos und freien Induktionszerallsexperimenten im Bereich von 15 bis 42 MHz. Mit Hilfe der beschriebenen Apparatur wurden Kernspinrelaxationszeiten zwischen 20 \(\pmu\) sec und 50 \(\pu\) sec vermessen.

lleinpoppen.

469 J. M. Mays, H. R. Moore and R. G. Shulman. Improved NMR spectrometer. Rev. i. Instrum. 29, 300-302, 1958, Nr. 4. (Apr.) (Murray Hill, N. J., Bell Teleph. Lab.) The beschreiben eine Verbesserung eines Pound-Knight-Watkins-Kernresonanzspektrometers. Das verbesserte Spektrometer besitzt eine Anordnung, die die Frequenzehwankungen bei 30 MHz um den Faktor 5 bis 10 reduziert. Die Apparatur erlaubt die irekte Messung des Realteils und der Ableitung der Suszeptibilität.

Kleinpoppen.

-470 A. Carrington, D. J. E. Ingram, K. A. K. Lott, D. S. Schonland and M. C. R. ymons. Electron resonance studies of transition metal oxyions. I. Experimental results for **ie manganate, hypomanganate and ferrate ions. 11. Theory of electron resonance in man**anate. Proc. roy. Soc. (A) **254**, 101 –110/111 –118, *1960*, Nr. 1276. (5. Jan.) (Southampon, Univ., Dep. Chem.; Dep. Electron.; Dep. Appl. Math.) I. Die in Kalium-Chromat ngebauten Ionen MnO₄-- und FeO₄-- und die in Kaliumorthovanadat eingebauten onen MnO4--- werden mit Hilfe der Elektronenresonanz im Wellenlängengebiet um mm und um 12 mm bei T = 20°K bzw. T = 90°K ausführlich untersucht. Das lektronen-Resonanz-Signal vom MnO₄---Ion zeigt ausgeprägte Hfs infolge Wechselirkung mit dem Mn55-Kern. Aus der beobachteten Winkelabhängigkeit der Hfsufspaltung werden die Wechselwirkungskonstanten des entsprechenden HAMILTONperators bestimmt. Bei diesem Ion konnten außerdem $\Delta m_{\tau} = 1$ Übergänge beobachtet erden, aus deren gegenseitigen Abständen auf das elektrische Quadrupolmoment des In⁵⁵-Kernes geschlossen werden kann. Beim FeO₄---Ion wird ein isotroper g-Faktor g=2,000) gefunden. Die Werte für die Konstanten einer anisotropen Nullfeldufspaltung lauten: $D_x = 0.0504 \text{ cm}^{-1}$; $D_y = 0.0180 \text{ cm}^{-1}$; $D_z = 0.0684 \text{ cm}^{-1}$. Daraus ird geschlossen, daß der erste angeregte Zustand des Ions weit über dem Grundzustand egt. Die Spinentartung im Elektronengrundzustand wird nicht durch Spin-Bahn-Wechdwirkung, sondern durch Dipol-Dipol-Wechselwirkung der Elektronen untereinander ıfgehoben. Wegen der komplizierten Kristallstruktur des isomorphen Na $_3$ VO $_4\cdot 12$ H $_2$ O 2 Moleküle in einer Elementarzelle) zeigen die im selben Kalium-Kristall eingebauten nO4----Ionen ein sehr unübersichtliches Elektronen-Resonanz-Spektrum, dessen Aufärung nicht vollständig gelang. II. Aus der Winkelabhängigkeit des g-Faktors und der fs-Abstände wird beim MnO₄---Ion geschlossen, daß sich das ungepaarte Elektron in nem doppelt entarteten Zustand mit der Symmetrie E befindet. Der erste angeregte ustand, den das Elektron einnehmen kann, ist ein dreifach entarteter $\mathrm{T_2 ext{-}Zustand.}$ Es igt sich, daß der E-Zustand im wesentlichen in der Nähe des Mn-Atoms konzentriert t, während der T₂-Zustand über das ganze Molekül-Ion ausgebreitet ist. Als ein Resultat dieser theoretischen Betrachtungen wird das Quadrupolmoment des Mn55-Kernes zu Elschner. $Q = (0.2 + 20\%) \cdot 10^{-24} \text{cm}^2 \text{ abgeschätzt.}$

7-471 L. S. Singer. Synthetic ruby as a secondary standard for the measurement of intensities in electron paramagnetic resonance. J. appl. Phys. 30, 1463-1464, 1959, Nr. 9. (Sept.) (Cleveland, Ohio, Union Carbide Corp., Nat. Carbon Comp., Res. Labs.) Zura Messung der paramagnetischen Resonanzabsorption und damit der Spin-Konzentration gibt es zwei Methoden, eine Substitutionsmethode und eine zweite, bei der ein Standardmaterial zusätzlich in den Hohlraum gebracht wird. Für die zweite Methode eignet sich im X-Band ein kleiner Kristall von synthetischem Korund mit etwa 0,5% Cr. Er ist chemisch sehr stabil und hat keine störenden Resonanzen in der Nachbarschaft von g = 2. Die Meßmethode und die auftretenden Schwierigkeiten werden diskutiert.

- Joseph Seiden. Élargissement dipolaire des raies de résonance nucléaire dans les liquides. J. Phys. Radium 20, 982-983, 1959, Nr. 12. (Dez.) (Paris, Fac. Sci., Lab. Radioclect.) Behandlung des Problems der Resonanzverbreiterung bei magnetischen Kernresonanzen in Flüssigkeiten für den Fall, daß die Flüssigkeitsmoleküle polar sind, daß paramagnetische Ionen anwesend sind und bei Berücksichtigung von Oberflächen-Kleinpoppen. Effekten.
- 7-473 Jean-Claude Maire. La résonance paramagnétique électronique appliquée à l'étude des radicaux libres. Bull. Soc. Chim. Fr. 1959, S. 1702-1714, Nr. 10. (Okt.) (Strasbourg, Inst. Chim., Lab. Chim. Organ. appl.) In seinem Überblick behandelt Vf. zunächst die Theorie der paramagnetischen Elektronenresonanz und geht dabei auf das Bloch-Modell, die Larmor-Frequenz, die Besetzung der Niveaus und die Hyperfeinstruktur ein. Form und Breite der Banden wird diskutiert. Die Meßanordnung und die Meßempfindlichkeit werden erörtert. Die Anwendung zur Untersuchung freier Radikale wird erörtert und dabei stabile Radikale wie Diphenylpicrylhydrazyl und Triphenylmethyl behandelt, ferner instabile Radikale, wie Semichinon-Ionen, in Hochpolymeren eingefrorene Radikale und Strahlungsprodukte. Die Untersuchung von Reaktionen sowie biologische Anwendungen werden erwähnt. M. Wiedemann.
- 7-474 G. W. Skrozki und A. A. Kokin. Einfluß einer kohärenten magnetischen Dipolstrahlung auf die magnetische Resonanz. Sh. exp. teor. Fis. 37, 802-804, 1959. Nr. 3. (Orig. russ.) Die Kohärenzerscheinungen bei der Emission einer Wellenlänge, die größer ist als die Abmessungen des emittierenden Spinsystems, führen zu einer wesentlichen Vergrößerung der Strahlungsbreite der Linie (MANDELSTAM, DICKE). Die Spinwechselwirkung über das gemeinsame Strahlungsfeld kann im Radiofrequenzgebiet auch die Resonanzfrequenz verschieben. Vff. versuchen die Korrekturen zur Relaxationszeit und die zusätzliche Verschiebung der Resonanzfrequenz durch das kohärente Strahlungsfeld einheitlich und konsequent zu berechnen. Erwartungsgemäß zeigt sich, daß die Quantentheorie und die klassische in der betrachteten Näherung verschiedene Ergebnisse liefern. Die Rechnung wird zunächst für eine Probe im Vakuum geführt, dann wird aber auch der Einfluß der Spule oder des Resonators mit endlicher Güte, in dem sich die Probe befindet, berücksichtigt. Schließlich werden Bedingungen angegeben, unter denen die Strahlungskorrekturen wesentlich sind. Der Strahlungsfeldanteil der longitudinalen Relaxationszeit ist stets halb so groß wie der der transversalen; beide Korrekturen wachsen linear mit dem Volumen der Probe und sehr schnell mit dem Magnetfeld H₀ (wie H3); unter günstigen Bedingungen für starke Felder kann der auf der Wechselwirkung über das Strahlungsfeld beruhende Anteil sogar überwiegen.
- 7 475 J. C. Wheatley and A. C. Anderson. Nuclear magnetic resonance in cerium ethylsulfate at temperatures below 1°K. Physica 24, 156, 1958, Suppl. (Sept.) (Univ., Illinois, Dep. Phys.)
- 7-476 T. Moriya and T. Nakamura. The nuclear resonance relaxation and line width in the antiferromagnet. Physica 24, 157, 1958, Suppl. (Sept.) (Tokyo, Metropolitan Univ.; Kyushu Univ.) V. Weidemann.

- 4-477 W. van der Lugt and N. J. Poulis. Nuclear magnetic resonance in diluted Cu-Mn alloys. Physica 24, 158, 1958, Suppl. (Sept.) (Leiden, Kamerlingh Onnes Lab.)
- 478 Myer Bloom and Irwin Oppenheim. The study of quantum statistical mechanical ffects in gases using nuclear magnetic resonance techniques. Physica 24, 158, 1958, uppl. (Sept.) (Vancouver, Univ. Brit. Columb., Dep. Phys.; Washington, D. C., Nat. Bureau Stand.)
- 479 **D. A. Jennings** and **W. H. Tantilla.** Particle-size effect on nuclear spin-lattice elaxation time. Physica **24**, 158, 1958, Suppl. (Sept.) (East Lansing, Mich., State Univ.)
- -480 J. C. Verstelle. Paramagnetic resonance line forms in D. P. P. H. at radio freuencies. Physica 24, 159, 1958, Suppl. (Sept.) (Leiden, Kamerlingh Onnes Lab.)
- -481 K. Brugger, H. L. Davis and J. G. Daunt. Paramagnetic susceptibility of ruby at temperatures. Physica 24, 159, 1958, Suppl. (Sept.) (Ohio, State Univ.)
- -482 **T. Haseda.** Paramagnetic relaxation in single crystals at liquid helium temperatures. Physica **24**, 162—163, *1958*, Suppl. (Sept.) (Sendai, Japan, Tõhoku Univ., Res. Inst. ron, Steel and other Metals.)
- 483 **T. Haseda** and **E. Kanda.** Paramagnetic relaxation in cobaltous salts at liquid elium temperatures. Physica **24**, 166, 1958, Suppl. (Sept.) (Sendai, Japan, Tôhoku iniv., Res. Inst. Iron, Steel and other Metals.)
- -484 M. W. P. Stranberg, C. F. Davis and R. L. Kyhl. Electron spin-lattice relaxation mes. Physica 24, 163, 1958, Suppl. (Sept.) (Cambridge, Mass. Inst. Technol., Dep. hys. Res. Lab. Electron.)
- 485 J. M. Daniels and H. Wesemeyer. The influence of paramagnetic resonance sturation on the Faraday effect. Physica 24, 164, 1958, Suppl. (Sept.) (Vancouver, inv. Brit. Columbia.)
- **486** L.C. van der Marel. Some thermodynamical calculations on paramagnetic relaxation in low frequency magnetic fields. Physica **24**, 164-165, 1958, Suppl. (Sept.) Leiden, Kamerlingh Onnes Lab.)
- -487 J. van den Broek. Paramagnetic relaxation in cobalt salts at helium temperatures. hysica 24, 165—166, 1958, Suppl. (Sept.) (Leiden, Kamerlingh Onnes Lab.)
 - V. Weidemann.
- -488 **R. Bline.** Proton magnetic resonance study in ammonium and silver trihydrogen eriodates. J. chem. Phys. **31**, 849—850, 1959, Nr. 3. (Sept.) (Ljubljana, Yug., J. Stefan ast.)
- 489 R. C. Axtmann, W. E. Shuler and J. H. Eberly. H^1-P^{31} spin coupling in trialkyl hosphates. J. chem. Phys. 31, 850-851, 1959, Nr. 3. (Sept.) (Aiken, S. Carol., du Pont e Nemours Co., Savannah River Lab.)
- 490 H. W. Dodgen and R. E. Anderson. Nuclear quadrupole resonance in solid 1,2 bromoethan. J. chem. Phys. 31, 851-852, 1959, Nr. 3. (Sept.) (Pullman, Wash., State oll., Dep. Chem.)
- 491 I. M. Ward. Nuclear magnetic relaxation in polyethylene deuteroterephthalate. J. tem. Phys. 31, 858—859, 1959, Nr. 3. (Sept.) (Harrogate, Yorksh., Engl. Imp. Chem. ad., Fibres Div., Res. Dep.)
- 492 J. J. Windle. Single crystal electron spin resonance spectra for X-irradiated glycine. chem. Phys. 31, 859—860, 1959, Nr. 3. (Sept.) (Albany, Calif., Western Reg. Res. Lab.)
- 493 Kazuo Ito, Taro Isobe and Kôzô Sone. Nuclear magnetic resonance spectra of 10-phenanthroline and some methylated 1,10-phenanthrolines. J. chem. Phys. 31, 861 bis 2, 1959, Nr. 3. (Sept.) (Nagoya, Jap., Univ., Dep. Chem.; Sendai, Jap., Tôhoku niv., Chem. Res. Inst. Nonaqueous Sol.)

- 7-494 R. M. Bozorth, Vivian Kramer and J. P. Remeika. Magnetic properties of singlecrystals of rare-earth orthoferrates at low temperatures. Physica 24, 161, 1958, Suppl. (Sept.) (Murray Hill, N. J., Bell Tel. Labs. Inc.) V. Weidemann.
- 7-495 Vello Norman and J. C. Morrow III. Magnetic properties of some iridium complexes.: J. chem. Phys. 31, 455-459, 1959, Nr. 2. (Aug.) (Chapel Hill, N. Carol., Univ., Dep. Chem.) Eine Reihe von Komplexen des vierwertigen Ir wurden hergestellt, die Methodens sind beschrieben. Im Bereich von 78°K bis Zimmertemperatur wurden die magnetischen Suszeptibilitäten teilweise nach der Gouy-Methode, teilweise nach einer modifizierten Sucksmith-Methode gemessen. Bei K₂IrCl₆, (NH₄)₂IrCl₆, (NH₄)₂IrBr₆ und (CH₃NH₃)₂IrCl₆ war 1/χμ nahezu linear mit der absoluten Temperatur, das Curie-Weiss-Gesetz ist näherungsweise erfüllt, bei (C₅H₆N)₂IrCl₆ und (Phenyl₄As)₂IrCl₆ ergab sich keiner Gerade. Die Werte des effektiven magnetischen Moments sind angegeben. Ir(C₅H₅N)₂Cl₉, war diamagnetisch. Mit zunehmender Größe des Halogenatoms und zunehmendem Ir-Ir-Abstand im Kristall nahm das Ausmaß der antiferromagnetischen Wechselwirkung ab.
- 7-496 A.S. Chakravarty. On the magnetic susceptibility and anisotropy of trivalent vanadium alum under the crystalline electric field having predominantly cubic symmetry with a small trigonal symmetry. Proc. phys. Soc. Lond. 74, 711-720, 1959, Nr. 6 (Nr. 480). (1. Dez.) (Calcutta, Indian Assoc. Cultivat. Sci., Dep. Magnetism.) Neuberechnung nach Abragam und Pryce unter der Annahme, daß kubisches Feld für V³+ Russell-Saunders-Kopplung nicht aufhebt. Gute Übereinstimmung mit Beobachtung durch geeignete Wahl der vier im Ausdruck für die Suszeptibilität auftretenden Parameter, die im Einklang sind mit plausiblen Werten für die Parameter des kubischen und des trigonalen Kristallfeldes.

 G. Schumann.
- 7-497 J. L. Dorfman. Eigenschaften und Zustand der Metallatome in einigen metallorganischen Verbindungen. Doklady Akad. nauk SSSR 125, 765-766, 1959, Nr. 4. (Orig. russ.) Bei der additiven Ermittlung der Suszeptibilität einer Verbindung aus den Suszeptibilitäten des Metallatoms und des Kohlenwasserstoffradikals darf man für das Metall nur die diamagnetische Komponente nach Langevin einsetzen. Wenn man dies berücksichtigt, ergeben der Literatur entnommene Meßwerte sinnvolle, mit direkten Berechnungen übereinstimmende Werte für die Suszeptibilität des Metallatoms und einige bei anderen Autoren aufgetretene Deutungsschwierigkeiten entfallen.

H. R. Bachmann.

- 7-498 Richard H. Holm and F. Albert Cotton. Magnetic investigations of spin-free cobaltous complexes. I. Tetrahalo cobalt (II) ions. J. chem. Phys. 31, 788-792, 1959, Nr. 3. (Sept.) (Cambridge, Mass., Inst. Technol., Dep. Chem.)
- 7-499 K. B. Wlassow und B. Ch. Ischmuchametow. Drehung der Polarisationsebene elastischer Wellen in magnetisch polarisierten magnetoelastischen Medien. Sh. exp. teor. Fis. 37, 745 - 749, 1959, Nr. 3. (Orig. russ.) Vff. untersuchen auf Grund der magnetohydrodynamischen Gleichungen einige Eigentümlichkeiten der Ausbreitung magnetoelastischer Wellen in magnetisch polarisierten Medien; speziell werden solche mit einachsiger Symmetrie betrachtet. Ausgehend von den Wlassowschen Gleichungen (Bull, Acad. Sci. SSSR, Sér. Phys. 22, 4159, 1958) wird gezeigt, daß eine magnetoelastische Welle, die sich längs der Symmetrieachse fortpflanzt, aus drei Wellen zusammengesetzt ist, und zwar einer longitudinalen und zwei zirkular polarisierten; die Ausbreitungsgeschwindigkeiten dieser Wellen sind verschieden und hängen vom magnetischen Zustand des Mediums ab (speziell vom Betrag der Magnetisierung oder der Polarisation). Diese Verschiedenheit führt zu einer Rotation der Polarisationsebene für linear polarisierte elastische Wellen. Die weitere Behandlung erfolgt auf Grund der phänomenologischen Zustandsgleichungen, die den dynamischen Zustand des magnetoelastischer Mediums beschreiben. Es werden Aussagen über die physikalische Bedeutung der Konstanten gemacht, welche die Drehung der Polarisationsebene kennzeichnen; für einige spezielle Typen magnetoelastischer Medien werden die Werte der Frequenzen abge schätzt, bei denen ein Effekt von merklicher Größe zu erwarten ist.

960

- 7-500 R.S. Ingarden. Phenomenological electrodynamics and electro-thermodynamics in temperatures. Physica 24, 178, 1958, Suppl. (Sept.) (Wroclaw, Polish Acad. Sci., ow Temperature Lab.) V. Weidemann.
- 7-501 P. Roman. Generalized Stokes parameters for waves with arbitrary form. Nuovo Cim. (10) 13, 974—982, 1959, Nr. 5. (1. Sept.) (Manchester, Univ., Dep. Theor. Phys.) Die Korrelationsmatrix eines beliebigen stationären, quasi-monochromatischen, elektronagnetischen Feldes wird nach neuen linear unabhängigen Matrizen entwickelt, und es wird gezeigt, daß die Entwicklungskoeffizienten eine ähnliche Rolle wie die üblichen Etokes-Parameter spielen.
- Medien, die einander durchdringen. Sh. exp. teor. Fis. 37, 843—846, 1959, Nr. 3. (Orig. uss.) Bei der Bewegung von Elektronenströmen im Plasma oder einem anderen Medium sönnen elektromagnetische Wellen unter bestimmten Bedingungen zeitlich anwachsen. Dieses Problem wird für die Ausbreitung ebener monochromatischer Wellen in einander urchdringenden bewegten Medien behandelt. Es wird eine phänomenologische Methode ntwickelt, mit der man unter ziemlich allgemeinen Voraussetzungen das An- oder Abdingdekrement elektromagnetischer Wellen in bewegten Medien gewinnen kann. Diese Voraussetzungen sind: Beide Medien sind unbegrenzt, homogen, isotrop, nichtabsorderend und unmagnetisch; eins der Medien ruht im Laborsystem. Die gewonnenen Bleichungen für den Brechungsindex lösen auch die Frage nach der Stabilität fortchreitender Wellenzustände. Die Ausdrücke für die An- und Abklingdekremente werden ür die Bewegung eines Plasmas durch ein dispersionsfreies Dielektrikum spezialisiert.

Vogel.

- 4-503 J. D. Sytschew. Der magnetische Oberstächenessekt bei der Einwirkung eines pulierenden zweikomponentigen Feldes auf die Oberstäche eines Halbraumes. Fis. metall. russ.) 6, 412-419, 1958, Nr. 3. (Orig. russ.) Für den in der Überschrift genannten Fall ines elektrisch leitenden Halbraumes werden Gleichungen für die Induktion, die Stromlichte und die Leistung durch zweidimensionale Rechnung ausgestellt. Es wird gezeigt, aß die Ergebnisse zu einer Analyse der Vorgänge beim Betrieb von Induktionsösen benutzt werden können. (Nach Zfg.)
- -504 R. F. Wuerker, H. Shelton and R. V. Langmuir. Electrodynamic containment of harged particles. J. appl. Phys. 30, 342—349, 1959, Nr. 3. (März.) (Los Angeles, Calif., Ramo-Wooldridge Res. Lab.) Elektrisch geladene Eisen- und Aluminiumteilchen mit Durchmessern von wenigen Mikron sind in einem begrenzten Raumgebiet mit Hilfe on elektrostatischen Gleich- und Wechselfeldern in der Schwebe gehalten worden. Die Theorie ist im wesentlichen die der Fokussierung mit wechselnden Gradienten, die Beregung wird durch die Mathheusche Gleichung beherrscht. Unter bestimmten Umstänten, wenn viele Teilchen gesammelt sind, resultieren die dreidimensionale sammelnde Kraft und die Coulombsche Abstoßung in einer "kristallinen" Anordnung, die "geschmolzen" und neugebildet werden kann.
- -505 R. F. Wuerker, H. M. Goldenberg and R. V. Langmuir. Electrodynamic consinment of charged particles by three-phase voltages. J. appl. Phys. 30, 441-442, 1959, R. 3. (März.) (Los Angeles, Calif., Thompson Ramo-Wooldridge Inc., Div., Res. Lab.) lit Hilfe eines kubischen Elektrodensystems, bei dem jeweils zwei gegenüberliegende Plächen an einen der drei Leiter eines Dreiphasen-Systems angeschlossen sind, ist es nöglich, geladene Teilchen in der Schwebe zu halten. Die Bewegungen der Teilchen verden wie bei der Anordnung mit einphasiger Wechselspannung durch die MATHIEU-che Gleichung beherrscht. Jedoch sind die Teilchenbahnen bei erzwungenen Schwinungen verschieden von denen der zuletzt genannten Anordnung. Die Erprobung gechah mit Teilchen von etwa 10 μ Durchmesser und einem c/m von etwa 0,01 Coulomb/kg.
- -506 Eugene I. Blount. Ultrasonic attenuation by electrons in metals. Phys. Rev. (2) 14, 418-436, 1959, Nr. 2. (15. Apr.) (Chicago, III., Univ., Inst. Study Met., Phys. Dep.) is wird die Ultraschalldämpfung für eine beliebige Bandstruktur berechnet. Die Er-

gebnisse werden auf die Fälle eines Metalls mit kugelförmiger Energieoberfläche unde eines Halbmetalls mit Elektronen in zwei "Tälern" angewandt. Mögliche experimentelle Anwendungen werden besprochen. Das Vorkommen einer Sättigung wird diskutiert. Der akusto-elektrische Effekt wird auch nach ähnlichen Methoden behandelt, und er erweist sich als eng verknüpft mit der Dämpfung.

Zehler.

- 7-507 L. A. Girifalco and V. G. Weizer. Application of the Morse potential function to cubic metals. Phys. Rev. (2) 114 687—690, 1959, Nr. 3. (1. Mai.) (Cleveland, O., Nat. Aeron. Space Admin., Lewis Res. Center.) Die Morse-Parameter werden unter Verwendung der experimentellen Werte für die Verdampfungsenergie, die Gitterkonstante und die Kompressibilität berechnet. Die Zustandsgleichung und die elastischen Konstanten, die unter Verwendung der so erhaltenen Morse-Parameter berechnet wurden, stimmen mit dem Experiment überein sowohl für die kubisch-flächenzentrierten als auch für die kubisch-raumzentrierten Metalle.
- 7-508 E. M. Lifshits. Quantum theory of the electrical conductivity of metals in a magnetic field. J. Phys. Chem. Solids 4, 11-18, 1958, Nr. 1/2. (Charkow, Acad. Sci., Phys. Tech. Inst.) Es wird eine quantenmechanische Theorie der elektrischen Leitfähigkeit der Metalle in magnetischen Feldern entwickelt, die auch mit Quanteneffekten, wie Widerstandsoszillationen in Magnetfeldern, übereinstimmt. Für den Operator, der den Zustand des Elektronengases beschreibt, wird eine kinetische Gleichung unter allgemeinen Annahmen über das Energiespektrum der Elektronen hergeleitet. Wie im klassischen Fall ist eine explizite Lösung der Gleichung ohne spezielle Annahmen nicht möglich. Der Übergang vom quantenmechanischen zum klassischen Fall wird aufgezeigt. Bei starken Magnetfeldern wird das asymptotische Verhalten der elektrischen Leitfähigkeit untersucht. Die quantenmechanischen Korrektionen für die Komponenten des Leitfähigkeitstensors werden bestimmt.
- 7-509 P.N. Argyres. Quantum theory of longitudinal magnetoresistance. J. Phys. Chem. Solids 4, 19-26, 1958, Nr. 1/2. (Pittsburgh, Penn., Westinghouse Res. Labs.) Es wird gezeigt, daß für ein Elektron im magnetischen Feld bei Streuung an akustischen Gitterschwingungen eine Relaxationszeit besteht, die von der Energie des Elektrons abhängt und der Zustandsdichte umgekehrt proportional ist. Für ein longitudinales elektrisches Feld wird die Leitfähigkeit berechnet, die im Gegensatz zur klassischen Theorie vom magnetischen Feld abhängig ist und im entarteten Fall ein oszillatorisches Verhalten aufweist.
- 7-510 N. J. Alexejewski und J. P. Gaidukow. Anisotropie der elektrischen Leitfähigkeit im Magnetfeld und Topologie der Fermi-Flächen von Metallen. Sh. exp. teor. Fis. 37, 672-677, 1959, Nr. 3. (Orig. russ.) Im Anschluß an frühere Arbeiten (J. exp. teor. Fis. 35, 554, 1958; 36, 447, 1959) werden weitere Untersuchungen über die Anisotropie der Widerstandsänderung im Magnetfeld für Einkristalle von Au, Cu, Sn, Pb, Tl, Ga und Ag geschildert. Für die Mehrzahl dieser Metalle wurden je 10-15 Proben mit verschiedener Orientierung der Kristallachsen zur Achse der Probe studiert. Die Reinheit der Proben wird gekennzeichnet durch das Verhältnis des Restwiderstandes bei der Meßtemperatur 4,2°K zum Widerstand bei Zimmertemperatur; bei Sn, Pb und Ga betrug es 10-4, bei Tl 3 · 10-4, bei Au, Cu und Ag etwa 10-3. Die Proben waren so groß, daß der "Abmessungseffekt" keine Rolle spielen konnte. Gemessen wurde stets bei 4,2°K, weil weitere Abkühlung keine wesentliche Widerstandsänderung brachte. Wegen des geringen Restwiderstandes mußten Meßspannungen von etwa 10-8 V benutzt werden (Potentiometerschaltung mit Photoverstärker am Ausgang). Wie früher wurde vor allem die Änderung des Widerstandes mit dem Winkel des Magnetfelds zur Ebene senkrecht zur Probenachse und mit der Magnetfeldstärke selbst aufgenommen. Beim Silber, das hier erstmalig untersucht wurde, zeigt ebenso wie bei den anderen Metallen in der Minimumrichtung der Widerstand mit steigendem Feld eine Sättigung, während er in der Maximumrichtung mit H unbeschränkt parabelartig ansteigt; auch die FERMI-Fläche des Silbers scheint also offen zu sein. Es scheint ein Zusammenhang zwischen der Winkelabhängigkeit des Widerstandes und der Lage im Periodischen System zu bestehen. Im Gegensatz zu herrschenden Meinung scheinen viele Metalle offene Fermi-Flächen zu haben, bestimm

- rifft dies für alle oben genannten Metalle zu. Geschlossene FERMI-Flächen haben wohl Bi und In, vielleicht auch Al, Be und Na. Bei offener FERMI-Fläche verliert die Untercheidung zwischen Metallen mit gleicher bzw. verschiedener Elektronen- und Löcherahl ihre Berechtigung. Vogel.
- -511 0. W. Konstantinow und W. I. Perel. Quantentheorie der räumlichen Dispersion er elektrischen und magnetischen Suszeptibilität. Sh. exp. teor. Fis. 37, 786-792, 1959, Nr. 3. (Orig. russ.) NAKAJIMA (Ber. 36, 875, 1957) hat nach einer Methode von KUBO inen allgemeinen quantenmechanischen Ausdruck für die Stromdichte in einem homoenen Medium gewonnen, der auch diamagnetische Ströme enthält (die in klassischer Näherung verschwinden). Die magnetische Suszeptibilität und ihr Zusammenhang mit er Leitfähigkeit konnten dort nicht bestimmt werden. Vff finden einen allgemeinen usdruck auch für die magnetische Suszeptibilität und die Leitfähigkeit unter Berückichtigung der räumlichen Dispersion. Wie sich zeigt, lassen sich die elektromagnetischen Erscheinungen in einem homogenen Medium durch eine von Frequenz und Ausbreitungsektor der einfallenden elektromagnetischen Welle abhängige Leitfähigkeit und eine ur vom Ausbreitungsvektor abhängige magnetische Suszeptibilität beschreiben. Für en Magnetisierungsstrom ergeben sich einige allgemeine Eigenschaften; ferner ergibt ich ein universeller Zusammenhang zwischen Leitfähigkeit und magnetischer Suszepibilität. Der Magnetisierungsstrom ist eichinvariant, seine Divergenz verschwindet; im lassischen Grenzfall verschwindet er ganz, ebenso wie bekanntlich das klassische dianagnetische Moment.
- -512 A. R. de Vroomen and C. van Baarle. The thermal and electrical behaviour of ome metals in the impurity scattering region. Physica 24, 171-172, 1958, Suppl. Sept.) (Leiden, Kamerlingh Onnes Lab.)
- -513 **J. L. Olsen.** Magnetoresistance and size-effects in indium. Physica 24, 172, 958, Suppl. (Sept.) (Zürich, Swiss Federal Inst. Technol., Inst. Kalor. Apparate Kältech.)
- -514 J. de Launay, R. L. Dolecek and R. T. Webber. Magnetoresistance of copper. hysica 24, 172, 1958, Suppl. (Sept.) (Washington, D. C., U. S. Naval Res. Lab.)
- –515 **B. Lüthi.** Magnetoresistance of metals in high magnetic fields. Physica **24**, 173, 958, Suppl. (Sept.) (Zürich, Swiss Federal Inst. Technol., Inst. Kalor. App. Kältetech.)
- -516 H. C. van Elst. Magnetoresistance of some nickel alloys. Physica 24, 173, 1958, uppl. (Sept.) (Leiden, Kamerlingh Onnes Lab.)
- -517 A. A. Hirsch. Electrical resistivity of thin ferromagnetic layers at low temperatures. hysica 24, 173, 1958, Suppl. (Sept.) (Haifa, Technion-Israel Inst. Technol., Dep. hys.) V. Weidemann.
- -518 D. K. C. MacDonald. Electrical resistance in liquid metals and the change on melng. Phil. Mag. (8) 4, 1283–1286, 1959, Nr. 47. (Nov.) (Ottawa, Nat. Res. Counc., Div. ure Phys.) Die Erhöhung des elektrischen Widerstandes beim Schmelzen von Metallen taurch die Änderung der charakteristischen Temperatur Θ und durch die beim Schmelmen entstandene räumliche Unordnung der Atome bedingt. Um zu bestimmen, welcher nteil der Widerstandserhöhung allein auf die räumliche Unordnung zurückzuführen ist, urde der elektrische Widerstand von Alkalimetallschmelzen in Abhängigkeit von der emperatur bei konstantem Volumen gemessen. Die Extrapolation dieser Meßergebsse auf 0°K zeigt, daß etwa ein Viertel der gesamten Widerstandserhöhung beim chmelzen durch diese räumliche Unordnung bedingt ist.

 H. G. Zachmann.
- -519 Sayed A. Ali, C. G. Grenier and J. M. Reynolds. Isothermal galvanomagnetic fects in zinc at low temperatures. Physica 24, 174, 1958, Suppl. (Sept.) (Baton Rouge, ouis., State Univ.)

7-520 L. P. Gorkow. Das kritische Unterkühlungsfeld in der Theorie der Supraleitung. Sh. exp. teor. Fis. 37, 833-842, 1959, Nr. 3. (Orig. russ.) Neben dem thermodynamisch bedingten kritischen Feld He, bei dem im Gleichgewicht der Supraleitungs-Phasenübergang erfolgt, gibt es für jede Temperatur noch zwei kritische Felder, das "Überhitzungs-" und das "Unterkühlungsfeld" H_{c2} bzw. H_{c1}. Sie grenzen ein mögliches Hysteresisgebiet ein: Zwischen H_c und H_{c1} ist die normale Phase metastabil (instabil gegen endliche Störungen), zwischen He und He2 die supraleitende Phase. He1 und He2 lassen sich nicht rein thermodynamisch berechnen, sondern nur mikroskopisch. Vf. führt dies mit einer früher entwickelten Methode (GORKOW, J. exp. teor. Fis. 35, 735, 1958) durch; er zeigt, daß es in der Theorie von Bardeen-Cooper-Schrieffer ein "Unterkühlungsfeld" gibt und bestimmt es. In dieser Methode wird der Supraleiter durch zwei Greensche Funktionen beschrieben, für die sich Gleichungen im Magnetfeld auf die übliche Weise aus den feldfreien Gleichungen ergeben. Für das Verhältnis H_{el}/H_e ergibt sich einfach 1,77 x, wo z die phänomenologische Konstante der Theorie von GINSBURG-LANDAU ist (J. exp. teor. Fis. 20, 1064, 1950). Es hängt nur schwach von der Temperatur ab. Ob Hel größer oder kleiner als He ist, hängt davon ab, ob sich der Supraleiter im schwachen Feld LONDONSCH oder PIPPARDSCH verhält; der LONDONSCHe Supraleiter verhält sich im Vogel. starken Feld ähnlich wie eine Legierung.

7-521 C. Herring. Spin exchange in superconductors. Physica 24, 184, 1958, Suppl. (Sept.) (Murray Hill, N. J., Bell Tel. Labs.)
V. Weidemann.

7-522 N. N. Shurawljow, A. A. Stepanowa und N. I. Sjusin. Zum Problem der Supraleitfähigkeit des BiPt. Sh. exp. teor. Fis. 37, 880-881, 1959, Nr. 3. (Orig. russ.) Die Ergebnisse der einzelnen Experimentatoren über die kritische Temperatur des BiPt weichen erheblich voneinander ab; manchmal konnte gar kein Übergang zur Supraleitung beobachtet werden. Vff. nehmen an, daß diese Verschiedenheit des Verhaltens reell ist und von den Herstellungsbedingungen der Legierung abhängt. Bei der Untersuchung des Schmelzdiagramms des Systems BiPt zeigte sich, daß die Verbindung BiPt nur eine Modifikation mit hexagonaler Struktur und den Gitterkonstanten $a=4,20\,\mathrm{\AA}$ und c = 5,55 Å hat (AsNi-Struktur). Aus einer differentiellen thermischen Analyse und einer Temperatur-Röntgenographie zwischen 20 und 600°C folgte, daß diese NiAs-Struktur bis zu hohen Temperaturen besteht und daß sie thermische Ausdehnungskoeffizienten $\alpha_0 = 4.0 \cdot 10^{-6} \pm 1.0 \cdot 10^{-6}$ Grad-1 parallel und $\alpha_1 = 19.0 \cdot 10^{-6} + 2.0$ · 10-6 Grad-1 senkrecht zur hexagonalen Achse hat. Es wurden nun Legierungen mit verschiedener thermischer Vorbehandlung und Abweichungen verschiedenen Vorzeichens von der stöchiometrischen Zusammensetzung hergestellt; bei schnellem Abschrecken bilden sich Defektstrukturen, und es läßt sich röntgenographisch eine Änderung der Abmessungen der Elementarzelle der NiAs-Phase nachweisen (je höher die Anfangstemperatur und der Wismutgehalt, desto kleiner wird die Elementarzelle; maximale Verringerung 0,8%). Daraus wird geschlossen, daß die Verschiedenheit der Supraleitungseigenschaften auf einer Defektstruktur in der Grundstruktur beruht (Einfrieren von Schottky-Defekten mit fehlendem Pt). Die Verkleinerung der Elementarzelle führt zu einer Annäherung der Bi unter sich, und hierauf beruht die Änderung der Übergangstemperatur. Vogel.

7–523 **M. Renard.** Le champ magnétique critique du rhénium jusqu' à $0.3^\circ K$. Physica **24**, 154, 1958, Suppl. (Sept.) (Grénoble, Univ.)

7-524 William R. Callahan and Hans Meissner. Range of order of superconducting electrons in normal conducting barriers. Physica 24, 154, 1958, Suppl. (Sept.) (Baltimore, Johns Hopkins Univ.)

7-525 John Bardeen. Basic research on semiconductors. Proc. Instn elect. Engrs (B) 106, 266-267, 1959, Suppl. Nr. 15. (S. B.) V. Weidemann.

7-526 Otfried Madelung. Hall-Effekt in Halbleitern mit p-n-Übergang. Z. Naturf. 14a, 951-958, 1959, Nr. 11. (Nov.) (Erlangen, Siemens-Schuckertw. AG., Forschungslab.)

Die Theorie des Hall-Effektes in Halbleitern wird auf den Fall verallgemeinert, daß der Halbleiter einen oder mehrere p-n-Übergänge enthält die so orientiert sind, daß die von den gekreuzten Feldern herrührende LORENTZ-Kraft senkrecht zu ihnen gerichtet st. Es zeigt sich zunächst, daß die Aufnahme der für die Erzeugung der HALL-Feldstärke notwendigen Zusatz-Raumladungen in dem Raumladungsgebiet des Übergangs wie auch in dem Raumladungsgebiet einer Schottkyschen Sperrschicht) ohne einen nomalen Beitrag zur HALL-Spannung erfolgt, daß jedoch ein zusätzliches floating-Potential auftritt, wenn in den Homogengebieten beiderseits des Übergangs ambipolare Ströme verschiedener Größe fließen. Dieses floating-Potential ist der HALL-Spannung des schwächer dotierten Gebietes (genauer des Gebietes, in dem der größere ambipolare Strom fließt) entgegengerichtet und kann unter günstigen Umständen die HALL-Spannung dieses Gebietes kompensieren, besonders dann, wenn die Beweglichkeit der Minoritätsträger die der Majoritätsträger weit übersteigt. Die Theorie wird für verschiedene Grenzfälle diskutiert und ihre Anwendungsmöglichkeit zur Deutung des von FOLBERTH und WEISS gefundenen doppelten Nulldurchgangs des HALL-Koeffizienten von p-InAs besprochen. (Zfg.)

7-527 M. Zerbst, G. Winstel und W. Heywang. Trägerrekombination in Habbleitern nach hoher Anregung. Z. Naturf. 14a, 958-962, 1959, Nr. 11. (Nov.) (München, Siemens-Halske AG., Forschungslab.) Das zeitliche Abklingen einer injizierten hohen Zusatzträgerdichte wird nach der Shockley-Readschen Modellvorstellung berechnet. Unter der Voraussetzung kleiner Rekombinationszentrendichten, die bei reinen Halbleitersubstanzen im allgemeinen erfüllt ist, läßt sich ein geschlossener mathematischer Austruck angeben, der die für sehr kleine und sehr hohe Zusatzdichten bekannten exponentiellen Grenzgesetze enthält. Auch bei hoher Trägeranregung ist der Rekombinationsvorgang durch den Besetzungszustand der Rekombinationszentren allein bestimmt. Zfg.)

7-528 G. Höhler und A. Müllensiefen. Störungstheoretische Berechnung der Selbstenergie und der Masse des Polarons. Z. Phys. **157**, 159-165, 1959, Nr. 2. (19. Okt.) (München, Univ., Inst. theor. Phys.) Vff. führen eine störungstheoretische Berechnung vierter Ordnung der Selbstenergie und der Masse des Polarons im Rahmen des üblichen Polaronenmodells durch. Aus dem tiefsten Eigenwert des betreffenden Hamilton-Operators ür das Polaron folgen Selbstenergie und Masse des Polarons, in einer graphischen Darstellung sind beide Größen als Funktion der Kopplungsstärken aufgetragen. Selbst für eine Kopplungsstärke $g^2 = 6$, wie sie gewöhnlich bei NaCl angenommen wird, sind die Abweichungen der Ergebnisse der Vff. gegenüber denjenigen nach der FEYNMANschen Variationsmethode (Ber. **35**, 442, *1956*) noch vernachlässigbar. Die kleinen Abweichungen geben einen Hinweis auf den Näherungscharakter der FEYNMANschen Methode. Der richtige g⁴-Koeffizient ist um mehr als 20% höher als der aus der FEYNMANschen Methode Tolgende. Außerdem weisen die Abweichungen auf einen für alle Kopplungsstärken guten Variationsansatz hin. Die Selbstenergie nach dem Variationsverfahren von LEE, Low ind Pines (Ber. 33, 9, 1954) stimmt mit dem Ergebnis der Vff. überein, die Masse weicht edoch schon von g² = 2,2 an von der Feynmanschen Kurve ab. Eine weitere störungsheoretische Entwicklung von Haga (Progr. theor. Phys. 11, 449, 1954) liefert einen chlechten Koeffizienten von g4 in der Selbstenergie, und die Masse geht schon bei $g^2 = 4.25$ nach unendlich. Kleinpoppen.

Walter Franz. Leitungsvorgänge in Halbleitern anisotroper Struktur. Forsch-Ber. Nordrhein-Westf. 1959, Nr. 717, 29 S. mit 9 Abb. Westdeutscher Verlag, Köln und Opladen, DM 8,80. Vf. hat (1956) ein Gleichungssystem angegeben, das die Funktion für das Volumen des f-Zustandes im Blochschen Periodizitätspolyeder im rein elektrischen Falle zu berechnen gestattet. Nunmehr wird der elektromagnetische Fall betrachtet. Es wird gezeigt, daß man die den Einfluß der Felder charakterisierende Relaxationszeit durch einen Tensor zu ersetzen hat, der sich formal aus der Bedingung des Kräftegleichzewichtes gewinnen läßt". Die gewonnenen Formeln lassen eine qualitative Deutung les unterschiedlichen Verlaufs der von FINKE (Diss. Braunschweig 1957) gemessenen Kurven als reinen Richtungseffekt zu.

- R. H. Parmenter and W. Ruppel. Two-carrier space-charge-limited current in a trap-free insulator. J. appl. Phys. 30, 1548-1558, 1959, Nr. 10. (Okt.) (Zürich, Labs RCA Ltd.) Das raumladungsbegrenzte Verhalten des Trap-freien Isolators, der bewegliche Elektronen und Löcher enthält, wird unter der Annahme des vernachlässigbaren Diffusionsstromes betrachtet. Wenn beide Kontakte Ohmsch sind, ist die Abhängigkeit des Two-Carrier-Stromes von Spannung und Elektrodenabstand gleich der des One-Carrier-Stromes, d. h. er ist proportional dem Quadrat der Spannung und umgekehrt proportional der 3. Potenz des Abstandes der Elektroden. Für gegebene Werte von U und d ist er Größenordnungen höher als der One-Carrier-Strom. Das ist grundlegend anders als die raumladungsbegrenzte Bewegung von Elektronen und Ionen im Vakuum. Der Two-Carrier-Strom kann zum One-Carrier-Strom reduziert werden, wenn man entweder die Beweglichkeit eines Ladungsträgers auf Null reduziert oder den einen Kontakt sperrend macht. Der erste Fall unterscheidet sich vom One-Carrier-Strom dadurch, daß man keine reine Überschußladung erzeugen kann. Das zeigt der dazwischenliegende Fall des teilweise sperrenden Kontaktes, wo der Strom im Wesen von einem Ladungsträger getragen wird und die reine Überschußladung des Isolators das andere Vorzeichen trägt. Wenn beide Kontakte sperren, zeigt der Strom bei hohen Spannungen Sättigung, welche kleiner ist als bei Annahme des U2d-3-Gesetzes. Im Sättigungsgebiet ist die Raumladung vernachlässigbar und das Feld ist im Isolator gleichmäßig verteilt. Diese Ergebnisse gelten logischerweise auch z. T. für einen Isolator mit Traps.
- 7-531 Eugene P. Gross. Analytical methods in the theory of electron lattice interactions.

 1. Ann. Phys., N. Y. S. 78-99, 1959, Nr. 1. (Sept.) (Waltham, Mass., Brandeis Univ.) Es wird die Hamilton-Funktion eines Systems aus einem Elektron und einem quantisierten Gitterschwingungsfeld mit Wechselwirkung behandelt (Polaron). Durch eine unitäre Transformation werden neue Variable so eingeführt, daß der Übergang vom Fall schwacher zum Fall starker Kopplung berechenbar wird. Ausführlich untersucht wird Grundzustand und elfektive Masse. Die Methode ist auch auf kompliziertere Hamilton-Funktionen anwendbar.
- 7-532 E. N. Adams and T. D. Holstein. Quantum theory of transverse galvanomagnetic phenomena. J. Phys. Chem. Solids 10, 254-276, 1959, Nr. 4. (Aug.) (Pittsburgh, Penn., Westinghouse Res. Labs.) Die galvanomagnetischen Elfekte bei gekreuzten elektrischen und magnetischen Feldern werden quantenmechanisch berechnet in einer Formulierung mit der Dichtematrix. Die Berechnung erfolgt für verschiedene Streumechanismen, und zwar für elastische Streuung an akustischen und optischen Gitterschwingungen, an Gitterleerstellen, an ionisierten Verunreinigungen und durch piezoelektrischen Effekt. Die oszillatorischen galvanomagnetischen Effekte werden für akustische Streuung und Streuung an ionisierten Verunreinigungen behandelt. Die Resultate werden mit anderen Theorien verglichen.
- 7-533 V. L. Bouch-Bruevich. On the spin mechanism of recombination of current carriers in ferromagnetic semiconductors. Soviet Phys.-Solid State 1, 166-170, 1959, Nr. 2. (Moscow, M. V. Lomonosov State Univ.) In ferromagnetischen Halbleitern kommt zu den sonstigen Möglichkeiten der Energieübertragung bei der Rekombination von Ladungsträgern die Erzeugung von Spinwellen hinzu. Von der HAMILTON-Funktion für die Wechselwirkung von Ladungsträgern und Spinwellen ausgehend wird der Einfangquerschnitt abgeschätzt und die Abhängigkeit der Rekombinationskoeffizienten von Temperatur und Magnetisierung berechnet.
- 7–534 L. W. Keldysch. Kinetische Theorie der Stoßionisation in Halbleitern. Sh. exp. teor. Fis. 37, 713–727, 1959, Nr. 3. (Orig. russ.) Vf. löst die kinetische Gleichung unter Berücksichtigung der Stoßionisierungsprozesse und der Rekombination und untersucht deren Einfluß auf die Verteilungsfunktion für Elektronen und Löcher in einem starken elektrischen Feld. Es zeigt sich, daß die Energieabhängigkeit der Wahrscheinlichkeit für Stoßionisation in der Umgebung der Schwelle für Kristalle mit großer und kleiner DK wesentlich verschieden ist; die Lösung der kinetischen Gleichung wird für beide Fälle diskutiert. Es ergeben sich Ausdrücke für die Gleichgewichtskonzentrationen der

Ladungsträger im starken Feld, den Stoßionisationskoeffizienten, das kritische Feld usw. Für die Temperaturabhängigkeit der Durchschlagsfeldstärke, ferner ihre Änderung mit der Schichtdicke und dem Wechselwirkungsgesetz zwischen Elektronen und Gitter ergeben sich explizite Ausdrücke. Der Zusammenhang zwischen den gewonnenen Formeln und den bekannten Durchschlagskriterien von Fröhlich und v. Hippel wird diskutiert. Wie sich zeigt, führt ein Anstieg des elektrischen Feldes zu einer Abnahme der Rekombinationsgeschwindigkeit, so daß die Gleichgewichtskonzentration der Träger schon lange vor dem Einsatz der Stoßionisation mit wachsendem Feld zu steigen beginnt. Die Durchschlagsspannung verhält sich im Fall akustischer Phononen wie $\sqrt[4]{T}$, für optische Phononen wie $7g^{-1/2}(\hbar\omega_0/kT)$.

- 7-535 Walter H. Brattain. Historical development of concepts basic to the understanding of semiconductors. Proc. Instn elect. Engrs (B) 106, 268-269, 1959, Suppl. Nr. 15. (S. B.) V. Weidemann.
- 7-536 R. D. Larrabee. Theory and application of a minority carrier sweep-out effect. J. appl. Phys. 30, 1535-1538, 1959, Nr. 10. (Okt.) (Princeton, N. J., RCA Labs.) Bei DHMschem Kontakt können Ladungsträger beider Vorzeichen durch Anlegen eines elektrischen Feldes aus einem Kristall entfernt werden. Eine einfache Theorie dieser Erscheinung wird abgeleitet und durch Experimente veranschaulicht. Unter Benutzung lieses Effektes in Verbindung mit HALL-Messungen kann Dichte und Driftgeschwindigseit der Ladungsträger berechnet werden sowie andere Parameter wie Eigenleitungslichte, Ladungsträgerbeweglichkeit in den Inversionsflächen und die Oberflächengumladung.
- 7-537 G. Iwantscheff. Probleme der Herstellung von Festkörpern hohen Reinheitsgrades, insbesondere in der Halbleitertechnik. Z. Elektrochem. 63, 876-882, 1959, Nr. 8/9. 15. Okt.) (Erlangen, Siemans-Schuckertw. AG., Forschungslab.) Die Halbleitertechnik st eng mit den Erfolgen bei der Reindarstellung der Ausgangsstoffe verbunden. Diese tängen ihrerseits weitgehend von den analytischen Möglichkeiten ab, die geringen Spurenbeimengungen einzeln zu bestimmen. Verschiedene Methoden hierzu wie Spektralnalyse, Polarographie, Kolonmetrie und Aktivierungsanalyse werden kurz diskutiert und bezüglich ihrer Empfindlichkeit und der Blindwerteinflüsse miteinander verglichen. Die wesentlichsten Reinigungsmethoden der wichtigsten Halbleiterwerkstoffe, Ge, Si und der Ausgangsstoffe für die A^{III}B^V Verbindungen werden angegeben. Dabei müssen um Teil neue Verfahrenstechniken für Präparation und Analyse angewendet werden, ie Verunreinigungen über die Atmosphäre, die Gefäßwände und die Reagenzien aususchließen gestatten.
- -538 **H. Fleischmann, O. G. Folberth** und **H. Pfister.** Halbleitende Mischkristalle vom 1 yp $(A_{1/2}^{1}B_{1}^{1}{}_{N}^{1}C_{N/2}^{1})D^{VI}$. Z. Naturf. **14a**, 999–1000, 1959, Nr. 11. (Nov.) (Erlangen, Sienens-Schuckertw. AG., Forschungslab.) Bereits früher wurde gezeigt, daß zwischen den 1 He V-verbindungen und deren ternären Nachbildungen vom Typus 1 All 11 11 11 11 11 11 11 11 11 11 11 11 11 11 11 11 11 11 11 11 11 11 11 11 11 11 11 11 11 11 11 11 11 11 11 11 11 11 11 11 11 11 11 11 11 11 11 11 11 11 11 11 11 11 11 11 11 11 11 11 11 11 11 11 11 11 11 11 11 11 11 11 11 11 11 11 11 11 11 11 11 11 11 11 11 11 11 11 11 11 11 11 11 11 11 11 11 11 11 11 11 11 11 11 11 11 11 11 11 11 11 11 11 11 11 11 11 11 11 11 11 11 11 11 11 11 11 11 11 11 11 11 11 11 11 11 11 11 11 11 11 11 11 11 11 11 11 11 11 11 11 11 11 11 11 11 11 11 11 11 11 11 11 11 11 11 11 11 11 11 11 11 11 11 11 11 11 11 11 11 11 11 11 11 11 11 11 11 11 11 11 11 11 11 11 11 11 11 11 11 11 11 11 11 11 11 11 11 $^$
- -539 R. Bäuerlein. Messung der Energie zur Bildung eines Gitterdefektes in verhiedenen A^{III}B^V-Verbindungen durch Elektronenbestrahlung. Z. Naturf. 14a, 1069—1071, 939, Nr. 12. (Dez.) (Erlangen, Siemens-Schuckertw. AG., Forschungslab.) Die Mindestnergien zur Bildung von Gitterdefekten durch Elektronenbeschuß wurden für InP, As und GaAs experimentell bestimmt und daraus die Bildungsenergie eines Gitterefektes durch Elektronenstoß gewonnen. Die Zahlenwerte dieser Parameter werden usammen mit den aus der Literatur entnommenen Werten für Si, Ge und InSb auegeben. Weitere experimentelle Ergebnisse werden diskutiert. Madelung.

- 7-540 James J. Brophy. Seebeck effect fluctuations in germanium. Phys. Rev. (2) 111, 1050-1052, 1958, Nr. 4. (15. Aug.) (Chicago, Ill., Inst. Technol., Armour Res. Found., Technol. Center.) An Germanium-Einkristallen wurden Schwankungserscheinungen bei der Thermospannung beobachtet. Das Energiespektrum dieser als "Seebeck-Rauschen" bezeichneten Erscheinung variiert mit 1/f (f = Frequenz). Es kann quantitativ aus Messungen des Stromrauschens vorausgesagt werden. Das Seebeck-Rauschen wird auf Schwankungen der Trägerdichte zurückgeführt. Die Ergebnisse zeigen, daß diese Schwankungen auch auftreten, wenn kein Strom fließt.
- 7-541 **D. E. Hill.** Electron bombardment of silicon. Phys. Rev. (2) **114**, 1414-1420, 1959, Nr. 6. (15. Juni.) (West Lafayette, Ind., Univ.) Die elektrischen Eigenschaften von einkristallinem Silicium unter Elektronenbeschuß wurden untersucht. Durch Beschuß mit 4,5 MeV- und 700 keV-Elektronen traten Energieterme im verbotenen Gebiet 0,03, 0,17 und 0,4 eV unterhalb der Leitungsbandkante sowie 0,05 und 0,3 eV oberhalb des Valenzbandes auf. Die Entstehung und die Natur dieser Zentren wird diskutiert und weitere experimentelle Ergebnisse mitgeteilt. Madelung.
- 7-542 J. J. Duga, R. K. Willardson and A. C. Beer. Plastic deformation of InSb by uniaxial compression. J. appl. Phys. 30, 1798-1803, 1959, Nr. 11. (Nov.) (Columbus, Ohio, Battelle Memor. Inst.) Nichtaxiale plastische Deformationen von InSb sind begleitet von einer Abnahme der Elektronenbeweglichkeit und des magnetischen Widerstandes, haben aber keinen Einfluß auf den Hall-Koeffizienten. Eine Analyse der Temperaturabhängigkeit der Leitungsbeweglichkeit und des magnetischen Widerstandes bei schwachen Feldern, im Falle geringer Streuung durch akkustische Gitterschwingungen und durch ionisierte Verunreinigungen zeigt, daß der prinzipielle Effekt dieser Art der Deformation durch die Entstehung geladener Leerstellen und Zwischengitterplätze in etwa gleicher Dichte dargestellt werden kann. Ein Zusammenhang dieser Dichte mit der Deformationsenergie kann hergestellt werden. Vif. beziehen sich auf die plastische Krümmung des InSb, wodurch die Ladungsträgerkonzentration beeinflußt wird. Dieses Verhalten ist ähnlich dem von Si und Ge.
- 7 543 W. L. Brown. The electron van de Graaff in semiconductor research. Nuclear Instrum. 5, 234—241, 1959, Nr. 4. (Okt.) (Murray Hill, N. J., Bell Teleph. Labs.) Es wird der Einsatz eines VAN DE GRAAFF-Elektronenbeschleunigers im Rahmen der Halbleiterforschung beschrieben. Strahlenergie: 1 MeV; Strahlgleichstrom: 25 μA; periodisch ablenkbarer Strahl; Temperaturbereich des bestrahlten Objektes: 20 bis 50°K. Im Rahmen der Elektron-Elektron-Wechselwirkungen wird insbesondere eine Strahlpulsmethode zur Bestimmung der Lebensdauer eines Elektron-Ion-Paares erläutert. Die Untersuchung der Elektron-Kern-Wechselwirkung ist besonders für die Klärung der Vorgänge beim Zwischengitter-Einbau von Atomen geeignet, da bei jedem Stoß praktisch nur ein Zwischengitterteilchen entsteht. Änderungen der Trägerkonzentration und die Leitfähigkeit infolge des Elektronenbombardements, Einflüsse der Gitterorientierung auf die Schwellenenergie für Defekterzeugung und die Abhängigkeit der Defekterzeugungswahrscheinlichkeit von der Strondichte wurden untersucht.

K. H. Oertel.

- 7-544 K. F. Hulme and J. B. Mullin. Facets and anomalous solute distributions in indium-antimonide crystals. Phil. Mag. (8) 4, 1286—1288, 1959, Nr. 47. (Nov.) (Great Malvern, Worcesters., Min. Supply, Roy. Radar Est.)

 Behnsch.
- 7-545 A. K. Jonscher. Emitter efficiency and injection level in diffused structures. Proc. Instn elect. Engrs (B) 106, 335-341, 1959, Suppl. Nr. 15. (S. B.) (Wembley, Engl., Gen. Elect. Co., Ltd., Res. Labs.)
- 7 546 A. C. Sim. Some fundamental aspects of p-n junctions. Proc. Instn elect. Engrs (B) 106, 357-360, 1959, Suppl. Nr. 15. (S. B.)
- 7-547 E. Sonder and D. K. Stevens. Magnetic susceptibility of electrons and donors in n-type silicon. Physica 24, 162, 1958, Suppl. (Sept.) (Oak Ridge, Tenn., Solid State Div., Nat. Lab.)

 V. Weidemann.

7-548 L. van Gerven, A. van Itterbeek and L. de Laet. Magnetic relaxation phenomena in germanium at low temperatures. Physica 24, 162, 1958, Suppl. (Sept.) (Leuven, België, Inst. lage Temp. tech. Fy.)

1960

- 7-549 A. Honig. Impurity spin relaxation via the conduction electrons in silicon. Physica 24, 163, 1958, Suppl. (Sept.) (Syracuse, N. Y., Univ.) V. Weidemann.
- 7-550 Siegfried Raether. Elektronenleitung und Grobstruktur anodisch gebildeter Aluminiumoxydschichten. Z. angew. Phys. 11, 456—460, 1959, Nr. 12. (Dez.) (Heidenheim/Br., Siemens & Halske AG., Wernerw. Banelem.) In Borsäurelösung wurden durch anodische Oxydation porenfreie Aluminiumoxydschichten von 50—10000 Å Dicke hergestellt. Die Strom-Spannungskurven wurden aufgenommen. Der nach der Oxydation zu berbachtende Reststrom beruht im wesentlichen auf Elektronenleitung. In einem begrenzten Spannungsbereich steigt der Strom mit fallender Feldstärke. Es konnte gezeigt werden, daß dieser Effekt von der Grobstruktur der Oxydoberfläche abhängt, liese wurde mit CrO₃-H₃PO₄-Lösung behandelt und mehrmals formiert. Mikroskopisch konnten auch während der Oxydbildung Grobstrukturänderungen beobachtet werden, lie mit mechanischen Spannungen verbunden sind. Die Beteiligung der Grenzfläche Oxyd-Elektrolyt an der Leitfähigkeit in einem bestimmten Schichtbereich wird dissentert.
- 7-551 A. Deubner und F. Schulz, Leitfähigkeitsänderung dünner Kupferoxydulschichten bei elektrostatischer Aufladung. Ann. Phys., Lpz. (7) 5, 113-128, 1960, Nr. 3/4. (Berlin, Humboldt-Univ., I. Phys. Inst.) Die Leitfähigkeit dünner Kupferoxydulschichten und hre Änderung bei elektrostatischer Aufladung (Feldefiekt) werden in Abhängigkeit von den Herstellungsbedingungen der Schicht (Sauerstoffdruck, Temperatur, Abcühlungsgeschwindigkeit) sowie von der Temperatur und der Gasatmosphäre während ler Messung untersucht. Die Leitfähigkeit zeigt einen Gang mit dem Sauerstoffdruck einer vorausgehenden Temperung; beim Feldelfekt ist ein solcher wegen der starken Streuung von Schicht zu Schicht nicht festzustellen. — Untersuchungen des Feldeffekts im Vakuum bei Temperaturen zwischen -56° und $+30^{\circ}\mathrm{C}$ stimmen bei Zimmeremperatur befriedigend mit solchen von ZÜCKLER überein, auch der von diesem bebachtete Nachwirkungseffekt (Abnahme der Leitfähigkeitsänderung während 3-5 min bei konstanter Aufladespannung) wird gefunden. Als neue Erscheinung wird jedoch festestellt, daß dieser Nachwirkungsefiekt bei tiefen Temperaturen und bei negativer Aufladung der Schicht sein Vorzeichen umkehrt. Eine Deutung dieser Beobachtung ann noch nicht gegeben werden. A. Deubner.
- K=552 D. Bösnecker und W. Waidelich. Elektronenresonanz bei stark belichtetem Silberchlorid. Naturwissenschaften 46, 598, 1959, Nr. 21. (Nov.) (München, T. H., Phys. Inst.) Unbelichtetes Silberchlorid zeigt keine paramagnetische Elektronenresonanz. Nach mehrstündiger Bestrahlung mit einer Hg-Quarzlampe tritt bei Zimmertemperatur ine relativ starke und schmale Linie, deren g-Faktor 2,002 \pm 0,006 und deren Linienreite etwa 5 Gauß beträgt, auf. Anstelle dieser Linie werden bei 90° K zwei etwa um Gauß getrennte Linien beobachtet, die sich in ihrer Intensität wie 1:4 verhalten. Der g-Faktor der stärkeren Linie ist 1,999 \pm 0,006 und g-Faktor der schwächeren inie ist 2,004 \pm 0,006, die Linienbreite 2 bis 3 Gauß. Die geringen Linienbreiten assen vermuten, daß die beobachteten Resonanzen von Leitungselektronen und nicht von F-Zentren herrühren, deren Linienbreite wesentlich größer ist. Kosfeld.
- 2-553 K. W. Böer. Kadmiumsulfid als Modellsubstanz für photoelektrische Unteruchungen. Wiss. Z. Humboldt-Univ. Berlin 8, 351-355, 1958/59 Nr. 3. (Berlin, Humboldt-Univ., II. Phys. Inst.) Zunächst wird auf die physikalischen und technischen Gründe des zeitlich wechselnden Interesses an Kadmiumsulfid als Photoleiter eingeangen. Es wird dann gezeigt, daß CdS, wenn auch für seine technische Anwendung ur Zeit für gewisse Anwendungsgebiete Schwierigkeiten bestehen, so doch als Modellubstanz für photoelektrische Untersuchungen ausgezeichnet geeignet ist. Es werden bründe für diese Eignung angegeben und diskutiert. Im zweiten Teil wird auf die dealstrukturabhängigkeit der Photoleitung näher eingegangen. Besonders eingehend

wird die Abhängigkeit der Konzentration von Leitungselektronen vom Störtermspektrum diskutiert. Der Diskussion wird ein einfaches reaktionskinetisches Modell zugrunde gelegt. Die Voraussetzungen dieses Modells werden diskutiert. In einem zusammenfassenden Überblick werden die bisher bekannten experimentellen Methoden zur Bestimmung der Parameter dieses reaktionskinetischen Modells angegeben. Eswird gezeigt, daß mit diesen voneinander unabhängigen Methoden eine Reihe von Parametern doppelt bestimmt werden kann, wodurch eine Prüfungsmöglichkeit für die Gültigkeit des verwandten Modells besteht.

- 7-554 K. W. Böer. Elektrooptische Effekte zum Nachweis von Feldverteilungen in Dielektrika. Monatsber. dtsch. Akad. Wiss., Berlin 1, 272-279, 1959, Nr. 5. (Berlin, Humboldt-Univ., II. Phys. Inst.) In dieser Arbeit wird gezeigt, daß mit Hilfe elektrooptischer Effekte eine Analyse des Feldverlaufs in CdS-Einkristallen möglich ist. Die Kristalle werden in monochromatischem Licht dieht an der Absorptionskante mikroskopiert und zeigen dann den Feldverlauf in Form von räumlich inhomogenen Verdunkelungserscheinungen. Es werden besonders charakteristische Feldverzerrungen festgestellt, die bei guten Kontakten und nicht durch besonders starke Baufehler gestörten Kristallen, ringförmig um die Kathode vorgelagerte Bereiche hohen Feldes sind. Diese Feldverteilungen zeigen große Ähnlichkeit mit Raumladungserscheinungen in einer Niederdruckgasentladung. Es wird ein Modell des Photoleiters diskutiert, das diese Erscheinungen zu erklären gestattet.
- 7-555 K. W. Böer. Raumladungserscheinungen in Halbleitern bedingt durch die Feldabhängigkeit der Beweglichkeit. Monatsber. dtsch. Akad. Wiss., Berlin 1, 325-326, 1959, Nr. 6. (Berlin, Humboldt-Univ., II. Phys. Inst.) In einer kurzen Notiz wird gezeigt, daß die von Böer und Mitarbeitern gefundenen plasmaähnlichen Raumladungserscheinungen in CdS-Einkristallen nicht allein durch eine feldabhängige Beweglichkeit von Ladungsträgern erklärt werden kann, wenn man nicht annimmt, daß die Beweglichkeit stärker als linear vom Feld abhängt. Bei einer genaueren Berechnung der Feldaufwölbung vor der Kathode, die vermutlich durch das Zusammenspiel von Anregungs-, Drift- und Diffusionsvorgängen der Elektronen zustande kommt, ist jedoch die Feldabhängigkeit der Beweglichkeit zu berücksichtigen.
- 7-556 K. W. Böer und H. Gutjahr. Zur Absorption und Photoleitung an der Grundgitterabsorptionskante besonders reiner CdS-Einkristalle. Monatsber. dtsch. Akad. Wiss. Berlin 1, 326-330, 1959, Nr. 6. (Berlin, Humboldt-Univ., II. Phys. Inst.) Es wird der spektrale Verlauf der Absorptionskonstante in der Nähe der Absorptionskante von besonders reinen CdS-Einkristallen bei Zimmertemperatur und der Temperatur der flüsisgen Luft in polarisiertem Licht senkrecht und parallel zur c-Achse untersucht. Dabei zeigt sich, daß dieser Verlauf in einfacher Weise durch indirekte Übergänge unter Mithilfe von Schallquanten verstanden werden kann. Bei Zimmertemperatur werden zwei Bereiche, einmal unter Absorption und zum anderen unter Emission eines Schallquantes gefunden. Aus diesen Messungen kann die Lage der Absorptionskante und die charakteristische Energie der Schallquanten in den verschiedenen kristallographischen Richtungen angegeben werden. Ein Vergleich des spektralen Verlaufs der Absorptionskante mit dem spektralen Verlauf der Photoleitung zeigt, daß bei den untersuchten besonders reinen Kristallen das Maximum der Photoleitung sicher nicht durch den bisher angenommenen Prozeß der Zunahme der Rekombination infolge des Absinkens der Eindringtiefe des anregenden Lichtes erklärt werden kann. Das Maximum der Photoleitung liegt beträchtlich kurzwelliger als der Bereich, in dem das Licht praktisch quantitativ im Kristall absorbiert wird. Schließlich wird in dieser Arbeit gezeigt, daß bei nicht besonders reinen Kristallen das Maximum der Photoleitung langwelliger liegt und durch eine Störtermabsorption zustande kommt, Böer.
- 7-557 K. W. Böer, D. Böhme und S. Oberländer. Anwendung der Methode der gesteuerten Anregung auf das langzeitige Anklingen der Leitfähigkeit von CdS-Einkristallen bei Belichtung. Monatsber. dtsch. Akad. Wiss., Berlin. 1, 331-336, 1959, Nr. 6. (Berlin, Humboldt-Univ., II. Phys. Inst.) Es wurde die von Böer und Oberländer beschriebene Methode der gesteuerten Anregung (Z. Naturf. 13a, 351, 1958) auf das Anklingen der

Photoleitung von CdS-Einkristallen bei geringer Lichtintensität angewandt. Mit Hilfe dieser Methode wurden die Parameter eines einfachen Modells mit einer Aktivator- und siner Hafttermgruppe sowie vier Übergängen zwischen diesen Termen und dem Leitungsband an dem untersuchten Kristall bestimmt. Die angegebenen Untersuchungen sind als Voruntersuchungen mit einer relativ einfachen Apparatur aufzufassen, die beweisen, daß die seinerzeit vorgeschlagene Methode der gesteuerten Anregung besonders mützlich zur Bestimmung aller interessierenden reaktionskinetischen Parameter ist.

960

Böer.

Monatsber. dtsch. Akad. Wiss., Berlin 1, 396—400, 1959, Nr. 7/10. (Berlin, Humboldt-Univ., II. Phys. Inst.) Es wurde die Dunkelleitung von CdS-Einkristallen als Funktion ler Temperatur untersucht. Bei nicht bewußt aktivierten Kristallen zeigte sich bei dlen untersuchten Kristallen bei sehr langsamem Aufheizen ein einheitlicher Verlauf, der durch zwei Geradenstücke im log σ-T-¹ Diagramm in einem Temperaturbereich von 220° bis 380°C wiedergegeben werden kann. Beide Geradenstücke schließen sich mit einem Knick bei ca. 300°C aneinander. Die Neigung im Tieftemperaturteil entpricht einer Energie von 0,7 eV, die Neigung des Hochtemperaturteiles von 1 eV. Beide Teile werden als Eigenstörstellenhalbleitung gedeutet. Dabei wird im Temperaturbereich unterhalb des Knickes eine FRENKEL-Fehlordnung und oberhalb des Knickes ausätzlich SCHOTTKY-Defekte sollen sich an der Oberfläche bilden und ins Innere diffundieren, wobei sich durch teilweise Rekombination der Cadmiumleerstellen aus den SCHOTTKY-Defekten mit den Cadmium-Weischengitterfehlstellen aus den FRENKEL-Defekten ein neues Fehlordnungsgleichzewicht einstellt.

2-559 Heinrich Schindler. Lichtelektrische Leitfähigkeit bei anorganischen Komplexerbindungen. Z. angew. Phys. 12, 33–38, 1960, Nr. 1. (Jan.) (München, T. H., Phys. nst.) Eingehende und vielseitige Untersuchung an Einkristallen (etwa $1\times2\times5$ mm³) von K_3 Fe(CN)₆ im Vakuum. Belichtung quer zum elektrischen Feld. Messung der mit nicht aus dem langwelligen Ausläufer der Absorption erregten Ströme (Gleichstrom). Viderstand der Kristalle etwa 10^{10} Ω. Ermüdungserscheinungen werden nicht gefunden. Optische Aktivierungsenergie 2,1 eV; thermische Aktivierung für die Ladungsträger les Dunkelstroms 1,34 eV. Thermospannung 4–6 mV/° C. Hall-Konstante 1,5–2,5 · 10^{10} m³/Asec. Der Strom wird hauptsächlich von Elektronen getragen. Beschuß mit Elektonen – oder mit Röntgenstrahlen bewirkt Verstärkung der Farbe; die gebildeten körstellen haben eine kleinere Ionisierungsenergie. – Analog sind die Ergebnisse an K_3 Mn(CN)₅NO und K_2 Ni(CN)₄. Dagegen zeigt K_4 Fe(CN)₆ keine lichtelektrische Leitähigkeit, vielleicht weil der Komplex diamagnetisch ist. – Der Brechungsindex der ür untersuchten Stoffe beträgt etwa 1,6.

- -560 R. C. Nelson. Energy transfers between crystals and adsorbed dyes. 11. Effect of oncentration on efficiency of sensitization. J. opt. Soc. Amer. 48, 948 952, 1958, Nr. 12. Dez.) (Columbus, O., State Univ., Dep. Phys.) Es wird der Einfluß der Konzentration on Farbstoffmolekülen, die an der Oberfläche von Cadmiumsulfidzellen adsorbiert ind, auf den Wirkungsgrad der Sensibilisierung der Photoleitfähigkeit untersucht. ur Herstellung der gewünschten Konzentration von adsorbierten Molekülen wurden ie CdS-Zellen in trockener Stickstoffatmosphäre mit einer verdünnten Lösung des etreffenden Farbstoffes in absolutem Äthanol überspült. Bei Malachitgrün traṭ eine uffallende Reduzierung des Sensibilisierungsgrades auf bei einer Konzentration von ,003 g/l, bei Pinacyanol begann der Abfall bei etwa 0,01 g/l. Die Abnahme wird in eiden Fällen auf den Unterschied der Eigenschaften des gelösten Moleküls gegenüber em festen Farbstoff zurückgeführt. Der Prozeß des Elektronenüberganges von einem arbstoffmolekül auf die Kristallunterlage wird qualitativ diskutiert.
- -561 A. P. Trofimenko and G. A. Fedorus. Effect of annealing and certain impurities the darkness resistance and photosensitivity of CdS monocrystals. Ukrain. fis. Sh. SR 3, 839—841, 1958, Nr. 6. (Orig. russ.)

7–562 Carl Wagner. Ionen- und Elektronenleitung in Silberbromid und Abweichungem von der idealen stöchiometrischen Zusammensetzung. Z. Elektrochem. 63, 1027–1030,1959, Nr. 9/10. (1. Dez.) (Göttingen, Max-Planck-Inst. Phys. Chem.) Vf. gibt einem Überblick über die einzelnen Anteile an der Leitfähigkeit von festem Silberbromid. Die Ionenleitfähigkeit ist praktisch unabhängig von der Aktivität $a_{\rm Ag}$ bzw. dem Partialdruck des Broms. Die Leitfähigkeit der Überschußelektronen ist proportional $a_{\rm Ag}$, die der Defektelektronen $|A_{\rm Ag}|$. Für 277 und 25°C werden die einzelnen Teilleitfähigkeitem in Abhängigkeit von $a_{\rm Ag}$ aus den Messungen verschiedener Autoren berechnet. Ferner wird abgeschätzt, daß das Verhältnis Ag/Br bei 277°C nur zwischen $1+10^{-12}$ beim Gleichgewicht mit Ag und $1-10^{-7}$ beim Gleichgewicht mit Bromdampf von 1 Atm schwanken kann. Die Konzentration der Überschußelektronen in AgBr im Gleichgewicht mit Ag beträgt $1,55\cdot10^{10}/{\rm cm}^3$, die der Defektelektronen $1,45\cdot10^7$. Daraus ermittelt sich die Breite des für Elektronen verbotenen Bandes zu 2,4 eV.

M. Wiedemann.

7-563 John E. Ambrose and W. E. Wallace. Electrical conductivities of KCl-KBr solid solutions. J. phys. Chem. 63, 1536-1537, 1959, Nr. 9. (Sept.) (Pittsburgh, Penn., Univ., Dep. Chem.) Die elektrischen Leitfähigkeiten von KCl-KBr-Mischkristallen verschiedener Zusammensetzung und die der reinen Verbindungen wurden zwischen 400°C und 540°C gemessen und die Abhängigkeit der Leitfähigkeit von der Temperatur bestimmt. Die geringen Unterschiede zwischen den Leitfähigkeiten der Mischkristalle und der reinen Salze können eher einer verschiedenen Beweglichkeit als einer Änderung der Zahl der Ladungsträger zugeordnet werden und geben somit keine Hinweise auf das Vorhandensein einer abnormen Ansammlung von Leerstellen im Kristall.

M. Froehlich.

- 7-564 Walter Noddack, Hans Meier und Artur Haus. Über lichtelektrische Untersuchungen an Triphenylmethanfarbstoffen. Z. phys. Chem. N. F. 20, 233-245, 1959, Nr. 3/4. (Mai.) (Bamberg, Staatl. Forschungsinst. Geochem.) Es wird nachgewiesen, daß chromatographisch gereinigte Triphenylmethanfarbstoffe (Brillantgrün, Kristallviolett, Malachitgrün, Parafuchsin u. a.) einen Photoeffekt zeigen. H.-J. Hübner.
- 7-565 H. Cordes und H. Röttger. Ein Beitrag zum elektrischen Leitungsmechanismus von Schmelzen metallorganischer Komplexverbindungen und deren Lösungen mit assoziierenden Lösungsmitteln. Z. Elektrochem. 63, 1030-1037, 1959, Nr. 9/10. (1. Dez.) (Braunschweig, T. H., Inst. Phys. Chem. Elektrochem.) Dialuminiumtriäthyl-Natriumfluorid wurde aus Äthylbromid und einer Al-Mg-Legierung und dann durch Zusammenschmelzen mit äquivalenter Mengen NaF gewonnen. Die spezifische Leitfähigkeit der Komplexverbindung und ihrer Lösungen in Diäthyläther, Benzol und Toluol wurde in einer Wasser und Sauerstoff ausschließenden Apparatur mit einer Widerstandsmeße brücke in Abhängigkeit von der Temperatur und der Konzentration bestimmt. Danach beruht der Stromtransport auf einem Platzwechselvorgang, die Komplexverbindung bildet definierte Solvatkomplexe mit den benützten Lösungsmitteln, z. B. mit 2, 6 und 8 Molekülen Toluol. Im Falle des Toluol konnten die Aktivierungsenergien für den Platzwechsel über die monomere und über die dimere Form des [Al(C₂H₅)₃]₂NaF und die Konstanten des Gleichgewichts zwischen monomerer und dimerer Form ermittelt werden. Es wird Assoziation der Verbindung zu Molekülketten angenommen, die sich in Richtung der Feldlinien ausrichten. Das Al schwingt dann durch die Äthylgruppen hindurch. M. Wiedemann.
- 7 566 W. B. Shoekley. Transistor-diodes. Proc. Instn elect. Engrs (B) 106, 270-272, 1959, Suppl. Nr. 15. (S. B.)
 V. Weidemann.
- 7-567 R. Gremmelmaier und H.-J. Henkel. GaAs-Tunnel-Dioden. Z. Naturf. 14a, 1072-1073, 1959, Nr. 12. (Dez.) (Erlangen, Siemens-Schuckertw. AG., Forschungslab.) Die an einen Halbleiter zur Verwendung als Tunnel-Diode zu stellenden Anforderungen werden diskutiert und gezeigt, daß die Verwendung von GaAs als Material besonders aussichtsreich ist. Experimentelle Ergebnisse an Dioden werden mitgeteilt und Kennlinien bei verschiedenen Temperaturen angegeben.

860

- '-568 A. F. Gibson. The theory of avalanche injection diodes. Proc. Instn elect. Engrs B) 106, 331-334, 1959, Suppl. Nr. 15. (S. B.)
- 7-569 J. Shields. The forward characteristics of p+n-n+ diodes in theory and experiment. Proc. Instn elect. Engrs (B) 106, 342-352, 1959, Suppl. Nr. 15. (S. B.) V. Weidemann.
- 7-570 **D. F. Page** and **A. R. Boothroyd.** A simple measurement for transistor current vain in magnitude and phase. Proc. Inst. Radio Engrs, N. Y. 47, 1273, 1959, Nr. 7. Juli.) (London, Imper. Coll., Dep. Elect. Engng.) Die Ortskurve für die Frequenzubhängigkeit der Basisstromverstärkung α im komplexen Schaubild ist gegeben, wenn $\alpha \mid$ und $|1-\alpha|=|\alpha|/|\beta|$ bekannt sind, und entsprechend gilt für die Emitterstromverstärkung β dasselbe, wenn die Frequenzverläufe von $|\beta|$ und $|\alpha| + |\beta| = |\beta|/|\alpha|$ vorliegen. Es wird gezeigt, wie man $|\alpha|$ und $|\beta|$ aus dem Verhältnis des Spannungsaballes an Ein- und Ausgangswiderstand und den Korrekturen, die die Elemente des Eratzschaltbildes berücksichtigen, ermitteln kann. Die Methode ist lediglich für denenigen Frequenzbereich nicht brauchbar, bei denen der Phasenwinkel sich 180° nähert. Blankenburg.
- 2-571 Donald O. Ruff. The application of high power transistors to audio circuitry. Gen. Motors Engng J. 6, 1959, Nr. 3, (Juli/Sept.) S. 2—7. In transportablen Übertragungsmagen, insbesondere solchen für Kraftfahrzeuge, haben sich Transistorverstärker vegen ihrer Kleinheit und ihres geringen Strombedarfs bewährt. Die Vakuumröhren sonnen dabei nicht einfach durch Transistoren ersetzt werden, sondern es müssen weue Schaltungen entwickelt werden, insbesondere, weil die Steuerung der Transistoren nicht mehr leistungslos erfolgt. Vf. diskutiert drei Schaltungen von Leistungsterstärkern, wobei er besonders auf die Frage der Verzerrungen eingeht. Alle drei Typen sind für den Anschluß an die Autobatterie (12 V) vorgesehen. Kallenbach.
- Nature, Lond. 182, 1793—1794, 1958, Nr. 4652. (27. Dez.) (Cambridge, Mass. Inst. Technol., Energy Convers. Group., Servomech. Lab.) Durch aufeinanderfolgendes Aufdampfen einer Wismut- und Tellurschicht auf Glas im Vakuum, wobei sich die eiden Aufdampfschichten in der Mitte überlappen, und durch nachträgliches Erwitzen für einige Minuten auf 150° bis 200°C wurde eine photoempfindliche p-n Schicht dergestellt. Der Dunkelwiderstand der Schicht, der 7000 Ω betrug, nahm bei einer Betrahlung mit einer Wolframlampe bei einer Intensität von 25·10-5 Lumen/mm² auf 5—20% ab. Die Photo-EMK bei derselben Bestrahlungsintensität betrug 50 mV. Es wird angenommen, daß infolge Diffusion bei erhöhter Temperatur entweder Tellur-Wismut-)Atome in Wismut-(Tellur-)Kristallite diffundieren, die als Donatoren Akzeptoren) wirken oder sich mit Wismut und Tellur angereicherte Wismut-Tellurid-Kristalle (Bi₂Te₃) bilden bzw. beide Vorgänge stattfinden. In beiden Fällen entstehen Dehoust.
- 4-573 H. Falkenhagen und G. Kelbg. Die statistische Darstellung der Theorie der tarken Elektrolyte. Wiss. Z. Univ. Rostock 8, 137-140, 1958/59, Nr. 2. (Rostock, Univ., nst. theor. Phys.) Ein einfaches Näherungsverfahren zur Berechnung der thermolynamischen Eigenschaften starker Elektrolyte wird beschrieben. Die im DEBYE-HÜCKELschen Ansatz enthaltenen Approximationen werden diskutiert. Ferner wird eine urze Übersicht über die Lage der Theorie der reversiblen und irreversiblen Prozessen Elektrolyten gegeben.
- -574 Daniel J. Macero and Charles L. Rulfs. The empirical evaluation of the constant in the modified Ilkovic equation. J. amer. chem. Soc. 81, 2944—2946, 1959, Nr. 12. 20. Juni.) (Michigan, Univ., Dep. Chem.) Der Wert der Konstanten A in der verlesserten Lekovic-Gleichung für den mittleren Diffusionsstrom, der an einer Queckilbertropfelektrode beobachtet wird, wurde durch Bestimmung der Diffusionskoefzienten der Cd²⁺-, Pb²⁺-, Cu²⁺-, Tl⁺-, Ag⁺-, 'Bi³⁺-, Hg²⁺- und Fe(CN)₆³⁻-Ionen unter polaroraphischen Bedingungen zu 31,3 (± 5%) berechnet. Dieser Wert wurde sodann mit dem

verglichen, der aus in der Literatur vorhandenen polarographischen Angaben berechnet wurde, und mit dem, der aus neueren theoretischen Betrachtungen stammt.

Froehlich.

7–575 Roland W. Ohse. Schabversuche an einer rotierenden Silberelektrode in alkalischer Lösung und Messung der Niveauladung bei intermittiert galvanostatischer Belastung. Z. Elektrochem. 63, 1063–1068, 1959, Nr. 9/10. (1. Dez.) (Erlangen, Univ., Inst. Phys. Chem.) Durch Schaben eines rotierenden Ag-Zylinders von 16 mm Durchmesser unde 2 mm Höhe in 1 n KOH mit einem Diamanten wurde eine schichtfreie Metalloberfläche gewonnen, die unabhängig war von der Vorbehandlung. Bei 25°C und Zutritt von Luft wurden Bezugsspannungs-Zeit-Kurven aufgenommen. Hierzu wurde intermittierend galvanostatisch belastet und die Spannung oszillographisch registriert. Das Schaltschema der Sperrstufe mit zwei Rechteckgeneratoren und Impulsmischung ist wiedergegeben. Es zeigte sich, daß eine anodisch primär gebildete Ag₂O-Schicht durch anschließende kathodische Belastung nicht vollständig reduziert wird. Nach der Untersuchung der Niveauladungen erfolgt Auf- und Abbau der Ag₂O-Schicht reversibel, ihre Dicke wurde formal zu 150 Molekülschichten bestimmt. Es ergeben sich Hinweise für die Bildung einer Sauerstoff-Chemisorptionsschicht und eines Silberhydrids.

M. Wiedemann.

7-576 M. Pilkuhn und A. Winsel. Untersuchungen über die Wasserstoffaufnahme und -abgabe des Raney-Nickels. Z. Elektrochem. 63, 1056—1063, 1959, Nr. 9/10. (1. Dez.) (Braunschweig, T. H., Inst. techn. Phys.) In einer Vakuumapparatur wurde festgestellt, daß Raney-Nickel bei Zimmertemperatur eine Wasserstoff-Menge abgibt, die 0,35—0,5 II-Atome je Ni-Atom entspricht, und insgesamt nach dem Erwärmen auf höhere Temperatur 0,7—1,0. Der Wasserstoff kann teilweise wieder adsorbiert werden. Das Gleichgewicht zwischen dem H₂ in der Gasphase, dem adsorbierten und dem ge lösten und die Kinetik der Einstellung wird behandelt. Für elektrochemische Entladungs- und Belastungsversuche wurde eine Elektrode entwickelt, die Raney-Körner eingebettet in ein Skelett aus Carbonylnickel enthält. Als Elektrolyt eignete sich 6 n KOH. Der Wasserstoffgehalt ergab sich hier zu 0,67—1,2 H-Atome je Ni-Atom. Ferner wurde das chemische Potential des chemisorbierten Wasserstoffs in Abhängigkeit von der H-Konzentration und der Temperatur ermittelt. Die Werte der einzelnen thermodynamischen Funktionen ΔG, AS und ΔH sind tabelliert.

M. Wiedemann.

7-577 Richard D. DeMars and Irving Shain. Voltammetry with linearly varying potential. Case of irreversible waves at spherical electrodes. J. amer. chem. Soc. 81, 2654—2659, 1959, Nr. 11. (5. Juni.) (Wisconsin, Univ., Dep. Chem.) Die Theorie der Voltametrie mit linear variierendem Potential wurde auf den Fall von irreversiblen Elektroden reaktionen an kugelförmigen Elektroden ausgedehnt. Theoretische Stromspannungskurven wurden auf Grund der Resultate einer numerischen Berechnung aufgestellt, die einen Elektrodenprozeß 1. Ordnung annimmt, der bei Potentialen, deren Anteil der Rückreaktion zu vernachlässigen ist, auftritt. Die Kurven machen es möglich, die kinetischen Parameter der Elektrodenreaktion aus einer experimentellen irreversiblen Welle zu bestimmen. Der Elfekt nach Änderung irgendeiner der experimentellen Parameter wurde auch betrachtet. Die Theorie wurde durch Vergleich von Stromspannungskurven, die bei der Reduktion des Jodat-Ions erhalten wurden, kontrolliert. (Zfg.)

Froehlich.

7-578 Isabel Martin Tordesillas und Luisa Peraldo Bicelli. Wasserstoff-Überspannung an Blei-Einkristallen. Z. Elektrochem. 63, 1049—1056, 1959, Nr. 9/10. (1. Dez.) (Mailand, T. H., Phys.-Chem. Inst.) Bei Temperaturen zwischen 25 und 45°C wurde an den Pb-Flächen (100), (110) und (111) sowie an polykristallinem Material in Überchlorsäure und in Amidosulfonsäure bei jeweils zwei Konzentrationen die Überspannung mittels eines Potentiometers oder Oszillographen registriert. Die Stromdichte lag zwischen 0,4·10-3 und 15 A/m². Die Überspannung hing linear vom Logarithmus der Stromdichte ab, doch wurden oft nicht eine, sondern zwei Gerade beobachtet. Für die einzelnen Orientierungen war die Überspannung verschieden. Sie nahm mit steigender Temperatur ab, die Aktivierungsenergie der Wasserstoffentwicklung ergab sich für die

60 IX. 10. Ionenleitung in F

eiden Geraden zu etwa 8 bzw. etwa 20 kcal/Mol. Die Überspannung war in der verinnteren Lösung höher und in Überchlorsäure größer als in Aminosulfonsäure.

M. Wiedemann.

rans. Faraday Soc. **55**, 455–462, 1959, Nr. 3 (Nr. 433). (März.) (Moscow, Karpovast.) Zur Ermittlung des Einflusses von Anionen, die an der elektrolytischen Enticklung von Wasserstoff nicht direkt beteiligt sind, auf die Geschwindigkeit dieser ntwicklungsreaktion mißt Vf. die Adsorption von Jodid- und anderen Halogen-Ionen Silber- und Bleielektroden und ihren Einfluß auf die Wasserstoffüberspannung. Adsorption aus 1,0 n H₂SO₄ mit verschiedenen Gehalten von KJ, Adsorptionsesung durch Aktivitätsmessung des radioaktiven Indikators J¹³¹.) Die Adsorption Anionen an Ag hängt bei konstanter Jodid-Konzentration in der Lösung fast near vom Potential ab. Die Wasserstoffüberspannung wächst mit der Jodid-Konzentation bis zu einer bestimmten Konzentration, darüber ist sie vom KJ-Gehalt der Sung unabhängig. Für die Adsorption an Blei-Elektroden ergeben sich komplizierre Zusammenhänge. Die Ergebnisse werden als Einfluß auf das Potential innerhalb der Doppelschicht und auf die Stärke der Metall-Wasserstoff-Bindung diskutiert.

Vieth.

- 4.5.6. H. J. Eméleus and G. S. Harris. Electrolytic conductance of solutions of halogeno-ifluoromethylphosphoranes. J. chem. Soc. 1959, S. 1494–1497, Apr. (Cambridge, niv., Chem. Lab.) Die elektrolytische Leitfähigkeit von PCl₂(CF₃)₃ und von PCl₃(CF₃)₃ urde unter gleichen Bedingungen untersucht. PCl₂(CF₃)₃ ionisiert in Acetonitril. Die weisinsche Leitfähigkeit der Lösung stieg mit der Zeit an und erreichte nach 48 Stunden einen konstanten Wert. Die molare Leitfähigkeit bei verschiedenen Konzentrationen transpesen. Die Leitfähigkeit des PCl₃(CF₃)₃ war so gering, daß es als Nichtleiter in zetonitril bezeichnet wird. Der Unterschied im Verhalten der beiden Phosphorane wird skutiert. Die Herstellung von PBr₂(CF₃)₃ gelang nicht. Doch wird ein Ansteigen der zitfähigkeit beobachtet, wenn eine Lösung von P(CF₃)₃ in Acetonitril mit Brom tirriert urde, was auf die Existenz einer ionisierten Verbindung P(CF₃)₃. Br₂ schließen läßt.
- 581 Hiroaki Matsuda und Yuzo Ayabe. Polarographische Untersuchungen über die inetik der Entladung von Komplex-Metallionen, insbesondere von Hydroxo- und Amminomplexen des Zinks, Z. Elektrochem, **63**, 1164-1171, 1959, Nr. 9/10, (1. Dez.) (Tokyo, p., Governm. Chem. Industr. Res. Inst.) Die Analyse der polarographischen Strombannungs-Kurven von Komplex-Metallionen vor allem bei der irreversiblen Reduktion rd behandelt und die Schlüsse, die sich auf den Entladungsmechanismus ziehen lassen. t die Abhängigkeit der Kurve von der Konzentration des Komplexbildners bekannt, können unter bestimmten Umständen der Durchtrittsfaktor α, die Geschwindigitskonstanten der Entladung und die Koordinationszahl p ermittelt werden. Als eispiel werden die Entladung der Hydroxy- und Ammin-Komplexe des Zink angehrt. Obwohl überwiegend der Komplex Zn(OH)²- vorliegt, verläuft die Entladung i $c_{OH} \approx 1$ über die Verbindung $Zn(OH)_2$, der Durchtrittsfaktor beträgt 0,42. Im deren Fall liegt in der Lösung der Komplex Zn(NH₃)²⁺ vor, die Entladung verläuft er über Zn(NH₃)²⁺, der Durchtrittsfaktor beträgt 0,65. Die Geschwindigkeits-M. Wiedemann. nstanten sind ebenfalls angeführt.
- 582 Y. Doucet et M. Bizouard. Conductibilité électrique des mélanges de sels fondus. Ill. Soc. Chim. Fr. 1959, S. 1570-1577, Nr. 10. (Okt.) (Marseille, Fac. Sci.) Um shler durch Polarisation zu vermeiden, entwickelten Vff. ein neues Verfahren zur essung der Leitfähigkeit geschmolzener Salzmischungen. Sie arbeiteten mit Wechselten von 1000 Hz. Die Potentialdifferenz an den Enden eines Widerstands wurde it zwischen zwei in die Schmelze tauchenden Sonden mittels eines Oszillographen reglichen. Widerstand und Salzschmelze waren hintereinander geschaltet. Die Stromfuhr zur Schmelze erfolgte mittels zweier weiterer Elektroden. Messungen wurden System LiNO₃-NaNO₃ in allen Mischungsverhältnissen bei 250-450°C durchführt. Die molare Leitfähigkeit erwies sich als additive Eigenschaft. Die Aktivierungsergien betrugen 3,5 kcal für Li und 3,3 für Na. Die Lösungen scheinen also ideal zu in. Die Apparatur ist genau beschrieben und skizziert.

- 7-583 G. L. Natanson. On the theory of volume recombination of ions. Sh. tech. Fis. 293 1373-1380, 1959, Nr. 11. (Nov.) (Orig. russ.) Es wird ein einheitlicher Ausdruck für den Rekombinationskoeffizienten abgeleitet, der für hohe Drucke in die Formel von LANGEVIN und für niedrige Drucke in die Formel von Thomson übergeht. Für Luft im Druckbereich 0,15 bis 25,5 Atm. wurde der Verlauf des Rekombinationskoeffizienten berechnet. Das Maximum der Kurve liegt bei etwa 1 Atm. Experimentelle Daten folgen mit guter Übereinstimmung dem Kurvenverlauf.

 J. Wolff.
- 7-584 Mahendra Singh Sodha. Electron mobility in partially ionized atomic hydrogens. Phys. Rev. (2) 113, 1163-1164, 1959, Nr. 5. (1. März.) (Chicago, Ill., Armour Ress. Found., Phys. Res. Dep.) Unter Verwendung der Formel von Shoda und Eastman (Ber. 37, 1639, 1958) für die Relaxationszeit eines Elektrons, das infolge einer ionischem oder interelektronischen Wechselwirkung gestreut wurde, berechnet Vf. die Hall- und Driftbeweglichkeiten der Elektronen in teilweise ionisiertem Wasserstoff. Das Ergebnis ist graphisch dargestellt worden.
- 7-585 R. G. Fowler and W. R. Atkinson. Electron recombination in atomic hydrogena. Phys. Rev. (2) 113, 1268—1269, 1959, Nr. 5. (1. März.) (Norman, Okla., Univ., Dep. Phys.) Vff. vermaßen die absolute Intensität des den Balmer-Linien assoziierten kontinuierlichen Spektrums in einem Wasserstoff-Plasma. Einzelheiten der Apparatur wurden bereits beschrieben (Ber. 33, 262, 1954). Die spektrale Intensitätsverteilung der kontinuierlichen Strahlung entspricht einer "Bande", die ein Maximum bei etwa 3800 Å besitzt und eine Breite von etwa 2600 Å aufweist. Es wird gezeigt, daß das betreffende Kontinuum erklärt werden kann, wenn man annimmt, daß es aus dem H-Anlagerungsspektrum zusammengesetzt ist. Die erhaltenen Koeffizienten der Elektronen-Kombination stimmen mit der berechneten von G. Cillie (Ber. 13, 2024, 1932) überein. Die Resultate der Vff. stehen jedoch nicht im Einklang mit den Messungen von Olsen und Huxford (Ber. 32, 1407, 1953).
- 7 586 K. G. Payne and F. J. Weinberg. A preliminary investigation of field-induced ion movement in flame gases and its applications. Proc. roy. Soc. (A) 250, 316-336, 1959. Nr. 1262. (24. März.) Einfache theoretische Überlegungen zeigen, daß die auf die Volumeneinheit eines in einem elektrischen Feld befindlichen Gases wirkende Kraft für eine bestimmte Ionenart umgekehrt proportional der Beweglichkeit der Ionen ist Da die Beweglichkeit K_ der negativen Ionen (Elektronen) etwa 103mal so groß wie die der positiven K+ ist, ergibt sich ein wesentlicher Überschuß in Richtung der Bewegung der positiven Ionen (Ablenkung der Flamme zur Kathode). Das führt u. a. zu der Möglichkeit, den Verbreunungsprozeß durch äußere elektrische Felder zu beschleunigen die Wärmeübertragung zu festen Körpern zu vergrößern (Gasbewegung führt zu Wirbelbildung und damit zur Verteilung der Reaktionsprodukte und zu erhöhten Wärmeaustausch, vermutlich unter Einwirkung auf die Grenzschicht) und die Ab lagerung von Kohlenstoff an kalten Metallflächen zu beeinflussen (die Gesamtmasse de abgelagerten Kohlenstoffes wird vermindert, die Abscheidung erfolgt hauptsächlich a der Kathode, der Niederschlag ist umfangreich, faserförmig und von stark verminderte Dichte; die Vorgänge lassen sich allein aus K_+ < K_ und aus der Fähigkeit der Kohlen stoffteilchen, sich an Ladungen anzulagern, erklären). Heidelberg.
- 7 587 G. V. Samsonov, V. S. Neshpor and Y. B. Paderno. Electron emission propertie of metal-like compounds. Ukrain. fis. Sh., Kiew 4, 508-518, 1959, Nr. 4. (Juli/Aug. (Orig. ukrain. m. engl. Zfg.) Die Arbeit ist ein Versuch, die elektrischen Eigenschafter und die Größe der Austrittsarbeit von Übergangselementen und ihren Verbindungen mit Bor, Kohlenstoff, Silicium und Stickstoff mittels der Elektronenkonfigurationez zu erklären. Ferner werden Methoden zur Herstellung von Hexaboriden der seltene Erden, ihrer pseudobinären Legierungen und kompakter Proben aus diesen Materialie beschrieben.

 H.-J. Hübner.
- 7-588 V. Ja. Frenkel. Heat calculations of anodes of electronic lamps cooling by mean of radiation in vacuum. Sh. tech. Fis. 29, 1400-1406, 1959, Nr. 11. (Nov.) (Orig. russ, Ausgehend von bekannten Gesetzen der Theorie der Wärmestrahlung berechnet Vf. di

trahlungsabgabe von Anoden mit ebenen Flächen. Dabei wird für einige charakteristiche Anodenanordnungen sowohl die Abstrahlung von den inneren Flächen wie auch die egenseitige Abschirmung der Rippen auf der Außenseite berücksichtigt. Die erhaltenen ormeln und graphischen Darstellungen gestatten es, für eine gegebene Anodentemeratur die Kühlung durch Strahlungsabgabe zu berechnen, wodurch unnötig große nodenflächen vermieden werden.

- -589 Gunther List. Eine Funkenstrecke für sehr hohe Gasdrucke. Exp. Tech. Phys. 7, 18—125, 1959, Nr. 3. (Berlin, Akad. Wiss., Phys. Tech. Inst.) Eine Funkenstrecke für ohe Gasdrucke. Beschrieben wird eine Funkenstrecke und eine Gaskompressionsnlage, die es erlaubt, die Funkenentladung in Gasen bei Drucken bis 1000 at zu unterachen. Die ersten Meßergebnisse der Durchschlagsspannung von Stickstoff und einem eon-Helium-Gemisch bei Drucken bis 400 at zeigen bereits, daß die Streuung der verte der Durchschlagsspannungen im komprimierten Gas und bei langsam ansteinder Elektrodenspannung mit einer extrem langen Verzögerungszeit verbunden ist. amit ist die Wahrscheinlichkeit für die Entwicklung einer selbständigen Entladung ein Felddurchschlag sehr gering.
- 2590 I. N. Slivkov. Electric breakdown in vacuum between graphite electrodes. Sh. Sch. Fis. 29, 1473—1474, 1959, Nr. 12. (Dez.) (Orig. russ.) Die Durchschlagsspannung wischen sehr reinen Graphitelektroden im Vakuum wird in Abhängigkeit vom Elektodenabstand und bei verschiedenen Elektrodenformen gemessen. Während die urchschlagsfeldstärke an der Oberfläche der Anode je nach Form derselben in weiten renzen schwankt, ergibt sich für die Kathodenoberfläche eine kritische Durchschlagsletärke von etwa 300 kV/cm. Daraus werden Folgerungen zur Klärung des Durchchlagsmechanismus gezogen.
- -591 S. Pfau und A. Rutscher. Die sukzessive Ausbildung stehender Schichten in der limmentladung. Naturwissenschaften 46, 646, 1959, Nr. 23. (Dez.) (Greifswald, Univ., hys. Inst.) Der Zündvorgang einer Wasserstoff-Glimmentladung wird photographisch aufgenommen und hierbei festgestellt, daß stehende Schichten ebenso wie die laufenden eineswegs gleichzeitig längs der Entladungsbahn entstehen. Vielmehr beginnt die chichtbildung am kathodenseitigen Ende der Röhre und pflanzt sich mit einer bestimmen Geschwindigkeit in Richtung zur Anode durch das Plasma fort. Oszillogramme züglich der Stromstärke und Spannung am Entladungsrohr zeigen, daß der Leistungserbrauch der geschichteten Säule kleiner ist als der eines homogenen Plasmas.

Schallreuter.

- 4. W. Konjukow. Nichtlineare Langmuirsche Elektronenschwingungen in einem Lasma. Sh. exp. teor. Fis. 37, 799–801, 1959, Nr. 3. (Orig. russ.) Nach Langmuir and Tonks führen die Elektronen im Plasma unter der Voraussetzung, daß die Störungen klein sind, harmonische Schwingungen mit der Frequenz $\omega_0 = (4\pi e^2 \, n_0/m)^{1/2}$ aus and bleiben im Gebiet der Anfangsstörung lokalisiert. Vf. untersucht das Problem für berbige, auch große Störungen und nimmt dazu eine verschwindende Elektronentemratur und ruhende Plasmaionen an. Die Plasmagleichungen in hydrodynamischer äherung werden nach Umschreibung in die Lagrangesche Form der Bewegungseichungen gelöst. Es zeigt sich, daß die Elektronen wie 1 $\cos \omega_0 t$ um die Ruhelage hwingen; die Elektronendichte verhält sich wie $n_0/(1-b\cos \omega_0 t)$ (n_0 lonendichte; wird durch die Anfangsstörung gegeben: $b = [n(x_0) n_0]/n(x_0)$, $n(x_0)$ Anfangstreilung). Die Frequenz ω_0 hat den gleichen Wert wie bei Langmuir und Tonks, unhängig von der Anfangsstörung. Die Amplituden für die einzelnen Punkte hängen bei rschwindenden Anfangsgeschwindigkeiten nur von der Anfangs-Dichteverteilung ab.

Falls $n(x_0)/n_0 \leq 1/2$, so liefert die Näherung unendliche oder negative Dichten; diese Umstand läßt sich beheben, wenn man die Elektronentemperatur und damit den gas kinetischen Druck berücksichtigt; wahrscheinlich treten dann Stoßwellen- oder sprung artige Erscheinungen auf.

- 7-594 G. F. Filimonow. Über das Anwachsen von Longitudinalwellen in einem Plasma Radiotech. i Elektronika 4, 75-87, 1959, Nr. 1. (Jan.) (Orig. russ.) Siegel.
- 7–595 Herbert Burck und Ku Dschi-yü. Bestimmung des radialen Dichte- und Temperaturverlaufs in einer Quecksilber-Höchstdrucklampe. Exp. Tech. Phys. 7, 39–47, 1959, Nr. 1. (Berlin, Akad. Wiss., Inst. tech. Phys.) Die Messung beruht auf der Röntgenstrahlmethode, die in einer früheren Arbeit (Ber. 36, 894, 1957) benutzt und die durch einige Änderungen verbessert wurde. Die theoretischen Grundlagen zur Auswertunder Röntgen-Intensitätsschwächung durch die HBO 500 und der Eichung mit einer Aluminiumkeil werden entwickelt. Die angewandte Methode erlaubt die Messung der Temperaturen mit einem Fehler von 16%, während der relative radiale Temperatur verlauf auf 6% genau ermittelt werden kann. Die Ergebnisse werden mit experimentellen und theoretischen Resultaten anderer Autoren verglichen und diskutiert. Die gemessene Achsentemperatur beträgt 6500°K. Nach außen schließt sich ein Gebiet fas konstanter Temperatur (um 3600°K) an. In der Randzone fällt die Temperatur sehsteil auf etwa 900°K ab. Zur Deutung wird der Konvektionsstrom in diesen Gebiete herangezogen.
- 7-596 S. D. Vagner and N. I. Vanchikova. On the influence of invariable longitudina magnetic field on high-frequency mercury discharge. Sh. tech. Fis. 29, 1475-1477, 1955 Nr. 12. (Dez.) (Orig. russ.) Wie in früheren Untersuchungen (Je. I. Wawilin, S. D. Wagner und A. M. Drukman, Ber. Nr. 5-537) werden Elektronentemperatur un Ladungsträgerkonzentration aus der Doppelsondencharakteristik ermittelt. Ein Vergleich zwischen Ergebnissen an Entladungen mit Außenelektroden und mit Innen elektroden zeigt, daß sich die Wirkung des Magnetfeldes in beiden Fällen kaum unter scheidet. Das Magnetfeld hindert die Elektronen vor allem am Verlassen des Entladungs gebietes und unterstützt damit das in gleicher Richtung wirkende HF-Feld, beeinfluß die Entladung im Elektrodengebiet jedoch nicht wesentlich. Aus der Messung de Trägerdichteverteilung in radialer Richtung folgt eine Erhöhung der Trägerkonzen tration durch das Magnetfeld.
- 7–597 K. B. Harvey and A. M. Bass. Infrared absorption of oxygen discharge product and ozone at 4° K. J. Mol. Spectrosc. 2, 405–410, 1958, Nr. 4. (Aug.) (Washington D. C., Nat. Bur. Stand.) Die Absorptionsspektren der auf einer GsJ-Platte bei 4,2° I kondensierten Produkte einer Hochfrequenz-Entladung durch O_2 wurden im Bereic von 2 bis 25 µm registriert. Es wurden im wesentlichen Ozon und Stickonyde festgestellt Aus der Temperaturabhängigkeit der Ozon-Absorption wird auf eine Sauerstoffatom Konzentration von höchstens 3% in dem festen Kondensat geschlossen.

H.-J. Hübner.

7–598 Henri Lumbroso et Pierre Rossetti. Description d'un appareil de mesure précis des constantes diéléctriques des liquides. J. Chim. phys. 56, 844–849, 1959, Nr. 10 (Okt.) (Paris, Sorbonne, Lab. Chim. gén.) Es wird die Doppelüberlagerungsmethod verwendet, wobei die Heterodynfrequenz von 1 MHz durch drei parallele Kapazitäte bestimmt wird, und zwar durch den eigentlichen Oszillatorkondensator, den Mekondensator für die Flüssigkeit und den Eichkondensator. Nach Wahl der geeignete Oszillatorkapazität wird der Eichkondensator jeweils so justiert, daß bei Überlagerun mit einer sehr konstanten Quarzoszillator-Frequenz eine Niederfrequenz entsteht, d. wiederum auf dem Oszillographen mit einer Normalfrequenz, in unserem Falle mit de Netzfrequenz, eine ruhende Lissajous-Ellipse ergibt. Die innen vergoldete, konzeitrische Meßzelle aus Messing und Teflon besitzt eine geteilte Innenelektrode, so daß m. Hilfe eines Magnetschalters ein Teil an Masse gelegt werden kann. Die entsprechence Kapazitätsdifferenz ist proportional zur DK der Meßflüssigkeit, deren Temperatur at $(25\pm0,02)^{\circ}$ C konstant gehalten wird. Die große Einstellgenauigkeit von 0,005 pF de Eichkondensators und der mechanisch und elektrisch stabile Aufbau der gesamte

pparatur ermöglichen eine DK-Messung auf \pm 0,0002 genau. Gemessen wurden 5 Lösungen von Chlorbenzol in Benzol mit Massenkonzentrationen w = 0,005 ... 0,20. Tabei ergab sich für den Anstieg der DK mit der Konzentration bei 25°C $\alpha = \Delta \epsilon / w$ = 2,45 + 0,6 w. Aus Messungen an 25 Nitrobenzol-Lösungen in Benzol mit w = 0,004 is 0,20 folgte: $\alpha = 14,2 + 11$ w.

-599 Helmut Kramer. Dielektrische Absorptionsmessungen an verdünnten Lösungen it Millimeterwellen. Z. Phys. 157, 134-138, 1959, Nr. 1. (15. Okt.) (Mainz, Univ., Phys. nst.] Als Generator für die 7-mm-Wellen diente ein K-Band-Klystron mit modulierter eflektorspannung, an das sich über einen dielektrischen Transformator eine Vervielcherdiode anschloß, ε" wurde aus Dämpfungsmessungen an Flüssigkeitsschichten erschiedener Dicke in einem geneigten, unten mit einer Glimmerfolie abgeschlossenen 10-Hohlleiter gewonnen, der mit Hilfe einer kalibrierten Bürette gefüllt wurde. Ein lektiver NF-Verstärker mit Diskriminator und geeichtem Abschwächer diente als mpfänger. Die ϵ'' -Werte sind auf 2% genau, wobei die Hohlleiterdämpfung $0.3\cdot 10^{-4}$ ısmacht. Für Benzophenon, Chlorbenzol Diphenylsulfid, Cyclohexylamin, Diphenylnin und Diphenyläther in Heptan sind die Geraden ε" in Abhängigkeit vom Molenruch x bis maximal x = 5% aufgetragen, deren Ordinatenabschnitte für die Lösungsittel Cyclohexan $\epsilon''=3\cdot 10^{-4}$, Heptan $16\cdot 10^{-4}$, Tetrachlorkohlenstoff $29\cdot 10^{-4}$ und enzol 30·10-4 bei 20°C ergeben. Der spezifische Dämpfungswert Δε"/x ist z.B. bei hlorbenzol in Benzol 1,19, in Heptan 0,85; bei Benzophenon sind die entsprechenen Werte 2,20 und 1,67. Jäkel.

-600 R. M. Redheffer. Use of a tapered sample for dielectric measurement. Rev. sci. astrum. 29, 1149-1150, 1958, Nr. 12. (Dez.) (Los Angeles, Calif., Univ., Dep. Math.)

-601 V. P. Shestopalov, K. P. Jatsuk and I. P. Jakimenko. Use of slow surface waves r measurement of dielectric permeability of substance at super-high frequencies III. Sh. ch. Fis. 29, 1330—1338, 1959, Nr. 11. (Nov.) (Orig. russ.) V. Weidemann.

-602 Günther H. Krawinkel. Über eine Erscheinung kontinuierlicher Strömung eines üssigen, polaren Dielektrikums im inhomogenen elektrischen Feld. Z. angew. Phys. 11, 05-315, 1959, Nr. 8. (Aug.) (Frankfurt/M.) Es wird eine Beziehung für die Kräfte ogeleitet, die im Feld eines Zylinderkondensators und an seinen Rändern auf ein dares Dielektrikum wirken. Die Richtung der inneren Kraft ist unabhängig von der olarität der angelegten Spannung, die Randkräfte sind am Innenzylinder entgegensetzt denen am Außenzylinder. Weiter werden der Wirkungsgrad der Umsetzung on freier Polarisationsenergie in kinetische Energie und die Leistungsaufnahme des irchströmten Kondensators mit durchlässigen Elektroden abgeleitet. Messungen an s zu 10%igen Lösungen stark polarer Flüssigkeiten in unpolaren oder schwach blaren Lösungsmitteln in einem Zylinderkondensator, dessen Innenelektrode im feldeien Raum einen Kegel zur Ablenkung der Strömung nach oben und ein Steigrohr nthält, ergaben z.B. für Nitrobenzol in Diäthyläther ein Druckmaximum für 6%ige ösung, was durch polare, frei drehbare Molekülkomplexe unterhalb und durch Assoation oberhalb dieser Konzentration erklärt wird. Diese Lösung verhält sich wie ein plares Dielektrikum mit dem Dipolmoment 2 Debye und dem Verhältnis (Dichte/ olekulargewicht) = 10-2. Die Messungen wurden bei Gleich- bzw. Wechselfeldärken zwischen 0.5 · 103 und 100 · 103 V/cm durchgeführt. Jäkel.

1.603 Daniel Berg. Dielectric constant of liquid sulfur hexafluoride. J. chem. Phys. 31, 12–573, 1959, Nr. 2. (Aug.) (Pittsburgh, Penn., Westinghouse Res. Lab.) Mittels baxialer Stahlelektroden wurde bei $-50^{\circ}\mathrm{C}$ die Dielektrizitätskonstante und der issipationsfaktor von flüssigem SF₆ nach der Substitutionsmethode gemessen. Dielektrizitätskonstante war für 10 bis 500 kc konstant 1,81 \pm 0,02, tan δ lag unter 001. Aus der Molpolarisation und der Diehte würde sich ebenfalls eine Dielektrizitätsbustante von 1,81 ergeben. M. Wiedemann.

.604 G. S. Krintschik und M. W. Tschetkin. Zur Theorie der Ausbreitung elektroagnetischer Wellen in gyrotropischen Medien. Opt. i Spektrosk. 6, 703—705, 1959, r. 5. (Orig. russ.) Mit Hilfe theoretischer Überlegungen wird ein Kriterium aufgestellt, das festzustellen gestattet, ob bei einer gegebenen Frequenz ein Medium gyromagne tisch, gyroelektrisch oder beides gleichzeitig ist, d. h. ob μ oder ϵ Tensoren mit bestimm ten Komponenten darstellen. v. Keussler.

7-605 R. M. Glaister and J. W. Woolner. Relaxation polarization dielectrics. A assessment of the system (Sr, Ba, Ca) TiO₃-Bi₂O₃-TiO₂. J. Electronics (1) 6, 385-390 1959, Nr. 5. (Mai.) (Sunbury on Thames, Middlesex, G. V. Planer, Ltd.) Die Herstellung von Dielektrika der Zusammensetzung SrTiO₃-Bi₂O₃-nTiO₂ (n ≤ 4) wird ar gegeben und ihre Eigenschaften untersucht. Mit steigender Konzentration von Bi₂O wurde im allgemeinen eine Zunahme der DK von 100 bis 500 festgestellt. Bei n = läßt sich ein Wert der Dielektrizitätskonstante von 1000 erreichen. Die Arbeit bring sodann noch Meßergebnisse über Temperatur, die Abhängigkeit von der Frequenz unüber den Verlustwinkel, der günstiger liegt als bei den Dielektrika von Skavani. De spezifische Widerstand bei einer Feldstärke von 1000 V/cm liegt in der Größenordnung von 2-3·10¹² Ohm. Beim teilweisen Ersatz des Strontiums durch Calciur oder Barium kann eine Veränderung der DK von 200-3000 erzielt werden.

Schallreuter.

- 7-606 A. G. Chynoweth and J. L. Abel. Polarization reversal by sideways expansion of domains in ferroelectric triglycine sulfate. J. appl. Phys. 30, 1073-1080, 1959, Nr. 7 (Juli.) (Murray Hill, N. J., Bell Teleph. Labs. Inc.) In Triglycinsulfat wird durch An legen eines Feldes von 30-35 V/cm eine reversible Polarisation durch Bildung und seit liche Expansion relativ kleiner Bezirke von anders geladenem Material erzeugt. Dies Stellen sind von denen verschieden, die sich beim Anlegen eines anders gepolten Felde ergeben, sind aber beim ständigen Aus- und Einschalten eines Feldes gegebener Größ und Richtung einigermaßen reproduzierbar. Diese Bereiche nehmen meist elliptisch oder linsenförmige Gestalt an, deren Richtung mit der optischen Achse des Kristall zusammenfällt. Bei weiterer Zunahme der Größe wird die Gestalt schnell unregelmäßig um dann mit den anderen zusammenzuwachsen. Wenn das Feld umgepolt wird, ver mindern diese Bereiche bei gleicher Gestalt und Orientierung ihre Größe, bis sie von des sich bildenden Bereichen, die der neuen Richtung des Feldes entsprechen, angegriffer werden, d. h. die Neuen wachsen in die Alten hinein.
- 7-607 M. E. Drougard and R. Landauer. On the dependence of the switching time of barium titanate crystals on their thickness. J. appl. Phys. 30, 1663-1668, 1959, Nr. 11 (Nov.) (Poughkeepsie, N. Y., Internat. Bus. Mach. Corp., Res. Lab.) Die Abhängigkei der Schaltzeit von der Kristalldicke wurde von MERZ gemessen und unter der Annahm einer Oberflächenschicht von 10-4 cm Dicke niedriger DK erklärt. Diese Schicht mut eine reversible Polarisation haben. Wenn eine Schicht mit nichtreversibler Polarisation angenommen wird und die Normalkomponente der relativen Polarisation zwischet Material und Schicht als diskontinuierlich angenommen wird, dann kann nur ein wesentlich dünnere, ca. einatomige Schicht die Dickenabhängigkeit erklären. Dies Schicht kann als sehr verlustreich angenommen werden, so daß die Relaxationszeit mi der Schaltzeit gleichgesetzt werden kann.
- 7-608 F. Oehme. Dielektrische Wasserbestimmung in Pyridin-Basen unter Verwendum von Molekularsieben zur Differenztrocknung. Angew. Chem. (A) 71, 572-573, 1958 Nr. 18. (21. Sept.) (Weilheim/Obb., Inst. Entw. chem.-phys. Analysenmethoden.) Dielektrizitätskonstante von Pyridinbasen steigt bei Konzentrationen bis 5 Gewichts prozent linear mit dem Wassergehalt. Bei binären Gemischen hängt das Steigungsma von der Zusammensetzung ab. Durch Messung der DK der feuchten und der mit Molekularsieb getrockneten Probe läßt sich der Wassergehalt bestimmen. Ach.
- 7-609 V. M. Fridkin. Theory of the formation of a latent electrophotographic image and the reciprocity law. Soviet Phys.-Doklady 3, 795-798, 1958, Nr. 4. (Juli/Aug.) (Eng Übers. aus: Proc. Acad. Sci. SSSR 121, 627, 1958, Nr. 4.) Vf. setzt die früher erschie nenen Arbeiten über die Bildung eines Photoelektret-Zustandes in Einkristallen und die Depolarisation von Photoelektreten bei Beleuchtung fort. Es wird die Lösung eine Systems von Differentialgleichungen untersucht, die die Elektronenübergänge in Bändermodell des Elektronenenergieniveau-Schemas für einen bestimmten Krista

eschreibt. Der Berechnung ist das Niveauschema eines Schwefeleinkristalls zugrunde relegt. Vieth.

- Feste Lösungen von Bi_2Te_3 und Sb_2Te_3 also beleitende Werkstoffe für Halbleiterthermoelemente. Z. Naturf. 14a, 848–849, 1959, Nr. 9. Sept.) (Prag, Tschechosl. Akad. Wiss., Inst. techn. Phys.) Die Eigenschaften thermoelektrischer Werkstoffe können durch Störung der strengen Stöchiometrie des Gitters verbessert werden. Es wurde deshalb eine feste Lösung aus ungefähr 25 Atom% Bi_2Te_3 , Sb_2Te_3 und einem Überschuß von rund 4 Gew.-% Te hergestellt. Die daraus vergestellten Proben zeigten eine Effektivität $z^* > 3.5 \cdot 10^{-3}$ Grad-1. Bei weiteren vystemen, die neben dem Überschuß an Te noch eine Beimengung eines Elementes der V. Gruppe z. B. Ge enthielten, wurde gefunden, daß im Bereich der Leitfähigkeit $z = 1000 \ \Omega^{-1}$ cm⁻¹ bis $2500 \ \Omega^{-1}$ cm⁻¹ die Thermokraft α der Formel α = C k/e ln σ aut entspricht, wobei $C = 8.05 \cdot 10^{-4}$ ist.
- -611 L. E. Gurjewitsch und G. M. Nedlin. Thermoelektrische Koeffizienten für Metalle m starken Magnetfeld. Einfluß des Mitschleppens der Elektronen durch Phononen. Sh. xp. teor. Fis. 37, 765-775, 1959, Nr. 3. (Orig. russ.) LIFSCHIZ u. a. (J. exp. teor. Fis. 5, 1251, 1958) haben das asymptotische Verhalten des thermoelektrischen Tensors in tarken Magnetfeldern untersucht, dabei aber das Mitschleppen (dragging) der Elekronen durch die Phononen nicht berücksichtigt. Vff. tun dies für Temperaturen unteraalb der DEBYE-Temperatur nach den Methoden von LIFSCHIZ u. a. Das Magnetfeld soll o groß sein, daß die LARMOR-Frequenz groß gegen die Stoßfrequenz ist. Dann hat der lrag-Effekt wesentlichen Einfluß auf das asymptotische Verhalten des Tensors und auf eine Abhängigkeit von der Orientierung des Feldes zu den Kristallachsen (im Fall complizierter Topologie der FERMI-Fläche). Bei der Lösung der linearisierten kinetischen Gleichungen für die Verteilungsfunktion von Elektronen und Phononen mit Temperaturradient, Magnetfeld und Gradienten des chemischen Potentials ergibt sich ein eigenrtiges "beiderseitiges Mitschleppen": Die Elektron-Phonon-Streuung ändert sich dalurch, daß die Driftgeschwindigkeit der Phononen durch die Existenz einer Elektronenrift erhöht wird. Bei nicht allzu tiefen Temperaturen zwischen der DEBYE-Temperatur Θ und $\Theta(\Theta/\mu)^{1/2}$ (μ chemisches Potential) überwiegt der Anteil des drag-Effekts sogar n einigen Tensorkomponenten. Explizite Rechnungen werden für verschiedene Formen ler Phasenbahnen (geschlossene Bahnen innerhalb einer Zelle; offene Bahnen; Annäheung an "kritische" Richtungen) durchgeführt.
- 6-612 D. K. C. MacDonald, W. B. Pearson and I. M. Templeton. Thermoelectricity at ery low temperatures. Physica 24, 171, 1958, Suppl. (Sept.) (Ottawa, Nat. Res. Ounc., Div. Pure Phys.) V. Weidemann.
- 7-613 A. Meessen. Le coefficient de température de l'effect photoélectrique des métaux. Phys. Radium 20, 519–528, 1959, Nr. 5. (Mai.) (Louvain, Belg., Univ.) Eine Reihe con Messungen an reinen Metallen zeigte, daß der Temperaturkoeffizient des photoelektrischen Stromes in der Nähe des Schwellenwertes für die Photoemission positiv st und gegen den blauen und ultravioletten Bereich zu negativ wird. Dies wird auf einen Oberflächenphotoeffekt zurückgeführt, dessen Austrittsarbeit linear von der Temperatur bhängig ist. Diese Annahme wurde auch für den thermischen Emissionsprozeß eineführt. Für die Übereinstimmung der theoretischen und experimentellen Kurven ind folgende Annahmen erforderlich: 1. Die Austrittsarbeit hängt auch von T^2 ab. Diese Annahme wird durch die bestehende Proportionalität zwischen dem Temeraturkoeffizienten der Austrittsarbeit und dem thermischen Expansionskoeffizienten ekräftigt.) 2. Wenn die Temperatur T und der Parameter $x = (hv hv_0)/kT$ ziemlich roß werden, ist für den photoelektrischen Strom die Formel i $= CT^2 [\varphi(x) T \varphi(x) + ...]$ nzuwenden, dessen erste Näherung die Fowlersche Formel ist.
- -614 A. A. Mostovskii, O. B. Vorob'eva and K.A. Mainskaya. Bismuth-silver-cesium hotocathodes. Soviet Phys.-Solid State 1, 585—589, 1959, Nr. 4. (Apr.) (Engl. Übers. us: Solid State Phys. SSSR 1, 643, 1959, Nr. 4.) Um den Einfluß der einzelnen Schichtestandteile festzustellen, wurden Kathoden mit verschiedenem Wismut-, Silber- und auerstoffgehalt hergestellt und auf ihren spektralen Empfindlichkeitsverlauf, ihre

optischen Daten, Leitfähigkeit und Temperaturabhängigkeit untersucht. Der Photo effekt entspricht danach weitgehend denen in Silber-Cäsium-Kathoden, auch die spek trale Empfindlichkeit verläuft ähnlich, erstreckt sich aber etwas weiter ins länger wellige Gebiet (~750 nm). Erhöhte Sauerstoffzugabe steigert die lichtelektrische Aus beute und setzt die Austrittsarbeit merklich herab (0,9 eV gegenüber 1,5 eV). De Silberanteil scheint an sich keinen Einfluß auf die lichtelektrische Empfindlichkeit zhaben, sondern in kolloidaler Verteilung für eine aufgelockerte Schichtstruktur zorgen, die empfindlichkeitssteigernd wirkt. Daraus ergeben sich Hinweise für zweck mäßige Herstellung solcher Kathoden.

7–615 N. G. Nakhodkin and V. A. Romanovskii. Variation of the secondary emission coefficient of KCl with the layer thickness. Bull. Acad. Sci. SSSR, Ser. Phys. 22, 457–458 1958, Nr. 4. (S. B.) (Kiev, State Univ., Electron. Fac.) Vff. untersuchen an KCl di Abhängigkeit des Koeffizienten der Sekundärelektronenemission von der Schicht dicke im Primärelektronen-Bereich von 480 bis 6000 eV (KCl-Schichten mit Beryllium Unterlage auf Glasträger, Einzelimpulsmessungen mit $\tau=2.5~\mu s$, interferometrisch Schichtdickenbestimmung). Die Koeffizienten δ der Sekundärelektronenemission von KCl- und Be-Schicht unterscheiden sich sehr, so daß die Unterlage die Meßgenauigkei nicht beeinflußt. Die Kurven δ über der Schichdicke d besitzen zwei zur d-Absziss parallele Stücke mit den Anfangswerten d_1 und d_2 , d_1 wird mit der effektiven Tief der Sekundärenission identifiziert und ist von der Größenordnung 50 nm. Im unter suchten Energiebereich der Primärelektronen ist d_1 weitgehend unabhängig von de Primärenergie und kann mit der Bewegung der Sekundärelektronen im Festkörpe zusammenhängen. d_2 ist größer als d_1 und von der Primärenergie abhängig. δ wächs zwischen d_1 und d_2 um etwa 15-20%. d_2 dürfte die Eindringtiefe der Primärelektronen im Festkörper charakterisieren.

7-616 Helmut Drost. Die "kalte Elektronenemission" nach aktivierender Glimment ladung. Exp. Tech. Phys. 6, 258-271, 1958, Nr. 6. (Berlin, Akad. Wiss., Bereich Phys. Inst. Med. u. Biologie.) Es wird die Exoelektronenemission an Al, Cu und Fe nach aktivierender Glimmentladung untersucht. Die Emissionsausbeute und die Form de Abklingkurven werden diskutiert und die Gleichheit der Abfallkurven nach anderen Bearbeitungsarten festgestellt. Emissionskurven nach verschiedenen Entladungs strömen und verschiedener Entladungszeit zeigen Unterschiede zwischen Cu und Feinerseits und Al andererseits. Wanderung des Brennslecks auf der Kathodenobersläch bewirkt Impulssteigerung, Konzentrierung des Brennslecks auf die gleiche Stelle ergib Abnahme der Emission. Die Wirkung des Entladungsgases kann im Rahmen de kathodischen Entladungsbestandteile verstanden werden.

7-617 W. D. von Voss and F. R. Brotzen. Electron emission from plastically straine aluminum. J. appl. Phys. 30, 1639-1645, 1959, Nr. 11. (Nov.) (Houston, Texas Rice Inst., Dep. Mech. Engng.) Plastisch deformierte Stoffe senden "Exoelektronen" aus. Dieser Effekt wird an Aluminium von 99% und 99,993% Reinheit mit den GEIGER-Zählrohr während und nach der kontinuierlichen Dehnung (max. ca. 16%) ge messen. Die Exoelektronenemission wird durch Einstrahlung von Tages- oder Hg-Lich (λ > 3000 Å) unterstützt; die Elektronen werden durch ein Saugfeld ins Zählrohr be fördert. Ergebnisse: 1. Das Reinstaluminium emittiert cet. par. etwa eine Größenord nung weniger Elektronen als das handelsüblich reine, 2. Während der zeitproportiona verlaufenden Dehnung wächst die Emission beschleunigt an. 3. Nach Stoppen der Deh nung wächst die Emission i. a. noch weiter an, um dann - aber durchaus nicht imme monoton - abzusinken. Zur Deutung der Kurven wird die Entstehung von Gitterleer stellen durch die plastische Dehnung angenommen, die, soweit sie nicht durch Ver setzungen oder andere Fallen abgefangen werden, an die Oberfläche diffundieren und i der Oxydschicht Stellen vom Typ der F-Zentren bilden, an die sich dann die Emissio anknüpft. Die hierauf aufgebaute Theorie liefert bemerkenswerte Übereinstimmung mi den Messungen. A. Deubner.

7-618 Antonin Bohun und Jarmila Dolejší. Die Exoelektronen- und Thermoelektronen bei einigen Halogeniden. Czech. J. Phys. 9, 578-589, 1959, Nr. 5. (Prag, Akad. Wiss Inst. tech. Phys.) An NaCl- und CaF₂-Kristallen mit F-Zentren werden die Thermo

missionskurven gemessen und theoretisch gedeutet. Der Einfluß der Austrittsarbeit uf die Lage der Thermoemissionsmaxima und auf die Mengenkonstante wird berechnet. Is wird festgestellt, daß die Exoelektronenemission aus Kristallen mit F-Zentren oder Conatoren, normale" Thermoelektronenemission ist. Die Abnahme der Emission bei dunahme von Ca, Sr und Cd als Verunreinigung wird aus einer Erhöhung der Nachlellen im NaCl erklärt. Die Zunahme der Emission mit der Kristalldicke weist auf den Volumenerscheinung hin. Es wird aus den Betrachtungen gefolgert, daß für den klühemissionsprozeß aus Oxydkathoden die Argumente zugunsten der Bändermodellheorie sprechen.

is 605, 1959, Nr. 5. (Prag, Akad. Wiss., Inst. tech. Phys.) Es wird die Glowurvenmethode zur Bestimmung des Euergieniveaus $\varepsilon=25~\mathrm{kT_m}$ ($\mathrm{T_m}\sim \mathrm{Temperatur}$ ines Glowkurvenmaximums), von Haftstellen kritisch untersucht. Ein allgemeiner heoretischer Ansatz, in dem das Produkt aus der Eigenfrequenz des Elektrons und der Emissionswahrscheinlichkeit eingeht, wird unter Verwendung unumgänglicher approximationen diskutiert. Statt des obigen Faktors 25 wird ein allgemeinerer Ausruck gefunden. Das so bestimmte Energieniveau kann von dem üblichen Energieiveau, das den Unterschied zum Vakuumniveau darstellt, verschieden sein. Nach ieser Methode wird eine Messung von Nassenstein und Menold analysiert, wobei sich a. eine Aussage über die Haftstellenkonzentration ergibt.

-620 Stig Ekelöf. The development and decay of the magnetic flux in a non-delayed elephone relay. A study of telephone relays (3). Trans. Chalmers Univ. Technol. 1957, ir. 192, S. 1—49. Vf. nimmt Bezug auf zwei frühere Veröffentlichungen (Part 1 nd 2, Trans. Chalmers Univ. Techn. Nr. 134, 1953, u. Nr. 141, 1954) und untersucht deoretisch den Feldaufbau und Feldzerfall beim Ein- bzw. Ausschalten eines Telefonelais unter Einschluß der Wirbelstromwirkung im Magneteisen. Für die Ableitung ergänzt durch ein numerisches Beispiel — wird ein Rundrelais mit fixiertem Anker ugrunde gelegt. Es ergibt sich gute Übereinstimmung mit oszillographischen Aufahmen, und es zeigt sich ferner, daß die gewöhnlich angenommene Exponentialfunkton nur eine rohe Annäherung darstellt.

-621 F. H. Lange. Über Grundlagen der Theorie elektrischer Signale. Hochfrequenzech. u. Elektroakust. 68, 25-35, 1959, Nr. 1. (Mai.) (Rostock.) Vf. stellt ein Schema uf, nach dem die Kenngrößen der Signaltheorie einmal bezüglich der Darstellungseise (vollständige Darstellung, Mittelwerte 1. und 2. Ordnung) und zum anderen ach der Art (statistische, zeitliche und spektrale Kenngrößen) eingeteilt werden. Die rformationstheoretischen Begriffe und die Korrelationsfunktionen ordnen sich in das chema ein. Die Zusammenhänge werden erörtert und in Blockdiagrammen und Tafeln vranschaulicht.

mgrs, N. Y. IT-5, 129—136, 1959, Nr. 3. (Sept.) (Murray Hill, N. J., Bell Teleph. Labs, ne.) Vf. untersuchte experimentell ein Sprach-Codierungsverfahren, bei welchem aus em Sprachsignal die Lage der Maxima und Minima (Amplituden und zeitlicher Aband) herausgezogen und in digitaler Form übertragen werden. Am Empfangsort erden die Extremalwerte durch einen stetigen Kurvenzug verbunden, so daß das sprüngliche Signal annähernd rekonstruiert wird. Für die Untersuchung wurde eine ektronische Rechenmaschine vom Typ IBM 704 verwendet, die aus den gesprochenen estsätzen die zur Codierung erforderliche Information herauszog und auch die Interdation zwischen den Extremwerten besorgte. Ein subjektiver Vergleich mit Sprache, e nach dem Puls-Code-Modulationsverfahren (PCM) übertragen wurde, ergab, daß er Extremal-Code gegenüber dem PCM-Verfahren eine Verminderung der erforderchen Kanalkapazität um etwa die Häfte ermöglicht.

623 Harry Lass and Robert M. Stewart. Optimal properties in the statistical theory of ception. Trans. Inst. Radio Engrs, N. Y. IT-5, 138—139, 1959, Nr. 3. (Sept.) (Pasadena, Ef., Jet Propuls. Lab.-CIT; Beverly Hills., Calif., Litton Ind.) Vff. behandeln in the Note on Problem aus der Theorie des optimalen Empfangs von Signalen in einem

Störuntergrund. Es wird gezeigt, daß eine von Youla behandelte Klasse von Empfär gern in einem gewissen Sinne optimale Eigenschaften besitzt. Kallenbach.

- 7-624 G. Dassetto. Spezifische thermische Festigkeit elektrischer Leiter. Bull. schweiz elektrotech. Ver. 50, 239-241, 1959, Nr. 6. (14. März.) (Zürich, Aluminium-Industria AG.) Ausgehend von dem neuen Begriff der spezifischen thermischen Festigkeit eine Leiters bei Kurzschluß vergleicht Vf. Aluminium- und Aldrey-Leiter mit widerstands gleichen Kupferleitern. Im Hinblick auf die "thermische Festigkeit" können Aluminium und Aldrey-Querschnitte kleiner gewählt werden als elektrisch gleichwertige Kupfe Querschnitte, wobei erstere gegenüber den letzteren eine höhere thermische Sicherhe bieten.
- 7–625 W. Culshaw. Reflectors for a microwave Fabry-Perot interferometer. Trans. Ins Radio Engrs, N. Y. MTT-7, 221–228, 1959, Nr. 2. (Apr.) (Boulder, Colorado, Nat. Burstand., Labs.) Interferometer nach Fabry-Perot eignen sich zur Wellenlängenmessun im mm-Wellengebiet. Eine Ausführungsform wird ausführlich beschrieben. Ähnlich wibeim Hohlraumresonator werden hierzu Reflektoren mit hohem Reflexionsvermögenkleiner Absorption und geeigneter Größe benötigt. Gestapelte dielektrische Platten un Stabgitter—Reflexionsvermögen, optimale Dimensionierung und Bandbreite werde abgeleitet sind geeignet. Bei sehr kleinen Wellenlängen stellt ein Metallplatter stapel mit regelmäßig verteilten Löchern eine vorteilhafte Ausführungsform dar. Ohr Beugungskorrektur kann eine Genauigkeit von 10⁻⁴ erzielt werden. Huber.
- 7-626 Olof Bryngdahl. Diffraction patterns of small phase objects measured in the microwave region. Ark. Fys. 16, 69–92, 1959, Nr. 1. (Stockholm, Royal Inst. Technol Inst. Opt. Res.) Die Beugungsdiagramme von kreisrunden, ring- und linsenförmige dielektrischen Scheiben wurden mit Mikrowellen ($\lambda=5,15~\mathrm{cm}$) aufgenommen. Die Egebnisse, die für verschiedene Ebenen senkrecht zur Einfallsrichtung in Schaubilder dargestellt sind, werden mit der Theorie verglichen. Und zwar wird mit einer Modifikationer Huygens-Kirchhoffschen Theorie die Beugung an derartigen phasenverschieben den Objekten berechnet. Es ergab sich eine gute Übereinstimmung mit den experimentellen Resultaten.
- 7-627 **T. B. A. Senior.** The scattering of electromagnetic waves by a corrugated shee Canad. J. Phys. **37**, 787-797, 1959, Nr. 7. (Juli.) (Ann Arbor, Mich., Univ., Radia Lab.) Die Streuung einer ebenen Welle an einer ideal leitenden, sinusförmig gewellte Fläche wird mit Mitteln der geometrischen Optik behandelt. Die einzige Näherung b trifft die Stromverteilung auf der Fläche. Das gestreute Feld erscheint als ein Spektruvon ebenen Wellen, dessen Amplituden durch einfache Integralausdrücke ang geben werden.

 Heilig.
- 7-628 Yu. N. Kuzmin. Diffraction of electromagnetic waves by paraboloid-screen of finidimensions. (Axi-symmetric fields.) Sh. tech. Fis. 29, 1304-1311, 1959, Nr. 11. (Nov (Orig. russ.) Theoretische Untersuchung der Beugung an einem ideal leitenden Parabe segment nach einem von Grünberg und PIMENOW vorgeschlagenen Verfahren. Bei diese wird für die auf einem ebenen Schirm induzierten Ströme eine Integralgleichung au gestellt, deren Lösung durch sukzessive Lösung elektrostatischer Probleme in Form ein Reihe nach Potenzen von kR (k ist die Wellenzahl, R eine charakteristische Abmessundes Schirmes) gelingt. Da die Reihe nur für kleine kR rasch konvergiert, ist das Vefahren in erster Linie dann anwendbar, wenn die Wellenlänge groß gegen die Schirnabmessungen ist. Die Rechnung wird für zwei Typen axialsymmetrischer Felder durc geführt. Der erste (zweite) Typ ist dadurch gekennzeichnet, daß in Zylinderkoordinate

E (H) nur eine azimutale und H (E) nur eine radiale und axiale Komponente besitzen. Lenz.

7 629 K. A. Lurie. Diffraction of plane electromagnetic wave due to ideally conductivound disk. Sh. tech. Fis. 29, 1421-1433, 1959, Nr. 12. (Dez.) (Orig. russ.) Exak Behandlung der Beugung einer ebenen Welle an einer unendlich dünnen, ideal leitend Kreisscheibe für beliebige räumliche Orientierung des Wellenvektors relativ zachse der Scheibe. Die Stromdichte auf der Scheibe, das Feld in der Wellenzone under Streukoeffizient lassen sich durch Quadraturen über Hilfsfunktionen ausdrücke

960

elche Lösungen von FREDHOLMschen Integralgleichungen zweiter Art mit Kernen sind, ie sich durch tabulierte Funktionen ausdrücken lassen. Lenz.

- -630 0. Burkard. Radio reflexions from the moon and solar corona. Nature, Lond. 183, 180, 1959, Nr. 4669. (25. Apr.) (Graz, Univ., Inst. Meteorol. Geophys.) Zur Berechnung es Faraday-Effekts an Radio-Signalen, die vom Mond reflektiert wurden, muß der Beitrag des Außenraumes zwischen Ionosphäre und Mond als Korrektur berücksichtigt rerden.
- -631 P. J. Allen and R. D. Tompkins. An instantaneous microwave polarimeter. Proc. nst. Radio Engrs, N. Y. 47, 1231—1237, 1959, Nr. 7. (Juli.) (Washington, D. C., S. Naval Res. Lab.) Dieses besteht im wesentlichen aus einem zweifach kompenerten Mischer mit einer drehkreuzartigen Verbindungseinrichtung für die Eingangsundhohlleiter. Durch lineare Mischung wird die relative Phasen- und Amplitudenlage er Orthogonalkomponenten beliebig polarisierter Eingangssignale in Zwischenequenzänderungen der beiden Mischer umgesetzt. Die Ausgangssignale der Mischer erden nach Verstärkung einem Kathodenstrahloszillographen zur visuellen Beobachtung ugeführt. Anwendungsgebiete sind die Mikrowellenübertragung, die Radar- und ntennentechnik und die Radioastronomie.
- -632 **H. A. Whale.** The effects of ionospheric irregularities and the auroral zone on the varings of short-wave radio signals. J. atmos. terr. Phys. 13, 258–270, 1959, Nr. 3/4. Auckland, New Zealand, Seagrove Radio Res. Station.) Die Peilanlage des Vf. stand a Seagrove. Kurzwellenstationen in den verschiedensten Richtungen und Entfernungen urden vermessen. Die Stundenmittel dieser Meßwerte werden hier untersucht. Nach f. wird bei Übertragungsentfernungen bis zu 15 000 km der Tagesgang der Großkreisbweichung Δε im wesentlichen durch die Prismenwirkung der F1-Schicht verursacht. Die nicht konzentrische Lage der Ionisationsniveaus in der hohen Atmosphäre bewirkt in Reflexion zu Reflexion eine stetige Drehung der Einfallebene um durchschnittlich 4°. Die antipodale Empfangszone wird so auf ein Gebiet von etwa 400 km Durcheesser erweitert. Große Werte von Δε, bis zu $\pm 90^\circ$, erfahren Strahlwege, welche die ordlichtzone streifend passieren. Vf. versuchte damit eine Ortung der Nordlichtone.
- -633 J. Brown and K. P. Sharma. The launching of radial cylindrical surface waves a circumferential slot. Proc. Instn elect. Engrs (B) 106, 123—128, 1959, Nr. 26. färz.) Berechnung und Experimente über den Wirkungsgrad der Abstrahlung radial-lindrischer Oberflächenwellen durch einen Umfangsschlitz in einem leitenden Zylinder. sergibt sich ein optimaler Wirkungsgrad von 68% der vollkommen kreissymmetrihen Abstrahlung. Der Zusammenhang mit dem Halbwellen-Dipol wird dargelegt.

Albach.

- 634 D. J. Angelakos. An image line coupler. Trans. Inst. Radio Engrs, N. Y. MTT-7, 1—392, 1959, Nr. 3. (Juli.) (Berkeley, Calif., Univ., Elect. Engng Dep.) Ein halb-lindrischer dielektrischer Stab liegt auf einer vollständig spiegelnden Metallebene auf image line"); das ganze System dient als Wellenleiter für Mikrowellen. Durch ein beh in der metallischen Grundplatte kann das Feld in den unterhalb der Platte genden Raum eingekoppelt werden. Hierbei besteht eine Winkelabhängigkeit, die ner Richtcharakteristik entspricht und die Verwendung der Anordnung als Richtppler erlaubt. Es wurden Versuche bei der Frequenz 24400 MHz durchgeführt und opplungs- und Richtdiagramm aufgezeichnet.
- 635 S. Ch. Kogan. Die Dämpfung elektromagnetischer Wellen bei ihrer Ausbreitung ags einer Drahtspirale. Radiotech. i Elektronika 4, 181–186, 1959, Nr. 2. (Febr.) rig. russ.)
- Martin Schneider. Eigenschaften und Anwendungen dünner metallischer Schichten Mikrowellenbereich. Tech. Mitt. P. T. T. 37, 465—495, 1959, Nr. 11. (1. Nov.) (Zürich, FH.) Einleitend wird die Bedeutung dünner metallischer Schichten und ihre Herdlung behandelt (Dicke 10... 1000 Å). Im Mikrowellenfeld beobachtet man verniedene neue Effekte, von denen zwei Anwendungsbeispiele beschrieben werden:

- 1. Der Schichtkoppler verbindet zwei getrennte Hohlleitersysteme, indem man di Halbdurchlässigkeit solch dünner Schichten für elektromagnetische Wellen ausnutz. Man erhält eine frequenzunabhängige Kopplung. In abgeänderter Konstruktioläßt er sich als Leistungsmesser verwenden. 2. Der Schichtdetektor beruht auf der Erscheinung, daß bei der Wechselwirkung des elektromagnetischen Feldes mit der dünne Metallschicht ein Teil der Feldenergie in thermische Energie umgesetzt wird. Auch ekann sehr breitbandig ausgeführt werden und ist durch das Fehlen des Skineffekte den üblichen Drahtdetektoren überlegen. Die Arbeit enthält eine umfangreiche Zusammenstellung der einschlägigen Literatur.
- 7-637 R. Levy. A guide to the practical application of Chebyshev functions to the design of microwave components. Proc. Instn elect. Engrs (C) 106, 193-199, 1959, Nr. 10. (Sept (Stanmore, Engl., Gen. Elect. Co. Ltd., Appl. Electron. Labs.) Die Arbeit befaßt sie mit der Konstruktion mehrstufiger Hohlleiter-Komponenten, wie z. B. stufenweise Übergangsstücken zweichen zwei Hohlleitern verschiedenen Querschnitts, Krümmer aus mehreren Stufen, Viertelwellenlängen-Transformatoren, Vielloch-Richtkoppler und Mikrowellenfiltern. Nach einer einleitenden mathematischen Betrachtung über di Darstellung, Eigenschaften und Anwendungen der Tschebicheffschen Funktio (Polynome) wird gezeigt, daß sich breitbandige stufenweise zusammengesetzte und weigehendst reflexionsfreie Hohlleiterkomponenten der oben aufgeführten Art darstelle lassen, wenn die Spannungs-Reflexionskoeffizienten der einzelnen Stufen den aufein anderfolgenden Gliedern der Tschebicheffschen Polynome 1. Art angepaßt werden Die Methode ist der der Anpassung an eine Binominalreihe überlegen.

H. Bayer.

- L. Solymar. Spurious mode generation in nonuniform waveguide. Trans. Ins Radio Engrs, N. Y. MTT-7, 379-383, 1959, Nr. 3. (Juli.) (Enfield, Middlesex, Stand Telecom. Labs Ltd.) Die Arbeit befaßt sich mit der Theorie eines ungleichförmige Hohlleiter-Übergangsstückes, das zwei Hohlleiter verschiedenen Querschnitts mit einander verbindet. In diesem Übergangsstück kommt es zur Ausbildung von Neber moden, wenn durch den Hohlleiter 1 ein reiner Hauptmodus zugeführt wird. Zur ther retischen Behandlung des Problems geht man von einer verallgemeinerten Form de Telegraphengleichung aus, die dann in einen Satz von Differentialgleichungen für di Amplituden der vor- und rückwärts laufenden Wellen transformiert wird. Es werde Ausdrücke für die Kopplungskoeffizienten zwischen den einzelnen Nebenmoden he geleitet. Unter bestimmten Voraussetzungen können die Differentialgleichungen ge löst und die Amplituden der sich ausbildenden Moden in geschlossener Form angegebe werden. Es wird bewiesen, daß die Leistungstransformation in die Nebenmoden unte jeder beliebigen Grenze kleingehalten werden kann, wenn das Überführungsstück lan genug ist, d. h. die Überführung von Querschnitt 1 in Querschnitt 2 hinreichend al mählich erfolgt. H. Baver.
- 7–639 **W. J. Smorgonskaja.** Zur Frage der Struktur des Feldes der Welle E_{01} in eine elliptischen Wellenleiter. Radiotech. i Elektronika 4, 335–337, 1959, Nr. 2. (Febr (Orig. russ.)
- 7-640 N. P. Kershenzewa. Über den Durchgang der Welle H₀₁ durch einen gekrümmte spiralförmigen Wellenleiter. Radiotech. i Elektronika 4, 337-341, 1959, Nr. 2. (Febr (Orig. russ.)
- 7-641 H. A. Spuhler, R. J. Kenyon and P. D. Coleman. Feeding RF power from self-excited, pulsed source into high-Q resonant load. Trans. Inst. Radio Engrs, N. MTT-7, 394, 1959, Nr. 3. (Juli.) (Urbana, Ill., Univ., Dep. Elect. Engng.) Um hol Impulsleistungen von einem selbsterregten Sender in einen Resonanzhohlraum m hohem Q-Wert zu pumpen, wie es z. B. bei Linearbeschleunigern erforderlich ist, benutzte man bisher meist ein Serien-T, dessen einer Arm mit einer stabilisierende Last abgeschlossen war und das ungefähr 50% der Impulsenergie in den Hohlrauleitete. In der vorliegenden Arbeit wird gezeigt, daß etwa 78% der verfügbaren Energ bei Verwendung eines Hochleistungs-Ferrit-Isolators, der zwischen Senderausgang un Hohlraumeingang geschaltet wird, in den Hohlraum eingekoppelt werden kann. D beschriebene Anordnung arbeitet im S-Band, Q-Wert des unbelasteten Hohlraum

- 4400. Die Betriebswerte werden angegeben und mit denjenigen für die Serien-Tchaltung verglichen. H. Bayer.
- -642 N. C. Gerson and W. H. Gossard. Noise trains. Canad. J. Phys. 37, 1061-1062, 959, Nr. 9. (Sept.) Bei Untersuchungen im Bereich von 1 bis 30 MHz wurden sog. sweepers" gefunden. Heilig.
- -643 K. D. Froome. A new microwave harmonic generator. Nature, Lond. 184, 808, 959, Nr. 4689. (12. Sept.) (Teddington, Middl., Nat. Phys. Lab., Stand. Div.) Bis zu iner Stromdichte von etwa 10⁷ A cm⁻² an der Kathodenoberfläche kann der Queckilber-Lichtbogen als unzerstörbarer Punktkontakt-Gleichrichter aufgefaßt werden. Bei sehr schnellen Stromänderungen, die über 6 · 107 A · s-1 hinausgehen, kann die Cathoden-Emission dieser Änderung durch Vergrößerung ihrer Oberfläche nicht mehr olgen; es ändert sich dann entweder die Emissionsdichte oder der Vorgang wird nstabil. Es entsteht eine nichtlineare Strom-Spannungscharakteristik, worauf die Vervendung des Quecksilberlichtbogens als harmonischer Generator bei hohen Frequenzen eruht. Das Prinzip der Anordnung ist folgendes: Ein 2,5 GHz-Magnetron (bis 100 W Ausgangsleistung) als Spannungsquelle ruft pro Schwingungsperiode einen Lichtbogen wischen der Quecksilberkathode und einer Wolframdraht-Anode hervor. Die entstehenen Harmonischen werden in einem Hohlleiter hinreichend kleinen Querschnitts geammelt. Um optimale Auskopplung zu erzielen, ist ein justierbarer Abstimmschieber m Entladungsrohr angebracht. Letzteres ist mit Argon von wenigstens 760 Torr geüllt. Der Quecksilber-Lichtbogen wird auf kürzeste Länge einjustiert, da dann der Wirungsgrad am höchsten ist. Einige Betriebsdaten: Eingangsleistung: Einige Watt bei ,5 GHz. Ausgangsleistung: Über 1 mW bei 10 GHz; auch bei 30 GHz wurde noch ein erhältnismäßig starkes Signal nachgewiesen. Anodendraht 0,5 mm Ø, Länge des Hgichtbogens: 0,1 mm. Gleichgerichteter Strom: Etwa 100-600 mA.
- -644 Rudolf Elsner. Zur Theorie des magnetischen Ringmodulators. Arch. elekt. bertr. 13, 486—494, 1959, Nr. 11. (Nov.) (Braunschweig.) Bei Annahme einer idealen Knickennlinie für den H-B-Verlauf wird das Ersatzschaltbild des magnetischen Ringmodulators abgeleitet. Daraus lassen sich dann seine Kennwerte berechnen. Insbesondere regibt sich für höhere Trägerfrequenzen eine Verstärkung für das Ausgangssignal. Bei der Demodulation verwandelt sich dieser Vorteil in den Nachteil einer Dämpfung, wenn er magnetische Ringmodulator mit dem Diodenmodulator verglichen wird. Aus der Diskussion der Meßergebnisse an einem praktisch ausgeführten Beispiel zeigt sich, daß lie zur Zeit zur Verfügung stehenden Ferritkerne nicht hinreichend ideal sind.

H. Völz.

- -645 B. L. Humphreys. The definition of noise factor when applied to systems contining negative resistance elements. J. Electronics (1) 7, 77-81, 1959, Nr. 1. (Juli.) Salfords, Surrey, Mullard Res. Labs.)

 Behnsch.
- -646 **P. G. Gorodetsky.** Parametric excitation of harmonic oscillations in linear oscillating contour under an aperiodic variation of its parameters. Sh. tech. Fis. **29**, 580-583, 959, Nr. 5. (Mai.) Theoretische Untersuchung des Verhaltens eines linearen Schwingungsreises, dessen Parameter r (t), L (t) und C (t) nichtperiodischen zeitlichen Änderungen nterworfen sind. In dem Fall, daß die Zeitabhängigkeit aller drei Parameter durch ine Abnahme proportional zu exp $(-\alpha t)$ beschrieben werden kann, können harmonische chwingungen entstehen, deren Stromamplitude exponentiell mit der Zeit anwächst abnimmt), wenn der konstante Wert $r/L = r_0/L_0 < \alpha$ (> α) ist.
- -647 H. S. Heaps and L. J. Mason. Optimum Tchebycheff third-order filters. Detection f pulsed signals in noise. Electron. Radio Engr 36, 388-391, 1959, Nr. 10. (Okt.) Halifax, Can., Novo Scotia Tech. Coll.) Vff. behandeln die Eigenschaften des dreitementigen Tchebycheff-Tiefpaßfilters zum Auffinden von Rechteckimpulsen im tatistisch weißen Rauschen. Der Einfluß von Impulslänge und Filterparametern wird erechnet und durch graphische Darstellungen erläutert. Es werden die Beziehungen für as Nutz-Stör-Verhältnis am Ausgang hergeleitet.

- 7-648 P. C. Hoell. Low-level de amplifier with whole-loop feedback. Rev. sci. Instrum. 29 1120-1124, 1958, Nr. 12. (Dez.) (Wilmington, Dela., du Pont de Nemours Co., Engn. Dep., Radiat. Phys. Lab.)
- 7-649 A. E. Siegman and R. J. Morris. Proposal for a "staircase" maser. Phys. Rev Letters 2, 302-303, 1959, Nr. 7. (1. Apr.) (Stanford, Calif., Univ., Electron. Lab.) Ei "Treppenhaus-Maser", bei dem die Oszillator-Frequenz angenähert doppelt so growie die Pumpfrequenz ist, kann durch Umkehrung des adiabatischen, schnellen Durch ganges eines paramagnetischen Überganges erzielt werden. Diskutiert ist ein Zwe Stufen-Beispiel des "Treppenhaus-Masers". Ausdehnung dieses Maser-Types aus mehrere Stufen soll möglich sein.
- G. J. Troup. The optimum line width for the transition used in a reflection cavit 7-650 maser amplifier. Aust. J. Phys. 12, 218-221, 1959, Nr. 3. (Sept.) (Salisbury, S. Aust Weapons Res, Est.) Die Bandbreite eines als Verstärker arbeitenden Resonanzhohlraun MASERS, innerhalb der eine konstante Verstärkung herrscht, ist stets beträchtlic kleiner als die Linienbreite des Resonanzüberganges. Es wird nun gezeigt, daß für eine gegebenen Hohlraum-Maser vom Reflexionstyp immer eine optimale Linienbreite de Resonanzüberganges besteht, innerhalb der man bei konstantem Gewinn eine maximal Verstärkungs-Bandbreite erhält. Der Wert dieser optimalen Linienbreite ist eine Funktio der verschiedenen Parameter des Molekülverstärkers (Frequenz, Füllfaktor für de aktive Medium), des Dipolmomentes des Überganges und der Konzentration der in oberen Niveau angereicherten überschüssigen Moleküle. Die theoretische Herleitun eines einfachen Ausdrucks für die optimale Linienbreite wird gegeben, das Ergebn diskutiert. Kurze Hinweise auf die experimentellen Möglichkeiten zur Erzielung diese Linienbreite werden gegeben. H. Bayer.
- 7-651 Henri Benoit. Un maser à résonance magnétique nucléaire. Ann. Phys., Paris (1: 4, 1439–1483, 1959, Nr. 11/12. (Nov./Dez.) (Paris, Univ., Fac. Sci.) Bei dem theoretise und experimentell ausführlich untersuchten Maser wird eine strömende Flüssigke (Wasser, Benzin) in einem starken Magnetfeld H_p (z. B. 7000 Gauß) polarisiert und urchströmt dann das hochfrequente magnetische Wechselfeld (10 Gauß) konstante Frequenz einer Spule, die im Streubereich des Magnetfeldes H_p angeordnet ist. An Ort geeigneter Feldstärke erfolgt die Umkehrung der Spins. Die Flüssigkeit ström dann durch eine 2,5 m von H_p entfernte zweite Spule, die einem Magnetfeld H_0 au gesetzt ist, und bringt einen auf $Q=35\,000$ entdämpften Schwingkreis zur Oszillatio (z. B. $H_0=3,3$ Gauß, 14,1 kHz). Anwendungsmöglichkeiten: Messung der Relaxation zeit T_D Messung schwacher Magnetfelder ($\geq 0,25$ Gauß) auf $2\cdot 10^{-4}$, Stabilisierung vor Magnetfeldern. 60 Literaturzitate.
- 7-652 B. Bölger, J. Ubbink and B. J. Robinson. A maser at 1420 MHz. Physica 2 164, 1958, Suppl. (Sept.) (Leiden, Kamerlingh Onnes Lab.) V. Weidemann.
- 7-653 Charles C. H. Tang. Electromagnetic back-scattering measurements by a tim separation method. Trans. Inst. Radio Engrs, N. Y. MTT-7, 209-213, 1959, Nr. (Apr.) (Cambridge, Mass., Harvard Univ., Gordon McKay Lab.) Die Eignung des Rückstreuverfahrens für Objekte beliebiger Gestalt und kleiner Streuquerschnitte in geringt Entfernungen wird untersucht. Das verwendete Mikrowellenpulsverfahren unterscheid sieh von den geläufigen dadurch, daß die reflektierte Welle sich nicht mit der primäre überlagert, wozu ein mit sehr kurzen Impulsen gespeistes magisches-T dient. Voläufige Ergebnisse an dünnen Metallscheiben stimmen mit der Theorie gut überein.

Huber.

7-654 H. M. Altschuler and L. O. Goldstone. On network representations of certa obstacles in waveguide regions. Trans. Inst. Radio Engrs, N. Y. MTT-7, 213-221, 195 Nr. 2. (Apr.) (Brooklyn, N. Y., Polytech. Inst., Microwave Res. Inst.) Falls das Beugung problem vom Vektortyp ist, kann die Netzwerkdarstellung durch Ansätze von E- ut H-Wellen gewonnen werden. Die speziellen Eigenschaften der Wellentypen werden a

960

eispiel eines Streifengitters bei schrägem Einfall im freien Raum untersucht. Die ransformationen, welche die sich aus verschiedenen Modenansätzen ergebenden letzwerkdarstellungen verknüpfen, werden im Cartesischen Koordinatensystem diskuiert.

Huber.

- dintergrund korrelierter Störungen. 11. Nichtkohärentes Wellenpaket. Radiotech. i Elektronika 4, 1071—1078, 1959, Nr. 7. (Juli.) (Orig. russ.) In Ergänzung zum ersten Teiler Arbeit (Radiotech. i Elektronika 4, 735, 1959) werden die optimalen Parameter eines impfängers berechnet, mit dem ein "flimmerndes Objekt" mit Hilfe eines nichtohärenten Wellenpakets auf dem Hintergrund des eigenen Rauschens oder anderer ormaler Störungen lokalisiert werden kann. Die Störungen sollen zwar eine genügende merperiodische Korrelation besitzen, jedoch nicht korreliert sein von einer Signaleriode zur anderen. Es werden sowohl exakte als auch angenäherte Ausdrücke für die Vahrscheinlichkeit des Auftretens unrichtiger Informationen und des Auffindens des flimmernden Objekts" bei einer quadratischen Akkumulation angegeben. Zuletzt erden die Empfängercharakteristiken für "schnell" und "langsam" flimmernde Objekte iskutiert.
- -656 Jens C. Zorn. Shorthand for electrical schematics. Amer. J. Phys. 26, 38-39, 958, Nr. 1. (Jan.) (New Haven, Conn., Univ.)
 Schön.
- -657 W. Fulop. The cut-off characteristics of magnetrons (static regime). J. Electronics 5, 531-548, 1958, Nr. 6. (Dez.) (Birmingham, Coll. Advanced Technol.) Vf. behreibt Versuche, die zur Erklärung des Essektes unternommen werden, daß Magnetrons ieder einen Anodenstrom zeigen, wenn die magnetische Feldstärke B groß wird gegen ie kritische Feldstärke, bei der normalerweise der Anodenstrom abreißt. Die Beingungen der Elektronen-Wechselwirkung, die für diese Erscheinung verantwortlich nd, werden besprochen und unter anderem gezeigt, daß andere Erklärungsversuche, ie ein thermodynamisches Gleichgewicht der Elektronenwolke voraussetzen, nicht zuressen können. Dieser Zustand wird nur bei extrem hohen Emissionsströmen anenähert erreicht.
- -658 P. T. Kirstein. Paraxial formulation of the equations of electrostatic space-charge ow. J. appl. Phys. 30, 967-975, 1959, Nr. 7. (Juli.) (Stanford, Calif., Univ., W. W. Iansen Labs Phys., Microwave Lab.) Es werden die Gleichungen eines elektrostatischen aumladungsflusses unter paraxialen Bedingungen hergeleitet. Ausführlich werden die igenschaften eines axialsymmetrischen, hohlen Strahls aus einer kegelförmigen, numladungsbegrenzten Kathode behandelt. Numerische Ergebnisse führen auf Strahlen itt einer relativ großen Perveauz (Raumladungskonstanten) und einem großen Konergenzgebiet. Durch die Anwendung dieser Rechenmethode auf praktische Fälle verbricht man sich wesentlich bessere Strahleigenschaften, als sie bisher erreicht wurden. Reich.
- -659 John A. Bradshaw. Electron beams in axially-symmetric crossed fields. Trans. nst. Radio Engrs, N.Y. ED-6, 257-261, 1959, Nr. 3. (Juli.) (Schenectady, N.Y., . E. Res. Lab.) Wanderwellenröhren vom M-Typ benutzen Elektronenstrahlen, die ch in gekreuzten elektrischen und magnetischen Feldern bewegen. In der von ARNECKE und DOEHLER (1950) unter dem Namen "Axiotron" veröffentlichten Röhre uft ein Elektronenstrahl von der Form eines Hohlzylinders parallel zur Achse der öhre in einem radialen-elektrischen Feld, welches von einem azimutalen (tangentialen) agnetischen Feld gekreuzt wird. Hier wird eine Röhre beschrieben, in der zu diesen eldern noch ein axiales Magnetfeld addiert wird, so daß ein wendelförmiges Magnetfeld ntsteht. Das Verhalten eines hohlzylinderförmigen Elektronenstrahls, der in laminarer trömung durch die beschriebenen gekreuzten Felder fließt, wird beschrieben. Ein tabilitätsindex für Elektronenbahnen wird definiert, und vier Strahltypen werden nterschieden. Der Stabilitätsindex wird berechnet und die Raumladungsverteilung für e vier Strahltypen als Funktion der Amplituden und Richtungen der Felder und der lektronendriftgeschwindigkeit angegeben. Die Elektronendichte hat im allgemeinen r Maximum am inneren Radius des Strahls, es lassen sich aber stabile Strahlen mit

einer annähernd gleichmäßigen Elektronendichte erzielen. Die Arbeit befaßt sich nicht mit den Problemen der Erzeugung des Hohlrohrstrahles und mit Instabilitäten der Strahles. Macek.

James L. Palmer. Laminar flow in magnetically-focused cylindrical electron beams 7-660 Trans, Inst. Radio Engrs, N. Y. ED-6, 262-269, 1959, Nr. 3. (Juli.) (Berkeley, Univ Calif., Electron. Res. Lab.) Nach einer Erklärung der verschiedenen Arten laminare Strömung eines Elektronenstrahls in einem magnetischen Feld wird als Aufgab dieser Arbeit die Entwicklung einer allgemeinen Theorie bezeichnet, die für alle lami naren Strömungstypen anwendbar ist. Die Theorie wird für einen hohlzylinderförmige Elektronenstrahl entwickelt, da der zylindrische Elektronenstrahl nur ein Sonderfall davor ist, bei dem der innere Radius Null wird. Durch numerische Integration der Bewegungs gleichungen der Elektronen werden die maximalen und minimalen Radien der Bahn abweichungen der Elektronen und die Wellenlänge ihrer Schwingungen in graphische Form für verschiedene Grenzbedingungen dargestellt. Durch geeignete Wahl der Grenz bedingungen, z. B. der magnetischen Feldstärke an der Kathode, werden die verschie denen Strömungstypen unterschieden. Die durch ungeeignete Injektionsbedingunge verursachten Störungen können direkt von den graphischen Darstellungen abgelese werden. Die Empfindlichkeit verschiedener Arten laminarer Strömung auf schlecht ge wählte Randbedingungen wird klar gezeigt. Zum Beispiel ist die Amplitude der Schwin gungen bei BRILLOUINscher Strömung sehr empfindlich gegen die Einstellung de magnetischen Feldstärke, während eine Strömungsart, bei der der ganze Strahl von de Kathode bis zum Auffänger in einem gleichförmigen Magnetfeld verläuft ("eingetauchte Strömung) gegen Änderungen der magnetischen Feldstärke wenig Empfindlichkeit de Amplitude der Schwingungen zeigt. Macek.

X. Aufbau der Materie

7-661 A. M. Hillas and R. M. Tennent. High speed counter chronometer. Nuclea Instrum. 3, 344-349, 1958, Nr. 6. (Dez.) (Univ. Leeds.) Ein schneller 28-Untersetze zählt die Schwingungen eines freilaufenden quarzstabilisierten 20-MHz-Generator: Die H.F.-Schwingungen werden mit Hilfe von zwei Torkreisen nur während der Daue des zu bestimmenden Zeitintervalles gezählt. (Mit Intervallen zwischen 5·10-8 un 12,75·10-6 sec.) Es werden übliche H.F.-Pentoden und Germaniumdioden benutzt. Die Wirkungsweise und wichtige Details des Aufbaues werden an Hand der Schaltunge diskutiert. Die Registrierung erfolgt über Neonlämpchen auf photographischem Wege Bernhard.

7-662 K. P. Meyer, P. Schmid und P. Huber. Absolut-Messung radioaktiver Quellstärke mit Hilfe einer Neugestaltung der Koinzidenzmethode. Helv. phys. Acta 32, 423-444 1959, Nr. 5. (Basel, Univ., Phys. Inst.) Vff. haben, als Gegenstück zur 4 πβγ-Koinz denzanordnung, eine Koinzidenzmethodik entwickelt, die im wesentlichen durch di Einhaltung von zwei Bedingungen charakterisiert ist: Die Ansprechwahrscheinlich keiten in beiden Zählkanälen werden unter 1% gehalten, und in einem Kanal (oder i beiden) müssen diese Wahrscheinlichkeiten für beide Strahlenarten innerhalb 109 gleich sein. In diesem Falle verschwinden in dem Ausdruck für die Zerfallsrate der ge messenen Quelle die Ansprechwahrscheinlichkeit und der Raumwinkel. Die erste Be dingung wird am einfachsten durch entsprechende Geometrie erfüllt, die zweite durch ge eignete Diskriminierung (Kristallzähler für β-Strahlen), Absorption oder dgl. Die Method ist allgemein auf solche Zerfallsschemata anwendbar, bei denen alle Zerfälle über eine gemeinsamen Zwischenzustand führen, oder bei denen die Häufigkeit eines seltene Nebenzweiges bekannt ist und die Registrierung dieser Strahlung experimentell unte drückt werden kann. Im weiteren werden die Fehler der Methode und solche, die durc endliche Ausdehnung der Quelle, durch Winkelkorrelation, durch Streukoinzidenzei durch Totzeit und endliches Auflösungsvermögen entstehen, diskutiert. Ohne grof Schwierigkeiten sollen Genauigkeiten von 0,5% erreicht werden. Zur Zählung der Ein 60

elimpulse und der Koinzidenzen empfehlen Vff. eine "schnell-langsam"-Koinzidenzandnung. An Stelle unübersichtlicher Korrektionen an Einzelzählraten aus Modellvorellungen heraus wurde das endliche Auflösungsvermögen, einschließlich der zufälligen oinzidenzen, pauschal durch einen Potenzreihenansatz berücksichtigt. Die benötigten oeffizienten lieferten Messungen an mehreren bekannten oder an einer mit bekannter albwertszeit abklingenden Quelle. Für ²⁴Na, ⁶⁰Co, ²²Na und ¹⁹⁸Au sind Einzelheiten ber zweckmäßige Anordnung, Justierung, Korrektionen und Fehler enthalten.

Ramthun

- -663 Fazle Hosain. On the choice of planchets for radioactive sample preparation in time low level tracer work. Naturwissenschaften 46, 139, 1959, Nr. 4. (Febr.) (Calcutta, ast. Nucl. Phys.) Bei der Messung kleinster Mengen radioaktiver Stoffe in Durchflußihlern hängt der Nullessekt u. a. vom Material der Schälchen ab, auf denen die Proben den Zähler gebracht werden. Vf. berichtet von seinen Erfahrungen mit verschiedenen ehälchenmaterialien.
- -664 H. Pupke und G. Wauschkun. Exo-Elektronenemission nach Polwechsel im Zählohr. Exp. Tech. Phys. 7, 142—144, 1959, Nr. 3. (Berlin, Akad. Wiss., Inst. Med. u.
 iol.) Ausgehend von der Tatsache, daß eine Gasentladung eine Exoelektronenemission
 uslöst, wurde ein Zählrohr zwischendurch umgekehrt (Wand positiv) gepolt. Dabei erolgte eine Feldemission aus dem 60 μ dicken Wolframdraht. Nach normaler Polung
 urde eine extrem erhöhte, zeitlich abklingende Impulsrate gemessen. Nach Ansicht
 er Vff. beeinflussen die Feldelektronen die Energieverteilung der Störstellenniveaus
 der Graphitwand, aus denen bei normaler Polung die Feldelektronenemission erfolgt.

 Hora.
- echema-Monogr. 30, 1958, Nr. 411—425, S. 177—184. (Göttingen, Kernreaktor Bau-Betriebsges., Isotopenlab.) Nach der Erläuterung einzelner Begriffe wie Ansprechahrscheinlichkeit und Empfindlichkeit von Zählrohren, Selbstabsorption, Raumwinkelsw. werden die bei den verschiedenen radioaktiven Substanzen anzuwendenden Meßerfahren und Geräte besprochen.
- -666 R. L. Weatherford and T. E. Larson. Preparation of suspended solids samples for adioactivity counting. Analyt. Chem. 31, 1931, 1959, Nr. 11. (Nov.) (Urbana, Ill. State Vater Survey.) Vff. verwenden ein Zellulosefilter zum Abfiltrieren von festen Schweboffen aus Oberflächenwässern. Zur Messung im Durchflußzähler trocknen sie das bedene Filter und lösen es dann in der Meßschale in Aceton auf. Das entstehende Zellusacetat bindet die Schwebstoffe fest an die Meßschale und verhindert damit Verluste im Hantieren und im Zähler.

 H. D. Schulz.
- -667 S. Abid Husain and A. A. Jaffe. The proportional counter as a charged particle pectrometer. Nuclear Instrum. 6, 50-56, 1959, Nr. 1. (Dez.) (Manchester, Engl., Univ., hys. Labs.) Proportionalzählrohre, in Verbindung mit einem Impulshöhenanalysator, urden zur Messung niederenergetischer β- und γ-Strahlung vielfach verwendet. Dagen wurden sie bislang, außer bei α-Teilchen, nicht für Untersuchungen der Spektren eladener Teilchen aus Kernreaktionen benutzt. Vorliegende Arbeit beschreibt ein reportionalzählrohr, das als Protonenspektrometer im Energiebereich zwischen 4 und MeV dient. Untergrund durch γ-Strahlung und schnelle Neutronen stört im vorliegenen Fall nicht. Das erreichbare Auflösungsvermögen ist etwa um einen Faktor 2 besser das, welches mit einem Szintillationszähler erhalten wird. Bei Experimenten mit MeV Protonen wurde eine Energieauflösung von 1,6% erreicht.
- Jean Kern et 0. Huber. Amélioration du plateau des compteurs G. M. à remplissage gon-alcool. Helv. phys. Acta 32, 332—338, 1959, Nr. 4. (S. B.) (Fribourg, Univ., Inst. bys.) An Zählrohren mit Feldröhrchen wurde die Steigung und die Länge des Plateaus Abhängigkeit von den Spannungsverhältnissen, dem Zähldrahtdurchmesser und deren geometrischen Eigenschaften systematisch untersucht. Die dabei gewonnenen rfahrungen wurden benutzt, um für ein β-Spektrometer ein Zählrohr mit 24 × 24 mm² oßem Glimmerfenster zu konstruieren, bei dem die Steigung des Plateaus 0,5% pro

100 Volt, seine Länge etwa 150 V beträgt (gesamter Fülldruck 100 Torr, davon 16 Tor Alkohol, kollimierte Strahlung).

S. Wagner:

- 7-669 **D. Prosperi** and **S. Sciuti.** A multi-purpose 2π counter. Nuovo Cim. (10) 13, 76 bis 777, 1959, Nr. 4. (16. Aug.) (Roma, 1st. Naz. Fis. Nucl., Div. Geomin. CNRN, Lak Fis.) Es wird ein Zähler mit sphärischer Symmetrie beschrieben, der als Durchfluk zähler im Proportionalbereich (Füllung: 90% A, 10% $C_4 H_{10}$) oder als Ionisationskamme betrieben werden kann, wobei für α -Teilchen ein gutes energetisches Auflösungsvermöge auch bei ausgedehnten Quellen erreicht wird. Die Abhängigkeit der Impulsform von de Emissionsrichtung eines α -Teilchens wird für eine punktförmige Quelle berechnet un gute Übereinstimmung mit dem Experiment gefunden. Diese Abhängigkeit kann dem zufolge für Untersuchungen von α - γ -Korrelationen benutzt werden.
- 7-670 P. G. Guest. Methods for numerical calculations with the type I counter. Austr. . Phys. 11, 143-453, 1958, Nr. 2. (Juni.) (Sydney, Univ., Phys. Dep.) Für Typ I-Zähle bei denen nach jedem Zählvorgang der Zähler für eine feste Zeit unempfindlich ist, we den Zählraten, Erwartungswerte und Streuung berechnet. V. Weidemann.
- 7-671 O. F. Nemetz, E. A. Pavlenko and M. V. Sokolov. On the calculation of ionization chambers with gratings. Ukrain. fis. Sh. RSR 3, 837-839, 1958, Nr. 6. (Orig. russ.)
- 7 672 D. Lieberman. Radiation-induced cavitation. Phys. Fluids 2, 466-468, 1953. Nr. 4. (Juli/Aug.) (Los Angeles, Calif., Univ.) Vf. untersuchte den Einfluß von Postronen- und Neutroneneinstrahlung auf den Kavitationseinsatz bei Pentan und Acetor Die Beobachtungen wurden in einer kugeligen Kochflasche von 12 l Inhalt ausgeführ in der mittels eines Magnetostriktionsschwingers Radialschwingungen der 5., 6. un 7. Ordnung erzeugt wurden. Der maximale Schalldruck betrug 22 bar. Während d Positronenbestrahlung keinen erkennbaren Einfluß auf die Kavitationsschwelle hatt wurde der Schwellwert bei Neutronen von mehr als 22 bar auf 3,5 bar bei Pentan un 6,5 bar bei Aceton herabgesetzt. Die beobachtete Kavitation wird auf Rückstoß-Ionen in Pentan zurückgeführt. Die Ergebnisse wurden mit Rechnungen auf Grund de Seitzschen Modells verglichen. Es ergab sich eine größenordnungsmäßige Übereinstin mung mit den Beobachtungen.
- 7-673 R. Budde, A. Burger, H. Filthuth, Y. Goldschmidt-Clermont, H. M. Mayer, D. I. O. Morrison, Ch. Peyrou and J. Trembley. Track distortion in a liquid hydrogen bubb chamber. Nuovo Cim. (10) 14, 778–786, 1959, Nr. 4, (16, Nov.) (Genève, CERN.) D. 270 MeV π -Strahl des CERN-Synchro-Zyklotrons wird so abgelenkt, daß er ein zykindrische (ϕ = 10 cm) Blasenkammer, die mit flüssigem Wasserstoff gekühlt ist, zu Gänze durchläuft. Die Spuren dieses Strahles werden registriert und mit Hilfe des IE (Gerät zur Auswertung von Photographien) ausgewertet. Als Test für die Spurenverformung wird entlang der Meßpunkte eine Parabel konstruiert und die Abweichungen daßpunkte von der Parabel berechnet. Diese stellen ein Maß für die Spurenverformundar, Mit einer Verzögerung von 1 und 2 msec ist die Krümmung der Parabel im Mitte bereich der Blasenkammer so, wie sie einer Vielfachstreuung entspricht. Dies zeigt, da die zur Thermostatierung verwendeten Konvektionsströme im eigentlichen Kamme volumen keine Spurenverformung hervorrufen. W. Kunz.
- 7-674 K. Gottstein. Die Blusenkammer und ihre Anwendung in der Physik der Eleme tarteilehen. Naturwissenschaften 46, 97-102, 1959, Nr. 3. (Febr.) (München, Ma Planck-Inst. Phys. Astrophys.) V. Weidemann.
- 7-675 G. Riedel. Kernspurpräparation für elektronenmikroskopische Untersuchunge Naturwissenschaften 46, 529-530, 1959, Nr. 18. (Sept.) (Aachen, Ges. Förder. ker phys. Forsch. e. V., Arbeitsgr., Inst. Reaktorelemente".) Radioaktiver Staub wurde a einer Membran aufgefangen und mit einer photographischen Kernspuremulsion übe zogen, die nach der Exposition entwickelt und fixiert wurde. Auf das so gewonne Präparat wurde eine Kohlenstoffmembran aufgedampft. Während des vorsichtig Weglösens der Gelatine sammelt das Kohlehäutchen alle mit ihm in Berührung kol

enden Silberteilchen und fixiert dieselben. Ein nach diesem Verfahren gewonnenes ektronenmikroskopisches Bild der von einem radioaktiven Teilchen in verschiedene ichtungen ausgehenden Kernspuren wird in 1300facher und 10700facher Vergrößerung ezeigt.

-676 Emulsion work with the CERN 25 GeV proton synchrotron. Report of Meeting held CERN, Geneva, on 15th and 16th January 1959. CERN 1959, Nr. 59-13, (März.) 1-82. Behandelte Themen: 1. Das Protonen-Synchrotron und der Bündel-Transport, experimentelle Programme, 3. Behandlung und Eigenschaften von Emulsionen, Mikroskope, 5. Mechanisierung der Mikroskoparbeit.

-677 E. Bujdosó and L. Medveczky. Apparatus for processing nuclear emulsions. Juclear Instrum. 2, 270-274, 1958, Nr. 3. (Apr.) (Debrecen, Hungarian Acad. Sci., ast. Nucl. Res.) Beschreibung einer Präzisionsentwicklerapparatur. An Hand der Enticklung einer Agfa K2 Emulsion wird die Arbeitsweise veranschaulicht.

Walz.

-678 W. Lohmann. Apparatus for the development of nuclear emulsion plates. Nuclear astrum. 5, 194-195, 1959, Nr. 3. (Sept.) (Frankfurt/M., Max-Planck-Inst. Biophys.) ie Kernemulsionsplatten werden während des Entwicklungsprozesses auf einem pervierten Plattenhalter horizontal festgehalten. Der Plattenhalter befindet sich in einem färmeisolierten und durch umlaufendes Wasser wärmestabilisierten lichtdichten Enticklertank, in den von oben die auf konstanter Temperatur gehaltenen Badflüssigkeiten ach Wahl eingeleitet werden. Der Tank steht auf einem Schütteltisch, dessen Freuenz so eingestellt wird, daß die Flüssigkeitsströmung im Tank laminar bleibt.

. H. Oertel.

- -679 Brigitte Dépaux et Tsai-Chü. Calcul de la constante de diffusion multiple et du cuit de fond dans la méthode du centre de gravité. C. R. Acad. Sci. Paris 249, 2187—2188, 959, Nr. 21. (23. Nov.) Ausgangspunkt Koordinatenverfahren nach MOLIBRE zur uswertung von Bahnspuren in Kernemulsionen. Aufstellung von Beziehungen zwischen er zweiten Differenz der Sehnenlängen, der Vielfachstreuung und dem Untergrund der nechten Streuung.

 G. Schumann.
- -680 G. B. Shdanow, P. K. Markow, W. N. Strelzow, M. I. Tretjakowa, Chen Pu-in nd N. G. Schafranowa. Sekundärsterne bei der Wechselwirkung von 8,7 GeV-Protonen mit mulsionskernen. Sh. exp. teor. Fis. 37, 611-616, 1959, Nr. 3. (Orig. russ.) Vff. verichten, die Energie der schnellen Nukleonen und Pionen abzuschätzen, die durch 7 GeV-Protonen in einer Emulsion erzeugt werden. Als Sekundärsterne wurden die terne betrachtet, die keine Spur eines schnellen Teilchens (mit einer Ionisierung unteralb $1,40~\mathrm{J_0}$) mit einem Winkel in der Emulsionsebene von $178-180^\circ$ gegen die Richtung er Primärprotonen hatten. Die 677 beobachteten Sekundärsterne mit einem oder meheren schnellen Teilchen wurden folgendermaßen eingeteilt: 1. Wenigstens ein schnelles eilchen zwischen 90 und 178: Stern erzeugt durch geladenes Sekundärteilchen (Fehler der Abschätzung der Zahl dieser Sterne \pm 1%); 2. Schnelle Teilchen nur zwischen 0 nd 90: Stern erzeugt durch ein schnelles Neutron (oberhalb 500 MeV). Die Anzahl der on Neutronen erzeugten Sterne ist um 18 \pm 8% zu hoch, hauptsächlich infolge schneller eladener Sekundärteilchen, die rückwärts fliegen. Bei der Wechselwirkung von 8,7 GeVrotonen kommen im Mittel auf den Stern 0.68 ± 0.07 schnelle Neutronen (oberhalb 00 MeV; Gesamtenergie dieser Neutronen (3.5 ± 0.5) GeV). Falls die Anzahl der schneln Protonen und Neutronen pro Stern und ihre mittleren Energien gleich sind, führen chnelle Nukleonen 55 + 9% der Primärenergie ab. Im Mittel werden pro Wechselirkung 3,8 + 0,3 schnelle Pionen, einschließlich neutrale, oberhalb 80 MeV erzeugt; are mittlere Gesamtenergie ist (0.8 ± 0.2) GeV. Die Winkelverteilung der schnellen gedenen Tertiärteilchen in den Sekundärsternen zeugt davon, daß unter den Sekundärpilchen, die unter ≤ 10° zur Richtung des Primärprotons fliegen, etwa 80% Nukleonen nd.
- -681 G. W. Shdanow, W. M. Maximenko, M. I. Tretjakowa und M. N. Schtscherbakowa. Gernwechselwirkungen von 8,7 GeV-Protonen in Emulsionen. Sh. exp. teor. Fis. 37,

620-633, 1959, Nr. 3. (Orig. russ.) Durch Auswertung eines kleinen Teils eines Photo emulsionspacks, der im Synchrophasotron von Dubna innerhalb der Beschleunigungs kammer mit einem direkten 8,7 GeV-Protonenstrahl beschossen worden war, wurden di unelastischen Wechselwirkungen der Protonen mit Emulsionskernen, speziell der Wech selwirkungsquerschnitt, die Vielfachheit der Teilchenerzeugung und ihre Winkelver teilung untersucht. In den etwa 450 μ dicken NIKFI-R-Schichten fanden sich Spure relativistischer Teilchen mit Korndichten von 27-30 Körnern auf 100 μ; es wurde etwa 25000 Spuren mit einer Gesamtlänge von etwa 300 m ausgewertet. Die Wegläng für die unelastische Wechselwirkung der 8,7 GeV-Protonen betrug 34 ± 2 cm. Bei de Wechselwirkung entstehen ziemlich viele (\$\approx 15\%), Sterne", die sich auf peripher Nukleon-Nukleon-Wechselwirkung zurückführen lassen; sie sind durch geringe Zal schneller Teilchen ($u_s=1-2$) gekennzeichnet, die unter kleinen Winkeln (im Mittel ${f 5}^c$ zur Primärrichtung emittiert werden. "Reine" Umladungsprozesse, d. h. Wechsel wirkungen ohne Entstehung schneller geladener Teilchen, machen etwa 3% aus. Ei wesentlicher Teil (etwa 25%) der Wechselwirkungen läßt sich an Hand von Winkel verteilung und mittlerer Vielfachheit der Erzeugung schneller Teilchen nicht von Nukleon-Nukleon-Wechselwirkungen nach der üblichen statistischen Theorie unter scheiden. Die Winkelverteilung der "grauen" Spuren hängt nur sehr schwach von de Winkelverteilung der schnellen Teilchen ab und weicht wenig von der Verteilung ab, di 1,5 GeV-Pionen einer Photoemulsion erzeugen. Man kann vermuten, daß die "grauen Teilehen hier hauptsächlich aus der sekundären Wechselwirkung von Pionen um 1 Ge stammen. Die monotone Verbreiterung der Winkelverteilungen mit zunehmender Viel fachheit der Erzeugung schneller Teilchen entspricht einem Mechanismus, der zwische einer aufeinanderfolgenden und einer gleichzeitigen Wechselwirkung des Primärnukleon Vogel. mit den Kernnukleonen liegt.

W. I. Ostroumow und R. A. Filow. Herausschlagen von α-Teilchen aus Kerne durch schnelle Nukleonen. Sh. exp. teor. Fis. 37, 643-650, 1959, Nr. 3. (Orig. russ.) Di Vorstellungen von Serber-Goldberger über individuelle Stöße des einfallenden Tei chens mit den Nukleonen des Kern-Fermi-Gases müssen durch das Modell von Brück NER ergänzt werden, nach dem im Kern mehr oder weniger stabile Komplexe (α-Tei chen u. a.) existicren, die als Ganzes wechselwirken. Vff. untersuchen die Existenz vo α-Teilchen innerhalb des Kerns, die in einem Kaskadenprozeß als Ganzes mitwirke können. Um den Einfluß verdampfter Teilchen auszuschalten, betrachten sie nur di Zertrümmerung von Emulsionskernen, bei der α-Teilchen oberhalb 30 MeV heraus fliegen. Die gefundenen Meßwerte über den Emissionsquerschnitt werden mit de theoretischen Querschnitten für elastische Stöße von Nukleonen mit α-Teilchen unte Berücksichtigung von deren Eigenbewegung verglichen. Zum Beschuß dienten Protone mit den Energien 100, 140, 200, 360 und 660 MeV. Hauptergebnis ist eine Größe w, di das Verhältnis der effektiv vorhandenen zur maximal möglichen Auzahl von α-Gruppe in der Oberflächenschicht des Kerns (von der Dicke einer freien Weglänge des α-Teilcher im Kern) darstellt. Wie sich zeigt, hängt w nur wenig von der Primärenergie ab, wa das benutzte Modell rechtfertigt. Die Wahrscheinlichkeit zur Bildung von α-Gruppen is in leichten Kernen wie C12 und O16 beträchtlich, ebenso im diffusen Gebiet schwere Kerne. Da nach den Ergebnissen der Vff. große Ähnlichkeit zwischen der Emissic schneller α-Teilchen und der Emission schwererer Fragmente besteht, nehmen sie a daß auch mehrfach geladene Teilchen aus dem Kern hauptsächlich durch elastisch oder quasielastische Stöße der Nukleonen mit den entsprechenden momentanen Stru turen im Kern herausgeschlagen werden. Vogel.

7-683 Lawrence Ruby and Joseph B. Rechen. An efficient counting system for the detection of neutrons from low-yield pulsed neutron sources. Nuclear Sci. Engng 6, 272-278, 195 Nr. 4. (Okt.) (Berkeley, Calif., Univ., Lawrence Radiat. Lab.) Als Moderator und Szinti lator für eine gepulste Neutronenquelle wurde u. a. ein Kunststoffzylinder (p-Terphen in Polystyrol) von 7 Zoll Durchmesser und 10 Zoll Länge benutzt. Die von der 2,2 Mel γ-Einfangstrahlung erzeugten Lichtimpulse wurden auf vier parallelgeschaltete Verviefacher gegeben. Deren verstärkte Ausgangsimpulse wurden mittels eines 10 MH Zählgeräts jeweils während eines nach Stoßbeginn verzögerten Schleusenimpulses von

300 μs Breite gezählt, innerhalb dessen 7/8 der Stoßausbeute eintreffen, während der Nulleffekt nur rd. 0,05 Imp. liefert. Von 10³ Neutronen/Stoß aufwärts ist statistisch brauchbare Information erhältlich. Absolutkalibrierung der Anordnung wurde vorwiegend durch Vergleich mit Ag-Folienaktivierungsmessung durchgeführt und soll stabil und reproduzierbar sein. Gemessene Zählausbeuten betrugen bei 8 Zoll Abstand Quelle-Detektorfläche: 0,271% für 2,5 MeV- und 0,120% für 14 MeV-Neutronen.

W. Schneider.

- -684 J. P. Longequeue. Spectromètre à scintillations et à paires pour des rayonnements d'énergie jusqu' à 20 MeV. Suppl. J. Phys. Radium 20, 37 A—40 A, 1959, Nr. 4. Apr.) (Grenoble, Univ., C. E. N., Lab. Phys. Nucl.) Es wird ein Paarspektrometer mit rei Szintillatoren beschrieben, mit dem γ-Quanten im Intervall von 2 bis 30 MeV mit iner Auflösung von 10% bis 6,5% und einem Wirkungsgrad von 17 bis 2·10-4 registriert rerden. Diese Daten sind besser als diejenigen älterer Geräte dieses Typs. Einige genessene γ-Spektren werden angegeben.
- 7-685 **B. Leontic.** Solid and liquid Čerenkov counters. CERN 1959, Nr. 59-14, (10. Apr.) 1-20. Die Eigenschaften einiger Zählerformen für hochenergetische Protonen werden iskutiert.

 S. Wagner.
- -686 Jorge Rosenblatt. Design of alternating gradient quadrupole lenses. Nuclear Intrum. 5, 152-155, 1959, Nr. 3. (Sept.) (Buenos Aires, Com. Nac. Energ. Atóm.) Da es nalytisch nicht möglich ist, die interessierenden Feld-, Abstands- und Asymmetriearameter einer Linse, die aus zwei elektrischen oder magnetischen Quadrupolen mit rechselndem Gradienten besteht, aus den Matrixelementen des Abbildungs-Gleichungsystems zu berechnen, wird unter Benutzung bekannter Grundbeziehungen der geotetrischen Optik ein graphisches Verfahren entwickelt, das in sukzessiver Approxination die Feldparameter zu bestimmen gestattet, wenn Objekt und Bildlage, Asymmetrie, Dicke und Abstand der Quadrupole vorgegeben sind. Die graphische Approxination erfordert wenig Aufwand, während die Aufstellung der notwendigen Funktionen chwierig und mühsam ist.
- -687 K. A. Dolmatova and V. M. Kelman. A longitudinal β-spectrometer with compentated spherical aberration. Nuclear Instrum. 5, 269–279, 1959, Nr. 5. (Nov.) (Leningrad, cad. Sci., Phys.-Tech. Inst.) Zur Kompensation der sphärischen Aberration in einem insenspektrometer wird dem Magnetfeld ein korrigierendes Feld überlagert, das von inem speziellen Spulensystem im Innern des Geräts erzeugt wird. Theoretische und sperimentelle Untersuchungen über die Fokussierungseigenschaften zeigen, daß die compensationsspule eine merkliche Verringerung der sphärischen Aberration ergibt. lit einer Flächenquelle von 1×1 mm² wurde dabei eine relative Halbwertsbreite von 4%, eine effektive Transmission von 5,2% erhalten. Bei einem Auflösungsvermögen on 1,9% betrug die effektive Transmission 6,5%. Bei einer Flächenquelle von 5 mm φ etrug das Auflösungsvermögen 3%.
- -688 J. M. McKenzie and D. A. Bromley. Gold-germanium junctions as particle spectroeters. Proc. Instn elect. Engrs (B) 106, 731-734, 1959, Suppl. Nr. 16. Es wird ein Goldermanium p-n-Sperrschicht-Detektor für Protonen, Deuteronen, α-Teilchen und chwere Ionen beschrieben. Unter der Voraussetzung, daß die Reichweite der Teilchen leiner ist als die effektive Dicke der Sperrschicht, ist der Ausgangsimpuls proportional ir Energie der einfallenden Teilchen. Die Impulshöhe ist unabhängig von der Art des eilchens, wenn die Vorspannung an der Sperrschicht oberhalb eines Minimalwertes chalten wird (ca. 1 V). Bei festgehaltener Vorspannung ist keine Temperaturabhängigeit vorhanden, aber mit fallender Temperatur wird das Signal-Rausch-Verhältnis besser. ei der Temperatur von flüssigem Stickstoff ergab sich ein Auflösungsvermögen von -3% für 5 MeV lpha-Teilchen. Ein Wert von (2,84 \pm 0,12) eV wurde für die Energie, die ir Bildung eines Elektron-Loch-Paares erforderlich ist, erhalten. Die Anstiegszeit der npulse ist kleiner als 3 nsec. Als besondere Vorteile gelten: Kurze Anstiegszeit, kleine imensionen, Fehlen von Vakuumproblemen wegen der niedrigen Spannungen, Fehlen on Fenstern, Stabilität, sowohl zeitlich als auch bei hohen Zählraten, Unempfindlicheit gegenüber γ-Strahlung und Neutronen.

7-689 L. v. Erichsen. Über das Verhalten metallischer Oberflächen gegenüber radioaktiver Schwefelwasserstoff. Dechema-Monogr. 30, 1958, Nr. 411-425, S. 82-89. (Bonn, Universitäte Phys. Chem.) Verschiedene Metalloberflächen wurden hinsichtlich der irreversible Festlegung radioaktiven Schwefelwasserstoffs bei Zimmertemperatur geprüft. Nac einer kurzen Beschreibung der Darstellungsmethode für das H₂S* werden die Versuchergebnisse für die Zeitabhängigkeit der Aktivitätszunahme an den verschiedene Metallen wiedergegeben. Die Meßergebnisse werden kurz interpretiert und ihre praktische Anwendbarkeit für die S³⁵-Meßtechnik und für Korrosionsfragen gestreift. (Zfr. S. Wagner.

7-690 H. Baddenhausen, H. Götte und L. Wiesner. Die Herstellung radioaktiv markierte Farbstoffe, ausgehend von Benzol, das aus ¹⁴C-Acetylen gewonnen ist. Beitr. z. Physik i Chemie d. 20. Jahrh. Lise Meitner, Otto Hahn, Max v. Laue z. 80. Geburtstag. Fried Vieweg u. Sohn, Braunschweig, 1959, S. 135—144. (Mainz, Max-Planck-Inst. Cheme Durch Cyclisieren von ¹⁴C-Acetylen nach Reppe (W. Reppe u. W. J. Schweckendiece Ann. Chem. 560, 104, 1948) wird ¹⁴C-Benzol in Mengen unter 1 mMol hergestellt. Di Isolierung erfolgt an einer Vakuumapparatur. Als nichtisotoper Träger für die geringe Benzolmengen dient Hexan. Es werden Ausbeuten bis zu 86%, bezogen auf das bis z 50% umgesetzte Acetylen, erzielt. Um im Kern des Azobenzols markierte einfach Azofarbstoffe zu erhalten, wird das Benzol nach bekannten Methoden nitriert, das ent standene Nitrobenzol reduziert und das Amingemisch papierchromatographisch getrennt. Das Anilin wird auf dem Papierstreifen diazotiert und zu Farbstoff gekuppelder mit Wasser-Alkohol-Mischung eluiert werden kann. Die Ausbeuten betragen unter den vorliegenden Bedingungen etwa 15% des Anilins.

Baddenhausen.

7-691 D. A. Trageser. Engineering methods for electron-beam processing. Nuclear It strum. 6, 26-32, 1959, Nr. 1. (Dez.) Es werden einige grundsätzliche Gesichtspunkt für den Einsatz von Hochleistungs-Bestrahlungsgeräten mit beschleunigten Elektrone im Rahmen von Fertigungsprozessen erörtert. Geräte für 0,5 bis 2 MeV (10 bis 100 kW und 3 bis 9 MeV (5 kW) befinden sich in der Entwicklung. Außer Hinweisen auf di (ökonomisch) günstigste räumliche Führung des Bestrahlungsprozesses werden Methoden zur Steigerung der Strahlausnutzung diskutiert: 1. Strahlinversion (das Objektwird da durch gleichzeitig von zwei Seitenbestrahlt, daß jede Hälfte des flächenhaften Elektroner strahls durch je ein zur Strahlfläche senkrecht stehendes Magnetfeld um 90° abgelenk wird, so daß die Elektronen in der Mittelebene gegeneinander treffen). 2. Intermittierend Filter zur Verbesserung der Dosisverteilung (für einen 2 MeV-Strahl ist ein 250 mg/cn Filter bei 33,3%jeger Strahlunterbrechung optimal). Unter Verwendung dünnwandige hochgradig zerreißfester Rohre ist die Behandlung strömender Flüssigkeiten unte Drucken von 40 Atm (90%jege Strahlausnutzung) oder 75 Atm (50% Ausbeute) möglich K. H. Oertel.

7-692 L. N. Posik. The radiation field of a rectangular parallelepipedal self-absorbin source. J. nuclear Energy 9, 250-251, 1959, Nr. 1/4. (Juni.) Unter Berücksichtigung de Selbstabsorption des Quellenmaterials wurde das Strahlungsfeld einer quaderförmige Quelle berechnet. Dabei wurden zur Vereinfachung die spektrale Zusammensetzung de Primärstrahlung nicht berücksichtigt, die Selbstabsorption als exponentiell anwachsen und eine gleichmäßige Verteilung des aktiven Materials in der Quelle angenommen. I wurden numerische Werte für verschiedene Abmessungen der Quelle und verschieder γ-Absorptionskoeffizienten angegeben.

7-693 P. Kusch. Relative detection efficiency of LiBr and $(LiBr)_2$. J. chem. Phys. 2 1075—1078, 1958, Nr. 6. (Juni.) (New York, N. Y., Columbia Univ., Dep. Phys.) V studierte die relative Ausbeute für die Erzeugung von positiven Ionen, wenn LiBr-ur $(LiBr)_2$ -Moleküle auf erhitzten Wolframdraht auftreffen. Die Apparatur entsprach i wesentlichen der von MILLER und KUSCH (J. chem. Phys. 25, 860, 1956). Nach frühert Vermutungen sollte ein Molekül vom Typ $(LiBr)_n$, das auf einen genügend heißen Drah Detektor auftrifft, eine Ionenergiebigkeit liefern, die proportional der Zahl n ist. Dexperimentellen Untersuchungen ergaben nun für das Verhältnis der Zahl der Iont von den Molekülen $(LiBr)_2$ und (LiBr) den Wert 2,0 \pm 0,1. Somit ist dieses Ergebn

consistent mit der Vermutung, die aus den vorangegangenen Studien der Thermochemie der Alkalihalogenide folgte.

- 4-694 A. M. Hillas and T. E. Cranshaw. A comparison of the charges of the electron, proton and neutron. Nature, Lond. 184, 892-893, 1959, Nr. 4690. (19. Sept.) (Harwell, Didcot, Berks., Atomic Energy Res. Est., Nucl. Phys. Div.) Theoretisch besteht die Höglichkeit, daß die elektrischen Ladungen von Proton und Elektron um etwa 10-18 verschieden sind. Piccard und Kessler untersuchten 1925 diesen Effekt am CO. und anden als obere Grenze eine Ladung von 2·10-19 e pro Molekül (e = Ladung des Elektrons). Dabei war aber eine mögliche Ladung der Neutronen noch nicht in Betracht ezogen. Es wird daher hier ein ähnliches Experiment beschrieben an einem Stoff mit ungleicher Protonen- und Neutronenzahl. Dazu wurden 81 Liter Argon aus einem isoiert und abgeschirmt aufgestellten Gefäß ausströmen gelassen und eine etwaige Potenialänderung des Gefäßes gegen Erde mit einem Schwingkondensatorverstärker gemesen. Um eine Aufladung durch mitgerissene Ionen zu verhindern, ließ man das Gas noch nnerhalb des Gefäßes einen Zylinderkondensator durchströmen, an dem Spannungen von 45 bis 300 V lagen. Eine Aufladung des Gefäßes von außen her durch Konvektionströme, verursacht durch die Abkühlung des Gefäßes infolge der Expansion, wurde vermieden durch thermische Isolation des Gefäßes. Die geringe während des Auströmens festgestellte Potentialänderung liefert als obere Grenze für die Ladung eines Ar-Atoms $(4+4)\cdot 10^{-20}$ e. Zu Beginn und Ende des Ausströmens traten plötzlich viel rößere Potentialänderungen auf, wahrscheinlich verursacht durch Kapazitätsschwanungen und Kontaktpotentiale.
- 4-695 H. Bondi and R. A. Lyttleton. A comparison of charges on the electron, proton and neutron. Nature, Lond. 184, 974, 1959, Nr. 4691. (26. Sept.) (London, King's Coll.; Lambridge, St. John's Coll.) Es wird eine Kritik der vorst. ref. Messungen von HILLAS and CRANSHAW gegeben. Ihr Resultat wird als nicht schlüssig angesehen, und es wird effordert, die vielen kleinen schwer zu übersehenden Effekte, die eine Potentialänderung rerursachen können, genauer zu untersuchen, da der gesuchte Effekt in derselben Größenordnung liegen könnte.
- 4-696 Jan Flinta. Pulsed high-intensity ion source. I. Nuclear Instrum. 2, 219-226, 958, Nr. 3. (Apr.) (Stockholm, A. B. Atomenergie.)
- Rolf Pauli and Jan Flinta. Dasselbe. II. Ebenda S. 227-236. (Stockholm, A. B. Atomnergi.) In Teil I werden die Begrenzung des Entladungsstromes, die Ionenextraktion in die Fokussierung großer Ionenströme betrachtet. Drei verschiedene Quellen vom Penning-Typ werden näher beschrieben und einige Betriebsdaten angegeben. In Teil II verden eingehende experimentelle Untersuchungen der Charakteristiken einer Quelle int kalter Kathode und axialem Magnetfeld wiedergegeben.

 S. Wagner.
- -697 J. O. Burgman and G. Andersson. Ion source for radioisotope separation. Nuclear nstrum. 3, 33-42, 1958, Nr. 1. (Juli.) (Uppsala, Univ., Gustaf Werner Inst. Nucl. Chem.) Es wird eine Ionenquelle mit axialem Magnetfeld und oszillierenden Elektronen eschrieben, Entladungsraum und Verdampfer sind voneinander getrennt, der Druck metrleben, um Plasmaschwingungen zu verhindern, die zur Defokussierung führen önnen. Das Betriebsverhalten der Ionenquelle wurde mit stabilem PbCl₂ als Testsubtanz eingehend untersucht. Einige Anwendungsbeispiele werden gegeben. Im allemeinen sind Ionenströme über 100 μA erreichbar (60 kV-Nachbeschleunigung). Der desamtwirkungsgrad des Trennprozesses beträgt etwa 10%.
- -698 Ja. M. Fogel, A. G. Koval and A. D. Timofeev. Source of negative ions. Sh. tech. Tis. 29, 1381—1387, 1959, Nr. 11. (Nov.) (Orig. russ.) Vff. haben eine Quelle für negative onen entwickelt, die als Injektor eines elektrostatischen Beschleumigers dienen soll. Dazu werden positive Ionen in einer Glühkathodenentladung mit überlagertem Magneteld erzeugt und nach Durchlaufen einer Beschleunigungsstrecke in einer Kammer mit Ig-Dampf (Gas-Target) umgeladen. Bisher wurden mit dieser Apparatur H-, He- und

O--Ionen mit Stromstärken von max. 70; 0,18 und 40 μ A erzeugt. Für Wasserstoff be trägt der max. Ionenstrom, der der primären Ionenquelle entnommen werden kann 4 mA, wobei der Anteil an H_2^+ -Ionen etwa 50% beträgt. Deshalb ist die Bildung der H-Ionen hauptsächlich auf den Prozeß $H_2^+ \to H_1^-$ zurückzuführen, während die Prozess $H_1^+ \to H_1^-$ und $H_3^+ \to H_1^-$ nur eine untergeordnete Rolle spielen. Die Ausbeute an negativen Ionen ist außerdem abhängig von der Dichte des Gas-Targets, die durch die Temperatur des einströmenden Quecksilbers variiert wurde.

- A. I. Agishev and Yu. I. Beljakov. On the thermionic emission of nickel in th presence of haloids. Sh. tech. Fis. 29, 1480-1483, 1959, Nr. 12. (Dez.) (Orig. russ.) In Gegensatz zu massenspektrometrischen Untersuchungen anderer Autoren konnten mi einem Impulsmassenspektroskop die starken O+- und H2O+-Ionenströme nicht gefunder werden, die bei Thermionenemission von glühendem Nickel in Gegenwart von CCl, Dämpfen mit geringen Luft- und Wasserdampfzusätzen aufgetreten waren. Stattdesser wird sogar festgestellt, daß die Emission positiver Alkali-Ionen (überwiegend Kaliun und Natrium) durch Zusatz von Luft-CCl4- bzw. Luft-Freon-Mischungen stark nachließ während andere Ionen nicht beobachtet werden konnten. Bei Verwendung von Plati statt Nickel vermindert CCl₄-Dampf ebenfalls die Alkali-Ionenemission. Nach bestimm ter Wärmebehandlung des emittierenden Platins im Vakuum führt Einlaß von CCl. Dampf jedoch zu einer bedeutenden Zunahme der Kalium- und Natrium-Ionenström (bis auf den 20- bis 30fachen Wert). Diese Erscheinung soll durch weitere Untersuchun gen geklärt werden. In anderen Fällen traten plötzlich und unabhängig von Halogene Ionen bei m/e = 100-101 auf. Hierüber befindet sich eine Arbeit in J. tech. Phys (Moskau/Leningrad) im Druck. J. Wolff.
- 7-700 G. Reinhold, J. Seitz und R. Minkner. Die Weiterentwicklung des Kaskaden generators. Z. Instrum.-Kde 67, 258-265, 1959, Nr. 10. (Okt.) (Basel.) Es wird zuerst de einfache Kaskadengleichrichter nach Greinacher beschrieben. Auf Grund der Beziehungen für Spannungsabfall und Welligkeit werden die Ursachen angegeben, welche di Ausgangsspannung auf 2 MV begrenzen. Eine wesentlich verbesserte Schaltung in Forides sog. symmetrischen Kaskadengleichrichters erweitert den Spannungsbereich aumehrere MV. Die theoretischen Grundlagen dafür und eine erste technische Ausführunfür 4 MV werden beschrieben. Im Hinblick auf die Anwendung des Kaskadengenerator für kernphysikalische Untersuchungen hoher Genauigkeit wird das Funktionsprinzi einer elektronischen Spannungsstabilisierung erläutert. Der symmetrische Kaskader gleichrichter eignet sich zur Speisung von Ionenbeschleunigern und wegen seines relati hohen Stromes auch für Elektronenbeschleuniger in der industriellen Anwendung (Nach Zfg.)
- 7-701 K. S. Subudhi. Function of the collecting electrode in a van de Graaff generator Nuclear Instrum. 3, 341—343, 1958, Nr. 6. (Dez.) (Banaras Hindu Univ., Dep. Phys. Untersuchungen an einem kleinen Van-de-Graaff-Generator bestätigten Simon Theorie, daß bei konstantem Potential des Aufsprühsystems auch das Potential de Sammelelektrode konstant bleibt. Das Verhältnis zwischen beiden Potentialen häng nicht von der Kapazität der Sammelelektrode ab, sondern von ihrem Abstand von de Aufsprühelektrode, d. h. von der Höhe der Maschine.

 S. Wagner.
- 7-702 E. Koltay. Elektronenoptische Konstruktion von inhomogenen Beschleunigungs röhren. Nuclear Instrum. 6, 45-49, 1959, Nr. 1. (Dez.) (Debrecen, Ungarn, L. Kossut Univ., Inst. Exp. Phys.) Vor dem Bau des Beschleunigerrohres des 2 MV-Van D Graaffe-Generators wird die Anordnung der Linsen und Spalte theoretisch erfaßt, wobe zur Lösung der Bahngleichung des sich im rotationssymmetrischen Feld bewegende paraxiellen Elektrons und zur Bestimmung des Achsenpotentials die von R. Gans ar gegebene Polygon-Methode verwendet wurde. Für das Achsenpotential werden die Date von Kirkfatrick und Beckerley ausgenutzt. Das so berechnete Rohr enthält vie Beschleunigungsspalte und eine Nachbeschleunigungslinse. Die elektronenoptische Eigenschaften des neuen Rohres sind besser als die anderer Rohre. W. Kunz.

- 7-703 M. J. Poole, G. Dean and W. Howe. Pulsed beam deflection system for a linear lectron accelerator. Nuclear Instrum. 2, 282-286, 1958, Nr. 3. (Apr.) (Harwell, Didcot, Berks., Atomic Energy Res. Est.) Es wird ein Verfahren beschrieben, bei dem das Elektronenbündel mit Hilfe eines Magneten von einem Auffänger auf einen zweiten ungelenkt werden kann. Der Magnet wird zwischen den Bündelimpulsen elektronisch Engeschaltet.
- 704 A. Paulin. Eine Möglichkeit der Stromintensitäts- und Energieerhöhung des Mikrorons. Nuclear Instrum. 5, 107–110, 1959, Nr. 2. (Aug.) (Ljubljana, J. Stefan Inst.) 7. untersucht die Frage, wie lang der Beschleunigungsspalt in einem Mikrotron sein nuß, damit die Elektronen, die durch Feldemission dicht beim Spannungsmaximum ntstehen, mit stabiler Phase eingefangen werden. Für ein Mikrotron im X-Band sollte er Spalt nicht größer als 3 mm sein. Für das S-Band-Mikrotron schlägt Vf. eine Abart for, bei der ein Magnetfeld von 4400 G, eine Spitzenspannung von 2,3 MV und eine Spaltinge von 21 mm angewandt werden können. Dadurch vervierfacht sich bei gleichen Abnessungen des Magneten die Energie.
- -705 David Luckey. The use of electrostatic generators as injectors for electron synchrons. Nuclear Instrum. 5, 266-268, 1959, Nr. 4. (Okt.) (Cambridge, Mass. Inst. Techol., Phys. Dep., Lab. Nucl. Sci.) Es wird über einige Erfahrungen mit der Benutzung on elektrostatischen Beschleunigern (1 bis 3 MeV-VAN-DE-GRAAFF) für die Injektion in Elektronensynchrotrons an der Cornell University und am M. I. T. berichtet. Am I. I. T. wird die Injektionsenergie während der Injektion um 20 keV angehoben. Gegen früher wird die zehnfache Intensität und bessere Stabilität erreicht. Der den trahlstrom begrenzende Mechanismus ist nicht mehr die Raumladung.
- -706 U. Miklavžič and C. Zupančič. Measurement of the bremsstrahlung spectrum from 30 Mev betatron with a Compton electron spectrometer. Rep. J. Stefan Inst. (jugosl.), 3-8, 1958, Okt. Mit einem magnetischen 70°-Compton-Spektrometer wurde das pektrum der Bremsstrahlung des Brown-Boveri-Betatrons für 30 MeV gemessen. Der ntergrund an Elektronen aus Paarbildung wurde durch Messung des Positronenpektrums ermittelt und abgezogen. Das Ergebnis stimmt mit ähnlichen Messungen von LMER und ZIEGLER (Ber. 35, 935, 1956) überein.
- -707 **D. P. Ivanov** and **Yu. S. Korobochko.** On the efficiency of different parts of injection ulse with capture of electrons in betatron. Sh. tech. Fis. **29**, 1414—1415, 1959, Nr. 11. Nov.) (Orig. russ.) Die Elektronen des Injektors werden für die verschiedenen Abehnitte des Injektionsimpulses mit verschiedenen Wirkungsgraden eingefangen. Hierber herrschen in der Literatur z. T. gegensätzliche Auffassungen. Es werden einige esichtspunkte angegeben unter welchen Bedingungen gute Ausbeuten zu erwarten nd. Dies ist stark von konstruktiven Details abhängig.

 Bernhard.
- -708 I.M. Samoilow. Zum Einfangmechanismus im Betatron. Sh. exp. teor. Fis. 37, 05-712, 1959, Nr. 3. (Orig. russ.) Wie man weiß, spielt beim Einfangmechanismus der lektronen im Betatron die Coulomb-Wechselwirkung die Hauptrolle. Behandelt man e Injektion mit einem gemittelten Einfluß der Raumladung in der Kammer, so erhält an mehrere Einfangmechanismen von allerdings nicht hoher Ausbeute. Hierbei werden ffekte vernachlässigt, die auf der Coulomb-Abstoßung der Elektronen auf den ersten mläufen beruhen, wo eine ziemlich geordnete Teilchenbewegung vorliegen kann. Vf. etrachtet das idealisierte Problem der COULOMB-Abstoßung in dem Bündel, das während nes Umlaufs in die raumladungsfreie Kammer injiziert wird. Wie eine Abschätzung ich den üblichen Bewegungsgleichungen zeigt, ändert sich die Radialkomponente eser Abstoßung auf einem großen Teil des Weges nur wenig, mit Ausnahme des Gebiets s Fokus, wo diese Komponente wesentlich größer ist als sonst. Zunächst wird also der influß der Abstoßung im Fokusgebiet untersucht. Es zeigt sich, daß der effektive lektroneneinfang infolge von Änderungen des radialen Schwingungszustandes erfolgt, e eben auf der Abstoßung der Teilchen im Bündel sowie auf dem Verlust eines Teils r Elektronen bei ihren Stößen mit dem Injektor oder der Kammerwand beruhen. Es rd angenommen, daß die Situation qualitativ auch bei einer Injektion in mehreren

Umläufen ähnlich ist. Dann ergeben sich einige praktische Folgerungen: 1. Der Einfang winkel ist begrenzt durch Stöße mit der Wand; 2. es ist günstig, scharf fokussierte Bündel einzuschießen, da hierbei nur kleine Emissionsströme nötig sind; 3. auch bei de Injektion von außen mit Hilfe von Ablenkplatten ist der Einfang effektiv; 4. eine Injektion in ein konstantes Magnetfeld ist möglich, ebenso in ein homogenes Magnetfeld 5. auch wenn der Injektor in der Gleichgewichtsbahn liegt, funktioniert der Einfang.

7-709 G. Hentze. Erzeugung der Magnetfelder zur Beschleunigung von Elektronen in Luftspulenbetatron. Exp. Tech. Phys. 7, 145—156, 1959, Nr. 4. (Jena, Univ., Tech. Phys. Inst.) Bei dem Luftspulenbetatron wurden bisher Helmholtz-Spulen verwandt die zwar bezüglich des Kontrahierens und Expandierens des Ringes beschleunigte Elektronen Vorteile bieten, auf der anderen Seite aber so viel Blindleistung aufnehmen daß nur ein Impulsbetrieb mit einer Impulsfolge von 8—10 kHz möglich ist. Mi 3,6 MW wurden so Elektronen von 1,2 MeV erzeugt. Nach Versuchen mit Flachspule wurde schließlich mit Zylinderspulen die Leistungsaufnahme auf 40% gegenüber der Helmholtz-Spulen verringert, so daß ein Dauerbetrieb möglich ist.

Messerschmidt.

- 7-710 K. H. Schmitter. Le système haute fréquence du synchro-cyclotron du CERN CERN 1959, Nr. 59-33, (22. Sept.) S. 1-21. Bericht mit zahlreichen Abbildungen übe die Hochfrequenzanlage zum 600-MeV-CERN-Synchrozyklotron: über den Resonato mit dem Dee und seiner Halterung, den Oszillator und die Versorgungseinrichtungen.
- 7-711 J. J. Burgerjons, S. J. du Toit and C. A. Kritzinger. The Pretoria cyclotron Nuclear Instrum. 3, 323-335, 1958, Nr. 6. (Dez.) (Pretoria, Nat. Phys. Res. Lah Nucl. Phys. Div.) Es wird eine kurze technische Beschreibung des Zyklotrons gegeben. Di Polschuhe haben 112 cm Durchmesser und 14 cm Luftspalt. Der Einfluß der Shunts au den radialen Verlauf des Magnetfeldes wird angegeben sowie Einzelheiten des Vaku umsystems und des HF-Generators behandelt. Die Anlage liefert einen inneren Deu teronenstrahl von 200 μA bei 15 MeV.
- 7-712 A. H. Morton and W. I. B. Smith. Improved cyclotron performance from control of initial ion motion. Nuclear Instrum. 4, 36-43, 1959, Nr. 1. (Jan.) (Canberra, Austr Nat. Univ., Res. School Phys. Sci.) Die viele mA betragenden Extraktionsströme aus de Ionenquelle gehen auf den ersten Umläufen verloren, wenn es nicht gelingt, die staridefokussierenden Felder zu beseitigen. Die Vff. verfolgen theoretisch und experimentell den Verlauf des Ionenstrahles. Durch Schlitze an den Duanten können sie de Strahl auf seinen ersten vier Umläufen so fokussieren, daß der Krümmungsmittelpunk des letzten Umlaufs im Zentrum des Zyklotrons liegt. Dies und eine Reihe anderer Maßnahmen führt zu einer wesentlichen Erhöhung des herausgeführten Ionenstromes verbunden mit einer Zunahme der Energiehomogenität und Verringerung der Winkel divergenz. Um diese Verbesserungen wirksam werden zu lassen, ist eine Magnetfeld stabilität von 1:10⁴ und entsprechende Konstanz der HF-Schwingungsamplitude erforderlich.
- 7-713 T. Fazzini, G. Fidecaro and H. Paul. A synchro-cyclotron pulse simulator for testing electronic circuits. Nuclear Instrum. 5, 156—160, 1959, Nr. 3. Sept.) (Geneva CERN.) Es wird ein Impulsgenerator für die Prüfung elektronischer Zählgeräte vor Beschleunigern beschrieben, bei denen sehr hohe Zählraten mit der Zählrate Null abwechseln. Er besteht aus einem mittels Torschaltung steuerbaren Oszillator für 1 bi 10 MHz und einer Impulsformerstufe.
- 7-714 R. S. Livingston and F. T. Howard. The Oak Ridge relativistic isochronous cycle tron. Nuclear Instrum. 6, 1-25, 1959, Nr. 1. (Dez.) (Oak. Ridge, Tenn., Nat. Lab Die Entwurfsprinzipien und festgelegten Parameter des im Bau befindlichen ORIG Beschleunigers werden beschrieben. Magnetfeld: 3 Sektoren Polschuhpaare, so daß ei azimutal veränderliches Feld entsteht. Polschuhdurchmesser: 76 in; maximales Zetralmagnetfeld: 17 kGauß; radialer Anstieg: maximal 8%; magnetische Erregung

960

,23 · 10⁶ Aw. Spulenmaterial: Al; Polschuhmaterial: kohlenstoffarmer Stahl (0,110%C). Im Teilchen im e/m Intervall von 1 bis 0,125 innerhalb eines weiten Energiebereiches naximal 145 MeV) beschleunigen zu können, muß die Hochfrequenzbeschleunigungspannung von 7,5 bis 22,5 MHz regelbar sein. Durch Anwendung der Hochfrequenz als er 3. oder 5. Harmonischen der Umlaufsfrequenz wird insgesamt ein Frequenzintervall on 1,5 bis 22,5 MHz überstrichen. Um die gewünschte Frequenzregelung ohne Gleitontakte mit hohen Stromdichtebelastungen durchführen zu können, werden zwei Ablimmungssysteme untersucht, darunter eine einzelne 180°-Duantenhälfte. (Duantenurchmesser: 70 in; Duantenspannung: 100 kV.) Energiezuwachs pro Umlauf 400 bzw. 00 keV. Maximaler Ionenradius 31,5 in. Strahlleistung: 75 kW (1 mA Protonenstrom ei 75 MeV Beschleunigungsenergie). Es wird die Einsatzmöglichkeit des Beschleunigers uf dem Gebiet der Kernspektroskopie, der Kernreaktionen, der polarisierten Teilchen, er Festkörper- und Atomphysik diskutiert, die wegen des weiten zur Verfügung stehenen Energiebereiches sehr vielseitig sein wird.

K. H. Oertel.

- -715 V. S. Panasyuk. Motion of charged particles in the central region of a cyclotron. J. uclear Energy 8, 256-259, 1959, Nr. 4. (Jan.) Die Bewegung von Ionen auf den ersten mläufen in einem Zyklotron wird genau untersucht, um zu ermitteln, wodurch so untwartet viele Ionen im Verlauf der Beschleunigung verlorengehen. Die gewonnenen rkenntnisse weisen den Weg, wie Verbesserungen zu erzielen sind.
- -716 Robert Gabillard. Application de la méthode répétitive à l'étude analogique de rocessus stochastiques. Ann. Ass. Int. Calcul. Analog. 1, 280—289, 1959, Nr. 6. (Sept.) Lille, Fac. Sci.) Vf. untersucht mit einer Analogrechenanlage Schwankungen in nicht-nearen Systemen, wie sie beim CERN-Synchrotron in Abhängigkeit von der Phase der Geschleunigungsspannung auftreten. Die Methode ist dem Monte-Carlo-Verfahren nachebildet.

 V. Weidemann.
- -717 M. Barbier and A. Schoch. Study of two-dimensional non-linear oscillations by reans of an electromechanical analogue model, applied to particle motion in circular acceleators. Nuclear Instrum. 5, 211-233, 1959, Nr. 4. (Okt.) (Geneva, CERN.) Zum Studium ichtlinearer Effekte bei Betatron-Schwingungen in Zirkularbeschleunigern wurden die ewegungen eines metallisierten Quarzpendels im Vakuum untersucht. Das Pendel t von 12 langen, zylindrischen, leitenden Elektroden umgeben, wobei die Zylinder- und uarzfadenachse parallel zueinanderstehen. Diese Elektrodenanordnung liefert exakte weidimensionale Lösungen der Potentialgleichung. Die ursprünglich lineare, nahezu ngedämpfte Bewegung des Pendels wurde beeinflußt: 1. durch Einwirkung nichtlinearer, eitlich konstanter elektrischer Kräfte und 2. durch zeitabhängige Kräfte, die ebenalls nichtlinear bezüglich der Auslenkung sein können. Die Frequenz der Störkräfte urde konstant gehalten. Um die Aussage des Gerätes zu vereinfachen, wurden die aufeprägten, zeitlich konstanten Nichtlinearitäten durch die nachfolgende Frequenzver-hiebung registriert und die Wechselstörkräfte durch den Anstieg der Schwingungsmplitude. Dies gestattet, die Apparatur als mathematisches Instrument für die Unterichung aller nichtlinearen Schwingungen einzusetzen. K. H. Oertel.
- -718 F. Prevot et R. le Quinio. Le vide du synchrotron à protons de Saclay. Vide, aris 14, 197—213, 1959, Nr. 82. (Juli./Aug.) Nach einer Beschreibung der mechanischen construktion der Vakuumkammer werden betrachtet: Dichtigkeit, Gasabgabe der erwendeten Stoffe, Pumpgeschwindigkeit, Gasfluß und Pumpenverteilung, Funktion er Pumpen, Vakuumkontrolle und -messungen. Das tatsächlich erreichte Vakuum ird in Abhängigkeit von der Pumpzeit dargestellt; es wurde ein mittlerer Druck von 8 · 10-6 Torr im Beschleunigungsring erreicht (obere Grenze für eine befriedigende rbeitsweise des 3 GeV-Synchrotrons sind 5 · 10-6 Torr).
- 719 **R. Lindner** und **Hj. Matzke.'** Diffusion radioaktiver Edelgase in Uranoxyden und Tranmonokarbid. Z. Naturf. **14a**, 1074—1077, 1959, Nr. 12. (Dez.) (Göteborg, Schweden, H., Kernchem. Inst.) Die Diffusion von ⁸⁵Kr in sogenannten UO₂ und in U₃O₈, die von ³Xe in UC und die von ²²²Rn in U₃O₈ wurde bei Temperaturen zwischen 600 und

1600°C gemessen. Kr bzw. Xe wurde durch Neutronenbestrahlung und Kernspaltum in Einkristallen bekannter Größe erzeugt und das entweichende Gas mit dem Zählroh gemessen. Zur Indizierung mit Radon wurde $^{226}\mathrm{RaCl_2}$ adsorbiert und das entweichende Rn mit einem CsJ-Szintillator nachgewiesen. Die Ergebnisse sind zusammen mfrüheren zusammengestellt. Die Aktivierungsenergien sind für Kr und Xe praktisegleich, etwa 48 kcal/Mol in UO2, 18 in U3O8 und 44 in UC, dagegen liegt die für R in U3O8 wesentlich höher bei 26 kcal/Mol. Auch die Werte für log D_0 sind tabelliert. M. Wie de mann.

- 7-720 Gerhard Memmert. Die Resonanzabsorption in heterogenen Systemen. Nukleonik 1 48-57, 1958, Nr. 2. (Juli.) (Karlsruhe, Kernreaktor-Bau- u. Betr. Ges., Inst. Neutronen phys., Reaktortech.) Das Resonanzintegral für Neutronen wird in Kugeln und zylit drischen Stäben aus Uran berechnet sowie für solche Fälle, in denen die Streuung de Neutronen bedeutsam wird, vor allem für Mischungen von Uran mit leichten Moderatore und für Hohlzylinder, die mit Moderatoren gefüllt sind. Die Ergebnisse sind graphisc dargestellt und werden mit Meßergebnissen verglichen.

 S. Wagner.
- 7–721 **D. Emendörfer** und **A. Kirchenmayer.** Über die Auswirkung effektiver Bruchteile verspäteter Neutronen auf das Kurzzeitverhalten von Reaktoren. Nukleonik 1, 233 231 1959, Nr. 6. (Juni.) (Stuttgart, T. H., Inst. theor. angew. Phys., Abt. Reaktorphys. Die verspäteten Neutronen entstehen im Mittel mit geringerer Energie als die prompte Neutronen. In den kinetischen Gleichungen treten daher an die Stelle der gewöhnliche Bruchteile β_i der verspäteten Neutronen effektive Bruchteile β_{ieff} . Die β_{ieff} wurden für einen Leichtwasserreaktor berechnet. Sie sind, je nach Gruppe, um 14 bis 17% größe als die gewöhnlichen Bruchteile β_i . Die Auswirkung dieses Unterschiedes auf di Übergangsfunktionen und den Frequenzgang wird dargestellt. Dabei zeigt sich, dat die Modifikationen der Übergangsfunktionen und des Frequenzgangs weitgehend nu durch den Unterschied in den Gesamtbruchstellen der verspäteten Neutronen $\beta_{eff} = \sum_i \beta_{leff}$ und $\beta = \sum_i \beta_i$ bedingt sind.
- 7-722 S. O. Johnson, N. J. Curlee and J. V. Reihing. Simulation of hot channel boiling in water-cooled reactors. Trans. Inst. Radio Engrs, N. Y. NS-5, 1-9, 1958, Nr. 1. (Juni. (Pittsburgh, Penn., Westinghouse Elect. Corp., Bettis Atomic Power Div.) Es wird da Einschwingverhalten von Wärmeübertragungssystemen untersucht, bei denen da Kühlmittel eine Phasenunwandlung erfährt. Die diesbezüglichen Differentialgleichunger werden angegeben, eine Analogrechner-Schaltung wird entwickelt und damit gewonnen Ergebnisse werden mitgeteilt.

 S. Wagner.
- 7-723 R. N. Glover. Photofission in fission chambers. Nuclear Instrum. 3, 320-322 1958, Nr. 6. (Dez.) (Barrow-in-Furness, Vickers-Armstrongs Ltd.) Bei Messung de Flusses schneller Neutronen mit einer U-238-Spaltungskammer wurde beobachtet, da die Neutronenintensität viel größer gemessen wurde als sich aus den Aktivierungsmessungen ergab. Der Grund lag darin, daß in der Kammer außer der Spaltung durc schnelle Neutronen eine Photospaltung auftrat, die hervorgerufen wurde durch den seh intensiven γ-Strahlenfluß von vorwiegend 7,7 MeV. Dieser entsteht durch die Einfangung der Neutronen in der Aluminiumkonstruktion des Reaktorkerns. Diese Vorstellungen wurden experimentell bestätigt.
- 7-724 Charles Erwin Cohn. Errors in reactivity measurements due to photoneutron effects Nuclear Sci. Engng 6, 284-287, 1959, Nr. 4. (Okt.) (Lemont, Ill., Argonne Nat. Lab. In Reaktoren mit D₂O- oder Be-Moderatoren können die von γ-Strahlen langlebige Spaltprodukte erzeugten Photoneutronen merkliche Fehler bei verschiedenen Arte von Reaktivitätsmessungen hervorrufen. Hier werden maschinelle Rechenergebniss dieser Effekte in D₂O mitgeteilt bei folgenden Messungen: Kritikalität, subkritisch Vervielfachung, durch Regelstabbetätigung verursachter Abfall, mit steigender Zeit konstante. Es zeigte sich, daß in Einzelfällen noch nach einstündigem Warten merklich Fehler auftreten können. Da die Photoneutronen in Be nicht in Gruppen auflösbasind, konnten hierfür keine Berechnungen durchgeführt, sondern nur die zu erwarten den Ergebnisse diskutiert werden. (Zfg.)

960 "

-725 Alain Sola and William W. Managan. Flux perturbation produced by ion champers and fission chambers. Nuclear Sci. Engng 6, 294-297, 1959, Nr 4. (Okt.) (Lemont, ll., Argonne Nat. Lab.) Messungen wurden durchgeführt im ANL-Standard-Pile mit 00 mc Ra-Be-Quelle im Zentrum. Die Flußstörung betrug 5-25% an den Außenlächen verschiedener Ionisationskammertypen und wurde für diese als Funktion des Abstands von der Pileachse graphisch dargestellt. In 10 Zoll Kammerflächenabstand vird die Störung unmeßbar klein. Die Flußmessung erfolgte mit einem Spaltzähler, er selbst den Fluß nicht merklich störte. Zur Flußstörungsmessung im Kammernnern wurde ein Modell von B-belegten Al-Blechen benutzt, die um den Spaltzähler ngeordnet wurden. Die gefundene Flußdepression stimmte gut mit der nach exponenieller Absorption abgeschätzten überein. Danach gibt der mit einer großen mit Belegten Kammer gemessene Flußwert je nach B-Gehalt innerhalb 20-50% Fehler en ungestörten Fluß; der Fehler bei einem großen mit U²³⁵ belegten Spaltzähler berägt 5-15%. Diese für Graphit als Diffusionsmedium gültigen Ergebnisse sind nicht hne weiteres auf ein absorbierendes Medium wie Abschirmbeton anwendbar.

W. Schneider.

-726 S. B. Gunst. Reactivity associated with the decay of Np^{239} in irradiated natural ranium dioxide. Nuclear Sci. Engng 6, 376-378, 1959, Nr. 5. (Nov.) (Pittsburgh, enn., Westinghouse Elect. Corp., Bettis Atomic Power Div.) Es wird eine Methode eschrieben, mit welcher die Reaktivitätskoeffizienten während des Reaktorbetriebes hne spezielle Instrumentierung und ohne eine besondere Zutrittsöffnung zum Reaktor u haben, gemessen werden können. Die entwickelte Technik kann zum Teil auch zur lessung der Abhängigkeit der Koeffizienten von den hydraulischen Bedingungen, von er Reaktorleistung und der Brennstoffeinsatzzeit herangezogen werden. Bei der lessung werden trapezförmige Wellen und das normale Reaktorkontrollsystem verendet. Dies ist deshalb möglich, weil die Trapezwellen das Reaktorregelsystem nicht eeinflussen.

-727 Glenn T. Seaborg. Early radiochemical investigations of plutonium. Beitr. z. hysik u. Chemie d. 20. Jahrh. Lise Meitner, Otto Hahn, Max v. Laue z. 80. Geburtstag. riedr. Vieweg u. Sohn, Braunschweig, 1959, S. 104-114. (Berkeley, Univ. Calif., Dep. hem.) Mit einem Hinweis auf Vorlesungen, die O. HAHN 1933 an der Cornell Universität ber angewandte Radiochemie hielt, beginnend, wird der gewaltige Weg beschrieben, n dem der Vf. wesentlichen Anteil hatte und der zur Darstellung und Fabrikation von u führte (die zwei Oxydationszustände, der Wismut-Phosphat- sowie der Lanthanuorid-Prozeß). Etwa 5000 Personen waren an dem Projekt beteiligt, allein 2000 im etallurgischen Laboratorium in Chicago. Vf. meint zum Schluß, daß HAHN und Mitbeiter wohl kaum ein solches phantastisches Projekt zu Beginn ihrer Untersuchungen nten.

-728 G. B. F. Niblett and T. S. Green. Radial hydromagnetic oscillations. nys. Soc. Lond. **74**, 737–743, *1959*, Nr. 6 (Nr. 480). (1. Dez.) (Aldermaston, Berks., tomic Weapons Res. Est.) Plasma durch axiales Magnetfeld begrenzt. Beobachtung n hochfrequenten Schwingungen, die als radiale hydromagnetische Schwingungen nes dünnen zylindrischen Plasmaringes gedeutet werden, der zwischen äußerem und nerem Magnetfeld eingefangen ist. Analytische Integration der nichtlinearen Begungsgleichung. Annahme, daß gesamtes Gas durch zusammenbrechende Stromhicht eingefangen wird. Hinweis auf die Möglichkeit, daß Anregung dieser Schwinngen bei Frequenz von der Größenordnung der Ionenstoßfrequenz die Plasma-Ionen irch eine Art magnetisches Pumpen aufheizen könnte. G. Schumann.

729 Mark A. Heald. Experimental measurements in controlled fusion research. Trans. st. Radio Engrs, N. Y. NS-6, 1959, Nr. 3, (Sept.) S. 33-42. (Princeton, N. J., Univ., oject Matterhorn.) Auf Grund der extremen Instabilität eines durch Magnetfelder zummengehaltenen Plasmas, wegen der Verdampfung und zahlreicher Sekundäreffekte d Meßverfahren, die sich der Proben- oder Sondentechnik bedienen, kaum zu vernden. Vf. gibt einen Überblick über die daher als "diagnostisch" bezeichneten Verren zur Bestimmung der Elektronen- und Ionentemperatur und -dichte, der Geschwindigkeitsverteilung, der Zusammensetzung, der internen Magnetfelder und der Instabilitätsprozesse. Insbesondere werden interferometrische Messungen mit Mikrowellen erläutert.

V. Weidemann.

- 7-730 I. Je. Tamm und A. D. Sacharow. Die Theorie des magneto-thermonuklearen Reaktors. I. II. Phys. Abh. Sowjetunion N. F. 1, 46-59/60-70, 1959, Nr. 1. Die Bewegungsgleichungen eines Stromes geladener Teilchen in zwei zueinander senkrechter elektrisch magnetischen Feldern können unter Vernachlässigung des Stoßessektes in erster Näherung gelöst werden, wobei sich eine Drift der Teilchen im elektrischen Feldergibt. Aufbauend auf diese Ergebnisse von A. J. Tamm behandelt A. D. Sacharow Fragen, die sich beim Bau eines magnetonuklearen Reaktors ergeben und zeigt, daß sich für ein ausreichend großes Gebilde die Reaktion selber aufrechterhält. Mit Hilfe de Tammschen Gleichungen kann der kritische Halbmesser bestimmt werden, bei dem die umgesetzte thermonukleare Energie gleich der an die Wand abgeleitete Energie wird Den Schluß bilden Betrachtungen über die Leistungsfähigkeit, die Dimensionen und die beim Bau zu beobachtenden Vorsichtsmaßregeln.
- 7-731 Yu. V. Vandakurov. On the possible equilibrium configurations of a thin ring plasme conductor in magnetic field. Sh. tech. Fis. 29, 1312—1316, 1959, Nr. 11. (Nov.) (Origruss.) Die bisher in der Literatur vorliegenden Berechnungen über Gleichgewichts bedingungen ringförmiger Plasmaleiter im Magnetfeld bezogen sich auf Oberflächenströme eines torusförmigen Leiters mit beliebigem Querschnitt. Vf. geht ebenfalls vor der Magnetohydrodynamik aus und beschräukt sich auf den Sonderfall eines dünner ringförmigen Plasmaleiters von annähernd kreisfömigem Querschnitt. Dadurch er geben sich für die Torusfunktionen Koeffizienten einfacherer Form, so daß die mathe matische Behandlung auch auf den Fall des Vorhandenseins von Volumenströmet ausgedehnt werden kann. Aus der Rechnung folgt, daß das Fremdfeld, das für die Gleichgewichtskonfiguration erforderlich ist, aus zwei Komponenten zusammengesetz werden kann. Die eine ist das Feld, das ein unendlich langer stromdurchflossener Leite längs der Symmetrieachse des Torus besitzt; der zweiten Komponente entspricht an nähernd ein zu dieser Achse paralleles homogenes Magnetfeld.
- 7-732 W. N. Gerschman. Nichtresonanzabsorption elektromagnetischer Wellen in einer magnetoaktiven Plasma. Sh. exp. teor. Fis. 37, 695-704, 1959, Nr. 3. (Orig. russ.) Vi hatte (J. exp. teor. Fis. 24, 659, 1953) eine kinetische Behandlung der Ausbreitun elektromagnetischer Wellen in einem Plasma im konstanten Magnetfeld unter Be rücksichtigung der thermischen Elektronenbewegung gegeben, die Dispersionsgleichun gewonnen und die Ausbreitung der drei normalen Wellentypen (außerordentliche ordentliche und Plasmawelle) behandelt. Die Absorption war später in mehreren Ar beiten unter verschiedenen Gesichtspunkten behandelt worden. Vf. versucht hier ein einheitliche Darstellung bei gleichzeitiger Berücksichtigung der Stöße und der für da Plasma spezifischen Landauschen Dämpfung (J. exp. teor. Fis. 16, 574, 1946). Er erhä dabei neue Ergebnisse über die Dämpfung der ordentlichen Welle bei ziemlich kleine Frequenz, eine eingehendere Berücksichtigung der Stöße usw. Das Hauptaugenmer gilt der Absorption außerhalb des Gyroresonanzgebiets; dieses Gebiet soll in einer späte ren Arbeit behandelt werden, wo auch die Absorptionskoeffizienten nach den hier ge wonnenen Formeln abgeschätzt werden sollen. Den Ausgangspunkt bildet das linear sierte Gleichungssystem aus der kinetischen Gleichung und den MAXWELLschen Gleichung gen für die drei Typen hochfrequenter normaler Wellen; neu ist hier die allgemeir Berücksichtigung der Stöße. Mit Hilfe der gewonnenen Dispersionsgleichung wird d Absorption der verschiedenen Wellentypen unter Ausschluß der Elektronen-Gyro frequenz und ihrer Oberfrequenzen behandelt. Vogel.
- 7-733 J. L. Klimontowitsch. Relativistische kinetische Gleichungen für ein Plasma. 1. S exp. teor. Fis. 37, 735-744, 1959, Nr. 3. (Orig. russ.) Im relativistischen Fall muß mezur Herleitung der kinetischen Gleichungen eine Kette relativistischer Gleichungen für d Verteilungsfunktionen konstruieren; mit Hilfe der verschiedenen Approximationsmeth

en für die höheren Verteilungsfunktionen durch die niederen in dieser Kette kann man die ntsprechenden kinetischen Gleichungen gewinnen: Die Gleichung mit self consistent field, ie FOKKER-PLANCKsche Gleichung für das relativistische Plasma, die kinetische Gleichung nter Berücksichtigung der Emission usw. Am Beispiel der kinetischen Gleichung für in geladenes Teilchen im äußeren elektromagnetischen Feld wird der Zusammenhang wischen den bestimmten Zustandswahrscheinlichkeiten und den Verteilungsfunktionen ufgestellt. Es wird eine Zufallsfunktion eingeführt, welche die Teilchenzahl im Phasentumelement bestimmt. Die elektromagnetische Feldstärke oder die Oszillatorenzahl erden ebenfalls als Zufallsfunktionen aufgefaßt. Das Gleichungssystem für diese Funktionen dient als Grundlage zur Ableitung der Gleichungskette, welche die Momente der ufallsfunktionen oder die entsprechenden Ordnungen der Verteilungsfunktion vernüpft. Durch Approximation dieser Gleichungskette ergibt sich ein System relativistischer Self consistent Gleichungen. Es werden relativistische Ausdrücke für die Disperionsgleichungen für transversale und longitudinale Plasmawellen hergeleitet. Gute Dienste leistet ein Variationsprinzip für das relativistische Plasma. Vogel.

-734 I. A. Achieser, R. W. Polowin und N. L. Zinzadse. Einfache Wellen in der Väherung von Chew, Goldberger und Low. Sh. exp. teor. Fis. 37, 756-759, 1959, Nr. 3. Orig. russ.) CHEW, GOLDBERGER und LOW (Ber. 35, 2289, 1956) zeigten, daß ein verünntes Plasma im Magnetfeld, in dem Stöße unwesentlich sind, durch ein System nagnetohydrodynamischer Gleichungen mit anisotropem Druck beschrieben werden ann. Mit Hilfe dieser Gleichungen lassen sich kleine Plasmaschwingungen behandeln. If. wenden sie auf nichtlineare Bewegungen eines Plasmas, speziell einfache Wellen an; s werden eindimensionale Wellen betrachtet, in denen sich sämtliche magnetohydroynamische Größen durch eine davon ausdrücken lassen, die ihrerseits von einer Koordiate und der Zeit abhängt; solche Wellen hängen eng mit Wellen kleiner Amplitude zuammen. Entsprechend wie im Fall skalaren Drucks gibt es drei Typen einfacher Wellen uch bei anisotropem Druck: ALFVÉN-Wellen und schnelle und langsame magnetokustische Wellen. Es wird untersucht, in welcher Richtung sich die magnetohydroynamischen Größen in diesen Wellen ändern. Die Alfvén-Welle pflanzt sich ohne inderung ihrer Form fort; bei schnellen magnetoakustischen Wellen wächst in den erdichtungsgebieten der Dichtegradient, in Verdünnungsgebieten fällt er; die übrigen rößen (p‖, p̣, H, p‖/p̣) ändern sich entsprechend; bei langsamen magneto-kustischen Wellen sind ein normaler Fall, der sich verhält wie die schnelle Welle, und n anomaler Fall mit umgekehrtem Verhalten zu unterscheiden; im letzten Fall gibt s also auch Verdünnungs-Stoßwellen; dieser Fall bleibt aber nur beschränkte Zeit beehen und geht in den Normalfall über.

-735 List of scientific reports on plasma physics, magnetohydrodynamics and thermouclear reactions in the CERN library. CERN 1958, Nr. 8-12-58, (Dez.) S. 1-11.

H. Ebert.

736 A. J. Rutgers. Ratio of nucleon mass and electron mass. Nature, Lond. 184, 894, 959, Nr. 4690. (19. Sept.) (Ghent, Univ., Lab. Phys. Chem.) In der klassischen Physik t der Wert der Feinstrukturkonstanten $\varepsilon^2 h c = {}^1/_{137}$. Der Wert der Pion-Nukleon-Vechselwirkungskonstanten g^2/hc ist ungefähr 14. Die Masse des Elektrons ist geben durch $m_\varepsilon = \varepsilon^2/2 r_0 c^2$, wobei die Fundamentallänge r_0 mit der Compton-Welleninge des π -Mesons übereinstimmt. Wenn man annimmt, daß die Masse des Nukleons ch genauso schreibt wie die Elektronenmasse, insbesondere mit demselben Wert für , so wird $m_n/m_z = (g^2/2 r_0 c^2)/(\varepsilon^2/2 r_0 c^2) = (g^2/hc)/(\varepsilon^2/hc) = 14/({}^1/_{137}) = 1920$, und ieser Wert ist von dem experimentellen Wert 1840 nicht allzu verschieden.

Ottinger.

anad. J. Phys. 37, 1059—1060, 1959, Nr. 9. (Sept.) (Kingston, Ont. Royal Military oll., Dep. Phys.) Die Lebensdauer des Zustandes (e+e-), des "Orthopositroniums", ird durch Löschung an Spuren von Sauerstoff in flüssigem Argon bei 88° K stärker erkürzt als bei 300° K in Argongas. Messungen in flüssigem Stickstoff bei 78 und 65° K geben ein Abklingen der Löschwirkung etwa nach $\exp(-\Phi/kT)$ mit der Aktivierungsnergie $\Phi \approx 2 \, \text{kcal/Mol}$. Als Deutung wird vorgeschlagen, daß in flüssiger Phase

Dreierstöße mit den inerten Molekeln häufig genug sind, um einer Verbindung (e⁺e⁻)(den Übergang in den Grundzustand zu ermöglichen. Dieser Grundzustand soll dam kurzlebig im Vergleich zu anderen Arten der Paarvernichtung mit $\tau \approx 10^{-10}$ sec sein Meerlender.

7-738 M. M. Block, E. B. Brucker, I. S. Hughes, T. Kikuchi, C. Meltzer, F. Anderson A. Pevsner, E. M. Harth, J. Leitner and H. O. Cohn. Observation of He^4 hyperfragment from K^- -He interactions; the K^- -A relative parity. Phys. Rev. Letters 3, 291-293 1959, Nr. 6. (15. Sept.) (Durham, N. Carol., Univ.; Baltimore, Maryl., Chin.; Syracuse N. Y., Univ., Oak Ridge, Tenn., Nat. Lab.) Die Helium-Blasenkammer der Duka Universität wurde einer Bestrahlung von niederenergetischen K^- -Mesonen ausgesetzt und die Existenz der Reaktion K^- + He \rightarrow AHe⁴ + π^- zu bestätigen. Es wurden etwa 250 K^- -Wechselwirkungen im Ruhezustand erhalten. Die Existenz der Reaktion konnte bestätigt werden. Sie gilt allerdings nur unter der Voraussetzung, daß (a) die Parität de Reaktion erhalten bleibt, (b) die Spins des K^- -Mesons und des Grundzustandes de Λ He⁴ Null sind und (c) keine gebundenen angeregten Zustände des Λ He⁴ existieren. Au der Reaktion kann ferner auf die relative K^- - Λ -Parität geschlossen werden.

Allkofer.

- 7-739 Y. C. Tang. The effect of the final state interaction on the decay of hyper- 5 He Nuovo Cim. (10) 10, 780-788, 1958, Nr. 5. (1. Dez.) (Urbana, Ill., Univ.) Für de Zerfall eines Hyper- 5 He nach der Gleichung 5 He $_{\Lambda} \rightarrow ^4$ He + p + π^- wird das Matrix element berechnet, um das Energiespektrum der π^- -Mesonen und die Winkelverteilun der Protonen zu finden. Gute Übereinstimmung mit dem Experiment wird gefunder wenn eine starke Wechselwirkung zwischen p und α angenommen wird. Kamke.
- 7-740 R. Levi Setti and W. E. Slater. A possible experimental method for the productio and detection of heavy hyperfragments. Nuovo Cim. (10) 14, 985-897, 1959, Nr. 4 (16, Nov.) (Chicago, Ill., Univ., Enrico Fermi Inst. Nucl. Stud.) 80 600-µm-Hford-G-Platten werden mit Uran getränkt und zu einem Plattenbündel zusammengelegt. Ei 50×100 mm² großes Stück dieser Platten wird mit einem moderierten Kr-Mesonenstron so bestrahlt, daß dieser zur Gänze im Plattenbündel zur Wirkung kommt. Die von de durch die Kr-Mesonen bedingte Uranspaltung herrührenden Spaltbruchstücke werde ausgemessen (Reichweite des Bruchstückes 1 14,7, Reichweite des Bruchstückes 10,5, Reichweite eines Protons 4,5 mm). Für die Bruchstücke wird auch der Streuwinkel in Abhängigkeit von der Reichweite gemessen und kurvenmäßig festgehalter Beide Messungen zeigen, daß das die Spaltung auslösende Teilchen unbedingt ei Kr-Meson gewesen sein muß. Die Behandlung der Photoplatte vor und nach der Expesition sowie diese selbst werden genau beschrieben.

 W. Kunz.
- 7-741 I. W. Berkowitsch, A. P. Shdanow, F. G. Lepechin und S. S. Chochlowa. Ze fälle von Hyperfragmenten ohne Mesonenerzeugung. Sh. exp. teor. Fis. 37, 604-61 1959, Nr. 3. (Orig. russ.) Es wird versucht, einige Hyperfragmente zu identifizieren, d in einem mit 4,5 GeV-Pionen beschossenen G-5-Emulsions-Pack erzeugt wurden. A Kriterium für Hyperfragmente diente die Verengung am Ende der Bahn und eine Bah eines Sekundärteilehens länger als 5000 µ, ferner Vorhandensein eines schnellen Protoi (hinreichend, aber nicht notwendig). Die Ladung des Hyperkerns wurde aus der Spu breite in Abhängigkeit von der Restweglänge bestimmt. Bei der systematischen Durch sicht von 47 cm3 der Emulsion wurden acht Doppelsterne mit der entsprechenden Ve engung der verbindenden Spur gefunden, die als Zerfallsakte von Hyperfragmente mit Z=2-6 ohne Mesonenerzeugung gedeutet wurden. Die Identifizierung de Fragmente und der Zerfallsprodukte gelang i. a. vollständig. Ein Kennzeichen de Mehrzahl der betrachteten Fälle war die Existenz zweier auseinandersliegender Nukl onen, die einen erheblichen Teil der Zerfallsenergie abführten. Das entspricht de Zerfallsschema $\lambda + N \rightarrow n + N$. Da meistens ein schnelles Proton emittiert wird, kar man ein schnelles Neutron unter den Zerfallsprodukten vermuten: $\lambda^0 + p \rightarrow n + p$ Unter den Sekundärprodukten sind H2, H3 und He4, was darauf hindeutet, daß d leichten Kerne instabile Unterstrukturen haben. Vogel.

60

T. Yamanouchi and M. F. Kaplon. Possible evidence for a negative heavy meson. hys. Rev. Letters 3, 283–284, 1959, Nr. 6. (15. Sept.) (Rochester, N. Y., Univ., Dep. hys. Astr.) Auf der Kiewer Hochenergiekonferenz wurde von der Existenz eines hweren positiv geladenen Mesons berichtet, das in ein π^+ und K° zerfällt. Aus diesem mende wurde ein einem Berkeley-K⁻-Mesonen-Strahl der Energie 300-MeV auszetzter Emulsions-Stack auf derartige Ereignisse hin nochmals durchuntersucht. alls solch ein Teilchen existiert, so besitzt es vermutlich die Strangeness +2 und es ürde vernünftig erscheinen, wenn sein Antiteilchen mit der Strangeness -2 exiieren würde. Es wurden zwei Ereignisse gefunden, die als Beweis für die Existenz nes neuen negativen schweren Mesons gedeutet werden können.

1.743 K. Chadan and S. Oneda. Leptonic decay modes of the K meson. Phys. Rev. etters 3, 292–295, 1959, Nr. 6. (15. Sept.) (College Park, Maryl., Univ.) Um zu unterchen, wie weit die V-A-FERMI-Wechselwirkung zur Beschreibung der schwachen Vechselwirkungen geeignet ist, werden die Zerfallsraten für Prozesse $K \rightarrow 2\pi + e + \nu$ ogeschätzt. Dabei werden keine Auswahlregeln für die betrachteten Zerfallsprozesse negenommen. Die Berechnung führt auf einen Wert zwischen 10^{-2} und 10^{-3} für die äufigkeit des Prozesses $K^+ \rightarrow \pi^+ + \pi^- + e^+ + \nu$ im Vergleich zum Prozeß $K^+ \rightarrow \pi^+ + \pi^- + \pi^+ + \pi^- + \pi^- + \pi^+$. Wiedecke.

7.44 P. T. Matthews and J. L. Uretsky. K^+ - K^0 mass difference. Phys. Rev. Letters 3, 27—299, 1959, Nr. 6. (15. Sept.) (London, Engl. Imp. Coll.) Da die kürzlich festgeellte Tatsache, daß das K° schwerer ist als die K^\pm -Teilchen, im Gegensatz zu dem erhältnis bei den Pionen und zu dem klassischen Argument steht, die geladenen omponenten eines Massenmultipletts sollten um die elektrostatische Energie schwerer in als die ungeladene, wird der Unterschied zwischen K° und π^0 hervorgehoben, der um besteht, daß das neutrale Pion verschwindende Ladungsdichte besitzt, während Γ das Γ 0 nur die Gesamtladung, nicht die Ladungsdichte verschwindet. Es wird ein nfaches Modell der Γ 0 nur die Gesamtladung het dem das neutrale Teilchen die größere ektrostatische Energie besitzt, und gezeigt, daß diese klassische Interpretation der elbstenergie in enger Beziehung zum Hauptterm in der feldtheoretischen Rechnung eht.

-745 M. J. Balaz, P. I. Lebedew und J. W. Obuchow. Erzeugung von K+-Mesonen wch Protonen aus der kosmischen Strahlung in 3250 m Höhe. Sh. exp. teor. Fis. 37, 39-595, 1959, Nr. 3. (Orig. russ.) Mit Hilfe eines Zählrohrteleskops wurden die in sgesamt 300 g/cm² Blei durch Protonen der kosmischen Strahlung erzeugten K+esonen registriert, und zwar bis zu K+-Impulsen von 0,9 GeV/c. Der Beitrag von $\rightarrow \mu \rightarrow e$ -Žerfällen zur registrierten Anzahl wurde besonders abgeschätzt. Die ebensdauer des K⁺-Mesons stimmt mit früher gemessenen Werten überein, was hon auf die Kleinheit verfälschender anderer Beiträge hindeutet. Das Impulsspektrum er K+-Teilchen ähnelt einer breiten Glockenkurve mit einem Maximum bei 0,6 GeV/c nd einer Halbwertsbreite von etwa 0,15 GeV/c. Die Lebensdauer, bestimmt aus der tegralen Verteilung, ergibt sich zu $(10.0 \pm 1.2) \cdot 10^{-9}$ s. Der Bildungsquerschnitt r K+-Mesonen durch Protonen wird unter den Voraussetzungen abgeleitet, daß der erfall mit Sicherheit im betrachteten Zeitintervall registriert wird, falls ein Sekundärilchen in eines der seitlichen Zählrohre gelangt (keine Absorption der Zerfallsprodukte), uß ferner die K+ in Richtung des sternerzeugenden Teilchens weitersliegen, und daß hließlich die Minimalenergie eines Protons, das registrierbare K-Mesonen erzeugen kann, wa 5 GeV beträgt. Es ergibt sich ein Bildungsquerschnitt, der ½ des geometrischen ismacht und eine untere Schranke für den wahren Wert darstellt. Die Ergebnisse igen, daß der Erzeugungsquerschnitt für K+ mit der Protonenenergie stark anwächst. as Spektrum fällt im Gebiet weicher K⁺ ab. Die beobachtete K⁺-Anzahl zeugt für die berwiegende Rolle der geladenen Komponente der kosmischen Strahlung als K+-Vogel. zeuger.

746 Chou Huang-chao und W. I. Ogiewezki. Zur elektromagnetischen Masse des Klesons. Sh. exp. teor. Fis. 37, 866—867, 1959, Nr. 3. (Orig. russ.) Rosenfeld u. a. und AMFORD u. a. haben festgestellt, daß die Masse des neutralen K-Mesons die des K+

um etwa 4,8 MeV übertrifft. Das Vorzeichen dieser Massendisserenz scheint zunäch dagegen zu sprechen, daß K+ und K0 spinlose Teilchen sind, die zu einem Ladung dublett gehören; wenn K nur über seine Ladung mit dem elektromagnetischen Fe wechselwirkte, müßte nämlich das K+ um seine elektromagnetische Selbstmasse schwer sein. ROSENFELD und CRAWFORD haben daher ihr Ergebnis im Sinne von PAIS gedeute K+ und K0 bilden kein Ladungsdublett und können verschiedene innere Parität habe Vff. zeigen, daß hierzu kein Grund besteht: Ohne über das Multiplettschema vo GELL-MANN und NISHIJIMA hinauszugehen, kann man eine elektromagnetische Wechse wirkung des Ko angeben, die voll für die Massendifferenz aufkommt. Nach FEINBEI (Ber. 37, 1957, 1958) kann nämlich ein spinloses neutrales Teilchen, das verschieden von seinem Antiteilchen ist, wie das Ko, durch virtuelle Dissoziation in stark wechselwirken Teilchen wie Nukleon und Antihyperon mit dem elektromagnetischen Feld gekoppe sein, also ebenfalls eine elektromagnetische Struktur besitzen. Dieser Mechanismus wir auf Grund des Duffin-Kemmerschen 3-Formalismus durchgerechnet; die Massendiff renz zwischen Ko und K+ läßt sich dann durch eine sinnvolle Wahl des Proportionalität faktors im Formfaktor für das Ko auf den gemessenen Wert bringen. Vogel.

7-747 Yukihisa Nogami. The Σ - Λ relative parity and the K-N reaction. Progr. then Phys., Kyoto 22, 25-33, 1959, Nr. 1. (Juli.) (Sakai, Univ. Osaka Pref., Dep. Phys. K-Absorption: $K + N \rightarrow \pi + Y$ gibt eine Möglichkeit, die relative Parität von 1 Mesonen und Barvonen zu bestimmen. Dazu benötigt man zunächst die relati- $\Lambda = \Sigma$ -Parität $P_{\Sigma\Lambda}$. Wenn die π -Baryonwechselwirkung universell ist, d. h. f $=f_{\Sigma}^{2}\Lambda_{\pi}\approx0.08$ und $P_{\Sigma}\Lambda$ gerade, so sind starke Resonanzen in der π -Hyperonstreum zu erwarten, die erheblich die Amplitude der K-Absorption beeinflussen. Vf. untersuc letztere im Fall von ungeradem $P_{\Sigma\Lambda}$. Es stellt sich heraus, daß es Zustände gibt, in den gerades und ungerades $P_{\Sigma\Lambda}$ gleichermaßen zu Resonanzen führen, während in ander-Zuständen Resonanzen nur in einem der beiden Fälle auftreten. Die Konsequenzen f die K-Absorption werden abgeleitet im Hinblick auf die Bestimmung der K-Baryone parität. Behnsch.

7-748 Ken Kawarabayashi. Branching ratios for the K-capture from hydrogen at le energy. Progr. theor. Phys., Kyoto 22, 451-452, 1959, Nr. 3. (Sept.) (Tokyo, Univ Dep. Phys.) Unter Berücksichtigung einer angemessenen Größe für die Pionen-Baryone Kopplung skizziert Vf. die Deutung der Kopplungsverhältnisse für die folgenden niede energetischen K-Einfangprozesse in Wasserstoff: K $^-+p \rightarrow \Sigma \pm 0 + \pm 0\pi$ (experiment wurde $\Sigma^-:\Sigma^+:\Sigma^0:\Lambda^0=4:2:2:1/2$ gefunden). Details folgen in der gleichen Zeitschri

Kleinpoppen.

7-749 G. Höhler und A. Müllensiefen. Über die Berechnung der Photoerzeugung 🦸 πº aus Streudaten. Z. Phys. 157, 30-53, 1959, Nr. 1. (15. Okt.) (München, Univ., Intheor. Phys.) Als Ausgangspunkt für die Berechnung der Photoerzeugung von 7 Mesonen $(\gamma + N \rightarrow N + \pi)$ betrachtet man das elektromagnetische Feld als ei kleine Störung, die Übergänge zwischen den Zuständen des Pion-Nukleon-System hervorruft. Die Matrixelemente haben dabei die Form $\langle \Psi_q | \Pi_Y | \Psi_0 \rangle$, wobei Π_Y d Wechselwirkungsoperator und $|\Psi_0 \rangle$, $|\Psi_q \rangle$ die Eigenzustände des Pion-Nukleon-System sind. Eine zuverlässige Näherung zur Berechnung des obigen Matrixelementes aus de Hamilton-Operator des Nπγ-Systems ist gegenwärtig nicht bekannt; denn die bisl entwickelten Methoden versagen, weil die π-N-Wechselwirkung von den Grenzfällen d starken und schwachen Kopplung weit entfernt ist. Trotzdem kann die Mesontheo zur Berechnung der Photoerzeugung vorausgesetzt werden, wenn man einige theore sche noch nicht herleitbare Eigenschaften des π-N-Systems aus Streuexperimenten ei nimmt. Vff. berechnen nun mit Hilfe der von GELL-MANN, GOLDBERGER (Ber. 36, 15) 1957) am weitesten durchgeführten Theorie dieser Art den Wirkungsquerschnitt der Photoerzeugung. Dabei wurden die gemessenen Streuphasenverschiebungen voral gesetzt. Eine Anpassung der theoretischen Resultate an G(90°) zwischen 260 und 370 M lieferte ein f² = 0,082. Es trat keine systematische Abweichung von den Voraussag für $\mathfrak{S}(90^\circ)$ bis zu E $\gamma=450~{
m MeV}$ auf. Das allgemeine Verhalten des Asymmetrie-Koe zienten B wird richtig wiedergegeben. Ein quantitativer Vergleich, der den Anteil nbekannten elektrischen Dipolterms N⁽⁺⁾ von Chew et al. berücksichtigen müßte, ist ir dann vernünftig, wenn die Messungen verbessert würden. C/A hängt stark von den einen Phasen bis hinauf zu 240 MeV ab. Die Effekte der kleinen Phasen sind ziemlich oß für σ(150°). Abschließend werden die Differenzen mit den Ergebnissen der phänoenologischen Theorie von Brückner-Watson, Sachs et al. und Feld diskutiert.

deinpoppen.

1. K. Dietz und G. Höhler. Zur Voraussage der Photoerzeugung von π⁺ nach der ispersionsmethode. Z. Naturf. 14a, 994–996, 1959, Nr. 11. (Nov.) (München, Univ., 18t. theor. Phys.) Die Theorie der Photoerzeugung von Chew et al. (Ber. 37, 986, 1958) enutzt die relativistischen Dispersionsrelationen, um die Photoamplituden durch die hasen der π-N-Streuung, die Kopplungsstärke f² der Pion-Nukleon-Wechselwirkung ind das magnetische Moment des Nukleons auszudrücken. Während bei der π+Ernugung am Proton das Hauptinteresse in letzter Zeit dem Einfluß des Retardierungsmes bei kleinen Winkeln gilt, haben kürzlich verschiedene Autoren darauf hingeiesen, daß bei größeren Winkeln und Energien oberhalb von 260 MeV die experimenllen Wirkungsquerschnitte zum Teil erheblich kleiner sind als die Voraussagen. In der prliegenden Veröffentlichung zeigen Vff., daß ein wesentlicher Teil dieser Abweichungen it der Wahl der einzusetzenden Streudaten zusammenhängt und daß es verfrüht wäre, on einer ernsthaften Diskrepanz zwischen Voraussagen und den Experimenten zu grechen.

751 Edward A. Knapp, Robert W. Kenney and Victor Perez-Mendez. Angular distriction of photopions from hydrogen. Phys. Rev. (2) 114, 605—611, 1959, Nr. 2. (15. Apr.) Berkeley, Calif., Univ., Lawrence Radiat. Lab.) Es wurde eine genaue Messung der linkelverteilung von Photo-Pionen aus Protonen am Berkeley-Synchrotron für Phonen-Energien zwischen 260 und 290 MeV gemacht. Als Target diente ein dünnwandiges efäß mit flüssigem Wasserstoff. Die Pionen wurden durch verzögerte Koinzidenzen Hand ihres Zerfalls identifiziert. Die Messungen wurden in zwei Stufen ausgeführt; on 0 bis 50° wurde mit einer Apparatur gemessen, die den starken Positronen-Unterund verminderte und von 30° bis 160° mit einer Apparatur, deren Ansprechwahrheinlichkeit und Raumwinkel genau bestimmt werden konnte. Die Ergebnisse der essungen werden mit der Theorie der Photoproduktion, die aus den Dispersionslationen abgeleitet wird, verglichen. Es ergibt sich eine Übereinstimmung innerhalb er Grenzen der Theorie.

-752 Lee G. Pondrom. Positive pion production in proton-proton collisions at 450 Mev. hys. Rev. (2) 114, 1623-1632, 1959, Nr. 6. (15. Juni.) (Chicago, Ill., Univ., Enrico ermi Inst. Nucl. Stud.) Der äußere Protonenstrahl des Chicago-Zyklotrons wurde zur ntersuchung der Reaktion p + p ightarrow π^+ + n + p bei der Energie 450 MeV beranzogen. Die Reaktion p+p \rightarrow π^++ d wurde ebenfalls zur Überprüfung der Apparatur urchgemessen. Zur Messung des Impulsspektrums der Pionen bei den Winkelein- $_{
m ellungen}$ 14°, $_{
m 20,5^{\circ}}$ und 30° im Laborsystem wurde ein doppelfokussierender Magnet rangezogen. Das Auflösungsvermögen des Magnetsystems bei allen Einstellungen hwankte von 1,5% bis 2,2%. Die Methode der kleinsten Quadrate auf die Ergebnisse ${\bf r}$ Reaktion ${\bf p}+{\bf p} \rightarrow \pi^+ + {\bf d}$ im Schwerpunktsystem angewandt, ergab den Wert $s/d\Omega \sim (0.38 \pm 0.20 \pm \cos^2\Theta) \, \mathrm{mit} \, \sigma = 1.47 \pm 0.12 \, \mathrm{mbarn}$. Die Spektra der Reaktion, e zum d führt, stimmten mit den Spektralformen Ss, Sp, Ps und Pp, die durch die tänomenologische Theorie der Pionenerzeugung vorhergesagt werden, überein. Es ergab ch dafür: $d\sigma/d\Omega \sim (0.40 \pm 0.08 + \cos^2 \Theta)$ mit $\sigma = 1.80 \pm 0.7$ mbarn. Die Ergebsse dieser Messungen wurden mit dem Wirkungsquerschnitt für neutrale Pionenoduktion bei der Energie 450 MeV verglichen. Der Vergleich wurde für die Werte der ektralen Formen Ss, Sp und Pp dieses Experimentes als zufriedenstellend angesehen; n besonders großer Betrag der Form Ps, nämlich 0,38 \pm 10 mbarn, war für die Übereinimmung mit den Ergebnissen erforderlich. Die Ergebnisse zeigen, daß σ₁₀ (Pp) wesentch kleiner ist, als früher angegeben wurde. Eine Anregungsfunktion für den Wirkungsierschnitt der Reaktion p+ p $ightarrow\pi^++$ n+p wird mit Hilfe eines phänomenologischen odelles hergeleitet. Man findet, daß sie bei hohen Energien des schießenden Teilchens lerdings zu schnell ansteigt.

7–753 Jeremy Bernstein and Ta-You Wu. X-ray yields in μ -mesonic atomic transition Phys. Rev. Letters 2, 404-405, 1959, Nr. 9. (Princeton, N. J., Inst. Adv. Study.) V knüpfen an die theoretische Arbeit von Day und Morrison (Ber. 37, 2176, 1958) a in der der Wirkungsquerschnitt σ für den Übergang $2P \rightarrow 1S$ in einem mesonisch Atom proportional zu πa_0^2 angegeben wurde, wobei a_0 der Bohrsche Radius für e Elektronenatom war. Vff. halten diesen Wert für $\sigma(2P \rightarrow 1S)$ nicht für angemessen ur zeigen, daß auf Grund der Bornschen Näherung $\sigma(2P \rightarrow 1S) < \pi a q^2$ sein muß. Es i die Meinung der Vff., daß das Experiment von Stearns (Ber. 36, 2041, 1957) nach w vor ungedeutet bleibt, der einen um etwa Faktor 300 größeren Wirkungsquerschni erhalten hat.

7-754 V. L. Telegdi. Consequences of atomic conversion for the interpretation of expension ments on the spin-dependence of muon absorption. Phys. Rev. Letters 3, 59-61, 195 Nr. 1. (1. Juli.) (Chicago, Ill., Univ., Enrico Fermi Inst. Nucl. Stud.) Bernstein, Le YANG und PRIMAKOFF (Ber. 38, 1683, 1959) haben ein Experiment zur Prüfung der Spi abhängigkeit der u-Mesonen-Absorption vorgeschlagen, in dem die Zahl der Zerfall elektronen von u-mesischen Atomen nicht verschwindenden Kernspins I als Funktio der Zeit aufgetragen werden soll; der Logarithmus der Zerfallskurve müßte dann ein positive Krümmung aufweisen, wenn die beiden Zustände des mesischen Hyperfei struktur-Dubletts mit den Gesamtdrehimpulsen $F=I\pm 1/2$ verschiedene Leben dauern haben auf Grund einer Abhängigkeit der μ -Mesonen Absorptionsrate von F. der vorliegenden Arbeit wird gezeigt, daß die Berücksichtigung der Übergänge vo energetisch höheren in den tieferen Zustand des Dubletts zu einer Modifikation der Au sage für das vorgeschlagene Experiment führt: 1. Eine negative Krümmung kann ne für den Fall auftreten, daß die u-Mesonen-Absorption schneller ist für antiparalle Spins von Meson und Proton, 2. Verschwindende Krümmung schließt Spinabhängigke nicht aus. 3. Die Übergänge vom höheren zum niedrigeren Zustand des Dubletts sir für ${
m Z}>13$ häufig genug, um zu einer negativen Krümmung zu führen, wenn die unter genannte Bedingung erfüllt ist. Wiedecke.

7-755 C. M. York, C. O. Kim and W. Kernan. Search for the reaction $\mu^+ + e^- \to \gamma + Phys$. Rev. Letters 3, 288–291, 1959, Nr. 6. (15. Sept.) Berichtigung ebenda 4, 32 1960, Nr. 6. (15. März.) (Chicago, Ill., Univ., Enrico Fermi Inst. Nucl. Stud., Phy Dep.) Zur Untersuchung der Vernichtungsreaktion $\mu^+ + e^- \to \gamma + \gamma$ wird ein π Mesonen-Strahl in einer Kupferscheibe von 0,25 Zoll Dicke zur Ruhe gebracht. A Target wurde deshalb Kupfer benutzt, weil einmal die Elektronendichte so groß is wie bei den schweren Elementen, andererseits aber das Z wieder klein genug ist, daß kein nennenswerter Untergrund von solcher γ -Strahlung vorhanden war, der vor den Zerfallselekttonen der μ -Mesonen erzeugt wird. Die Messung geschieht mit zw. Natriumjodid-Zählern von 5 Zoll Durchmesser und 4,5 Zoll Dicke. Die gemessene Rea tionsrate betrug $R_{\mu} \leq 2,5 \pm 0,4$ (sec⁻¹) und war damit etwa um einen Faktor 10° gringer als bei der Vernichtungsreaktion $e^+ + e^- \to \gamma + \gamma$.

7-756 E. M. Friedländer. Multiple meson production by 9 GeV protons on emulsionuclei. Nuovo Cim. (10) 14, 796–814, 1959, Nr. 4. (16. Nov.) (Bucharest, Inst. Atom Phys., Cosmic Ray Lab.) Ein Plattenpaket wurde im Protonensynchrotron von Dubmit Protonen von 9,2 GeV bestrahlt. Es wurden Sterne mit $n_{\rm e} \geq 4$ Schauerteilche ausgezählt. Entsprechend dem Tunnelmodell wächst die Zahl der angestoßenen Nkleonen mit $A^{1/3}$ und entsprechend die Zahl der Schauerteilchen. Sterne mit $N_{\rm h} \leq$ schweren Spuren stammen sicher von leichten Kernen, Sterne mit $N_{\rm h} \geq 7$ von schwere Sterne mit $N_{\rm h} = 5$ oder 6 wurden bei der Untersuchung weggelassen. Die mittle Zahl der Schauerteilchen beträgt bei leichten Kernen 5,24, bei schweren Kernen 6 entsprechend dem Tunnelmodell. Aus dem mittleren Streuwinkel der Schauerteilcherrechnet sich die mittlere Zahl der angestoßenen Nukleonen zu 1,8 bzw. 3,4. D. Winkelverteilung ist im Schwerpunktsystem isotrop, sie deutet an, daß auch Stözwischen Protonen und π -Mesonen auftreten (Massenverhältnis 1:6,6) und daß Mesonen stoßen. Bei Stößen mit leichten Kernen übernimmt in 40% der Fälle e einzelnes Teilchen einen außergewöhnlich hohen Energiebetrag, bei schweren Kernen

30% der Fälle. Dieses Teilchen kann ein Nukleon oder ein π -Meson sein. Bei paarsisem Auftreten kann auch ein π -Meson in der Platte nach rückwärts fliegen.

Erbe.

757 V. A. Meshcheriakov. The π -mesonic atom and corrections to the dispersion lations. Soviet Phys.-JETP 8, 200, 1959, Nr. 1. (Jan.) (Engl. Übers. aus: J. exp. eor. Phys., Moskau 35, 290, Juli.) (Moscow, State Univ.) Da die für den Prozeß $r+p \to \pi^- + p$ bisher abgeleiteten Dispersionsbeziehungen nicht in Einklang mit en Experimenten zu bringen sind, wenn man eine einheitliche Pion-Nukleon-Koppingskonstante für den Energiebereich unterhalb und oberhalb der Resonanz ansetzt, und die Korrektur an den Dispersionsbeziehungen untersucht, die durch das π -mesische tom hervorgerusen wird. Numerische Rechnungen ergeben, daß diese Korrektur nur den kleinen Effekt liefert und bei 120 MeV nur 4% der Abweichung von der Koppingskonstanten erklären kann. Wiedecke.

758 K. I. Alexejewa, S. I. Brikker, N. L. Grigorow, W. S. Mursin und F. D. Sawin. ratosphärenmessungen der Erzeugung von π^0 -Mesonen bei der Wechselwirkung von Protonen id α-Teilchen aus der kosmischen Strahlung mit Kohlenstoffkernen. Sh. exp. teor. Fis. 37, 596 s 603, 1959, Nr.3. (Orig. russ.) Die für π^0 -Erzeugung verwendete Energie der kosmischen rahlung läßt sich aus Messungen der Ionisierung im Maximum einer Kaskade an and der Zerfalls-γ-Quanten bestimmen. Der Zusammenhang zwischen der Teilchenhl im Kaskadenmaximum N_{max} und der Energie E des Primärelektrons oder Photons, n Belenki ("Lawinenprozesse in der kosmischen Strahlung", Moskau 1948) theoresch abgeleitet hat, liefert aus dem gemessenen N_{max} die Gesamtenergie E der Zerfalls-Quanten, ohne daß der Querschnitt der unelastischen Wechselwirkung bekannt zu in braucht. Vff. untersuchten auf 31°N geomagnetischer Breite in 25 km Höhe mit ilfe von Impuls-Ionisierungskammern und eines Hodoskops die unelastische Streuung n Protonen und α-Teilchen an C-Kernen an Hand der Ionisierung im Maximum einer askade infolge der π^0 -Zerfalls- γ -Quanten (mittlere Energie der Primärprotonen GeV, der Primär-a-Teilchen 40 GeV). Die Geräte wurden mit Kugelsonden hochfördert, die Ergebnisse zum Boden gefunkt. Der zur π⁰-Erzeugung aufgewandte nergieanteil für Protonen von etwa $10^{10}\,\mathrm{eV}$ beträgt $0.10\,\pm\,0.03$ für einen Wechselrkungsakt mit einem C-Kern. Der entsprechende Wert für Primär-α-Teilchen, 0,14 0.10, stimmt innerhalb der Fehlergrenzen mit dem Wert für Protonen überein.

Vogel.

759 J. S. Krestnikow, A. G. Meschkowski, J. J. Schalamow, W. A. Schebanow und **J. Kobsarew.** Die Zerfälle $\mu \to e + \gamma$ und $\mu \to e + \nu + \tilde{\nu} + \gamma$. Sh. exp. teor. Fis. 37, 3-875, 1959, Nr. 3. (Orig. russ.) Die universelle A-V-Wechselwirkung läßt sich verehen, wenn man annimmt, daß es ein vorübergehend erzeugtes schweres Boson gibt. ieraus folgt dann die Möglichkeit eines $\mu
ightarrow$ e $+\gamma$ -Zerfalls. Für eine punktförmige -V-Wechselwirkung wäre er verboten. FEINBERG hat die Wahrscheinlichkeit dieses rfalls berechnet und gezeigt, daß ihr Verhältnis zur Wahrscheinlichkeit des Zerfalls it Erzeugung eines Neutrinopaares vom Abschneideparameter Λ abhängt. Ist Λ gleich r Masse M des Bosons, so ist dieses Verhältnis 10^{-4} , bei $\Lambda < {
m M}$ kann es beliebig klein erden. Vff. suchten nach dem $\mu \rightarrow e + \gamma$ -Zerfall mit Hilfe einer 17 l-Freon-Blasenmmer, die besonders effektiv für γ-Registrierung war. Die Kammer befand sich im ßeren π⁺-Strahl des Synchrozyklotrons von Dubna; die π⁺-Mesonen (etwa 200 MeV) urden vor dem Eintritt in die Kammer in einem Graphitfilter gebremst. Etwa 20000 ereoaufnahmen wurden gewonnen und zweimal ausgewertet. Dabei wurde nach Fällen sucht, wo der π - μ -e-Zerfall mit einem Elektronenpaar endete, das bis auf $5-7^{\circ}$ die chtung des Zerfalls-γ-Quants hatte. Der Untergrund infolge "zufälliger" Richtungsinzidenzen wird auf weniger als 5% abgeschätzt. Das Verhältnis der Querschnitte die Reaktionen $\mu \to e + \nu + \tilde{\nu} + \gamma$ und $\mu \to e + \nu + \tilde{\nu}$ ergibt sich zu 0.80 ± 0.36 -3. Um dieses Ergebnis mit der Theorie zu vergleichen, wurden für eine Variante der V-Wechselwirkung Gesamtwahrscheinlichkeit und Winkelverteilung der ersten dieser aktionen für verschiedene Werte der minimalen registrierbaren γ-Energie berechnet of Grund der Arbeit von LENARD, Phys. Rev. 90, 968, 1953). Danach liegt der theoretine Wert des Verhältnisses zwischen 1,02 · 10⁻³ und 1,80 · 10⁻³.

7–760 J. A. Budagow, S. Viktor, W. P. Dshelepow, P. F. Jermolow und W. I. Mokalew. β -Zerfall des negativen Pions. Sh. exp. teor. Fis. 37, 878–880, 1959, Nr. (Orig. russ.) Alle bisherigen Messungen zum β-Zerfall der Pionen wurden am ruhende Pion ausgeführt; Impeduglia u. a., Anderson u. a., (Ber. 38, 1684, 1959; Nr. 1-769 erhielten für das Querschnittsverhältnis der Reaktionen $\pi^+ \to e^+ + \nu$ und $\pi^+ \to \mu^+ + \nu$ einen Wert von $10^{-4} + 20 - 40\%$, der mit den theoretischen $1, 3 \cdot 10^{-4}$ nach der univer sellen V-A-Theorie des \(\beta\)-Zerfalls übereinstimmt. Für negative Pionen müßte infolg der relativistischen Invarianz (CPT-Satz) dieses Verhältnis den gleichen Wert haber eine experimentelle Bestimmung scheint aber trotzdem wichtig. Sie ist nur im Flug möglich; daher werteten Vff. Messungen in einer Diffusionskammer mit einem Magne feld von 9000 G über die Wechselwirkung 130 und 160 MeV-π--Mesonen mit Protone sowie seltene Zerfallstypen von π⁰-Mesonen aus. Unter 100 000 dreifach durchgesehene Stereophotographien fanden sich 29 Fälle, bei denen das Sekundärteilchen um mehr a 20° abgelenkt wurde (der Maximalwinkel beim $\pi \to \mu \to e$ -Zerfall mit 130 MeV ist 10° 26 Fälle konnten durch Impuls- und Winkelmessung als µ- → e-Zerfälle und 3 al $\pi^- \to e^-$ Zerfälle identifiziert werden. Andere mögliche Prozesse, die einen $\pi^- \to e^-$ Zerfall vortäuschen könnten, haben sehr geringe Wahrscheinlichkeit. Für die relativ Wahrscheinlichkeit des direkten β -Zerfalls des negativen Ions ergibt sich $(1,2\pm0,7)$ · 10-4, was innerhalb der Fehlergrenzen mit dem eingangs erwähnten experimentelle und dem theoretischen Wert auf Grund der universellen V-A-Wechselwirkung übereit Vogel. stimmt.

7–761 Steven C. Frautschi. A lower limit on the π° lifetime. Progr. theor. Phys Kyoto 22, 544–548, 1959, Nr. 4. (Okt.) (Kyoto, Univ., Res. Inst. Fundam. Phys Es wird angenommen, daß die Streuamplitude von $\gamma + P \to \gamma + P$ analytisch zu de Polen fortgesetzt werden kann, die bei Austausch eines π° zwischen P und γ entstehen. Durch die experimentelle Begrenzung der möglichen Größe der Residuen an de Polen erhält man die untere Grenze $\tau \gtrsim 6 \cdot 10^{-19}$ see für die π° -Lebenszeit.

D. Schulz.

7-762 Gerson Goldhaber, William B. Fowler, Sulamith Goldhaber, T. F. Hoang, Theodore E. Kalogeropoulos and Wilson M. Powell. Pion-pion correlations in antiprotoannihilation events. Phys. Rev. Letters 3, 181–183, 1959, Nr. 4. (15. Aug.) (Berkeley, Calif., Univ., Lawrence Radiat. Lab., Dep. Phys.) In dieser Arbeit werden Winke korrelationselfekte zwischen solchen Pionen untersucht, die von Antiprotonenven nichtungen herrühren. Das Experiment wurde mit einem Antiprotonenstrahl mit der Impuls $p_{\bar{p}}=1,05$ BeV/c durchgeführt. Insgesamt wurden 2500 Vernichtungsereigniss in 20000 Aufnahmen mit der 30-Zoll-Propan-Blasenkammer des Lawrence-Strahlungslaboratoriums untersucht. Die bei der Antiprotonen-Vernichtung emittierten geladene Pionen bilden Pionenpaare, die in zwei Gruppen eingeteilt werden können: gleiche Paar (mit dem isotopen Spin I = 0, oder 2). Es wurde nach Korrelationselfekten in diesen separaten Gruppen gesucht. Die Ergebnisse zeigen, daß die Winkelverteilung zwischen Pionen gleicher Ladung völli verschieden ist von der Winkelverteilung zwischen den Pionen ungleicher Ladung.

Allkofer.

7-763 A. G. Ekspong. On the scattering of antiprotons in nuclear matter. Ark. Fys. 16 129–136, 1959, Nr. 2. (Uppsala, Inst. Phys.) Aus der Annahme, daß die unelastisch Streuung energiereicher Partikel an einem Kern durch individuelle Teilchen-Nukleot Stöße verursacht wird, folgt pro Nukleon $\sigma_{\rm eff} = f \cdot \sigma_{\rm Streu}$, wobei f die Reduzierung de Streuquerschnittes für Streuung am freien Nukleon ($\sigma_{\rm Streu}$) infolge der Einwirkung de am Stoß nicht beteiligten Nukleonen angibt. f berücksichtigt das Pauli-Prinzip, da ge wisse Arten von Stößen (Impulsübertragungen) verboten sind. Die Berechnung de effektiven Streuquerschnittes in nichtrelativistischer Näherung für Antiprotonen i Kernmaterie auf der Basis der Theorie von Goldberger wird dadurch erschwert, da der Querschnitt für Antiprotonen — freie Protonen — Streuung (σ_p) stark anisotrop is (starke Vorwärtsstreuung). Hierfür wird die Formel für die Beugungsstreuung an eine vollständig absorbierenden Kugel eingesetzt und gleich dem differentiellen Streuquerschnitt für freie Neutronen angenommen. Die Streuung an freien und gebundene

ukleonen wird verglichen und für eine Antiprotonenerergie von 190 MeV (im Kern) = 0,62 ermittelt gegenüber 0,935 bei Annahme eines isotropen Streuquerschnittes.

.. H. Oe

- -764 G. Baroni, G. Bellettini, C. Castagnoli, M. Ferro-Luzzi and A. Manfrediniesults on antiproton-proton elastic scattering. Nuovo Cim. (10) 12, 564-570, 1959, r. 6. (16. Juni.) (Roma, Univ., Ist. Fis.; Ist. Naz. Fis. Nucll) 15 neue p-H-Streueignisse. Gemessen wurden Winkelverteilung und totaler Querschnitt: $\sigma = (65, 7-17)$ mbarn. Durch Mittelung zusammen mit früheren Messungen ist jetzt $\sigma = (70, 9-12, 7)$ mbarn. Winkelverteilung und Querschnitt stimmen mit der Theorie von Balland Chew überein. Aus vier Ereignissen konnte die Antiprotonenmasse neu bestimmt erden: $(0.998) \pm 0.015$) Protonenmassen.
- 765 B. B. Dotsenko. On the structure of the proton. Soviet Phys.-Doklady 3, 307-310, 958, Nr. 2. (März/Apr.) (Engl. Übers. aus: Proc. Acad. Sci. USSR 119, 466, 1958, Nr. 3.) ine Interpretation der von Chambers und Hofstadter experimentell gefundenen adungsdichteverteilung des Protons wurde versucht. Ausgehend von der Vorstellung es Protons als einem Kern mit einer Mesonenwolke (gebildet aus einem einzelnen leson) wurden stationäre Lösungen für die dieses System beschreibende relativistische Vellengleichung ausgerechnet.

 G. Weber.
- -766 J. S. Bell and E. J. Squires. A formal optical model. Phys. Rev. Letters 3, 6-97, 1959, Nr. 2. (15. Juli.) (Harwell, Engl., Atomic Energy Res. Est.) Für die elatische Streuung eines Teilchens an einem Kern wird ein Einteilchen-Potential konstruiert ir den Fall, daß das einfallende und die Target-Teilchen identische, nichtrelativistische ermionen sind. Das PAULI-Prinzip wird berücksichtigt. Die Methode stellt eine Veresserung der von FRANTZ und MILLS (nicht verößentlicht) entwickelten dar.

Wiedecke.

- -767 A. E. Glassgold, Warren Heckrotte and Kenneth M. Watson. Collective excitions of nuclear matter. Ann. Phys., N. Y. 6, 1—36, 1959, Nr. 1. (Jan.) (Berkeley, Jniv. Calif., Radiat. Lab. a. Dep. Phys.) Nach einer rein klassischen makroskopischen Beschreibung hydrodynamischer Wellen in Kernmaterie werden die kollektiven Zutände quantenmechanisch untersucht. Ausgehend von der Bruecknerschen Theorie er Grundzustände werden die angeregten Zustände nach der von Sawada für ein Elektronengas entwickelten Methode behandelt, die für den gewöhnlichen und den isoaren Spin sowie für die Impulsabhängigkeit des von Brueckner eingeführten Koperators erweitert wird. Die quantenmechanischen Zustände werden zur klassischen ydrodynamischen Bewegung in Beziehung gebracht. Als Folge der inneren Freiheitsrade treten nicht nur die üblichen Kompressions-, sondern auch Spin-, Isobarenspind gekoppelte Spin-Isobaren-Spin-Wellen auf. Die Isobarenspinwellen können mit den EOLDHABER-Teller-Schwingungen verknüpft werden. Korrektionen der Sawada-Theorie werden untersucht.
- -768 W. G. Nossow. Zur Bestimmung der Kerndeformationen aus der Feinstruktur des -Zerfalls. Sh. exp. teor. Fis. 37, 886–887, 1959, Nr. 3. (Orig. russ.) Vf. hatte gezeigt Ber. 38, 245, 1959), daß man aus der Feinstruktur des α-Zerfalls auf die Form des Ochterkerns schließen kann, und eine Theorie des Zerfalls von gg-Kernen entwickelt, ie für die Wellenfunktionen des α-Teilchens einheitliche analytische Ausdrücke für den anzen Raum liefert. Es ergibt sich daraus ein bequemer Ausdruck für die relative unregungswahrscheinlichkeit eines Rotationsterms des Tochterkerns mit dem Moment aus dem unter Vorgabe der Wellenfunktion des α-Teilchens mit Hilfe der experimenellen Anregungswahrscheinlichkeiten für einen 2+-Term die Quadrupoldeformationen zehnungen von Strutinski (Ber. 38, 2104, 1959) verglichen, die von den gleichen hysikalischen Annahmen ausgehen, aber eine andere Methodik haben. Es wird gezeigt, aß die Grundformel von Strutinski impliziert, daß die Durchlässigkeit der Potential-chwelle für ein α-Teilchen unabhängig von seinem Moment ist (es fehlt der Exponential-

faktor $\exp{(-\gamma'J(J+1))}$. Numerische Rechnungen zeigen, daß diese Annahme nich zutrifft, bestätigen also den vollständigeren Ausdruck des Vf. Vogel.

7-769 Kichinosuke Harada and Nobuo Oda. Radial dependence of imaginary part of nuclear optical potential. Progr. theor. Phys., Kyoto 21, 260—268, 1959, Nr. 2. (Febr. (Tokyo, Japan Atomic Energy Res. Inst., Dep. Nucl. Phys.; Rikkyo Univ., Dep. Phys. Der Imaginärteil des optischen Kernpotentials wurde für Neutronen auf Grund de statistischen Einteilchenmodells bei Annahme einer diffusen Kernoberfläche gerechnet. Die Ergebnisse zeigten unter Annahme vernünftiger Werte für die freien Parameter di von BJORKLUND und FERNBACH gefundene Lokalisation der Absorption nahe der Oberfläche. Der Einfluß des PAULI-Prinzips, der Energieabhängigkeit des Zweikörper-Stoff querschnittes, der Abhängigkeit der Parameter von der Massenzahl und der Korrelation zwischen den Nukleonen im Kern auf dieses Ergebnis wurde diskutiert.

G. Weber.

- 7–770 Günther Guthöhrlein, Hans Kopfermann, Gerhard Nöldeke und Andreas Steudel Die Kernmomente des Os¹⁸⁷. Naturwissenschaften 46, 598–599, 1959, Nr. 21. (Nov. (Heidelberg, Univ., 1. Phys. Inst.) Aus Hyperfeinstrukturuntersuchungen der Os I-Linien $\lambda=4794$ Å (5d⁶6s² a⁵ D₃ 5 d⁶6s 6 p z⁷ D₃) und $\lambda=4261$ Å (5 d⁶6 s² a⁵ D 5 d⁶6s 6 p z⁷ D₅) wird die Kerndrehimpulsquantenzahl I des Os¹⁸⁷ zu I (Os¹⁸⁷) = 1/2 bestimmt. Unter Verwendung des bekannten magnetischen Kerndipolmomentes vo Os¹⁸⁹ und der entsprechenden A-Faktoren dieses Isotops berechnen die Autoren au Größe und Vorzeichen der Aufspaltung von 24,0 · 10⁻³ ($\lambda=4794$ Å) bzw. 52,6 · 10⁻³ cm ($\lambda=4261$ Å) das magnetische Kerndipolmoment μ_I des Os¹⁸⁷ zu μ_I(Os¹⁸⁷) = +0,06 ± 0,003 K.M. Für die Untersuchungen wurde durch β-Zerfall von Re¹⁸⁷ entstandene Os¹⁸⁷ verwendet. Da I (Os¹⁸⁷) = 1/2 ist, handelt es sich bei dem β-Zerfall um eine. ΔI = 2-Übergang. Die große Halbwertszeit von etwa 5 · 10¹⁰ a ist durch den geringer Energieunterschied von ~ 43 keV zwischen Mutter- und Tochtersubstanz zu erklären Kosfeld.
- 7-771 N. I. Kalitejewski, M. P. Tschaika, I. Ch. Patschewa und E. J. Fradkin. Kern momente der ungeraden Gadolinium-Isotope. Sh. exp. teor. Fis. 37, 882-884, 1956 Nr. 3. (Orig. russ.) Mit einem photoelektrischen Spektrometer mit Fabry-Perot Interferometer wurde die Hyperfeinstruktur dreier Linien von Gd I untersucht, nämlic 5015 Å $(z''G_9 - a''F_8)$, 5103 Å $(z''G_8 - a''F_7)$ und 5251 Å $(z''G_8 - a''F_8)$. Es wurd mit sehr reinen isotopengetrennten Präparaten gearbeitet (Gd155:97,3% bzw. Gd16 :91,4%). In Übereinstimmung mit paramagnetischen Messungen wurde eindeutig gezeigt, daß beide Isotope den Spin I=3/2 haben. Das Verhältnis der magnetische Momente ist $\mu_{155}/\mu_{157} = 0.79 \pm 0.02$, die Absolutwerte $\mu_{155} = -0.32 \pm 0.04$ un $\mu_{157}=-0.40\pm0.04$ stimmen innerhalb der Fehlergrenzen mit früheren Messunge überein. Für das Verhältnis der Quadrupolmomente ergab sich $Q_{155}/Q_{157}=0.78\pm0.00$ was den Angaben von Speck (Ber. 36, 85, 1957) widerspricht (dort war Q155 > Q157) Die Absolutwerte der Quadrupolmomente (1,6 · 10⁻²⁴ cm² bzw. 2 · 10⁻²⁴ cm²) sind fas doppelt so groß wie bei Speck; der Fehler läßt sich schwer abschätzen, weil für die unter suchten G-Terme des Gd die L-S-Kopplung schlecht erfüllt ist, so daß in der Berück sichtigung der Elektronen-Matrixelemente eine große Unsicherheit steckt. Die darau berechneten inneren Quadrupolmomente (8 · 10-24 bzw. 10 · 10-24 cm²) stimmen größen ordnungsmäßig mit den Ergebnissen bei COULOMB-Anregung des Gd überein. Es et geben sich Deformationsparameter $\delta_{155} = 0.31$ und $\delta_{157} = 0.37$, was gut mit der Ände rung der Deformation in der Reihe der seltenen Erden nach COULOMB-Anregungs messungen für gg-Kerne übereinstimmt. Aus diesen Deformationsparametern und de magnetischen Momenten wurden die gyromagnetischen Verhältnisse g_K und g_R für di innere und die kollektive Bewegung berechnet. Vogel.
- 7-772 C. V. Heer. Hyperfine coupling in metals. Physica 24, 155-156, 1958, Supp (Sept.) (Columbus, Ohio State Univ., Dep. Phys.)
- 7-773 R. G. Scurlock. Hyperfine coupling in ferromagnetics. Physica 24, 156, 1958 Suppl. (Sept.) (Oxford, Clarendon Lab.) V. Weidemann.

- 774 N. Kurti. Some aspects of the nuclear orientation work at Oxford. Physica 24, 1958, Suppl. (Sept.) (Oxford, Clarendon Lab.)
- 775 H. Postma, A. R. Miedema and M. J. Steenland. The β-asymmetry of polarized Mn nuclei and the γ-anisotropy of aligned ¹⁶⁶Ho nuclei. Physica 24, 155, 1958, Suppl. ept.) (Leiden, Kamerlingh Onnes Lab.)
- 776 R. I. Hulsizer, W. J. Huiskamp, J. C. Wheatley and A. C. Anderson. Nuclear ignment of ⁵⁸Co and ⁶⁰Co. Physica 24, S. 455, 1958, Suppl. (Sept.) (Univ., Illinois, Dep. ys.)

 V. Weidemann.
- 777 A. Lodding. Das Temperaturverhalten des Isotopieeffektes bei Stromdurchgang in issigen Alkalimetallen. Z. Naturf. 14a, 934-937, 1959, Nr. 11. (Nov.) (Göteborg, nalmers Techn. Hochsch., Inst. Phys.) Die Isotopenüberführung in flüssigen Metallen mmt im allgemeinen mit der Temperatur zu (In, Ga, Sn, Hg). Vf. erhielt jedoch kürzh (Ber. 38, 1688, 1959) einen Hinweis dafür, daß die Isotopenführung in Rubidium ein aximum durchläuft. Zur genauen Prüfung dieses Befundes wurden weitere Versuche K und Rb vorgenommen. Das Metall (Reinheit 99.9%) wurde in Kapillarapparaturen eichstrom ausgesetzt. Die Versuchsanordnung war der früher für Rb angewandten mlich. Die Temperaturabhängigkeit der Isotopenüberführung wurde in Kalium rischen 79°C und 335°C untersucht. Es ergab sich ein Anstieg des Magneteffektes u. s ca. 250°C; oberhalb 300°C fiel μ jedoch wieder ab. Dies stimmt mit dem früher unterchten und durch neue Messungen bestätigten Verhalten von Rubidium überein. Abhließend wird der Temperatureffekt der Isotopieüberführung im Rahmen des Modells en A. Klemm (Ber. 34, 1816, 1955) diskutiert. Aus einer graphischen Darstellung der perimentellen und theoretischen Resultate folgt eine befriedigende Übereinstimmung.
- 778 **0.** Almén, G. Bruce and A. Lundén. Electromagnetic isotope separator in Gotheng. Nuclear Instrum. **2**, 249–260, 1958, Nr. 3. (Apr.) (Gothenburg, Chalmers Univerlind), Dep. Phys.) Es wird ein elektromagnetischer 90°-Isotopenseparator mit einem rahlradius von 100 cm beschrieben. Mit einer Beschleunigungsspannung von 50 kV men Ionenströme bis zu einigen hundert μA erzeugt werden. Der Ionenstrom und das rlösungsvermögen sind während des Betriebs in weiten Grenzen variierbar durch Verellung des Linsensystems. Zwei Typen magnetischer Ionenquellen werden benutzt, a Targets für Kernreaktionsuntersuchungen und Proben für β- und γ-Spektroskopie rzustellen. (Zfg.)
- 779 A. O. Rietveld, A. van Itterbeek and C. A. Velds. Viscosity of binary mixtures of drogen isotopes and mixtures of He and Ne. Physica 25, 205—216, 1959, Nr. 3. (März.) eiden, Kamerlingh Onnes Lab.) Mit der Methode der schwingenden Scheibe wurde die skosität von Mischungen von H₂-HD, H₂-D₂, HD-D₂ und He-Ne bei Temperaturen 293, 230, 195, 90, 70, 20 und 14°K und verschiedenen Konzentrationen gemessen. e Viskositäten der Wasserstoffisotope verhalten sich annähernd wie die Wurzeln aus n Molekulargewichten, nur bei tiefen Temperaturen treten größere Abweichungen auf. e Meßwerte werden mit Berechnungen auf Grund des Lenard-Jones-Potentiales rglichen, und die Ursachen der Abweichungen werden diskutiert. W. Weber.
- 780 H. Drost und H. Pupke. Über die natürliche Radioaktivität einiger Gläser. Exp. ch. Phys. 7, 20—26, 1959, Nr. 1. (Berlin, Akad. Wiss., Inst. Med. Biol.) Eine Reihe reschiedener Gerätegläser wurde auf ihre Radioaktivität untersucht. Die Glasrohre deten den Außenmantel von Zählrohren, deren Zähleinrichtung aus dem Zähldraht deinem Drahtzylinder bestand. Die Aktivität der Gläser ist allgemein gering. Nach wendung verschiedener Reinigungsverfahren änderte sich die Zählrate nicht. Zwischenichaltete Al-Folien ergaben ebenfalls keine Änderung, so daß eine γ-Strahlung andermen wird.
- 781 H. D. Holmgren, E. A. Wolicki and R. L. Johnston. $B^{11}(He^3, p)C^{13}$ and $B^{11}(He^3, p)C^{14}$ reactions. Phys. Rev. (2) 114, 1281—1285, 1959, Nr. 5. (1. Juni.) (Washington,

- D. C., U. S. Naval Res. Lab., Nucl. Div.) Einfach geladene He³-Ionen wurden in einer Van-de-Graaff-Generator beschleunigt und auf dünne, aufgedampfte B¹¹-Targets geschossen. Der differentielle Wirkungsquerschnitt der Reaktionen B¹¹(He³, p)C¹³ und B¹¹(He³, d)C¹² wurde bei den Energien 4,5 und 5,4 MeV gemessen. Die Ausbeute diese Reaktionen wurde im Energiebereich von 3,00 bis 5,4 MeV gemessen. Der Verlauf de Winkelverteilung für Deuteronen zeigt eine starke Bevorzugung der Vorwärtsrichtung damit ist die Annahme verträglich, daß eine Stripping Wechselwirkung der hauptsäclichste Mechanismus der Reaktion ist. Die Winkelverteilung der Protonengruppe dagegen ist verwickelter und sehwerer zu erklären, doch legt die schwache Veränderur der Ausbeutekurven mit der Energie es nahe anzunehmen, daß eine direkte Wechse wirkung vorliegt.
- 7–782 S. Hinds and R. Middleton. Some angular distribution measurements on the reations $^{16}O(^{3}\text{He}, d)^{17}F$ and $^{16}O(^{3}\text{He}, \alpha)^{15}O$. Proc. phys. Soc. Lond. 74, 775–779, 1959, Nr. (Nr. 480). (1. Dez.) (Aldermaston, Berks., Atomic Weapons Res. Est.) Beschuß vor Sauerstoff mit He³ von 5,70; 5,89; 9,16 MeV, Nachweis mit Kernemulsionen. (He³, α Reaktion bei 9 MeV scheinbar vorwiegend durch direkte Wechselwirkung, auf Grund de Winkelverteilungen Spin- und Paritätszuordnungen. Bei 6 MeV dagegen wesentlic anders, was insofern überraschte, als bei dieser Energie $O^{16}(\text{He³}, p)$ vorherrschend dur direkten Prozeß bewirkt zu werden scheint. (He³, d)-Reaktion bei 9 MeV scheinbar übe wiegend direkt (stripping) in Übereinstimmung mit Beobachtungen an Be³(He³, d). G. Schumann.
- 7–783 S. Hinds and R. Middleton. The energy levels of 21 Ne. Proc. phys. Soc. Lond. 7 779–782, 1959, Nr. 6 (Nr. 480). (1. Dez.) (Aldermaston, Berks., Atomic Weapons Re Est.) Beschleunigung von einfach geladenen He³ in van de Graaff auf 5,87 \pm 0,010 Me (bestimmt aus elastischer Streuung) und Beschuß einer dünnen CaF₂-Schicht. Messur des Protonenspektrums mit magnetischem Spektrometer lieferte 67 Gruppen bzv. Niveaus von Ne²¹. Gute Auflösung gegenüber Messungen an Ne²⁰ (α , p) mit Gastarget Oberhalb 6,756 MeV Zunahme des Protonenuntergrundes wahrscheinlich durch hi unter den relativ sehmalen Niveaus nicht nachgewiesene breite virtuelle Zustände. Wert für F¹⁰ (He³, p)Ne²¹ 11,902 \pm 0,015 MeV.

 G. Schumann.
- 7-784 A. K. Lavrukhina, L. P. Moskaleva, L. D. Krasavina and I. M. Grechishchev The formation of ²⁴Na and ³²P by the interaction of high energy protons with complenuclei. J. nuclear Energy 8, 231-238, 1959, Nr. 4. (Jan.) Die Ausbeute an ²⁴Na und ³²beim Beschuß von Cu, La, Au und Th wurde radiochemisch untersucht; für Protoner energien zwischen 120 und 660 MeV steigt sie beträchtlich an und hängt deutlich ver der Ordnungszahl des Auffängerelements ab. Ein Vergleich der berechneten Schwelle für die Bildung von ²⁴Na und ³²P durch Spallation und Spaltung mit den experimentelle Werten zeigt, daß diese bei Cu, La und Au im wesentlichen durch stark asymmetrisch Spaltung entstehen. Die Erzeugung von ³²P am Cu stellt eine Ausnahme dar; sie erfolg durch Spallation, ein Prozeß, der auch für die ²⁴Na-Erzeugung am Cu bedeutsam is S. Wagner.
- 7-785 Cao Xuan Chuan. Étude de la réaction Be (n,2n) 2α . J. Phys. Radium 2 621-623, 1959, Nr. 6. (Juni.) (Orsay, Lab. Phys. nucl.) Be wurde in Kernphotoplatte eingelagert, die mit 14 MeV Neutronen bestrahlt wurden. Die Reaktion scheint i wesentlichen über das 2,9 MeV-Niveau des angeregten Be zu verlaufen. Der Wirkung querschnitt wird auf 470 mbarn $\pm 30\%$ geschätzt. Die Suche nach einem emittierte "Di-Neutron" verlief erfolglos.
- 7-786 A. S. Karamjan und A. A. Plewe. Bildung von Compound-Kernen bei de Wechselwirkung von O^{16} -, C^{12} und C^{13} -Ionen mit V- und Nb-Kernen. Sh. exp. teor. Fis. 3 654—662, 1959, Nr. 3. (Orig. russ.) Vff. untersuchen die Bildung von Compound-Kerne bei den Reaktionen $V_{23}^{51}+O_8^{16}\to Ga_{31}^{67}$ und $Nb_{31}^{93}+C_{12}^{16}$. $3\to Ag_{40}^{105}$. Wichtigstes Egebnis sind die Anregungsfunktionen der Reaktionen mit Verdampfung einer verschiedenen Anzahl von Nukleonen. Die Form der Anregungsfunktionen ist charakt

tisch für eine konkurrierende Verdampfung verschiedener Nukleonenzahlen aus dem ißen Compound-Kern. Die absoluten Querschnitte unter Berücksichtigung der Reakmaum zum stabilen Kern sind so groß, daß die Bildung des Compound-Kerns für die betzten Anregungsenergien und Kerne mittlerer Masse als Hauptprozeß aufzufassen. Bei der Anregung durch mehrfach geladene Ionen liegen die Maxima aller Anregungsnktionen bei höheren Energien als bei einer Protonen- oder α-Anregung, die über nliche Compound-Kerne läuft: Eine gegebene Nukleonenzahl verdampft im Fall der nen bei höherer Energie (um 10–15 MeV für V + O, um 7--8 MeV für Nb + C) s dem Compound-Kern. Dies wird auf den großen Drehimpuls zurückgeführt, den das hwere Ion in den Compound-Kern mitbringt und der die "Abregung" wesentlich einflußt: Die emittierten Teilchen erhalten eine Zusatzenergie von etwa 2T (T: Kernmeratur). Neben der Compound-Bildung mit Nukleonverdampfung wurden auch eaktionen mit Ausstoß sehr energiereicher Teilchen beobachtet (60 MeV auf zwei ilchen), was schlecht in die statistische Theorie paßt.

787 **Ryuzo Nakasima.** Nitrogen induced nuclear reactions in sodium. Progr. theor. ys., Kyoto 20, 625-630, 1958, Nr. 5. (Nov.) (Osaka, City Univ., Res. Inst. Atom. 1959). Die Kernreaktionen ²³Na(¹⁴N; αp) ³²P und ²³Na(¹⁴N; αp) ³¹Si werden an Hand Scompound-Kern-Modells analysiert. Das Verhältnis der Wirkungsquerschnitte beiden Reaktionen bei einer Energie der einfallenden Ionen von 26 MeV scheint benich gut mit dem auf Grund des Compound-Kern-Modells zu erwartenden Wert ereinzustimmen, aber die absoluten Werte dieser Wirkungsquerschnitte sind anomal sin. Berücksichtigt man die Effekte einer verminderten COULOMB-Wallhöhe, so erhält un die richtige Größenordnung der Wirkungsquerschnitte für beide Reaktionen. Es erd diskutiert, inwieweit Kernreaktionen vom "buckshot"-Typ eine Rolle spielen.

rümper.

788 A. V. Kaliamin, A. N. Murin, B. K. Preobrazhenskii and N. E. Titov. Yield rare-earth elements from the spallation of bismuth by 660 MeV protons. J. nuclear tergy 9, 165-167, 1959, Nr. 1/4. (Juni.)

789 J. V. Laberrigue-Frolowa, M. P. Balandin und S. S. Otwinowski. Absorption n x+-Mesonen mit Energien um 50 MeV durch Kohlenstoffkerne. Sh. exp. teor. Fis. 37, (4-638, 1959, Nr. 3. (Orig. russ.) Bei der Durchsicht von Blasenkammeraufnahmen m π^+ - μ^+ -e $^+$ -Zerfall waren viele Sterne gefunden worden, die auf die Wechselwirkung gsamer π+-Mesonen mit C-Kernen zurückgeführt wurden. Dies regte die Vff. an, ch der Blasenkammermethode die auftretenden Sterne genauer zu untersuchen. Die perimentellen Bedingungen sind bei Balandin u. a. (J. exp. teor. Fis. 36, 424, 1959) schrieben. Die Pionen wurden von Protonen mit 670 MeV aus einem Synchrozyklotron Polyäthylentarget erzeugt, elektromagnetisch abgelenkt und durch einen Kollitor in einer dicken Betonwand zur Meßkammer geführt; vor dieser stand ein Filter Bremsung der Pionen. Die Kammer hatte Propanfüllung. Die mittlere Pionenenergie $m der~Kammermitte~betrug~50~\pm~20~MeV.~Es~ergab~sich~ein~Bildungsquerschnitt für die$ en erwähnten Sterne von 145 \pm 36 mbarn. Die Verteilung der Sterne über die Strahlzahl wurde aufgenommen; die mittlere Strahlanzahl ist 2,6 \pm 0,3. Die Winkelverung der Strahlen zur Richtung des Primärpions ist stark anisotrop, diese Anisotropie am größten bei Sternen mit wenigen Strahlen. Dieser Effekt kann nicht auf die Abption des Pions durch ein Nukleonenpaar zurückgeführt werden, sondern hauptsächn auf die überwiegende Absorption und Streuung an einzelnen Nukleonen innerhalb Kerns (quasielastische Streuung an Protonen, Austauschstreuung an Neutronen, de mit überwiegender Protonenemission nach vorn). Die Verteilung der zweistrahen Sterne über den Winkel zwischen beiden Strahlen wird näher untersucht.

Vogel.

190 J. H. Gibbons. R. L. Macklin, J. B. Marion and H. W. Schmitt. Precision as urement of the Be³ (γ, n) cross section. Phys. Rev. (2) 114, 1319—1323, 1959, Nr. 5. Juni.) (Oak Ridge, Tenn., Nat. Lab.) In dieser Arbeit wird über Messungen des rkungsquerschnitts der Photoneutronen des Be⁵ berichtet. Die γ-Strahlung stammte radioaktiven Quellen, vom Y⁸⁸ (1,85 MeV) und vom Sb¹²⁴ (1,69 MeV). Die gemesse-

nen Wirkungsquerschnitte hatten bei diesen beiden Energiewerten der Strahlung quellen die Werte $(6.54\pm31)\cdot 10^{-28}$ cm² bzw. $(12.62\pm0.69)\cdot 10^{-28}$ cm². Die Faktorei die bei diesen Messungen die Genauigkeit einschränken, sind einmal die Unsicherheite bei der Kalibrierung der γ -Quellstärke und zum anderen die Ungenauigkeit des NB No. 2 Ra- γ -Be-Neutronenquellenstandards und außerdem die Tatsache, daß makeine genaue Kenntnis des Zerfallsschemas des Sb¹²⁴ hat. Eine neue Messung des Auteilungsquotienten für die γ -Strahlung beim Sb¹²⁴-Zerfall wurde ebenfalls durchgeführ Allk of er.

- A. S. Penfold and E. L. Garwin. Nuclear photon absorption in carbon and oxygen Phys. Rev. (2) 114, 1324-1328, 1959, Nr. 5. (1. Juni.) (Chicago, Ill., Univ., Enrico Fern Inst. Nucl. Stud.) Die physikalische Bedeutung einer engen isolierten Resonanzstel in den photonuklearen Absorptionsquerschnitten des C und O wurde mittels eine Absorptions experiments mit 30,7-MeV-Bremsstrahlung untersucht. Das Experiment ergab Werte für die Wirkungsquerschnitte gemittelt über die (γ, n)-Wirkungsque schnitte für C12 und O16. Die Ergebnisse für C waren die gleichen wie diejenigen, d man für einen Wirkungsquerschnitt ohne enge Resonanzen erwartet, während für O ein definierter Resonanzessekt nachgewiesen werden konnte. Der photonuklea Absorptionswirkungsquerschnitt des Sauerstoss gemittelt über den Wirkungsque schnitt der Reaktion O¹⁶ (\(\gamma\), n\)O¹⁵ ergab den Wert 26,7 + 3,5 mbarn und war 16 ± mbarn größer als der Wert, den man erwartet hätte, wenn enge Resonanzstellen eine unbedeutenden Beitrag liefern würden. Die abgeschätzten Werte für die Paramete der Resonanzstellen in der Nähe von 22 MeV des Sauerstoffes betragen: die mittle Höhe der Resonanzstelle, 106 ± 14 mbarn; das Verhältnis der Strahlungsbreite (zw. Grundzustand) zur gesamten Weite, $(6.6\pm0.9)\cdot10^{-3}$; die gesamte Weite, 30 ke Die experimentellen Ergebnisse sind unempfindlich gegen Unsicherheiten, die von Ve wässerungen der Wirkungsquerschnitte für C und O durch nichtnukleare Röntgel strahlen herrühren. Allkofer.
- 7-792 M. V. Mihailovié, G. Pregl, G. Kernel and M. Kregar. Total photonuclear as sorption in Al. Phys. Rev. (2) 114, 1621—1622, 1959, Nr. 6. (15. Juni.) (Ljubljans Yugos., J. Stefan Inst.) Eine direkte Messung der totalen Kernphotoabsorption im mit verbesserter Auflösung wurde unter Benutzung eines Compton-Spektrometers zu Analyse der Bremsstrahlung und des Absorptionsspektrums durchgeführt. Der maxima Wert dieses Wirkungsquerschnitts ergab sich zu 100 ± 10 mbarn; der integrierte Wikungsquerschnitt wird zu 800 mbarn MeV abgeschätzt.
- 7-793 A. Halsteinslid, K. Nybø and R. B. Møllerud. Photoprotons from vanadium Univ. Bergen Arb. naturv. R. 1958, Nr. 45, S. 4-9. Die Energie- und Winkelverteilunder Protonen von Vanadium, das mit 30 MeV-Bremsstrahlung bestrahlt wurde, ist millife von Kernspurplatten untersucht worden. Die Energieverteilung zeigt ein Maximu bei 4 MeV, ihre Form ist ähnlich der bei anderen mittelschweren Elementen beobacht ten. Die Protonen mittlerer Energie weisen eine deutliche Asymmetrie in Vorwärlrichtung auf.
- 7-794 J. J. de Swart and R. E. Marshak. Photodisintegration of the deuteron in t medium energy range. Physica 25, 1001—1015, 1959, Nr. 10. (Okt.) (Rochester, N. Yuniv., Dep. Phys. Astron.) Berechnung der Photospaltung des Deuterons bei γ-Energie zwischen 9,23 und 152,4 MeV. Für den Grundzustand des Deuterons wird das mesone theoretische Gartenhaus-Potential mit 7% D-Wahrscheinlichkeit benutzt. Vff. kon ten in einer früheren Arbeit zeigen (Ber. 37, 442, 1958; Phys. Rev. 109, 1229, 1958), de man, ohne auf das Siegertsche Theorem zu verzichten, Übereinstimmung mit dem E periment erzielen kann, wenn man für die Endzustände das von ihnen entwickelte SM Potential benutzt (Gartenhaus-Potential + phänomenologischer Spin-Bahn-Term). I wurden nur E 1-Übergänge betrachtet. Hier werden außer E 1 noch die Amplituden felektrische Quadrupolübergänge und magnetische Dipolübergänge mit Spin-flip brechnet. Außerdem wird in den Endzuständen die Tensorkopplung exakt berücksichtig

uerschnitte und Winkelverteilungen werden sowohl für unpolarisierte wie für polarierte γ-Quanten hergeleitet, wobei auch die Polarisation der ausgehenden Nukleonen erücksichtigt wird. Es zeigt sich, daß man reine E 2-Übergänge vernachlässigen kann nd nur die Interferenzterme von E 1 und E 2 hinzunehmen muß. Zwischen 80 und 50 MeV beginnt die Rechnung schlechter zu werden. Experimente für eine eindeutige hasenanalyse werden angegeben.

- -795 F. I. Havliček. Der "γ-α" Photoeffekt bei Ba, Ce, Nd und Sm. Nuovo Cim. (10) 3, 969-973, 1959, Nr. 5. (1. Sept.) (Ljubljana. J. Stefan Inst.) 7-10 Rg von γ-tuanten bis zu 30 MeV fielen senkrecht auf Ilford E1/25 μm Platten, die mit je 2 mg er Nitrate der genannten Elemente beschickt waren. Gemessen wurden Länge und leigungswinkel der α-Spuren. Ziel war, den Einfluß von Restkernen mit 82 Neutronen Behnsch.
- -796 Teruo Nakamura, Kiyoji Fukunaga, Kunio Takamatsu, Minoru Yata and hinjiro Yasumi. Fine structure in the giant resonance for Cu⁶³ and Ag¹⁰⁷ (γ, n) reactions, phys. Soc. Japan 14, 1117—1118, 1959, Nr. 8. (Aug.) Berichtigung ebenda S. 1461, [r. 10. (Okt.)] (Kyoto, Univ., Fac. Sci., Dep. Phys.)
- Alexis C. Pappas. Radiochemical studies and short-lived fission products. Beitr. z. hysik u. Chemie des 20. Jahrh. LISE MEITNER, OTTO HAHN, MAX V. LAUE z. 80. Geurtstag. Friedr. Vieweg u. Sohn, Braunschweig, 1959, S. 85—100. (Oslo, Univ., Gjemisk Inst.) Es werden radiochemische Verfahren und Techniken zwecks Studiums urzlebender Spaltprodukte besprochen, u. a. Verfahren zwecks chemischer Isolierung es Spaltproduktes Antimon in 3 bis 4 min, Tellur in etwa 5 min und Zinn in etwa 5 sec. Die Arbeit des Vf., welche zur Entdeckung von 23,1 min 131Sb, 2,0 min 132Sb, 1 min 133Sb, 0,8 min 134/35Sb führte, wird dargelegt. Bei der Untersuchung der Zinnstotopen fanden Pappas und Wiles 2,6 m 130Sn, 3,4 m 131Sn und 2,2 m 132Sn. Diese sotopen des Sb und des Sn werden bei der Spaltung von U mit thermischen Neutronen efunden. Einige andere neue Isotopen von Sb konnten noch nicht mit Sicherheit identiziert werden. (p, n)-Reaktionen an angereichertem 128Te und 130Te durch KJELBERG and Pappas führten zur Entdeckung des Kernisomerismus in 128Sb 10,7 min/9,9 h und 120Sb 7,1 min/33 m. Auf diesem Wege wurden früher strittige Ergebnisse geklärt.

Pappas.

- -798 E. L. Albenesius. Tritium as a product of fission. Phys. Rev. Letters 3, 274-275, 959, Nr. 6. (15. Sept.) (Aiken, S. Carol., E. I. du Pont de Nemours Co., Savannah liver Lab.) Untersuchungsergebnisse über die Bildung von Tritium bei Kernspaltungen issen vermuten, daß zwischen der Bildung und der Zahl der Spaltungen eine direkte eziehung besteht. Dieser Zusammenhang wurde bei der Bestrahlung von Proben aus atürlichem oder angereichertem Uran und spaltfähigen Transuranen bestätigt. Pro (-2) · 10⁴ Spaltungen wurde ein ₁H³ nachgewiesen. Die Entstehung desselben durch i-Verunreinigungen im Uran oder durch den Schwerwassermoderator im Reaktor beidet nach Meinung des Vf. aus. Vielmehr wird Tritium durch direkte Emission in her ternären Spaltung erzeugt.
- 2799 J. S. Fraser and J. C. D. Milton. Automatic-recording apparatus for fission-agment time-of-flight measurements. Nuclear Instrum. 2, 275—281, 1958, Nr. 3. (Apr.) Chalk River, Ont., Atomic Energy Canada Ltd.) Es wird eine Meßanordnung beschrieen, welche die Geschwindigkeiten beider Bruchstücke eines Spaltprozesses zu beimmen gestattet. Der zeitliche Nullpunkt wird mit Hilfe von 8-Strahlen bestimmt, die durch ein Bruchstück beim Durchgang durch eine dünne Plastikfolie nahe der uelle emittiert werden; der Energieverlust des Bruchstücks beträgt dabei nur etwa cheinert sind, werden zur Messung in Impulshöhen umgewandelt. Das gesamte zeitliche uflösungsvermögen beträgt 3,5 ns. Eine 3. Variable, z. B. die Gammaenergie oder die lugzeit eines prompten Neutrons kann ebenfalls registriert werden. Die Registrierung folgt auf Lochstreifen.

7-800 B. D. Pate. Fission of excited heavy nuclei. Canad. J. Chem. 36, 1707-1719; 1958, Nr. 12. (Dez.) (Upton, Long Island, N. Y., Brookhaven Nat. Lab., Chem. Dep. Die bekannten Berechnungen über die prompte Kernkaskade und Kernverdampfungsprozesse werden benutzt, um das mittlere Neutronen-Protonen-Verhältnis für Spaltprodukte zu bestimmen, die bei folgenden Prozessen entstehen: Th + 8 MeV-Protonen Th + 87 MeV-Protonen und U + 450 MeV-Protonen. Die theoretischen Ergebnisse werden mit den experimentellen verglichen. Es zeigt sich dabei, daß die "Hypothese gleicher Ladungsverschiebung" (in den Spaltprodukten), die man bisher nur bei niedri gen Energien als gültig angenommen hatte, bei U und Th bis zu den höchsten untersuchten Energien gilt. Außerdem scheint bereits Spaltung der angeregten schwerer Kerne einzutreten, bevor die Anregungsenergie vollständig durch Teilchenemission abgegeben ist.

7-801 M. G. Petrashku and A. K. Mikhul. Fission of Th²³² by negative μ- and π mesons. Soviet Phys.-Doklady 4, 628-630, 1959, Nr. 3. (Dez.) (Engl. Übers. aus Proc. Acad. Sci. SSSR 126, 752, 1959, Nr. 4.) Die Spaltung von ²³²Th durch μ-Mesoner und strahlungslose Übergänge sind nach den Versuchsergebnissen unwahrscheinlich. Kaul.

7-802 W. L. Michejew, N. K. Skobeljew, W. A. Druin und G. N. Fljorow. Spontano Spallung des Am²⁴¹. Sh. exp. teor. Fis. 37, 859-861, 1959, Nr. 3. (Orig. russ.) Kerne mit ungerader Protonen- oder Neutronenzahl haben gewöhnlich eine um Größen ordnungen geringere Wahrscheinlichkeit für spontane Spaltung als benachbarte gg Isotope. Für das Am²⁴¹ konnte in Los Alamos und Berkeley nur eine obere Grenze fü die Spaltwahrscheinlichkeit festgelegt werden. Mit Hilfe eines Detektors mit hohen Auflösungsvermögen und einer mus-Technik führen Vff. diese Messungen unter gün stigeren Bedingungen durch. Als Detektor für die Spaltfragmente diente ein Gas Szintillationszähler mit Xenonfüllung; die UV-Szintillationen wurden durch einer organischen Phosphor in sichtbares Licht verwandelt und mit einem Multiplier ge messen (Auflösungszeit 3 · 10-9 s). Zur Trennung der Fragmente vom Untergrund de α-Teilchen diente ein schnellwirkender Diskriminator nach der Schaltung von Moodex Nachdem durch Eichmessungen mit Pu²⁴⁰ und U²³⁵ die günstigsten Betriebsbedingunger festgestellt wurden, maß man 160 h lang mit Am241 (ca. 60 µg) bei einer Diskriminator schwelle von 4 V. Es wurden 26 Impulse registriert; wie Kontrollversuche zeigen, ge hören mindestens 18 davon zum Untergrund. Dies entspricht einer unteren Grenze fü die spontane Zerfallszeit des Am²⁴¹ von 2 · 10¹⁴ a, also eine Größenordnung höher als di Abschätzung von Segré. Der Wert liegt etwa 105mal höher als für einen gg-Kern mi dem gleichen Z²/A, etwa der gleiche Faktor, um den auch die Werte für Pu²³⁹, Bk²⁴¹ Cf249 und Es253,254 überhöht sind. Vogel.

7-803 W. M. Strutinski. Winkelanisotropie der Spaltungs-y-Quanten. Sh. exp. teol Fis. 37, 861-863, 1959, Nr. 3. (Orig. russ.) Wie kürzlich von LEACHMAN festgestell wurde, sind die Spaltungs-γ-Quanten anisotrop zur Flugrichtung der Fragmente ver teilt. In dieser Flugrichtung ist die Intensität maximal; der Anisotropiefaktor [W (1806)] - W (90°)]/W (180°) beträgt für die Spaltung von Pu²³⁹ und U²³⁵ durch thermisch Neutronen 9 bzw. $5\frac{6}{9}$. Leachman nimmt als eine mögliche Erklärung an, daß die Arfangsdeformation der Fragmente und damit ihre anfänglichen elektrischen Moment in bestimmter Weise mit der Spaltungsrichtung korrelieren. Dagegen spricht aber, da die Emissionszeit von γ-Quanten um 1 MeV zu groß ist für jede vernünftige Größe de elektrischen Momente: Die Emission erfolgt anscheinend erst nach Einstellung des the mischen Gleichgewichts und nach der Neutronenverdampfung. Vf. gibt als weiter Erklärungsmöglichkeit an, daß die Fragmente hohe Drehimpulse haben, die mit de Spaltungsrichtung korrelieren können; die Abhängigkeit der Dichte der Kernzuständ vom Drehimpuls führt auch dann zu einer Anisotropie, wenn sich vorher vollständig Gleichgewicht einstellen kann. Solche Momente treten z. B. auf, wenn der "Hals" nich streng symmetrisch zur Spaltungsachse zerfällt; Ort und Richtung dieses Zerfalls a eines schnellen, anadiabatischen Prozesses können stark schwanken, was auch die eige imliche Abhängigkeit der Sekundärneutronenzahl von der Fragmentenmasse erklären önnte, falls nach A. Bohr angenommen wird, daß der "Hals" eine Masse von der rößenordnung der Massendissernz der Fragmente hat. Aus dieser Modellvorstellung gibt sich eine Winkelverteilung $W(\vartheta) = 1 + c \sin^2 \vartheta \ (\vartheta)$: Winkel zur Spaltungsrichung). Die Ergebnisse lassen sich auch auf andere Prozesse mit Entstehung großer rientierter Momente übertragen (z. B. Einfang schwerer Ionen).

-804 R. B. Leachman. The fission process — mechanisms and data. Prog. Nuclear nergy (1) 3, 1959, S. 144-170. (Los Alamos, N. M., Univ. Calif., Sci. Lab.)
V. Weidemann.

- -805 I. M. Gramenitskii, M. Ia. Danysh, V. B. Liubimov, M. I. Podgoretskii and Tuvdendorzh. On the problem of angular correlation of secondary particles produced in igh-energy nuclear collisions. Soviet Phys.-JETP 8, 381—382, 1959, Nr. 2. (Febr.) Engl. Übers. aus: J. exp. theor. Phys., Moscow. 35, 552—553, 1958, Aug.) Es wird ber eine Untersuchung der Korrelation zwischen den Emissionswinkeln sekundärer relavistischer Teilchen, die bei Wechselwirkungen zwischen 9-BeV-Protonen und Emulsionsernen gebildet wurden, berichtet. Die Ergebnisse zeigen, daß die Emissionsrichtungen er Sekundärteilchen nicht völlig statistisch unabhängig voneinander sind. Außerdem urden eng benachbarte Teilchenpaare in den Sternen (Winkelabstand < 3,5 · 10-2) atersucht. Die Zahl der zufälligen Paare, die unter der Annahme statistischer Unbängigkeit der Richtungen der emittierten Teilchen berechnet wurde, stimmt mit ern beobachteten Wert überein.
- -806 J. Dalziel, Naida S. Gill, R. S. Nyholm and R. D. Peacock. Technetium. I. he preparation and properties of potassium hexahalogenotechnetates. J. chem. Soc. 368, S. 4012—4016, Nov. (London, Imp. Coll. Sci. Technol.; Univ. Coll., William amsay, Ralph Forster Labs.) Gemessen sind magnetische Suszeptibilität, Absorptionsektren und Kristallstrukturen (ähnlich denen von entsprechenden Rheniumverbinangen).

 H. Ebert.
- -807 R. J. A. Levesque and S. M. Shafroth. Lifetime of the 3,56 Mev state in Li⁶. hys. Rev. (2) 114, 1354—1357, 1959, Nr. 5. (1. Juni.) (Evanston, Ill., Univ.) Mit dem OPPLER-Effekt wurde die obere Grenze der mittleren Lebensdauer des 3,56-MeVustandes vom Li⁶ zu 5·10⁻¹⁴s bestimmt. Das unterstützt die Bezeichnung 0⁺, T = 1 rd dieses Niveau. Ebenfalls mit dem DOPPLER-Effekt wurde festgestellt, daß die Winkelerteilung der Rückstoß-Alphateilchen, die aus der Reaktion Be⁹(p, α)Li^{6*} (γ)Li⁶ stamen, bei einer Beschußenergie von 2,56 MeV im Massenmittelpunktssystem symmetrisch m 90° ist. Bei einer Beschußenergie von 2,93 MeV hat die Winkelverteilung der Alphailchen ein Maximum bei 90°.
- 2808 James B. Cumming. Decay of Zn^{61} . Phys. Rev. (2) 114, 1600—1604, 1959, r. 6, (15. Juni.) (Upton, N. Y., Brookhaven Nat. Lab., Chem. Dep.) Die 88,5 s Aktität, die unter den Produkten eines Beschusses von Nickel mit 16 MeV-Alphateilchen obbachtet wurde, wird dem Zn^{61} zugeschrieben. Die Zerfallseigenschaften dieses otops wurden mit einer Beta- und Gammaszintillationstechnik und mit einer Kozidenztechnik untersucht. Ungefähr 80% des Zn^{61} -Betazerfalls geht zum Grundstand des Zn^{61} . Der Positronenendpunkt ist 4,38 MeV, welcher einem log ft-Wert on 5,2 und einem erlaubten Übergang entspricht. Gammastrahlen mit 0,48; 0,98 und 64 MeV wurden mit Intensitäten von 11,2; 2,9 und 6,2% der des Positrons beobhtet. Anzeichen von Gammastrahlen mit 0,69 MeV wurden gefunden. Es wird ein wrfallsschema aufgestellt, das die hier beobachteten Werte in ein Niveauschema des Zn^{61} einfügt, das von Zn^{61} -Experimenten her bekannt ist.
- 809 L. Grodzins and A. W. Sunyar. Evidence concerning the spin and parity of Eu^{152m}.

 nys. Rev. Letters 2, 307-309, 1959, Nr. 7. (1. Apr.) (Upton, N. Y., Brookhaven at. Lab.) Mit einer konventionellen β-γ-Korrektionsapparatur wurde Spin und

Parität des Eu^{152m}-Kernes untersucht. Alle Experimente von Goldhaber et al., Coher et al. (Ber. Nr. 6—736) und diejenigen der Vff. sind zumindest verträglich mit dem Spin Parität-Wert O⁻. Die Bedeutung der einwandfreien Bestimmung der Parität und de Spins des Eu^{152m}-Kernes hängt mit dem Experiment von Goldhaber et al. (Ber. 37 1962, 1958) zusammen, bei dem Helizität des Neutrinos aus dem Zerfall des Isotop gemessen wurde. In der Veröffentlichung von Goldhaber et al. wurde der Schluß ge zogen, daß die Helizität des Neutrinos unter Voraussetzung des obigen Spin-Parität Wertes negativ ist.

7-810 M.W. Johns and J. D. MacArthur. Zero spin of the 1265-keV state in Pt¹⁹⁴ Canad. J. Phys. 37, 1205—1206, 1959, Nr. 10. (Okt.) (Hamilton, Ont., McMaster Univ. Dep. Phys.) Bestrahlung von Ir mit Anreicherung von Ir¹⁹³ auf 89% im Reaktor Koinzidenzmessungen mit 1½" × 2" NaJTl-Kristallen für die Kaskaden 643/620 unc 937/328 keV und Bestimmung der Winkelkorrelationen. Folgerung Spin 0 für 1265 keV Zustand und wahrscheinlich gerade Parität. Spinfolge der niedrigsten Anregungszuständalso 0-2-2-0 wie bei Os¹⁸⁸ und das zweite Beispiel für Existenz von β-Schwingungen im Bereich mittlerer Kopplung zwischen den seltenen Erden und den Kernen in der Näheder abgeschlossenen 126-Neutronenschale.

7-811 Lorenz Krüger. Nachprüfung der Paritätserhaltung in starken Wechselwirkunger durch β - γ -Winkelkorrelationen und γ - γ -Korrelationen. Z. Phys. 157, 369-383, 1959 Nr. 3. (16. Nov.) (Heidelberg, Univ., Inst. theor. Phys.) Vf. untersucht theoretisch di Möglichkeit der Nachprüfung der Paritätserhaltung in starken Wechselwirkunger durch β-γ-Winkelkorrelationen und γ-γ-Korrelationen. Der Grundgedanke des vorgeschla genen Experimentes ist folgender: durch Messung der Richtung des β-Teilchens aus einen B-Zerfall polarisiert man den Endkern und beobachtet in Koinzidenz einen nach folgenden γ -Übergang des Endkernes. Ein cos Θ -Term in der β - γ -Winkelkorrelationzeigt dann eine Beimischung fremder Paritäten in einem oder beiden Zuständen de Endkernes an. Man mißt also einen Winkel zwischen zwei Impulsvektoren und nutz die bekannte Paritätsverletzung beim β-Zerfall aus, um eine Aussage über die Mischung paritätsfremder Multipole im anschließenden β-Zerfall und damit über die Paritäts reinheit von Kernzuständen zu bekommen. Bei erlaubten β-Zerfällen ist dabei die β γ-Winkelkorrelation bis auf schr kleine Korrekturen isotrop, so daß sich ein cos Θ-Tern gut herausheben sollte. Unter der Voraussetzung, daß die Nukleon-Nukleon-Wechsel wirkung, wie auch die β-Wechselwirkung gegen Zeitumkehr invariant ist, berechne Vf. die Richtungskorrektionen zwischen β-Teilchen und γ-Quant. Es zeigt sich, daß di Verletzung der Parität zu einer Asymmetrie der Korrelation relativ zu 90° führt un proportional RF ist. Hierbei ist F die relative Amplitude des paritätsnichterhaltende. fremden Anteils der Wellenfunktion eines Kernzustandes – $\{\psi = \psi \text{ (normal)} + \mathbf{F}\}$ (fremd)}, ψ (normal) und ψ (fremd) sind die normierten Wellenfunktionen der "normalen und "fremden" Paritäts- und R ein Matrixelementsaktor. Einige Beispiele der betrel fenden Korrelationen werden numerisch diskutiert. Abschätzungen einer oberen Grenz F² von etwa 10⁻⁸ scheinen in gewissen experimentellen Fällen möglich zu sein. Ab schließend wird noch die Anwendung der γ-zirkular-γ-Korrelationen als Mittel zu Prüfung der Paritätsverletzung bei starken Wechselwirkungen untersucht. Am Beispie des 5,5h-Hf180-Kernes wird eine maximale Polarisation $Z_{Max}=\pm$ 1,1 RF bei de Winkeln $\Theta_{\text{Max}} = 5^{\circ}$ und 180° erhalten. Kleinpoppen.

7-812 S. Rosenblum. Spectres magnétiques des particules alpha. Beitr. z. Physik a Chemie d. 20. Jahrh. Lise Meitner, Otto Hahn, Maxv. Laue z. 80. Geburtstag. Fried Vieweg u. Sohn, Braunschweig, 1959, S. 7—22. (Bellevue, Labs. Bellevue.) Wesen un Grundtatsachen des Alpha-Zerfalls werden kurz erläutert. Die Kenntnis der magnet schen Alpha-Spektren sowie der begleitenden Gammastrahlung und Konversion elektronen gewährt Einblicke in die Physik der schweren Atomkerne. Die Arbeiten vo Otto Hahn und Lise Meitner haben Wesentliches zur Entwicklung der experimet tellen Technik und zur Deutung der Ergebnisse beigetragen. Wahrscheinlich wäre di Feinstruktur, ohne den ersten Weltkrieg, nicht erst 1929 entdeckt worden. Historisch

ntwicklung, persönliche Erlebnisse und anfängliche Schwierigkeiten bei der Deutung r Ergebnisse werden geschildert. Der Permanentmagnet des "Centre National de la echerche Scientifique" in Bellevue ermöglichte, ab 1946, wesentliche Fortschritte in der pha-Spektrographie. Schließlich wird auf die neuesten Theorien und Forschungen auf m Gebiete des Alpha-Zerfalls hingewiesen (BOHR-MOTTELSON, ASARO-PERLMAN, DLDIN).

813 R. J. Walen et G. Bastin-Scoffier. Structure fine α du ²¹⁰Bi (Ra E). J. Phys. adium 20, 589—593, 1959, Nr. 6. (Juni.) (Bellevue, Seine-et-Oise, C. N. R. S., Lab. im. Perm.) Die Struktur der α-Strahlung wird mittels eines magnetischen Spektroaphen bestimmt. Zwei Gruppen folgender Energie und Häufigkeit werden beobhtet: 4,686 MeV, 0,5 · 10⁻⁶ und 4,649 MeV, 0,75 · 10⁻⁶.

814 W. G. Smith, P. H. Stelson and F. K. McGowan. Decay of $I^{130} \rightarrow Xe^{130}$. Phys. ev. (2) 114, 1345—1350, 1959, Nr. 5. (1. Juni.) (Oak Ridge, Tenn., Nat. Lab.) Von vei Arbeitsgruppen wurde auf Grund des Zerfalls vom J¹³⁰ das Zerfallsschema des Xe¹³⁰ e folgt angegeben: 528 keV (2+), 1190 keV (4+), 1930 keV (6+) und 2340 keV (5-). ur die Zustände bei 1930 und 2340 keV wurden als direkt durch Betazerfall bevölkert funden. Die letzten Messungen des Spins 5 für J¹³⁰ deuten aber darauf hin, daß mit nur der 1930 keV-Zustand durch den Betazerfall bevölkert ist. In der vorliegenden beit wurde nach einer solchen Zerfallsgruppe gesucht und nicht gefunden. Eine tere Grenze von 9,8 für log ft ergibt sich aus den Resultaten. Ebenfalls gemessen irden Gamma-Gamma-Korrelationen. Die experimentelle Korrelation veausequenz 1190-528-0 kann durch 4(Q) 2(Q) 0 oder durch 2(96% D + 4%Q) Q) 0 Sequenzen angepaßt werden. Die 2+-Bezeichnung des 1190 keV-Niveaus errdert einen vorzugsweise M1-Übergang für den 2+-zu 2+-Übergang im Gegensatz zu m vorherrschenden E2-Charakter anderer bekannter Übergänge dieses Typs. Deshalb hren die 4⁺- und 2⁺-Bezeichnungen des 1190 keV-Zustandes zu anomalen Situationen. chs andere Winkelkorrelationen wurden zum Zwecke der Erforschung der Charaktetiken der Niveaus 1930 keV und 2340 keV gemessen. Es war nicht möglich, einheithe Bezeichnungen zu bekommen. Leisinger.

815 Th. Mayer-Kuckuk, R. Nierhaus und U. Schmidt-Rohr. Nachweis eines Ferminteils beim β -Zerfall des Ar⁴¹ durch Polarisations-Korrelations-Messungen. Z. Phys. 157, 6-591, 1960, Nr. 5. (8. Jan.) (Heidelberg, Max-Planck-Inst. Kernphys.) Vff. führten ne Polarisations-Korrelationsmessung am (7/2-7/2)-β-Übergang Ar⁴¹-K⁴¹ durch. Die nordnungen zu solchen Messungen sind bereits mehrfach beschrieben (z. B. Z. Phys. 4, 383, 1959) worden. Ar41 wurde durch eine (d, p)-Reaktion im Heidelberger Zykloon hergestellt. Der Polarisationsanalysator für die γ-Strahlung wurde durch Vereichsmessungen an Co60 geeicht. Als Korrelationskoeffizient von Co60 wurde der exrimentell gut bestätigte theoretische Wert -0.33 angenommen. Das Verhältnis m v/cr β-Teilchen betrug 0,87. Als Mittel aus zehn Messungen ergab sich der Polarisationspeffizient Λr^{41} zu $\bar{\Lambda}=(+0.33\pm0.07)$. Hierbei ist der aus Messung und Vergleichsessung resultierende statistische Fehler angegeben. Aus dem ermittelten A-Wert erb sich ein Verhältnis des Gamow-Teller- zu dem Fermi-Matrixelement Mgt/Mg $-2.3^{+0.9}_{-1.3}$ und für das Fermi-Matrixelement der Wert $M_{\rm F}=0.09\pm0.04$. Die sultate zeigen eine Abweichung von der $\Delta T = 0$ -Isotopenspin-Auswahlregel für die RMI-Übergänge. Kleinpoppen.

816 D. E. Rehfuss and Bernd Crasemann. L to K electron capture ratio in Ge^{71} . Lays. Rev. (2) 114, 1609—1611, 1959, Nr. 6. (15. Juni.) (Eugene, Oreg., Univ., Departs.) Durch Vergleich der Anzahl der Gammastrahlen von 0,175 MeV, die beim rfall vom As^{71} auftreten, mit der Zahl der Gallium K-X-Strahlen, die einem K-mfang vom Ge^{71} folgen, wurde der relative Beitrag des L-Einfangs im Ge^{71} bestimmtste Quellen und ein Szintillationsspektrometer wurden hierzu verwendet. Das L/K-wrhältnis des Elektroneneinfangs im Ge^{71} wurde zu 0,09 \pm 0,05 in Übereinstimmung t der Theorie bestimmt.

- 7–817 P. Kienle and R. E. Segel. Decay of Co^{56} and Mn^{56} . Phys. Rev. (2) 114, 155 bis 1560, 1959, Nr. 6. (15. Juni.) (Upton, N. Y., Brookhaven Nat. Lab.; Dayton, O Aeron. Res. Lab.) Szintillationsspektroskopie, β – γ und γ – γ -Koinzidenzmessunge führten zur Außtellung des Zerfallsschemas für die Kerne ⁵⁶Mn und ⁵⁶Co, die beide i ⁵⁶Fe übergehen. Mit einem großen NaJ (Tl)-Kristall, 5 in ϕ und 4 in dick und einer Dreikristall-Paarspektrometer wurden die γ -Energien und -Intensitäten bestimmt. D log ft-Werte für verschiedene β -Zweige wurden ermittelt. Alle β -Zweige zeigen höher Werte für den log ft, als es erlaubten Übergängen entspricht. Die β -Übergänge werde an Hand des Schalenmodells diskutiert.
- 7-818 H. Schopper and H. Müller. Lepton conservation and time reversal in β-decay Nuovo Cim. (10) 13, 1026 –1034, 1959, Nr. 5. (1. Sept.) (Mainz, Univ., Inst. Kernphys Diskussion der aus den Experimenten zu gewinnenden Information, ohne irgendwelch idealisierenden Annahmen zu machen. Experimentelle Fehlergrenzen werden berücksichtigt. Vff. gehen vom vollen Wechselwirkungsausdruck aus, betrachten Experiment mit erlaubten β-Übergängen und vernachlässigen nur COULOMB-Korrekturen. Ergebnis 1. β-Wechselwirkung ist vorherrschend V-A. Beiträge von S und T sind kleiner a. 10%. 2. Paritätsverletzung und Polarisation der Neutrinos sind maximal mit einer Fehler kleiner als 4%. 3. Wahrscheinlichkeit für doppelten β-Zerfall ohne Neutrinemission ist wenige Prozent des Maximalwertes, der für vollständige Nichterhaltun der Leptonenladung herauskommt. 4. Invarianz gegen Zeitumkehr gilt mit einem Fehle von etwa 15%. 5. Erhaltung der Leptonenzahl gilt mit Unsicherheit von 15%.

Behnsch.

- 7-819 M. Bernardini, P. Brovetto, S. Ferroni and A. Pasquarelli. Measurement longitudinal polarization of β -electrons from ²⁰⁴Tl by means of double Coulomb scattering. Nuovo Cim. (10) 14, 787—795, 1959, Nr. 4. (16. Nov.) (Torino, Ist. Naz. Fis. Nucl Durch zweimalige Coulomb-Streuung an Goldfolien wurde die longitudinale Polar sation der β -Strahlen einer Tl²⁰⁴-Quelle bestimmt. Der beobachtete Effekt ist ca. 10° kleiner als es für Elektronen mit der Polarisation v/c zu erwarten ist; dies steht i Übereinstimmung mit einer früheren Bestimmung der Polarisation von Tl²⁰⁴ durc Messung der zirkularen Polarisation der γ -Strahlung (U. AMALDI et al. Ber. 38, 170′ 1959) und theoretischen Überlegungen von B. V. BERESTETSKY et al. (Ber. 38, 108′ 1294, 1959).
- 7-820 S. F. Antonowa, S. S. Wassilenko, M. G. Kaganski und D. L. Kaminski, D. Positronenspektrum des Eu 152 und Eu 152m . Sh. exp. teor. Fis. 37, 667–671, 1959, Nr. (Orig. russ.) Bei der Änderung der Neutronenzahl von N = 88 auf N = 90 ände sich die Form des Kerns wesentlich. Dadurch wird die Umwandlung der Eu¹⁵²-Isomer interessant. Vff. untersuchten mit einemβ-Spektrometer mit fast völliger Unterdrückung des Untergrundes das Positronenspektrum bei diesen Zerfällen. Der \(\beta^+\)-Zerfall des Euerfolgt, wie sich zeigte, in den ersten (2+) und den zweiten (4+) Anregungszustand d Sm¹⁵². Die Grenzenergien der Partialspektren sind 713 und 740 keV, ihre Intensität 1,4 · 10-4 bzw. 5 · 10-5 Positronen pro Zerfallsakt. Das Isomer Eu^{152m} geht in den Grun und in den ersten Anregungszustand des Sm152 über; die Teilspektren haben hier Gren energien von 890 und etwa 770 keV und Intensitäten von 6 · 10-5 und 2 · 10-5 Po tronen pro Zerfallsakt. Aus der Differenz der Grenzenergien der Spektren wurde c Anregungsenergie des Isomers Eu $^{152\mathrm{m}}$ zu $55\pm6~\mathrm{keV}$ bestimmt. Aus den Positrone spektren der paarweisen inneren Umwandlung ergaben sich die Koeffizienten für dies Effekt und der Multipolcharakter einer Reihe von Y-Übergängen. Die Ergebnisse stimm i. a. mit denen von Alburger u. a. (Phys. Rev. Letters 1, 479, 1958) überein, die den V nach Abschluß ihrer Arbeit bekannt wurden. Wesentliche Unterschiede bestehen n in den Intensitäten der energiearmen Komponenten. Vogel.
- 7-821 A. S. Dolginow und J. W. Charitonow. Winkelverteilung und Polarisation α β-Teilchen bei verbotenen Übergängen zweiter Ordnung. Sh. exp. teor. Fis. 37, 776-78 1959, Nr. 3. (Orig. russ.) Im Anschluß an frühere Arbeiten von Dolginow (Ber. 3 1080, 1959), wo entsprechende Methoden entwickelt wurden, geben Vff. explizionell für Winkelverteilung und Polarisation der Elektronen bei verbotenen

bergängen zweiter und höherer Ordnung. Dabei wird vektorielle und pseudovektorielle echselwirkung mit Erhaltung der zeitlichen Parität vorausgesetzt; eine mögliche erletzung der zeitlichen Parität wird durch Korrekturglieder berücksichtigt, ebenso ecken die verschiedenen Neutrinotheorien in den Ausdrücken. In den Winkelkorretionen für Einzelübergänge, bei denen die Änderung des Kernmomentes um 1 größer ist se die Ordnung der Verbotenheit, steckt keine Abhängigkeit von den Kern-Matrixementen; Auskünfte über die Kernstruktur sind daraus also nicht zu gewinnen, außer einem ten; Auskünfte über die Kernstruktur sind daraus also nicht zu gewinnen, außer lehen über Winkelmomente und Termparitäten. Für Einzelübergänge wird Gamowstleen-Wechselwirkung mit einem merklichen Beitrag lediglich des pseudovektoriellen teils angenommen. Dieser Fall wird in beliebiger Ordnung für orientierte und nichtientierte Kerne durchgerechnet; explizite Formeln werden für die zweite Ordnung 3 (nein) angegeben.

822 B. S. Dshelepow, I. F. Utschewatkin und S. A. Schestopalowa. Ein 0+-0+bergang beim Zerfall $Pr^{140} \rightarrow Ce^{140}$. Sh. exp. teor. Fis. 37, 857-859, 1959, Nr. 3. rig. russ.) Der Kern Ce140 hat einen angeregten Zustand vom Typ 0+ mit einer pregungsenergie von 1902 keV. Dieser Zustand wurde zuerst beim Zerfall des La¹⁴⁰ obachtet. Der Grund- und die Anregungszustände des Ce¹⁴⁰ können auch durch ektroneneinfang und β+-Zerfall des Pr¹⁴⁰ erzeugt werden. VII. untersuchen, ob der 02 keV-Term auch beim Zerfall des Pr¹⁴⁰ angeregt wird; da dessen Grundzustand vom 7p 1+ ist, kommt ein erlaubter β+-Übergang in Frage. Ein Gleichgewichtspräparat 1140 + Pr140 wurde in ein β-Spektrometer mit dreifacher Fokussierung (Krümmungsdius 14,5 cm) gebracht; der Druck betrug 5 · 10-5 Torr. Registriert wurde mit Zählhren mit Argon- + 15% Alkohol-Füllung; Gesamtdruck 100 Torr. Es wurde die onversionslinie für den Term 1902 keV gefunden und das CURIE-Diagramm für das nde des β+-Spektrums des Pr¹⁴⁰ aufgenommen. Da die Apparatur bei Verwendung von pinzidenzen das Spektrum für kleine Energien möglicherweise verzerrte, wurde nur der rteste Teil gemessen und daraus das ganze Spektrum rekonstruiert. Das Verhältnis β betrug 0,2%. Daraus ergibt sich die Anzahl der Umwandlungselektronen zu 0,1% o Zerfall. Der 1902 keV-Term wird also beim Pr¹⁴⁰-Zerfall sehr viel häufiger angeregt als m La¹⁴⁰ aus (dort 0,013%). Die Anregung tritt wahrscheinlich sowohl beim e⁻-Einfang auch beim β+-Zerfall ein. Für den ft-Wert erhält man 2 · 106. Vogel.

823 **Dubravko Tadić.** Longitudinal polarization of β particles in the decay of Pr¹⁴⁴. riod. math.-phys. astr., Zagreb (2) **13**, 267—272, 1958, Nr. 4. (Zagreb, Inst. "Ruder šković".) Kaul.

824 S. Mayo and S. J. Nassiff. Gamma rays of Rh^{106} (130 \pm 2 min). Phys. Rev. (2) 1, 1440-1141, 1958, Nr. 4. (15. Aug.) (Buenos Aires, Arg., Com. Nac. Energ. Atom.) wurde Palladium mit 28-MeV-Deuteronen bzw. Silber mit schnellen Neutronen berahlt. Das entstandene Rhodium-106 wurde von Pd und Ag chemisch abgetrennt. t einem Einkanalszintillationsspektrometer wurden 15 Gammalinien zwischen 230 d 2200 keV gemessen. Die Halbwertszeit des Rh¹⁰⁶ beträgt 130 \pm 2 min.

Bernhard.

825 H. A. Hill and J. M. Blair. Proton-gamma ray angular correlations in the Si^{28} $p\gamma$) Si^{29} reaction. Phys. Rev. (2) 111, 1142—1147, 1958, Nr. 4. (Aug.) (Minneapolis, nn., Univ., School Phys.) Es wurde die Winkelverteilung der bei der Reaktion 8 (d, $p\gamma$) Si^{29} auftretenden Protonen und γ -Quanten im Energieintervall 2,8 bis 3,7 MeV die Deuteronen gemessen. Es treten zwei Protonengruppen auf, die vom 1. bzw. 2. geregten Niveau des Si^{29} stammen (1,28 MeV; 2,03 MeV). Beide Gruppen weisen große twima in rückwärtiger Richtung auf, was auf Schwereteilchen-stripping hindeutet. Winkelkorrelation zwischen p_1 und γ ist mit einem Fehler von $\pm 6\%$ isotrop, hrend diejenige von p_2 20% Anisotropie zeigt.

926 G. Morpurgo. γ transitions between corresponding states in mirror nuclei. Phys. v. (2) 114, 1075—1080, 1959, Nr. 4. (15. Mai.) (Parma, It., Univ., Ist. Fis.) Es wird zeigt, daß Ladungsunabhängigkeit oder Ladungssymmetrie zu den folgenden Behungen Anlaß gibt, welche die Stärken der Gammaübergänge zwischen korresponterenden Zuständen in Spiegelkernen verbinden: 1. Die Stärken der korrespondierenden E1-Übergänge sind immer gleich. 2. Die Stärkeren der korrespondierenden

- M1-Übergänge sollten sich im allgemeinen nicht mehr als um den Faktor 1,5 unter scheiden. 3. Für Übergänge mit $|\Delta T|=1$ sind die Stärken korrespondierender Übergänge irgendwelcher Multipolarität gleich. Der Einfluß von Coulomb- und Austauschkorrekturen wird untersucht. Die bislang erreichbaren experimentellen Ergebniss werden besprochen.
- 7–827 A. E. Litherland, H. E. Geve and A. J. Ferguson. Gamma rays from the 1.83-Mod resonance in the reaction Mg^{24} (p, γ) Al^{25} . Phys. Rev. (2) 114, 1312–1319, 1959, Nr. (1. Juni.) (Chalk River, Ont., Can., Atomic Energy Can.) Mit einer γ - γ -Koinzidena apparatur, bestehend aus zwei 5 inch Durchm. × 4 inch langen NaJ(Tl)-Kristalld und einer fast-slow-Koinzidenzapparatur mit einer Auflösungszeit von etwa 25 msewurde die Reaktion $Mg^{24}(p,\gamma)Al^{25}$ für Protonen zwischen 1,66 und 2,02 MeV Energy untersucht. Bei 1,833 ± 0,007 MeV wurde eine neue Resonanz gefunden, die einer Niveau des Al^{25} bei 4,047 ± 0,010 MeV entspricht. Dieses Niveau zerfällt durch Strahlen von 4,01 ± 0,04, 2,43 ± 0,04 und 1,62 ± 0,03 MeV, von denen die beide letzten in Koinzidenz sind. Das Intensitätsverhältnis der beiden ersten Linien wurd (60 ± 10): (40 ± 10) ermittelt. Der experimentelle Wert von (J + 1/2) $\Gamma_p \Gamma_\gamma / \Gamma$ für den Übergang in den Grundzustand beträgt 3 · 10–3 eV, die obere Grenze der totale Resonanzbreite Γ konnte auf 10 keV abgeschätzt werden. Nach der Winkelverteilumß das neue Niveau den Spin 5/2 oder 9/2 haben, der letzte Wert ist wahrscheinliche Nach dem gemessenen Dipol-Quadrupol-Mischungsverhältnis der γ -Strahlen hat deneue Niveau wahrscheinlich ungerade Parität. Eine genaue Zuordnung des Niveaus zen den rotations-ähnlichen Banden des Al²⁵ ist noch nicht möglich.
- 7–828 **R. D. Leamer.** Internal conversion in Li^7 . Phys. Rev. (2) 114, 1590–159-1959, Nr. 6. (15. Juni.) (Pittsburgh, Penn., Carnegie Inst. Technol.) Obere und unter Grenzen des Koeffizienten der inneren Konversion des 479-keV angeregten Zustande vom Li⁷ werden gegeben. Diese sind $16,6\cdot 10^{-7}$ und $5,8\cdot 10^{-7}$, entsprechend eine Multipolmischung von (100%-55%) M1 und (0%-45%) E2 für Gammastrahlen. Die Photoelektronenemission der Quelle und die Untergrundzählrate geben die prinzipielle Grenzen der Genauigkeit des Experiments.
- 7-829 J. de Boer, M. Martin und P. Marmier. Gammawinkelverteilungen bei elektrische Anregung deformierter ug-Kerne. Helv. phys. Acta 32, 377-411, 1959, Nr. 5. (Kopenhagen, Inst. teor. fys.; Zürich, ETH, Phys. Inst., Cyclotron-Lab.) Ausbeute ur Winkelverteilung der Gammastrahlen, welche einer elektrischen Anregung von Eu¹⁸ Gd¹⁵⁵, Gd¹⁵⁷, Dy¹⁶³, Er¹⁶⁷, Yb¹⁷³, Hf¹⁷⁷, Hf¹⁷⁹, Re¹⁸⁵ und Re¹⁸⁷ folgen, wurden durc Anregung mit 4 MeV-Protonen gemessen. Übergangswahrscheinlichkeiten und M schungsverhältnisse als auch Impulse, Deformationsparameter und nukleare gyr magnetische Verhältnisse wurden aus den experimentellen Ergebnissen abgeleitet. Leisinger.
- 7-830 P. M. Tutakin, S. P. Tsytko, A. N. L'vov, A. K. Walter and V. Iu. Goncha The polarization of the gamma-radiation from the reaction $^{30}Si~(p,\gamma)^{31}P$. J. nucles Energy 8, 253—256, 1959, Nr. 4. (Jan.) Die Polarisation der bei einer Protonenenerg von 940 keV emittierten y-Strahlung wurde mit Hilfe der polarisationsrichtung abhängigen Photospaltung des Deuterons (Kernemulsion mit schwerem Wasser gtränkt) untersucht. Ergebnis: Der Übergang von dem 8,2 MeV-Zustand (I = 3/2) den Grundzustand (I = 1/2+) hat M1-Charakter, so daß der obere Zustand ebenfal positive Parität besitzt.
- 7-831 R. K. Girgis, R. A. Ricci and R. van Lieshout. On the decay of ^{76}As . Nucle Phys. 13, 461—472, 1959, Nr. 4. (Nov.) (Amsterdam, Inst. kernphys. Onderzoel Durch Bestrahlung von $Mg_2As_2O_7$ mit 21 MeV-Deuteronen (15 μ Ah) und chemisch Abtrennung wurden As^{76} -Quellen hergestellt. Das γ -Spektrum wurde mit zylindrisch NaJ(Tl)-Kristallen von 25×25 mm² und 62×62 mm² Größe gemessen; der größe Kristall hatte eine Bohrung von 9 mm Durchmesser und 31 mm Tiefe. γ - γ -Koin denzen wurden mit einer fast-slow-Koinzidenzapparatur mit einer Auflösungszeit 217 ± 3 nsec gemessen. Es wurden folgende γ -Linien (und deren relative Intensitä gefunden: 555 (770), 655 (115), 760 (7), 860 (7), 1210 (100), 1430 (8,1), 1530 (2,3), 1630 (8)

770 (5), 1860 (20), 2080 (10), 2110 (5), 2410 (1,0), 2640 (0,9) keV. Neben zahlreichen euen Linien ist die Existenz der kürzlich gefundenen 2410 und 2640 keV Linien und er vermuteten 1770 keV Linie bestätigt, dagegen nicht die 2280 keV (<0,3) und 070 keV (<2) Linien. Aus den γ - γ -Koinzidenzmessungen ergibt sich, daß die Linien ei 555 und 1210 keV zu mehr als einem γ -Übergang gehören. Ein neues Niveauschema es Se⁷⁶ wird vorgeschlagen.

- -832 R. K. Girgis, R. A. Ricci, R. van Lieshout and J. Konijin. The decay of 76Br. Nuclear Phys. 13, 473-484, 1959, Nr. 4. (Nov.) (Amsterdam, Inst. kernphys. Onderoek; Delft, T. H., Lab. tech. Phys.) Durch Bestrahlung von Mg2As2O2 mit 50 MeV -Strahlen (10 μ Ah) und chemische Abtrennung wurden Quellen des (16,1 \pm 0,2)-h Br 76 ewonnen. Die γ -Strahlung wurde mit einem 25×25 mm 2 großen zylindrischen NaJ(Tl)-Kristall, das Positronenspektrum mit einem 4×1 cm² großen zylindrischen Stilben-Kristall mit 2,5 mg/cm² Al-Fenster, β-γ-Koinzidenzen mit einer fast-slow-Koinzidenzpparatur, Auflösungszeit $2 au=16\pm3$ nsec, gemessen. Der Nachweis der Positronen ei β-γ-Koinzidenzen erfolgte z. T. auch mit einem Krypton-Proportionalzählrohr. s konnten drei Positronen-Gruppen aufgelöst werden mit den Maximalenergien (und elativen Intensitäten) 3,68 (45), 3,15 (100) und 1,9 (<40) MeV. Das Verhältnis Elektroeneinfang zu Positronenemission ergab sich zu 0,6 ± 0,1. Die 3,68 MeV β⁺-Strahlung t ein Übergang in den Grundzustand, denn sie steht nicht in Koinzidenz mit der ,56 MeV γ -Strahlung. 15 verschiedene γ -Linien zwischen 0,56 und 4,42 MeV wurden ufgelöst, für einige ausgesuchte Linien wurde durch β^+ - γ -Koinzidenzmessung der relave Anteil der Positronen, die zu diesem Niveau führen, bestimmt. Wegen der Komlexität des γ-Spektrums kann ein eindeutiges Zerfallsschema für Br⁷⁶ nicht aufgestellt erden, doch lassen sich unter Verwendung des Zerfallsschemas von As⁷⁶ (vorst. Ref.) nige Zuordnungen angeben. O. Hoffmann.
- -833 R. K. Girgis, R. A. Ricci and R. van Lieshout. Gamma radiation from ⁷⁷Br. uclear Phys. 13, 485—492, 1959, Nr. 4. (Nov.) (Amsterdam, Inst. kernphys. Onderzoek. s wurden die gleiche Quelle und Versuchsanordnung wie bei der Untersuchung von r⁷⁶ (vorst. Ref.) verwendet. Neben den bereits bekannten γ-Linien wurden drei schwache inien bei 200, 380 und 450 keV neu gefunden, wozu das aus der Messung der COULOMBnregung bekannte 455 keV Niveau des Se⁷⁷ gehört. Es wird ein Zerfallsschema vorgechlagen, die lg ft-Werte werden berechnet.
- R. K. Girgis and R. van Lieshout. Investigations on the decay of 103 Ag. 104 Ag and -834 ⁴Rh. Nuclear Phys. **13**, 493-508, 1959, Nr. 4. (Nov.) (Amsterdam, Inst. kernphys. nderzoek.) Durch Bestrahlung mit 50, 40, 30 und 20 MeV α-Strahlen und chemische btrennung wurden aus Rh¹⁰³ Quellen von Ag¹⁰³ und Ag¹⁰⁴ gewonnen. Da die Schwelle r Ag¹⁰³ bei 33 MeV, für Ag¹⁰⁴ bei 25 MeV liegt, war das Verhältnis der einzelnen Isotope nach Beschußenergie verschieden, was die Zuordnung der verschiedenen Strahlungen i den einzelnen Isotopen ermöglichte. Mit einem $25 imes 25~
 m mm^2$ großen zylindrischen aJ(Tl)-Kristall wurde das γ -Spektrum, mit einem 4 cm Durchmesser imes 1 cm großen nthracen-Kristall das Positronen-Spektrum gemessen. Das 60-min Ag103 zerfällt auptsächlich durch einen ≈ 1,2 MeV β+-Übergang in den Grundzustand des Pd¹⁰³, nneben ist eine schwache γ-Linie von 120 keV angedeutet. γ-Strahlung von 555, 745, 30, 860, 935, 1260, 1340, 1540, 1640 und 1810 keV konnte mit Sicherheit dem Zerfall es 70 min Ag¹⁰⁴ zugeordnet werden. Die meisten dieser Linien treten auch beim Zerll des unter gleichen Versuchsbedingungen untersuchten 4,4-min Rh¹⁰⁴ auf. Die Ag¹⁰⁴ktivität enthält keine Positronen > 1,2 MeV Energie. Beim Zerfall des 27-min Ag¹⁰⁴ urden γ-Strahlen von 555 und 780 keV und zwei Positronengruppen von 2,6 und 1,9 MeV messen. Das aus dem Zerfall der beiden Ag104-Isomere gewonnene Niveauschema des l¹⁰⁴ konnte inzwischen verbessert werden, da die Spinwerte der beiden Isomere genau stimmt worden sind (nachst. Ref.). Für Ag103 reichen die Ergebnisse nicht zur Aufellung eines Zerfallsschemas aus, der Grundzustand des Pd¹⁰³ scheint den Spin 7/2+ zu ben.
- 835 R. K. Girgis and R. van Lieshout. The level scheme of ¹⁰⁴Pd (addendum). Nuclear nys. 13, 509-510, 1959, Nr. 4. (Nov.) (Amsterdam, Inst. kernphys. Onderzoek.) rebesserung des Niveauschemas vom Pd¹⁰⁴ (vorst. Ref.).

 O. Hoffmann.

7-836 André Gallmann. Application de la méthode des corrélations angulaires à l'étue expérimentale de niveaux de quelques noyaux légers. Ann. Phys. Paris (13) 4, 185-23: 1959, Nr. 1/2. (Jan./Febr.) (Strasbourg, Univ., Fac. Sci.) Im ersten Teil wird eine Zisammenstellung von allgemeinen Winkelkorrelationsfunktionen gegeben für den Fivon γ-γ-Kaskaden und Teilchen-γ-γ-Kaskaden. Im zweiten Teil werden Eigenschafte der gewählten Zähleinrichtungen beschrieben: Protonen werden mit dünnen Na. Kristallen, γ's in einem NaJ-Paarspektrometer nachgewiesen. Es wird eine Schnell-lan sam-Koinzidenzschaltung benützt. Im dritten Teil wird über Messungen an einigen Reaktionen berichtet: 1. ¹⁰B(d; p, γ)¹¹B(Eγ = 2,14 MeV) liefert eine isotrope Verteilung. ¹³C(p; γ, γ)¹⁴N, Kaskade vom 8,62 MeV-Niveau über das 6,23 MeV-Niveau zur Grundzustand (E_p = 1,16 MeV). 3. ¹⁴N(p; γ, γ)¹⁵O, Kaskade vom 8,34 MeV-Niveau über 5,27 MeV zum Grundzustand. — Die Verteilungsfunktionen werden diskutiert. Kamke.

7–837 Marcel Frilley et Manuel Valadares. Coefficients de conversion interne dans la niveaux L_1 , L_{II} , L_{III} . J. Phys. Radium 20, 60–61, 1959, Nr. 1. (Jan.) (Paris, Lab Curie; Bellevue, Lab. Grand-Aimant Perm.) Für die γ -Strahlung (46,50 keV) bei de Umwandlung RaD \rightarrow RaE werden gemessene relative Intensitäten der Konversionstrahlung ($L_{\rm I}/L_{\rm II}$ u. $L_{\rm II}/L_{\rm III}$) mit theoretisch berechneten Werten verglichen und dis kutiert. Ramthun.

7–838 M. C. Joshi, B. N. Subba Rao and B. V. Thosar. Conversion coefficient of th 87 keV transition in 160 Dy. Nuovo Cim. (10) 10, 775 – 779, 1958, Nr. 5. (1. Dez.) (Bombay Tata Inst. Fund. Res.) Die γ - und Röntgenstrahlung von 160 Dy wird an einem Konverte aus Zinn in Elektronen umgewandelt, die in einem Zwischenbild- β -Spektrometer gemes sen werden. Das Verhältnis von Fläche unter dem γ -Peak zu der Fläche unter der Röntgen-Peaks bestimmt den Konversionskoeffizienten. Damit wird $\alpha_{\rm K}$ zu 2,0 \pm 0, ermittelt, während der theoretische Wert nur 1,53 ist. Die von McGowan und Stelsoz gefundene Diskrepanz zwischen theoretischen und experimentellen Werten bei 160 Er 170 Yb und 176 Hf tritt also auch hier auf.

W. M. Kelman, R. J. Mezchwarischwili, B. K. Preobrashenski, W. A. Romanov und W. W. Tutschkewitsch. Multipolcharakter der y-Übergänge im Tm¹⁶⁹, Sh. exp. teor Fis. 37, 639-642, 1959, Nr. 3. (Orig. russ.) Es wurden die Verhältnisse der Umwand lungskoeffizienten für die γ -Linien mit den Energien 63, 94, 110, 130,5, 177 und 198 ke aus den L-Unterschalen des Tm¹⁶⁹ gemessen. Für die entsprechenden Übergänge wurd der Multipolcharakter festgestellt, für die gemischten Strahlungen der prozentuale An teil der Komponenten ermittelt. Die Intensitäten der Konversionslinien der ersten ge nannten Linie wurden in einem doppeltfokussierenden β-Spektrometer mit einer relative Halbwertsbreite von 0,4% gemessen; die übrigen Messungen erfolgten mit einem 2 Spektrometer, das in Analogie zum optischen Spektrometer speziell konstruiert wurd (magnetisches Ablenksystem (Prisma) und zwei magnetische Linsen). Das Tm169 wurd aus Lu¹⁶⁹ über Yb¹⁶⁹ gewonnen. Aus den gefundenen Verhältnissen der Umwandlungs koeffizienten L_{II}/L_I und L_{III}/L_I wurden beide Male die Multipoleigenschaften des Über gangs bestimmt, die Ergebnisse hierfür und für den Anteil verschiedener Prozesse in de gemischten Übergängen stimmten unter sich und mit den theoretischen Beziehunge von Sliw und Band (Tabellen der inneren Umwandlungskoeffizienten, Moskau 1958 gut überein. Die Ergebnisse bestätigen das Termschema von Johansson (Ber. 35, 1790 1956). Besonders bemerkenswert ist der hohe Beitrag von E 2 zum M 1-Übergang be den Linien 177 und 198 keV, was offenbar am K-Verbot beim Übergang vom 316-keV Term auf tiefere liegt. Vogel.

7-840 I. S. Schapiro und L. D. Blochinzew. Zirkulare Polarisation der vom Kern nac einem μ^- -Einfang emittierten γ -Quanten. Sh. exp. teor. Fis. 37, 760-764, 1959, Nr. 3 (Orig. russ.) Da die beim Pionenzerfall entstehenden Myonen longitudinal polarisier sind, liefert ein μ^- -Einfang einen polarisierten Kern. Ist der Tochterkern im angeregte Zustand, so sind auch die emittierten γ -Quanten polarisiert (ihre Winkelverteilung is aber isotrop). Vff. untersuchen die zirkulare Polarisation der γ -Strahlung für den Faldaß der Kern beim μ^- -Einfang in einen diskreten Zustand übergeht, d. h. kein Neutro emittiert wird. Konkret soll der Kern Λ_z mit dem Spin j_1 in die K-Schale ein polarisierte

Meson aufnehmen und in einen angeregten Kern Λ_{Z-1} mit dem Spin j_2 übergehen, der nter Emission eines γ -Quants mit dem Multipolcharakter J (auch gemischte Fälle sind urch Verallgemeinerung der Formel zu erledigen) in den Grundzustand mit dem Spin j_3 bergeht. Die Hyperfeinstruktur des Mesonatoms wird berücksichtigt. Es wird ein volltändiger Ausdruck für die Übergangswahrscheinlichkeit angegeben; die darin aufretenden Matrixelemente und Koeffizienten werden im Anhang explizit dargestellt. Die ELL-Mannsche Korrektur zum erlaubten Übergang auf Grund des "schwachen Mechaismus" ist berücksichtigt. Für Übergänge mit Fermischen Auswahlregeln hängt die irkulare Polarisation der γ -Quanten von der Existenz einer Hyperfeinstruktur-Vechselwirkung ab, die dafür sorgt, daß der Kern im Zwischenzustand polarisiert ist. Ieistens führt allerdings der Einfang zu einer Neutronenemission; trotzdem hat der Übergang in einen diskreten Zustand eine merkliche Wahrscheinlichkeit (z. B. 13% eim Übergang von \mathbb{C}^{12} in den gebundenen Zustand von \mathbb{B}^{12}).

-841 N. N. Deljagin. Elektrische Quadrupol-γ-Übergänge in gg-Kernen. Sh. exp. teor. is. 37, 849-851, 1959, Nr. 3. (Orig. russ.) Vf. betrachtet die ersten Anregungszustände on gg-Kernen mit der Charakteristik 2⁺, die durch elektrische Quadrupolübergänge erfallen. Aus den experimentellen Daten über die Lebensdauer dieser Zustände kann nan die reduzierten Übergangswahrscheinlichkeiten B(E2) bestimmen und ihren Zuammenhang mit der Energie E der Anregungszustände feststellen. Analog wie bei IcGowan (für Massenzahlen zwischen 90 und 130) wurde für einen größeren Bereich wischen A=46 (Ti) und A=198 (Pt) B(E2) auf Grund der Daten aus den Berichten on Alder u. a. und Strominger u. a. (Rev. mod. Phys. 28, 432, 1956 und 30, 585, 958) sowie anderen Originalarbeiten die Übergangswahrscheinlichkeit B(E2) bestimmt. Der von McGowan gefundene Zusammenhang B ~ E⁻¹ konnte nicht durchgehend betätigt werden, jedenfalls aber fiel B mit wachsendem E stets ab. Für Kerne mit großem Deformationsparameter und mit einem Rotationszustand als erster Anregungsstufe war ie Zunahme der Deformation stets mit einem Anwachsen von Quadrupol- und Trägeitsmoment verbunden, so daß B mit abnehmendem E stieg. Dasselbe galt für alle g-Kerne. Die Abhängigkeit ist gut durch das Potenzgesetz $\lg B = lpha \lg E + b$ mit onstantem a und b für die Isotopen eines Elements darzustellen, a ist für sieben Elenente (Ru, Pd, Cd, Te, Sm, W, Pt) -1.2 ± 0.2 ; dabei haben nur die W- und zwei Smsotope ein ausgesprochenes Rotationsspektrum der tiefsten Anregungsstufen, während ie übrigen im verallgemeinerten Kernmodell als kugelsymmetrisch betrachtet werden. rotzdem spricht das Experiment für eine einheitliche B(E)-Abhängigkeit.

-842 H. E. Gove, A. E. Litherland and R. Batchelor. Proton capture gamma rays in the lant resonance region. Phys. Rev. Letters 3, 177-179, 1959, Nr. 4. (15. Aug.) (Chalk liver, Ont., Can., Atomic Energy Can.)

-843 S. Hinds and R. Middleton. The angular distribution of some proton groups from the raction ¹⁶O(³He, p)¹⁸F. Proc. phys. Soc. Lond. **74**, 762-767, 1959, Nr. 6 (Nr. 480). Dez.) (Aldermaston, Berks., Atomic Weapons Res. Est.) Beschußenergien 5,9 und 46 MeV. Messung der Protonenspektra mit magnetischem Spektrometer unter Wineln von 7,5 bis 118° bei fester Targetstellung unter 45° zum einfallenden Strahl. Protonengruppen entsprechend Niveaus bei 0; 0,934; 1,038; 1,076; 1,119 MeV, wobei ie zu 1,076 MeV gehörige Gruppe sehr schwach war. Deutung der Ergebnisse durch toppel-Abstreif-Prozeß und Vorschläge für Spins, Paritäten, Isospins. Nur teilweise bereinstimmung mit entsprechenden Folgerungen aus γ-Messungen an der gleichen teaktion (Kuehner u. a. Ber. **38**, 1965, 1959).

-844 Luciano Fonda and Roger G. Newton. Threshold behavior of cross sections of carged particles. Ann. Phys., N. Y. 7, 133—145, 1959, Nr. 2. (Juni.) (Bloomington, adiana, Univ.) Es wird die Energie-Abhängigkeit der Streu- und Reaktionsquerschnitte in der Schwelle eines neuen Kanals mit Coulomb-Wechselwirkung untersucht. Im Fall ntgegengesetzter Ladung wird eine Anomalie gefunden, bei der das Mittel über die esonanzen der gebundenen Coulomb-Zustände unterhalb der Schwellenenergie diskonnuierlich verschieden ist von dem Grenzwert, den man erhält, wenn man sich der

Schwelle von oben nähert. Die notwendigen Auflösung und Genauigkeit macht es jedoc sehr schwierig, diesen Sachverhalt experimentell zu prüfen. Trümper.

7–845 **F. Coester** and **H. Kümmel.** Time dependent theory of scattering of nucleons be nuclei. Nuclear Phys. 9, 225–236, I958/59, Nr. 2. (Dez.) (Iowa City, State Univ., Dep Phys.) Das optische Modell für die Streuung von Nukleonen durch Nukleonen wird au der allgemeinen zeitabhängigen Streutheorie abgeleitet. Das Ausschließungsprinzis wird ohne Approximation verwendet. Es wird gezeigt, daß eine geeignet definiert Teilchenwellenfunktion einer "Schrödinger-Gleichung" genügt, die ein nicht-hermitisches "optisches Potential" enthält, das unter Heranziehung der Zwei-Körper Wechselwirkung durch eine Integralgleichung definiert wird. Lösungen dieser Integragleichung werden nicht diskutiert. Damit ist die Ableitung des Modells von den Approximationen getrennt, die für die Anwendungen des Modells auf konkrete Probleme nöti ist. Wenn das Ausschließungsprinzip berücksichtigt wird, ist die Wellenfunktion de optischen Modells nur asymptotisch für $t \to \pm \infty$ eine Wahrscheinlichkeitsamplitude Diese asymptotischen Eigenschaften genügen für die Berechnung der S-Matrix-Element und Wirkungsquerschnitte.

7-846 W.J.O'Neill, E. Sundahl and H. Ostrander. An absorber system for scatterine experiments. Nuclear Instrum. 4, 50-51, 1959, Nr. 1. (Jan.) (Lemont, Ill., Argonne Nat Lab.) Mit Hilfe einer Fernbedienungsanordnung können drei Kreisscheiben, die je sech verschiedene Absorberfolien tragen, so verstelltwerden, daß sich Absorberdicken zwischen und 3,8 mm in Stufen von je 0,025 mm einstellen lassen.

Bern hard.

7-847 F. F. Ternowski. Paarbildung bei Stößen geladener Teilchen. Sh. exp. teor. Fis 37, 793-798, 1959, Nr. 3. (Orig. russ.) Zum Paarbildungsquerschnitt beim Stoß schnelle geladener Teilchen mit Einzelatomen tragen zwei Arten von Prozessen bei, nämlic Prozesse erster Ordnung, wo die Teilchen des Paares als frei anzusehen sind, und Prozess zweiter Ordnung, wo das Mutterteilchen als frei angesehen wird. Den Hauptbeitrag zur integralen Querschnitt liefern Prozesse zweiter Ordnung, aber bei großen Energien de Paars sind auch die Prozesse erster Ordnung zu beachten. Für Strahlungsprozesse ir Medium bei hohen Energien werden nach LANDAU und POMERANTSCHUK auch Mehrfach streuungsprozesse wesentlich; dieser Einfluß wird explizit erst im folgenden Artikel be handelt. Die Paarbildung ist am wahrscheinlichsten im Gebiet x = m²p+p−/pp′ ≪ (m Masse des erzeugenden Teilchens in der Einheit met das als schwer und relativistisc betrachtet wird, p+ und p- Impulse der Teilchen des Paares, die ebenfalls relativistisc sein sollen, p und p' Anfangs- und Endimpuls des erzeugenden Teilchens). Im gegen teiligen Fall unterscheiden sich die Ausdrücke für den Querschnitt wesentlich, je nach dem ob das Mutterteilchen kernaktiv ist oder nicht; ist es nicht kernaktiv, so sind noch di Bereiche $1 \ll x \ll m^2$ und $m^2 \ll x$ zu unterscheiden. Für Elektronen und $|\mathbf{p} - \mathbf{p}'| = |\mathbf{k}|$ ≪|p| gilt die Theorie ebenfalls; hier leistet der Fall k ≪ p/m den Hauptbeitrag zur Querschnitt, und zwar ergibt sich unabhängig vom Spin des Teilchens bei fehlender Ab schirmung $\sigma = (28 \alpha^2 r^2 Z^2/27 \pi) \ln^3(\kappa p/m)$, bei vollständiger Abschirmung $\sigma = (28 \alpha^2 r^2 Z^2/27 \pi) \ln^3(\kappa p/m)$ 27 m ln 190 Z^{-1/3} [3 ln (\times p/m) ln (p Z^{1/2}/190 m) + (ln 190 Z^{-1/3})²]; in beiden Formeln is κ ≈ 1; die Korrekturen enthalten kleinere Potenzen des Logarithmus der Energie.

Vogel.

7-848 J. A. Romanowski. Anregung der Rotationszustände nichtaxialer Kerne bei de Streuung von α-Teilchen. Sh. exp. teor. Fis. 37, 851—853, 1959, Nr. 3. (Orig. russ.) V schätzt die Anregungswahrscheinlichkeit der zweiten Anregungsstufen mit dem Spin und positiver Parität in nichtaxialen gg-Kernen bei der Streuung von α-Teilchen mit Energien oberhalb der Coulomb-Schwelle E_B ab und versucht dabei die Bedeutung de konkurrierenden Anregungsmechanismen, nämlich der direkten Kernwechselwirkun und der Coulomb-Schwelle durch schwere Kerne die quasiklassische Näherung gill wird dabei eine Methode benutzt, die schon in der klassischen Theorie der Coulomb Anregung entwickelt wurde; die Anregung beruht auf den zeitlich veränderlichen elektrischen und Kernwechselwirkungen. Die Störungsrechnung, deren Gültigkeitsbereic abgeschätzt wird, liefert unter Berücksichtigung der Bahnänderung des beschießende Teilchens und der Änderung der elektrischen Multipolfelder beim Einfall des Teilcher

den Kern nach einer Methode des Vf. einen Ausdruck für die Anregungswahrscheinchkeit, der für das Beispiel des 2+-Terms mit $\Delta E=1,2~{\rm MeV}$ und $B(E\,2;~0\to2^+)=1,25\cdot 10^{-50}~{\rm cm}^{-4}$ für den Kern ${\rm Cd_{48}}^{114}$ ausgewertet wird. Das Verhältnis der Anregungsahrscheinlichkeit zur Anregungswahrscheinlichkeit durch das Coulomb-Feld des aeilchens mit $E=30~{\rm MeV}$ in Abhängigkeit vom Streuwinkel zeigt in einem Winkelereich, der Stoßparametern von der Größenordnung R_0 entspricht, Werte $\approx 100,$ ährend es unterhalb von 30° fast konstant gleich 1 ist. Das schnelle Anwachsen mit θ eruht darauf, daß das Maximum des Querschnitts bei kleinen θ liegt. Der maximale uerschnitt ist etwa eine Größenordnung geringer als der elastische Streuquerschnitt. Vogel.

-849 Robert E. Warner and W. Parker Alford. Polarization of 6- and 7-Mey protons astically scattered by nuclei. Phys. Rev. (2) 114, 1338-1344, 1959, Nr. 5. (1. Juni.) Rochester, N. Y., Univ., Dep. Phys. Astr.) Protonen von ungefähr 6 und 7 MeV Energie urden erst an dem zu untersuchenden Target (70 bis 190 keV dick) und dann an einer 0015 inch dicken Polystyrol-Folie als Analysator gestreut. Die Anisotropie wurde ater einem mittleren 2. Streuwinkel von 48° mit zwei Kristall-Szintillatoren gemessen, er mittlere Polarisationswert der 2. Streuung ist größer als +70% bei Energien der gereuten Protonen zwischen 5 und 6 MeV. Die apparative Anisotropie wurde mit Platin s 1. Target und Nickel als Analysator bestimmt. Bei einer Protonenenergie nahe 6 MeV urde an Targets aus Al, Ti, V, Cr, Fe, Co, Ni, Cu und Zn, nahe 7 MeV an Targets aus l, Fe, Ni und Cu die Polarisation P (Θ) in Intervallen von 15 $^{\circ}$ zwischen 45 $^{\circ}$ und 135 $^{\circ}$ messen. $P(\Theta)$ ist eine oszillierende Funktion, Maxima und Minima sind nicht größer s 40%. Die Polarisation in Abhängigkeit von der Energie wurde für C bei 45° zwischen 7 und 6,8 MeV, für Fe und Cu bei 60° und 120° zwischen 5,8 und 6,4 MeV gemessen. ei C nimmt P (45°) von +92% bei 5,7 MeV auf +36% bei 6,8 MeV ab. Bei Ču ändert ch P (60°) und P (120°) höchstens schwach, dagegen wurde bei Fe eine starke Energiephängigkeit gefunden, vermutlich durch Resonanzessekte bei compound-elastischer reuung. Aus Messungen in anderen Energiebereichen ermittelte Parameter für das otische Modell geben eine quantitative Übereinstimmung mit diesen Messungen, geque Anpassung läßt sich mit einem einzigen Satz von Parametern jedoch nicht erhalten. O. Hoffmann.

-850 A.V. Crewe, B. Ledley, E. Lillethun, S. Marcowitz and L. G. Pondrom. Elastic coton-deuteron scattering at 450 Mev. Phys. Rev. (2) 114, 1361—1365, 1959, Nr. 5. Juni.) (Chicago, Ill., Univ., Enrico Fermi Inst. Nucl. Stud.) Der Wirkungsquerhnitt für die elastische Streuung von 450 MeV Protonen an Deuteronen wurde für rotonenstreuwinkel von 16,45° bis 127° im Schwerpunktssystem gemessen. Die gereuten Protonen oder die Rückstoßprotonen wurden magnetisch analysiert und in nem Szintillations-Teleskop gezählt. Die Wirkungsquerschnitte wurden an die bennten p-pWirkungsquerschnitte angeschlossen. Bei kleinen Streuwinkeln liegen die messenen Wirkungsquerschnitte unter der nach der Methode der Impuls-Näherung erechneten Kurve, was auf Interferenz zwischen p-p und n-p Streuung schließen ßt. Bei großen Streuwinkeln wird der experimentelle Wert größer als der theoretische. O. Hoffmann.

J. N. Palmieri, A. M. Cormack, N. F. Ramsey and Richard Wilson. Protonoton scattering at energies from 46 to 147 Mev. Ann. Phys., N. Y. 5, 299—341, 1958, r. 4. (Dez.) (Cambridge, Mass., Harvard Univ., Cyclotron Lab.) Winkelverteilung und fferentieller Wirkungsquerschnitt wurden bei 147, 118, 95 und 66 MeV gemessen. In len Fällen war der Wirkungsquerschnitt bei 40° um einige Prozent größer als bei 90° ehwerpunktssystem) im Widerspruch zu den Ergebnissen von Taylor (Harwell). Die inkelverteilung deutet an, daß für die Beschreibung der Wechselwirkung bei 147 MeV. Wellen notwendig sind, während diese für die niedrigeren Energien nicht berücksicht zu werden brauchen. Messungen der Polarisation bei 45° (zwischen 46 und 147 MeV. 10 MeV-Schritten) zeigen um etwa 20% höhere Ergebnisse als von Gammel und Thater vorhergesagt.

852 M. A. Al-Jeboori, M. S. Bokhari, B. Hird and A. Strzałkowski. The polarization protons elastically scattered from oxygen at 8.7 MeV. Proc. phys. Soc. Lond. 74, 705 bis

710, 1959, Nr. 6 (Nr. 480). (1. Dez.) (Liverpool, Univ., Nucl. Phys. Res. Lab.) Erzeugunder Protonen durch $C^{12}(d,p)$, wobei die Polarisation der zum Grundzustand gehöriget Gruppe annähernd 50% unter einem Winkel von ca. 45° beträgt. Streuung der polarisier ten Protonen an Eistarget, Messung der Asymmetrie mit Zählrohrteleskopen aus jeinem dünnen CsJ-Szintillator und einem Proportionalzähler mit Ar-Füllung. An H gestreute Protonen schieden wegen zu niedriger Energie aus. Ergebnisse mit Protonen vor $8.9 \pm \frac{0.1}{0.1}$ MeV im wesentlichen mit den Voraussagen des optischen Modells vereinbat Dagegen lieferten Messungen mit Protonen von 8.7 ± 0.5 MeV bei 40 bzw. 50° ein Polarisation von $+9.9 \pm 6.8$ bzw. $+30.2 \pm 10.7\%$ gegenüber -22.3 ± 5.4 bzw. $+7.5 \pm 6.6\%$ für 8.9 MeV. Daraus wird schnelle Änderung der Polarisation mit de Energie gefolgert und zur Deutung Compoundkern-Bildung mit verschiedenen Niveau herangezogen.

7-853 S. L. Andersen, H. Bö, T. Holterbekk, O. Lönsjö and R. Tangen. Reso nance energies and halfwidths for proton capture in aluminium. Nuclear Phys. 9, 50 bis 518, 1958/59, Nr. 3. (Jan.) (Blindern, Univ. Oslo, Inst. Phys.) An einer Van-de-Graaff-Beschleuniger wurden folgende Resonanzenergien (in keV) bestimm (in Klammern: Experimentelle Halbwertsbreiten der Resonanzstellen in eV): $504,5\pm0$, (180 + 50), 506.5 ± 0.3 (160 ± 50) , 612.4 ± 1 , 632.3 ± 0.3 (100 ± 40) , 654.3 ± 0 , (100 ± 40) , 677,6 \pm 1, 730,6 \pm 0,3 (180 \pm 40), 735,6 \pm 0,3 (130 \pm 40), 741,1 \pm 0,7 $759,4\pm0,3$ $(120\pm40),\ 766,3\pm0,3$ $(130\pm40),\ 772,8\pm0,3$ $(180\pm50),\ 921,7\pm0,$ $(210\pm50),\ 936,3\pm0,3,\ 990,8$ $(220\pm40),\ 1001,5\pm0,5,\ 1023,9\pm0,3$ (260 ± 50) $1088,\overline{6}+0.3$ (180 \pm 50), 1096,4 \pm 0.5, $\overline{1117.2}$ \pm 0.3 (830 \pm 80), 1170.6 \pm 0.4 (290 \pm 50) $1182.0 \pm 0.4 (740 \pm 130), 1198.0 \pm 0.6 (6400 \pm 400), 1211.6 \pm 0.4 (260 \pm 50), 1260,$ \pm 0,4 ($\overline{260}$ \pm 50), $\overline{1315}$,2 \pm 0,4 ($\overline{230}$ \pm 50), $\overline{1326}$,6 \pm 0,4 ($\overline{230}$ \pm 50), $\overline{1362}$,0 \pm 0, $(210 \pm 50) \, 1379.6 \pm 0.4 \, (750 \pm 50), \, 1386.7 \pm 0.4 \, (390 \pm 50).$ Die Energieskala wurd mit der Resonanz bei (990,8 ± 0,2) keV (absolut bestimmt durch Bumiller u. a kalibriert, die Reproduzierbarkeit der Resonanzwerte betrug 0,02%. Der Einfluß de Energieverteilung im Protonenbündel und deren Schwankungen, sowie der thermische Bewegung im Auffänger auf die beobachteten Halbwertsbreiten wird diskutiert.

S. Wagner.

- Edward J. Burge. The total proton reaction cross section of carbon from 10-68 MeV b a new method. Nuclear Phys. 13, 511-515, 1959, Nr. 4. (Nov.) (London, King's Coll., Whea stone Lab.) Das Impulshöhenspektrum eines mit Protonen beschossenen Szintillators ha einen Schwanz nach niedrigen Energien, der von Protonen herrührt, die durch Keri reaktionen Energie verloren haben. Steigert man die Einschußenergie von E, auf E so wächst die Zahl der Protonen in diesem Schwanz an, und zwar um die Zahl der rea gierenden Protonen mit Energien zwischen E₁ und E₂. Die zu dieser zusätzlichen Zal von Reaktionen gehörende Szintillatordicke ist nun gerade die, die nötig ist, um di Energie von E2 auf E1 zu vermindern, Eine Messung der Intensität im Schwanz de Spektrums für E1 und E2, zusammen mit der Reichweite-Energie-Beziehung, ergibt de her den mittleren totalen Reaktionsquerschnitt zwischen E1 und E2. Der Szintillate sollte hierbei nur eine Art von Kernen enthalten. Wasserstoffkerne stören allerding nicht, da ihre Rückstoßenergie, zusammen mit der Energie des stoßenden Proton gerade wieder die volle Einschußenergie ergibt. — Die nach diesem Verfahren an Szir tilon, (CH) $_{\rm n}$, durchgeführten Messungen ergaben (376 \pm 40) mbarn (25 \pm 15) MeV ur (355 ± 50) mbarn für (54 ± 14) MeV. Ottinger.
- 7–855 C. J. Batty, P. J. Duke, S. J. Goldsack and W. O. Lock. Small angle scattering 970 MeV protons from carbon. Suppl. Nuovo Cim. (10) 9, 369—371, 1958, Nr. 2. (Birmin ham, Univ., Dep. Phys.) Protonen des Birmingham Synchrotrons werden aus d Vakuumkammer durch eine erste Streuung an einem Kohlenstofftarget gebracht ur als schnelles Bündel auf ein zweites Kohlenstofftarget geschossen, die gestreuten Pr tonen werden in Photoplatten registriert (Streuwinkel 1—3,75°). Der Streuwirkung querschnitt kann durch Coulomb-Streuung und Kernstreuung (Kern wird als total a sorbierend angesetzt mit einem Radius von 2,86·10⁻¹³ cm) dargestellt werden, wohrein imaginäre Kernstreuamplitude genügt. Die Experimente sollen fortgesetzt werde

-856 E. Fiorini e S. Ratti. Alcuni dati sulle interazioni di protoni di alta energia in acclei leggeri (C, O). Nuovo Cim. (10) 14, 901—904, 1959, Nr. 4. (16. Nov.) (Milano, niv., İst. Fis.; Ist. Naz. Fis. Nucl.) Die Wechselwirkung von schnellen Protonen C > 100 MeV) der kosmischen Strahlung mit Kohlenstoff und Sauerstoffkernen wird sperimentell mittels einer Wilson-Kanimer untersucht. Als Streukörper diente Plexias. Die Ergebnisse hinsichtlich der Energie und der Winkelverteilung der gestreuten eilchen werden mit theoretischen und experimentellen Ergebnissen von J. COMBE, METROPOLIS und G. BERNARDINI verglichen. Es wurde gute Übereinstimmung genden.

-857 K. P. Artjomow, S. P. Kalinin und L. N. Samoilow. Streuung von Protonen an e³ bei Energien von 5-10 MeV. Sh. exp. teor. Fis. 37, 663-666, 1959, Nr. 3. (Orig. iss.) Zur Aufklärung der Zustände des Li4 und der ähnlichen Anregungszustände des Teilchens wurde die Winkelverteilung von Protonen nach elastischer Streuung an He3 r Protonenenergien von 5,5; 6,8; 7,9; 8,6 und 9,6 MeV gemessen. Die 9,6 MeV-rotonen wurden direkt aus einem Zyklotron entnommen, die langsameren durch remsung vor dem Kollimator der Streukammer hergestellt. Die gewonnenen Winkelerteilungen wurden mit der Theorie verglichen. Die Rechnung von Bransden und OBERTSON (Ber. 38, 869, 1959) auf Grund eines GAUSSschen Wechselwirkungspotentials vischen jedem Nukleonenpaar lieferte für die Serbersche Variante der Wechselirkung qualitativ gute Übereinstimmung, allerdings mit zu hoher Absolutgröße des uerschnitts im ganzen Winkelintervall, während die symmetrische Variante systeatisch von der Meßkurve abweicht. Bei größerer Energie wird die Übereinstimmung it der Serberschen Variante besser. Auch die Rechnungen von Innas u. a. (Rep. 2. onf. Geneva 1958) stimmen qualitativ (optisches Modell mit Berücksichtigung der pinbahnkopplung; Rechtecktopf oder Topf mit abgeschrägten Wänden). Diese Übernstimmung bis zu Protonenenergien von 10 MeV in den Nichtresonanzphasen deutet rauf hin, daß bei der Streuung in diesem Energiegebiet keine Resonanzesfekte aufeten. Li⁴ hat also keinen deutlichen Energiezustand mit einer Lebensdauer wesentlich oerhalb der Kernstoßzeit. Damit werden die Annahmen von Bogdanow u. a. über den rundzustand des Li⁴ und den ähnlichen zweiten Anregungszustand des He⁴ mit 24 bis MeV und einem Isospin T = 1 nicht bestätigt.

858 Keichi Nishimura. Effects of potential well parameters on the polarization of ustically scattered protons. Progr. theor. Phys., Kyoto 22, 465-466, 1959, Nr. 3. ept.) (New Brunswick, N. J., Rutgers Univ., Dep. Phys.) Vf. behandelt im Gegensatz. Sternheimer (Ber. Nr. 1-872) das Problem des Einflusses der Potentialwahlarameter auf die Polarisation der elastisch an Brom- und Silberkernen gestreuten votonen nicht mit der WKB-Methode, sondern unter Verwendung der gestörten Dringen Wellen-Approximationen. Mit Sternheimer in Übereinstimmung folgert ", daß alle bisherigen Potentialwahl-Parameter geändert werden müssen, wenn man experimentellen Daten verifizieren will.

Retransition matrix in the impulse approximation for general two-body interactions. It is expical discussion of the impulse approximation with the double scattering terms included, it is 153-168/169-180, 1959, Nr. 2. (Uppsala, Univ., Inst. Theor. Phys.) or Vorbereitung der Untersuchung von d(p, 2p)n-Reaktionen bei Energien oberhalb Dever Werd die Übergangs-Matrix nach der Impuls-Approximationsmethode von Ew berechnet, wobei jedoch Zwei-Körper-Wechselwirkungen allgemeiner Art berückhtigt werden. Entsprechend der angewendeten Methode wird der Nukleon-Deuteronbergangsoperator als Summe der Übergangsoperatoren für Stöße des einfallenden Teilens mit jedem einzelnen Teilchen im Deuteron aufgefaßt, seine Matrixelemente zuchst im Spin- und Impulsraum getrennt entwickelt und schließlich in einer gemeinen Formel vereinigt. Die Entwicklung wird zuerst für Neutron-Deuteron-Streuung rechgeführt, dann durch Berücksichtigung des Einflusses der Coulomb-Wechselwirkung Nukleon-Deuteron-Streuung ausgedehnt. Durch eine abgeänderte Definition des vergangsoperators werden schließlich alle physikalischen Prozesse in diesen einbezogen,

die zwischen dem Streuvorgang und der experimentellen Messung wirksam sind, so da der Endzustand durch drei freie Nukleonen gekennzeichnet ist, wie es dem experimentellen Befund entspricht. Mehrfachstreuung kann bei allen hohen Energien eine Rolspielen, da sie vom Betrag der relativen Impulse im Endzustand und nicht im Aufangszustand abhängt. Die Berücksichtigung der Zweifach-Streuungsterme bereite keine formalen Schwierigkeiten, aber es ist die Kenntnis der Wellenfunktionen des Zwekörper-Kontinuums notwendig.

- 7-860 M. L. Mehta and C. S. Warke. $Cl^{35}(d, p)Cl^{36}$ in the unified model. Nuclear Phy 13, 451-455, 1959, Nr. 3. (Nov.) (Bombay, Tata Inst. Fundam. Res.) Aus den Übergang matrixelementen von Sawicki wird ein allgemeiner Ausdruck für die Winkelverteilur von Protonen abgeleitet. Diese Winkelverteilung wird für die Reaktion $Cl^{35}(d, p)$ Cl ausgerechnet unter der Annahme des unified model mit starker Kopplung. Bei de Berechnung des Integrals in der Formel für die stripping-Reaktion wird der Einflu der deformierten Kernoberfläche berücksichtigt. Der Wert für die Deformation, de man erhält, wenn man die berechnete Winkelverteilung mit der gemessenen in Übe einstimmung bringt, ist ungefähr derselbe wie der aus den Quadrupol- und magnetische Momenten.
- 7-861 Y.V. Tsekhmistrenko. Application of the variational method to the study of ϑ stripping reaction. Ukrain. fis. Sh. RSR 3, 561-566, 1958, Nr. 5. (Orig. russ. m. eng Zfg.) Die Potentialstreuung eines komplexen Teilchens (Deuteron) am Kern wird unter sucht. Ein Integralausdruck wird hergeleitet, der für einen bestimmten Teil der wahre Wellenfunktion stationäre Eigenschaften besitzt. Dieser Teil wird näher untersucht un erlaubt einerseits die Beschreibung der Deuteronenstreuung im Kernfeld, andererseit die aller anderen Effekte einschließlich der Deuteronenspaltung.

 Reich.
- 7-862 V. V. Volkov, A. S. Pasiuk and G. N. Flerov. The stripping process in the interactions of accelerated N¹⁴ ions with the nuclei of some elements. Soviet Phys.-JETP 6 459-463, 1958, Nr. 3. (März.) (Engl. Übers. aus: J. exp. theor. Phys., Moskau 35 595-601, 1957, Sept.) Beim Beschuß von Folien aus Al, Ni, Cu, Ag, Cd und Sn mi N¹⁴-Ionen (Energie ungefähr 100 MeV, fünffach geladene Ionen, die mit einem Zyklotro beschleunigt wurden), wurde das radioaktive Isotop N¹³ beobachtet. Winkelverteilungs messungen ergaben, daß N¹³ nur in einem relativ engen Winkelbereich emittiert wurde Die Maximalintensität trat bei einem Winkel auf, der mit der Ordnungszahl der Aufängersubstanz zunahm. Sobald die Energie der N¹⁴-Ionen die Höhe der COULOMS schwelle übersteigt, hängt der Wirkungsquerschnitt für die N¹³-Erzeugung nur noc schwach von der Energie ab; er beträgt für Ni etwa 30 · 10⁻²⁷ cm², für Al etwa 12 · 10⁻³ cm³. S. Wagner.
- 7-863 **R. H. Spear.** The energy spectrum of protons from the ${}^{7}Be(d, p){}^{8}Be$ reaction. Aus J. Phys. **12**, 99-102, 1959, Nr. 1. (März.) (Melbourne, Univ., Phys. Dep.) Kaul.
- 7-864 Paul H. Barrett. Nuclear absorption cross sections for 3.6-Bev neutrons. Phys. Re (2) 114, 1374-1375, 1959, Nr. 5. (1. Juni.) (Santa Barbara, Calif., Univ.) Die Absorp tionswirkungsquerschnitte für die Elemente Pb, Cu und Al wurden durch einfache gemetrische Durchdringungsmessungen bestimmt. Die Neutronen wurden durch B schuß eines Polyäthylen-Targets von 1 in. Dicke mit Protonen der Energie 6,2 BeV au dem Bevatron erzeugt. Der Nachweis der Neutronen geschah durch Messung der Dich von erzeugten Sternen in Kernemulsionen. Diese Messungen ergaben für die Absor tionswirkungsquerschnitte der Elemente Pb, Cu und Al die Werte (1930 \pm 300) mbar $(704\pm140)\,\mathrm{mbarn}\,\mathrm{und}\,(430\pm56)\,\mathrm{mbarn}$. Außerdem wird bei den Untersuchungen ein mittlere freie Absorptions-Weglänge in der Emulsion mit dem Wert $\lambda = (50 \pm 10)\,\mathrm{c}$ erhalten. Die Quellstärke der Neutronen, die das Target treffen, wurde berechnet ur ergab den Wert 0,19 Neutronen/sterad/Proton. Durch Vergleich der Multiplizitäten f die Mesonenerzeugung bei Kernwechselwirkungen der Neutronen und für die Protone bestimmter Energie erhält man eine mittlere Energie von $(3,6\pm0,7)$ BeV für den Ne tronenstrahl. Allkofer.

7-865 Robert W. Stooksberry and Marshall F. Crouch. Neutron-proton capture cross vection. Phys. Rev. (2) 114, 4561-4563, 1959, Nr. 6. (15. Juni.) (Cleveland, O., Case inst. Technol.) Die mittlere Lebensdauer thermischer Neutronen in Wasser wurde mit kinem großen Moderator von etwa 14 Diffusions-Längen Durchmesser, für den die Korrektur für Entweichen nur etwa 5% beträgt, gemessen. Die Geometrie der Anordnung war so gewählt, daß die Störung durch den eingeführten BF₃-Detektor leicht betechnet werden konnte. Aus der gemessenen Lebensdauer $\tau = (206, 3 \pm 5, 0)$ usec ergibt ich der Neutron-Proton-Einfangsquerschnitt zu (0.330 ± 0.008) barn. Ein möglicher ystematischer Fehler durch Oberwellen der Neutronenverteilung wird diskutiert.

O. Hoffmann.

2-866 M. K. Machwe, D. W. Kent jr. and S. C. Snowdon. Elastic scattering of 3.7-Mevneutrons from S, Fe, Co, Ni, Cu and Zn. Phys. Rev. (2) 114, 1563-1570, 1959, Nr. 6. 15. Juni.) (Swarthmore, Penn., Bartol Res. Found., Franklin Inst.) Beim Beschuß einer Deuterium-Gaszelle mit 1,0 MeV Deuteronen treten in Vorwärtsrichtung Neutronen von 8,66 MeV Energie mit etwa 400 keV Energiestreuung aus. An Ringtargets wurden die Neutronen in einen Plastik-Szintillator gestreut, durch Änderung des Ringdurchmessers connte der Streuwinkel zwischen 10° und 160° variiert werden. Durch ein geeignetes terationsverfahren wurden die Fehler der gemessenen differentiellen Wirkungsquerchnitte durch endliche Winkelauflösung, durch analytische Approximation die Fehler urch Mehrfachstreuung bestimmt. Durch Legendresche Polynomial-Analyse ergeben sich folgende totale (und totale elastische) Wirkungsquerschnitte in barn: S (1,88 ± 0,09 (1,80 ± 0,08); Fe 3,41 ± 0,14 (1,90 ± 0,10); Ni 3,33 ± 0,15 (1,82 ± 0,40); D (1,80 ± 0,15 (1,97 ± 0,10); Cu 3,38 ± 0,15 (1,81 ± 0,10); Zn 3,59 ± 0,17 (1,75 ± 0,17). Der Vergleich mit dem optischen Modell ergibt für zwei verschiedene bätze von Parametern keine befriedigende Übereinstimmung mit den gemessenen otalen und elastischen Wirkungsquerschnitten.

Z-867 Fahri Domanie and Eugene T. Patronis jr. Slow-neutron resonances in Eu¹⁵¹ and Eu¹⁵³. Phys. Rev. (2) 114, 1577—1580, 1959, Nr. 6. (15. Juni.) (Upton, N. Y., Brookaven Nat. Lab.) Mit einem hochauflösenden Kristallspektrometer wurden am Eu¹⁵¹ und Eu¹⁵³ die Gesamtwirkungsquerschnitte für Neutroneneinfang im Energiebereich von bis 10 eV gemessen. Es ergaben sich im Eu¹⁵¹ Resonanzen bei 1,055; 2,717; 3,368 und 2,710 eV und im Eu¹⁵³ lagen die Resonanzen bei 1,725; 2,456; 3,294; 3,944; 6,16 und 4,87 eV. Für die vorgenannten Energien wurden die Parameter aus der Breit-Wigner-heorie bestimmt. Die Werte für die Strahlungsbreiten, die zu den oben genannten Resonanzen im Eu¹⁵¹ gehören, sind fast gleich. Ebenso sind die Werte der Strahlungsbreiten für fünf Resonanzen im Eu¹⁵³ fast gleich, während der Wert für die Resonanzei ist, 16 eV um 30% höher liegt. Als Erklärung für dieses Verhalten wird angenommen, aß diese eine Resonanz zu einem, gegenüber den fünf übrigen Resonanzen, entgegenesetzten Spinzustand gehört.

-868 J. B. Marion, J. S. Levin and L. Cranberg. Elastic and nonelastic neutron cross ections for beryllium. Phys. Rev. (2) 114, 1584-1589, 1959, Nr. 6. (15. Juni.) (Los damos, N. Mex., Sci. Lab.; College Park, Maryl., Univ.) Mit der Methode der Flugzeitnessung (Ber. 36, 653, 1957) wurde die Winkelverteilung der elastischen Streuung von Weutronen an Beryllium für Energien von 2,6 bis 6,0 MeV gemessen, hieraus durch ntegration und direkten Vergleich mit den bekannten (n, p) Wirkungsquerschuitten er absolute elastische Streuguerschnitt bestimmt. Durch Subtraktion von den ebenfalls emessenen totalen Streuquerschnitten ergeben sich folgende nichtelastische Wirkungsuerschnitte in barn: 2,60 MeV: 0.27 ± 0.13 ; $3.50: 0.43 \pm 0.10$; $4.10: 0.51 \pm 0.08$; ,00: 0.60 ± 0.08 ; 6.00: 0.37 ± 0.07 . Aus der Messung der differentiellen Wirkungsuerschnitte der unelastischen Neutronen, die aus dem 2,43 MeV Niveau des Be9 kommen, nd Integration ergeben sich hierfür folgende unelastische Wirkungsquerschnitte in $arn: 3.50 \text{ MeV}: 0.23 \pm 0.04; 4.10: 0.25 \pm 0.04; 5.00: 0.34 \pm 0.05$. Es wurde ein kontiuierliches Neutronenspektrum gefunden, das zur direkten' (n. 2n)-Reaktion und/oder ur Anregung des 1,7 MeV "Niveaus" des Be⁹ gehört und dessen Winkelverteilung bei 0° ungefähr symmetrisch ist. Das 2,43 MeV Niveau des Be $^{\circ}$ zerfällt mit $(12+5)^{\circ}$ Vahrscheinlichkeit durch Neutronenemission in den Grundzustand des Be⁸

O. Hoffmann.

7–870 W.S. Lyon and R. L. Macklin. Neutron activation at 195 kev. Phys. Rev. (2) 114, 1619—1620, 1959, Nr. 6. (15. Juni.) (Oak Ridge, Tenn., Nat. Lab.) Durch absoluter 7-Zählung wurden die Neutronen-Aktivierungs-Querschnitte für etwa 30 Isotope bei 195 keV Energie (RdTh-D₂O-Neutronenquelle, maximale Energiestreuung 50 keV) gemessen. Die Quellenstärke wurde mit einem flachen 4 π -Graphit-Neutronendetektor gemessen, die Wirkungsquerschnitte an den zu (195 \pm 10) barn bestimmten Wirkungsquerschnitt des 54-Minuten In¹¹⁵ angeschlossen. Die Ergebnisse stimmen mit früheren Messungen befriedigend überein. — Die Aktivierungsquerschnitte bei 25 keV (MACKLIN, Ber. Nr. 2–814) wurden mit einer reineren Quelle neu bestimmt. Der Wirkungsquerschnitt für Pr¹⁴¹, an den die übrigen Messungen angeschlossen waren, ergab sich neu zu (155 \pm 15) barn. Daraus folgen für einige Isotope folgende Querschnitte: Zr⁹⁴ (24 \pm 4); Ga⁷¹ (140 \pm 30); Pd¹⁰⁸ (290 \pm 36) barn. O. Hoffmann.

7-871 P. G. Burke and F. A. Haas. The clastic scattering of neurons by deuterons with allowance for polarization. Proc. roy. Soc. (A) 252, 177-186, 1959, Nr. 1269. (London, Univ. Coll., Phys. Dep.) Bei früheren Berechnungen der elastischen Streuung niederenergetischer (< 10 MeV) Neutronen durch Deuteronen ergab sich eine Diskrepanz zwischen der berechneten und der beobachteten Dublett-Streulänge, die teilweise durch die Vernachlässigung der Deuteronenpolarisation hervorgerufen sein könnte. Um diese zu berücksichtigen, wird ein Variationsproblem formuliert, in das eine Funktion mit explizitem Polarisationsparameter eingeführt wird. Die Nukleonenwechselwirkung wird als zentral mit Gauss'scher Radialabhängigkeit angenommen; die ungestörte Wellenfunktion des Grundzustands des Deuterons wird durch zwei Gauss-Terme dargestellt. Die nach Kohns Methode und bei Annahme einer M. H. W. B.-Austauschkraft numerisch berechneten Werte werden mit den ohne Berücksichtigung der Polarisation von Burke und Robertson gewonnenen Ergebnissen verglichen. Es zeigt sich, daß Polarisationsessekte in dieser Näherung vernachlässigbar sind.

7-872 H. Kulenkampff, M. Scheer und E. Zeitler. Ergänzung zur Sommerfeld'schen Theorie der Röntgen-Bremsstrahlung. Z. Phys. 157, 275-281, 1959, Nr. 3. (16. Nov.) (Würzburg, Univ., Phys. Inst.) In seiner wellenmechanischen, nichtrelativistischen Theorie der Bremsstrahlung erhielt Sommerfeld für die Emissionsrichtung & = 0° und $\vartheta = 180^{\circ}$ einen Polarisationsgrad P > 0, während aus Symmetriegründen hierfür P = 0 sein muß, das heißt die Sommerfeldsche Formel gibt auch die Winkelverteilung der Intensität der Röntgen-Bremsstrahlung nicht richtig wieder. Dies läßt sich nun, wie Vff. erläutern, durch eine andere Aufteilung einzelner Glieder auf die ybeziehungsweise z-Komponente (X-Richtung = Einfallsrichtung der Elektronen) korrigieren. Einige neue experimentelle Befunde zeigen, daß der Winkel 9 = 90° im allge meinen Falle zu ersetzen ist durch einen Winkel ϑ^* , der durch cos $\vartheta^* = \beta_0$ (= v_0/c vo = Anfangsgeschwindigkeit der Elektronen) definiert ist. Vff. zeigen, wie sich die SOMMERFELDsche Formel zwanglos entsprechend ergänzen läßt. Schließlich gelanger Vff. zu einer Darstellung, von der erwartet werden sollte, daß sie noch für mittlere Werte β₀ eine gute Näherung ist. Der Winkel 9* behält seine besondere Bedeutung bis zu den höchsten extrem relativistischen Energien bei; hierzu wird die Formel von SOMMERFELD (Atombau und Spektrallinien Bd. 2, Kap. 7, § 7) und Schiff (Ber. 33 1843, 1954) diskutiert. Kleinpoppen.

4-873 H. Kulenkampff. Eine einfache Ableitung für die Voreilung des Intensitäts-Maximums bei der Röntgen-Bremsstrahlung. Z. Phys. 157, 282-285, 1959, Nr. 3. (16. Nov.) Würzburg, Univ., Phys. Inst.) Eine besondere charakteristische Erscheinung bei der Röntgen-Bremsstrahlung ist die unsymmetrische Intensitätsverteilung gegenüber einer enkrecht zur Elektronenrichtung stehenden Ebene mit der "Voreilung" des Maximums ler Ausstrahlung. Wie bereits SOMMERFELD (Phys. Z. 10, 969, 1909) gezeigt hat, kann liese Voreilung des Intensitätsmaximums aus den Gesetzen der klassischen Elektroynamik abgeleitet werden. Vf. zeigt nun, daß sich diese Erscheinung anschaulich vertehen läßt, wenn man vom Standpunkt der Emission der Strahlungsquanten ausgeht ind die Richtungsverteilung einmal von einem mit den Elektronen mitbewegten und odann von einem ruhenden Bezugssystem aus betrachtet. Es ist dann analog dem nechanischen Beispiel, wenn ein bewegtes Geschütz ein Geschoß unter einem Winkel bfeuert, der im mitbewegten Bezugssystem 90° ist. Ein außen ruhender Beobachter indet dann für die Schußrichtung einen Winkel, der durch die Beziehung tgδ = y/u regeben ist (v = Geschwindigkeit des bewegten Geschützes, u = Geschwindigkeit des leschützes). Im Falle der Emission der Strahlungsquanten ist dann nur zu beachten, aß sie sich mit Lichtgeschwindigkeit bewegen; in dem oben betrachteten speziellen Tall stellt dann der ruhende Beobachter einen Emissionswinkel fest, der durch cos 🤋 = v/c = β gegeben ist. Aus dieser anschaulichen Beschreibung ergibt sich exakt die ichtige Formel für die Richtungsverteilung der Strahlungsintensität. Ergänzend wird arauf hingewiesen, daß nur im mitbewegten Bezugssystem ein Doppler-Effekt, im Ruhsystem dagegen nur die Voreilung, ohne DOPPLER-Effekt, auftritt.

Kleinpoppen.

7-874 William L. Buys. Some experimental results on the angular intensity distributions f backscattering and transmission from an isotropic P³²β source on thick and thin plane cattering media. Z. Phys. 157, 478—489, 1959, Nr. 4. (17. Dez.) (Gent, Univ., Verchaffelt Lab. Experim. Phys.) Vf. untersuchte die Winkelintensitätsverteilung der an icken und dünnen Proben rückwärts gestreuten P³²-β-Strahlen. Insbesondere wird urch Transmissionsmessungen an dünnen Aluminium-Folien die von Seliger (Ber. 33, 533, 1953) gefundene "Seiten-Streuung" verifiziert.

-875 P. J. Kennedy. Ionization effects produced in diamonds subjected to monomergetic β-ray bombardment. Proc. roy. Soc. (A) 253, 37-51, 1959, Nr. 1272. (London, King's Coll., Wheatstone Lab.) Mit einem Oszillographen wird direkt die Höhe der tromimpulse über der Restenergie der Elektronen nach Durchgang durch die Probe argestellt. Nur wenige Elektronen (0,4 bis 1,5 MeV) werden vollkommen in der Probe begebremst. Bei Sättigungsfeldstärke und niedriger Kristallpolarisation ist die Impulsöhe proportional der dissipierten Energie. Die mittlere Energie pro Ionenpaar erweist ich damit als unabhängig von der Energie der einfallenden Teilchen und beträgt für erschiedene Diamant-Proben übereinstimmend etwa 20 eV. — Die zugehörige Theorie immt an, daß das einfallende Elektron nur durch Wechselwirkung mit den Valenzlektronen gebremst wird. Die mittlere Energie pro Ionenpaar hängt daher nicht nur on der Breite des verbotenen Bandes ab, sondern auch von der Breite des Valenzandes und dem Maximum der Zustandsdichte im Valenzband. Daraus erhält man als nittlere Ionisationsenergie für Diamant 18 eV. Die endliche Breite der Impulsspektren Freytag.

-876 Ann T. Nelms. Energy loss and range of electrons and positrons. Suppl. Circ. U. Bur. Stand. 1958, Nr. 577, (30. Juli.) S. 1—31. Tabellierung von dE/dx und der daraus bgeleiteten Reichweite von Positronen und Elektronen in verschiedenen Materialien. Egenüber den im NBS-Circular 577 aufgeführten Daten wird hier die Polarisation des lediums (Dichteeffekt) nach der Näherung von Sternheimer berücksichtigt.

Walz.

-877 P. O. Davey and H. S. Valk. A note on the inelastic contributions to the elastic cattering of high-energy electrons from helium. Nuovo Cim. (10) 10, 789—796, 1958, r. 5. (1. Dez.) (Eugene, Univ. Oregon, Dep. Phys.) Im totalen Streuquerschnitt elastisch und unelastische Korrektur) von hochenergetischen Elektronen werden zwei elastische Anteile berechnet: Die elektrische Spaltung von ⁴He in ³He — n und in

 $^3{
m H}+{
m p},$ sowie die Mesonenerzeugung. Beide ergeben zusammen eine Korrektur von mehreren Prozent am Streuquerschnitt, besonders bei Rückwärtsstreuung.

Kamke.

- 7-878 M. Vakselj and N. Bezič. Energy-angle distribution of bremsstrahlung spectrums. Rep. J. Stefan Inst. (jugosl.) 5, 9-41, 1958, Okt. Der differentielle Bremsstrahlungs Wirkungsquerschnitt nach Bethe und Heitler wird über die Winkel der gestreuter Elektronen integriert und die Energie- und Winkelverteilung des Bremsspektrums er halten. Die Integration wird exakt mit Hilfe einer analytischen Näherung für da: Hartree-Feld des Atoms ausgeführt, die eine bessere Näherung darstellt als das Thomas: Fermi-Feld. Das erhaltene Spektrum weicht von dem Schiffspektrum besonders zu kleinen Energien hin ab.
- 7-879 M. V. Mihailovič. Bremsstrahlung cross section at the short-wave limit. Rep. J Stefan Inst. (jugosl.) 5, 137-144, 1958, Okt. Der differentielle Wirkungsquerschnittige Energieeinheit in Vorwärtsrichtung für die Erzeugung von Bremsstrahlungsquanter am energiereichen Ende des Spektrums wird mit Hille der Sommerfeld-Mauescher Funktionen für die einfallenden und auslaufenden Elektronen berechnet. Nach einer Fehlerabschätzung ist befriedigende Genauigkeit für Elemente mit $Z \leq 42$ zu erwarten. Reich.
- 7-880 G. W. Awakow. Elektron-Elektron-Streuung und Quantenelektrodynamik für kleine Abstände. Sh. exp. teor. Fis. 37, 848-849, 1959, Nr. 3. (Orig. russ.) Nimmt mar die Elektron-Elektron-Wechselwirkung für alle Abstände als vektoriell und eichinvariant an, so ergibt sich durch Vergleich der Theorie mit dem Experiment der elektrische und der magnetische Formfaktor des Elektrons. Wenn diese beide ± 0 sind, läßt sich der Knotenoperator Γ_{μ} , der einem Knoten im Feynmanschen Streugraphen entspricht auf die bekannte Weise durch die Formfaktoren als Funktion des Viererimpulsbetrags q2 ausdrücken. Es werden Ausdrücke für den Streuquerschnitt im Schwerpunkt system angegeben. Durch eine Substitution bleibt nur noch eine Funktion von q2 une \mathbf{p}^2 stehen $(\mathbf{q}^2 = -4 \, \epsilon^2 \sin^2(\delta/2), \quad \mathbf{p}^2 = -4 \, \epsilon^2 \cos^2(\delta/2), \quad \epsilon$ Elektronenenergie, δ Strew winkel). Dieser Ausdruck enthält vier unbekannte Größen (da der gleiche Formfakto bei verschiedenen Argumentwerten verschiedene Unbekannte darstellt). Durch Variation von $x = tg^2(\delta/2)$ und ϵ erhält man sechs quadratische Gleichungen mit sechs un bekannten f(pi) und φ(pi). Hat man aus diesen Gleichungen die Funktionen φ und f be stimmt, so kann man ihre Verhältnisse mit der Größe u vergleichen, die man experi mentell aus der Streuung von Elektronen an α-Teilchen erhält. Vogel.
- 7-881 G. L. Vysotsky and A. A. Kresnin. On the theory of bremsstrahlung of electron by protons. Ukrain. fis. Sh., Kiew 4, 164—166, 1959, Nr. 2. (März/Apr.) (Orig. ukrain m. engl. Zfg.) Der differentielle Wirkungsquerschnitt für die Bremsstrahlerzeugung de Elektrons an Protonen wird unter Berücksichtigung des anomalen magnetische Moments des Protons berechnet. Eine phänomenologische Berechnung des Protonen Formfaktors wird angegeben.
- 7-882 I. S. Slatew und P. S. Issajew. Dispersionsbeziehungen für den virtuellen Compton-Effekt. Sh. exp. teor. Fis. 37, 728-734, 1959, Nr. 3. (Orig. russ.) Nach der Method von Bogoljubow werden die Dispersionsbeziehungen für die physikalischen Amplituden im Schwerpunktsystem für die Bremsstrahlung von Elektronen an Nukleonen und die Erzeugung von γ-Quantenpaaren an Nukleonen in der niedrigsten Näherung hinsichtlich e gewonnen. Es wird gezeigt, daß die Querschnitte der Prozesse in der Einnukleonennäherung mit den Querschnitten nach der niedrigsten Ordnung der Störungs rechnung übereinstimmen, wobei jedoch die Methode der Dispersionsbeziehungen ein strenge Ableitung der Formfaktoren (vom Hofstadterschen Typ) und der Nukleonen knoten der Feynman-Graphen gestattet, die mit einer virtuellen Photonenlinie verbunden sind. Dies ist einer der wichtigsten Vorteile der Methode gegenüber der Störungs rechnung. Die gewonnenen Beziehungen lassen sich mindestens auch zur Abschätzun des Beitrags der Einpionenzustände verwenden, ähnlich wie von Solowjow (Ber. 38, 1959) für die Photoerzeugung von Pionen durchgeführt. In Verbindung mit

üheren Rechnungen der Vff. (J. exp. teor. Fis. 35, 309, 1958) über Bremsstrahlung nd Paarbildung in der niedrigsten Näherung der Störungstheorie unter Berücksichtiung von ausschließlich Bethe-Heitler-Diagrammen mit Hofstadterschen Formsktoren ergibt sich die Möglichkeit, für Einfallsenergien um 150 MeV, wo der Beitrager Mesonenwolke und höhere elektromagnetische Korrekturen noch unwesentlich t, die Gültigkeit der Quantenelektrodynamik für kleine Abstände, also die Lokalitäter Wechselwirkung des Feldes mit dem Strom des geladenen Teilchens zu prüfen.

Vogel.

-883 A. A. Kresnin. Polarisation der Elektronen bei der Bremsstrahlung. Sh. exp. teor. is. 37, 872—873, 1959, Nr. 3. (Orig. russ.) Obwohl die Polarisation bei der Bremsstrahlung gut untersucht ist, fehlt noch eine Behandlung der Polarisationsänderungen des lektronenstrahls infolge Bremsstrahlung. Vf. holt dies mit Hilfe einer Methode nach, de Lipps und Tolhoek (Ber. 35, 246, 1956) und er selbst mit Rosenzweig (J. exp. for. Fis 32, 353, 1957) entwickelt haben. Der Polarisationszustand bei gegebenem inpuls wird durch eine Streumatrix vom Ausgangs- in den Endzustand transformiert for bzw. nach Emission des Bremsquants). Der gewonnene Streuquerschnitt stimmt is auf einen Zahlenfaktor mit dem Wert nach Bethe-Heitler überein. In Spezialillen vereinfachen sich die Ausdrücke für die Polarisationsänderung: Im nichtrelatistischen Fall bleibt die Polarisation erhalten; im Grenzfall sehr weicher Bremsmanten ($\omega \rightarrow 0$) dreht sich der Polarisationsvektor ohne Änderung seines Betrages m die Normale zum Anfangs- und End-Gesamtimpuls der beiden Elektronen um einen linkel φ, der in einfacher Weise von der Gesamtenergie ε der Elektronen abhängt; ei ε/mc² $\rightarrow 1$ geht $\varphi \rightarrow 0$, bei ε/mc² $\rightarrow \infty$ geht $\varphi \rightarrow \vartheta$ (ϑ : Winkel zwischen Anfangsbalarisation und relativem Impuls).

-884 Toshinosuke Muto, Takashi Sebe and Ko Izumo. Note on electrodisintegration of [e4]. Progr. theor. Phys., Kyoto 22, 304-307, 1959, Nr. 2. (Aug.) (Tokyo, Univ., Inst. olid State Phys.) Vff. teilen in einer kurzen Note die Erweiterung ihrer Theorie der erspaltung des He4-Kernes durch Elektronenbeschuß (Ber. 38, 1091, 1959) auf den treuwinkelbereich von 45° bis 105° mit, um die Ergebnisse mit den neuen, noch uneröffentlichten Messungen von R. HOFSTADTER vergleichen zu können. Wie die grahischen Darstellungen vergleichsweise zeigen, besteht außer für die 45°-Streudaten emlich gute Übereinstimmung mit den Stanforder 400 MeV-Elektronen-Experimenten. Kleinpoppen.

-885 K. Dietz und G. Höhler. Über die Verträglichkeit einer Dispersionsrelation für die ion-Nukleon-Streuung mit den experimentellen Daten. Z. Phys. 157, 362-368, 1959, r. 3. (16. Nov.) (München, Univ., Inst. theor. Phys.) Einleitend werden zunächst die chwierigkeiten bei der Prüfung der Dispersionsrelationen für die π-N-Streuung zusammengestellt. Besonders wird auf die Dispersionsbeziehung von CHEW, GOLD-ERGER, Low und Nambu (Ber. 37, 1003, 1958) hingewiesen, die nur noch die Amplitude 3 = eiα33 (sin α33'q) enthält, aber infolge der experimentellen Unsicherheit der Streunase nicht verifiziert werden kann. TSUCHIDA und KANAZAWA (Prog. theor. Phys. 20, 95,~1958) berücksichtigten neuere Messungen und wählten für $lpha_{33}$ die empirische ormel von Anderson (Proc. Rochester Conf., S. I, 20, 1956), die der besten Anassung an eine dreiparametrige BREIT-WIGNER-Formel entspricht. Vff. wollen nun igen, daß das Ergebnis von TSUCHIDA und KANAZAWA wesentlich von der speziellen terpolation herrührt und nicht von der Verwendung neuerer Daten. Vff. haben in m besonders kritischen Bereich bis 120 MeV α_{33} aus einer effective-range-Formel it den von Puppi (Proc. CERN Conf. 39, 1958) angegebenen besten Werten der Paraeter entnommen und für höhere Energien direkt interpoliert. Aus einer graphischen arstellung geht einwandfrei hervor, daß die experimentellen Daten dabei besser becksichtigt werden als bei TSUCHIDA und KANAZAWA. Das Resultat für die Kopplungsonstante f² = 0,097 ist zwar etwas höher als der Wert, der in der effective-rangeormel verwendet wurde, die Differenz ist aber wahrscheinlich nicht größer als es den ermen entspricht, die bei der Herleitung der Dispersionsrelation vernachlässigt urden.

W. G. Iwanow, W. T. Ossipenkow, N. I. Petrow und W. A. Russakow, Elastische Streuguerschnitt für 195 MeV-x+-Mesonen an C und Li. Sh. exp. teor. Fis. 37, 863-866 1959, Nr. 3. (Orig. russ.) Am Synchrozyklotron von Dubna wurde mit Hilfe eine WILSON-Kammer im Magnetfeld nach einer früher entwickelten Methodik an einer Strom positiver Ionen aus einem Polyäthylenblock, beschossen mit 760 MeV-Protonen die Wechselwirkung mit leichten Kernen untersucht. Als Targets dienten natürlich Isotopengemische von C und Li. Ein Ablenkmagnet und ein großer Kollimator selek tierten einen Teilchenstrom mit festem Impuls. Es zeigt sich, daß bei 195 und 250 Mev die elastischen Streuguerschnitte für Pionen beider Vorzeichen etwa gleich sind. Gut Übereinstimmung besteht auch mit der Theorie von Sternheimer (Ber. 35, 2002, 1956 auf Grund des optischen Modells mit Rechteckpotential (0,6-0,8 des geometrischer Querschnitts). Die Winkelverteilungen stimmen i. a. ebenfalls mit der Theorie überein es läßt sich aber bei der erreichten Meßgenauigkeit keine Aussage über Größe und Vor zeichen des reellen Potentialanteils machen. Hier scheint das einfache Rechteckpotentia zu versagen, weil keine ausgeprägten Extrema auftreten, wie sie für ein solches Potentia charakteristisch sind. Es scheint nötig zu sein, im optischen Modell auf die homogen Nukleonenverteilung zu verzichten und im Potential ein Glied proportional den Dichtegradienten hinzuzufügen. Für beide Kerne wurde keine Rechts-Links-Asym metrie der Winkelverteilung der gestreuten Pionen beobachtet. Vogel.

7-887 W. S. Baraschenkow und W. M. Malzew. Resonanzwechselwirkung von Pionen Sh. exp. teor. Fis. 37, 884-886, 1959, Nr. 3. (Orig. russ.) Zur Erklärung des Maximum im Querschnitt der π^- -p-Wechselwirkung in der Nähe von E = 1 GeV haben Piccioni DYSON und TAKEDA die Hypothese einer Resonanzwechselwirkung der Pionen ent wickelt, die auch zur Deutung der hohen Vielfachheit der bei der Nukleon-Antinukleon Vernichtung erzeugten Pionen und der inelastischen π-p-Streuung oberhalb von I = 1 GeV herangezogen wurden. Die Annahme einer Resonanz-ππ-Wechselwirkung is aber nicht in allen diesen Fällen notwendig; die Experimente können auch anders erklärt werden. Vff. untersuchen die Folgerungen der Resonanzwechsel wirkung bei der unelastischen Streuung oberhalb von 1 GeV, wo viele Pioner erzeugt werden, konkret den unelastischen π^- -p-Stoß bei E = 5 GeV. Ohne Berück sichtigung der Resonanzwechselwirkung der Pionen haben Vff. diesen Fall schon frühe behandelt (z. B. Ber. 38, 633, 1959). Ebenso wie dort wird angenommen, daß sich da statistische Gleichgewicht für K-Mesonen innerhalb eines Radius $r_K = \hbar/m_K c$, für all übrigen Teilchen innerhalb eines Radius $r_{\pi} = h/m_{\pi}c$ einstellt. So lassen sich die Ex perimente über die Vielfacherzeugung von gewöhnlichen und "seltsamen" Teilchen an besten deuten. Ohne $\pi\pi$ -Resonanzwechselwirkung ergibt sich gute Übereinstimmun mit der Messung, die durch diese Wechselwirkung (besonders in der Takedasche Variante) nur verschlechtert wird. Die zur Zeit vorliegenden experimentellen Date lassen sich also innerhalb der Meßfehlergrenzen auch ohne die Resonanzwechselwirkun der Pionen gut verstehen. Um eine statistische Theorie, welche diese Wechselwirkun enthält, ans Experiment anzupassen, muß man Zusatzannahmen machen. Vogel.

7-888 H. Hübel, P. Röh und M. Scheer. Wirkungsquerschnitt für die Absorption von Quanten durch Paarbildung. Naturwissenschaften 46, 574–575, 1959, Nr. 20. (Okt. (Würzburg, Univ., Phys. Inst.) Es werden Experimente mit einem neu konstruierte magnetischen Paarspektrometer mit einer Energieauflösung von $2^{\circ}/_{0}$ und einer Koin zidenzauflösung von $2 \cdot 10^{-9}$ sec beschrieben. Gemessen wurde der Absorptionskoeffizien von Kupfer, Silber und Blei für γ -Quanten von 13 und 28 MeV. Die Strahlung wurde einem 35 MeV Betatron entnommen und hatte eine Grenzenergie von 31 MeV. Streustrahlung und sekundäre Bremsstrahlung wurden durch geeignete Anordnung de Kollimators eliminiert. Von den gemessenen totalen Absorptionsquerschnitten wurde die theoretisch gut bekannten Anteile des Photo- und Compton-Effekts abgezoger Paarbildung an Elektronen und Kernabsorption können vernachlässigt werden, sich Geben berechneten Davies, Bethe und Maximon eine Korrektur zur Bornsche Näherung: $\sigma_{\text{korr}} = \sigma_{\text{Born}} (1 - K(k, Z), wobei man zweckmäßig K(k, Z) = b(k, Z) \cdot Z$ schreibt. Die experimentellen Werte für K, gegen Z^2 aufgetragen, ergaben für beid

ntersuchten Energien k=13 MeV bzw. 28 MeV Geraden, und zwar mit der gleichen teigung $b=1,6\cdot 10^{-15}\pm 14\%$. b ist daher nicht nur innerhalb der Meßgenauigkeit on Z, sondern auch von der Energie unabhängig. Das gemessene b stimmt gut überein it Messungen anderer Autoren bei 88 bzw. 280 MeV. Ottinger.

-889 Otto Zehender. Polarisation der Kernresonanzfluoreszenz bei Germanium 74. Z. hys. 157, 219-231, 1959, Nr. 2. (19. Okt.) (Erlangen, Univ., Phys. Inst.) In der rbeit des Vf. wurde erstmalig der lineare Polarisationszustand von resonant gestreuten Quanten untersucht. Während die Winkelverteilung der Kernresonanz-Fluoreszenzrahlung nicht von den eintretenden Änderungen der Parität abhängt, liefern Polariationsmessungen zusätzliche Aufschlüsse über die elektrische oder magnetische Natur er Strahlung. Als geeignet zur Untersuchung erwies sich die von METGER gefundene esonanzfluoreszenz bei Ge⁷⁴-Kernen (Ber. 35, 1554, 1956). Die Anregung der Kernsonanzfluoreszenz erfolgte durch die 596-keV-Gammaquanten einer gasförmigen s⁷⁴-Ge⁷⁴-Quelle. Der Resonanzstreukörper bestand aus natürlichem Germanium, das wa 37% Ge⁷⁴ enthielt. Zum Nachweis der Polarisation wurden die um 99° bzw. 35° Ge⁷⁴ gestreuten Quanten einer zweiten Streuung und zwar einer COMPTON-Streuung, nterworfen. Da die Compton-Streuung bevorzugt in Richtung des magnetischen ektors der einfallenden Strahlung erfolgt, konnte aus den Intensitäten der gestreuten uanten in zwei zueinander senkrechten Richtungen der Polarisationsgrad bestimmt erden. Die Hauptschwierigkeiten des Experimentes lagen in der Kleinheit des Effektes, er durch die zweimalige Streuung des ohnehin schon geringen Anteils der resonanten uanten bedingt war. Es mußte daher große Sorgfalt auf die Ausschaltung der nicht sonant gestreuten Quanten von der Registrierung und auf die Kleinhaltung des ntergrundes verwendet werden. Der nach der Theorie erwartete Polarisationsgrad er resonant gestreuten 596 keV-Gammastrahlung wurde in Abhängigkeit vom Streuinkel für M1, M2, E1, E2-Übergänge aufgetragen; die beiden, in dieselbe graphische arstellung eingetragenen Meßwerte für die Streuwinkel 99° und 135° bestätigen einen 2-Übergang, so daß dem 596 keV-Niveau des Ge74 der Kerndrehimpuls 2 h und dieelbe Parität wie dem Grundzustand zuzuschreiben sind. Da die Parität von gg-Kernen n Grundzustand stets gerade ist, handelt es sich also um einen 2⁺-Zustand. Im Sinne es Kollektivmodells ist das 2+-Niveau als Vibrationszustand eines graphischen Kernes deuten.

L. Cohen, R. A. Tobin and J. McElhinney. Resonance scattering of gamma rays the 4.46-Mev and the 5.03-Mev states of B^{11} . Phys. Rev. (2) 114, 590-592, 1959, Nr. 2. 5. Apr.) (Washington, D. C., U. S. Naval Res. Lab., Nucleons Div.) Die bei 4,46 MeV and 5,03 MeV liegenden angeregten Zustände von B^{11} wurden mit der Methode der esonanzstreuung untersucht. Als γ -Quelle diente das kontinuierliche Spektrum des NRL-etatrons. Es ergeben sich die folgenden Werte für die Resonanzintegrale: $\sigma_0 \Gamma = (0,79 \pm 0,21) \cdot 10^{-4}$ MeV-barn für den tieferliegenden und $(0,98 \pm 0,17) \cdot 10^{-4}$ für den oberen stand.

891 I. S. Waschakidse, T. I. Kopaleischwili und G. A. Tschilaschwili. Resonanzreturng von γ -Quanten am Kern Mg^{24} . Sh. exp. teor. Fis. 37, 750-755, 1959, Nr. 3. Orig. russ.) Da gewöhnlich die Linienabstände wesentlich größer sind als die natürliche nienbreite, wurde die Methode der Resonanz-γ-Strahlung erst in letzter Zeit fruchtbar r Aufklärung der Eigenschaften der Anregungszustände und des Anregungsmechanisus, von dem die Korrelationsfunktionen wesentlich abhängen. Vff. untersuchen eoretisch die Resonanzstreuung von γ-Quanten am Mg²⁴ unter Anregung der beiden sten Anregungsterme, nämlich 2+ mit 1,37 MeV und 2+ mit 4,23 MeV. Betrachtet man is Mg²⁴ als stark deformierten Kern, so läßt sich der 1,37 MeV-Term entweder als blektiver Rotationsterm mit dem Drehimpuls I=2 und dessen Projektion auf die mmetrieachse K = 0 oder als Einteilchenterm infolge der Anregung eines Nukleons n Feld des deformierten Kerns auffassen. Dementsprechend lassen sich die Ausdrücke r die Übergangswahrscheinlichkeiten nach Bohr-Mottelson oder nach Nilsson anenden. Für beide Fälle ergeben sich wesentlich verschiedene Korrelationsfunktionen. ir Einteilchenanregung ist die Korrelationskurve unsymmetrisch gegen 90° (für 0°

verschwindet sie, behält dagegen für 180° etwa 1/3 des Maximalwertes bei 90°), fü kollektive Anregung ist sie symmetrisch. Das Experiment könnte also klare Auskunt über den Anregungscharakter geben.

- 7 892 P. J. Lucchesi, D. L. Baeder, J. P. Longwell and M. C. Schroeder. Effect of neutron irradiation on the activity of silica-alumina catalyst for the double bond isomerization of butene-1. J. chem. Phys. 31, 558-559, 1959, Nr. 2. (Aug.) (Linden, N. J., Esso Res Engng. Co.) SiO₂-Al₂O₃-Katalysatoren wurden im Reaktor mit etwa 10¹⁸ thermischen Neutronen/cm² und 10¹⁸ schnellen Neutronen/cm² bestrahlt und erhielten etwa 10¹⁰ γ-Strahlung. Nach Abfall der Radioaktivität wurde ihre Wirksamkeit bei der Umwand lung von Buten-1 zu eis- und trans-Buten-2 bestimmt. Die katalytische Aktivität bei der Isomerisation war infolge der Bestrahlung herabgesetzt. Es wird angenommen, dat dies auf die Bildung von Defekten, vor allem Versetzungen (Dislokationen) zurückt zuführen ist.

 M. Wiedemann,
- 7 893 M. Haissinsky et Mme M. Duflo. Recherches radio-chimiques sur l'uranium. Il Oxydation du sulfate uraneux par les rayons a; effet de concentrations élevées d'uranium e de la nature de l'anion. J. Chim. phys. 56, 955-966, 1959, Nr. 11/12. (Nov./Dez.) (Paris Lab. Curie.) In Ergänzung zu den Versuchen mit Röntgen- und γ-Strahlung wurde di Oxydation von Uran-IV-sulfat in saurer Lösung unter dem Einfluß von Po-a-Strahlun in Gegenwart und bei Ausschluß von Luft untersucht. Die Herabsetzung der Ausbeut in entgasten Lösungen bei hohen Konzentrationen an UIV sowie auch an UVI wird diskutiert, UO₂²⁺ wird durch II-Atome, wenn auch langsam reduziert. Die Ausbeute be der Oxydation vun U(IV)-Sulfat in Gegenwart von Luft ist sehr hoch, sie erreich G = 27,4/100 eV, die Abhängigkeit von der Intensität gehorcht I^{-1/2}. Der Reaktions mechanismus dürfte derselbe sein wie bei Einwirkung von γ-Strahlung: Kettenreaktion Fortpflanzung durch Elektronenübergang zwischen $\mathrm{UO_2^+}$ und $\mathrm{O_2}$, dazu Oxydation vo UIV durch H2O2 und Reduktion durch die Elektronen auf den Bahnen, gefolgt von de Reoxydation des U3+ durch Sauerstoff, Cl--Ionen hemmen die Oxydation von U1V so wohl in Gegenwart wie beim Fehlen von Luft. In Perchlorat-Lösung ist die Wirkung de Produkte der Strahleneinwirkung auf ClO₄- zu beachten. M. Wiedemann.
- 7–894 E. P. Ney, J. R. Winckler and P. S. Freier, Protons from the sun on May 12, 1959. Phys. Rev. Letters 3, 183–185, 1959, Nr. 4, (15, Aug.) (Minneapolis, Minn., Univ. Es wird in dieser Arbeit über Effekte berichtet, die bei erhöhter Sonnenintensität mi. Hilfe von Ionisationskammern, Geiger-Müller-Zählrohren, Szintillationszähler und photographischen Emulsionen, die über Minneapolis in einer Höhe von 10 g/cm exponiert wurden, beobachtet werden konnten. Zu dem beobachteten Zeitpunkt et höhter Sonnenintensität war der integrale Teilchenfluß am Rande der Atomsphäre un etwa einen Faktor 1000 größer als die Ultrastrahlungsintensität. Der beobachtet Fluß bei der Höhe von 10 g/cm² bestand im wesentlichen aus reinem Wasserstoff. De fluß der α -Teilchen und schweren Kerne war nicht angewachsen und entsprach den normalen Ultrastrahlungsfluß beim Sonnenmaximum. Das Energiespektrum der eir fallenden Teilchen wurde in der photographischen Emulsion gemessen und kann i dem gemessenen Energiebereich (110 MeV < E < 220 MeV) durch die Beziehun n(E) dE= K \cdot E $^{-4/8}$ dE angegeben werden .
- 7-895 **K. D. Cole.** Low-energy corpuscular radiation at high latitudes. Nature, Lond. 18738, 1959, Nr. 4663. (14. März.) (Melbourne, Dep. External Affairs, Antarctic Div Der Beschleunigungsmechanismus von Bohm und Gross setzt eine "elektrostatische Welle (= Schallwelle) im Elektronengas voraus; diese wird als Frequenz die Plasma frequenz ihres Entstehungsorts haben. Sie ist existenzfähig bis zu einer um den Fakte $(1+3\pi/4)$ größeren Elektronendichte, als sie am Entstehungsort bestand. Dort eit gefangene Ladungen werden bei Erreichung der Grenzbedingung die Energie der Well voll übernommen haben. Numerische Abschätzung des möglichen Teilchenstroms. Dir Theorie setzt genügend hohe Temperatur des Elektronengases (etwa 20000° K) vorau Rawer.

-896 J. Katzman. The sun as a source of cosmic rays of intermediate energies. Canad. J. hys. 37, 1207—1215, 1959, Nr. 11. (Nov.) (Ottawa, Nat. Res. Counc., Div. Pure Phys.) f. hat mehrjährige Messungen kosmischer Strahlung mittlerer Intensität mit einer ochauflösenden Anordnung (1,2·10⁻³ sterad, 96 inch Bleiabsorber) durchgeführt. Die eutlichen Änderungen der Intensität der tageszeitlichen Maxima und Minima werden eränderungen der Stoßzonen der Atmosphäre zugeschrieben, die wiederum durch mit em solaren Partikelstrom mitgeführte Magnetfelder hervorgerufen werden sollen. Aus ergleichen mit anderen Messungen wird geschlossen, daß die Sonne eine Barriere erzeugt, die Höhenstrahlungsteilchen niedriger Energie zurückhält, solche mittlerer tensität hingegen verstärkt emittiert. Die Intensität der emittierten Strahlung wächst it der solaren Aktivität.

-897 C. F. Powell. Experiments on cosmic radiation by means of artificial satellites. Proc. by. Soc. (A) 253, 482-487, 1959, Nr. 1275. (Dez.) (Bristol, Uni.) Behnsch.

2. 1959, Nr. 35, (28. Aug.) S. 52-55. (Iowa City, Iowa, State Univ., Phys. Dep.) Es ird eine bei Ballonaufstiegen mitgeführte Apparatur beschrieben, die die Intensität de Energie der Höhenstrahlung mißt und die Ergebnisse an die Bodenstation weiterbt. Als Strahlungsdetektoren finden ein NaJ-Kristall mit Vervielfacher und 4-Kanaliskriminator, ein plastischer Szintillator mit mehreren in Koinzidenz geschalteten Verelfachern und eine Ionisationskammer Verwendung. Die Schaltungen der einzelnen Eineiten (Verstärker, Diskriminator, Zählstufen), die nur mit Transistoren bestückt sind, erden unter Berücksichtigung der speziellen Eigenschaften von Transistoren ausführen erläutert. Das für die Übertragung der Meßwerte zur Bodenstation benutzte System urde schon in einer früheren Arbeit beschrieben (Electronics 32, 1959, S. 136). Der emperaturbereich, in dem das Gerät einwandfrei arbeitet, wird mit 38°C bis — 45°C negegeben.

-899 J. Benisz, Z. Chyliński and W. Wolter. Investigations of bremsstrahlung of electors in the energy interval 10¹¹—10¹² eV. Acta phys. polon. 18, 143—152, 1959, Nr. 2. Kraków, Inst. Nucl. Res.) Es wurden vier Elektron-Photonkaskaden von etwa 10¹² eV ihrer ersten Entwicklungsstufe in Kernemulsion untersucht. Anzahl und Energie der lektronenpaare der ersten Generation, die während der ersten Strahlungslänge entanden, wurden abgeschätzt und mit den theoretischen Vorhersagen nach BETHE ind HEITLER einerseits sowie Landau, Pomeranchuk und Ter-Mikaelvan andererits verglichen. Die Ergebnisse sprechen für die Richtigkeit der Theorie der zweiten utorengruppe.

900 N. L. Grigorow und M. A. Kondratjewa. Untersuchung eines Schauers aus 200 000 eilchen, der in einer Kernemulsion registriert wurde. Sh. exp. teor. Fis. 37, 684-689, 959, Nr. 3. (Orig. russ.) In einer elektronenempfindlichen Platte vom Typ NIKFI-R 00 μ), die 1956 auf dem Aragaz in einer Apparatur mit Ionisationskammern exponiert orden war, wurde ein außergewöhnlich starker Elektron-Photon-Schauer gefunden, essen Achse mit der Normale zur Platte einen Winkel von 15° bildet. Mit Hilfe eines sichenapparates, der an einem Okular eines Mikroskops mit 1350facher Vergrößerung ontiert war, wurden alle Schauer- und Untergrundteilchen aufgezeichnet, die sich in er aufeinander senkrecht stehenden rechteckigen Gebieten in Abständen zwischen 0 und 10000 μ von der Schauerachse befanden. Der Untergrund wurde durch Aushlung aller relativistischen Spuren in einigen Gebieten 2-5 cm vom Zentrum zu $02 + 0.03 \cdot 10^{-3}$ Teilchen/ μ^2 bestimmt. Innerhalb eines Achsenabstands r von 500 μ ar die Teilchendichte zu groß zur Individualisierung, die Dichte wurde also durch notometrie bestimmt. In diesem Gebiet fanden sich etwa 104 Teilchen; die Summation vischen 250 und $10^4\,\mu$ liefert $1.5\cdot 10^5$ Teilchen; für r $> 10^4\,\mu$ ergibt sich mit einer otenzabhängigkeit der Dichte wie r-3 eine Teilchenzahl von 8,8 · 104. Der Fehler in r Bestimmung der Gesamtteilchenzahl beträgt etwa 30%. Unter der Annahme, daß r Schauer im Maximum seiner Entwicklung beobachtet wurde, ergibt sich die Energie r weichen Komponente zu 3,6 \pm 0,7 · 1013 eV. Räumliche und Winkelverteilung zuindest für das Zentralgebiet stimmen bei diesem Energiewert mit der Kaskadeneorie überein.

7-901 I. K. Ovehinnikov and N. S. Zinchenko. Vibrating sound method for investigating axisymmetrical electron beams. Ukrain. fis. Sh., Kiew 4, 219-228, 1959, Nr. 2. (März Apr.) (Orig. ukrain. m. engl. Zfg.) Es wird ein Verfahren beschrieben, die Paramete intensiver Elektronenstrahlen mittels eines quer zur Strahlrichtung verlaufender Schallfeldes zu bestimmen. Die theoretischen Zusammenhänge werden angegeben und einige Meßergebnisse mitgeteilt.

7–902 **H. Boersch, J. Geiger** und **H.-J. Reich.** Energieverluste von 25 keV-Elektronen i. atomarem und molekularem Wasserstoff. Naturwissenschaften **46**, 596–597, 1959 Nr. 21. (Nov.) (Berlin, Tech. Univ., I. Phys. Inst.) In einer Abbildung sind die gemesse nen Energieverlustspektren für 3200° C (H und $\rm H_2$) und 20° C ($\rm H_2$) dargestellt.

Freytag.

7-903 W. Dietrich und H. Seiler. Energieverteilung von Elektronen, die durch Ionen und Elektronen in Durchstrahlung an dünnen Folien ausgelöst werden. Z. Phys. 157, 576 bi 585, 1960, Nr. 5. (8. Jan.) (Tübingen, Univ., Inst. Experim. angew. Phys.) Zu Messung der Energieverteilung der Elektronen, die an der Rückseite dünner Ni-, Ag-Al-, C- und KCl-Bildwandlerfolien durch Lithium-Ionen von 57 keV und Elektrone von 5 keV ausgelöst wurden, benutzten Vff. den im Kaustik-Strahlengang arbeitenden verbesserten elektrostatischen Geschwindigkeitsanalysator (Ber. 38, 773, 1959), desser Auflösungsgrenze bei 0,1 eV liegt. Es zeigte sich, daß die Energieverteilung der Elek tronen materialabhängig ist. Die Energieverteilung der Elektronen ist bei Elektronen auslösung stets breiter als bei Ionenauslösung, KCl hat die schmalste Verteilung (Halb wertsbreite 1,8 eV für Ionen und 2,7 eV für Elektronen), Ni die breiteste (Halbwerts breite 1,8 eV für Ionen und 2,7 eV für Elektronen). Es wurde beobachtet, daß während der Bestrahlung auf den Folien ein Niederschlag entsteht, der bei langer Bestrahlungs dauer bewirkt, daß die Energieverteilung an KCl breiter, an Ni schmaler wird. Wibereits verschiedene Autoren zuvor gezeigt haben, beschneidet die Aperturblende, die im Überkreuzungspunkt einer elektrostatischen oder magnetischen Aperturblende sitzt die Energieverteilung der ausgelösten Elektronen. Es werden diejenigen Elektronen be vorzugt durch diese Blenden zurückgehalten, die mit höherer Anfangsenergie unte größerem Winkel zur optischen Achse austreten. Vff. untersuchten nun die Wirkung dieser Blende auf die Energieverteilungen aus Ni- und Ag-Folien mit ihrem hochauf lösenden Gerät. Dazu wurden Blenden von 100, 50 und 30 \mu Durchmesser in Höhe de unteren Brennebene des Immersionsobjektivs in den Strahlengang geklappt und jeweil Spektren mit und ohne Blende aufgenommen. Aus den graphischen Darstellungen geh hervor, daß für beide Materialien sich die Halbwertsbreite der Energieverteilung von 3,7 eV (ohne Blende) auf 0,45 eV (30 \u03bc-Blende) verringert. Kleinpoppen.

7-904 Fred Schwirzke. Ionisierungs- und Umladequerschnitte von Wasserstoff-Atome und Ionen von 9 bis 60 keV in Wasserstoff, Z. Phys. 157, 510-522, 1959, Nr. 4. (17. Dez. (Karlsruhe, T. H., Phys. Inst.) Die Arbeit des Vf. beschreibt die Messungen der Ioni sierungs- und Umladequerschnitte von Wasserstoff-Atomen (H0), Protonen (H+) un Wasserstoffmolekülionen II⁺ und H⁺ im Energiebereich 9 bis 60 keV. Sämtliche Wir kungsquerschnitte wurden durch Sammeln der durch Umladung und Ionisation ir Gase entstehenden langsamen Ionen und Elektronen in einem transversalen elektrische Feld direkt gemessen. Die Versuchsanordnung ermöglichte auch, die Sekundär-Elek tronenauslösung bei dem Aufprall von H+, H0, H2 und H3-Teilchen auf eine Kupfer Berylliumplatte zu messen. Ein Strahl von monoenergetischen neutralen Wasserstoff atomen wurde durch Ladungsaustausch eines Protonenstrahls in einer Gaskammer erzeug Durch ein Magnetfeld wurde die geladene von der ungeladenen Komponente des Strahl abgetrennt. Der Druck in der Gaskammer, in der die Wirkungsquerschnitte gemesse wurden, war so niedrig, daß die einfallenden Strahlteilchen keine Stöße erlitten. Aus de Meßergebnissen zog Vf. folgende Schlüsse: 1. Der Ionisierungsquerschnitt von Protone in Wasserstoff nähert sich oberhalb von 60 keV vermutlich einem maximalen Wer 2. Bei niedriger Energie unterhalb von 22 keV ionisieren die neutralen Wasserstof atome wirksamer als die Protonen. 3. Ein Vergleich der experimentell gemessenen Wert mit den nach der Bornschen Näherung berechneten ergibt: Die gemessenen und thec retisch berechneten Ionisierungsquerschnitte für Protonen in Wasserstoff stimme rst bei höherer Energie (oberhalb von 50 keV) näherungsweise überein, während beim Imladequerschnitt die theoretischen Werte bereits bei 25 keV durch die experimentell rmittelten gut bestätigt werden. Die gemessenen Ionisierungsquerschnitte neutraler Vasserstoff-Atome erweisen sich als ungefähr doppelt so groß wie die mit der Bornschen läherung berechneten. 4. Der maximale Wert des Umladequerschnitts wird für Proonen und die Wasserstoffmolekülionen H½ und H¾ bei annähernd gleicher Gechwindigkeit erreicht. 5. Die Ionisierungsquerschnitte des H½ und des H¼ untercheiden sich wenig und sind größer als beim Proton. 6. Die Sekundärelektronenusbeute wächst in der Reihenfolge H+, H°, H½ H¾. Die Form der Ausbeutekurven in abhängigkeit von der Energie läßt vermuten, daß die Sekundärelektronen nur aus iner bestimmten Oberslächenschicht aus dem Material entweichen können.

Kleinpoppen.

-905 **H.** Gienapp. Der Gesamtwirkungsquerschnitt des Stoßprozesses zwischen Kaliumtomen und Chlormolekülen. Z. Naturf. 14a, 1084—1085, 1959, Nr. 12. (Dez.) (Stuttgartlughafen, Forschungsinst. Phys. Strahlantrieb.) Mittels der Methode der gekreuzten trahlen wurde der Stoßradius von Kaliumatomen mit Chlormolekülen bestimmt und m Falle des breiten Strahles an K-Atomen 14,9 Å, im Falle des schlanken Strahls 3,7 Å erhalten. Beide Werte liegen in der Nähe der quantenmechanischen Streuradien, twa 20 Å, obgleich im ersten Fall der gaskinetische Wert zu erwarten gewesen wäre. Ewischen den Stoßpartner dürfte die Reaktion K + Cl₂ → KCl + Cl ablaufen.

Wiedemann

-906 G. F. Drukarjow. Der Masseysche Parameter in der Theorie der Atomstöße. Shxp. teor. Fis. 37, 847-848, 1959, Nr. 3. (Orig. russ.) Ausgedehnte experimentelle Erahrung über den Elektroneneinlang bei Atom- und Ionenstößen wird gut durch die adiabatische Hypothese" von Massey beschrieben. Hier ist der Querschnitt betimmt durch den Parameter $|\Delta E|$ a $/\mathrm{hv}$ (ΔE Änderung der inneren Energie beim Stoß, Relativgeschwindigkeit vor dem Stoß, a eine Länge von der Größenordnung der tomabmessungen). Ist dieser Parameter ≥1 (adiabatischer Prozeß), so ist der Querchnitt klein. Mit wachsender Geschwindigkeit wächst auch der Querschnitt und ereicht bei einem Parameter ≈1 sein Maximum, dann fällt er wieder. Vf. versucht die hysikalische Bedeutung von a zu klären; a hängt hauptsächlich vom Typ des Prozesses, aum von der Art der Stoßpartner ab; beim Einfang eines Elektrons durch einwertige onen ist a pprox 8 Å, beim Einfang zweier Ionen a pprox 1,5 Å. Durch Betrachtung des Energie- und Impulsaustausches bei der Streuung um einen gegebenen Winkel im chwerpunktsystem kann Vf. a darstellen als a $= h/q_m$, wobei q_m der wahrscheinlichste Vert für den übertragenen Impuls bei der Vorwärtsstreuung ist. Damit finden alle Zigenschaften von a ihre Deutung: Jedem Prozeß entspricht eine bestimmte wahrcheinlichste Impulsübertragung qm, die kaum von der Art der stoßenden Teilchen abängt; daß a für eine doppelte Umladung kleiner ist als für eine einfache, entspricht em Umstand, daß bei der doppelten Umladung der übertragende Impuls natürlich rößer ist als bei der einfachen. Die Zahlenwerte von a zeigen, daß qm von der Größenrdnung der atomaren Impulseinheit h/a, ist (a, Bohrscher Radius); die Adiabasieedingung entspricht $q_m \gg h/a_0$.

4907 **B. Köckel.** Die theoretische Berechnung leichter Atome und Moleküle mit Hilfe es Variationsverfahrens. Z. Naturf. **14a**, 1088—1097, 1959, Nr. 12. (Dez.) (Leipzig, Iniv., Inst. theor. Phys.) Zusammenfassender Bericht über die Arbeitsweise des Variationsverfahrens sowie seine Anwendung auf die Berechnung des Grundzustandes es He-Atoms (1s)² S und des Li-Atoms, der angeregten Zustände des He-Atoms, der Grundzustände aller Atome und Ionen von He bis Ne sowie des H₂-Moleküls.

Järchel

-908 A. Fisch. Ein Strukturschema der Elektronenhülle. Helv. phys. Acta 32, 325-326, 959, Nr. 4. (S. B.) (Aarau.) Unter der Bezeichnung Struktur-Schema wird Vorschlag iner symbolischen Darstellung gemacht, welche in kürzester Form den Aufbau der Elektronenhülle eines Atoms. erkennen läßt.

H. Ebert.

960

- 7-909 J. Voisin. Interprétation des polarisations d'ordres supérieurs. Physica 25: 195-204, 1959, Nr. 3. (März.) (Liege, Dep. Phys. math.) Nach der Methode Rosenfeld werden zunächst die Polarisationserscheinungen für die ersten Ordnungen untersucht Die Effekte höherer Multipolmomente der Atome werden explizit behandelt unter de Annahme, daß das Medium keine diskontinuierliche Oberfläche enthält. Im zweite Teil wird der Fall eines Mediums mit einer solchen Oberfläche betrachtet. Skalarune Vektorpotential als Folge dieser Oberfläche werden für alle Punkte ausgerechnet, dinicht auf dieser Oberfläche liegen.
- 7-910 E. Cicely Ridley. Self-consistent fields without exchange for Pr^{3+} and Tm^{3+} . Proc Camb. phil. Soc. 56, 41-54, 1960, Nr. 1. (Harwell, Atomic Energy Res. Est.) Vf. bet rechnet die Self-consistent-Felder ohne Austausch für die Grundzustände von Pr^{3+} und Tm^{3+} und findet für die Spin-Bahn-Kopplungskonstanten $\zeta(4f)$ die Werte 787 bzw. 2742 cm⁻¹, für die entsprechenden $(1/r^3)$ -Werte 29,4 bzw. 77,5 Å⁻³. Für beide Strukturen sind die Werte der Slater-Integrale $F^2(4f, 4f)$, $F^4(4f, 4f)$ und $F^6(4f, 4f)$ tabellarisch angegeben.
- 7-911 W. B. Plasko, W. P. Masloff, W. J. Panikar and N. D. Ssokoloff. Über die Gestalt der Korrelationsfunktion für das Heliumatom. Opt. i Spektrosk. 6, 698-700. 1959, Nr. 5. (Orig. russ.) Mit Hilfe der Variationsmethode wird die Korrelationsfunktion für die Bewegung der Elektronen des Heliumatoms berechnet. v. Keussler.
- 7-912 W. A. Runciman. Analysis of the spectra of gadolinium salts. J. chem. Phys. 30. 1632—1633, 1959, Nr. 6. (Juni.) (Christchurch, N. Zeal., Univ., Phys. Dep.) Bei der Berechnung der Lage der Russell-Saunders-Terme verschwindet die Multiplettaufspaltung für die Konfiguration 4f⁷ des dreiwertigen Gadoliniums. Da andererseits beachtliche Multiplettaufspaltungen zu beobachten sind, werden die Matrixelemente der Spin-Bahn-Kopplung zwischen verschiedenen Sechstett- und Quartett-Termen für mittlere Kopplung berechnet und hieraus die Lage der Multiplettkomponenten der Terme ⁶P und ⁶I neu bestimmt. Diese Werte werden mit den experimentell gefundenen verglichen.
- 7-913 W. I. Chwostenko und W. M. Dukelski. Erzeugung negativer Wasserstoffionen ar erhitzten Wolframoberflächen. Sh. exp. teor. Fis. 37, 651-653, 1959, Nr. 3. (Orig. russ. Aus der Elektronenaffinität des H-Atoms von 0,754 eV folgt nach der Saha-Langmuir Gleichung die Wahrscheinlichkeit a für den Einfang eines Elektrons durch ein H-Atom das von einer 2400°K heißen Wolframoberfläche abdampft, zu 6·10-9. Bei diesem kleinen a kommt auch eine negative Ionisierung im Volumen vor der Kathode durch Wechselwirkung von Thermoelektronen mit Gasmolekülen in Frage (Ionisierung durch Elektronenstoß von H₂ oder H₂O sowie Strahlungseinfang langsamer Elektronen durch H-Atome). Vff. hatten bereits gezeigt (Ber. 38, 2132, 1959), daß H-Ionen bei Stößer mit Elektronen unterhalb 5 eV nicht aus H2 oder H2O entstehen können. Dies wurde zur experimentellen Ausschaltung der Stoßionisation benutzt. Auch der Strahlungs einfang schien unter den Meßbedingungen klein zu sein. Aus der Temperaturabhängig keit des Verhältnisses zwischen Ionen- und Elektronenstrom zwischen 2600 und 2900° b ergab sich also der reine Oberflächenessekt mit einer Elektronenassinität des H-Atom von 0,8 ± 0,1 eV, was gut mit den quantenmechanisch berechneten 0,754 eV über einstimmt. In diesem Temperaturgebiet war der Dissoziationskoeffizient der H3-Moleküle konstant (vollständige Dissoziation). Die Werte lg (I, T2/Ie) (I, Ionenstrom, Ie Elektro nenstrom) lagen gut auf einer Saha-Langmuir-Geraden. Das Ergebnis wird vor allen als Bestätigung der Meßmethode gewertet, die zur Bestimmung der Elektronenaffinitä auch anderer Atome geeignet scheint, falls diese von ähnlicher Größenordnung ist wir beim H-Atom. Vogel.
- 7-914 L. A. Borisoglebskii. Forbidden lines in atomic spectra. Soviet Phys.-Uspekhi 1211-244, 1958, Nr. 2. (Nov./Dez.) (Engl. Übers. aus: Usp. fis. Nauk. 66, 603-652 1958, Dez.) Zusammenfassender Artikel. 166 Zitate, Stand 1957. V. Weidemann.

060

pektrosk. 6, 429–430, 1959, Nr. 4. (Orig. russ.) Vortrag auf der Tagung der Vermigten Internationalen Kommission für Spektroskopie in Moskau 12.—15. Aug. 1958, ile LAMB-Verschiebung wurde als Differenz der mit einer Genauigkeit von \pm 0,15 cm⁻¹ estimmten Werte der Grundterme und der mit Hilfe der DIRACschen Theorie ohne erücksichtigung der elektrodynamischen Quanteneffekte berechneten Ionisierungsbannung zu $-1,1_9$ cm⁻¹ für He⁴ und $-1,2_3$ cm⁻¹ für He³ bestimmt. Zur genauen Ermittelung der Grundtermwerte wurden die im Vakuumultraviolett liegenden Linien 1.5–1.5 P und 1.5–1.5 P mit einer Genauigkeit von 1.50,0005 Å gemessen.

v. Keussler.

-917 John W. Dewdney. Improvement to the Franck-Hertz experiment. Amer. J. Phys. 7, 645-646, 1959, Nr. 9. (Dez.) (Hannover, N. Hampsh., Dartmouth Coll.)

Schön.

-918 B. A. Weklenko. Zur Theorie der Resonanzstrahlung einer Gasentladung. Opt. i pektrosk. 6, 705—707, 1959, Nr. 5. (Orig. russ.) Die mittlere Konzentration der anseregten Atome und die Zeit, die die in dem der Betrachtung unterzogenen Elementarblumen ausgesandten Photonen zur Diffusion bis zur Begrenzung nötig haben, werden v. Keussler.

-919 Peter Hey. Messung der absoluten Übergangswahrscheinlichkeiten einiger Silizium , Silizium II- sowie einiger Chlor I- und Chlor II-Linien. Z. Phys. 157, 79-88, 1959, r. 1. (15. Okt.) (Kiel, Univ., Inst. Experimentalphys.) Zur Bestimmung der Übergangsahrscheinlichkeiten einiger SiI-, SiII-, ClI- und ClII-Linien erwies es sich nach Unterchung verschiedener Möglichkeiten am günstigsten, die Anregung der Spektren in nem wandstabilisierten Scheibenbogen (z. B. J. RICHTER, Ber. 37, 1992, 1958) vormehmen, in den SiCl4-Dampf und HCl-Gas eingeblasen wurde. Die Übergangsahrscheinlichkeiten A_{nm} wurden aus der Beziehung $I_{nm} = h \nu / 4 \pi l A_{nm} \cdot N_m (T)$ bestimmt mm = Linienintensität, l = Länge der leuchtenden Säule, Nm = Anzahl der Teilchen o cm3 im oberen Quantenzustand m). Die Teilchendichten der neutralen und ionierten Komponenten des betreffenden Plasmas ließen sich als Funktion der Temperatur is den Saha-Gleichungen für die Ionisation der Atombestandteile, aus der Quasieutralitätsbedingung, dem Daltonschen Gesetz und dem stöchiometrischen Verhälts berechnen. Mit einem mittleren Fehler von etwa 5% wurden so die Übergangsahrscheinlichkeiten folgender vier Chlor-Linien bestimmt: ClI 4601 Å, 3,33 · 10⁶ sec⁻¹; anischerinkeiten folgender vier Chor-Einhel bestimmt. Cit 47001 Å, $3,2_3 \cdot 10^6 \text{ sec}^{-1}$; CII 4390 Å, $4,1_3 \cdot 10^6 \text{ sec}^{-1}$; CIII 4795 Å, $1,2 \cdot 10^8$. Mit aximalen Fehlern von 20% bis 30% wurden die Übergangswahrscheinlichkeiten ligender Silicium-Linien ermittelt: SiI 5949 Å, $2,1_6 \cdot 10^6 \text{ sec}^{-1}$; SiI 4103 Å, $4,7_1 \cdot 10^5 \text{ c}^{-1}$; SiII 6371 Å, $7,3_3 \cdot 10^7 \text{ sec}^{-1}$; SiII 5979 Å, $5,6_4 \cdot 10^7 \text{ sec}^{-1}$; SiII 5056,3 Å + 5056,0 Å, $9_7 \cdot 10^7 \text{ sec}^{-1}$; SiII 5041 Å, $7,3_0 \cdot 10^7 \text{ sec}^{-1}$; SiII 4131 Å + 4128 Å, $1,1_7 \cdot 10^8 \text{ sec}^{-1}$; II 3863 Å, $2,3_9 \cdot 10^7 \text{ sec}^{-1}$; SiII 3856 Å + 3854 Å, $2,2_5 \cdot 10^7 \text{ sec}^{-1}$; Siliciumlinien bherer Ionisationsstufe ließen sich in dem benutzten Lichtbogen nicht anregen.

Kleinpoppen.

920 L. A. Wainschtein und I. I. Sobelman. Nichtstationäre Theorie der Starkeffekterbreiterung von Spektrallinien im Plasma. Phys. Abh. Sowjetunion N. F. 1, 363–372, 59, Nr. 5. Vff. berechnen in quasiklassischer 2. Näherung der Störungstheorie die irkungsquerschnitte für Verbreiterung und Verschiebung ohne Annahme von Adiasie. Es zeigt sich, daß bei hohen Elektronengeschwindigkeiten die Verbreiterung urch unelastische Stöße bedingt ist. Da Linienbreite und Verschiebung dann umgehrt proportional zur Geschwindigkeit sind, wird der Einfluß der Ionen bedeutsam, r vor allem die Verschiebung der Linien bestimmt. Die Abweichungen von der statioren Theorie bei der Verbreiterung werden wesentlich: bei Elektronen für kT/ Δ E 10 und bei Ionen für kT/ Δ E > 106. Die Verschiebung dagegen ist in weitem Temraturbereich fast unabhängig von unelastischen Prozessen und daher für die Be-

stimmung von Plasmatemperaturen besser geeignet. Die Grenzen der Anwendbarkeider Störungstheorie werden diskutiert. Bei der nichtstationären Theorie vollzieht sie der Übergang zum linearen Stark-Effekt wesentlich anders als in der stationären Theorie V. Weide mann,

- 7-921 L. A. Wainstein und I. I. Sobelmann. Nichtstationäre Theorie der Stark-Verbreiterung von Spektrallinien im Plasma. Opt. i Spektrosk. 6, 440-446, 1959, Nr. 4 (Orig. russ.) Betrachtungen über die Verbreiterung der Spektrallinien von Atomer durch geladene Teilchen in nichtadiabatischer Näherung werden angestellt. Dabe wird ein einfaches quasielastisches Modell zugrunde gelegt. Es zeigte sich, daß bei der den Elektronen des Plasmas eigenen Geschwindigkeiten der WEISSKOPFsche Ver breiterungsmechanismus wenig wirksam, die Verbreiterung im wesentlichen durch unelastische Prozesse verursacht, die Linienverschiebung bei großen Geschwindigkeiten der reziproken Geschwindigkeiten proportional ist. Daraus wird der Schluß ge zogen, daß die Linienverschiebung in einem großen Temperaturintervall beinahe aus schließlich durch die Ionen verursacht ist.
- 7–922 L. A. Vainshtein, V. K. Koloshnikov, M. A. Mazing, S. L. Mandel'shtam and I. I. Sobel'man. Broadening and shift of spectral lines in highly ionized plasma. Bull Acad. Sci. SSSR, Ser. Phys. 22, 714–715, 1958, Nr. 6. Die Verbreiterung und Verschiebung von mehr als 20 AII-Linien in einer Funkenentladung wurde photographisel gemessen. Obwohl die Wechselwirkungskonstanten C₄ für quadratischen STARK-Effekt sich über zwei Zehnerpotenzen erstrecken, änderten sich die gemessenen Linienbreiten nu um Faktoren 2 bis 3. Das Verhältnis Verbreiterung zu Verschiebung liegt zwischen 2 und 10, während die Stoßdämpfungstheorie 1,16 voraussagt. Die Ursache der Abweichungen von der theoretischen Erwartung wird im Übergang vom quadratischen zum linearen STARK-Effekt und in nicht adiabatischen Effekten vermutet, Untersuchungen dazu sind noch im Gange.
- 7-923 F. A. Koroleff, B. A. Kosloff und A. J. Odintzoff. Zur Frage der Linien konturform im Atomstrahl. Opt. i Spektrosk. 6, 576-579, 1959, Nr. 5. (Orig. russ.) Die Abhängigkeit der Intensitätsverteilung in einer von Atomen eines Atomstrahles aus gesandten Spektrallinie in Abhängigkeit von der Breite des Ofenspaltes wird theoretisch untersucht. Die von Minkowski und Bruck für eine kleine Spaltbreite ange gebenen Formeln werden für eine endliche Spaltbreite verallgemeinert.

v. Keussler.

- 7-924 V. I. Kogan. Contribution to the theory of line broadening in plasma. Bull. Acad Sci. SSSR, Ser. Phys. 22, 710-713, 1958, Nr. 6. (Moscow, Engng.-Phys. Inst.) Vi zieht einige Folgerungen aus seinen theoretischen Untersuchungen (Ber. Nr. 2-952) Im Falle des linearen Stark-Ellektes enthält der Ausdruck für die Intensität in der ver allgemeinerten statistischen Näherung zusätzlich zur HOLTSMARK-Funktion eines Korrektionsterm, der der Bewegung der Störteilchen Rechnung trägt. Je nach de Größe des dimensionslosen Parameters $h=N(\alpha,\nu_0)^3$ (\$\alpha\$: Konstante des lineares Stark-Effektes, $\Delta\omega=\alpha/r^2$) gilt die Holtsmark-Theorie vorwiegend ($h_i\gg 1$) oder nu in den äußeren Flügeln ($h_i \ll 1$). Falls h_i klein ist, wird man auf das Quasiteilchen Problem zurückgeführt. Was den Beitrag der Elektronen anbelangt, so ist für h_i≫ h > 1 oder h_e ≪ h_i ≪ 1 in der Intensitätsformel N durch 2N zu ersetzen. Für de quadratischen Stark-Effekt zeigt es sich, daß sogar für Nβ/ν0 & 1 (β: Konstante de quadratischen Stark-Effektes, $\Delta \omega = \beta r^{-4}$) die Zweiteilchennäherung und die Stoff dämpfungstheorie in der Nähe des Maximums der Intensitätsverteilung nicht gülti sind. Numerisch ergibt sich, daß für h_i > 0,004 der Einfluß der Ionen hauptsächlic statistisch ist, während für $h_i < 0.004$ Quasi-Stöße vorherrschen. $h_i = 0.004$ en spricht einer Temperatur $T=10^{-11}\,\bar{\alpha}^2\,\mathrm{N}^{2/3}$. Die Halbwertsbreiten wachsen von 15, über 17,7 bis 23 ā N²/3 s⁻¹ von der HOLTSMARK-, über die Quasi-Stoßdämpfungstheori bis zur Mitberücksichtigung von Elektronen. V. Weidemann.
- 7-925 J. O. Hirschfelder and P. O. Löwdin. Long-range interaction of two 1 s-hydroge atoms expressed in terms of natural spin-orbitals. Mol. Phys. 2, 229-258, 1959, Nr. (Juli.) (Madison, Wis., Univ., Chem. Dep., Theor. Chem. Lab.; Uppsala, Univ., Quantum

hem. Group.) Vff. berechnen die Wechselwirkungsenergie E zweier Wasserstofftome im Grundzustand mit Hilfe einer besonderen Störungsrechnung. Es ist = $[-1-6,499026/(r/a)^8-144,8497/(r/a)^8-\cdots]$ e²/a (a Bohrscher Radius). ußerdem werden binäre Stöße betrachtet.

- -926 L. I. Podlubny. Nichtadditivität der London-van der Waals-Kräfte. Sh. exp. or. Fis. 37, 888-889, 1959, Nr. 3. (Orig. russ.) Die Dispersionskräfte zwischen neutralen eilchen sind entgegen häufigen Behauptungen nichtadditiv; Additivität gilt nur in er ersten von Null verschiedenen Näherung der Störungsrechnung. Vf. betrachtet die olgenden Glieder (dritter Ordnung in der Kopplungskonstante) der Störungsreihe und itet einen Ausdruck für die Energie der Dispersionswechselwirkung zwischen drei Vasserstoffatomen ab, der von den Atomabständen R₁, R₂ und R₃ als Parametern abängt und Retardierungseffekte berücksichtigt. Dies geschieht analog zu DSJALO-CHINSKI (Ber. 37, 674, 1958) für zwei Atome mit der FEYNMAN-DYSON-Methode, woei die Variablen des elektromagnetischen Zwischenseldes eliminiert werden und beicksichtigt wird, daß z.B. für eine N-Teilchen-Wechselwirkung 2^{N-1} (N — 1)! verchiedene Prozesse der Ordnung e^{2N} existieren. Prozesse, die eigentlich schon zu Beiägen zweiter Ordnung führen würden, lassen sich für den Grundzustand ausschließen. s bleibt so nur ein Diagramm übrig, das eine von allen Koordinaten abhängige Wechselirkungsenergie liefert. In nichtrelativistischer Näherung erhält man für diese Energie $(R_1,\stackrel{\circ}{R}_2,R_3)=-132\hbar c\; \alpha_1(0)\; \alpha_2(0)\; \alpha_3(0)/\pi\; R_1\; R_2\; R_3\; (R_1+R_2+R_3)^7.\; {\rm Dabei\; sind\;} \; \alpha_i \; {\rm die} \; (R_1,\stackrel{\circ}{R}_2,R_3)^7.\; {\rm Dabei\; sind\;} \; \alpha_i \; {\rm die} \; (R_1,\stackrel{\circ}{R}_2,R_3)^7.\; {\rm Dabei\; sind\;} \; \alpha_i \; {\rm die} \; (R_1,\stackrel{\circ}{R}_2,R_3)^7.\; {\rm Dabei\; sind\;} \; \alpha_i \; {\rm die} \; (R_1,\stackrel{\circ}{R}_2,R_3)^7.\; {\rm Dabei\; sind\;} \; \alpha_i \; {\rm die} \; (R_1,\stackrel{\circ}{R}_2,R_3)^7.\; {\rm Dabei\; sind\;} \; \alpha_i \; {\rm die} \; (R_1,\stackrel{\circ}{R}_3,R_3)^7.\; {\rm Dabei\; sind\;} \; \alpha_i \; {\rm die} \; (R_1,\stackrel{\circ}{R}_3,R_3)^7.\; {\rm Dabei\; sind\;} \; \alpha_i \; {\rm die} \; (R_1,\stackrel{\circ}{R}_3,R_3)^7.\; {\rm Dabei\; sind\;} \; \alpha_i \; {\rm die} \; (R_1,\stackrel{\circ}{R}_3,R_3)^7.\; {\rm Dabei\; sind\;} \; \alpha_i \; {\rm die} \; (R_1,\stackrel{\circ}{R}_3,R_3)^7.\; {\rm Dabei\; sind\;} \; \alpha_i \; {\rm die} \; (R_1,\stackrel{\circ}{R}_3,R_3)^7.\; {\rm Dabei\; sind\;} \; \alpha_i \; {\rm die} \; (R_1,\stackrel{\circ}{R}_3,R_3)^7.\; {\rm Dabei\; sind\;} \; \alpha_i \; {\rm die} \; (R_1,\stackrel{\circ}{R}_3,R_3)^7.\; {\rm Dabei\; sind\;} \; \alpha_i \; {\rm die} \; (R_1,\stackrel{\circ}{R}_3,R_3)^7.\; {\rm Dabei\; sind\;} \; \alpha_i \; {\rm die} \; (R_1,\stackrel{\circ}{R}_3,R_3)^7.\; {\rm Dabei\; sind\;} \; \alpha_i \; {\rm die} \; (R_1,\stackrel{\circ}{R}_3,R_3)^7.\; {\rm die} \; (R_1,\stackrel{\circ}{R}_3,R$ olarisierbarkeiten der Atome für $\omega = 0$; diese Formel gilt unter der Voraussetzung, aß die Atomabstände groß gegen die charakteristische Wellenlänge λ_0 im Atomoektrum sind, so daß Austauschkräfte keine Rolle spielen. Effekte von höherem ultipolcharakter werden vernachlässigt. Vogel.
- -927 **0. Platas, R. P. Hurst** and **F. A. Matsen.** Electronic structure of LiH ion. J. nem. Phys. **31**, 501-503, 1959, Nr. 2. (Aug.) (Austin, Tex., Univ., Dep. Chem. Phys.) nter Berücksichtigung aller 20 möglichen Strukturen mit 1s, 2s und 2p Slaterahnen bei Li und 1s (= 1h)-Bahnen bei H werden durch eine Valenzbindungsmethode (LiH)⁺ die gesamte Elektronenenergie beim Gleichgewichtsabstand des LiHoleküls zu 209,50 eV und die vertikale Ionisation daraus zu 7,52 eV berechnet. Nur e 1s² 1h Struktur trägt merklich zum Grundzustand bei. Es wird eine Methode entickelt, um die optimalen Bahnexponenten zu erhalten. Die Kurve Energie gegen Aband hat kein Minimum, (LiH)⁺ ist daher gegenüber Dissoziation instabil. Ein bergang von einem Exponenten zu einem anderen wird mit der Promotion 1s \times 2s Verbindung gebracht.
- 1928 K. S. Viswanathan. The relativistic theory of chemical bindung. Proc. Indian cad. Sci. (A) 50, 1—18, 1959, Nr. 1. (Juli.) (Bangalore, Raman Res. Inst.) Die relativistische Wellenfunktion zweier wechselwirkender Elektrouen in einem äußeren Felduch Breit (Ber. 10, 2191, 1929) wird auf die H₂-Molekel angewandt, so daß der lektronenspin nicht als besondere Annahme eingeführt werden muß. Nach der Distission der Eigenschaften der Bahn-, Spin- und Gesamtdrehimpulse wird auf den Fallur Russel-Saunders-Kopplung vereinfacht. Hierbei erhält Vf. Singulett- und Triett-Zustand für H₂, die Heitler-Londonsche Beziehung als ersten Term einer einendarstellung der Eigenfunktion des Systems im Grundzustand sowie Aussagen ber die Grundzustände von C-C und O₂. Abschließend folgt eine kürzere Behandlung respin-Bahn-Kopplung. 5 Seiten Anhang mit mathematischen Einzelheiten.

Meerlender.

929 Paul C. McKinney and Gordon M. Barrow. Chemical bond. III. A one-dimensional cory of the energetics and ionic character of the hydrogen bond. J. chem. Phys. 31, 4—299, 1959, Nr. 2. (Aug.) (Evanston, III., Univ., Dep. Chem.) Die A-H-Bindung, o. A. E. C. N., O oder F wird quantenmechanisch behandelt. Dabei werden eindimennale Atombahnen zugrunde gelegt. Die Kurve der potentiellen Energie, die Zudnung der Elektronennegativität zur Potentialmulde und der Ionencharakter der ndung werden erörtert. Dieselben atomaren Wellenfunktionen werden nun zur Unterchung der Wasserstoffbrücke O-H... () herangezogen. Ferner werden die Wellen-

funktionen des einsamen Elektronenpaares des anderen O-Atoms benötigt. Die Berecklungen werden für einen O-O-Abstand von 2,8 Å ausgeführt. Die Kurve der potentieller Energie zeigt ein zweites Minimum. Der Ionencharakter wird diskutiert und die Beiträggder Resonauzstrukturen des Systems erhalten. dµ/dr für Systeme mit Wasserstoffbrücken wird berechnet. Die Schwierigkeit, die Wasserstoffbrücke als elektrostatisch oder covalent zu bezeichnen, wird erörtert. Die Ergebnisse stimmen mit den experimentellen, soweit solche vorhanden, gut überein.

7-930 Charles L. Bell and Gordon M. Barrow. Hydrogen bond: an experimental verification of the double minimum potential. J. chem. Phys. 31, 300-307, 1959, Nr. 2 (Aug.) (Evanston, Ill., Univ., Dep. Chem.) Die OH- und OD-Absorptionsbanden von Alkoholen im nahen Ultrarot im Bereich des ersten und zweiten OH-Obertons de Streckung wurden in Lösungsmitteln mit verschiedener Fähigkeit zur Bildung von Wasserstoffbrücken, darunter CCl₄, Aceton, Pyridin, Dimethylformamid, Diäthyläther, Toluol, Mesitylen, untersucht. Die Spektren zeigten ein Paar vom Lösungs mittel abhängige Banden. Dies wird auf die Verdopplung des v = 2 Energieniveau infolge der zwei relativ nahe beieinanderliegenden Minima der Potentialkurve zurück geführt. Die Bindungsstärke des Lösungsmittels bestimmt die Differenz in der Höhund den Abstand zwischen den beiden Minima. In Systemen mit schwacher Bindungs kraft liegt das zweite Minimum etwa 19 kcal über dem ersten, in Triäthylamin beträg die Differenz 14 kcal.

M. Wiedemann.

7-931 Carl E. Wulfman. Semiquantitative united-atom treatment and the shape of triatomic molecules. J. chem. Phys. 31, 381-386, 1959, Nr. 2. (Aug.) (Pittsburgh Penn., Carnegi Inst. Technol.) Für die potentielle Energie eines Elektrons in einen molekularen Feld wird ausgehend vom Modell des vereinigten Atoms eine MacLauris. Reihe entwickelt. Dabei wird das Zentrum der Kernladung als Ursprung gewählt. Die vier ersten von Null verschiedenen Glieder dieser Reihe sind dann quadratisch in der Kernabständen. Diese Glieder bestimmen die Bahneigenschaften. Auf ihrer Grundlag werden Diagramme für dreiatomare Moleküle gegeben. Die Ableitungen der quadratischen Terme nach den Winkeln bestimmen die Stabilität und Linearität der dreiatomaren Moleküle. Einige Beispiele sind angeführt. Die Linearität in Abhängigkeit von der Zahl der Elektronen im System wird diskutiert. Ferner wird die Anwendung dieser Ergebnisse auf die Theorien der Molekülform behandelt.

M. Wiedemann.

7–932 L. S. Bartell and R. C. Hirst. Electron diffraction study of the structure of phosphine J. chem. Phys. 31, 449–451, 1959, Nr. 2. (Aug.) (Ames, I., State Coll., Inst. Aromic Res. Dep. Chem.) Nach der sektor-mikrophotometrischen Methode der Elektronen beugung wurde die Struktur des gasförmigen Phosphins PH3 untersucht. Der Abstand P-H betrug (1,437 \pm 0,004) Å, die Schwingungsamplitude (0,085 \pm 0,008) Å. Der H-H Abstand konnte nicht genau genug erfaßt werden, um den Bindungswinkel zu berech nen. Aus der Asymmetrie der Streckschwingung wird die Gleichgewichtsbindungsläng P-H zu 1,419 Å abgeschätzt. Die Ergebnisse werden mit den spektroskopischen Dater verglichen und dabei der Einfluß der Nullpunktschwingungen diskutiert.

M. Wiedemann.

7–933 Lesser Blum and Norah V. Cohan. Orbital following in tetrahedral molecules Canad. J. Phys. 37, 1002–1007, 1959, Nr. 9. (Sept.) (Buenos Aires, Fac. Ci., Exact Natur.) Auf der Grundlage der Formeln von Heath und Linnett (Trans. Faraday Sot 44, 556, 1948; 46, 147, 1950) werden die "orbital-following"-Kraftkonstanten für NH, und NH; ähnliche Molekeln berechnet. Daß keine sinnvollen Ergebnisse zu erhalte sind, wird als Folge der orbital-Deformation während der Schwingungsbewegung ar gesehen. (Zfg.)

7-934 J. C. Slater. Note on the interatomic spacings in the ions I 3, FHF. Acta cryst. 12 197-200, 1959, Nr. 3. (10. März.) (Cambridge, Mass., Inst. Technol.)

7-935 I. C. Hisatsune and J. P. Devlin. Existence of N_2O_4 isomers. J. chem. Phys. 31 1130-1131, 1959, Nr. 4. (Okt.) (Manhattan, Kans., Univ., Dep. Chem.) Schön.

-936 Kenichi Fukui, Chikayoshi Nagata, Teijiro Yonezawa, Hiroshi Kato and Keiji Iorokuma. Novel perturbation theory in simple LCAO treatment of conjugated molecules. Iethod of perturbed secular determinant. J. chem. Phys. 31, 287—293, 1959, Nr. 2. Aug.) (Kyoto, Jap., Univ., Fac. Engng.) Eine neue Methode der Störungstheorie, die er gestörten Säkulardeterminante, wird entwickelt für die einfache lineare Kombiation atomarer Elektronenbahnen zu Molekülbahnen (LCAO MO) konjugierter Molecule. Die Gleichungen sind angeführt. Die Bahnenergie, die Elektronendichte und der indungsgrad des gestörten Systems können berechnet werden. Die Ergebnisse beüglich der π-Elektronendichte substituierter Benzole werden mit denen nach anderen Verfahren verglichen.

960

-937 Arthur V. Tobolsky. Expected square of the length of a hydrocarbon-type chain. J. hem. Phys. 31, 387–389, 1959, Nr. 2. (Aug.) (Princeton, N. J., Univ., Frick Chem. ab.) Drei aufeinanderfolgende Bindungen in einer Kohlenwasserstoffkette können in iner planaren trans-Konfiguration oder in zwei nicht-planaren schiefen Konfigurationen orliegen. Die Energie der trans-Konfiguration wird Null gesetzt und die der beiden chiefen Konfigurationen e (je Mol). Für eine Kette mit n Glieder von der Länge l_0 gibt sich für den mittleren Abstand von Ende zu Ende $\tilde{r}^2 = [(2+6\alpha)/(3-3\alpha)] nl_2^0$ at $\alpha = 1/[1+2\exp(-e/RT)]$. Für den Fall, daß die schiefen Konfigurationen ahezu ausgeschlossen sind, wie für denjenigen, daß die trans-Konfigurationen nahezu egfallen, vereinfachen sich die Formeln. Das ausgeschlossene Volumen wird nicht erücksichtigt.

-938 L. S. Bartell and R. A. Bonham. Molecular structure of ethylene. J. chem. hys. 31, 400-404, 1959, Nr. 2. (Aug.) (Ames, I., State Coll., Dep. Chem.) Von gastrmigem Äthylen wurden Elektronenbeugungsaufnahmen gemacht und nach der ektor-mikrophotometrischen Methode ausgewertet. Dabei ergaben sich folgende Abände C-H = $(1,084\pm0,003)$ Å, $C=C=(1,332\pm0,002)$ Å und $C=H=(2,120\pm0,006)$ Å, linkel H-C-H = $(115,5\pm0,6)^\circ$. Die Schwingungsamplituden (Wurzel aus den mittren Quadraten) betrugen $l_{C-H}=(0,076_8\pm0,003)$ Å, $l_{C-C}=(0,043_9\pm0,002)$ Å und $l_{H}=(0,102\pm0,006)$ Å, was gut mit den spektroskopischen Daten übereinstimmt. Die eugungsresultate werden mit denen aus den Infrarot- und Raman-Spektren verglichen. M. Wiedemann.

1. Pasaki, Katsumi Kimura and Masaji Kubo. Electron diffraction of triphenylamine. J. chem. Phys. 31, 477–481, 1959, Nr. 2. (Aug.) (Nabya, Jap., Univ., Chem. Dep.) Die Elektronenbeugung von gasförmigem Triphenylamin urde sektormikrophotometrisch untersucht. Es wurde eine auf 150°C gehaltene Düse erwendet. Die radiale Verteilungskurve wurde aufgenommen. Die Intensitäten können urch ein nicht-ebenes Modell der Symmetrie C_3 gedeutet werden. Die Abstände urden zu r(C - C) = 1,392 \pm 0,006, r(C - N) = 1,42 \pm 0,04 Å, \langle CNC = 116 \pm 2° and φ = 47 \pm 5° berechnet. φ ist der Winkel, um den die Phenylgruppen um ihre jeweilige auptachse aus der Lage gedreht sind, in der die dreifache Symmetrieachse in der Ebene der Phenylgruppe liegt. Eine planare Struktur ist nach den Beugungsergebnissen unöglich.

1940 J. S. Brinen and Lionel Goodman. Sequence and spacing of $n \to \pi$ transitions in triazine. J. chem. Phys. 31, 482–487, 1959, Nr. 2. (Aug.) (University Park, Penn., niv., Dep. Chem.) Nach der Methode der Molekülbahnen werden die Energien der edersten Singulett und Triplett (n, π^*) Zustände im s-Triazin ermittelt. Dabei wird e Konfigurationswechselwirkung nullter Ordnung inbegriffen und die folgenden drei äherungen gebraucht: 1. Einschluß und theoretische Ermittlung von ein- und zweintrischen Integralen, 2. Einschluß und halbempirische Ermittlung dreizentrischer tegrale, 3. verschiedene Überlappungsapproximation. Stets ergibt sich, daß die vier edersten Singulett-Singulett-Anregungen innerhalb 1 eV liegen, einen erlaubten und ei verbotene Übergänge umfassen, wobei das unterste Niveau verboten it. Die ederste $n \to \pi^*$ Singulett-Triplett-Anregung ist bahnverboten, die Aufspaltung vom rrespondierenden Singulett beträgt rund 0,8 eV. Einige Zuordnungen werden geoffen. Die Abhängigkeit der Energieniveaus von der Hybridisation der n-Bahn wird skutiert.

- 7-941 Haruo Shingu and Takehiko Fujimoto. Empirical correlation between molecular structure and zero-point energies in hydrocarbons. J. chem. Phys. 31, 556-557, 1959. Nr. 2. (Aug.) (Kyoto, Jap., Univ., Fac. Engng., Dep. Fuel Chem.) Für die Berechnum der Nullpunktsenergien von Paraffinen, Olefinen, aromatischen Kohlenwasserstoffen und Cycloparaffinen werden Additivitätsregeln entwickelt. Jeder C-H-Bindung werder 7,28 kcal/Mol, jeder C-C-Bindung 3,14 kcal/Mol und jedem C-Atom am Kettenend -0,80 kcal/Mol zugeordnet, für die C=C-Doppelbindung werden 2,88 kcal/Mol in Arrechnung gebracht. Die Additivitätsregel für Olefine kann auch auf die Benzolreih angewandt werden.
- 7–942 Jiro Higuchi. Note on the simple UAO-MO calculation of the CH_5^+ ion. J. chen Phys. 31, 563–564, 1959, Nr. 2. (Aug.) (Tokyo, Jap., Inst. Technol., Lab. Phys. Chem. Die Molekülbahnen des CH_5^+ wurden durch die analytischen selbstkonsistentes Feld vereinigte Atombahnen-Molekülbahnen (SCF-UAO-MO) des CH_4 angenähert, dabe wird für das Ion CH_5^+ hohe Symmetrie angenommen. Die CH-Abstände ergeben sie etwa 0,05 Å länger als in CH_4 , die Protonenaffinität wird zu 7,5 eV, also bedeuten höher als der experimentelle Wert, erhalten. Am meisten dürften die Strukturer $H-(CH_3)-H^+$ und $H^+-(CH_3)-H$ beitragen.
- 7-943 J. A. Pople. Molecular orbital theory of aromatic ring currents. Mol. Phys. 1 175—180, 1958, Nr. 2. (Apr.) (Cambridge, Univ., Dep. Theor. Chem.) Die LONDONSch Theorie der diamagnetischen Suszeptibilität konjugierter Kohlenwasserstoffe wird er weitert, so daß man ausführliche Aussagen über die Verteilung der durch ein allgemeine magnetisches Feld induzierten interatomaren Ströme erhält. Zur Erläuterung de Methode werden die Ströme berechnet, die in einem gleichförmigen Felde um die beide geschlossenen Ringe des Azulens fließen. Die Ergebnisse legen den Schluß nahe, daß de größere Strom im Fünfring fließt. (Zfg.)
- 7-944 A. D. McLachlan. The pairing of electronic states in alternant hydrocarbons. Mo Phys. 2, 271—284, 1959, Nr. 3. (Juli.) (Cambridge, Engl. Univ. Chem. Lab., Der Theor. Chem.) Der Zustand der Elektronenverteilung in alternierenden Kohlenwasser stoffmolekülen wird unter Berücksichtigung der Elektronenkorrelationen diskutiert Es besteht auch in diesem Falle eine neue Form der paarweisen Zuordnung HÜCKELsche molekularer Bahnfunktionen. Kelbg.
- 7-945 L. H. Jones. Order of atoms in linear metal dicyanides. Spectrochim. Acta 1958 S. 456-457, Nr. 2. (Apr.) (Los Alamos, N. Mex., Univ., Sci. Lab.) Pruckner.
- 7-946 R. Linn Belford and M. Karplus. Ligand influence upon radial wave functions. J. chem. Phys. 31, 394-399, 1959, Nr. 2. (Aug.) (Urbana, Ill., Univ., Noyes Chen Lab.) Der Einfluß des Feldes des Liganden auf die radiale Verteilungsfunktion der 36 Bahnen des Komplexions eines Übergangsmetalls wird behandelt. Dabei wird ein Einelektron-Approximation für das Metall benützt und die Liganden als punktförnig Ladungen angesehen. Die Elektronenbindungsenergien und auch die Übergangsfrequenzen werden nur wenig geändert, meist liegen die Variationen innerhalb de Fehlergrenzen der üblichen Theorien. Die Bahnen werden um so stärker beeinflußt, ausgedehnter sie sind. Für einige Eigenschaften, z. B. solche, die von r⁴ abhänger können jedoch die geänderten radialen Verteilungen wichtig sein, auch treten signif kante Änderungen in gewissen radialen Integralen auf.

 M. Wiedemann.
- 7-947 Christian Klixbüll Jørgensen. Les électrons det f dans les complexes des groupes et transition. J. Chim. phys. 56, 889-896, 1959, Nr. 41/12. (Nov./Dez.) (Copenhager Danem., Ecole Polytechn., Lab. Chim. A.) Behandlung der Bindungsprobleme von et und f-Elektronen in den Komplexverbindungen der Übergangsgruppen.
- Kleinpoppen. 7–948 Sr. Mary Martinette, B. V. M. S. Mizushima and J. V. Quagliano. Infrare absorption spectra of inorganic co-ordination complexes. XIX. N-methylacetamide cadmium 11 chloride. Spectrochim. Acta 1959, S. 77–81, Nr. 2. (Apr.) (Notre Dame, Univ., De Chem.) Aufnahme des Infrarotspektrums des Komplexes Cd(CH₃CONHCH₃)Cl₂ und Badenzuordnung. Das Spektrum zeigt, daß die Koordination des N-Methylacetamid-Ligat den an das Cd II Ion durch den substituierten Amid-Stickstoff erfolgt. Pruckner.

-949 J. D. Craggs and B. A. Tozer. The attachment of slow electrons in carbon dioxide. roc. roy. Soc. (A) 254, 229–241, 1960, Nr. 1277. (Liverpool, Univ., Dep. Elect. Engng.) in Elektronenstrahl variabler Geschwindigkeit wird durch CO_2 geschickt und die Zahl nd Energie der gebildeten Ionen beiderlei Vorzeichens mittels geeigneter Auffänger emessen. Erstmals wird dabei ein Resonanzeinfang von Elektronen durch CO_2 festestellt (Resonanzspannung 7,8 Volt, Wirkungsquerschnitt dabei 5,1 ± 0,5 · 10⁻¹⁹ cm²). Diskussion ergibt als hierbei ablaufende Reaktion: $CO_2 + e^- = CO + O^-$. — Ferner erden die Wirkungsquerschnitte der Ionisation von 10 bis 90 Volt wowie die Erscheinungspotentiale für O--Ionen in CO_2 , O_2 und CO angegeben, aus welchen sich im Vern mit den Dissoziationswärmen der betr. Gase die Elektronenaffinität des O zu 1,5 z 0,2 eV berechnen läßt. — Vergleich mit Ergebnissen anderer Autoren.

960

A. Deubner.

- -950 Maurice Cottin. Etude des ions produits par impact électronique dans la vapeur eau. J. Chim. phys. 56, 1024–1035, 1959, Nr. 11/12. (Nov./Dez.) (Paris, Lab. Curie.) ie verschiedenen Ionen, die beim Beschuß von Wasserdampf mit Elektronen entstehen, urden massenspektrometrisch bestimmt. Die Kurven für die Intensität in Abhängigeit von der Elektronenenergie (bis zu 40 eV) wurden aufgenommen und die Erscheitungspotentiale bestimmt. Beobachtet wurden die Ionen: H', OH', O', H_2O^+ , H_3O^+ , H_3O^+ , OH^+ , OH^- ,
- -951 S. J. Cyvin. An approximate method for calculating mean amplitudes of vibration om spectroscopic data. I. Spectrochim. Acta 1959, S. 56—59, Nr. 1. (März.) (Trondheim, orw., T. H., Inst. Teor. Kjem.) Eine Verbesserung der Morinoschen Formel wird egeben. Die Methode ist anwendbar bis zu Schwingungsfrequenzen von 3000 cm⁻¹, der ehler der mittleren Amplitude beträgt nicht mehr als 0,5%.
- 1952 Harold Salwen and John Trischka. Dipole moment function of $CO(^1\Sigma^+)$. J. chem. hys. 31, 541—543, 1959, Nr. 2. (Aug.) (Cambridge, Mass., Univ., Div. Engng., Appl. hys.; Syracuse, N. Y., Univ., Phys. Dep.) Die Dipolmomentfunktionen von $CO(^1\Sigma^+)$ erden mittels Wellenfunktionen für ein Morse-Potential ermittelt. Sie beruhen auf der enntnis der aus Infrarotmessungen erhältlichen Schwingungsmatrixelemente. Die unktionen lassen sich durch $M(q) = p_0 + p_1 q + p_2 q^2 + p_3 q^3 \dots$ wiedergeben, q ist ne Funktion des Kernabstandes. Die Koeffizienten q sind bis q abelliert. Für q die größeren Werte von q geben die Polynom- und die Wellenfunktion-Approxiation Übereinstimmung, sie differieren für den kleineren Wert von q.

M. Wiedemann.

2953 C. T. Fike. Energy levels of an asymmetric rotor. J. chem. Phys. 31, 568-569, 159, Nr. 2. (Aug.) (Oak Ridge, Tenn., Nat. Lab.) Für die folgenden Parameter wurde ne Tabelle der Energieniveaus eines asymmetrischen Rotors hergestellt: J=8 (1) 12, =0.885 (0.01) 0.975, J=13 (1) 14, K=0.880 (0.005) 0.980; J=15 (1) 25, K=0.880 (0.01) 0.980. Die Vorteile der Methode nach Wallace-Givens für die Berechnung dieser abellen auf einer elektronischen Rechenmaschine werden dargelegt.

M. Wiedemann.

1954 Savo Bratoz et Georges Bessis. Etude de la constante de force des molécules H_2 et H_1 par la mécanique ondulatoire. J. Chim. phys. 56, 1042—1047, 1959, Nr. 11/12. [ov./Dez.] (Paris, Centre Mécan. Ondul. appl.) Die Kraftkonstanten und die Gleichwichtsabstände der Moleküle H_2 und LiH werden nach der Methode des selbstkonsishten Felds wie nach der beschränkten Konfigurationswechselwirkung berechnet; ach dem ersten Verfahren wird bessere Übereinstimmung mit den experimentellen

Daten erhalten. Ferner wird gezeigt, daß die Kraftkonstante im wesentlichen durc $\mathrm{d}^2\mathrm{E}_\mathrm{c}/\mathrm{d}\mathrm{R}^2$ gegeben ist, wobei E_c die innere Energie, E_v dagegen die Valenzenergie da stellt. M. Wiedemann.

- 7-955 I.W. Orlowa und J.N. Godneff. Über den Zusammenhang zwischen der Larnav die schen Methode und der Methode der multen Näherungen von Eliaschewitsch und Stepe noff. Opt. i Spektrosk. 6, 447-449, 1959, Nr. 4. (Orig. russ.) Es wird gezeigt, daß di Larnauddiesche Methode eine der möglichen Varianten der Eliaschewitsch-Stepanoffschen Methode darstellt.

 v. Keussler.
- 7–956 J. N. Godneff und I. W. Orlowa. Über den Zusammenhang der Matrix der kine matischen Koeffizienten mit den reziproken Matrizen der kinetischen Energie beim intro molekularen Schwingungsproblem. Opt. i Spektrosk. 6, 583–588, 1959, Nr. 5. (Origunss.) Die Anwendung der Lagrangeschen Gleichungen mit nichteliminierten hold nomen Bindungen zur Lösung des Problems der Schwingungen im Molekül in abhäng gen Koordinaten wird einer Betrachtung unterzogen. Die die Matrix A der kinematische Koeffizienten zu den Matrizen T^{-1} und T_0^{-1} in Beziehung setzenden Formeln werden al geleitet, wobei T und T_0 die Matrizen der kinetischen Energie sind, von denen die erst einem abhängigen, die zweite einem unabhängigen Koordinatensystem entspricht. v. Keussler.
- 7–957 Hans Siebert. Ultrarotspektren von Tellursäuren, Telluraten und Antimonater Z. anorg. Chem. 301, 161–170, 1959, Nr. 3/4. (Sept.) (Clausthal-Zellerfeld, Bergakado mie, Chem. Inst.) Die UR-Spektren der Verbindungen H_6 TeO $_6$, $(H_2$ TeO $_4)_x$, Na $_2$ H $_4$ TeO $_6$, $(K_2$ H $_4$ TeO $_6$, (3H $_2$ O, Na[Sb(OH) $_6$], KSbO $_3$ ·2,2 H $_2$ O, Na $_2$ HSb $_3$ O $_3$ ·4 H $_2$ O, K $_2$ HSb $_3$ O·5 H $_2$ O, NaSbO $_3$ und KSbO $_3$ werden für den Bereich 400–4000 cm $^{-1}$ angegeben. Di gefundenen Banden lassen sich bestimmten Atomgruppierungen zuordnen. Die TeO und SbO-Valenzschwingungen liegen im Bereich 450–900 cm $^{-1}$. Die Deformations schwingungen der Gruppen TeOH und SbOH treten im Bereich 1000–1250 cm $^{-1}$ auf die des Kristallwassers um 1600 cm $^{-1}$. Ferner werden noch OH-Valenzschwingunge um 3300 cm $^{-1}$ sowie Obertöne der TeOH- und SbOH-Deformationsschwingungen beobachtet. Aus dem Auftreten und der Intensität der TeOH- und SbOH-Deformationsbande wird auf die Konstitution der Verbindungen geschlossen. Demnach sind die Te- und St Atome stets sechsfach mit Sauerstoff koordiniert; nur im K $_2$ TeO $_4$ ·5 H $_2$ O ist möglicher weise Fünfer-Koordination vorhanden. H $_6$ TeO $_6$, Na $_2$ H $_4$ TeO $_6$ und Na $_8$ Sb(OH) $_6$] enthalte kein Wasser, sondern nur Hydroxylgruppen X–OH. In allen übrigen H-haltigen Verbindungen ist daneben Wasser enthalten.
- 7–958 G. L. Caldow, H. W. Thompson and D. Cunliffe-Jones. Intermolecular forces an solvent effects. I. Frequency shifts. Proc. roy. Soc. (A) 254, 1–16, 1960, Nr. 1276. (5. Jan (Oxford, Phys. Chem. Lab.) Frequenzen und Intensitäten der Schwingungsabsorption banden von HCN und DCN in etwa 80 verschiedenen Lösungsmitteln werden gemessel Die Ergebnisse beweisen, daß die Frequenzverschiebungen Δv der Banden gegenübe dem Dampfzustand keinesfalls allein durch die makroskopische DK des Lösungsmitte bestimmt sind, wie es etwa Kirkwood u. a. vermuteten. Zum Beispiel ist das Δv der C-F Schwingung in Benzol (DK = 2,2) ebensogroß wie in Nitromethan (DK = 39,2). Ve schiedene andere Möglichkeiten der Wechselwirkung zwischen gelöstem Molekül un Lösungsmittel werden diskutiert.
- 7-959 L. J. Bellamy and R. L. Williams. Solvent effects on the infra-red spectra of hir dered phenols. Proc. roy. Soc. (A) 254, 119-128, 1960, Nr. 1276. (5. Jan.) (Walthat Abbey, Essex, E. R. D. E., Min. Supply.) Mit gleicher Technik, wie im vorst. Ref. be schrieben, wird die Beeinflussung der O-H-Schwingung "behinderter", d. h. an den de OH-Gruppe benachbarten C-Atomen substituierter Phenole studiert. Nach dem E gebnissen muß in den Fällen sperriger Substituenten (z. B. 2,6 di-tert.-Butyl-p-Kreso eine sterische Behinderung der Assoziation der OH-Gruppe mit den Lösungsmoleküle vorliegen, da die freie OH-Schwingung merklich ungestört auftritt.

 A. Deubner.
- 7-960 C. G. Barraclough, J. Lewis and R. S. Nyholm. The stretching frequencies metal-oxygen double bonds. J. chem. Soc. 1959, S. 3552-3555, Nov.) (London, Uni

oll., William Ramsay and Ralph Forster Labs.) Vff. untersuchen die Infrarot-Spektren ner Zahl von Verbindungen mit einer Metall-Sauerstoff-Doppelbindung. Die Gegenart dieser Doppelbindung läßt sich mit einer Frequenz der Streckschwingungen im sbiet von 900—1400 cm $^{-1}$ in Verbindung bringen. Die Bedeutung dieser Bande in ranorganischen Chemie, besonders für Metalloxydsysteme, in denen mehr als nur ein ndungstyp vorliegt, wird besprochen. Man unterscheidet drei Gruppen von Verndungen: A mit nur einer Metall-Sauerstoff-Bindung pro Metallatom mit starkem oppelbindungscharakter, B mit zwei Metall-Sauerstoff-Doppelbindungen pro Metallom und C mit mehr als zwei Metall-Sauerstoff-Bindungen einschließlich komplexer cyde in denen ein merklicher Abfall des Doppelbindungscharakters vorliegt. Zur unppe A gehören z. B. Titanyl-di-acetylaceton, in der die Gruppe Ti = 0 vorliegt. Gruppe B finden wir $\mathrm{CrO}_2\mathrm{F}_2$ und $\mathrm{CrO}_2\mathrm{Cl}_2$ mit zwei starken Banden im 1000 cm $^{-1}$ sbiet. Die Gruppe C enthält Verbindungen wie $\mathrm{V}_2\mathrm{O}_5$, CrO_3 , MoO_3 , KMnO_4 , KReO_4 a. Beim $\mathrm{V}_2\mathrm{O}_5$ existiert eine scharfe Bande bei 1020 cm $^{-1}$, die den isolierten V = 0 ndungen zugeschrieben wird, während die breitere und schwächere Bande bei 825 cm $^{-1}$ hwingungen des Vanadin-Sauerstoff-Schichtengitters nachweist. Rohländer.

961 G. A. Chatschkurusoff. Die Schwingungskonstanten des Wassermoleküls. Opt. i ektrosk. 6, 463-474, 1959, Nr. 4. (Orig. russ.) Aus den vorliegenden Messungen des stations-Schwingungsspektrums des Wasserdampfes wurden bis zu 40 Schwingungsweaus des H₂O-Moleküls berechnet. Es wird gezeigt, daß die Schwingungsenergie dieser dergieniveaus innerhalb der Meßgenauigkeit durch die kubische Näherung des unstörten Näherungswertes bei Inbetrachtziehung der Darling-Dennison-Resonanz restellt werden kann. Die Schwingungskonstanten von H₂O wurden unter Berückhtigung aller Anharmonizitätskonstanten zweiter Ordnung neu berechnet.

v. Keussler.

962 Akiko Yamaguchi, Isao Ichishima, Takehiko Shimanouchi and San-ichiro zushima. Far infrared spectrum of hydrazine. J. chem. Phys. **31**, 843, 1959, Nr. 3. ept.) (Tokyo, Japan, Univ., Fac. Sci., Chem. Lab.) Schön.

963 G. Karagounis und O. Peter. Über das Infrarotspektrum organischer Verbindungespreitet in dünnen Schichten auf Oberflächen von Ionengittern. 3. Mitteilung. Z. ektrochem. **63**, 1120—1133, 1959, Nr. 9/10. (1. Dez.) (Freiburg/Br., Univ., Inst. ys. Chem.) Die IR-Spektren organischer Verbindungen (Anilin, Phenol, Benzoe**ıre**, o-, m-, p-Phenylendiamin, o-, m-, p-Dinitrobenzol, o-, m-, p-Nitranilin, Di- und phenylamin sowie Azobenzol) wurden im Zustand dünner, auf KBr, AgJ, NaCl, AgCl, ll ausgebreiteter Schichten gemessen. Eine Überschlagsrechnung für den Einfluß des omogenen Ionenfeldes eines heteropolaren Gitters auf die Schwingungsamplitude des monischen Oszillators wird durchgeführt. Die Feldstärke fällt außerordentlich rasch t der Entfernung von der Oberfläche ab und die Absorptionsintensität wird in einer ise beeinflußt, die stark von der Schwingungsfrequenz (🕫) abhängt. Die experimentell tgestellten Intensitätsänderungen betragen höchstens das 20 bis 30fache, sie spielen n somit in Abständen von 2,5 bis 4,5 Å vom Ionengitter ab. Durch die Ionenfelder d eine Asymmetrie induziert, welche das Auftreten neuer IR-Banden hervorruft, en Frequenz mit ramanaktiven Banden zusammenfällt. Insgesamt nehmen die iplituden bestimmter Schwingungen auf Kosten der Amplituden anderer zu, so daß algebraische Summe der Intensitätsänderungen durch das Ionenfeld für ein Molckül, nach außen elektrisch abgeschlossen ist, gleich Null ist. Der Zustand der auf Salzrflächen ausgebreiteter Schichten gleicht in vielem dem von π-Komplexen; das Spekm des AgClO₄-Benzol-π-Komplexes wird daher im Vergleich zum Benzol-Spektrum cutiert.

64 A.R.H.Cole and F.Macritchie. The energy of a hydrogen bond by infra-red spectropy. Spectrochim. Acta 1959, S. 6-11, Nr. 1. (März.) (Nedlands, W. Austr., Univ., p. Chem.) Intensitätsmessungen bei verschiedenen Temperaturen wurden durchgert um die Energie der Wasserstoff-Bindung zwischen einem substituierten Cyclonarol und Dioxan in Chloroform zu messen. Es ergab sich der Wert (3,2 ± 0,3) kcal/mol.

- 7-965 R. R. Patty and R. T. Lagemann. The infrared spectrum and molecular structus of carbonylbromofluoride. Spectrochim. Acta 1959, S. 60-63, Nr. 1. (März.) (Nashvilla Tenn., Univ., Dep. Phys. Astr.) Das Infrarotspektrum von COBrF wird gemessen um gedeutet auf der Annahme einer Molekülsymmetrie C_s.

 Pruckner.
- 7-966 J. Charette and P. Teyssié. Infra-red studies of heterocyclic compounds carryin a conjugated substituent. I. Isopropenyl pyrazoles. Spectrochim. Acta 1959, S. 70-73. Nr. 1. (März.) (Léopoldville, Belg., Univ., Dep. Phys. Chem.) Die Infrarotspektra vo vier substituierten Pyrazolen wurden gemessen um die Struktur der Isomeren und de gegenseitigen Einfluß eines ungesättigten Substituenten und eines zyklischen Kerns zuntersuchen. In den Verbindungen mit einer N-H-Gruppe wird ein starker Assoziations effekt festgestellt.
- 7–967 J. Morcillo, J. Herranz and J. Férnandez Blarge. The experimental determination of infra-red intensities. Bond polar properties in CHF_3 and $CHCl_3$. Spectrochim. Act 1959, S. 110–121, Nr. 2. (Apr.) (Madrid, Spain, Inst. Quim. Fis. Rocasolana.) Be trachtung der wichtigsten Fehlerquellen bei Infrarotmessungen. Das Verhalten des scheinbaren Intensität als Funktion von pl (p = Gasdruck, l = Zellenlänge) wird figlich od diskutiert. Mittels einer Druckverbreiterungstechnik wurden die Absorptions banden von CHF3 und CHCl3 oberhalb 300 cm⁻¹ gemessen. Die Bindungsmoment werden berechnet und diskutiert.
- 7-968 W. M. Piwowaroff und N. D. Ordyntzewa. Der Einfluß der Konzentration und der Art des Lösungsmittels auf die Intensität der Linien der Kombinationsstreuung der tota symmetrischen Schwingung der Nitrogruppe und die Absorptions-Elektronenspektren arome tischer Nitroverbindungen. Opt. i Spektrosk. 6, 620-624, 1959, Nr. 5. (Orig. russ.) Fü eine Anzahl aromatischer Verbindungen wurde die Abhängigkeit der Integralintens täten der Raman-Linien der totalsymmetrischen Schwingung der NO₂-Gruppe von Lösungsmittel und der Konzentration der Lösung gemessen. Für die gleichen Vebindungen wurden die langwelligen Absorptionsbanden der Elektronenspektren unte sucht. Die Ergebnisse werden diskutiert.
- 7–969 W. J. Lehmann, C. O. Wilson jr. and I. Shapiro. Infrared spectra of trimethy borane-d₉ and triethylborane-d₁₅. J. chem. Phys. 31, 1071—1075, 1959, Nr. 4. (Okt (Pasadena, Calif., Olin Mathieson Chem. Corp., Res. Lab.)
- 7-970 James E. Stewart. Vibrational spectra of primary and secondary aliphatic amine Berichtigung. J. chem. Phys. 31, 1136, 1959, Nr. 4. (Okt.) (Fullerton, Calif., Beckma Instr.) S. J. chem. Phys. 30, 1259, 1959.
- 7-971 N. S. Bayliss, A. E. H. Cole and L. H. Little. Solvent effects on the infra-red frequency and intensity of the nitrile vibration in aceto-, propio-, benzo- and phthalonitrile Spectrochim. Acta 1959, S. 12-19, Nr. 1. (März.) (Nedlands, W. Austr., Univ., De Chem.)
- 7-972 E. M. Tanner. The infra-red absorption spectra of some a-phenylhydrazo-keton and alcohols. Spectrochim. Acta 1959, S. 20-26, Nr. 1. (März.) (Hounslow, Middle Parke, Davis Co., Res. Dep.)
- 7-973 R. Bline and D. Hadži. The in-plane normal vibrations of formic acid. Spectrchim. Acta 1959, S. 82-85, Nr. 2. (Apr.) (Ljubljana, Univ., Inst. Boris Kidr Chem. Lab.)
- 7-974 S. Califano, F. Placenti and G. Speroni. Infra-red and Raman spectra of isoxazo The vibrational assignment. Spectrochim. Acta 1959, S. 86-94, Nr. 2. (Apr.) (Napoll It., Ist. Chim.)
- 7-975 **Doureîd Houalla** et **Robert Wolf.** Intensité d'absorption de la vibration de valer P-H dans quelques diesters de l'acide phosphoreux. Bull. Soc. Chim. Fr. 1960, S. 129 133, Nr. 1. (Jan.) (Toulouse, C. N. R. S., Fac. Sci.)

 Beggerow.

1976 W. G. Wesselago. Die Bestimmung der Struktur und des Dipolmoments des DSe-Moleküls aus seinem Mikrowellenspektrum. Opt. i Spektrosk. 6, 450–456, 1959, r. 4. (Orig. russ.) Das Rotationsspektrum des HDSe-Moleküls wurde im Bereich der entimeterwellen gemessen, das Dipolmoment zu 0,62 Debye bestimmt. Unter Berückchtigung der Störung durch die Zentrifugalkräfte wird die Molekülstruktur bestimmt, obei für die einander ungleichen Abstände Se-H und Se-D 1,452 und 1,446 Å, für en Winkel zwischen ihnen 90° 17′ \pm 50′ erhalten wird.

60

- 1977 J. F. Lotspeich, A. Javan and A. Engelbrecht. Microwave spectrum and structure of perrhenyl fluoride. J. chem. Phys. 31, 633-643, 1959, Nr. 3. (Sept.) (New York, Y., Columbia Univ.; Philadelphia, Penn., Univ., Res. Inst.)
- 978 J. F. Lotspeich. Quadrupole coupling and bond structure in ReO₃F, ReO₃Cl and InO₃F. J. chem. Phys. **31**, 643-649, 1959, Nr. 3. (Sept.) (Culver City, Calif., Hughes es. Lab.)
- 979 Louis Pierce and Lawrence C. Krisher. Microwave spectrum, internal barrier, ructure, conformation and dipole moment of acetyl fluoride. J. chem. Phys. 31, 875 bis 32, 1959, Nr. 4. (Okt.) (Notre Dame, Ind., Univ. Dep. Chem.; Cambridge, Mass., Univ., allinekrodt Chem. Lab.)
- **Lawrence C. Krisher** and **E. Bright Wilson jr.** *Microwave spectrum of acetyl cyade.* J. chem. Phys. **31**, 882—889, *1959*, Nr. 4. (Okt.) (Cambridge, Mass., Univ., Mallinekdt Chem. Lab.)
- 981 Victor W. Laurie and David R. Lide jr. Microwave spectrum and internal rotation 1-chloro-2-butyne. J. chem. Phys. 31, 939--943, 1959, Nr. 4. (Okt.) (Washington, D. C., at. Bur. Stand.)
- 982 Yoshikazu Kikuchi, Eizi Hirota and Yonezo Morino. Second-order quadrupole fect in the microwave spectrum of propargyl bromide. J. chem. Phys. 31, 1139—1140, 159, Nr. 4. (Okt.) (Tokyo, Jap., Univ., Fac. Sci., Dep. Chem.)
- -983 J. M. Das Sarma. Band spectrum of manganese oxide (MnO). Z. Phys. 157, 98 bis 95, 1959, Nr. 1. (15. Okt.) (Calcutta, Ind., Univ., Dep. appl. Phys., Spectrosc. Lab.) f. führte eine neue Vermessung der Wellenlängen der Bandenköpfe des MnO-Spekums durch. Das Spektrum wurde mit einer Kohlebogenentladung in der Weise erzeugt, B MnCl₂-Kristalle in dem Kohlestift verdampft wurden. Sämtliche Wellenlängen der Bandenköpfe — einschließlich der bisher nicht veröffentlichten 15 Bandenköpfe urden vermessen. Die Gleichung zur Darstellung der Wellenlängen der Bandenköpfe arde in folgender Weise modifiziert: $v = 17949,19 + \{762,75 (v' + 1/2) - 9,60 (v' + 1/2)^2 + 0,06 (v' + 1/2)^3\} - \{839,55 (v'' + 1/2) - 4,79 (v'' + 1/2)^2\}$. Die Dissoziationsnergie des oberen und unteren Zustandes wurde zu $D^0 = 2.8 \text{ eV}$ und D'' = 4.1 eVstimmt. Die Potentialenergiekurven für die beiden Zustände sind nach dem Vorbilde on Morse graphisch dargestellt worden. Desgleichen wurden die Übergangswahrscheinhkeiten bestimmt und mit den visuellen Intensitätsschätzungen der verschiedenen andenköpfe verglichen. Es wurden abschließend die Vermutungen ausgesprochen, daß r untere Zustand des MNO, der wahrscheinlich der Grundzustand ist, eine Überlageng der Zustände Mn [3d⁶(⁵D)/4s₆D] und O [2s³2p⁴, 3P] ist, während 'der obere Žuand von dem Mn [3 d6 (5D) 4 s4D] - und dem 3 P-Zustand des normalen Sauerstoffes rrühren soll. Kleinpoppen.
- 984 M. Peyron, E. M. Hörl, H. W. Brown and H. P. Broida. Spectroscopic evidence triatomic nitrogen in solids at very low temperature. Berichtigung. J. chem. Phys. 31, 6, 1959, Nr. 3. (Sept.) (Washington, D. C., Nat. Bur. Stand.) Ber. 38, 2332, 1959.

Schön.

985 W. W. Robertson and A. D. King jr. Spectroscopic evidence for long-range repulble intermolecular forces. J. chem. Phys. 31, 473—476, 1959, Nr. 2. (Aug.) (Austin, ex., Univ., Dep. Phys.) Die Absorptionsspektren der Kohlenwasserstoffe Benzol, aphthalin, Phenanthren und Pyren wurden in Abhängigkeit von der Dichte (bis zu etwa 1000 Amagat) des verdünnenden Heliums oder Stickstoffs bei etwa 200° C aufge nommen. Im leichter polarisierbaren Stickstoff wurde eine Rotverschiebung beobachtet im $^1\mathrm{L}_6$ -Spektrum des Benzols in Helium eine Blauverschiebung, die mit steigende Dichte des He zunahm, bei den höheren Kohlenwasserstoffen mit höherer Oszillator stärke wieder eine Rotverschiebung. Es wird eine Kombination abstoßender Kräft großer Reichweite und anziehender Kräfte großer Reichweite angenommen, die beid für den angeregten Zustand des Benzols größer sind als für den Grundzustand. Für di Benzol-He-Wechselwirkung müssen schwache, weitreichende Kräfte ohne Dispersions charakter und abstoßender Natur vorausgesetzt werden. M. Wiedemann.

- 7-986 L. A. Lysina und A. T. Wartanjan. Der Einfluß der Wasserdämpfe auf die Absorptionsspektren aufgedampster Farbstoffschichten. Opt. i Spektrosk 6, 484-491, 1958 Nr. 4. (Orig. russ.) Im Vakuum aufgedampste Farbstoffschichten wurden der Einwirkung von Wasserdämpsen ausgesetzt. Dabei wurde eine starke Beeinslussung der Absorptionsspektren festgestellt, die auf Änderungen der Struktur der Farbstoffschichte zurückgeführt wird.

 v. Keussler.
- 7-987 D. Booth, F. S. Dainton and K. J. Ivin. Thermodynamics of formation and absorption spectra of 1:1 complexes between sulphur dioxide and olefines. Trans. Faraday Soc. 55, 1293-1309, 1959, Nr. 8 (Nr. 440). (Aug.) (Leeds, Univ., Dep. Phys. Chem.)

 Bartholomeyczyk.
- 7–988 S. M. Kischko und M. J. Kutschinka. Anregungsfunktionen einiger Banden de zweiten positiven Systems des N_2 . Opt. i Spektrosk. 6, 580–582, 1959, Nr. 5. (Orig. russ. Der Verlauf der Anregungsfunktionen der Banden $0 \to 3$, $1 \to 4$ und $2 \to 6$ des zweite positiven Systems des molekularen Stickstoffs wird lichtelektrisch untersucht. Der Einfluß des Gasdrucks des Stickstoffs auf die Lage des Maximums der Anregungsfunktio wird nachgewiesen. Die erhaltenen Ergebnisse werden mit denen anderer Autoren verglichen.
- 7–989 A. K. Barua. Unlike molecular interactions from viscosity and inter-diffusion. Indian J. Phys. 33, 221–228, 1959, Nr. 5. (Mai.) (Calcutta, Indian Assoc. Cultiv. Sci. In einem binären Gasgemisch mit den Molekelsorten 1 und 2 kann für die Wechsel wirkung Φ_{12} ein 6–12-Potential nach Lennard-Jones angesetzt werden. Hierbei wet den die Konstanten meist durch Kombinationsregeln aus den Konstanten der Φ_{11} um Φ_{22} gewonnen. Statt dessen werden die Konstanten aus dem Diffusionskoeffizienten Dind den Viskositäten der Komponenten und der Mischung nach den bei Hirschfelder Curtiss und Bird (Molecular theory of gases and liquids, New York 1954) angegebene Beziehungen berechnet. Für Π_2 –C Π_4 , Π_2 –C Ω_2 , Π_2 – Π_2 , Π_2 –He und Π_2 –C Π_4 wird it allgemeinen für Diffusion und Viskosität, aber auch für Thermodiffusion bessere Über einstimmung erzielt als bei Anwendung der Kombinationsregeln.
- 7-990 Alvin S. Gordon and James R. McNesby. Isomerization of primary n-alkyl free radicals. J. chem. Phys. 31, 853-855, 1959, Nr. 3. (Sept.) (China Lake, Calif., U. S. Naval Test Stat., Chem. Div.)
- 7-991 Frank K. Truby and William H. Storey jr. Radiation induced free radicals is lactose. J. chem. Phys. 31, 857-858, 1959, Nr. 3. (Sept.) (San Antonio, Tex., Southwest Res. Inst.)
- 7-992 R. M. Deal and W. S. Koski. Inequality of the coupling constants of the hydraz nitrogens in DPPH. J. chem. Phys. 31, 1138-1139, 1959, Nr. 4. (Okt.) (Baltimor Maryl., Univ., Dep. Chem.)
- 7-993 R. A. Houstoun. Note on the theory of optical activity. Opt. Acta 6, 216-22 1959, Nr. 3. (Juli.) (Glasgow, Univ.) Vf. zeigt, daß es zwei Erklärungsmöglichkeiten vor Standpunkte der klassischen Dispersion für das Vorhandensein der natürlichen optische Aktivität gibt, die möglich sind. Entweder hat eine Klasse von Elektronen einen Spir in diesem Falle stellen sie sich mit ihren Achsen parallel zur Ausbreitungsrichtung de Lichtwelle und werden sowohl vom magnetischen als auch vom elektrischen Vektor de Lichtwelle beeinflußt. Es könnte auch in den Ausdrücken für die potentielle Energie de Elektrons ein Produktterm auftreten.

- 994 *Max v. Laue. Röntgenwellenfelder in Kristallen. S. B. dtsch. Akad. Wiss., erlin 1959, Nr. 1, S. 1-25. DM 3,20 (brosch.) Zusammenfassender Vortrag über neueste biete der Kristallforschung, die im Fritz-Haber-Institut besonders vom Vf. und von Borrmann bearbeitet wurden. Literaturverzeichnis.
- 995 Kathleen Lonsdale. Vibrating atoms in crystals. Beitr. z. Physik u. Chemie 20. Jahrh. Lise Meitner, Otto Hahn, Max v. Laue z. 80. Geburtstag. Friedr. Vieweg Sohn, Braunschweig, 1959, S. 210—219. (London, Univ., Coll., Dep. Chem.) Nach dem Überblick über von Laue-Beugungs-Bilder verschiedener Stoffe (auch bei verniedenen Temperaturen) wird festgestellt, daß zur Deutung von Beugungsmessungen ch weitere Beobachtungen mit besseren Mitteln durchgeführt werden müssen; dabei ren zusätzlich die wenn auch geringen Veränderungen des Moleküls selbst mit der mperatur zu berücksichtigen.
- 996 J. M. Bijvoet. Anomalous scattering in the determination of phase and of absolute nfiguration. Beitr. z. Physik u. Chemie d. 20. Jahrh. Lise Meitner, Otto Hahn, Max v. UE z. 80. Geburtstag. Friedr. Vieweg u. Sohn, Braunschweig, 1959. S. 234-242. trecht, Rijksuniv., Lab. Kristalchem.) Die Ungleichheit der Intensitäten I(hkl) und nkl) im Falle anomaler Reflexion an nicht-zentrosymmetrischen Kristallen ist im zten Dezennium benutzt worden zur Bestimmung der Phasen ϕ (hkl) in der Fouriernthese einer Kristallstruktur. 1. Das Vorzeichen des anomalen Effekts $\Delta I = I(hkl)$ 1(hkl) entspricht dem Vorzeichen des Phasenwinkels φ(hkl) - Ergänzung der asenbestimmung in der isomorphen Substitutions-Methode. 2. Quantitative Verrkung von ΔI in der Einzelkristall-Schweratom-Methode liefert ϕ (hkl) in Größe und rzeichen; auch können die Δ I-Werte benutzt werden zur Synthese des sogenannten us-Patterson-Diagramms, das die Abstände des anomal streuenden Atoms zu den anal streuenden enthält. Ist eine Struktur bekannt bis auf die absolute Konfiguration, genügt der anomale Effekt einer einzigen Reflexion zur Wahl zwischen den invertierten ukturen. Bijvoet.
- 297 A. J. Freeman and R. J. Weiss. Electron distribution in transition metals. Phil. g. (8) 4, 1086—1088, 1959, Nr. 45. (Sept.) (Watertown, Mass., Ordn. Mater. Res. ., Mater. Res. Lab.) Entgegen der Meinung von HUME ROTHERY und anderen kann die von Weiss und De Marco (1958) auf Grund von Röntgenstrukturuntersuchungen undene, niedrige 3-d-Elektronenzahl in Fe und Cr nicht eine Abweichung der Langsverteilung von der Kugelsymmetrie verantwortlich sein. An zwei Modellen mit enförmiger Ladungsverteilung, jeweils entlang der [111]- bzw. der [100]-Richtungen der Einfluß von übertrieben nichtsphärischen Ladungsverteilungen im kubischen item auf die Größe des Atomformfaktors berechnet. Die beiden so berechneten Atomfaktoren wichen vom Faktor der sphärischen Ladungsverteilung für α-Eisen beim α 0)-Reflex nur um etwa 3% ab. Die Deutung der Untersuchungsergebnisse von Weiss in der Raktor würde aber eine Änderung des Faktors um 63% erfordern. Nur eine große lerung der radialen Ladungsdichte kann die niedrige, beobachtete 3-d-Elektronenzahl waatsch.
- 98 Arthur Bienenstock. Scaling error in radial distribution studies. J. chem. Phys. 570—571, 1959, Nr. 2. (Aug.) (Cambridge, Mass., Univ., Div. Engng., Appl. Phys.) die in der radialen Verteilungsfunktion der Elektronen bei der Röntgenbeugung tretenden Fehler, die auf Mängel in der Abschätzung der beobachteten Intensität ückgehen, wird ein analytischer Ausdruck abgeleitet und gezeigt, daß diese Fehler kima und Minima hervorrufen können. Ferner wird eine Möglichkeit der Verfeinerung Technik der Abschätzung aufgezeigt.
- 99 W.S. Kogan, W. G. Lasarew und R. F. Bulatowa. Röntgenbeugung in polykristaln Proben von Wasserstoffisotopen. Sh. exp. teor. Fis. 37, 678-683, 1959, Nr. 3. g. russ.) Ein Vergleich der Interferenzbilder, die man bei der Röntgenstreuung in kristallinen Proben fester Wasserstoffisotope erhält, deutet darauf hin, daß ein opie-Polymorphismus vorliegt. Aus der Verschiedenheit der Strukturen für Wasser-

stoff und Deuterium bei ähnlicher Struktur für Deuterium und Tritium kann maschließen, daß der Polymorphismus nicht auf Unterschieden in den Energiespektrer sondern auf den verschiedenen Atomgewichten beruht. Die beobachteten Unterschiede in den Strukturen für die einzelnen Wasserstoffisotope stehen im Einklang mit der Zustandsdiagramm für Wasserstoff-Deuterium. Die Ergebnisse über die Parameter für die Struktur der Wasserstoffisotope (nämlich tetragonales Gitter mit c/a = 1.73 un a = 3.3 und 3.35 Å für Tritium und Deuterium, hexagonales Gitter mit c/a = 1.73 un a = 3.7 Å oder tetragonales Gitter mit c/a = 0.82 und a = 4.5 Å für den Wasserstoff stimmen zwar mit den Daten über die Dichte und den Ergebnissen von Röntgenstruktur untersuchungen in Isotopengemischen überein, bedürfen aber trotzdem einer Verfeinzung mit Methoden, die vollständigere Interferenzbilder liefern. In diesem Zusammenhang wird die Neutronenbeugung vorgeschlagen, bei der die Intensität nicht so stammit wachsendem Streuwinkel abnimmt, während die Röntgenogramme der Vff. nu immer 1-2 Interferenzlinien unter kleinen Winkeln enthalten.

7-1000 D. M. Burns. Interpolation errors in Fourier projections. Acta cryst. 11, 88-9 1958, Nr. 2. (10. Febr.) (Ghana, West.-Afr., Univ. Coll., Phys. Dep.)

7-1001 Philip A. Vaughan. A phase-determining procedure related to the vector-coinciden method. Acta cryst. 11, 111-115, 1958, Nr. 2. (10. Febr.) (Rutgers, New Brunswick, J., Univ., School Chem.)

7-1002 G. A. Sim. The probability distribution of X-ray intensities: the effect of one heavatom in a triclinic cell containing a number of light atoms. Acta cryst. 11, 123-12 1958. Nr. 2. (10. Febr.) (Glasgow, Scotl., Univ., Chem. Dep.)

7-1003 Y. Tomiie and C. H. Stam. Calculation of atomic scattering factors using Slat wave functions: sodium to calcium. Acta cryst. 11, 126-127, 1958, Nr. 2. (10. Februleeds, Engl., Univ., School Chem.)

7-1004 P. P. Williams. Determination of lattice parameters directly from Bunn chart Acta cryst. 12, 250, 1959, Nr. 3. (10. März.) (Wellington, N. Zeel., Domin. Lab.)

7-1005 J. Ladell, W. Parrish and J. Taylor. Center-of-gravity method of precision latti parameter determination. Acta cryst. 12, 253-254, 1959, Nr. 3. (10. März.) (Irvington-Hudson, N. Y., Philips Lab.)

7-1006 R. F. Burge. X-ray scattering by bundles of cylinders. Acta cryst. 12, 285-28 1959, Nr. 4. (10. Apr.) (London, Univ., King's Coll., Wheatstone Phys. Lab.)

7-1007 C. A. Taylor and F. A. Underwood. An optical method for producing structur factor graphs. Acta cryst. 12, 336-339, 1959, Nr. 4. (10. Apr.) (Manchester, Engl., Univ Coll. Sci. Technol., Dep. Phys.)

7-1008 James Trotter. Determination of the positions of molecules in a unit cell. Ac cryst. 12, 339-341, 1959, Nr. 4. (10. Apr.) (Ottawa, Can., Nat. Res. Counc., Div. Pu Phys.)

Schön.

7-1009 Hans Peisl und Wilhelm Waidelich. Tieftemperaturkammer für Feinstruktu untersuchungen mit Zählrohrgoniometern. Z. angew. Phys. 11, 474-477, 1959, Nr. 1 (Dez.) (München, T. H., Phys. Inst.) Es wird eine Meßeinrichtung beschrieben, die gestattet, Feinstrukturuntersuchungen mit Hilfe eines Zählrohrgoniometers bei Temperaturen bis kurz unterhalb — 180°C vorzunehmen. Während es sich bei dem Zährohrgoniometer um eine handelsübliche Ausführung handelt, wurde der Präparatträg von einer eigens dazu hergestellten Vakuumkammer umgeben. Eine einfache Auführung wurde mit zwei Glimmerfenstern mit 5 mg/cm² Massenbelegung versehen, d nutzbare Bereich des Braggschen Winkels beträgt dabei 18°. Zur kontinuierliche Untersuchung der Braggschen Winkel von 0 bis 90° wurde eine Vakuumkühlkammer g baut, die eine 180° Fensteranordnung besitzt. Die technologisch größte Schwierigke bestand in der Herstellung eines vakuumdichten, mechanisch stabilen Fensters mit ein

iche von $20\! imes\!145~\mathrm{mm^2}$. Eine $25\,\mu$ starke Hostaphan-Folie wurde durch einen mit alreichen Bohrungen versehenen Aluminiumträger verstärkt. Als Anwendungsbeiel für diese Tieftemperaturkammern wurden Strukturuntersuchungen am $\mathrm{NH_4J}$ rgenommen.

1010 H. Barth. Analyse der Realstruktur von Einkristallen. Z. Elektrochem. 63, 8-912, 1959, Nr. 8/9. (15. Okt.) (Berlin-Dahlem, Max-Planck-Ges., Fritz-Haberst.) Es wird eine Röntgenmethode beschrieben, mit der das Kristallgefüge von Einstallen in der Obersläche und im Innern über größere Gebiete sichtbar gemacht werden nn. Bei Beobachtungen in der Obersläche wird der mit einer Strichfokusröhre erugte Strahlenbündel an einer Kristallebene reslektiert und in den reslektierten Strahl sehr genaues Strich- oder Kreuzgitter gestellt. An Hand des Schattenbildes lassen haussagen über die Gestalt der reslektierenden Netzebene machen. Zur Unterchung des Kristallinneren wird die anomale Absorption, die ein parallel zu einer Netzenenschar verlaufender Röntgenstrahl im Kristall erleidet, ausgenutzt. Aus der tensitätsverteilung des den Kristall durchdringenden Röntgenstrahls lassen sich lüsse auf die Form dieser Netzebenen ziehen, vor allem läßt sich die Versetzungshte ermitteln. Es werden Ausnahmen von Quarzoberslächen, Silicium und Gernium gezeigt.

1011 W. Hoppe. Einige experimentelle Ergebnisse der Untersuchung von organischen blekeln mit diffuser Röntgenstreuung in Kristallen. Z. Elektrochem. 63, 912—920, 59, Nr. 8/9. (15. Okt.) (München, T. H., Phys.-Chem. Inst., Abt. Struktur-Forschg.) e vom Vf. erweiterte Faxen-Waller-Lavalsche Theorie der diffusen Röntgeneuung wird in einer allgemeineren Form dargestellt. Es wird über Streuversuche behatet, aus denen sich die Orientierungen der als zweidimensional zu betrachtenden tramethylnaphthalin- und Phyllochlorinestermoleküle im Gitter mit Hilfe dieser eorie aus der Lage der diffusen Streumaxima auf Schichtlinienaufnahmen ergeben. Ir das nicht frei drehbare aplanare Gruppen enthaltende Tetrachlorketonaphthalin sen sich noch keine Angaben machen, da nicht bekannt ist, ob die angestellten Überungen auch für dreidimensionale Probleme zu einer einfachen und übersichtlichen verpretation der diffusen Streuung führen.

tr. z. Physik u. Chemie d. 20. Jahrh. Lise Meitner, Otto Hahn, Max v. Laue z. 80. Getstag. Friedr. Vieweg u. Sohn, Braunschweig, 1959. S. 178—187. (Paris, Conservat. Arts, Métiers.) Röntgen-Strahlen werden zur Untersuchung der wahren Struktur Kristalle verwendet. M. v. Laue hat dazu beigetragen, eine Theorie des Einflusses stalliner Unvollkommenheiten mit Hilfe der Beugungserscheinung aufzustellen. Die wendung auf die thermische Bewegung, auf die Struktur fester Lösungen und kaltformter Kristalle werden in kurzen Worten mitgeteilt. In den fast vollkommenen istallen gestatten die örtlichen Variationen des Reflexionsvermögens die Verzerrungsten zu lokalisieren (unter Hervorheben der Versetzungen).

1013 B. E. Warren. Small-angle scattering from large volumes. Z. Kristallogr. 112, 255 262, 1959, (9. Okt.) von Laue-Festschrift I. (Cambridge, Mass., Inst. Technol.) Die Behnung der Intensität der Kleinwinkelstreuung von Röntgenstrahlen an ausgedehnten dien gleichmäßiger Elektronendichte zeigte, daß die Fraunhofersche Näherung zu & Werte liefert, die sich für Kugeln, Scheiben und quadratische Tafeln außerdem um Benordnungen unterscheiden. Eine genaue Rechnung auf der Grundlage der Fresnelen Beugung wurde für die quadratische Tafel durchgeführt. Unter der Voraussetzung, das Objekt in seinen Abmessungen geringfügig variiert, ergeben sich kleinere Intentsbeträge, die im Einklang mit der experimentellen Erfahrung sind.

G. Lehmann.

1. J. Spreadborough and J. W. Christian. The measurement of the lattice expansions Debye temperatures of titanium and silver by X-ray methods. Proc. phys. Soc. Lond. 609—615, 1959, Nr. 5. (Nr. 479). (1. Nov.) (Geneva, Battelle Memor. Inst.; Oxford, W. Museum, Dep. Metall.) Apparatur für Beugungsuntersuchungen bei hohen Tem-

peraturen s. J. sci. Instrm. 36,116, 1959. α -Ti Mittelwerte der thermischen Ausdehnut bei $275-875^{\circ}\mathrm{K}$, $9,55\cdot 10^{-6}/\mathrm{grad}$ für a, $10,65\cdot 10^{-6}/\mathrm{grad}$ für c, β -Ti Mittelwert l $1175-1355^{\circ}\mathrm{K}$ ca. $12,0\cdot 10^{-6}/\mathrm{grad}$. Nach den Ergebnissen für Ag Korrektur von Pask (Acta cryst. 10, 667, 1957) zur Theorie von Debye-Waller in guter Übereinstimmu mit Experiment für kubisch flächenzentrierte Kristalle, daraus Debye-Temperat $197^{\circ}\mathrm{K}$. Bei hexagonalem Gitter Lage unklar, Ableitung einer angenäherten Debye Temperatur von $270\pm30^{\circ}\mathrm{K}$ für α -Ti.

7-1015 Beatrice H. Worsley. Scattering factors for some of the heavier atoms. Canad. Phys. 37, 967-969, 1959, Nr. 9. (Sept.) (Toronto, Univ., McLennan Lab.) Die Röntgestrahlstreuung wurde ausgerechnet für Ne, V++, Kr, Ag+ und Pb+++. Die Ergebnisse i Ne und V++ werden mit denen von Freeman verglichen. Freeman benutzte Allei Wellenfunktion für Ne und Hartrees genäherte Wellenfunktion für V++. Heilig.

7-1016 A. L. Veenendaal, Caroline H. MacGillavry, B. Stam, M. L. Potters and Marle J. H. Römgens. X-ray scattering factors of Al^{2+} , Al^{3+} , Mn^{2+} , Fe, Zr^{4+} , Au^+ and U^* Acta cryst. 12, 242-246, 1959, Nr. 3. (10. März.) (Amsterdam, Univ., Lab. Gen. Inochem. and Math. Centre.)

7-1017 S. Göttlicher und E. Wölfel. Röntgenographische Bestimmung der Elektrone verteilung in Kristallen. VII. Die Elektronendichten im Diamantgitter und im Gitter a Siliziums, Z. Elektrochem. 63, 891-901, 1959, Nr. 8/9. (15. Okt.) (Darmstadt, T. I Eduard-Zintl-Inst., Lehrst. Phys. Chem. Aus Röntenintensitätsmessungen an Diamai pulver werden die Atomformamplituden des Kohlenstoffs im Diamant bestimmt. E Vergleich mit den von Brill ermittelten Werten zeigt gute Übereinstimmung hinsich lich der Ergebnisse für den (111)-Reflex an Diamantpulvern, während die Atomfori amplituden für alle anderen Reflexe größer sind, was darauf zurückgeführt wird, daß d zum Vergleich herangezogenen Messungen an Einkristallen durchgeführt wurden. Z Deutung der Ergebnisse, die auf vorangegangene Messungen der Vff. an Silicium au gedehnt werden, werden die von HARTREE, HOERNI und IBERS, BERGHIUS, MCWEEN und Freeman berechneten Atomformamplituden herangezogen. Dabei ergibt sich, de die Meßergebnisse an Diamant für die Reflexe (111), (400) und (331) erheblich unterha der glatten Kurve der auf Zimmertemperatur umgerechneten Atomformamplitud liegen. Ähnliche Abweichungen ergeben sich für Silicium. Aus den Intensitäten wi durch FOURIER-Synthese in bekannter Weise die Elektronendichteverteilung im Gitt bestimmt, wobei die Abweichungen der Meßpunkte von den analytischen Funktion sowie die Interferenz (222) durch Zusatzdichten berücksichtigt wurden. Der Verglei mit der Theorie ergibt besonders auffallende Abweichungen im Punkt $^{1}/_{8}$, $^{1}/_{8}$, die z Abschätzung der Atomformamplitude "verbotener" Reflexe benutzt werden. Ei Aufteilung der Elektronendichte nach Ewald und Hönl kann nur für Diamant mit hi reichender Genauigkeit durchgeführt werden. Wuttig.

7-1018 W. H. Zachariasen. Unit cell and thermal expansion of β-plutonium metal. Accryst. 12, 175-176, 1959, Nr. 3. (10. März.) (Chicago, Ill., Univ., Dep. Phys.) Schön.

7–1019 Masao Atoji and Donald E.Williams. Deuterium positions in lanthanum deuterox by neutron diffraction. J. chem. Phys. 31, 329–331, 1959, Nr. 2. (Aug.) (Ames, I., Sta Coll., Inst. Atomic Res., Dep. Chem.) Eine heiße verdünnte Lösung von LaCl₃ in D wurde mit Natriumperoxyd versetzt und so La(OD)₃ gewonnen. Dieses wurde mitt Neutronenbeugung mit einem Spektrometer mit der Neutronenwellenlänge 1,277 untersucht. Wasserstoffbrücken wurden hierbei nicht gefunden. Die Positionen des wurden bestimmt. Die Abstände betragen im Mittel D–D = 2,29 Å und D–O = 2,74 Im Zusammenhang mit der Neutronenbeugung werden auch die Infrarotspektren v La(OD)₃ und La(OH)₃ diskutiert. M. Wiedemann.

7-1020 Masao Atoji and Ronald C. Medrud. Structures of calcium dicarbide and uraniu dicarbide by neutron diffraction. J. chem. Phys. 31, 332-337, 1959, Nr. 2. (Aug.) (Am. I., State Coll., Inst. Atomic Res., Dep. Chem.) Nach der Methode der Neutronenbeugu an Pulvern wurden die Carbide CaC₂, ein Ionenkristall, und UC₂, das metallisch

- arakter hat, untersucht. Es wurden folgende interatomare Abstände bestimmt: C=1,20 Å, C-Ca=2,29 Å, C-4 Ca=2,82 und Ca-4 Ca=4,21 Å in CaC_2 ; C-Ca=1,34 Å, was genau einer C=C-Doppelbindung entspricht, C-U=2,32 Å, C-4 U=2,58 Å und U-4 U=3,89 Å in UC_2 . Die Elektronenkonfiguration der C_2 -Gruppe wird kutiert und dazu die interatomaren Abstände in CaC_2 , SrC_2 , BaC_2 , LaC_2 und La_2C_3 angezogen.
- 1921 Luisa Brahde Barricelli. The crystal structure of iridium diselenide. Acta cryst. 75-79, 1958, Nr. 2. (10. Febr.) (Blindern, Norw., Univ., Kjem. Inst. A.)
- 1022 **H. Bode** und **H. v. Döhren.** Die Kristallstruktur des Kaliumhexafluoroniobats des Kaliumhexafluorotantalats. Acta cryst. 11, 80-82, 1958, Nr. 2. (10. Febr.) amburg, Chem. Staatsinst.)
- 7023 Friedrich Liebau und Waltraud Hilmer unter Mitarbeit von Gerhard Lindemann.
 Fer die Kristallstruktur des Rhodonits (Mn, Ca)SiO₃. Acta cryst. 12, 182-187, 1959,
 3. (10. März.) (Berlin-Adlershof, Dtsch. Akad. Wiss., Inst. Anorg. Chem.)
- 024 L. H. Bolz, M. E. Boyd, F. A. Mauer and H. S. Peiser. A re-examination of the stal structures of α and β nitrogen. Acta cryst. 12, 247—248, 1959, Nr. 3. (10. März.) ashington, D. C., Nat. Bur. Stand.)
- 025 V. T. Deshpande, D. B. Sirdeshmukh and V. M. Mudholker. The lattice constant strontium nitrate, $Sr(NO_3)_2$. Acta cryst. 12, 257, 1959, Nr. 3. (10. März.) (Hyderabad, Lia, Osman, Univ., Coll. Sci., Phys. Dep.)
- 026 Virginia Ross and John 0. Edwards. On the crystal structure of kernite, $Na_2B_4U_7$ -20. Acta cryst. 12, 258, 1959, Nr. 3. (10. März.) (Providence, Rhode Isl., Univ., Dep. m.)
- 027 Llies N. Finnie and Alan W. Searcy. A new crystallographic modification of dium monosilicide. Acta cryst. 12, 260, 1959, Nr. 3. (10. März.) (Berkeley, Calif., iv., Dep. Mon. Technol.)
- 628 E. Keulen and Aafje Vos. The crystal structure of P₄Se₃. Acta cryst. 12, 323 329,
 9, Nr. 4. (10. Apr.) (Groningen, Netherl., Univ., Lab. Anorg. Fys. Chem.)
- **929 P. M. de Wolff.** Interpretation of some γ -MnO₂ diffraction patterns. Acta cryst. **341 345**, 1959, Nr. 4. (10. Apr.) (Delft, Netherl., T. N. O., T. H., Techn. Phys. nst.)
- 030 Masao Atoji and William N. Lipscomb. Molecular and crystal structure of B₈Cl₈. Preliminary X-ray diffraction study. J. chem. Phys. 31, 601—604, 1959, Nr. 3. (Sept.) Inneapolis, Minn., Univ., School Chem.)
- Robert A. Jacobson and William N. Lipscomb. Molecular and crystal structure $\mathbf{3}_8Cl_8$. II. Solution of the three-dimensional structure. J. chem. Phys. $\mathbf{31}$, 605-609, $\mathbf{9}$, Nr. 3. (Sept.) (Minneapolis, Minn., Univ., School Chem.)
- **Josina van der Maas Reddy** and **William N. Lipscomb.** Molecular structure of $H_{12}(CH_3CN)_2$. J. chem. Phys. **31**, 610 616, 1959, Nr. 3. (Sept.) (Minneapolis, Minn., v., School Chem.)
- 933 I. H. Boyd and J. Spreadborough. A note on the measurement of lattice spacings in unannealed powders of filings. Acta cryst. 11, 97-99, 1958, Nr. 2. (10. Febr.) ford, Engl., Univ. Museum, Dep. Metallurg.)
- 334 Friedrich Liebau. Über die Kristallstruktur des Pyroxmangits (Mn, Fe, Ca, Mg) 3. Acta cryst. 12, 177—181, 1959, Nr. 3. (10. März.) (Berlin-Adlershof, Dtsch. Akad. 8., Inst. Anorg. Chem.) Schön.

- 7-1035 J. Zemann. Isotopie zwischen Pharmakosiderit und zeolithischen Germanate Acta cryst. 12, 252, 1959, Nr. 3. (10. März.) (Göttingen, Univ., Min.-Kristallogr. Ins.
- 7-1036 J. Zussman. A re-examination of the structure of tremolite. Acta cryst. 12, 3: bis 312, 1959, Nr. 4. (10. Apr.) (Manchester, Engl., Univ., Dep. Geol.) Schön.
- 7-1037 C. Guillemin et F. Permingeat. Revue des espèces minérales nouvelles. Bull. Se franc. Minér. Crist. 82, 390-397, 1959, Nr. 10/12. (Okt./Dez.) (Paris.) Beggerow.
- 7-1038 A. J. van Bommel and J. M. Bijvoet. The crystal structure of ammonium hydrogen D-tartrate. Acta cryst. 11, 61-70, 1958, Nr. 2. (10. Febr.) (Utrecht, Netherl., Uni Lab. Kristalchem.)
- 7-1039 F. Hanie und J. A. Čakajdová. Zur Kristallographie einiger Organophospha Acta cryst. 11, 127-128, 1958, Nr. 2. (10. Febr.) (Bratislava, Tschech., Akad. Wis Abt. anorg. Chem., Chem. Inst.)
- 7-1040 Rose C. L. Mooney Slater. The triiodide ion in tetraphenyl arsenium triiodic Acta cryst. 12, 187-196, 1959, Nr. 3. (10. März.) (Cambridge, Mass., Inst. Techn
- 7-1041 E. Frasson, R. Bardi and S. Bezzi. Structure of copper-dimethylglyoxime at bette temperature. Acta cryst. 12, 201-205, 1959, Nr. 3. (10. März.) (Padova, It., Ist. Chi Org. Univ., Centro Strutt. Chim., Cons. Naz. Ric.)
- 7-1042 James Trotter. The crystal structures of some anthracene derivatives. IV. 9:1 dinitroanthracene. Acta cryst. 12, 232-236, 1959, Nr. 3. (10. März.) (Ottawa, Can., Na Res. Counc., Div. Pure Phys.)
- 7-1043 James Trotter. The crystal structures of some anthracene derivatives. V. nitroanthracene. Acta cryst. 12, 237-242, 1959, Nr. 3. (10. März.) (Ottawa, Can., Na Res. Counc., Div. Pure Phys.)
- 7-1044 A. K. M. Siddiq, Joykumar Saraogi and Shamsher Ali. On the space group 2-4-dinitroaniline. Acta cryst. 12, 248, 1959, Nr. 3. (10. März.) (Dacca, Pak., Uni X-ray Cryst. Lab.)
- 7-1045 E. Giglio and A. Ripamonti. Structure of s-triphenyltriazine. Acta cryst. 258-259, 1959, Nr. 3. (10. März.) (Bari, It., Univ., Ist. Chim.)
- 7–1046 **P. W. Teare.** The crystal structure of orthorhombic hexatriacontane C_{36} H Acta cryst. 12, 294–300, 1959, Nr. 4. (10. Apr.) (Welwyn Garden City, Herts, Engl. C. I., Plastic Div.)
- 7-1047 Sixten Abrahamsson. On the crystal structure of 2 DL-methyloctadecanoic at Acta cryst. 12, 301-304, 1959, Nr. 4. (10. Apr.) (Uppsala, Swed., Univ., Inst. Cher
- 7-1048 Sixten Abrahamsson. On the crystal structure of 2D-methyloctadecanoic ac Acta cryst. 12, 304-309, 1959, Nr. 4. (10, Apr.) (Uppsala, Swed., Univ., Inst. Cher
- 7-1049 **T. Watanabé, I. Taguchi** and **N. Masaki.** The crystal structures of a, ω -diphen poly-ynes. I. Crystal data. Acta cryst. **12**, 347—348, 1959, Nr. 4. (10. Apr.) (Osal Jap., Univ., Fac. Sci.)
- 7-1050 **D. A. Wright.** Crystal data of two substituted nickel ethylenediamine complex Acta cryst. 12, 348, 1959, Nr. 4. (10. Apr.) (Auckland, N. Zeal, Univ., Chem. Dep.)
- 7-1051 Ben Post. The cubic form of carbon tetrachloride. Acta cryst. 12, 349, 19 Nr. 4. (10. Apr.) (Brooklyn, N. Y., Polytechn. Inst.)
- 7-1052 W. C. Quené and F. Jellinek. Note on glutamic acid hydrochloride. Acta cry 12, 349, 1959, Nr. 4. (10. Apr.) (Utrecht, Netherl., Univ., Lab. Kristalchem.)

1053 Klaus Schäfer. Makroskopische Eigenschaften und atomare Struktur der Festrer. Z. Elektrochem. 63, 863-875, 1959, Nr. 8/9. (15. Okt.) (Heidelberg, Univ., pys.-Chem. Inst.) Es wird über die verschiedenen Bindungstypen und ihre Stabilität rallem hinsichtlich der Koordinationszahlen referiert. Auf Grund klassischer Vorstelngen werden Gleichungen abgeleitet, aus denen sich Dichte, Kompressibilität, Ebye-Temperatur, spezifische Wärmen, Dampfdruck u. a. letztlich aus den zwischendekularen Kräften, deren Größe aus dem zweiten Virialkoeffizienten abzuleiten ist, rechnen lassen. Am Beispiel des Argons vergleicht Vf. die berechneten mit experimenten Ergebnissen. Eine Ausdehnung der Vorstellungen auf den Schmelzvorgang führt Aussagen über Zusammenhänge zwischen der Gestalt und den Eigenschaften der Deküle, aus denen ein Festkörper aufgebaut ist, und seiner Schmelztemperatur.

30

Wuttig.

1054 Wayne B. Nottingham. Comments on "electrostatic potential crystals". Amer. J. ays. 26, 33-34, 1958, Nr. 1. (Jan.) (Cambridge, Mass., Inst. Technol., Dep. Phys., es. Lab. Electron.)

1055 Earl Callen. Further comments on "electrostatic potential in crystals". Amer. J. 1988, 26, 34-35, 1958, Nr. 1. (Jan.) (Fort Meade, Maryl., Nat. Secur. Agency, Phys. 1981.) Schön.

1056 Dean C. Douglass and David W. McCall. Self-diffusion in water. J. chem. Phys. 569, 1959, Nr. 2. (Aug.) (Murray Hill, N. J., Bell Teleph. Lab.) Nach der kernmagnechen Resonanz-Spin-Echo-Methode wurde bei 25,5°C der Koeffizient der Selbstdiffusion Protonen in verschiedenen $\rm H_2O-D_2O$ -Mischungen bestimmt. Die Daten stehen im niklang mit denen nach der ^{18}O -Indikator-Technik, aber im Widerspruch zu den Mittelerten für Wasserstoff- und Deuterium (Protiumdiffusion)-Diffusion. Vff. schließen, daß Wassermoleküle die diffundierenden Einheiten sind und Austauschvorgänge kaum de Rolle spielen. M. Wiedemann.

1057 R. C. Pastor. Crystal constituent effects. III. Partition of Ni⁺⁺. J. chem. Phys. 31, 4-518, 1959, Nr. 2. (Aug.) (Culver City, Calif., Highes Aircr. Co., Res. Devel. Lab.) wird eine phänomenologische Theorie der Verteilung eines Ions zwischen Mutterlauge d Kristall entwickelt. Für die Mischkristalle (Mg, Ni)SiF₆ · 6 H₂O, (Zn, Ni)SiF₆ · 6 H₂O, a, Ni)SiF₆ · 6 D₂O, (Zn, Ni)TiF₆ · 6 H₂O und (Cd, Ni)SiF₆ · 6 H₂O wurde für verschieme Ni-Konzentration in der Mutterlauge der Verteilungskoeffizient durch spektrotometrische Ni-Bestimmung ermittelt. Die Theorie ist auf diese Beispiele anwender. K hängt vom außer Ni verwendeten Kation ab, ist konstant über einen weiten unzentrationsbereich und bei gleichem Kation bei mit dem Fluorosilikat isotypischen lzen konstant.

1058 A.J.Melmed and D. O. Hayward. On the occurrence of fivefold rotational symmetin metal whiskers. J. chem. Phys. 31, 545-546, 1959, Nr. 2. (Aug.) (Chicago, Ill., viv., Inst. Study Met.) Aus Ni, Fe und Pt auf W-Unterlagen, aus Fe auf Fe und aus Pt Aquadag wuchsen bei Drucken von 10-6 mm bevorzugt "Schnurrbärte" (whiskers) t fünffacher Rotationssymmetrie, bei Drucken von 10-8 mm überwogen die normalen. ese Schnurrbärte dienten als Feldemittoren. Eine Struktur mit 5-facher-Symmetrie eine zentrale 110-Achse ist angegeben. Die Wachstumsart und die Ursache für das rkommen dieser Schnurrbärte mit fünffacher Symmetrie sind noch nicht ganz klar.

M. Wiedemann.

1059 P.B. Price. Twinning in cadmium dendrites. Phil. Mag. (8) 4, 1229—1241, 159, Nr. 47. (Nov.) (Bristol, Univ., H. H. Wills Phys. Lab.) An Cd-Kristallen, welche einer stark mit Cd-Dampf angesättigten Edelgasatmosphäre unter besonderen Begungen gewachsen sind, werden austretende Dendriten mit einer [1230] Zwillingsse und einer gemeinsamen (0001)-Zwillingsebene festgestellt. Angaben der experintellen Bedingungen für die Zwillingsbildung. Röntgenographische, optische und ktronenmikroskopische Untersuchung der Wachstumsformen. Beschreibung der manordnung in der Zwillingsebene. Angabe einer Beziehung zwischen der Zwillingsdung und dem Dendritenwachstum.

7-1060 Ernest J. Perry. Effect of adsorbed substances of high molecular weight on the growth of silver halide crystals. J. Colloid Sci. 14, 27-35, 1959, Nr. 1. (Febr.) (Rochester N. Y., Eastman Kodak Co., Res. Labs.) Vf. untersucht den Einfluß adsorbierter, hoch molekularer Substanzen auf das Kristallwachstum von Silberbromid, das einen geringe Anteil von Silberjodid enthält. Es muß dabei die Art der Schutzkolloidschicht beachte werden neben den bereits bekannten, zur Koaleszenz beitragenden Faktoren (Wirkum von Wachstumsbeschleunigern und die Wachstumshemnung durch die Schutzkolloidschicht). Der Einfluß folgender Schutzkolloide wird untersucht: Polyacrylamid Polyvinylalkohol (Elvanol 70-05), Polyvinylamin, substituiertes Polyvinylacetat um substituiertes Nylon. Der relative Beitrag der Koaleszenz-Reifung und der Ostwald Reifung zum Kristallwachstum kann sich in weiten Bereichen mit der Art der gebildete Schutzkolloidschicht ändern. Die Art der adsorbierten Schutzschicht wirkt sich nich nur auf das Kristallwachstum selbst, sondern auch auf die Morphologie der erhaltene Kristalle stark aus.

7-1061 N. Albon and W. J. Dunning. The observation of growth steps on sucrose crystals Acta cryst. 12, 219-221, 1959, Nr. 3. (10. März.) (Bristol, Engl., Univ., Dep. Phys Inorg. Chem.)

7-1062 K. Dornberger-Schiff. Relation of symmetry to structure in twinning. Acta cryst 12, 246, 1959, Nr. 3. (10. März.) (Berlin-Adlershof, Dtsch. Akad. Wiss., Inst. Strukturf. Schön.

7-1063 R. H. Wentorf jr. Condensed systems at high pressures and temperatures. J. phys Chem. 63, 1934—1940, 1959, Nr. 11. (Nov.) (Schenectady, N. Y., Gen. Elect. Res. Lab. Es werden die Bedingungen untersucht, unter denen bei hohen Temperaturen un Drücken stabile Stoffmodifikationen beim Übergang zu dem Normalzustand unveränder bleiben. Das Verhalten von Bornitrid und Kohlenstoff wird an Hand der Phasendia gramme eingehend besprochen. Die die natürlichen Diamanten begleitenden Stoffwie Quarz, Granat und Olivin, lassen den Schluß zu, daß diese Diamanten sich bei mit destens 55000 Atm und 1300° C gebildet haben. Diese Verhältnisse entsprechen eine Tiefe von 150 km. Die Untersuchungen geben so Aufschluß über den Zustand der tiefe ren Erdschichten.

7-1064 H. L. Suchan and H. G. Drickamer. Two pressure induced phase transitions i triglycine sulfate. J. chem. Phys. 31, 856, 1959, Nr. 3. (Sept.) (Urbana, Ill., Univ., Defichem., Chem. Engng.)

Schön.

7-1065 H. Jagodzinski. Struktur- und Phasenbegriff in Mischkristallen. Beitr. z. Physi u. Chemie d. 20. Jahrh. LISE MEITNER, OTTO HAHN, MAX V. LAUE z. 80. Geburtsta Friedr. Vieweg u. Sohn, Braunschweig, 1959, S. 188-209, (Würzburg, Max-Planck-Ins Silikatforsch.) Zunächst wird für den eindimensionalen Fall gezeigt, daß die Kleinwinke streuung in Mischkristallen weitgehend durch die homogene bzw. inhomogene Verteilur der statistisch geordneten Atome beeinflußt wird. Hier können schon die Schwankung erscheinungen endlicher Systeme einen Einfluß auf die Intensitätsverteilung haber Nach einer kurzen Betrachtung des ein- bzw. zweidimensionalen Ising-Modells un seinen Folgerungen für den dreidimensionalen Mischkristall, werden die Bedingunge für das Auftreten eines kritischen Punktes (Überstrukturbildung oder Entmischun angegeben. Es wird gezeigt, daß bestimmte Symmetrie-Eigenschaften des Problen die kritischen Punkte auslösen, da die symmetrisch gleichwertigen Lösungen erst extre große Strukturschwankungen ermöglichen. Daran anschließend werden nach Näh rungsverfahren ausgewürfelte Modelle für die Entmischung im quadratischen Ne (ONSAGER) angegeben. In der Nähe des kritischen Punktes zeigen sich sehr große Schwa kungen der Atomverteilungsfunktionen. An Hand dieses Modells werden die Schwieri keiten diskutiert, die für die Beurteilung der Frage, ob eine "Entmischung" vorlieg auftreten. Es wird darauf hingewiesen, daß die Begriffe "optische", "thermodynamische und "strukturelle Inhomogenität" usw. getrennt definiert werden müssen.

X. 12. Kristalle 1066 - 1069

-1066 Erwin W. Müller. Beobachtung von nahezu fehlerfreien Metallkristallen und von unktdefekten im Feldionenmikroskop. Z. Phys. 156, 399-410, 1959, Nr. 3. (23. Sept.) Jniversity Park, Penn., State Univ.) Es wird gezeigt, daß die Vollkommenheit der Oberäche der im Feldionenmikroskop feldverdampiter Metallkristalle nur von der Vollommenheit und Reinheit des Kristallinnern bestimmt wird. Alle Kristallbaufehler wie eerstellen, Fremdatome auf normalen oder auf Zwischengitterplätzen, Versetzungen nd damit verbundene elastische Spannungen und elektrische Ladungen beeinflussen die legelmäßigkeit der Oberfläche sehr. Es ergab sich, daß die Konzentration der Vernreinigungsatome nicht größer als h-3 sein darf, um das Auftreten der Fläche mit dem ndex h zu erlauben. Bilder von feldverdampften Kristallen werden gezeigt, wobei an ochreinem Pt und W die herausgebildeten Oberflächen erhalten wurden. An einem thodiumkristall konnten statistisch verteilte helle Flecken beobachtet werden, die als ingelagerte elastisch geladene Fremdatome angesehen werden, vermutlich sind es auerstoffatome auf Zwischengitterplätzen. Einwandfrei lassen sich in Platin Gittererstellen durch Glühen und Abschrecken erzeugen und einzeln sichtbar machen. Aus en Beobachtungen ergibt sich für die Fehlstellen eine Bildungsenergie von 1,15 eV.

960 .

-1067 Rudolf Sizmann und Helmut Wenzl. Die kalorimetrische Bestimmung der gepeicherten Energie in kaltbearbeiteten Kupferdrähten, Z. angew. Phys. 11, 362-365, 959, Nr. 9. (Sept.) (München, T. H., Lab. Techn. Phys.) In allen Einzelheiten wird eine pparatur beschrieben, mit der es möglich ist, die gespeicherte Energie von kaltverform-en Metallen zu messen. Bei dieser Kalorimeteranordnung benötigt man nur geringe laterialmengen im Gegensatz zu den bisher bekannten Apparaturen. Am Beispiel upfer wurden Erholungskurven und gespeicherte Energien bai variabler, zeitlich nearer Aufheizgeschwindigkeit an Proben von nur 1 g gemessen. Der Meßbereich erreckt sich von Zimmertemperatur bis 550°C. Die Aufheizgeschwindigkeit kann wischen 0,5 und 10°/min geregelt werden. Die Empfindlichkeit des Kalorimeters ist estimmt durch die kleinste Temperaturdisserenz, auf die die automatische Nachstellung es Heizstromes noch anspricht. Sie ist geringer als 1/100°C. An einem mit einem Verormungsgrad von 2,2 gezogenen Kupferdraht wurde eine gespeicherte Energie (Flächenitegral der Erholungskurven) von 1,4 cal/g Kupfer gemessen. Die Reproduzierbarkeit ieser Energiebestimmung bei einem Probengewicht von etwa 1 g war besser als 10%.

-1068 J. D. Eshelby. The elastic field outside an ellipsoidal inclusion. Proc. roy. Soc. A) 252, 561–569, 1959, Nr. 1271. (Birmingham, Univ., Dep. Metall.) Vf. hat seine üheren Betrachtungen (Ber. 37, 784, 1958) mit den vorliegenden Berechnungen ereitert. In allen Einzelheiten wird das elastische Feld außerhalb eines Einschlusses oder ner Inhomogenität untersucht. An Stelle des früher benutzten biharmonischen Potenals wird für einen verallgemeinerten Einschluß das harmonische Potential einer geissen Oberstächenverteilung eingeführt. Das elastische Feld außerhalb eines ellipsenrmigen Einschlusses oder Inhomogenität kann vollständig in Ausdrücken des harionischen Potentials eines Raumellipsoids gegeben werden. Die Lösung gibt daneben as Geschwindigkeitsfeld um ein Ellipsoid, das in einer viskosen Flüssigkeit homogen eformiert ist. Weiterhin konnte eine Verallgemeinerung für die Dehnungsenergie eines lipsenförmigen Bereiches, der einer Schubtransformation unterzogen war, für den Fall afgestellt werden, daß dieser Bereich elastische Konstanten hat, die unterschiedlich denen seiner Umgebung sind. In einem Anhang wird eine allgemeine Methode für die erechnung biharmonischer Potentiale gegeben; ein expliziter Ausdruck ist für das llipsoid erhalten.

-1069 B. Borelius. Contributions from thermal lattice defects to the expansion of solid ad liquid metals. Ark. Fys. 16, 119-128, 1959, Nr. 2. (Stockholm, Royal Inst. Technol.) n einer vorangegangenen Arbeit (1959) hat Vf. den Energieinhalt (E) von festem Ag. l, Au und Cu im einzelnen analysiert und die beobachteten Werte dafür als aus Summe on mehreren Einzelteilen bestehend gedeutet, $E_{beob.}=E_{vib}+E_{cl}+E_{I}+E_{I}$. Dabei ird $E_{
m vib}$ (infolge Vibration der Atome) angesetzt zu 3 RT - $E_{
m Z}+$ $E_{
m ZR}$ (VibrationsNullpunkts- und Rest-Nullpunkts-Energie); E_{el} Energie der freien Elektronen (kann bei der Deutung der Wärmeausdehnung vernachlässigt werden); E_I Energie der Gitterdefekt- und E_{II} die der Gitterleerstellen. Ist V_z das Volumen bei 0°K und V_0 das bei 0°C, so ist $(V-V_z)/V_0=a\,E_{vib}+b\,E_I+c\,E_{II}$. Abgesehen von den Verhältnissen bei sehr hohen Temperaturen lassen sich beobachtete Werte aus der Literatur durch diese Gleichung gut darstellen. Es ergibt sich, daß a, b und c von der gleichen Größenordnung, sind und daß b=2a. b selbst ist (Ausnahme bei Cu) etwa gleich dem Quotientem (relative Volumenänderung beim Schmelzen (bezogen auf V_0) durch Schmelzwärme), c etwa dem Wärmeausdehnungskoeffizient für "strukturellen" Anteil ($\alpha_{\rm str}$) durch die entsprechende Wärmetönung der Schmelze ($\alpha_{\rm str}$). Im geschmolzenen Zustand kann angesetzt werden: $\alpha_{\rm str}=1/V_0\cdot dV/dT-a$ 3 RT und $\alpha_{\rm str}=1/V_0\cdot dV/dT-a$ 3 RT und $\alpha_{\rm str}=1/V_0\cdot dV/dT-a$ 3 RT und $\alpha_{\rm str}=1/V_0\cdot dV/dT-a$ 4 RT und $\alpha_{\rm str}=1/V_0\cdot dV/dT-a$ 5 RT und $\alpha_{\rm str}=1/V_0\cdot dV/dT-a$ 6 RT und $\alpha_{\rm str}=1/V_0\cdot dV/dT-a$ 7 RT und $\alpha_{\rm str}=1/V_0\cdot dV/dT-a$ 8 RT und $\alpha_{\rm str}=1/V_0\cdot dV/dT-a$ 9 RT und $\alpha_{\rm str$

H. Ebert.

7-1070 Horst Seidel und Hans Christoph Wolf. Elektronen-Kern-Doppelresonanzen von F-Zentren in KCl bei Raumtemperatur. Naturwissenschaften 46, 597-598, 1959, Nr. 21. (Nov.) (Stuttgart, T. H., II. Phys. Inst.) Es wird der Nachweis erbracht, daß durch Anwendung der Elektronen-Kern-Doppelresonanzmethode von Feher (Ber. 36, 1392, 1925, 1957) es möglich ist, bei additiv verfärbten KCl-Kristallen (etwa 10¹⁸ F-Zentren procm³) wegen der relativ großen Relaxationszeit T₁ von etwa 10⁻⁵ sec schon bei Raumtemperatur die von Feher mit einfacher Elektronenspinresonanz bei 1,2°K erhaltenen Ergebnisse zu bekommen.

7-1071 Manfred Höhne. Zur Dipolrelaxation von Fehlstellenkomplexen in Silberhalogeniden mit Zusätzen. Z. Naturf. 14a, 760-762, 1959, Nr. 8. (Aug.) (Berlin, Dtsch. Akad. Wiss., Inst. Kristallphys.) Es wird die Abhängigkeit des tg & von der Temperatur für Silberhalogenide, hauptsächlich AgBr, mit Zusätzen untersucht. Es treten neben anderen stets zwei charakteristische Maxima, (A) und (B) auf. Dabei wird (A) den Komplexen Fremdion-Ag-Ion auf Zwischengitterplätzen zugeordnet. Diese Annahme wird durch die starke Abhängigkeit der Lage von (A) von der Art des Zusatzes gestützt. Bei Belichtung bei Zimmertemperatur nimmt die Höhe des Maximums (A) bzw. (B) stark ab bzw. zu. Die Assoziate Fremdion-Zwischengittersilberion werden also durch Bestrahlung weitgehend vernichtet, während gleichzeitig andere molekulare Zentren aufgebaut werden, die das Maximum (B) verursachen. Es wird gezeigt, daß es sich hierbei weder um ausgeschiedenes Silberkolloid noch um ausgeschiedene Zusätze handeln kann.

Zehler.

7-1072 E. Bode. Durch Versetzungen bedingte innere Reibung in Silber. Z. Naturf. 14a, 762-763, 1959, Nr. 8. (Aug.) (Darmstadt, T. H., Eduard-Zintl-Inst.) Es wurden Messungen an Feinsilber bei 203°C und 0,20 Hz mit dem Torsionspendel nach Kê durchgeführt. Der amplitudenabhängige Anteil der inneren Reibung Q-1, gemessen während des Abklingens nach einmaliger Anregung zu verschiedenen Anfangsamplituden, wurde aufgetragen als Funktion der maximalen Dehnungsamplitude ϵ_{max} , die in der "Rinde" des tordierten Drahtes auftritt. Die gemessenen Kurven zeigten zwei Merkmale 1. Q-1 ist reproduzierbar von derjenigen Amplitude abhängig, die zu Beginn der Messung angeregt wurde; 2. bei einer kritischen Dehnung, die offenbar mit steigender Anfangsanregung zunimmt, verschwindet QA. Die Meßkurven weisen hier einen Knick auf. Es ergab sich, daß sich nur etwa 5% der Versetzungen mit günstig gelegenen Gleitrichtungen oder etwa 2% aller vorhandenen Versetzungen am Prozeß des Gleitens und Losreißens beteiligen. Es wurden Gründe für die Abweichungen von der Theorie von Granato und Lücke (Ber. 36, 1127, 1957) diskutiert. Auch der Amplituden-unabhängige Anteil der inneren Reibung wird besprochen, wobei die Untersuchungen noch nich abgeschlossen sind. Röhm.

7-1073 F. Wahl. Klassische, nichtlineare Gitterstatik der Stufenversetzung. I. Theorie. Z. Naturf. 14a, 901-912, 1959, Nr. 10. (Okt.) (Stuttgart, T. H., Inst. theor. angew. Phys. Mittels eines minimalen Rechenaufwandes werden die stabilen Lagen des gestörter Gitters berechnet. Als Modell wird das (zwar instabile) einatomige kubische Gitter benutzt und die daran gewonnenen Überlegungen auf stabile Stufenversetzungen im Ionenkristall angewendet.

D. Hahn.

-1074 K. H. Westmacott, D. Hull, R. S. Barnes and R. E. Smallman. cources in quenched aluminium-based alloys. Phil. Mag. (8) 4, 1089-1092, 1959, Nr. 45. Sept.) (Harwell, A. E. R. E., Metall. Div.; Birmingham, Univ., Dep. Phys. Metall.) An einer Reihe von Al-Legierungen der Systeme Al-Ag, Al-Si, Al-Cu und Al-Mg werden die Ursachen für die Bildung von insbesondere Spiralversetzungen untersucht, lie nach einer Wärmebehandlung mit nachfolgendem Abschrecken beobachtet werden. In Reinaluminium treten sie nicht auf, während Legierungspartner, die das Al-Gitter tark stören, die Bildung fördern. Ebenso nimmt die Häufigkeit mit wachsendem egierungsgehalt und mit Verringerung der Abkühlungsgeschwindigkeit zu. Zwei Bildungsarten werden unterschieden: 1. Versetzungsringe von Quellen ausgehend weiten sich in den dichtest gepackten {111}-Gleitebenen radial durch Gleitung auf. Durch Aufnehmen von eingefrorenen Leerstellen wird aus der ursprünglich linienförmigen Versetzung eine in sich gewendelte Spiralversetzung. 2. Die Versetzungen bilden sich durch orismatisches Gleiten von prismatischen Versetzungen. Die Quellen für diese Veretzungen entstehen nach Kuhlmann-Wilsdorf durch Kondensation von Leerstellen n dichtest gepackten {111}-Ebenen. Dabei werden Stapelfehler erzeugt, die sich, durch eine Halbversetzung ausgelöst, in eine Gleitversetzung mit dem BURGERS-Vektor in der 011]-Richtung umwandeln. Sie können dann als FRANK-READ-Quellen dienen. Sie stellen jedoch nicht einen Teil des bei der Erstarrung gebildeten, ursprünglichen Veretzungsnetzes dar.

7-1075 Yosio Hiki. Internal friction of lead. II. J. phys. Soc. Japan 14, 590-596, 1959, Nr. 5. (Mai.) (Tokyo, Suginami-ku, Govern. Mech. Lab.) Die experimentell festgestellte Temperatur- und Amplitudenabhängigkeit der inneren Dämpfung von Bleicinkristallen (vgl. Ber. 38, 2260, 1959) wird an Hand der theoretischen Vorstellungen von Kranato und Lücke (Ber. 36, 1127–1296, 1957) diskutiert. Danach ist die innere Dämpfung verursacht durch dynamische und statische Hysterese bei der unter äußerer Beanspruchung erfolgenden Fluktuation eines Netzes von Versetzungslinien. Die Maschen dieses Netzes sind durch point-defects, z. B. Fremdatome, mehr oder weniger ixiert (pinned-down); als Träger des Netzes werden in diesem Falle Kohlenstoffatome ungeschen. Zustandsparameter des unvollkommenen Kristalles, z. B. Maschenweite les Versetzungsnetzes, Fremdstoffkonzentration und -diffusion, Aktivierungswärmen der Wanderungsvorgänge, werden abgeschätzt.

7-1076 T. D. Lee and F. Mohling. Possible determination of the helicity of elementary excitations in liquid He II. Phys. Rev. Letters 2, 284-285, 1959, Nr. 7. (1. Apr.) (New York, N. Y., Columbia Univ., Dep. Phys.) Vff. beschäftigen sich mit der Frage nach der Größe des Drehimpulses der Anregungsstufen — genannt "Phonon" und "Rotonen" — les flüssigen Heliums II. Es wird gezeigt, daß der Drehimpuls experimentell aus der Winkelverteilung inelastisch gestreuter, kalter Neutronen ermittelt werden könnte.

Kleinpoppen.

7-1077 G. A. Gamzemlidse. Der Landausche Korrekturfaktor bei der Bestimmung der Viskosität einer Flüssigkeit. Sh. exp. teor. Fis. 37, 855-857, 1959, Nr. 3. (Orig. russ.) Aus der NAVIER-STOKEsschen Gleichung für einen Stoß von Kreisscheiben (Radius R, Frägheitsmoment I) der in einer unendlichen Flüssigkeit (Dichte ρ) axiale Torsionschwingungen (Periode Θ) ausführt, erhält man zur Bestimmung der Viskosität die Gleichung $\gamma_0 = 4 \, \mathrm{I}^2 (\gamma - \gamma_0)^2 \Theta / \pi^3 \, \mathrm{R}^8 \rho \, \mathrm{N}^2$ (N Anzahl der Scheiben, γ und γ_0 Dämpfungsaktoren für Flüssigkeit und Vakuum). Zur Berücksichtigung des Einflusses des Zylindernantels der Scheibe führte Landau im Nenner einen Korrekturfaktor ($1+2\,\mathrm{d/R}$ + 2λ/R)² ein (d Dicke der Scheibe, λ Eindringtiefe der viskosen Welle). Vf. beschreibt ine experimentelle Methode zur Messung der Viskosität mit Hilfe schwingender scheiben, in der der Einfluß der Mantelfläche ohne Einführung eines solchen Korrekturaktors eliminiert wird. Die Methode wurde am He II überprüft. Hierbei läßt sich die Gültigkeit des Landauschen Korrekturfaktors überprüfen; es zeigt sich, daß er die Vertältnisse für Werte (d $+\lambda$)/R < 0,05 - 0,1 richtig beschreibt. Die entwickelte Methode ann allerdings den Teil der Dämpfung, der auf den Kanten der Scheibe beruht, nicht liminieren; diese Korrektur scheint aber klein zu sein, da bei allen Temperaturen die allein unter Eliminierung der Mantelfläche gewonnenen Viskositäten gut mit den theoretischen Daten für dünne Scheiben übereinstimmen. Vogel.

- 7-1078 B. T. Geilikman. Zur Frage nach den kritischen Geschwindigkeiten für die Strömung von He II in Kapillaren. Sh. exp. teor. Fis. 37, 891-892, 1959, Nr. 3. (Orig. russ.) Mit den Vorstellungen von Onsager und Feynman über Wirbelfäden läßt sich die Größenordnung für die kritischen Geschwindigkeiten bei der Rotation superfluiden Heliums in einem Zylinder sowie beim Ausströmen aus einer engen Kapillare in ein großes Gefäß richtig angeben. Im ersten Fall sind die Wirbelfäden zur Zylinderachse parallele Gerade, im zweiten Fall Ringe, die sich im Gefäß um die Kapillare bilden. Vf. zeigt, daß die gleiche Abschätzung für die kritischen Geschwindigkeiten auch beim Fließen von Helium durch eine lange Kapillare in Kraft bleibt. Die Wirbelfäden sind dabei geschlossene Kurven in Ebenen senkrecht zur Kapillarenachse. Der Drehimpuls der Flüssigkeit in diesen Fäden ist Null, dagegen parallel zur Kapillarenachse verschieden von Null. Aus einer Bedingung von LANDAU für die Energieänderung infolge der Bildung eines Wirbelfadens $\Delta E = E_w - p_w v$ (E_w und p_w Energie und Impuls des Wirbelfadens) folgt eine kritische Geschwindigkeit v_k = E_w/p_w (beim Auftreten eines Wirbelfadens verschwindet die Superfluidität). Die Größen E. und p. werden für kreisförmigen und rechteckigen Kapillarenquerschnitt berechnet. Die kritische Geschwindigkeit ist gleich h/ma, multipliziert mit einem von der Ouerschnittsform abhängigen Logarithmusausdruck (a. charakteristische Abmessung des Querschnitts). Ferner geht in den Logarithmus der Ouerschnittsdurchmesser d des Fadens ein; setzt man ihn nach Lifschiz und Pitajewski d = $2 \cdot 10^{-7}$, so ergibt sich für eine runde Kapillare mit r = 10^{-5} cm v_k = 80 cm/s, ebenso wie nach FEYNMAN. Vogel.
- 7–1079 **G. Borelius.** Phenomenological aspects of the λ -transition. Physica **24**, 183, 1958, Suppl. (Sept.) (Stockholm.)
- 7-1080 L. N. Cooper, R. L. Mills and A. M. Sessler. On the possible superfluidity of liquid ³He. Physica 24, 483, 1958, Suppl. (Sept.) (Columbus, Ohio State Univ.)
 V. Weidemann.
- 7–1081 W. I. Dianoff-Klokoff. Zur Frage der Entstehung des Spektrums des flüssigen komprimierten Sauerstoffs (12600–3000 Å). Opt. i Spektrosk. 6, 457–462, 1959, Nr. 4. (Orig. russ.) Unter Verwendung einer Spezialküvette wurde die Temperaturabhängigkeit der Absorptionsbanden des kondensierten Sauerstoffs bei konstanter Diehte gemessen. Die Ergebnisse stehen im Einklang mit der Voraussetzung, daß das Absorptionsspektrum des kondensierten Sauerstoffs im Gebiet 12600–3000 Å Dipolübergängen in "statistischen" $(O_2)_2$ -Komplexen beinahe vollständig entspricht. v. Keussler.
- 7-1082 J.S.Bobowitsch und T.P.Tulub. Temperaturabhängigkeit der Stokesschen Banden der Kombinationsstreuung in den Spektren einiger Festkörper. Opt. i Spektrosk. 6, 566 bis 569, 1959, Nr. 4. (Orig. russ.) Die Temperaturabhängigkeit der Intensität der RAMAN-Streuung von kristallinem und geschmolzenem Quarz, Flußspat, Silikat- und Borglas wurde im Temperaturbereich 300-550°K untersucht.
- 7-1083 A. Paoletti and M. Vicentini. Self diffusion in liquid In-Pb alloys. Nuovo Cim. (10) 14, 748-757, 1959, Nr. 4. (16. Nov.) (Roma, C. N. R. N., Div. Studi Richerche; Univ., Ist. Fis.) Die Diffusionskoeffizienten in den flüssigen Legierungen In + 0,5% Pb und In + 1,5% Pb werden unter Verwendung der Radioisotope 114 In und RaD(210 Pb) im Temperaturbereich von 522°K bis 847°K bestimmt. Der Diffusionsvorgang läuft dabei in Röhrchen mit 0,8 mm bzw. 1,5 mm Durchmesser ab. Die Diffusionskonstanten zeigen eine geringe Abhängigkeit vom Röhrchendurchmesser, den von den Vff. bereits an reinem In gefundenen wall-effect. Die Abhängigkeit ist jedoch nicht so groß, als daß sie bei der Berechnung der Aktivierungsenergien mit Hilfe der Arrheniusschen Gleichung berücksichtigt werden müßte. Die Diffusionsgeschwindigkeiten in den beiden Legierungen unterscheiden sich nur sehr wenig.
- 7-1084 V. P. Tsvetkov. An investigation of the temperature dependence of the structural diffusion coefficient. Soviet Phys.-Doklady 4, 410-412, 1959, Nr. 2. (Okt.) (Engl. Übers.

us: Proc. Acad. Sci. SSSR 125, 1235, 1959, Nr. 6.) (Voroshilovsk, Hearth-Metallurg. nst.) In einer Flüssigkeits-Modelltheorie auf quasikristalliner Grundlage von GLAUBERTANN (Ber. 38, 485, 1959 und die dort gegebenen Hinweise) tritt ein "Struktur-Diffusionskoeffizient" auf, dessen Temperaturabhängigkeit durch Anpassen der radialen Verteilungsfunktion an röntgenographisch gemessene Kurven für geschmolzenes Wisnut und Zinn bei mehreren Temperaturen ermittelt wird. Diese Strukturdiffusion entpricht demnach einem aktivierten Prozeß. Mit der so erhaltenen Temperaturabhängigeit dieses Parameters lassen sich die Molwärmen C_v errechnen, wenn zwei weitere Konstanten geeignet gewählt werden, wobei die eine als Dissoziationsenergie, die andere ls zwischenmolekularer Abstand gedeutet wird.

-1085 F. R. Morgan. Apparatus for the measurement of the mechanical properties of bres. J. sci. Instrum. 37, 25-27, 1960, Nr. 1. (Jan.) (Egham, Surrey, Brit. Leather Ianufact. Res. Assoc.)

Behnsch.

-1086 A. F. Stevenson and Hari L. Bhatnagar. Effect of anisotropy on light scattering y streaming freely flexible linear macro J. chem. Phys. 29, 1336—1339, 1958, Nr. 6. (Dez.) Detroit, Mich., Univ., Dep. Phys. and Dep. Chem.) Peterlin, Heller und Nakasaki etzen bei der Berechnung der Streuung von Makromolekülen in Strömungen mit Gerhwindigkeitsgefälle isotrope Kettenglieder voraus. Nimmt man statt dessen für jedes died eine axiale und eine von ihr verschiedene transversale Polarisierbarkeit an, so erbeben sich je nach Polarisationsrichtung des einfallenden Lichtes relativ zur Betrachungsrichtung und der Schwingungsebene vier verschiedene disserntielle Streuquerchnitte, die in der vorliegenden Arbeit berechnet werden.

Gast.

-1087 A. N. Sacharjewski und L. A. Fedin. Die Messung der Doppelbrechung von asern. Opt. i Spektrosk. 6, 701-703, 1959, Nr. 5. (Orig. russ.) Die Faser wird in ein nmersionsmedium mit entsprechendem Brechungsexponenten eingebettet und die ifferenz der Brechungsindizes mit Hilfe eines Polarisationsmikroskops interferometrisch emessen.

-1088 Karl Wisseroth. Das viskoelastische Fließverhalten in dimensionsanalytischer ehandlung. I. Kolloidzschr. 166, 10–14, 1959, Nr. 1. (Sept.) (Ludwigshafen, Bad. nilin-Soda-Fabr., Ammoniak-Lab.) Aus einer dimensionsanalytischen Behandlung erden Einblicke in das Fließverhalten viskoselastischer Systeme gewonnen, wobei beim bergang vom Newtonschen zum nicht-Newtonschen Verhalten das Ansprechen astischer Deformationsmöglichkeiten deutlich gemacht wird. Als Versuchsparameter ird bei viskoelastischen Systemen der Elastizitätskoeffizient z = 1/E gewählt. Für die apillare, die Lochblende, das Couette-Viskosimeter und das Höppler-Konsistometer gibt sich eine Fließbeziehung der Form dv/dr = $z^{(n-1)} \sigma^n/\eta$, die für n = 1 in den Newtonschen Ansatz übergeht (dv/dr Geschwindigkeitsgefälle, σ Schubspannung, η Vissistät).

E1089 Karl Wisseroth. Die Bestimmung des Elastizitätsmoduls viskoelastischer Systeme is rheologischen Messungen. II. Kolloidzschr. 166, 14—19, 1959, Nr. 1. (Sept.) (Ludgshafen, Bad. Anilin-Soda-Fabr., Ammoniak-Lab.) Aus dimensionsanalytischer Beundlung wurde für das Höppler-Konsistometer eine Fließgleichung abgeleitet, die bei skoselastischen Systemen die Berechnung des Elastizitätsmoduls erlaubt (vorst. Ref.). Azu wird von der Annahme ausgegangen, daß die Fließkurve von einem Newtonschen ereich mit n = 1 über ein Gebiet mit ansteigendem n in einen Bereich mit konstantem > 1 übergeht. Mit einer theoretischen Beziehung von W. Kuhn läßt sich aus dem Modul das Molekulargewicht berechnen. An zwei Polyäthylenproben wurde die Beziehung nachgeprüft. Es ergaben sich mit einem Gerät ähnlich dem Höppler-Konsistoteter Werte für E, die anderen Ergebnissen nicht widersprechen. Das Verhältnis der olekulargewichte der Proben wird richtig erhalten, die Absolutwerte stimmen jedoch eht ganz, da die Voraussetzungen der Theorie nicht erfüllt sind. W. Weber.

1090 B. Waeser. Polymerisationsinitiatoren. Kolloidzschr. 168, 57-64, 1960, Nr. 1. an.) (Elmshorn b. Hamburg.) Patentbericht. H. Ebert.

7-1091 Richard H. Boyd. Theoretical depolymerization kinetics in polymers having an initial "most probable" molecular weight distribution. J. chem. Phys. 31, 321-3281 1959, Nr. 2. (Aug.) (Wilmington, Dela., DuPont de Nemours Co., Exp. Stat., Polychem. Dep.) Die Gleichungen, die die Depolymerisation beschreiben, werden für der stationären Zustand eines Polymeren gelöst, das im Ausgangszustand die "wahrschein lichste" Molekulargewichtsverteilung hat. Dabei wird eine größere Reihe von Depolymerisationsmechanismen betrachtet. Die sich ergebenden allgemeinen Ausdrücke werden mit älteren Ergebnissen für einige Spezialfälle verglichen.

7-1092 L. Holland, Bombardment of plastics in a glow discharge. Nature, Lond. 1812, 1727—1728, 1958, Nr. 4625. (21. Juni.) (Crawley, Sussex, Edwards High Vacuum, Ltd., Res. Lab.) "Perspex", Polyäthylen, Polystyrol, mit Melamin vernetzte Epichlorhydrinharze und "Fluon" wurden in Luft oder Argon bei 5 kV und 0,13 mA/cmeiner Glimmentladung ausgesetzt. Bei einem Bombardement mit Elektronen wurden sämtliche Substanzen zerstört, während positive Ionen Abbau und Zerstäubung an der Oberstäche bewirken. Mit fortschreitender Einwirkung ergeben sich bei "Perspex" und Polyäthylen tiefe Ätzungen, was bei Polystyrol nicht beobachtet werden konnte.

D. Heinze.

- 7-1093 Allan S. Hoffman, E. R. Gilliland, E. W. Merrill and W. H. Stockmayer. Irradiation grafting of styrene to high pressure and low pressure polyethylene films. J. Polym. Sci. 34, 461-480, 1959, Nr. 127. (Jan.) (Cambridge, Mass. Inst. Technol.) Die Pfropfpolymerisation von verzweigtem Polyäthylen (DFD-4400, Bakelite) und von linearem Polyäthylen (Marlex 50, Phillips) mit Styrol wurde als Funktion der Dosis, Dosisleistung, Temperatur und Filmdicke untersucht. Die Bestrahlung erfolgte mit Co⁶⁰, wobei Polyäthylenfolien in das Monomere eingetaucht waren. Der Pfropfungsgrad steigt mit der Dosis und erreicht für 10 bis 20° C Bestrahlungstemperatur einem Endwert bei 228 000 rad/Std. Bei 40 und 70° C und 93 500 rad/Std. wächst der Pfropfungsgrad linear mit der Dosis. Nachelfekte sind um so ausgeprägter, je größer die Filmdicke, je höher die Kristallinität und je niederer die Bestrahlungstemperatur ist. Für den Mechanismus der Pfropfpolymerisation werden vor allem die Diffusionsgeschwindigkeit des Monomeren, die Dosisleistung und die Zahl der erzeugten freien Radikale pro Zeiteinheit verantwortlich gemacht.
- 7-1094 Gerald Oster, Gisela K. Oster and Harold Moroson. Ultraviolet induced crosslinking and grafting of solid high polymers. J. Polym. Sci. 34, 671-684, 1959, Nr. 127. (Jan.) (Brooklyn, Polytech. Inst.) Untersucht wurde die Vernetzung und Pfropfung von verzweigtem Polyäthylen (DYNH), linearen Polyäthylenen (Marlex 50, Phillips und Hyfax, Hercules), Polypropylen, Polyisobutylen u. a. mittels UV (200 bis 300 mµ) in Gegenwart von Sensibilisatoren, wie Benzophenon, Benzaldehyd, Acetophenon u. a. die die Wasserstoffabspaltung stark erhöhen. Die Vernetzungsdichte ergab sich im Gegensatz zu ionisierender Strahlung als unabhängig von der Kristallinität. Auf Polyäthylen das 0,25% Benzophenon enthielt, konnten nach einer Bestrahlung von 1 min mit einer Quecksilberresonanzlampe in einem Abstand von 1 cm nach einer Woche Lagerung 20% Styrol aufgepfropft werden.
- 7–1095 R. Dedeurwaerder et J. F. M. Oth. Enthalpie et entropie de fusion du polystyrolène isotactique. J. Chim. phys. 56, 940–945, 1959, Nr. 11/12. (Nov./Dez.) (Liège, Belg. Univ., Lab. Chim.-Phys.) Die Polymerisation von Styrol wurde mit einem Katalysatonach Ziegler in einer Mischung von Benzol, $Al(C_2H_5)_3$ in Heptan und TiCl $_3$ durchge führt. Mit einem Dilatometer wurde an diesem isotaktischen Polystyrol der Übergangerster Ordnung (Schmelzen) untersucht. Er trat bei 239,0 \pm 0,5° C ein. Zusatz von Benzophenol senkte die Schmelztemperatur um 1,4° C je ein Volumenprozent. Die Dichte des Verdünnungsmittels wie des Polymeren wurde in Abhängigkeit von der Temperatur pyknometrisch bestimmt. Je Mol Struktureinheit wurde aus der Erniedrigung des Schmelzpunkts die Enthalpie zu 2000 \pm 20 cal und die Entropie des Schmelzens zi 3,90 \pm 0,04 cal/Grad bestimmt. Der von der Volumenänderung herrührende Antei ΔS_{ν} liegt bei 1,3 cal/Mol Einheiten Grad; die Desorientierungsentropie beträgt demnact 1,3 cal/Mol Segmente Grad.

-1096 Osamu Saito. Effects of high energy radiation on polymers. II. End-linking and el fraction. J. phys. Soc. Japan 13, 1451-1464, 1958, Nr. 12. (Dez.) (Tokyo, Chuo Iniv., Fac. Engng.) Bedeutet σ die Wahrscheinlichkeit, daß sieh ein durch Kettenruch erzeugtes Kettenende mit der monomeren Einheit eines anderen Moleküls vernüpft, so ist für eine beliebige Ausgangsmolekulargewichtsverteilung die Bildung eines reidimensionalen Netzwerkes ausgeschlossen, wenn $\sigma < 0.25$. Die Theorie ermöglicht eiter die Angabe des mittleren Molekulargewichts und der Kettenenden im Verlauf der ernetzung. Der Gelanteil ist im Falle des Auftretens einer Zyklisierung kleiner als ohne e. Der Gelanteil steigt oberhalb des Gelpunktes rasch an.

-1097 Osamu Saito. Effects of high energy radiation on polymers. III. Viscosity. J. hys. Soc. Japan 13, 1465-1476, 1958, Nr. 12. (Dez.) (Tokyo, Chuo Univ., Fac. Engng.) m Gegensatz zur Löslichkeit bestrahlter Polymerer ist die Viskosität unterhalb des elpunktes unabhängig von einer evtl. auftretenden Zyklisierung des Polymeren. Die renzviskosität wird in Abhängigkeit von Quer- und Endvernetzung sowie von Kettenrüchen diskutiert. Die G-Werte für Vernetzung und Abbau lassen sich aus der Grenziskosität entnehmen. Die Berechnungen für Polyvinylchlorid ergeben sich in guter bereinstimmung mit auf anderen Wegen bestimmten G-Werten.

-1098 Osamu Saito. Effects of gamma rays on aqueous solution of polyvinyl alcohol. . phys. Soc. Japan **14**, 792 – 797, *1959*, Nr. 6. (Juni.) (Tokyo, Chuo Univ., Fac. Engng.) ine früher entwickelte Theorie des Vf. über die Wirkung energiereicher Strahlung auf olymere (J. phys. Soc. Japan **13**, 198, 1451, 1465, *1958*) wird auf das vorliegende System ngewandt und mit den Messungen von Danno (ebenda S. 722) verglichen (Eigenvisosität und Gelbildung in Abhängigkeit von der Dosis). In der wäßrigen Lösung von olyvinylalkohol tritt hiernach eine Vernetzung nur dadurch ein, daß sich die Enden er durch die Strahlung aufgebrochenen Ketten an andere Molekeln anlagern (endaking), wobei nur ein Ende der Bruchstelle aktiv ist. Der andere Fall, die kreuzweise ettenvernetzung (cross-linking), sowie die Degradation treten nicht auf.

-1099 Osamu Saito. Effect of impurity on molecular linking of irradiated polymer. phys. Soc. Japan 14, 798-806, 1959, Nr. 6. (Juni.) (Tokyo, Chuo Univ., Fac. Engng.) ie für reine Polymere entwickelte Theorie des Vf. (vorst. Ref.) wird auf Systeme ausdelint, die Verunreinigungen oder Zusätze enthalten. Als Verunreinigung spielt uerstoff die wichtigste Rolle. Es wird untersucht, in welcher Weise aus Messungen on Gelpunkt und Eigenviskosität des Systems mit Verunreinigung auf das Verhalten es reinen Poymeren gegen Bestrahlung geschlossen werden kann. Hierbei sind wiedern typische Unterschiede zwischen end-linking und cross-linking zu erwarten.

Meerlender.

1100 H. L. Frisch and J. L. Lundberg. A viscometric criterion of polymer polydisrsity. J. Polym. Sci. **37**, 123—129, *1959*, Nr. 131. (Mai.) (Murray Hill, N. J., Bell leph. Labs. Inc.) Ein Index für die Verteilungsbreite der Molekulargewichte eines olymers läßt sich aus dem Verhältnis der viskosimetrisch in zwei verschiedenen isungsmitteln erhaltenen Molekulargewichte ableiten. Der Dispersionsparameter δ rd $\delta(\mathbf{r}, \mathbf{s}) = \mathbf{z} \cdot \Delta(\mathbf{r} - \mathbf{s})/2$, wobei r und s die Grenzviskositätszahlen in den Lösungstteln r und s bedeuten, z eine empirische Konstante ist und $\Delta = (M_w/M_n) - 1$ wird. e Einfachheit, mit der der Index ermittelt werden kann, wiegt seine nicht sehr große nauigkeit auf. Es werden Erweiterungen des vorgeschlagenen Verfahrens diskutiert, zu einer Charakterisierung der Molekulargewichtsverteilung führen.

W. Weber.

1101 P. F. Onyon. Molecular weights and intrinsic viscosities of solution polymerized lyacrylonitrile. J. Polym. Sci. 37, 315-317, 1959, Nr. 131. (Mai.) (Birmingham, igl., Coll. Technol., Dep. Chem.) Für die Molekulargewichte Mw und Mu von Polyylnitril in Dimethylformamid werden bei 25° die Gleichungen $[\eta] = 2.33 \cdot 10^{-4} \, \mathrm{M_w}^{0.75}$ d $[\eta] = 3.92 \cdot 10^{-4} \, \mathrm{M_n}^{0.75}$ erhalten $([\eta]$ in dl/g). Die Gleichungen stimmen mit den gebnissen aus Lichtstreuungsmessungen überein; Unstimmigkeiten, die andere Autogefunden haben, werden der Arbeitsmethode zugeschrieben.

- 7-1102 N. Vene und G. Mohorčič. Viskosität und Lichtzerstreuung an Polyacenaphthylen lösungen. Rep. J. Stefan Inst. (jugosl.) 5, 71-79, 1958, Okt. Es wurden Fraktioner von Polyacenaphthylen ($M_{\rm w}$ zwischen $3\cdot 10^5$ und $1,7\cdot 10^6$) viskosimetrisch und durch Lichtstreuungsmessungen untersucht. Für den Zusammenhang zwischen der Grenz viskositätszahl [η] und dem Molekulargewicht $M_{\rm w}$ ergibt sich [η] = $3,2\cdot 10^{-2}\cdot M_{\rm w}^{0,57}$. Die Konstante Φ nach Flory wurde in guter Übereinstimmung mit sonst ermittelter Werten zu $2,0\cdot 10^{23}$ gefunden. W. Weber.
- 7-1103 Leonid Andrussow. Viskosität makromolekularer und kolloider Lösungen, ihr Konzentrations- und Temperaturabhängigkeit. Kolloidzschr. 166, 135-144, 1959, Nr. 2 (Okt.) (Paris.) Ähnlich wie Vf. die Temperaturabhängigkeit der Viskosität nach der Methode der "wahren Temperaturkoeffizienten" dargestellt hat, macht er einen Ansattfür die Konzentrationsabhängigkeit der Viskosität von Lösungen $\eta_{\gamma+d\gamma}/\eta_{\gamma}=[(\gamma+d\gamma)\gamma]\psi^*$. Es bedeuten η die Viskosität, γ Konzentration, ψ^* wahrer Konzentrationsexponent Zur Berechnung eignen sieh besser die mittleren Konzentrationsexponenten ψ nach $\eta_{\gamma}=\eta_{0}(\gamma/\gamma_{0})\psi$ mit $\psi_{\gamma}+\psi_{0}^*+a(\gamma-\gamma_{0})+b(\gamma-\gamma_{0})^2...$ Auf Zuckerlösungen und Makromoleküle wird die Methode angewendet und an Hand von Reihenentwicklunger und Kurven erörtert unter Berücksichtigung des Polymerisationsgrades, der Natur der Lösungsmittels und von Sättigungserscheinungen. Besonders wendet sich Vf. geger das Festhalten an dem Faktor 2,5 der EINSTEIN-Beziehung, der seiner Ansicht nach nicht dem experimentellen Befund entspricht, nicht einmal bei Kugelsuspensionen, wie an einer Reihe von Beispielen gezeigt wird.
- 7–1104 Junkichi Sohma. Ultrasonic velocity and adiabatic compressibility in polyelectrolyte solutions. J. Polym. Sci. 35, 429–440, 1959, Nr. 129. (März.) (Hakodate, Japan Hokkaido Gakugei Univ., Phys. Lab.) Nach der Methode der Ultraschallinterferometrie (relativer Fehler 0,1%) wurde bei 454 kHz die Schallgeschwindigkeit in Lösunger von Kaliumpolymethacrylsäureester als Funktion der Konzentration und der Temperatur gemessen. Gemeinsam mit Messungen der Dichte ergab sich die adiabatisch Kompressibilität. Die Zunahme der Schallgeschwindigkeit pro Konzentrationseinheit sowie die Abnahme der Kompressibilität pro Konzentrationseinheit zeigen bei sehr kleiner Konzentrationen unter Verwendung von Wasser als Lösungsmittel ein scharfes Maximum das bei KCl-Lösung als Lösungsmittel nicht beobachtet wird. Die Änderungen der Schall geschwindigkeit in der adiabatischen Kompressibilität lassen sich qualitativ auf Grund der Theorie der Polyelektrolyt-Lösungen von Oosawa verstehen.
- 7-1105 Samuel H. Maron, Nobuyuki Nakajima and Irvin M. Krieger. Study of ent anglement of polymers in solution by viscosity measurements. J. Polym. Sci. 37, 1-18 1959, Nr. 131. (Mai.) (Cleveland, Ohio, Case Inst. Technol., Dep. Chem. a. Chem Engng, Phys. Chem. Lab.) Es wurde das Fließverhalten von Lösungen einer Polystyrol probe in fünf verschiedenen Lösungsmitteln im Newtonschen und nicht-Newtonscher Bereich untersucht. Die Konzentrationen lagen zwischen 0 und 20 Gewichtsprozent, be Temperaturen zwischen 20 und 50°C. Aus den Parametern der Gleichungen nach de Theorie von Ree-Eyring wurde das vom Polymeren in der Lösung eingenommen essektive hydrodynamische Volumen ev erhalten, wobei v den Volumbruchteil de Polymer und & der Faktor des effektiven Volumens ist. Für ein gegebenes Lösungsmitte liegt ε zwischen $|\eta|/2$ bei v=0 und $\varepsilon=4$ für $\varepsilon v=1$, wo die Viskosität unendlich wird Oberhalb v = 0,04 ist \(\varepsilon\) unabhängig vom Lösungsmittel und nur eine Funktion de Konzentration, darunter nicht. Eine Verschlingung der Ketten kann nur im Bereic v < 0,4 eintreten, darüber wird das Polymermolekül gezwungen, durch Verknäuelun sein Volumen zu verkleinern. Dieser Prozeß wird fortgesetzt bis ev = 1 wird, in diesen Zustand nimmt das Polymer ein Volumen ein, das 2- bis 3mal und einen Querschnitt, de 1,26- bis 1,44mal so groß ist wie der im festen Zustand. W. Weber.
- 7-1106 W. R. Moore and A. M. Brown. Viscosity-temperature relationships for dilut solutions of cellulose derivatives. 11. Intrinsic viscosities of ethyl cellulose. J. Colloid Sci. 14 343-353, 1959, Nr. 3. (Juni.) (Bradford, Inst. Technol., Dep. Chem. Technol., Polyme Res. Labs.) Die Temperaturabhängigkeit der Grenzviskositätszahlen und andere Viskositätsparameter wurde von sechs Äthylzellulose-Fraktionen (Mw zwische 40000 und 140000) in mehreren Lösungsmitteln gemessen. Die Grenzviskositätszahle:

nehmen mit steigender Temperatur stark ab, die Abhängigkeit ist aunähernd linear. r Temperaturkoeffizient von [η] steht anscheinend in einem linearen Zusammenhang n Molekulargewicht. Der Exponent a der Gleichung [η] = K · Ma nimmt etwa mit · Temperatur ab, er liegt bei den untersuchten Lösungsmitteln bei 20° zwischen 0,81 d 0,89. Die Temperaturabhängigkeit von K ist wesentlich größer, und zwar steigt K t wachsender Temperatur an. Mit der theoretischen Behandlung nach FLORY wird e Erklärung des negativen Temperaturkoeffizienten von [η] versucht.

1107 M. M. Huque, M. Fishman and D. A. I. Goring. The sorption effect of cellulose nitrate in capillary viscosimetry. J. phys. Chem. 63, 766-768, 1959, Nr. 5. (Mai.) (Monal, McGill Univ.; Pulp a. Paper Res. Inst. Can.) Bei Zellulosetrinitratlösungen rde in mehreren Lösungsmitteln und verschiedenen Geschwindigkeitsgefällen bei r kleinen Konzentrationen ein Anstieg der Viskositätszahl gefunden. Aus den Verhen wird gefolgert, daß es sich nicht um eine Veränderung des Zustandes des Polyren handelt, sondern um einen Adsorptionseffekt, wie er auch von ÖHRN (Ber. 35, 78, 1956) vermutet wird. Es ergeben sich rechnerisch Adsorptionsschichten zwischen und 1000 Å. Für eine Adsorptionsschicht spricht die schlechte Reproduzierbarkeit ansteigenden Werte und die Verlängerung der Durchlaufzeit des reinen Lösungsttels nach einer Reinigung des Kapillarviskosimeters. Erst nach einer Reinigung mit romschwefelsäure wird die ursprüngliche Durchlaufzeit für das Lösungsmittel wieder nessen.

108 Kurt Hess, Ernst Gütter und Hans Mahl. Die elektronenmikroskopische Darlung der großen Längsperiode bei Perlon und ihre Beziehungen zur Kollagenstruktur. lloidzschr. 168, 37-49, 1960, Nr. 1. (Jan.) (Hannover, Lab. Mehl-Eiweißforsch., t. Strukturchem.; Oberkochen, Carl Zeiß, Abt. Elektronenopt.) Mit Hilfe des Eleknenmikroskops werden bei verschieden behandeltem Perlon nach Phosphor-Wolframire-Einlagerung im wesentlichen zwei Strukturperioden (d $\approx 70-100~{
m \AA}$ und d ≈ 40 50 Å) nachgewiesen, die gut mit Befunden der Röntgen-KW-Beugung überstimmen. Durch den monotonen Aufbau des Perlons aus einer einzigen Aminosäure-, die ihre Anordnung in der Kette eindeutig festlegt, scheint nunmehr bewiesen, das Auftreten von Perioden bei Proteid-Fasern nach Einfärbung mit einem optisch hten Material nichts mit periodischen Aminosäure-Sequenzen zu tun hat. Das für se Fasern gültige Strukturprinzip scheint ebenso wie das z. B. an Zellulose-Fasern l Polyvinyl-Alkohol-Fasern nachgewiesene Prinzip in einer Wechselfolge von geneten und ungeordneten Abschnitten begründet zu sein, die bei Perlon mit veriedenen Frequenzen auftreten können.

109 K. C. Ellis and J. O. Warwicker. Systematic absences and the X-ray diagram of ulose. Nature, Lond. 181, 1614-1615, 1958, Nr. 4623. (7. Juni.) (Manchester, sbury, British Cotton Ind. Res. Ass., Shirley Inst.) In einer Einheitszelle, die aus er asymmetrischen, zwei Untereinheiten enthaltenden Einheit besteht, kann das Nichttreten der ungeraden meridionalen Reflexe durch die asymmetrische Einheit selbst ingt sein, wenn die Untereinheiten identische Streuverteilung entlang der y-Richtung serachse) haben und ihr Abstand gleich der halben Ausdehnung der Einheitszelle in ichtung ist. Die hier vorgeschlagene Struktur der Cellulose kommt der von MEYER MISCH angegebenen sehr nahe.

110 C. C. Hsiao. Theory of mechanical breakdown and molecular orientation of a lel linear high-polymer solid. J. appl. Phys. 30, 1492-1497, 1959, Nr. 10. (Okt.) B.) (Minneapolis, Minn., Univ.) Für das Modell eines linearen hochpolymeren tkörpers wird die Theorie des mechanischen Zerreißens in Abhängigkeit von der ekularen Orientierung entwickelt. Vf. berechnet zuerst die statistische mittlere chspannung in der Umgebung eines Punktes im System beliebig orientierter idealer nente, ersetzt dann jedes einzelne Element durch das zweiparametrige Voigtlell und berechnet den Spannungstensor für dieses System. Durch Anwendung der orie der absoluten Reaktionsgeschwindigkeit werden die molekularen Prozesse

(Trennen und Neubilden von Elementverknüpfungen) berücksichtigt. — Zur Erleichterung der weiteren mathematischen Behandlung werden folgende vereinfachend Bedingungen eingeführt: 1. der Viskositätsterm (dashpot) im Voigt-Modell wird ver nachlässigt, d. h. das System besteht nur aus beliebig orientierten Federn; 2. Spannum und Verformung haben die gleiche Richtung. Unter diesen Bedingungen wird die Bruchspannung für den amorphen und den orientierten linearen hochpolymeren Feskörper berechnet. Experimentelle Ergebnisse am amorphen Polystyrol und partiel-kristallinen Polyäthylen zeigen für Raumtemperatur eine befriedigende Übereinstimmung. Bemerkenswert ist noch die Aussage, daß die maximale Bruchspannung des volständig orientierten linearen hochpolymeren Festkörpers das Sechsfache der maximale Bruchspannung des amorphen Polymeren beträgt.

7-1111 Kazuo Nagamatsu, Tatsuya Yoshitomi and Tatsuro Takemoto. On the visco elastic properties of crystalline polymers. I. Polytetrafluoroethylene. J. Colloid Sci. 18 257—265, 1958, Nr. 3. (Juni.) (Fukuoka, Japan, Kyushu Univ., Fac. Engng, Dep Appl. Sci.) Mit der Ferryschen Reduktionsmethode werden Zugspannungsrelaxationsmessungen analysiert. Polytetrafluoräthylen hat Umwandlungspunkte bei 19 und 25° (Der Umwandlungspunkt bei 25°C wird der Haupterweichung, derjenige bei 190°C Rotationsänderungen der Ketten in den kristallinen Anteilen zugeordnet. Das Relaxationszeitspektrum weist für kristalline Polymere charakteristische Züge auf.

D. Heinze.

- 7-1112 Kazuo Nagamatsu and Tatsuya Yoshitomi. On the viscoelastic properties of crystalline polymers. II. Polytrifluorochloroethylene. J. Colloid Sci. 14, 377-384, 1959, Nr. 4 (Aug.) (Fukuoka, Kyushu Univ., Dep. Appl. Sci., Fac. Engng.) Die Spannungsrelaxation von "Kel-F" wurde zwischen 6 und 80°C bei Dehnungen von maximal 0,5% mit de Torsionsmethode gemessen. Unter diesen experimentellen Bedingungen kann da Relaxationszeitspektrum nach der Ferryschen Reduktionsmethode ermittelt werden Bei 20° ergibt sich bei etwa 10¹⁸ sec ein scharfes und bei kürzeren Relaxationszeiten ein schwaches breites Maximum im Relaxationszeitspektrum. Der flache Verlauf der Kurv sowie die hohen Werte der Relaxationszeiten sind, wie frühere Versuche an Nylon und Polytetrafluoräthylen zeigen, charakteristisch für kristallisierende Hochpolymere bei welchen die Kettenbeweglichkeit durch die polykristalline Struktur stark erschwer ist.

 D. Heinze.
- 7-1113 J. Schurz. Interpretation of flow curves in terms of molecular properties. J. Colloid Sci. 14, 492-500, 1959, Nr. 5. (Okt.) (Graz, Univ., Inst. Phys. Chem.) Ewerden Fließkurven in der doppelt logarithmischen Darstellung nach Philippoff behandelt. Das Geschwindigkeitsgefälle D beim Wendepunkt der Fließkurve ist bemanchen Stoffen für verschiedene Konzentrationen konstant. Die Lage der Wendepunkte steht in deutlichem Zusammenhang mit dem Molekulargewicht.

W. Weber.

- 7-1114 Nishio Hirai and Henry Eyring. Bulk viscosity of polymeric systems. J. Polym Sci. 37, 51-70, 1959, Nr. 131. (Mai.) (Salt Lake City, Univ. Utah, Dep. Chem.) Di für den flüssigen Zustand entwickelte Theorie der Viskosität wird auf amorphe hoch polymere Systeme angewendet. Die isotherme Volumkontraktion, die Temperatur abhängigkeit der Scherviskosität sowie die fiktive Temperatur abgeschreckter hoch polymerer Substanzen stehen alle zur Viskosität in Beziehung und werden durch di vorliegende Theorie erklärt. Eine einfache Darstellung der Kompressibilität, des Elasti zitätsmoduls, des Schubmoduls, des thermischen Ausdehnungskoeffizienten und de spezifischen Wärme wird erhalten. Alle diese Größen sind bei der Diskussion der Viskosität notwendig. Die Theorie wurde mit den Versuchsergebnissen an Naturkautschul Polystyrol, Polyisobutylen und Polyester verglichen. (Zfg.)
- 7–1115 L. Turunen und B. Berndtsson. Einflüsse auf die Durchsichtigkeit von Glasfaser Polyester-Kunststoffen. Kunststoffe 48, 200–204, 1958, Nr. 5. (Mai.) (Mölndal-Göteborg Mittels Glühlampe und Photozelle wurden die verschiedenen Faktoren ermittel welche die Durchsichtigkeit beeinflussen. Die Durchsichtigkeit ist bestimmt durch di Lichtdurchlässigkeit und die Lichtstreuung. Die Durchsichtigkeit wird hauptsächlic

060

eeinflußt von Farbe und Brechungszahl des Kunststoffes (Polyesterharz, Soredur H, venska Oljeslageri AB, Göteborg) und des Glases, vom Temperaturkoeffizienten der rechungszahlen von Kunststoff und Glas, von der Benetzung des Glasfasermaterials it Kunststoff sowie von der Haftung zwischen Kunststoff und Glas und ferner von en Bindemitteln im Glasfasermaterial. Wachsende Imprägnier- und Härtungszeit eröhen die Lichtdurchlässigkeit und vermindern die Streuung. Auch der Einfluß der ärtungstemperatur, der Nachhärtungszeit, des Monostyrolzusatzes sowie der verendeten Katalysator- und Beschleuniger-Systeme auf die Durchsichtigkeit wurden tersucht.

D. Heinze.

The E.-G. Schlosser. Automatisch arbeitende Apparatur zur Oberflächenbestimmung uch BET. Chem.-Ing. Tech. (A) 31, 799—805, 1959, Nr. 12. (Dez.) (Frankfurt/Mainöchst, Farbw. Hoechst AG.) Es wird ein neues Verfahren und eine neue, automatisch beitende Apparatur zur Bestimmung der spezifischen Oberfläche von Pulvern und drösen Stoffen nach der Methode von Brunauer, Emmett und Teller beschrieben. Das r die Adsorption verwendete Gas strömt durch eine Kapillare aus einem Vorratsgefäß nier solchen Bedingungen ein, daß im Meßraum ohne Berücksichtigung der Adsorption zeitproportionaler Druckanstieg erzielt wird. Zwei genau gleiche, mit gleichen Einrömkapillaren versehene Meßkammern enthalten die Probe und ein Kompensationsblumen mit vernachlässigbarer Oberfläche. Registriert wird die Druckdifferenz wischen beiden Kammern als Zeitfunktion. Die Auswertung wird durch Benutzung von omogrammen vereinfacht. Der Gesamtfehler ist kleiner als ± 2%.

All 17 Roger Parsons. The relation between the capacity of the electrode double layer and the adsorption of surface-active material. Trans. Faraday Soc. 55, 999—1006, 1959, e. 6 (Nr. 438). (Juni.) (Bristol, Univ., Dep. Phys. Inorg. Chem.) Vf. prüft theoretisch e Möglichkeit zur Untersuchung der Adsorption oberflächenaktiver Substanzen der Metall-Lösungs-Grenzfläche durch Kapazitätsmessungen. Es wird geschlossen, ß nur für die einfachsten Isothermen die Kapazität oder ihr reziproker Betrag direkt oportional der adsorbierten Menge ist, dann auch nur in einem beschränkten Bereich. enn der elektrostatische Einfluß auf die Adsorption als Änderung der freien Enthalpie sgedrückt wird, kann man aus Ladungs-Potential-Kurven bei verschiedenen Konzentionen und sogar aus Kapazitätskurven nützliche Informationen erhalten. Für implexere Systeme ist eine numerische Integration notwendig.

1118 G. A. Wolff and J. D. Broder. Microcleavage, bonding character and surface acture in materials with tetrahedral coordination. Acta cryst. 12, 313—323, 1959, Nr. 4. D. Apr.) (Fort Monmouth, N. J., U. S. Army Sign. Res. Devel. Lab.) Schön.

1119 Werner Lippert und Heinz Schmellenmeier. Die Beeinflussung von festen verflächen durch eine ionisierte Gasatmosphäre. 111. Die Reduktion von oxydhaltigem nk durch H⁺. Exp. Tech. Phys. 6, 276—278, 1958, Nr. 6. (Neustrelitz, Akad. Wiss., einr.-Hertz-Inst. Schwingungsforsch., Leuna-Merseburg, T. H., Chem., Inst. Tech. Phys.) Vff. untersuchen die Abnahme des Oxydgehaltes einer Zinkkathode in einer asserstoffglimmentladung unter dem Einfluß des H⁺-Ionenbombardements. Die verndeten Zinkfolien, die einen Oxydgehalt bis zu 5% besitzen, werden elektrolytisch speziellen Bädern abgeschieden. Die experimentelle Anordnung der Entladungsparatur entspricht der in Teil II angegebenen. Es wird bei 0,5 Torr, einem Kathodenl von 700 V und einer Stromdichte von 0,4 mA/cm² gearbeitet. Die Abnahme des cydgehaltes wird durch Auflösen der Folie in Salzsäure und Bestimmung der entschenden Wasserstoffmenge gemessen. In Abhängigkeit von der einwirkenden Stromenge ergibt sich nach anfänglicher Abnahme des Oxydgehaltes eine Sättigung, d. h. dilstand der Reaktion. Die Ergebnisse werden diskutiert und lassen sich mit der Einzußhypothese von SEELIGER deuten.

1120 L. Roth und H. Schmellenmeier. Die Beeinflussung von festen Oberflächen rech eine ionisierte Gasatmosphäre. IV. Die Aufzehrung von Quecksilber durch Nickel. p. Tech. Phys. 6, 278—282, 1958, Nr. 6. (Leuna-Merseburg, T. H. Chem., Inst. h. Phys.) Es wird die elektrische Gasaufzehrung an der Kathode einer Glimm-

entladung in Quecksilberdampf untersucht. Als Kathodenmaterial dient Nickel. Die Entladung erfolgt in einem abgeschlossenen Glasrohr bei einem Sättigungsdampfdruck von 1 Torr, einem Kathodenfall von 2000 V und einer Stromdichte von 0,3 mA/cm² Die aufgezehrte Quecksilbermenge wird durch Erhitzen der Kathode wiedergewonner und mikroskopisch bestimmt. In Abhängigkeit von der geflossenen Strommenge er gibt sich nach annähernd linearem Anstieg der aufgezehrten Gasmenge eine Sättigung Die Ergebnisse werden diskutiert und fügen sich gut in den Rahmen früherer Autzehrungsmessungen anderer Autoren an Edelgasen ein. Roth.

7–1121 Ludwig Albert und Walther Jaenicke. Über das Nadelwachstum bei der Oxydation von Kupfer. I. Z. Naturf. 14a, 1040–1046, 1959, Nr. 12. (Dez.) (Karlsruher T. H., Inst. Phys. Chem. Elektrochem., Lab. Elektronenmikrosk.) Bleche aus Elektrolytkupfer wurden mit H₂ getempert und dann bei 300°C oder bei 500°C, also im Existenzbereich von CuO, oxydiert. Die Oberfläche wurde zur elektronenmikroskopischer Beobachtung mit Kohle schräg bedampft, die Kohlehülle abgelöst und Stereoauf nahmen davon gemacht. Die Längenverteilung der Oxydnadeln entsprach für ver schiedene Oxydationszeiten (1 bis 30 Minuten) dN/N d λ = ke- $k\lambda$, λ = Länge, k nimm mit steigender Versuchsdauer ab. Demnach wird das Nadelwachstum durch Inhibition unbekannter Art statistisch abgestoppt. Die Keimbildungsgeschwindigkeit dürfte proportional den durch mechanische Spannungen erzeugten Versetzungen sein. Für das Wachstum ist vermutlich die Oberflächendiffusiongeschwindigkeit bestimmend.

M. Wiedemann.

- 7-1122 Wolfgang Göring. Zur Abhängigkeit der Oberflächenspannung von der Bildungs und Alterungsgeschwindigkeit der Oberflächen. Z. Elektrochem. 63, 1069—1077, 1959 Nr. 9/10. (1. Dez.) (Karlsruhe, T. H., Inst. Phys. Chem. Elektrochem.) Die dynamisch Oberflächenspannung von destilliertem Wasser wurde nach der Methode der Flüssigkeits glocken gemessen: Ein Wasserstrahl traf senkrecht nach unten auf eine horizontale Kreisplatte zentral auf. Der Meridian der abströmenden Wasserhaut und das Spektrun der Interferenzstreifen wurde synchron photographiert. Die Hypothese, daß da Phänomen der Wasserglocke durch einen Flächenbildungs- und einen Alterungsvorgange bedingt ist, wurde bestätigt, sie vermag die Abhängigkeit der Oberflächenspannung die bis zu 150 dyn/cm erreichen kann, von der Bogenlänge der Meridiankurve wieder zugeben. Die Relaxationszeit des Alterungsvorganges wurde zu 0,0065 see bei 20°C bestimmt und ist molekültheoretisch nicht zu deuten.

 M. Wiedemann.
- 7-1123 Wolfgang Göring. Zur Deutung der Relaxation der Oberflächenspannung. Z. Elektrochem. 63, 1077—1081, 1959, Nr. 9/10. (1. Dez.) (Karlsruhe, T. H., Inst. phys. Chem. Elektrochem.) Die Relaxation der dynamischen Oberflächenspannung wird al überwiegend translatorischer Platzwechselvorgang in der Flüssigkeitsoberfläche gedeutet. Der Maxwellsche Relaxationsansatz wird auf den Phasengrenzflächenvorgang übertragen. An den Platzwechselvorgängen sind vielleicht quasi-kristallin nahgeordnet Flüssigkeitsbereiche beteiligt.

 M. Wiedemann.
- 7-1124 Edward W. Hart. Thermodynamics of inhomogeneous systems. 11. Phys. Rev (2) 114, 27-29, 1959, Nr. 1. (1. Apr.) (Scheneetady, N. Y., Gen. Electr. Res. Lab. Anstatt aus ortsveränderlichen Teilchendichten die Existenz von Grenzflächer energien abzuleiten (Teil I: Ber. 38, 2271, 1959), werden die expliziten Terme de Grenzflächenenergie hier in die virtuellen Prozesse einbezogen. Das führt zu einem isotropen Phasen symmetrischen Tensor, der die meßbaren Spannungen an irgendeine Stelle des Systems darstellt.
- 7-1125 N. Skogen. Increase of surface tension of certain solutions when brought into contact with hot gases. Amer. J. Phys. 26, 25-27, 1958, Nr. 1. (Jan.) (Blindern, Now Univ.)
- 7-1126 Ernest K. Chapin. Two contrasting theories of capillary action. Amer. J. Phys. 2 617-619, 1959, Nr. 9. (Dez.) (Manhattan, Kans., Univ.) Schön.

J. P. Hobson. First adsorbed layer of nitrogen on pyrex at 77.4°K. Canad. J. ys. 37, 1405—1413, 1959, Nr. 40. (Okt.) (Ottawa, Can., Nat. Res. Counc., dio a. Elect. Engng Div.) Mit einer Hochvakuumapparatur, aufgebaut auf Grund jüngsten Erfahrungen, und durch Heranziehen von Beobachtungen anderer Autoren defestgestellt, daß in der Nähe der Sättigung das Henrysche Gesetz, bei sehr niedria Drucken die Gleichung von Dubinin-Radushkwich (1957/58) gilt. Die Flächenleckung beträgt im letztgenannten Falle etwa 0,001 bis 0,3 einer Monoschicht. (Der uckbereich ist 40-8 bis 40-9 Torr.)

128 B. Tamamushi and K. Tamaki. Adsorption of long-chain electrolytes at the d/liquid interface. II. The adsorption on polar and non-polar adsorbents. III. The orption on ion-exchange resins. Trans. Faraday Soc. 55, 1007-1012/1013-1016, 9, Nr. 6 (Nr. 438). (Juni.) (Tokyo, Univ., Coll., Gen. Educ. Dep. Chem.) Vff. benmen die Adsorptionsisothermen langkettiger Elektrolyte (Dodecylammoniumorid, Dodecylpyridinbromid und Natriumdodecylsulfat) in wäßriger Lösung an aren oder unpolaren Adsorbentien (Al₂O₃, TiO₂, BaSO₄, CaF₂ und Kohleschwarz). sonders wird der Einfluß der Addition einfacher Salze (NaCl) und des pH-Wertes der flüssigen Phase untersucht. Die Adsorption erreicht in fast allen Fällen eine tigung bei einer Gleichgewichtskonzentration, die annähernd mit der kritischen nzentration für die Mizellenbildung der langkettigen Elektrolyte zusammenfällt. wird vermutet, daß an polaren Festkörpern zum Teil ionisierte (polare) Gruppen l zum Teil unpolare Kohlenwasserstoffgruppen des Elektrolyten adsorbiert werden. Kationenaustauschern (Amberlite IR 120 und Dowex 50, X-2) werden die Adptionsisothermen von Alkylammoniumchloriden, an Anionenaustauschern (Dowex 1, 1) diejenigen von Natriumdodecylsulfat bestimmt. Mit zunehmender Kettenlänge Alkylgruppen wird der Einfluß der Porengröße der Kunstharze stärker. Unter benmten, günstigen Bedingungen gehorcht die Adsorption homologer Verbindungen TRAUBEschen Regel. Die Adsorption der niedrigen Homologen ist hauptsächlich n Ionenaustauschtyp. Dagegen ist die Adsorption von Dodecylammoniumchlorid r Natriumdodecylsulfat als Überlagerung von Ionenaustausch- und van der Waalssorption anzusehen.

129 B. L. Harris. Adsorption. Engng Chem. 51, 340-343, 1959, Nr. 3. Teil II. irz.) Kurze Übersicht über die Entwicklungslinien und die im Jahre 1958 erschienene ir bekanntgewordene Literatur mit den Abschnitten: Industrielle Anwendungen, schromatographie, Untersuchungen flüssiger Phasen, Herstellung von Adsorbentien, schiedenes (Porosität, Oberflächengröße, Theorie, Energiebetrachtungen, Appauren).

130 T. Cummings, H. C. Garven, C. H. Giles, S. M. K. Rahman, J. G. Sneddon C. E. Stewart. Adsorption at inorganic surfaces. IV. Mechanism of adsorption of anic solutes by chromatographic alumina. J. chem. Soc. 1959, S. 535-544, Febr. asgow, Royal Coll. Sci. Technol.) Vff. untersuchen die Adsorption gelöster nichtscher und ionischer, organischer Verbindungen an Al₂O₃ (Savory und Moore Typ II, ie ein gröberes Pulver). Die Adsorption erfolgt hauptsächlich durch Bildung von sserstoffbindungen, durch Ionenaustausch oder durch Chelierung. In nicht-ionischen bindungen haben Gruppen, die Protonen abgeben können (z. B. -OH, -NH2 und ge aktivierte CH-Gruppen), die größte Affinität. Protonakzeptor-Gruppen werden wach adsorbiert, wahrscheinlich durch Bindung mit dem geringen Gehalt an Al(OH)3 Al₂O₃. Sulfonierte Azo-Farbstoffe werden durch Al₂O₃, das mit HCl vorbehandelt den ist, schnell adsorbiert. Die Reaktion besitzt einen sehr kleinen Temperaturffizienten und erfolgt wahrscheinlich durch Ionenaustausch. Trisulfonationen nen flach als monodisperse Schicht orientiert sein. Dagegen scheinen Mono- und Difonate teilweise als anionische Mizellen adsorbiert zu sein. Die Adsorption ist bei ımtemperatur in weniger als 5 min vollständig. Aus den Ergebnissen wird geschlossen, der geschwindigkeitsbestimmende Schritt der Austausch von Farbstoffanionen gegen rganische Anionen ist. Er erfolgt durch eine dünne Flüssigkeitsgreuzschicht, die die O3-Partikel umgibt. In den inneren Poren scheint nichts adsorbiert zu werden. ungsmittel mit einer Affinität für Wasserstoffbindungen zum gelösten Stoff oder

Adsorbens oder mit VAN-DER-WAALSscher Anziehung der gelösten Verbindung erniedrigen die Adsorption der gelösten Stoffe am $\Lambda l_2 O_3$. Vieth.

- 7–1131 J. M. Thorp. The dielectric behaviour of vapours adsorbed on porous solids Trans. Faraday Soc. 55, 442–454, 1959, Nr. 3 (Nr. 433). (März.) (London, Guy' Hospital Med. School, Biochem. Chem. Dep.) Vf. untersucht die Änderungen de scheinbaren Dielektrizitätskonstanten von Silica Gel, gemischtem SiO₂-Fe₂O₃-Gel und Al₂O₃ durch die Ad- und Desorption von Methanol, Äthanol und Wasser. Die Isothermei der Anfangsadsorption werden zur Berechnung der mittleren Porenradien und de spezifischen Oberflächen bestimmt. Bei allen Systemen zeigen die Isothermen und Kapazitätskurven (Gesamtkapazität von Adsorbens und Absorbat über der adsorbierter Menge) Hysterese, deren Beginn mit dem Anfang der Kapillarkondensation zusammen fällt. Diese erfolgt beim Al₂O₃ und dem Mischoxyd Gel nach der Adsorption eine monomolekularen Schicht, beim Silica Gel nach der Adsorption von zwei Schichten Die Kapazitäts-Hystereseschleife kehrt sich bei den Systemen von Al₂O₃ und dem Mischoxyd-Gel mit allen untersuchten Adsorbaten um, d.h. die Desorption erfolgt bei höherer Kapazitäten als die Adsorption, im Gegensatz zur Hysterese am Silica Gel. Die Er klärung der Hystereseerscheinungen wird an Hand der Theorie von J. FOSTER versucht Vieth.
- 7-1132 Terrell L. Hill. Relations between different definitions of physical adsorption J. phys. Chem. 63, 456-460, 1959, Nrl 4. (Apr.) (Eugene, Oregon, Univ., Dep. Chem. Es werden drei verschiedene Definitionen der physikalischen Adsorption für ein ideali siertes System aus einem klassischen einatomigen Gas im Kontakt mit einem Fest körper von mathematisch einheitlicher Oberfläche verglichen. Der Vergleich der dre Definitionen, d. h. der üblichen Definition "zweidimensionaler" Adsorption, eine mechanischen Definition für "gebundene" Molekeln und der korrekten Gibbssche Definition (adsorbierte Molekeln als Oberflächenüberschuß), erfolgt im Gültigkeitsbereich des Henryschen Gesetzes an Hand "effektiver" Molekelpotentiale zwischen Festkörpe und Gas. Die sich ergebenden Differenzen sind beachtlich. Die Gibbssche Definition wir auch in die Form einer exakten "zweidimensionalen" Virialentwicklung (Oberflächen druck entwickelt in Potenzen der Uberschuß-Oberflächendichte) gebracht und mit de angenäherten Virialentwicklung nach der "zweidimensionalen" Definition verglichen Die exakte "zweidimensionale" Behandlung führt nicht, wie allgemein angenommen, z einem Gesetz korrespondierender Zustände oder einem paarweise additiven, intermole kularen Potential. Vieth.
- 7-1133 Robert Gomer, Adsorption and diffusion of argon on tungsten. J. phys. Chem. 68 468-472, 1959, Nr. 4. (Apr.) (Chicago, Ill., Univ., Dep. Chem.) Es wird eine Feld emissionsmethode zur Untersuchung der Adsorption und Diffusion von Argon a Wolfram beschrieben. Die Erniedrigung der Austrittsarbeit von W durch die erst Adsorptionsschicht beträgt 0,8 Volt. Mit Hilfe der Emissionsabnahme durch weiter Adsorptionsschichten wird Mehrfachschichtenadsorption beobachtet. Abschätzunge der Adsorptionswärmen und der Aktivierungsenergie der Diffusion in der ersten mono molekularen Schicht sind angegeben. Das Verhalten der Mehrfachschichten wird a Hand ihrer physikalischen und elektrischen Eigenschaften diskutiert. (Zfg.). Vieth.
- 7-1134 Robert Gomer, Field desorption, J. chem. Phys. 31, 341-345, 1959, Nr. (Aug.) (Chicago, Ill., Univ., Inst. Study Met., Dep. Chem.) Es wird eine Theorie de Desorption unter Einfluß eines elektrischen Feldes entwickelt, die die kovalente wie di Ionenbindung umfaßt. Bei der ersteren folgt auf eine vollständige oder partielle normal Desorption die Feldionisation, im zweiten Fall handelt es sich um direkte Verdampfun von Ionen. Die Potentialkurven bei der Adsorption können an Hand der Felddesorptio diskutiert werden. Ba wird als Ba⁺ oder Ba⁺⁺ desorbiert. M. Wiede mann.
- 7-1135 S. N. Foner, F. A. Mauer and L. H. Bolz. Argon deposition on a 4.2° K surface J. chem. Phys. 31, 546-547, 1959, Nr. 2. (Aug.) (Silver Spring, Maryl., Univ., App Phys. Lab.; Washington, D. C., Nat. Bur. Stand.) Eine Au-Schicht auf einem Kupferblock wurde durch flüssiges Helium gekühlt. Argon wurde in Mengen von 5 ccm zu

0

assen mit einer Geschwindigkeit von 2 ccm/min entsprechend 75 Atomschichten/sec.

e Masse je Flächeneinheit wurde aus der Schwächung der 111-Reflexion der CuΚαrahlung bestimmt. Hieraus ergab sich ein Kondensationskoeffizient für Argon bei

PK von 0,60 ± 0,06.

M. Wiedemann.

1136 Arthur A. Evett. Hindered rotator model for adsorbed hydrogen at low temperates. J. chem. Phys. 31, 565-566, 1959, Nr. 2. (Aug.) (Tucson, Ariz., Univ., Dep. kys.) Die Erklärung SANDLERS für die Disterenz der ortho-para-Zusammensetzung des sorbierten Wasserstoss gegenüber dem Wasserstoss der Gasphase bei tiesen Tempeturen wird verseinert. SANDLER legte den Grenzfall des ebenen Rotors zugrunde. Vs. mmt einen gehemmten Rotor an und ermittelt die Frequenz der Schwingung entlang zur Obersläche senkrechten z-Achse. Die Schwingungsenergien und Trennsaktoren roden berechnet.

1137 Boris Imelik, Jeannine François-Rossetti et Paulette Sigli, Chimisorption de elques vapeurs et la décomposition sélective de l'acide formique par les gels de silice. J. im. phys. 56, 1048-1050, 1959, Nr. 11/12. (Nov./Dez.) (Paris, Sorbonne, Lab. Chim. n.) Zwei Silicagele wurden hergestellt, das Gel P wirkte wasserabspaltend und war sartig mit Mikroporen, das Gel Fa war ein Aerogel mit großen Poren und wasserstoffspaltender Wirkung. Die Adsorption von CO2, CO und H2 wurde volumetrisch untercht; CO wurde von keinem Gel chemisorbiert; CO2 nur von dem bei 800°C calcierten Fa zwischen 200-550°C in geringen Mengen und H, stark von diesem Gel ab 0°C. Die Adsorption von Wasserdampf und Ameisensäure wurde ebenfalls geessen. Die Infrarotspektren der adsorbierten HCCOH zeigten eine starke C=Ohwingung bei 1725 cm-1, eine Schwächung der C-H-Schwingungen und eine beutende Wechselwirkung der Gruppe Si-OH mit der HCOOH. Die OH-Bindung der neisensäure ist also durch die Adsorption besonders beeinflußt, daneben die C-Hndung. Diese Ergebnisse werden im Hinblick auf die selektive Wirkung des Katalytors diskutiert. M. Wiedemann.

138 R. A. Karpova and I. P. Tverdovskiî. Sorption of hydrogen by disperse palladiumper alloys. Sh. fis. Chim. 33, 1393–1400, 1959, Nr. 6. (Orig. russ. m. engl. Zfg.) eningrad.) Es wird die Löslichkeit von Wasserstoff in dispersen Pd-Cu-Verbindungen 24°C durch Bestimmung der Q-φ-Kurven untersucht. Die Löslichkeit nimmt mit chsendem Kupfergehalt monoton bis auf Null bei 66 At.-% Cu ab. Die Abschnitter Wasserstofflöslichkeits-Isothermen, die Phasenübergängen des reinen Palladiums tsprechen, werden durch die Addition von Kupfer kürzer und verschwinden bei At.-% Cu. Aus den Ergebnissen folgt, daß sich Cu im Bereich der Koexistenz von ei Phasen des Systems Pd-Cu zweiwertig verhält. Die Lösungswärmen des Wasserffs werden in Legierungen bis 20 At.-% Cu bestimmt. Mit wachsendem Kupfergehalt nen die differentiellen Lösungswärmen durch ein Minimum. (Zfg.)

1139 F. Wolf und H. Beyer. Über Änderungen der Oberflächenstrukturen von Kieselen durch Tempern bei höheren Temperaturen. Z. anorg. Chem. 300, 33-40, 1959, 1/2. (Mai.) (Wolfen, Kr. Bitterfeld, VEB Farbenfabrik, Anorg.-wiss. Lab.) Es reden Untersuchungen über die Änderung der Porendurchmesser, der inneren Oberche und des Strukturwassergehaltes von Kieselgelen durch thermische Behandlung schrieben und im Zusammenhang mit den Ergebnissen anderer Autoren gedeutet. I dieser Deutung stimmen gaschromatographische Messungen mit getemperten eselgelen als Adsorbens überein. (Zfg.).

140 P. Fejes, J. Király und G. Schay. Vereinfachte Methode zur Bestimmung der zifischen Oberstäche von porösen Adsorbentien. III. Isothermen von Furan bei 23°C; prstächenbedarf von Furan, n-Butan und i-Butan. Z. anorg. Chem. 300, 72-80, 1959, 1/2. (Mai.) (Budapest, Akad. Wiss., Chem. Zentralforschungsinst.) Die früher Alasz, Schay und Wencke, Ber. 37, 106, 1958) vorgeschlagene einfache Berechngsweise der spezifischen Oberstäche aus Isothermenmessungen erweist sich ebensolgreich, wie für den Fall von n-Butan bei 0°C, wenn man Furan als Adsorptiv verndet (Vorteil: Arbeiten bei Zimmertemperatur). Wenn man für die Umrechnung der

spezifischen Adsorptionswerte auf Oberflächen im Fall von Stickstoff bei 90°K m einem Flächenbedarf von 17 Å2 pro Molekel rechnet, so ist, wie aus den Vergleich: messungen hervorgeht, für n-Butan bei 0°C 53, für i-Butan bei ebenfalls 0°C 54 und fü Furan bei 23° C 42 Å2 einzusetzen: Diese Werte sind wesentlich höher, als die unter A1 nahme von kugelförmigen Molekeln aus der Flüssigkeitsdichte zu berechnenden, wa eindeutig auf spezifische Orientierungsessekte auf der Obersläche hinweist.

- 7-1141 C. Weaver and R. M. Hill. Intermetallic reactions and ageing effects in thin films Advanc. Phys. 8, 375-437, 1959, Nr. 32. (Okt.) (Glasgow, Roy. Coll. Sci. Technol Dep. Natur. Phil.) Nach einem kurzen geschichtlichen Überblick über Herstellung Aufbau und Anwendung dünner Metallschichten wird über Untersuchungen von inter metallischen Reaktionen und Alterungseffekten berichtet: Besprechung der Herstellun dünner Schichten. Theorie der Disfusion in dünnen Schichten und Einfluß der Struktu auf die Diffusion. Elektronenmikroskopische Untersuchung des durch Diffusion in de Trennfläche von 2 dünnen Schichten sich ausbildenden Mischkristallbereichs bzw. de intermetallischen Verbindungen an zahlreichen Systemen. Grenzen von Röntgenstrahl untersuchungen. Beobachtung von Alterungsessekten durch Messung des elektrischer Widerstandes und der Aushärtung dünner Schichten. Quantitative Ermittlung von Diffusionsparametern durch und längs dünner Schichten; es wird auf eine mikro kristalline Struktur der dünnen Schichten mit willkürlicher Orientierung der Kristallit geschlossen. Löschner.
- 7-1142 K. Chu and J. R. Singer. Thin film magnetization analysis. Proc. Inst. Radio Engrs, N. Y. 47, 1237-1244, 1959, Nr. 7. (Juli.) (Berkeley, Univ. Calif., Elect. Engr. Dep.) Diese besteht in einer graphischen Methode zur Bestimmung der Magnetisierungs richtung als Funktion der magnetischen Energie und der Hysteresisschleifen. Diskutier werden die Fälle der 180°-, der 90°-Magnetisierung und der Überlagerung der beide genannten Fälle. Gute Übereinstimmung mit experimentellen Ergebnissen liegt vor Auf die Bedeutung für elektronische Rechenmaschinen wird hingewiesen. Huber.
- 7-1143 O. S. Heavens, M. M. Brown and V. Hinton. The structure and density of iron films formed by thermal evaporation. Vacuum, Lond. 9, 17-20, 1959, Nr. 1. (März. (Englefield Green, Surrey, Univ. Lond., Roy. Holloway Coll.) Die Eisenfilme wurder durch Elektronenbombardement einer Eisenperle auf der (011)-Kristallebene von NaC niedergeschlagen, Kristalltemperatur; 470°C. Der Film ist monokristallin und besitz keine Poren bzw. Korngrenzen. Die Dickenmessung des Films erfolgte nach dem Auf lösen des NaCl interferenzoptisch. Die Massenbestimmung erfolgte nach einer kolori metrischen Methode. Als Dichte des Filmmaterials ergab sich ein Mittelwert von 7,9 ± 0,15 g/cm³, der sich von dem des Blockmaterials fast nicht unterscheidet.

K. H. Oertel.

7-1144 F. Schossberger and K. D. Franson. Adhesion of evaporated metal films. Vacuum Lond. 9, 28-35, 1959, Nr. 1. (März.) (Chicago, Ill. Inst. Technol., Armour Res. Found. Es wird eine Apparatur beschrieben, mit der der elektrische Widerstand aufgedampfte Aluminiumschichten (Träger: Glas) unter dem Einfluß des Abriebs gemessen wird, de fallende SiC-Partikel auf der unter 45° geneigten Schicht erzeugen. Die Widerstands (R)-Abriebszeit (tA)-Funktion wird für ideale Schichten berechnet; der Einfluß von In homogenitäten und Mischschichten an der Grenze zwischen Träger und Metall sowi der Filmdicke selbst wird diskutiert. Die größte Haftfestigkeit des Film wurde erzielt wenn der Träger beim Aufdampfen eine Temperatur von 175°C besaß. Die R-tA-Funktio hängt ab: 1. von der Vorbehandlung des Verdampfermaterials und 2. von der Temperdaue des Films in Sauerstoff nach dem Aufdampfen. Der Anlaßprozeß führt sowohl zu Oberflächenoxydation als auch zu einer Zwischenschichtverbindung zwischen Träge und Metall an der inneren Grenzfläche mit bevorzugten Reaktionsstellen.

K. H. Oertel.

7-1145 D. Mackay and P. Meares. On the correction for unstirred solution films in ion exchange membrane cells. Kolloidzschr. 167, 31-39, 1959, Nr. 1. (Nov.) (Old Aberdeen Scotland, Univ., Chem. Dep.) Bei Messungen der Diffusion durch eine Membran, di vei Lösungen verschiedener Zusammensetzung trennt, ist zu berücksichtigen, daß ich in den durch das Rühren nicht erfaßten Flüssigkeitsfilmen an beiden Membranterflächen ein Konzentrationsgefälle vorliegt. Es wird für den Spezialfall einer Ionenstauschermembran theoretisch abgeleitet, wie aus Messungen des Flusses von Ionen, ren Diffusionskoeffizient in der Membran zu ermitteln ist. Die abgeleiteten Beziengen werden experimentell geprüft.

v. Stackelberg.

1146 **R.** Ash and **R.** M. Barrer. Permeation of hydrogen through metals. Phil. Mag. 4, 1197—1206, 1959, Nr. 47. (Nov.) (London, Imp. Coll., Chem. Dep., Phys. Chem. dbs.) Theoretische Betrachtung des II-Flusses J (J = Zahl der transportierten Atome rich eine entsprechende Trennfläche pro Zeit- und Flächeneinheit) durch eine Metallembran der Dicke I. Ableitung einer Beziehung J = $F_1(p_1, p_2, \Theta_1, \Theta_2)/[(1/D) + F_2(p_1, \Theta_1, \Theta_2)]$, wo p_1 und p_2 der H_2 -Druck auf beiden Seiten der Membran ist und Θ_1 und angeben, inwieweit die beiden Membranoberflächen durch adsorbierten H bedeckt dd. Angabe einer mittelbaren Abhängigkeit zwischen Θ_1 und p_1 bzw. Θ_2 und p_2 . Abtung von Grenzwerten für J für sehr kleines p_2 und Θ_2 . Erklärung der Durchdringe des Metalles von H durch eine Theorie, die Prozesse an Phasengrenzen mit Diffusion rbindet, Voraussage beobachteter Erscheinungen. Interpretation eines beobachteten enzdruckes. Abhängigkeit der Durchdringungsgeschwindigkeit von p_1 mit $0 \le n \le 1$ d von 1 mit $-1 \le m \le 0$.

Joachim Stauff. Grenzen und Aufgaben der Kolloidchemie. Kolloidzschr. 168,
 1960, Nr. 1. (Jan.) (Frankfurt a. M.)

1148 B. B. Morgan and E. W. Meyer. Multi-channel photoelectric scanning instrument sizing microscopic particles. J. sci. Instrum. 36, 492-501, 1959, Nr. 12. (Dez.) eatherhead, Brit. Coal Utilisat. Res. Assoc.; London, Casella Ltd.) Behnsch.

1149 Satya Prakash and Alakh Dhari Pandey. The influence of ultrasonic waves on viscosity and stability of vanadium pentoxide sol. Kolloidzschr. 167, 39-41, 1959, 1. (Nov.) (Allahabad, India, Univ., Chem. Labs.) Es wurde die Ultraschalleinwirkung f das Vanadium-Pentoxyd-Sol untersucht. Die Schallfrequenz betrug 1 MHz und die hallintensität 225 W/cm². Nach der Beschallung der Proben ergaben sich höhere erte für die Wasserstoffionen-Konzentration und für die elektrische Leitfähigkeit. Everänderungen können durch eine Übersättigung mit Meta-Vanadinsäure oder rech die Bildung von Peroxyd-Vanadinsäure gedeutet werden.

150 Hans Knof und Alfred Klemm. Die Temperaturabhängigkeit der Elektrodosmose von Quecksilber. Z. Naturf. 14a, 1020–1023, 1959, Nr. 12. (Dez.) (Mainz, x-Planck-Inst. Chem.) In einem tangential gerichteten äußeren elektrischen Feld ten Kräfte an der Grenze zwischen Quecksilber und Wand auf, die das Hg zur thode transportieren. Die Versuche wurden in einer 100 cm langen U-förmigen pillare durchgeführt, an die Elektroden wurde Gleichspannung von 10–20 Volt zelegt. Die elektrokinetische Beweglichkeit, d. h. die Geschwindigkeit relativ zur 1000 dividiert durch die Feldstärke, des Hg betrug bei -20° C $1.7 \cdot 10^{-3}$ cm²/Vs, 1000 te bei 165° C ein Maximum von $10.7 \cdot 10^{-3}$ und sank auf $1.7 \cdot 10^{-3}$ bei $1.7 \cdot 10^{-3}$ cm²/Vs, 1000 die Theorie fordert, porportional $1.7 \cdot 10^{-3}$ und sank auf $1.7 \cdot 10^{-3}$ bei $1.7 \cdot 10^{-3}$ cm²/Vs, 1000 die Theorie fordert, porportional $1.7 \cdot 10^{-3}$ und sank auf $1.7 \cdot 10^{-3}$ bei $1.7 \cdot 10^{-3}$ cm²/Vs, 1000 die Theorie fordert, porportional $1.7 \cdot 10^{-3}$ und sank auf $1.7 \cdot 10^{-3}$ bei $1.7 \cdot 10^{-3}$ cm²/Vs, 1000 die Theorie fordert, porportional $1.7 \cdot 10^{-3}$ und sank auf $1.7 \cdot 10^{-3}$ bei $1.7 \cdot 10^{-3}$ cm²/Vs, 1000 die Theorie fordert, porportional $1.7 \cdot 10^{-3}$ und sank auf $1.7 \cdot 10^{-3}$ bei $1.7 \cdot 10^{-3}$ cm²/Vs, 1000 die Theorie fordert, porportional $1.7 \cdot 10^{-3}$ und sank auf $1.7 \cdot 10^{-3}$ bei $1.7 \cdot 10^{-3}$ cm²/Vs, 1000 die Theorie fordert, porportional $1.7 \cdot 10^{-3}$ und sank auf $1.7 \cdot 10^{-3}$ bei $1.7 \cdot 10^{-3}$ cm²/Vs, 1000 die Theorie fordert, porportional $1.7 \cdot 10^{-3}$ cm²/Vs, 1000 die Theorie fordert, porportional $1.7 \cdot 10^{-3}$ und sank auf $1.7 \cdot 10^{-3}$ bei $1.7 \cdot 10^{-3}$ cm²/Vs, 1000 die Theorie fordert, porportional $1.7 \cdot 10^{-3}$ cm²/Vs, 1000 die Theorie fordert, porportional $1.7 \cdot 10^{-3}$ cm²/Vs, 1000 die Theorie fordert, porportional $1.7 \cdot 10^{-3}$ cm²/Vs, 1000 die Theorie fordert, porportional $1.7 \cdot 10^{-3}$ cm²/Vs, 1000 die Theorie fordert, porportional $1.7 \cdot 10^{-3}$ die Theorie fordert, porportional

M. Wiedemann.

151 P. J. Napjus and J. J. Hermans. Electrophoresis, conductance, and viscosity of cous solutions of carboxymethylcellulose in the presence of sodium chloride. J. Colloid 14, 252—267, 1959, Nr. 3. (Juni.) (Leiden, Univ., Lab. Anorg. Fys. Chem.) Dictrophoretischen Beweglichkeiten von Carboxymethylcellulose (zwei Proben mit 64000 und 150000) wurden in mehreren isoionischen Lösungen in einem Tises-Svensson-Gerät gemessen und auf den Polymergehalt Null extrapoliert. Die extraterten Werte sind nahezu unabhängig von der Ionenstärke. Aus einem Vergleich mit en Theorien wird ein brauchbarer Wert für den Reibungsfaktor je Glukoseeinheit

gewonnen. Über die Viskositätstheorie von Brinkmann, Debye und Bueche erlaubder Reibungsfaktor eine Bestimmung des Radius der Makromoleküle (2,0 und 2,8 Å) Zwischen den experimentell bestimmten Leitfähigkeiten und solchen, die unter Ausschaltung von Relaxationsessekten nach der Theorie von Debye-Hückel berechnet wurden, besteht ein Unterschied von 15%. Die Abweichung rührt wahrscheinlich vom Einsluß der Viskosität her.

- 7-1152 E. S. Rajagopal. Time-variation of particle size distributions during coalescence dispersion and ultrasonic emulsification. Kolloidzschr. 167, 17-23, 1959, Nr. 1. (Nov. (Bangalore, India Inst. Sci., Dep. Phys.) Es wird ein Überblick über die Änderung de Teilchengröße während der Koaleszenz, Koagulation und Emulgierung gegeben. Fü einige Fälle werden die allgemeinen Gleichungen für die Änderung der Teilchengröß während der Koaleszenz gelöst. Die Ergebnisse werden mit den bekannten experimentel ermittelten Werten verglichen und der Stabilitätsfaktor und die Endgröße der Teilchen nach der Emulgierung diskutiert.
- 7–1153 Tetsuya Hanai, Naokazu Koizumi and Rempei Gotoh. Dielectric properties of emulsions. I. Dielectric constants of O/W emulsions. Kolloidzschr. 167, 41–43, 1959 Nr. 1. (Nov.) (Takatsuki, Osaka, Kyoto Univ., Inst. Chem. Res.) Die DK von Paraffin öl/Wasser-Emulsionen wird in Abhängigkeit von der Ölkonzentration (0 bis 85 Vol.-% gemessen. Die gefundene Abhängigkeit wird am besten durch die Gleichung von BRUGGE MAN wiedergegeben. Zur Messung müssen Wechselspannungsfrequenzen > 100 kHz verwendet werden, da andernfalls Störungen durch Elektrodenpolarisation auftreten Stackelberg.
- 7-1154 Hiroshi Kuno. Effect of density and viscosity of liquids on sedimentation volum of powder. Kolloidzschr. 166, 54-55, 1959, Nr. 1. (Sept.) (Tokyo, Keio Univ., Fac Engng, Dep. Appl. Chem.) Experimentell wird gezeigt, daß das Sedimentationsvolumer von gepulvertem Glas bei größer werdender Dichte der Trägerflüssigkeit ansteigt. Be Versuchen in Mischungen von Benzol mit Tetrachlorkohlenstoff tritt ein besonder starkes Ansteigen jeweils beim Übergang von der reinen Komponente zur Mischungauf. Die Viskosität hat normalerweise keinen Einfluß auf das Sedimentationsvolumen bei thixotropen Flüssigkeiten wie Natriumcarboxylmethylzellulose steigt es jedoc gleichfalls an.
- 7-1155 K. H. Schmitt. Untersuchungen an Schwebestoffteilchen im Temperaturfeld. 2 Naturf. 14a, 870-881, 1959, Nr. 10. (Okt.) (Mainz, Univ., Inst. angew. Phys.) V bestimmte in einem Schwebekondensator die Geschwindigkeit von Öltröpfen mit un ohne Temperaturgradient und untersuchte die Abhängigkeit vom Druck des Träger gases, vom Teilchenradius, von der Teilchensubstanz sowie von der Gasart. Ohn Temperaturgradient wurden die Konstanten des Widerstandsgesetzes für die Gase A N2, CO2 und H2 und für die Tröpfchensubstanzen Siliconöl M 300, PN 200, PH 30 und Paraffin bestimmt. Mit Temperaturgradient wurde an Tröpfehen, die klein gege die freie Weglänge waren, eine von WALDMANN (Ber. Nr. 3-430) angegebene Forme bestätigt. Zum Teil größere Abweichungen wurden zwischen den an gegen die Wes länge großen Tröpfehen gewonnenen Ergebnissen und einer Formel von Erstein (Be 10, 1653, 1929) gefunden. Die Messungen können als Grundlage für eines der zuverlässig sten Staubmeßgeräte, den Thermalpräzipitator, dienen, der den zu messenden Stau in einem Temperaturseld abscheidet. Bezüglich der Abscheidung seinster Stäube dürst keine untere Grenze bestehen. Wegen der Unabhängigkeit der Geschwindigkeit von Radius für kleine und große Teilchen läßt ein auf thermischer Basis arbeitendes Gera keine Trennung von Teilchen verschiedener Größe zu. Jörchel.

XI. Geophysik

7-1156 Hans-Joachim Born. Zur Frage der geochemischen Folgerungen aus den Hah schen Arbeiten über Mitfällungen. Beitr. z. Physik u. Chimie d. 20. Jahrh. LISE MEITNE

TO HAHN, MAX V. LAUE Z. 80. Geburtstag. Friedr. Vieweg u. Sohn, Braunschweig, 59, S. 130—134. (München, T. H., Inst. Radiochem.) Spurenbeimengungen spielen der Geologie eine wichtige Rolle als Leitelemente (analog den Leitfossilien). Die Erbnisse der Untersuchungen von HAHN und BORN über den Bleigehalt der Norddeuten Salzlager werden zusammen mit neueren Belunden über die Verteilung von hwermetallspuren in den Salzablagerungen diskutiert. Es wird gefolgert, daß Blei otz seiner geringen Konzentration ein sehr geeignetes und ziemlich einfach zu bemmendes Leitelement ist. Die verschiedenen Erklärungen der Salzverfärbung werden rglichen und der Vorschlag von Przibram, das He³/He⁴-Verhältnis im blauen Steinzu zu bestimmen, unterstützt.

1157 Herbert Heinrich Brömer. Untersuchung des "Auroral Afterglow" und seiner äparationsstadien. I. Präparation der Entladungsrohre und Meβapparatur. Z. Phys. 157, 1–612, 1960, Nr. 5. (8. Jan.) (Braunschweig, T. H., Phys. Inst.) Es wird eine speelle Apparatur zur Erzeugung und Untersuchung des auroral afterglow beschrieben. De benutzten Entladungsgefäße waren mit Gemischen von Stickstoff und Sauerstoff füllt und präparierten sich durch langdauernde, stromstarke Entladung. Über diese äparation, in deren Verlauf nacheinander das air afterglow, das NO- und Lewistyleigh-Nachleuchten und das auroral afterglow erscheinen, wie die reproduzierten ektren zeigen, wird im einzelnen berichtet. Zur Messung des Intensitätsverlaufes verheiedener Emissionen obiger Nachleuchtformen wird eine photoelektrische Anordnung gegeben, die Messungen über mehrere Zehnerpotenzen der Intensität erlaubt. Als hispiele werden Messungen des Intensitätsabfalles von ersten negativen Banden des und ersten positiven Banden des N₂ im auroral afterglow dargestellt.

1158 M. H. Rees and G. C. Reid. The aurora, the radiation belt and the solar wind. A ifying hypothesis. Nature, Lond. 184, 539—540, 1959, Nr. 4685. (15. Aug.) (College, aska, Univ., Geophys. Inst.) Die geomagnetische Breitenänderung der in der ersten asse von Polarlichtern auftretenden Wasserstoffennission wird auf die Wirkung des ERMANNschen solaren Windes auf die VAN ALLEN-Protonengürtel zurückgeführt. ese sollen bei entsprechender solarer Windstärke, "überlaufen". Kiepenheuer.

1159 M. H. Rees and Wm. A. Rense. Note on the cause of ionization in the F-region. geophys. Res. 64, 1251—1255, 1959, Nr. 9. (Sept.) (College, Alaska, Univ., Geophys. st.; Boulder, Col., Univ.) Photoionisation von O-Atomen durch die He II Resonanzie 304 Å sollte nach spektrographischen Raketen-Messungen eine wesentliche Rolle der F1-Schicht spielen. Die Intensität in 212 km Höhe war 0,83 erg cm⁻²s⁻¹. Theorische Berechnung (mit effektivem Rekombinations-Koeffizienten 4·10⁻⁹ cm³s⁻¹) het auf die im Ionogramm beobachtete Elektronendichte. Die Intensität im Scheitel r Atmosphäre wird zu 15 erg cm⁻²s⁻¹ geschätzt. Auch die Aufheizung der F-Region irde durch die beobachtete Intensität erklärt.

1160 George C. Reid and Harold Leinbach. Low-energy cosmic-ray events associated th solar flares. J. geophys. Res. 64, 1801-1085, 1959, Nr. 11. (Nov.) (College, Alaska, niv., geophys. Inst.) Bei der Beobachtung kosmischen Rauschens und seiner Dämpfung der Ionosphäre wurden verschiedene außergewöhnliche Dämpfungseffekte beachtet. Der Effekt Typ III wird ausgelöst durch solare Protonen, die bei größeren uptionen ausgestoßen werden. Ein Dämpfungsmesser, der bei 27,6 MHz arbeitet, ist her ein empfindlicher Detektor für energiereiche Protonen, die bis in 50 km Höhe er tiefer gelangen. Zwischen Mai 1957 und Juli 1959 wurden in College (Alaska) Effekte vom Typ III beobachtet. In neun Fällen wurde der Einfall solarer Protonen rch Messungen in Ballonsonden oder Satelliten bestätigt. — Bei 18 dieser Effekte die Lage der Eruption mit ziemlicher Sicherheit bekannt, 12 lagen westlich des ntralmeridians. Wahrscheinlich können Protonen von der westlichen Sonnenhälfte olge eines interplanetarischen Magnetfeldes leichter zur Erde gelangen. - In Farewell, südlicher als College, wurden Effekte vom Typ III seltener und schwächer beobachtet; ungewöhnlich starken magnetischen Stürmen wurde sie auch 7° südlicher festgellt. In höheren Breiten ändert sich der Effekt praktisch nicht. Vielleicht werden die

Protonen bei starken magnetischen Stürmen in Äquatornähe aus dem interplanetari schen in das irdische Magnetfeld eingeschleust.

- 7-1161 A. Kavadas and D. G. Glass. Polarization of radar echoes from aurora. Canad. J. Phys. 37, 690-697, 1959, Nr. 6. (Juni.) (Saskatoon, Sask, Univ., Inst. Upper Atn. Phys.) Radarechos hoher Frequenz enthalten außer einem unpolarisierten Anteil ein linear polarisierte Komponente, die mit dem Erdmagnetfeld korreliert ist. Heilig.
- 7-1162 E. N. Parker. Auroral phenomena. Proc. Inst. Radio Engrs N. Y. 47, 239-247 1959, Nr. 2. (Febr.) (Chicago, Ill., Univ., Enrico Fermi Inst. Nucl. Studies.) Interessante Diskussion der Theorie der Polarlichter unter besonderer Berücksichtigung de neueren Vorstellungen von Biermann und Parker, worin das gut leitende, interplane tare Plasma eine entscheidende Rolle spielt. Partikel-Beschleunigung durch einen Fermi Mechanismus beim Anlaufen der Plasmabewegung gegen die Lorentz-Kraft.

Rawer.

- 7-1163 Benjamin Nichols. Auroral ionization and magnetic disturbances. Proc. Inst. Radio Engrs. N. Y. 47, 245-254, 1959, Nr. 2. (Febr.) (Ithaca, N. Y., Cornell Univ School Elect. Engng.) Zusammenfassung der Radar-Beobachtungen von Polarlicht Erscheinungen und ihrer Ergebnisse. Bewegungserscheinungen im Polarlichtbereich un normale, ionosphärische Drift.

 Rawer.
- 7-1164 A.W.Harrison and A. Vallance Jones. Observations of Meinel N_2^+ bands near 1.5 μ in the auroral spectrum. J. atmos. terr. Phys. 13, 291-294, 1959, Nr. 3/4. (Saska toon, Saskatchewan, Cam., Univ., Phys. Dep.) Vff. haben die Intensitäten der 0-1- un 1-2-Meinel-Banden bei 1,46 μ und 1,53 μ vermessen. Die maximalen absoluten Hellig keiten dieser Banden entsprachen 148 und 426 kR (Kilorayleigh). Vff. glauben, da die außerordentlich hohe Intensität der 1-2-Bande vor allem durch Zusammenstöß mit 0+-lonen frei wird. Die Helligkeitsschwankungen bei 1,59 μ können nach Vff. de 2-3 N_2 +-Bande zugeschrieben werden. Dem scheint aber nach Vff. die große Helligkeit zu widersprechen. Eine Zuordnung der beobachteten Strahlungsintensitäten bei 1,61 war Vff. nicht möglich.
- 7-1165 E. B. Armstrong. The temperature in the atmospheric region emitting the night glow OI 5577 line and in regions above faint auroral arcs. J. atmos. terr. Phys. 13, 205-216 1959, Nr. 3/4. (Belfast, Queen's Univ., Dep. Appl. Math.) Die Messungen wurden millife eines Fabry-Perot-Interferometers durchgeführt. Die errechneten Temperature für den Bereich des Nachthimmelleuchtens in etwa 95 km Höhe ($\lambda=5577$ Å) lage zwischen 180° und 220° K. Der wahrscheinlichste Wert ist 190° K. Vf. schließt darau daß die Temperatur im darunterliegenden Minimum, d. h. in 80-85 km Höhe, nur etwa 150° K betragen kann. Über schwachen Nordlichtbögen lagen die gemessenen Temperaturen zwischen 310° und 540°, Eine Übersicht der bisherigen spektroskopische Daten wird gebracht (32 Zitate).
- 7-1166 Franklin E. Roach. The night airglow. Proc. Inst. Radio Engrs N. Y. 4267-271, 1959, Nr. 2. (Febr.) (Boulder, Col., Nat. Bur. Stand.) Übersicht über Be obachtungsergebnisse zum Nachthimmellicht, insbesondere bei Panorama-Beobachtung Beziehungen zum Polarlicht.

 Rawer.
- 7-1167 **J.** Connes et H. P. Gush. Spectroscopie du ciel nocturne dans l'infrarouge petransformation de Fourier. J. Phys. Radium **20**, 915—917, 1959, Nr. 11. (Nov.) (Bellevu C. N. R. S., Lab. Aimé-Cotton.) Der kurze Bericht gibt das Schema der Versuchsar ordnung und Spektrogramme des Nachthimmels im Gebiet von $1/\lambda = 5650$ bis 6500 cm für den 6. XII. 1958 um 22 Uhr und den 7. III. 1959 um 19.30 Uhr an. Mönch.
- 7-1168 C. O. Hines. Turbulence at meteor heights. J. geophys. Res. 64, 939—940, 1950 Nr. 8. (Aug.) (Ottawa, Can., Def., Res. Board, Def. Res. Telecom. Est., Radio Phy Lab.) Zur Erklärung der optisch und radioelektrisch beobachteten ionosphärische Turbulenz werden zwei Turbulenzreihen angenommen: eine langperiodische, die durc den Gravitationseinfluß anisotrop ist, und eine kurzperiodische, isotrope. Rawer.

9 .

1169 F. D. Stacey. The possible occurrence of negative nitrogen ions in the atmosphere. geophys. Res. 64, 979-981, 1959, Nr. 8. (Aug.) (Canberra, Austral. Nat. Univ., pophys. Dep.) Negative Stickstoff-Ionen N₂- sind in Leitfähigkeits-Zählern mit ssigem Argon festgestellt worden (WILLIAMS, R. L., Ber. 37, 706, 1958). Der Einfangerschnitt von N₂ für Elektronen wird zu 2·10-²³ m² abgeschätzt. Die Bildung etastabiler) N-2- und N₄--Ionen könnte die Druck-Abhängigkeit des beobachteten kombinationskoeffizienten erklären. Es wird vermutet, daß verschiedene negative nen in der Ionisierungsbilanz der F-Region eine Rolle spielen.

1170 Herbert Friedman. Rocket observations of the ionosphere. Proc. Inst. Radio grs N. Y. 47, 272-280, 1959, Nr. 2. (Febr.) (Washington, C. D., U. S. Naval Res. b.) Übersicht der amerikanischen Meßergebnisse: Elektronendichtemessung, Art der nen, solare, ionisierende Strahlung (normale und bei Eruptionen), Strahlung des chthimmels, interplanetarer Wasserstoff.

M171 Warren W. Berning. Earth satellite observations of the ionosphere. Proc. Inst. dio Engrs N. Y. 47, 280 -288, 1959, Nr. 2. (Febr.) (Aberdeen Proving Ground, aryland, Ballistic Res. Labs.) Erkenntnisse über die Ionosphäre durch Studium des BADAY-Effekts, der ionosphärischen Brechung und der Korrektur des Dopplerekts.

Rawer.

1772 W. W. Witkiewitsch und J. L. Kokurin. Untersuchungen über Winde und Innogenitäten in der Ionosphäre mit Hilfe radioastronomischer Methoden. Radiotech. i ektronika 4, 17—20, 1959, Nr. 1. (Jan.) (Orig. russ.)

Marcel Nicolet. Collision frequency of electrons in the terrestrial atmosphere. ys. Fluids 2, 95–99, 1959, Nr. 2. (März/Apr.) (University Park, Pennsylvania te Univ., Ionosphere Res. Lab.) Die frühere Berechnung des Vf. (J. atm. terr. ys. 3, 200, 1953) wird an die neuerdings von Kane bei Raketen-Aufstiegen gemessel Daten angepaßt. Dazu wird der (konstant angenommene) Stoßquerschnitt von auf 15 Å herabgesetzt, damit wird die Stoßzahl zwischen Elektronen und Neutralchen: $\nu_{\rm em}$ /Hz = 3,5 · 109 (p/Torr)/(T/°K)^{1/2}. In der E-Region jedoch sollte wegen dort einsetzenden Dissoziation des Sauerstoß ein höherer Druckwert, nämlich $\nu_{\rm em}$ /Hz = 2.5 p (O), einzusetzen sein. Stöße von Elektronen mit positiven Ionen den nur in der F2-Schicht eine Rolle. Tabellen der Rechenergebnisse. Rawer.

174 M. N. Rao and A. P. Mitra. Effect of vertical drifts on the nocturnal ionization he lower ionosphere. J. atmos. terr. Phys. 13, 271—290, 1959, Nr. 3/4. (New Delhi, L, Radio Propagation Unit.) Die Differentialgleichung der Vff. zur Beschreibung der lichen Änderung des Elektronendichteprofils der unteren Ionosphäre zwischen 80 130 km Höhe in niedrigen Breiten nach Sonnenuntergang berücksichtigt dissolive und einfache Rekombination zwischen Elektronen und positiven atomaren ie molekularen Ionen. Zwölfstündige, periodische, vertikale Driftbewegungen des ktronengases werden vorausgesetzt; ihr Beginn soll mit Sonnenuntergang (1800 h) ammenfallen. (Ob auch die phasengleiche Bewegung der Ionen und deren Dichterung mitberücksichtigt wurde, konnte der Ref. der Arbeit nicht entnehmen.) obige Ausgangsgleichung wird schrittweise numerisch gelöst. Diagramme verchaulichen die Resultate. Ihnen zufolge nimmt die Höhe der Längstwellen-Reflesniveaus rasch zu bei größeren vertikalen Driftamplituden (5 km/Std $< v_0 < 20$ km/.). Da derartige Beobachtungen z. Z. hoher K-Indizes gemacht wurden, schließen auf derartige ausgeprägte, vertikale Driftbewegungen in der E-Region während nagnetischer Störungen.

175 D. T. Farley jr. A theory of electrostatic fields in a horizontally stratified ionosphere ect to a vertical magnetic field. J. geophys. Res. 64, 1225—1233, 1959, Nr. 9. (Sept.) aca, N. Y., Cornell Univ., School Elect. Engng.) Die Längs-Übertragung eines quer Erdmagnetfeld bestehenden elektrischen Feldes im Ionosphären-Plusma wird an der Strom-Divergenz-Gleichung untersucht. Durch eine Transformation der ver-

tikalen Koordinate im Verhältnis von $(\sigma_1/\sigma_0)^{1/2}$, wo σ_1 Quer- und σ_0 Längs-Leitfähigker kann die Differentialgleichung (bei exponentieller Höhen-Variation der σ) in die Forteiner Potentialgleichung übergeführt werden. Durch numerische Berechnung mit eine auf Raketendaten beruhenden Leitfähigkeitsmodell wird dann der "Wirkungsgrad" dibertragung des Querfelds auf das 300-km-Niveau berechnet. Er steigt rasch mit di Ausdehnung des Querfeldes und hängt stark von der Höhe der Störung ab. Aus 120 kgüberträgt sich eine Störung von nur 3 km Quer-Ausdehnung noch fast ungeschwächt.

7-1176 J. Renau. A theory of spread F based on a scattering-screen model. J. geophy Res. 64, 971-977, 1959, Nr. 8. (Aug.) (Ithaca, N. Y., Cornell Univ.) Laufzeitberechnunfür die von einem Streuschirm zwischen E- und F-Region nach oben gestreute Energi die durch Spiegelung an der (parabolisch vorausgesetzten) F-Region wieder zum Sende zurückgelangt. Ein Teil der arktischen, stark gestreuten Ionogramme läßt sich m diesem Modell erklären.

7-1177 J. L. Heritage, S. Weisbrod and W. J. Fay. Evidence for a 200-megacycles posecond ionospheric forward scatter mode associated with the earth's magnetic field. J. geophys. Res. 64, 1235—1241, 1959, Nr. 9. (Sept.) (San Diego, Calif., Smyth Res. Assoc Ein neuer Typ von Streuausbreitung via E-Region wird beschrieben, bei dem die Inhomogenitäten nach dem Magnetfeld ausgerichtet sind, so daß die "spiegelnde Übe tragung" weit vom Großkreis ab liegen kann. Die Streusignale dauern länger als Meteosignale und bestehen aus sehr vielen sehr kurzen Impulsen. Sie setzen meist nahez gleichzeitig mit einer Verstärkung der Streusignale auf der Großkreis-Strecke ein.

Rawer.

- 7-1178 R. Satyanarayana, K. Bakhru and S. R. Khastgir. Triple-splitting of the F-echoes. J. atmos. terr. Phys. 13, 201-204, 1959, Nr. 3/4. (Banaras, Hindu Univ.) I Übereinstimmung mit früheren Beobachtungen bestätigten Vff. den Polarisationssin ordentlicher, außerordentlicher und Z-F-Echos auf drei MHz. Auch wird die Seltenhe der Z-Echos in niedrigen Breiten wie Indien bestätigt. Vff. glauben, daß die Z-Echo durch partielle Reflexion der vertikalen ordentlichen Echos entstehen. Das diesbezügliche Literaturverzeichnis der Vff. ist nicht vollständig. Durch Einfallswinkelmessunge müßte die vorstehende Deutung noch bestätigt werden.

 W. Becker.
- 7-1179 **D. K. Bailey.** Abnormal ionization in the lower ionosphere associated with cosmic ray flux enhancements. Proc. Inst. Radio Engrs N. Y. 47, 255-266, 1959, Nr. 2. (Febr (Washington, D. C., Page Commun, Engrs Inc.) Ionosphärische Absorption und Streuurg von Ultrakurzwellen während der großen Störung vom 23, 2, 1956. Erklärung versuche.

 Rawer.
- 7 1180 John D. Kraus and W. Reed Crone. Apparent observation of solar corpuscular clouds by direct continuous-wave reflexion. Nature, Lond. 184, 965—966, 1959, Nr. 469 (26, Sept.) (Columbus, Ohio State Univ., Radio Obs.) Mit Hilfe eines Kontinuumsende und eines in der Frequenz durchstimmbaren Empfängers wurden Reflexionen der Ion sphäre beobachtet. Die Zentralfrequenz des Empfängers betrug 15 MHz, seine Banbreite 1 kHz und der Frequenzhub 9 kHz zweimal pro sec. Die Empfängerantem machte etwa 6 Umdrehungen in Azimut pro min. Gelegentlich zeigten die Reflexione einen Doppler-Effekt mit teils zeitlich monotoner Frequenzdrift, teils unregelmäßige Driftmuster. Diese Doppler-Effekte lassen sich durch Wolken ionisierter solarer Kopuskularstrahlung deuten, die an der Erde vorbeizogen.
- 7-1181 H. J. A. Chivers and H. W. Wells. A new ionospheric phenomenon. Natur Lond. 183, 1178, 1959, Nr. 4669. (25. Apr.) (Manchester, Univ., Jodrell Bank Exp. Stat Durch Vergleich des von fünf Empfängern mit verschieden gerichteten Antennen regstrierten Rauschens (bei 80 MHz) konnte gelegentlich beobachtet werden, daß auschließlich auf den nordwärts gerichteten Antennen die Strahlung stark erhöht während sie im Zenit etwas abnahm. Beide beobachteten Ereignisse lagen vor Periodstarker Sonnen-Aktivität. Erklärungsversuch durch solare Partikelstrahlung, die in d. Ionosphäre Radiostrahlung auslöst.

1182 S. A. Shewakin und W. S. Troizkij. Die Absorption von Zentimeterwellen in ner geschichteten Atmosphäre. Radiotech. i Elektronika 4, 21-27, 1959, Nr. 1. (Jan.) rig. russ.)

1183 Bengt Hultqvist and Johannes Ortner. Observations of intense ionization of long ration below 50 km altitude after some strong solar flares. Nature, Lond. 183, 1179 bis 80, 1959, Nr. 4669. (25. Apr.) (Kiruna, Sweden, Geophys. Obs.) Nach starken polaren ruptionen (Klasse 3+) wurde im kosmischen Rauschen auf 27,6 MHz eine kräftige 10sphärische Absorption beobachtet, die nach Sonnenuntergang anhielt, bis der Erdnatten etwa die Höhe 50 km erreicht hatte und die bei entsprechender Schattenhöhe r Sonnenaufgang wieder auftrat. Die Erklärung, der Schatten der Ozonschicht sei aßgebend, wird abgelehnt mit dem Hinweis, schon sichtbares Sonnenlicht reiche zur noto-Ablösung von Elektronen (von negativen Ionen). So wird eine absorbierende hicht bei 50 km für diesen Fall angenommen, die durch schnelle solare Protonen entehen könne.

1184 C. O. Hines. Motions in the ionosphere. Proc. Inst. Radio Engrs N. Y. 47, 176 bis 6, 1959, Nr. 2. (Febr.) (Ottawa, Canada, Defence Res. Board, Defence Res. Telecom. t., Radio Phys. Lab.) Nur kurze, fast formelfreie Übersicht: Übergangsbereich ischen mit der Erde rotierender Atmosphäre und interplanetarem Gas. Gezeiten in r hohen Atmosphäre, erdmagnetische Gezeiten-Effekte und ionosphärische Gezeitenobachtungen. Turbulenz und weiträumige Störungsfronten.

1185 K. I. Maeda and T. Sato. The F region during magnetic storms. Proc. Inst. ndio Engrs N. Y. 47, 232-239, 1959, Nr. 2. (Febr.) (Kyoto, Japan, Univ.; Otsu, pan, Shiga Univ.) Kurze Übersicht über bisherige Erfahrungen, Darlegung der von ARTYN begonnenen Theorie der Drift-Bewegung in der F-Region durch Feld-Übergung aus der E-Region und der weitergehenden japanischen Arbeiten dazu.

- 1186 R. W. Wright and N. J. Skinner. Lunar tides in the sporadic E-layer at Ibadan. atmos. terr. Phys. **13**, 217—221, *1959*, Nr. 3/4. (Ibadan, Nigeria, Univ. Coll.) Gemeint die äquatoriale Es-Schicht. Untersucht werden fEs und h'Es. Entgegen der üblichen finition lesen Vff. h'Es in der vordersten Spitze der Spur ab, d. h. bei kleinsten Echoplituden. — Die Stundenwerte umfassen das Intervall 0700 bis 1700 h GMT von wember 1953 bis Oktober 1956. Nach Vff. beträgt die Amplitude der halbtägigen nearen Komponente von fEs 0,41 MHz und von h'Es 0,22 km; die Verzögerung gegener dem lunearen Gang beträgt für beide 7,5 Std. — in Übereinstimmung mit anderitigen Beobachtungen. Ein Vergleich mit entsprechenden foF2-Untersuchungen derer Autoren für Ibadan ergab eine ähnliche Phasenbeziehung. Vff. schließen daraus f eine elektrodynamische Verknüpfung der Es- und der F-Schicht in äquatorialen eiten. Daß in höheren Breiten derselbe Phasenwinkel für fEs gefunden wurde wie in ${
 m adan}\,-\,{
 m foF}\,2$ zeigt in $\pm\,10^\circ$ geomagnetischer Breite eine sprungartige Änderung - , lten Vff. für zufällig, da nach Vff. die äquatoriale Es-Schicht gänzlich verschieden ist n der Es-Ionisierung in höheren Breiten.
- A. A. Goroshakina. Über die Lokalisation von Inhomogenitäten in der Ionosphäre. 1187 diotech. i Elektronika 4, 131, 1959, Nr. 1. (Jan.) (Orig. russ.)
- 1188 J. A. van Allen. Geomagnetically-trapped corpuscular radiation. Proc. roy. Soc. 253, 525-529, 1959, Nr. 1275. (Dez.) (Iowa City, State Univ.) Zusammenstellung Literatur bis Mai 1959.
- 1189 Conway W. Snyder. The upper boundary of the van Allen radiation belts. Nature, nd. 184, 439-440, 1959, Nr. 4684. (8. Aug.) (Pasadena, Calif. Inst. Technol., Jet op. Lab.) Die telemetrisch von "Pioneer III" übermittelten Daten enthalten eine ge Lücke von 17 h. Bei der Untersetzung der Übermittelung (29, 213 und 217 Zähgen werden jeweils angezeigt) besteht dadurch eine Unsicherheit der Gesamtzahl von 217, was einen erheblichen Unterschied im Bereich von über 60 000 km Erdentferng bedeutet. Die Diskrepanz mit "Pioneer IV"-Beobachtungen scheint nicht gesichert.

7-1190 T. Gold. Origin of the radiation near the earth discovered by means of satellites. Nature, Lond. 183, 355-358, 1959, Nr. 4658. (7. Febr.) (Cambridge, Mass., Harvar Coll. Obs.) Die Ladungsbewegung im Feld eines magnetischen Dipols wird durch vie Effekte beschrieben: Gyro-Bewegung um die Kraftlinien, Nord-Süd-Bewegung läng derselben, Längendrift als Folge der Feldinhomogenität, Höhendiffusion und -drif Die Gesamt-Energie der von van Allen beobachteten Teilchen reicht bei weitem nich zur Erklärung der Polarlichter. Ein äußerer Strahlungsgürtel wird vermutet, der direk in den Polarlichtzonen endet (mittlerweile entdeckt, d. Ref.). Die Energiezufuhr so durch Plasma-Ausstoß von der Sonne geschehen, das die magnetischen Kraftlinien vo der Sonne zur Erde "langzieht". Im Grenzbereich bei etwa 4 Erdradien bildet sich ein Trennschicht, in der Stoßwellen auftreten und beide Bereiche zungenförmig ineinander greifen werden. Das soll die lokale Struktur der Polarlichter erklären und den Einschuschneller Teilchen durch die Stoßfront in die Atmosphäre.

7-1191 Paul J. Kellogg. Van Allen radiation of solar origin. Nature, Lond. 183, 1295 bi 1297, 1959, Nr. 4671. (9. Mai.) (Minneapolis, Minnes. Univ.) Ergänzung der Goldsche Vorstellungen (vorst. Ref.) durch einen neuen Mechanismus für die Teilchendiffusio in die inneren Teile des Strahlungsgürtels. Ein Gradient des Magnetfelds bringt ähnlich Querdrift hervor wie ein ihm gleichgerichtetes elektrisches Feld. Lokale elektrisch Felder treten wie Inhomogenitäten des Magnetfeldes sicher auf und werden die Teilche unter Energiegewinn oder -verlust in andere Bahnen lenken. Abschätzung der entsprechenden Zeitkonstanten, die für schnelle Teilchen rund 10° sec, also 1000mal kleiner al die durch Streuung an den anderen Ladungen ist.

C. A. Onwumechilli. A study of the equatorial electrojet. I. An experimenta study. II. A model electrojet that fits H-observations, J. atmos. terr. Phys. 13, 222-234 235-257, 1959, Nr. 3/4. (Ibadan, Nigeria, Univ. Coll., Phys. Dep.) Um die Winter sonnenwende 1956/57 registrierte Vf. jeweils sechs Tage lang an zehn Orten beiderseit des magnetischen Äquators in Nigeria mit einem kompensierten (-0.01 Gamma/°C Quarzfadenmagnetometer die horizontale magnetische Feldintensität H. Das photo graphische Registriergerät erlaubte auch schnelle Feldstärkeänderungen festzuhalter Bezugsstation war das Observatorium Ibadan. Der Beobachtungszeitraum war relati ungestört. Eine Aufteilung in ruhige (Kp < 3) und gestörte Intervalle war darum mög lich. Die ungestörten Tageskurven von H waren verschieden beiderseits des magnetische Äquators. Die mittäglichen Maxima zeigten von Süd nach Nord eine Versetzung vo einer Stunde. Die Differenzen $\Delta=H_{\rm max}-H_{\rm min}$ waren 0.5° südlich des magnetische Äquators am größten; \pm 3° nördlich oder südlich des magnetischen Äquators war da Verhältnis um den Faktor 1,8 kleiner. Überlagerte Feldschwankungen erfolgten gleich zeitig an allen Stationen, und zwar im Verhältnis der mittleren Δ-Änderungen. Di einzelnen Δ -Werte waren von Tag zu Tag mitunter sehr verschieden. Vf. folgerte darau daß der schmale Gürtel hoher Leitfähigkeit nicht ortsfest ist, sondern sich in enger Bereich von Tag zu Tag nord- oder südwärts bewegen kann, und daß die Leitfähigke des Gürtels insgesamt kurzzeitig schwanken muß. W. Becker.

7-1193 G. R. A. Ellis and D. G. Cartwright. Directional observations of radio noise from the outer atmosphere. Nature, Lond. 184, 1307—1308, 1959, Nr. 4695. (24. Okt.) (Canden, N. S. W., C. S., I. R. O., Upper Atmosph. Sect.) Es wurden Richtung und Größ von virtuellen Emissionsquellen der sehr tiefen Frequenz von 4,5 kHz in der Atmosphägesucht, der Beobachtungsort war Camden, New South Wales, mit verhältnismäß niedriger geomagnetischer Breite (42° S). Die benutzte Antenne erlaubt die Aussage, da die beobachteten bursts wahrscheinlich aus südlicher geomagnetischer Richtung kame und daß die Quellen einen azimutalen Winkeldurchmesser von 30° bis 70° haben.

Mainka.

7-1194 R. A. Helliwell and M. G. Morgan. Atmospheric whistlers. Proc. Inst. Rad Engrs N. Y. 47, 200-208, 1959, Nr. 2. (Febr.) (Stanford, Calif., Univ.; Hanover, N. H Dartmouth Coll., Thayer Scholl Engng.) Übersicht über die Beobachtungen mit kurz Erklärung der Entstehung von Whistlern, einfache Theorie, vorläufige Ergebnisse de Beobachtungen des Internationalen Geophysikalischen Jahres und Häufigkeitsstatisti

195 Roger M. Gallet. The very low-frequency emissions generated in the earth's exoere. Proc. Inst. Radio Engrs N. Y. 47, 211—231, 1959, Nr. 2. (Febr.) (Boulder, Coloo, Nat. Bur. Stand.) Eingehende Beschreibung der neuesten Beobachtungen mit en Spektralregistrierungen. Erklärung durch Plasma-Schwingungen, die entweder Partikel-Strömen oder elektromagnetisch angeregt werden. (In ähnlicher Weise, wie artige Wechselwirkungen in modernen Hyperfrequenzröhren benutzt werden.)

Rawer.

197 D. R. Bates. Some problems concerning the terrestrial atmosphere above about the km level. Proc. roy. Soc. (A) 253, 451-462, 1959, Nr. 1275. (Dez.) (Belfast, Queen's iv.)

198 S. Chapman. Interplanetary space and the earth's outermost atmosphere. Proc. Soc. (A) 253, 462-481, 1959, Nr. 1275. (Dez.) (Boulder, Col., Univ. Alaska, High itude Obs.)

Behnsch.

199 Albert Arnulf, Jean Bricard et Claude Veret. Recherches sur la transmission de umière par la brume et par le brouillard. Rev. Opt. (théor. instrum.) 38, 105–133, 9, Nr. 3. (März.) Mit einem Spektrometer für 0,3 bis 13 μ und einem Thermokreuz de die Transmission direkt gemessen. Ähnliche Messungen wurden im Gebiet des ütbaren Lichts ausgeführt. Die Ergebnisse der verschiedenen Meßmethoden werden zutiert. Ferner werden Methoden beschrieben, wie eine absolute granulometrische sung der streuenden Teilchen durchgeführt wurde. Optische Messungen werden, end auf theoretischen Überlegungen, mit Hilfe solcher Prozesse erklärt.

Heilig.

200 C. Junge, G. Löwe, K. Rademacher, R. Rompe und O. Singer. Ein Scheinwerfer 2-kW-Quecksilberhöchstdrucklampe für Streuungs- und Extinktionsmessungen in der wosphäre. Exp. Tech. Phys. 7, 139—142, 1959, Nr. 3. (Berlin, Akad. Wiss., Phys. Inst., Bereich Strahlungsquellen.)

D. Schulz.

XII. Biophysik

201 B. H. Zimm and J. K. Bragg. Theory of the phase transition between helix and dom coil in polypeptide chains. J. chem. Phys. 31, 526—535, 1959, Nr. 2. (Schenecy, N. Y., Gen. Electr. Res. Lab.) Der Übergang zwischen den beiden Zuständen einer ypeptid-Kette, in deren einem die Kette die Form einer Wendel hat und in deren erem sie beliebig geknäuelt ist, wird mit Hilfe einer einfachen Modellvorstellung ersucht, die Bindungen zwischen jedem Kettenglied und dem darauffolgenden dritten der elaubt. In dem Modell treten drei Parameter auf, von denen der eine Gleichichtskonstante zwischen den beiden Kettenformen ist und der zweite ein Korrekaktor für die Bildung einer Spirale, während der dritte, der die kleinste Anzahlnäuelter Segmente zwischen zwei wendelförmigen Teilen angibt, nur von geringer eutung auf das Ergebnis ist. Die Zustandssumme für dieses Modell kann auf zweischiedenen Wegen ausgerechnet werden: entweder durch einfache Summation, was verhältnismäßig kleinen Ketten günstig ist, oder über die Eigenwerte und Eigen-

vektoren einer Matrix, diese Berechnung empfiehlt sich besonders bei längeren Ketter Der Übergang von der Knäuelform zu der Wendelform tritt ein, wenn entweder d Gleichgewichtskonstante erhöht oder die Kettenlänge vergrößert wird. Der Übergan kann sehr scharf sein. Ein Vergleich mit veröffentlichten experimentellen Zahlen gib befriedigende Übereinstimmung.

7-1202 J. Néel et J. Berteaux. Au sujet des interactions entre les ions chlorure et la sérun albumine. Adsorption des composés macromoléculaires à l'interface métal-solution. J. Chin phys. 56, 908-914, 1859, Nr. 11/12. (Nov./Dez.) (Paris, Ecole Sup. Phys. Chim., Lat Chim. Macromol.) Vff. maßen mittels eines Potentiometers mit hohem innerem Wider stand nach einer Null-Methode die Potentialdisserenz zweier Ag-AgCl-Elektroden, vo denen eine in eine NaCl-Lösung und die andere in eine NaCl-Lösung derselben Konzer tration mit Zusatz von 0,74% Serumalbumin (Pferd) tauchte. Diese Differenz ändert sich im Laufe der Zeit, sank schließlich auf Null und war von der Vorbehandlung af hängig. Ähnliche Versuche wurden mit Ag-Elektroden in einer ternären Lösung vo Serumalbumin, Salz, z. B. Thiocyanat, Bromid, Jodid, Sulfid und Wasser sowie mi Ag-Elektroden in einer binären Lösung Albumin-Wasser unternommen. Ferner wurd die Potentialdisserenz zwischen einer Ag-Elektrode in reinem Wasser und einer in eine Lösung von Polyvinylalkohol verschiedener Zähigkeit untersucht. Vff. schließen, da die Potentialdisserenz nicht nur auf eine Verringerung der Aktivität der durch das Poly peptid gebundenen Ionen zurückgeführt werden kann, die Assoziation zwischen Protei und Ionen kann also nicht exakt erfaßt werden. Die Adsorption sowie die Verlangsa mung der Austauschreaktionen an den Elektroden spielen eine wichtige Rolle.

M. Wiedemann.

Bd. 39.

- 7-1203 E. Spinner. The vibration spectra and structures of the hydrochlorides of ureal thiourea and acetamide. The basic properties of amides and thioamides. Spectrochim. Act 1959, S. 95-109, Nr. 2. (Apr.) (Canberra, Austr., Univ., School. Med. Res., Dep. Med. Chem.)

 Pruckner.
- 7-1204 W. L. Bragg. The determination of the coordinates of heavy atoms in protein crystals. Acta cryst. 11, 70-75, 1958, Nr. 2. (10. Febr.) (London, Engl., Roy. Inst.)
- 7-1205 **D. M. Blow.** A X-ray examination of some crystal forms of pig and rabbit haema globin. Acta cryst. **11**, 125-126, 1958, Nr. 2. (10. Febr.) (Cambridge, Engl., Univ Cavendish Lab., Med. Res. Counc. Unit Study Molec. Struct.)
- 7-1206 G. S. D. King, An X-ray investigation of lysozyme iodide and nitrate. Acta cryst 12, 216-219, 1959, Nr. 3. (10. März.) (London, Engl., Birkbeck Coll., Cryst. Lab.)
- 7–1207 J. D. Bernal and C. H. Carlisle. The crystal structure of ribonuclease. Compariso of three dimensional Patterson vector maps of crystals grown from ethyl and tertiary buty alcohol respectively. Acta cryst. 12, 221–226, 1959, Nr. 3. (10. März.) (London, Engl Univ., Birkbeck Voll., Cryst. Lab.)
- 7-1208 J. D. Bernal, C. H. Carlisle and M. A. Rosemeyer. A preliminary X-ray study of crystals of the complex ribonuclease-parachloromercuribenzoate. Acta cryst. 12, 227 bi 231, 1959, Nr. 3. (10. März.) (London, Engl., Univ., Birkbeck Coll., Cryst. Lab.)
- 7-1209 William W. Schuelke, Lillian Casler and Robert B. Corey. Scale models of polypeptide chains with permanent connections between "backbone" atoms. Acta cryst. 1256-257, 1959, Nr. 3. (10. März.) (Pasadena, Calif., Inst. Technol.) Schön.
- 7-1210 J. Kacprowski. Über die Möglichkeiten der Abbildung der akustischen Eingang impedanz des menschlichen Ohres mittels einer Ersatzschaltung. Acta tech. hung. 22, 25 bis 264, 1958, Nr. 3/4. (Warszawa, Poln. Akad. Wiss., Inst. Grundprobl. Tech.) Die Eingangsimpedanz des durchschnittlichen menschlichen Ohres wird durch eine einfach Ersatzschaltung nachgebildet. Hierfür werden die akustischen Parameter der Ersatzschaltung analytisch bestimmt. Das künstliche Ohr besteht aus einem zylindrische Hohlraum mit einem Durchmesser von 25,2 mm und einer Länge von 12 mm. Zur Nachbildung der Kopplungsundichtigkeit des Fernhörers mit dem menschlichen Ohr dienen zw.

ohrungen (ϕ 1,6 mm), die den Hohlraum mit dem Außenraum verbinden und ein ein iniertes akustisches Leck darstellen.

- 1211 E. Zwicker. Über die Schwelle des Ohrendruckes für verschiedene Schallereignisse. requenz 13, 238-242, 1959, Nr. 8. (Aug.) (Stuttgart, T. H., Inst. Nachrichtentech.) ie Ohrendruckschwelle als derjenige Schalldruckpegel, bei dem nach einminutiger eschallung ein Ohrendruckgefühl gerade zu bemerken ist, wird für Sinustöne im Bereich Hz bis 80 Hz, für Oktavbandrauschen als Funktion der Bandmittenfrequenz und für npulsfolgen als Funktion der Impulsdauer bestimmt.
- olett bis zum kurzwelligen Ende des auf der Erde gemessenen Sonnenspektrums (290 mu). er. naturf. Ges. Freiburg 48, 273—277, 1958, Nr. 2. (Bad Nauheim, Max-Planck-Ges., V. G. Kerckhoff-Herzforsch. Inst.) Es werden Messungen der Spektralempfindlichkeiten in linsenlosen Kaninchenaugen im Bereich von 290 nm bis 650 nm angegeben. Diese mpfindlichkeitskurve ist ähnlich der Änderung der spektralen Photoempfindlichkeit on Sehpurpurlösungen, die von anderen Vff. bestimmt war. Die spektrale mpfindlichkeit mit Augenlinse ist im violetten und ultravioletten Spektralbereich folge von Absorption in der Augenlinse erheblich geringer und starken individuellen ehwankungen unterworfen.
- -1213 H. Mrass und H. G. Diestel. Bestimmung der Normalhörschwelle für reine Töne is einohrigem Hören mit Hilfe eines Kopfhörers. Acustica 9, 61–64, 1959, Nr. 2. (Braunhweig, Phys. Tech. Bundesanst.) Die Normalhörschwelle für reine Töne bei einohrigem ören mit Hilfe eines Kopfhörers wurde an einer Gruppe von 70 otologisch normalen ersonen im Alter zwischen 18 und 30 Jahren bestimmt. Die Ergebnisse werden in Form om Normal-Schwellenschalldrucken im Kuppler und am Eingang des Gehörganges gegeben.
- -1214 Siegfried Steinbach. Sichtbarmachung von Sprache mittels Magnettonbandabstung. Wiss. Z. Tech. Hochsch. Dresden 8, 533-537, 1958/59, Nr. 3. Es wird ein brachsichtgerät beschrieben, das eine Laufschrift in natürlichem Sprechtempo nach rt der Sonagramme auf dem Schirm einer Braunschen Röhre erzeugt. Der auf Band 9 cm/s) aufgenommene Schallvorgang wird bei normaler Bandgeschwindigkeit mit tierenden Hörköpfen bei 40facher Geschwindigkeit (8 m/s) abgetastet, so daß dem analysierenden Frequenzbereich von 3,6 kHz ein Bereich von 144 kHz entspricht. völf Simultanfilter, die einer Original-Durchlaßbreite von 300 Hz entsprechen, anasieren den Vorgang. Die Filterausgänge werden durch einen elektronischen Schalter ogetastet und in Helligkeitswerte auf dem Braunschen Rohr umgesetzt. Die Kippannung für die horizontale Ablenkung wird von den umlaufenden Hörköpfen getrigt. Einige Momentaufnahmen von Vokalen, Konsonanten und einem Satz sind wiedergeben. Die Entwicklung ist noch nicht völlig abgeschlossen, die Bilder erreichen daher eht die Qualität der Sonagramme.
- 1215 G. Bittner. Über das Dosierungsproblem der Kurzwellentherapie. Elektromedizin 231-234, 1959, Nr. 6. (Dez.) (Braunschweig, Phys.-Tech.-Bundesanst.) Nach Ersterung der Dosierungsgrundlagen wird vorgeschlagen, die dem Behandlungsobjekt gelührte Hochfrequenzwirkleistung auf die Masse des Behandlungsobjektes beziehen. Man kann dann in Analogie zur Strahlentherapie die beiden Begriffe Curzwellendosis" und "Kurzwellendosisleistung" physikalisch definieren. Auf Grund eoretischer Überlegungen wird gezeigt, daß die Dosisleistung proportional dem Quaat der Hochfrequenzstromdichte ist, die man aus Elektrodenstäche und Hochfreenzstrom ermittelt. Auf diese Weise läßt sich die Dosisleistung in einem relativen Maßgeben, dessen Bezugswert von medizinischer Seite sestzulegen wäre.
- 1216 H. Leibowitz. Über die verschiedenen Mechanismen der Sehgrößenkonstanz. Aturwissenschaften 45, 621, 1958, Nr. 24. (Dez.) (Wisconsin, U.S.A., Univ.) Es wird s Phänomen, daß die wahrgenommene Größe eines Gegenstandes fast gleich groß neint, obschon sein Abstand und damit das korrespondierende Bild auf der Retina

kleiner wird, mit im wesentlichen zwei Sorten von Mechanismen erklärt. Erstens gib für nahe Gegenstände der Reiz, der mit der Akkommodation zusammenhängt, eine In formation über die wahre Größe des Gegenstandes. Zweitens ist das richtige Erkennes der Größe weit entfernter Gegenstände nur durch zusätzliche Informationen im Sehfeld durch perspektivische Linien oder Gegenstände bekannter Größe möglich, wie experimentell gezeigt wird.

Rosenbruch.

- 7-1217 J. Sisefsky. Method for photographic identification of microscopic radioactiv particles. Brit. J. appl. Phys. 10, 526-529, 1959, Nr. 12. (Dez.) (Stockholm, Res. Inst Nat. Def.) Die Partikel werden auf einer Glasplatte in Zelluloid fixiert und β-empfind liche Photoemulsion darüber gegossen. Nach der Exposition wird die Emulsion in situ nach einem angegebenen besonderen Verfahren entwickelt. Die radioaktiven Teilcher werden dadurch in der Mitte durchscheinender kreisförmiger Höfe auf braunem Hinter grund sichtbar.

 H. D. Schulz
- 7-1218 C. A. Klein and W. D. Straub. A semiconductor device for fast- and slow-neutron dosimetry. Proc. Instn elect. Engrs (B) 106, 735-739, 1959, Suppl. Nr. 16. Auf Grund von quantitativen Messungen der Wirkung von Neutronen auf Silicium und Germanium wird die Verwendbarkeit dieser Materialien in Dosimetern für schnelle und langsame Neutronen untersucht. Es wird das Modell für ein derartiges Dosimeter angegeben.

 Sevfried.
- 7-1219 S. Jefferson. Industrielle und biologische Anwendungen massiver Gammastrahlung. Dechema-Monogr. 30, 1958, Nr. 411-425, S. 173-176. (Harwell, Atom. Energy Res. Est., Isotope Div., Technol. Irradiat. Group.) Die Anwendung von Gammastrahler zur Sterilisierung von Geräten (z. B. in Krankenhäusern) und von Lebensmitteln ode zur Beeinflussung chemischer Reaktionen wurde in großem Umfang erst möglich, seit dem mit den Kernreaktoren große Neutronenflüsse zur Verfügung stehen, die die wirt schaftliche Herstellung von radioaktivem Kobalt oder Caesium in Mega-Curie-Menger erlauben. Über die verschiedenen Anwendungsmöglichkeiten wird in der Arbeit referiert

XIII. Werkstoffe

- 7-1220 G. R. Speich and Morris Cohen. Rapid-quenching hot stage for metallography Rev. sci. Instrum. 29, 1129-1131, 1958, Nr. 12. (Dez.) (Cambridge, Mass., Inst. Technol., Dep. Metallurg.)
- 7-1221 W. W. Wlassow. Defektoskop-Untersuchungen von Eisenbahnschienen in sici bewegenden magnetischen Feldern. IV. Untersuchung der in der Schiene durch ihre Reaktion auf das Primärfeld entstehenden Wirbelströme. Fis. metall. (russ.) 6, 426-432, 1958 Nr. 3. (Orig. russ.) Mit Hilfe des in den Vorgangsarbeiten (Ber. Nr. 5-1193 u. 6-1188) be schriebenen Modells werden die Verhältnisse für eine Fahrtgeschwindigkeit von 25 km/l und einen Elektromagneten von 23 Amperewindungen untersucht. Die Bewegung ha erheblichen Einfluß auf die Verteilung der Induktion. Aus den Ergebnissen ist zu er rechnen, daß bei 45 km/h Geschwindigkeit und einem Magneten von 24000 Ampere windungen die Stromdichte in der Schiene 90 A/cm erreichen würde.
 - H. R. Bachmann.
- 7-1222 K. Sauerwein. Ergebnisse und Möglichkeiten der Leitisotopen-Verfahren. Deche ma-Monogr. 30, 1958, Nr. 411-425, S. 163-472. (Düsseldorf, Isotopen-Lab. Dr. Sauerwein.) An Hand zahlreicher Beispiele wird die Anwendung radioaktiver Isotope al Indikatoren in der Technik beschrieben.
- 7-1223 H. F. Hazenbroek. Electrostatic sample preparator for infra-red spectroscopy opowders. Spectrochim. Acta 1959, S. 1-5, Nr. 1. (März.) (Amsterdam, De Bataafsch

Petrol, Matsch., Kon. Shell Lab.) Es wird eine Apparatur beschrieben zur Herstellung von dauerhaften, homogenen Filmen auf verschiedenartigen Unterlagen, aus Pulvern von definierter Korngröße. Die Technik ist besonders geeignet zur Untersuchung der nfrarotspektra von Katalysatoren.

- (1224 G. F. G. Knipe. The spectrographic analysis of antimony and antimony sulphide for heavy metals. Spectrochim. Acta 1959, S. 49-55, Nr. 1. (März.) (Northrand, Transtaal, Afr. Explos. Chem. Ind., Res. Dep.) Zur spektrochemischen Bestimmung von Schwermetallen in Antimon und Antimonsulfid wird das Antimon mit konzentrierter Salpetersäure in Oxyd übergeführt, mit Graphit vermischt und im Gleichstrombogen ungeregt. Das Antimon selbst dient als innerer Standard.
- 7-1225 A. Danielson, F. Lundgren and G. Sundkvist. The tape machine. I. A new tool or spectrochemical analysis. II. Applications using different kinds of isoformations. III. Notes on useful corrections in spectrochemical analysis with the tape technique. Spectro-him. Acta 1959, S. 122-125, 126-133, 134-137, Nr. 2. (Apr.) (Skellefteham, Swed., Boliden Min. Co., Res. Lab.) Die "Tape"-Methode dient dazu, die Probe als Pulver in len Entladungsraum zu bringen derart, daß jeder Funkenentladung neues Material zur Verfügung steht. Dadurch werden die Intensitätsschwankungen statistisch verteilt, und ine größere Analysengenauigkeit erzielt. Als Beispiel Analysen sulfidischer Erze.

ruckner.

- -1226 M. Margoshes and B. F. Scribner. The plasma jet as a spectroscopic source. pectrochim. Acta 1959, S. 138-145, Nr. 2. (Apr.) (Washington, D. C., Nat. Bur. tand.) Ein Plasmastrom von 15 2/Amp, der die Lösung durch eine Bohrung der node in den Entladungsraum sprüht, wird als Anregungsquelle benützt. Es ergeben ich funkenähnliche Spektra, die auf eine hohe Anregungstemperatur hinweisen. Bei er Anwendung auf die Bestimmung von Fe, Cr und Cu in rostfreiem Stahl ergab sich ine Variationsbreite von 2%.
- -1227 M. R. Piggott and H. Wilman. The sulphiding of mild steel surfaces. Acta cryst. 1, 93-97, 1958, Nr. 2. (10. Febr.) (London, Imp. Coll., Dep. Chem. Engng., Appl., Phys. Chem. Lab.)

 Schön.
- -1228 Franz Eberhard Wittig und Franz Huber. Die Bildungswärmen im System Silberink bei 475°C. Beiträge zur Energetik metallischer Systeme. XII. Z. Elektrochem. 63, 94-1001, 1959, Nr. 8/9. (15. Okt.) (München, Univ., Phys.-Chem. Inst.) Die früher urchgeführten kalorimetrischen Bestimmungen der Bildungswärmen im System Silberink enthielten große Ungewißheiten, die bereits in der Größenordnung der zu messenden ildungswärmen liegen. Vff. bestimmten nun im Hochtemperaturkalorimeter die ildungswärmen der intermetallischen Phasen im System Silber-Zink bei 475°C im m ereich von 15-83 At.-m % Zink bei 21 verschiedenen Konzentrationen. Aus der Messung er Lösungswärmen des reinen Silbers in flüssigem Zink bei Konzentrationen bis etwa ,03 At.- $\frac{9}{6}$ Silber und aus obigen Daten wurde eine Näherungsformel für die nicht irekt meßbaren Mischungswärmen des flüssigen Silbers und Zinks aufgestellt. Es rigte sich, daß die Bildungswärmen sehr klein sind und in der Größenordnung der Umandlungswärmen liegen. Das Minimum der Bildungswärmen scheint mit etwa - 2,7 kJ/ At (= 0,64 kcal/g-At) am Anfang der Epsilonphase zu liegen, das Minimum in der ammaphase ist mit etwa -2.6 kJ/g-At aber nur wenig positiver. Ein Vergleich er Bildungswärmen in den hexagonalen Phasen der Systeme Silber-Zink und Silberluminium ergibt einen ähnlichen Verlauf in Abhängigkeit von der Konzentration der alenzelektronen.
- -1229 G. Thomas. Quenching defects in binary aluminium alloys. Phil. Mag. (8) 4, 213—1228, 1959, Nr. 47. (Nov.) (Cambridge, Univ., Metall. Dep.) Elektronenmikrocopische Untersuchungen an dünnen Folien aus Al-Cu-, Al-Ag-, Al-Zn- und Al-Mgegierungen. Ermittlung der durchschmittlichen Dichte der Versetzungsschleifen, des ehleifendurchmessers und der Leerstellenkonzentration nach einem Abschrecken von 60 bis 600° C. Ergebnisse: Aufrechterhaltung der bei hohen Temperaturen sich im leichgewicht befindlichen hohen Leerstellenkonzentration durch Abschrecken. Aus-

bildung von Versetzungsschleifen durch Kondensation der Leerstellen während der Abschreckens. Starke Abhängigkeit der Größe der Dichte der Versetzungsschleifen von der Abschrecktemperatur. Abfall der Leerstellenübersättigung mit Erhöhung det Legierungszusätze und sinkender Abschrecktemperatur. Korngrenzen und Versetzunger wirken als Senken für Leerstellen. Begleitung des Ausscheidungsvorganges von Leerstellen durch Tropfenbildung gelöster Legierungsatome. Beobachtung von Versetzungs spiralen.

- 7-1230 M. F. Lantratov and A. F. Alabyshev. Investigation into the thermodynami properties of liquid metal solutions of potassium with thallium, lead and bismuth. Sh. fis Chim. 33, 2429-2434, 1959, Nr. 11. (Orig. russ. m. engl. Zfg.) (Leningrad.) Binäraflüssige K-Legierungen mit Tl, Pb und Bi. EMK-Messung. Mischungsentropie.

 H. Ebert.
- 7-1231 **Tadayasu Mitui.** On the magnetic annealing effect in 2% cobalt-copper alloy. I Induced ferromagnetic anisotropy. J. phys. Soc. Japan **13**, 549-559, 1958, Nr. 6. (Juni. (Sapporo, Univ. Hokkaido, Fac. Sci., Dep. Phys.) Durch Anisotropiemessungen an Cu Proben mit 2% Co-Gehalt nach verschiedenen Magnetfeldglühbehandlungen wird die Ausscheidung Co-reicher Teilchen verfolgt. Aus dem Relaxationsverhalten wird eine Aktivierungsenergie von 36 kcal·mol-1 berechnet. Die Ergebnisse lassen sich durch die Formanisotropie kleiner Teilchen deuten.

 Andrä.
- 7-1232 A. van Itterbeek, W. Polluntier and G. Peelaerts. Measurements on the magnetic susceptibilities of AgMn and CuMn alloys. Physica 24, 162, 1958, Suppl. (Sept. (Louvain, Belgium, Inst. Lage Temp. Tech. Phys.)

 V. Weidemann.
- 7-1233 F. W. von Batchelder and R. F. Raeuchle. The tetragonal MBe_{12} structure of silver, palladium, platinum and gold. Acta cryst. 11, 122, 1958, Nr. 2. (10. Febr.) (Washington, D. C., U. S. Naval Res. Lab.)
- 7-1234 Bernard Borie, X-ray diffraction effects of atomic size in alloys, II. Acta cryst. 12 280-282, 1959, Nr. 4. (10. Apr.) (Oak Ridge, Tenn. Nat. Lab., Metallurg. Div.) Schön.
- 7-1235 A.P. Komar, N.W. Wolkenschtein und G.W. Fedorow. Vorzeichenwechsel de Hall-Konstante beim Ordnen der Atome in einer Legierung. Doklady Akad. nauk SSSI 125, 530—534, 1959, Nr. 3.) (Orig. russ.) Für die Legierung Ni₃Mn wurde der Verlau der Hall-Spannung als Funktion der magnetischen Feldstärke bei Temperature zwischen 4,2 und 296°K sowohl für den ungeordneten Zustand (von 800°C bis zu Zimmertemperatur abgeschreckt, Fernordnungsgrad merklich kleiner als 1) als auc für den geordneten Zustand (langsam abgekühlt, Fernordnungsgrad nahezu gleich 1 aufgenommen und diskutiert.

 H. R. Bachmann.
- 7-1236 P. P. Kuzmenko and G. I. Kalnaya. Short order regularities in Cd-Mg systemalloys. Ukrain. fis. Sh. RSR 3, 841-845, 1958, Nr. 6. (Orig. russ.)
 H. Ebert.
- 7-1237 A. Kelly, A. Lassila and S. Sato. The plastic deformation of single crystals of a aluminium-silver alloy. Phil. Mag. (8) 4, 4260-1277, 1959, Nr. 47. (Nov.) (Evanstor III., Northwestern Univ., Dep. Metall.) Messung der kritischen Scherspannung an nac dem Bridgman-Verfahren hergestellten Al 20 Gew.-% Ag Einkristalle im Temperaturbereich 77 bis 373°K; Ermittlung des Alterungseinflusses im Kaltaushärtungs bereich bei 20 und 160°C; Interpretation der Spannungserhöhung aus Abschreckversuchen durch Anwesenheit von Guinter-Preston-Zonen in der Legierung. Ermittlun von angenähert linearen Spannungs-Dehnungs-Kurven bei 77°K und 20°C nach A terung bei 20 und 160°C. Mikroskopische Beobachtung der Gleitlinien. Untersuchun der Temperaturabhängigkeit der Fließspannung während der Verformung an Al-Ag-Legierungen und an reinem Al; Vergleich mit der Temperaturabhängigkeit des Elast zitätsmoduls. Sehr geringe Temperaturabhängigkeit der Festigkeit bei Al-Ag-Legierungen im Gegensatz zu reinem Al. Interpretation des Aushärtungsmechanismus durc Tröpfehenbildung vorwiegend aus Ag-Atomen.

960

-1238 A. H. Morrish and L. A. K. Watt. Coercive force of iron oxide micropowders tow temperatures. J. appl. Phys. 29, 1029—1033, 1958, Nr. 7. (Juli.) (Minneapolis, inv. Minnesota.) Im Temperaturintervall von 77 bis 300°K wird die Temperaturbhängigkeit der Koerzitivkraft von Fe₃O₄ und γ-Fe₂O₃ in Pulverform bestimmt Einbereich -oder Mehrbereichpartikel). Die Koerzitivkraft von Mehrbereichpartikeln regibt sich im wesentlichen abhängig von der Kristallanisotropiekonstante in deren emperaturgang. Sie liegt je nach Partikelgröße zwischen 20 bis 500 Oe und hat jeteils ein Minimum bei 127°K. Die Koerzitivkraft von Einbereichpartikeln wird von der weils vorherrschenden Anisotropie bestimmt. Ferner wird beobachtet, daß die Koertitivkraft von Mehrbereichpartikeln von der magnetischen Vorbehandlung abhängt.

lbach.

- 1239 L. Castelliz and W.W.H. Clarke. Ferromagnetic after-effect in mu-metal. Brit. J. ppl. Phys. 10, 142—147, 1959, Nr. 3. (März.) (Halifax, Nova Scotia, E. M. I.-Cossor lectron. Ltd., Components Div.) Vff. beobachteten und beschreiben einen temperaturbhängigen magnetischen Nachwirkungseffekt von Mu-Metall bei Verwendung des laterials für Ablenkjoche von Elektronenstrahlröhren. Übersteuerung der mit Rechtskimpulsen gesteuerten Röhren erlaubt ein hohes Auflösungsvermögen. Wirbelstromnflüsse werden abgetrennt. Die Größenordnung des Effektes und die gegenüber der biffusionsnachwirkung kleinere Zeitkonstante von 10-4 bis 10-5 bei Variation der Wärbebehandlung und Blechdicke des Materials führen Vff. zu der Annahme, daß es sich ei diesem Effekt nicht um Diffusionsnachwirkung, sondern um einen Spin-Relaxationsrozeß handelt. Andere Materialien wurden offenbar nicht untersucht mit Ausnahme (n-Zn-Ferrit, bei welchem die Erscheinung nicht beobachtet wurde.
- 1240 David S. Robertson and David Elliott. Magnetic losses in cores of various shapes uclear Instrum. 5, 133—141, 1959, Nr. 3. (Sept.) (Adelaide, Australia, Univ.) Durch erechnung und Vergleich der Wirbelstrom- und Hystereseverluste in quadratischen lagnetkernen mit und ohne Luftspalte, in solchen mit abgerundeten Ecken und in Ringernen wurde festgestellt, daß die Gesamtverlustleistung praktisch unabhängig von der orm des Kernes und den Dimensionen des Spaltes ist. Sie ist lediglich eine Funktion er Materialeigenschaften und des Gesamtflusses im Kern. Änderungen der Flußversilung durch Kernform und -spalte führen zu einer Verlagerung der Verluste. Die echnungen wurden durch Messungen an einem Keraperm 03186-Kern bei einer Freuenz von 1 MHz bestätigt.
- -1241 J. S. Schur, E. W. Schtolz und G. S. Kandaurowa. Magnetische Eigenschaften in magnetisch anisotropen Proben aus ferromagnetischen Pulvern. IV. Die Temperaturshängigkeit der magnetischen Eigenschaften von Pulverproben aus der Legierung MnBi. is. metall. (russ.) 6, 420–425, 1958, Nr. 3. (Orig. russ.) Vorgangsarbeiten s. Fis. metall. uss.) 5, 412, 1957; 6, 421, 1957; 6, 229, 1958. An Pulvern mit 1 bis 10 μm orngröße wurde die Anisotropie der Koerzitivkraft bei Temperaturen von +20 bis 196°C untersucht. Infolge Verringerung der Anisotropiekonstanten bei Temperaturniedrigung verschwindet bei −196°C die bei Zimmertemperatur zu beobachtende bergangsstruktur, und man findet eine Vieldomänenstruktur. (Nach Zfg.)

H. R. Bachmann.

-1242 George Tyras. The permeability matrix for a ferrite medium magnetized at an bitrary direction and its eigenvalues. Trans. Inst. Radio Engrs, N. Y. MTT-7, 176-177, 259, Nr. 1. (Jan.) (Seattle, Wash., Boeing Airplane Co., Pilotless Aircraft Div.)

V. Weidemann.

- -1243 **0. Lindig.** Die Zähigkeit von Gläsern bei der Transformationstemperatur. Beitr. angew. Glasforsch. 1959, S. 209-220. (Mainz, Schott u. Gen., Zentr. Lab.) Untersucht erden fünf verschiedene Gläser. Gläser mit flachem Viskositätsverlauf zeigen bei der ransformationstemperatur große Zähigkeit, umgekehrt sind Rückschlüsse auf die ühltemperatur nicht immer eindeutig möglich.

 H. Ebert.
- 1244 N. Neuroth. Umgruppierungswärme bei Glas im Transformationsbereich. Beitr. angew. Glasforsch. 1959, S. 221-226. (Mainz, Schott u. Gen., Zentr. Lab.) In einer lberkammer, die eine gleichmäßige Temperaturverteilung gewährleistet, werden die zu

messende und eine Vergleichsprobe, die im betreffenden Temperaturgebiet keine Uregelmäßigkeit der thermischen Konstanten aufweist, erhitzt und die dabei auftretene Temperaturdifferenz gemessen. Die Untersuchungen werden an 14 Glassorten durct geführt. Diese Messung des Wärmeessekts, für das Verständnis der Umgruppierung i Transformationsbereich von Bedeutung, gibt Auskunst über die Größe der verbrauchte Energie (zwischen 2,1 und 4,6 cal je g).

7–1245 F. Reitmayer. Über die Möglichkeit der spannungsoptischen Schlierendiagnose a Borosilikatgläsern kleiner thermischer Ausdehnung. Beitr. z. angew. Glasforsch. 1958. S. 227–254. (Mainz, Schott u. Cen., Zentr. Lab.) Es wird theoretisch und experimente nachgewiesen, daß fadenförmige Schlieren, in radialer Richtung betrachtet, axiat Druckspannung zeigen, wenn die Schlieren eine kleinere thermische Ausdehnung als da umgebende Glas besitzen, und umgekehrt axiale Zugspannung, wenn die thermisch-Ausdehnung der Schliere größer als die des umgebenden Glases ist. Bei Borosilikat gläsern, die eine kleinere thermische Ausdehnung als 5,5·10-6 je °C haben, ist ein Schlierendiagnose mit Hilfe spannungsoptischer Verfahren möglich (a. d. Zfg.).

H. Ebert.

7–1246 W. Jahn. Die Wirkung von Cer, Arsen und Antimon auf die Strahlungsverfäbung von Glas durch Röntgen- und Gammastrahlung. Beitr. z. angew. Glasforsch. 1958. 304–317. (Mainz, Schott & Gen., Zentr. Lab.) Zusatz von Cer verhütet Verfärbun von Gläsern durch Bestrahlung mit Röntgen- oder Gammastrahlen; Arsen und Antmon, als Läutermittel von Bedeutung, wirken dem Cer entgegen. Das wiederum läsich durch geeignet gewählte Mengenverhältnisse der polyvalenten Ionen (C⁴⁺/C³ mildern. Über die Wechselwirkung zwischen dem Valenzwechsel der polyvalente Ionen in Gläsern bei Bestrahlung und der Bildung von Farbzentren lassen sich an Hander hier angeführten Versuche keine Aussagen machen.

7-1247 G. M. Bartenev and L. P. Tsepkov. Scale factor and strength of glass. Sovie Phys.-Doklady 3, 822-825, 1958, Nr. 4. (Juli/Aug.) (Engl. Übers. aus: Proc. Acad Sci. USSR 121, 260, 1958, Nr. 2.) Vff. untersuchen den Einfluß der Größe der lasttragei den Flächen von Testobjekten auf die Festigkeit (scale effect). Bei Glas besitzen d inneren Teile eine mehrfach größere Festigkeit als die Oberflächenschichten, so daß d Glasfestigkeit praktisch durch diejenige der Oberfläche bestimmt wird. In der Literati angegebene Werte ergeben sehr verschiedene oder kaum verschiedene Bruchfestigke von dünnen und dickem Glas. Die Widersprüche werden durch die Existenz von zw Arten von Einflüssen (scale-Faktoren) erklärt. Auf Grund der experimentellen E gebnisse lassen sich ein technologischer und ein statistischer Faktor unterscheiden. De Einfluß des Durchmessers von Glasfäden und der Dicke von Glasplatten auf die Festig keit wird durch technologische Faktoren erklärt, d. h. durch plastische Deformatione und thermoelastische Spannungen, die bei der Herstellung der Glasstücke entstehe Der Einfluß der linearen Dimensionen der Glasstücke (Länge der Glasfäden, Kantel länge von Glasstreifen und Oberflächengröße von Glasproben) auf die Festigkeit wi durch die statistische Theorie der Festigkeit erklärt. Vieth.

7-1248 A. Ya. Kuznetsov. Change in electroconductivity of glasses on crystallization. S fis. Chim. 33, 1726—1729, 1959, Nr. 8. (Orig. russ, m. engl. Zfg.) (Leningrad.) Der Übe gang des Glases in den festen Zustand ist mit einer beträchtlichen Abnahme der elektrischen Leitfähigkeit verknüpft, die durch eine Verstärkung der chemischen Bindung und eine Vergrößerung der Dissoziationsenergie des Kations bedingt ist. Die Übe führung des elektrischen Stroms in der teilweise kristallisierten Substanz erfolgt dur die Glasphase. Die Art der Leitfähigkeitsänderung beim Kristallisationsvorgang wirdurch die chemische Zusammensetzung der sich ausscheidenden festen Phase bestimm

Wiegel.

7-1249 H. Naumann. Alte und neue Bezeichnungen von Schott-Gläsern. Optik, Stuttga 16, 743-744, 1959, Nr. 12. (Dez.) (München.) H. Ebert.

7-1250 D. G. Holloway. The strength of glass fibres. Phil. Mag. (8) 4, 1101-1106, 195 Nr. 46. (Okt.) Behnsch.

1245 - 1250

Namenregister von Heft 7, 1960, der Physikalischen Berichte

			_
Abel, J. L 606	Awakow, G. W 880	Beenakker,	Böer, K. W 553,
Ablekoff, W. K 285	Awdejenko,	J. J. M. 392, 393, 440	554, 555, 556, 557, 558
Abrahamsson,	A. A 286, 310	Beer, A. C 542	Böhme, D 557
S 1047, 1048	Andreas B C 400		
	Axtmann, R. C 489	Belford, R. L 946	Bölger, B 652
Achieser, I. A 734	Ayabe, Y 581	Beljakov, Y. I 699	Boer, J. de 829
Adam, H 123	Ayant, Y 376	Bell, C. L 930	Boersch, H 902
Adams, E. N 532		Bell, J. S 766	Bösnecker, D 552
Adams, I 358	Baarle, C. van 512	Bellamy, L. J 959	Bogoljubow, N. N. 177
	Babloyantz, A 370	Bellemans, A 370	Bogorodsky, A. F 64
Agishev, A. I 699	Bachmann, H. R 154	Bellettini, G 764	Bohun, A 618
Agronowitsch,	Baddenhausen, H 690	Below, F 315	Boichard, J 7
W. M 353	Baeder, D. L 892	Benedek, G. B 207	Bokhari, M. S 852
Ainslie, D. S 103	Bäuerlein, R 539	Bengough, W. I 377	Bokutj, B. W 319
Alabyshev, A. F1230	Bailey, D. K1179	Benisz, J 899	Bolz, L. H. 1024, 1135
Albenesius, E. L 798	Baker, F. A 137	Benoit, H 651	Bommel, A. J. van 1038
Albers, K 349	Bakhru, K 1178	Benson, S. W 413	Bonch-Bruevich,
Albert, L1121	Bakker, C 351	Berg, D 603	V. L 533
Albon, N	Balandin, M. P 789	Berggren, T 859	Bondi, H 695
Alder, B. J 427	Balaz, M. J 745	Bergmann, L 117	Bonham, R. H 938
Alexejewa, K. I 758	Ballentyne, D. W. G. 360	Berkowitsch, I. W 741	Booth, D 987
Alexejewski, N. J 510	Balogh, A 209	Bernal, J. D. 1207, 1208	Boothroyd, A. R 570
Alford, W. P 849	Bancie-Grillot,	Bernardini, M 819	Borelius, B 1069
Ali, S 1044	M 356, 357	Bernath, A 260	Borellius, G 1097
Ali, S. A 519	Baraschenkow, W.S. 887	Berndtsson, B1115	Borie, B 1234
Al-Jeboori, M. A 852	Barasenkov, V. S 173	Berning, W. W1171	Borisoglebskii, L. A. 914
Allen,	Barbasov, B. M 173	Bernstein, J 753	Borisoglebsky, L. A. 53
J. A. van 62, 1188	Barbier, M 717	Berteaux, J1202	Born, HJ 1156
Allen, P. J 631	Bardeen, J 525	Bertram, W. K 109	Borneas, M 86
Almén, O 778	Bardi, R 1041	Bertrand, F 915	Boulassier, J. C 130
Altman, R. L 371	Barfield, R. N 215	Bessis, G 954	Boulloud, JP 131
		Beyer, H	Boyd, I. H1033
Altschuler, H. M 654			
Amatuni, A. Z 451	Barnes, G 202	Bezic, N 878	Boyd, M. E1024
Ambrose, J. E 563	Barnes, R. S1074	Bezzi, S1041	Boyd, R. H1091
Andersen, S. L 853	Baroni, G 764	Bhatnagar, H. L. 1086	Boyko, E. R 18
Anderson,	Barr, E. S 16	Bicelli, L. P 578	Boyn, R 558
A. C 475, 776	Barraclough, C. G. 960	Bienenstock, A 998	Bozorth, R. M 494
		Biermann, L 55	Bradshaw, J. A 659
Anderson, F 738	Barrer, R. M1146		
Anderson, J. H 465	Barrett, P. H 864	Bijvoet, J. M. 996, 1038	Bragg, J. K1201
Anderson, R. E 490	Barricelli, L. B1021	Bittner, G1215	Bragg, W. L 1204
Anderson, R. S 467	Barrow, G. M. 929, 930	Bizouard, M 582	Braier, A 197
Anderson, G 697	Bartell, L. S 932, 938	Blair, J. M 825	Brannen, E 184
Andrussow, L1103	Bartenev, G. M 1247	Blankenship, F. F 368	Bratoz, S 954
Andrussow, L 1105		Blarge, J. F 967	Brattain, W. H 535
Angelakos, D. J 634	Barth ,H1010		
Antonowa, S. F 820	Barua, A. K 989	Bline, R 488, 973	Braun, M. A 168
Aoyagi, K 455	Bass, A. M 597	Blitzer, L 66	Brekhovskikh, L.M. 245
Aramaki, S 195	Bastin-Scoffler, G. 813	Blochinzew, L. D. , 840	Brewer, G.R 334
Argyres, P. N 509	Batchelder,	Block, M. M 738	Bricard, J 1199
Armstrong, E. B 1165	F. W. von1233	Blohincev, D. I 173	Brikker, S. I 758
	Batchelor, R 842	Bloom, M 478	Brinen, J. S 940
Arnold, H 390			
Arnulf, A	Bates, D. R1197	Blount, E. I 506	Brischnik, F 158
Arons, A. B 93	Batty, C. J 855	Blow, D. M1205	Broder, J. D1118
Artjomow, K. P 857	Baumgartner, P 327	Blum, L 933	Brodski, A. M 178
Ash, R	Bausch, W 248	Blyakhman, C. A 307	Broek, J. van den . 487
Ataka, Y 180	Bayliss, N. S 971	Boato, G 406	Brömer, H. H 1157
Atlan I T 100		Bobowitsch, J. S 1082	Broida, H. P 984
Atkins, L. T 409	Bazevich, V. Y 238		
Atkinson, W. R 585	Bean, C. P 454	Bode, E1072	Brokaw, R. S 379
Atoji,	Becker, R. S 345	Bode, H 1022	Bromley, D. A 688
M 1019, 1020, 1030	Beecher, N 140	Boe, H 853	Bronco, C. J 149

			T1 77 77 77 74 74 74 74 74 74 74 74 74 74
Brooks, R 247	Chuan, C. X 785	Deljagin, N. N 841 De Mars, R. D 577	Elst, H. C. van 5166 Eméleus, H. J 580
Brophy, J. J 540	Chue, T 679	Demnsey D. F. 231	Emendörfer, D 7211
Brotzen, F. R 617	Chwostenko, W. I. 913	Dempsey, D. F 231 Denissoff, G. S 283	Emmett, P. G 405
Brovetto, P 819	Chylinski, Z 899 Chynoweth, A. G 606	Dénaux B 679	Emrich, R. J 285
Brown, A. M1106 Brown, H. W 984	Cladé D 420	Dépaux, B 679 Deshpande, V. T 1925	Enemark, D 898
Brown, J 633	Clarke, W. W. H 1239	Desloge, E. A 459	Enemark, D 898 Engelbrecht A 977 Ennos, A. E 341
Brown, J 633 Brown, M. M 1143	Cladé, D	Desiser, A. J 63	Ennos, A. E 341 I
Brown, R. H 83	Clerc, G. P 7	Deubner, A	Erichsen, V. L 689
Brown, W. L 543	Coekelbergs, R 410	Deubner, A	Eshleman, V. R 69
Brucker, E. B 738		Devlin, J. P 935	Righe W 122 F
Brucker, E. B 738 Brugger, K 481	Cohan N. V 933	Devlin, J. P 935 Dewdney, J. W. 107, 917	Evans, J. C 375
Bruins, E. M 164	Cohen, L 890	Dianoff-Klokoff	Evans, J. C 375 Evett, A. A
Bryngdahl, O 626	Cohen. M	W. I	Eyring, H1114
Buch, S 124	Cohn, C. E 724	Dickson, E. W 204 Diestel, H. G 1213	Falkenhagen, H 573
Buchta, J. C 468 Budagow, J. A 760	Cohn, H. O	Dietrich W 903	Farley jr., D. T1175
Budagow, J. A 760 Budde, R 673	Cole, A. R. H 964	Dietrich, W 903 Dietz, K 750, 885	
Builder, G 196	Cole, K. D 895 Coleman, P. D 641	Dion, I. M 320 Dodgen, H. W 490	Fay, W. J. 1177 Fazzini, T. 713 Fedin, L. A. 1087 Fedorov, G. V. 1235 Fedorov, G. V. 1235
Bujdoso, E 677	Coleman, P. D 641	Dodgen, H. W 490	Fazzini, T 713
Bulatowa, R. F 999	Colombié, N	Dodt, E1212	Federoff F T 310
Burck, H 595	Comsa, G 136, 138 Connes, J	Döhren, H. v 1022 Dörr, F 347	Fedorov, G. V 1235
Burck, H 595	Constantinescu,	Dolecek, R. L 514	reduius, G. A
Burge, E. J 854 Burge, R. F 1006	V. N 425	Dolejsi, J 618	Fejes, P
Burger, A 673	V. N 425 Cooper, L. N 1080	Dolginow, A. S 821	Fegruson, A. J 827
Burgerjons, J. J 711	Cordes, H	Dolmatova, K. A 687	Fernandez, J 345
Burgman, J. O 697 Burkard, O 630	Corew R R 1200	Domanic, F 867 Dorfman, Y. G 497	Ferro-Luzzi, M 764 Ferroni, S 819
Burke, P. G 871	Corey, R. B 1209 Cormack, A. M 851	Dornberger-Schiff,	Fialko, E. I 70
Burke, P.G 871 Burke, P.G 871 Burns, D. M 1000	Cottin, M 950	K 1062	Fick, E 428
Burns, D. M 1000	Cotton, F. A 498	Dorseyt, N. E 8	Fidecaro, G 713 Figgins, B. F 389
Russe W F 100	Craggs, J. D 494 Craggs, J. D 949	Dosse, J 5 Dotsenko, B. B 765	Fike, C. T 953
Busing, W. R 18 Busse, W. F 100 Buys, W. L 872	Cranberg, L 868	Doucet, Y 582	Filimonow, G. F 594
	Crandall, S. H 241	Douglas, D. G 118	Filow, R. A 6821
Cable, J. W 458 Cakajdova, J. A. 1039	Cranshaw, T. E 694	Douglass, D. C 1056 Dourgnon, J 322	Filthuth, H 673 Finnte, L. N 1027
Caldow, G. L 958	Crasemann, B 816 Crewe A. V 850	Douthett D 381	Fiorini, E 856
Califano, S 974	Crewe, A. V 850 Crone, W. R 1180	Douthett, D 381 Drawin, HW. 125, 126	Fisch, A 908
Callahan, W. R 524	Crouch, M. F 865	Dresselhaus, G 188 Dreyfus, B 376 Drickamer, H. G 1064	Fishman M
Callen, E1055	Crucq, A 410	Dreyfus, B 376	Fitzwater, D. R 18 Fleischmann, H 538
Campbell, J 302 Carlisle,	Csada, I. K 57 Culshaw, W 625 Cumming, J. B 808	Droct H 616 780	Fleischmann, R 84
C. H 1207, 1208	Cumming, J. B 808	Drost, H 616, 780 Drougard, M. E 607	Fleischmann, R 84 Flerov, G. N 862
Carlson, B. C 113	Cummings, T 1130	Druin, W. A 802	Fletcher, N. H 394
Carr. H 35	Cunliffe-Jones, D. 958	Drukarjow, G. F 906	Flinta, J 696
Carr, P. H 67 Carr, T. D 50	Curlee, N. J 722 Cyvin, S. J 951	Dshelepow, W. P 760	Fljorow, G. N 802 Fock, V. A 2
Carrier, G. F 43		Dsjaloschinski, I. J. 456	Fogel, J. M. 698
Carrier, G. F 43 Carrington, A 470	Daen, J 226	Duffleux, P. M 176	Folberth, O. G 538
Carrington, R. A. G. 281	Daen, J	Duflo, M 893 Duga, J. J 542	Folberth, O. G 538 Fonda, L 844
Cartwright,	Dalziel, J 806	Duga, J. J 542	Foner, S. N 1135
D. G 78, 1193 Casler, L1209	Damaskova, S 362 Damon, K. R 61	Duhaut, P	Foner-Cohen, A 382 Fowler, R. G 149, 585
Castagnoli, C 764	Daniels, J. M 485	Dukelski, W. M 913	Fowler, W. B 762
Castelliz, L 1239	Danielson, A1225	Duncan, D. B 228	Fowler, W. B 762 Fradkin, E. J 771 Fragstein, C. v 340
Chadan, K 743 Chakravarty, A. S. 496	Danysh, M. I 805	Duncanson, L. A 280 Dunning, W. J 1061 Dutton, D 294	Fragstein, C. v 340
Chalvet, O	Darling, W. R 276 Darrow, K. K.	Dutton D	Francois-Rossetti,
Chalvet, O	Darrow, K. K. 19, 20, 21, 22, 23, 24, 25	Dation, D 254	J1137 Frank, L. A 62
Chapman, J. A 39	Dassetto, G 624	Eberly, J. H 489	Frank, L. A 62 Frank, W 121
Chapman, S 1198	Daudel, R 399	Eddell, J. W 280	Franson, K. D 1144
Charitonow J W 821	Daunt, J.G 481 Davey, P. O 877	Edelman, S 247	Franz, W 529 Fraser, J. S 798
Charette, J 966 Charitonow, J. W. 821 Charpak, G 915	David. A	Edelson, M. R 323 Eder, F. X 154	Frasson, E 1041
Charschkurusoff	Davis, C. F 484	Edwards, J. O 1026	Frautschi, S. C 761
G. A. 961 Chen, HC. 74, 75 Chen, PI. 680 Chernov, L. A. 307 Chivers, H. J. A. 1181 Chechters, S. 741	Davis, H. L 481	Egerton, A 423	Freeman, A. J 997
Chen. PI. 680	Davis, H. M 302 Day, J. A 95	Ehricke, K. A 59	Freeman, A. J 997 Freier, P. S 894 Frenkel, V. J 588
Chernov, L. A 307	Day, J. A 95 Deal, R. M 992	Einstein, P. A 341 Ekeloef, S 620	Frennet, A 410
Chivers, H. J. A. 1181	Dean, G 703	Ekspong, A. G 763	Fridkin, V. M 609
	Deal, R. M. 992 Dean, G. 703 DeBlois, R. W. 454 Debye P. 992	Elgaröy, O 51 Elliott, D	Friedberg, S. A 381
Christian J. W. 1014	Debye, P	Elliott, D	Friedländer, E. M. 756
Chou, HC	Dedeurwaerder, R. 1095	Ellis, G. R. A 78, 1193 Ellis, K. C	Friedman, H 1170 Frilley, M 837 Frisch, H. L 391, 1100
Chu, K	Delfs, J 404	Elsner, R 644	Frisch, H. L. 391, 1100
			,

Froome, K. D 643	Gottstein, K 674	Helm, D. van der . 18	Huque, M. M1107
Fujimoto, T 941	Goulard, R 237	Henkel, HJ 567	Hurst, R. P 927
Fukui, K 399, 936	Goulart, H. S 146	Hentze, G 709	Husain, S. A 667
Fukunaga, K 796	Gove, H. E 842	Heritage, J. L 1177	Huzan, E 389
Fulop, W 657 Furduev, V. V 267	Govier, G. W 220	Herlescu, T 260 Herman, V. L 442	
Furduev, V. V 267	Grabke, H 315	Herman, V. L 442	Ichishima, I 962
Gabillard, R 716	Gramenitskii, I. M. 805	Hermans, J. J1151	Imelik, B 421, 1137
Gabor, A	Graulier, M 366 Gray, A. C 230	Herranz, J 967	Ingarden, R. S 500
Gaidukow, J. P 510	Grechishcheva, I.M. 784	Herring, C 521 Hertz, H. G 462	Ingelstam, E 272
Gallard-Hasid, J 421	Green, T. S 728	Herzberg, G 916	Ingram, D. J. E 470
Gallet, R. M1195	Greenwood, H. H 399	Herzberger, M 316	Inoue, S
Gallmann, A 836	Gremmelmaier, R 567	Hess, K 1108	Ischmuchametow,
Gamzemlidse, G.A. 1077	Grenier, C. G 519	Hey, P 919	B. C 499
Garven, H. C 113	Grigorow, N. L. 758, 900	Heywang, W 527	Ishchenko, E. D 257
Garwin, E. L 791	Grillot, E 356, 357	Higgins, G. C 274	Ishida, KI 183
Gaskins, F. H 216	Grimes, W. R 368	Higgins, H. G 210	Isobe, T 493
Geiger, J 902	Grinberg, G. A 338	Higuchi, J 942	Issajew, P. S 882
Geilikman, B. T1078	Grisaru, M. T 268	Hiki, Y 1075	Itamoto, F. K 109
Gentner, \hat{W}	Grodzins, L 809 Grognard, M 424	Hildenbrand, D. L. 374	Ito, D
German, S 120	Gross, E. F 356, 357	Hill, D. E 541 Hill, H. A 825	Ito, K 299, 493 Itterbeek, A. van 218
Gerschman, W. N 732	Gross, E. P 438, 531	Hill, R. M	440, 548, 779, 1232
Gershberg, R. E. 72,80	Groves, J. R. V 78	Hill, T. L	Ivanov, D. P 707
Gerson, N. C 642	Gubanov, A. I 224	Hillas, A. M 661, 694	Ivanov-Kholodny,
Gerven, L. van 548	Günebaut, H 422	Hilmer, W 1023	G. S 54
Getmanzew, G. G 502	Guest, P. G 670	Hilmer, W 1023 Hinds, S. 782, 783, 843	Ivanova. A. I1248
Geve, H. E 827	Gütter, E1108	Hines, C. O. 1168, 1184	Ivev. H. F 359
Gianola, U. F 45	Guillemin, C1037	Hinteregger, H. E. 61	Ivin, K. J 987
Gibbons, J. H 790	Guinier, A1021	Hinton, V1143	Iwanenko, D. D. 178, 193
Gibson, A. F 568 Gienapp, H 905	Gunst, S. B 726 Gurjewitsch, L. E 611	Hirai, N	Iwanow, W. G 886 Iwantscheff, G 537
Giglio, E	Gush, H. P1167	Hirota, E	Izumo, K 884
Gijsman, H. M 457	Guthöhrlein, G 770	Hirsch, A. A 517	12(IIIO, K 804
Gildner, D. A 156	Gutjahr, H 556	Hirschfelder,	Jackson, E. A 438
Giles, C. H	Gutowksy, H. S 468	J. O 416, 925	Jackwerth, E 303
Gill, N. S 806	Gyorgy, E. M 453	Hirst, R. C 932	Jacobson, R. A 1031
Gill, S. J 211		Hisatsune, I. C 935	Jaeckel. R 134
Gilliland, E. R1093	Haas, F. A 871	Hoang, T. F 762	Jaenicke, W1121
Girard, A 295	Hadley, L. N 109	Hobson, J. P 1127 Hodgson, G. W 220	Jaffe, A. A 667
Girgis, R. K. 831, 832 833, 834, 835	Hadzi, D 973	Hodgson, G. W ZZU	Jagodzinski, H 1065
Girifalco, L. A 507	Hailsham, V 40 Haine, M. E 335, 341	Höhler, G 528, 749 750, 885	Jahn, W
Glaister, R. M 605	Haissinsky, M 893	Höhne, M 1071	Jakimenko, I. P 601
Glass, D. G1161	Hajal, I 422	Hoell, P. C 648	James, H 421
Glassgold, A. E 767	Holl I. A 61	Hörl, E. M 346, 984	Janak, J 150
Glover, R. N 723	Hallam, K. L 48	Hoffman, A. S 1093	Janak, J
Glover, R. N 723 Gobrecht, R 339	Halsteinslid, A 793	Holland, L 1092	Jaulmes, P 153
Godneff, J. N. 955, 956	Hammes, P 121	Holloway, D. G 1250	Javan, A 977
Göbel, K 71	Hammond, L. W. 213	Holm. R. H 498	Jean, R 129
Göring, W 1122, 1123	Hanai, T	Holmgren, H. D 781 Holstein, T. D 532	Jefferson, S
Götte, H 690 Göttlicher, S 1017	Hanic, F	Holterbekk, T 853	Jellinek, F 1052
Goffaux, R 361	Harris, B. L	Holthusen, H 85	Jennings, D. A 479
Fold, T	Harris, G. S 580	Honig, A 549	Jensen, L. H 18
Foldenberg, H. M 505	Harrison, A. W 1164	Hoppe, W1011	Jermolajeff, W. L 365
Roldenberg, S. A 418	Hart. E. W1124	Hosain, F 663	Jermolow, P. F 760
Foldhaber, G 762	Harth, E. M 738	Houalla, D 975	Jerrett, H. S 466
Foldhaber, S 762	Hartshorn, L 441	Houstoun, R. A 993	Johansen, D 44
Foldsack, S. J 855	Harvey, K. B 597	Hovi, V 259 Howard, F. T 714	John, R. M. S 149
Joldschmidt-	Haseda, T 482, 483 Haus, A 564	Howard, F. T 714 Howard, K. S 213	Johns, M. W 810 Johnson, H. L 48
Clermont, Y 673 Foldstone, L. O 654	Haus, A	Howe, W 703	Johnson, S. O 722
Holik, A. Z 217	Havlicek, F. I 795	Hsiao, C. C1110	Johnston, R. L 781
Jomer. R 1133, 1134	Hayashi, C 73	Huber, F	Jones, A. V1164
Homer, R 1133, 1134 Honehar, V. I 830 Honeharov, K. V 252	Hayward, D. O 1058	Huber, O 668	Jones, E 247
Soncharov, K. V 252	Hazard, C 83	Huber, P 662	Jones, G. O 389
toodman, L 940	Hazenbrök, H. F. 1223	Hübel, H 888	Jones, L. H 945
Fordon, A. S 990	Heald, M. A 729	Hughes, I. S 738	Jones, R. C 296
fordon, G. D 225	Heaps, H. S 647	Huiskamp, W. J 776	Jonscher, A. K 545
ordon, I. M 76	Heastie, R 407 Heavens, O. S. 99, 1143	Hull, D	Jørgensen, C. K 947
fordon, J. E 205	Heber C. S. 99, 1143	Hull, N	Joshi, M. C 838
foring, D. A. I 1107	Heber, G 165 Heckrotte, W 767	Hulme, R. F 544 Hulsizer, R. I 776	Jugaku, J 73 Junge, C
orkow, L. P 520 orodetsky, P. G 646	Heer C V 779	Hultqvist, B1183	Jurek, B 318
oroshakina, A. A. 1187	Heer, C. V 772 Helberg, H. W 265	Humphrey, F. B. 453	
ossard, W. H 642	Hellenthal, W 300	Humphreys, B. L. 645	Kacprowski, J1210
otoh, R1153	Helliwell, R. A1194	Hunt, B. E 352	Kaganow, N. I 450

Kallamin, S. P. 857 Kolayaseli, T. 1945 Lagemann, R. T. 965 Congwell, J. P. 89 Kallamin, S. P. 857 Koche, D. 152 Landburts, R. 274 Lorenz, A. 148 Kalleiewski, N. I. 771 Kockel, B. 967 Langue, F. H. 607 Lorenz, A. 148 Landburts, R. 607 Lorenz, A. 148 Landburts, R. 607 Lorenz, A. 148 Landburts, R. 607 Lorenz, A. 149 Landburts, R. 607 Lorenz, A. 149 Landburts, R. 608 Lorenz, A. 149 Landburts, R. 140 Lorenz,				
Rallmin, A. V. 788 Rallmin, S. P. 887 Rallmin, S. P. 887 Rochel, W. 60ch O. 152 Rallejewski, N. I. 771 Rockel, B. 907 Lange, F. H. 621 Lotspelch, J. F. 977, 97 Ralpahina I. A. 128 Roman, S. C. 438 Lange, J. E. de 330 Lotspelch, J. F. 977, 97 Ralpaya, G. I. 236 Roman, S. Roman, S. C. 438 Lange, J. R. H. 621 Lotspelch, J. F. 977, 97 Ralpaya, G. I. 236 Raminski, D. L. 820 Raminski, D. L. 820 Raminski, D. L. 820 Raminski, D. L. 820 Ramond, E. 433 Rogarko, S. M. 238 Lassrew, W. G. 909 Randa, E. 433 Rogarko, S. M. 238 Lassrew, W. G. 909 Randa, E. 433 Rogarko, S. M. 238 Lassrew, W. G. 909 Luebbe, R. H. J. 32 Randaurova, G. S. 1241 Randaurova,	Kaganski, M. G 820	Knof, H1150	Laet, L. de 548	Longoni, A. M 31
Railtejewski, N. I. 771 Kockel, B. 907 Kallabina, I. A. 128 Kochler, W. C. 498 Lange, F. H. 021 Lott, K. A. K. 47 Kallabina, I. A. 128 Kochler, W. C. 498 Lange, F. H. 021 Lott, K. A. K. 48 Kalnaga, G. J. 1236 Konig, F. 0. 208 Langunti, R. V. 904, 305 Lott, K. A. K. 47 Langunti, R. V. 904, 305 Lott, K. A. K. 47 Langunti, R. V. 904, 305 Lott, K. A. K. 47 Langunti, R. V. 904, 305 Lott, K. A. K. 47 Langunti, R. V. 904, 305 Lott, K. A. K. 47 Langunti, R. V. 904, 305 Lott, K. A. K. 47 Langunti, R. V. 904, 305 Lott, K. A. K. 47 Langunti, R. V. 904, 305 Lott, K. A. K. 47 Langunti, R. V. 904 Langunti, R. V. 905 Langunti,			Lagemann, R. I 905	
Railjabinn J. A. 128 Korlier, W. C. 488 Kalnaya, G. I. 1236 Korlier, W. C. 488 Kalnaya, G. I. 228 Langmuir, R. V. 504, 505 Loudon, R. M. 288 Kalnaya, G. I. 228 Langmuir, R. V. 504, 505 Loudon, R. M. 288 Langmuir, R. V. 504, 505 Loudon, R. M. 288 Langmuir, R. V. 504, 505 Loudon, R. M. 288 Langmuir, R. V. 504, 505 Loudon, R. M. 288 Langmuir, R. V. 504, 505 Loudon, R. M. 288 Langmuir, R. V. 504, 505 Loudon, R. M. 288 Langmuir, R. V. 504, 505 Loudon, R. M. 288 Langmuir, R. V. 504, 505 Loudon, R. M. 288 Langmuir, R. V. 504, 505 Loudon, R. M. 288 Langmuir, R. V. 504, 505 Loudon, R. M. 288 Langmuir, R. V. 504, 505 Loudon, R. M. 288 Langmuir, R. V. 504, 505 Loudon, R. M. 288 Langmuir, R. V. 504, 505 Loudon, R. M. 288 Langmuir, R. V. 504, 505 Loudon, R. M. 288 Langmuir, R. V. 504, 505 Loudon, R. M. 288 Langmuir, R. V. 504, 505 Loudon, R. M. 288 Langmuir, R. V. 504, 505 Loudon, R. M. 288 Langmuir, R. V. 504, 505 Loudon, R. M. 288 Langmuir, R. V. 504, 505 Langmuir, R. V. 505 Langmuir, R. V. 504, 505 Langmuir, R. V. 504, 505 Langmuir, R. V. 504, 505 Langmuir, R. V. 505 Langmuir, R.	Kaliamin, A. V 788		Landauer R 607	
Kalpalysin, I. A. 128 Koehler, W. C. 498 Kalongar, G. J. 236 Kologe, W. 433 Lantratov, M. F. 1280 Loutsbard, N. B. 288 Kalpan, S. 498 Kogan, S. G. 635 Laptes, M. 498 Kandan, S. 498 Kogan, S. G. 635 Laptes, M. 498 Kandan, S. 498 Kogan, S. G. 635 Laptes, M. 498 Kandan, W. S. 499 Larson, T. E. 666 Kogan, W. S. 499 Larson, T. E. 666 Kandan, M. 244 Lass, M. 238 Lass, H. 623 Lackey, D. 73 Kaplan, S. A. 82 Kandanurowa, G. S. 1241 Koldan, W. 244 Lass, H. 623 Lackey, D. 73 Kaplan, S. A. 82 Kandanurowa, G. S. 1241 Koldan, W. 244 Lass, H. 623 Lackey, D. 73 Kaplan, S. A. 82 Kandanurowa, G. S. 1341 Koldan, W. 244 Lass, H. 623 Lackey, D. 73 Kaplan, S. A. 82 Kandanurowa, G. S. 1341 Koldan, W. 244 Lass, H. 623 Lackey, D. 73 Kaplan, S. A. 82 Kandanurowa, G. S. 1341 Koldan, W. 244 Laus, M. V. 994 Lackey, D. 73 Kaplan, S. A. 82 Kandanurowa, G. S. 1341 Koldan, W. 244 Laus, M. V. 994 Lackey, D. 73 Karacawaki, M. I. 261 Kolotykin, Y. M. 579 Lackey, M. 922 Lackey, D. 73 Karnovaki, M. I. 261 Kolotykin, Y. M. 579 Lackey, M. 946 Kollary, E. 702 Lackey, M. 948 Lackirski, A. P. 133 Karpowitsch, L. 332 Komitralewa, M. A. 900 Lebowitz, J. L. 910 Karnovaki, M. S. 966 Konjikow, M. W. 503 Lackey, B. 850 Katzujik, J. van 151 Konobejeff, J. W. 353 Ledley, B. 850 Katzujik, J. van 151 Konobejeff, J. W. 353 Ledley, B. 850 Katzujik, J. van 151 Konobejeff, J. W. 353 Katzunan, J. 896 Konstantinow, O. W. 511 Letler, G. Q. 91 Lyon, W. S. 57 Kawanda, A. 1161 Konobejeff, J. W. 353 Katzunan, J. 896 Konstantinow, O. W. 514 Letler, G. Q. 91 Lyon, W. S. 57 Kawandayasahi, K. 748 Konfermann, H. 770 Leibowitz, J. L. 910 Machan, M. 277 Leibowitz, J. J. 910 Machan, M. 278 Lei		Kockel, B 907	Lange, F. H 621	Lotspeich, J. F. 977, 97;
Kallogeropoulos, T. E. Scoppe, W. 433 T. E. Scoppe,		Koehler, W. C 458	Langhe, J. E. de 330	Lott, K. A. K 476
T. E. Scaminski, D. L. 820 Kannmanori, J. 446 Kogan, W. S. 238 Kanda, E. 468 Kogarko, S. M. 238 Kanda, E. 468 Kogarko, S. M. 238 Kandaurova, G. 1211 Koldan, W. S. 138 Kardanishev, S. 79 Kokim, A. 474 Karanjan, A. 786 Kard, P. G. 312 Kolm, H. H. 443 Karanjan, A. 87 Kardanishev, N. S. 79 Kandavskii, M. I. 201 Kolosynkin, V. M. 57 Kardanishev, S. 79 Kolosynkin, Y. M. 57 Kardovskii, M. I. 201 Kolosynkin, Y. M. 57 Kardovskii, J. 201 Kolosynkin, Y. M. 57 Kardovskii, J. 201 Kolosynkin, Y. M. 57 Kardovskii, M. I. 201 Kolosynkin, Y. M. 57 Kardovskii, J. 201 Kolosynkin, Y. M. 57 Kardovskii, M. I. 201 Kolosynkin, Y. M. 57 Kardovskii, J. 201 Kolosynkin, Y. M. 57 Koraboch, V. S. 201 Leebelew, P. J. 745 Lebowitz, J. L. 391, 434 Lundroven, H. L. 201 Lundroven, H. 1216 Lebowitz, J. L. 391, 434 Lundroven, H. 201 L	Kalnaya, G. I1236	König, F 293	Langmuir, R. V. 504, 505	Loudon, R 18t
Kaminski, D. 446 Kanamori, J. 446 Kanamori, J. 448 Kanamori, J. 448 Kogan, W. 5. 999 Kanada, E. 483 Kogan, W. 389 Kanada, E. 483 Kogan, W. 388 Kanamorya, G. 5. 1211 Koidan, W. 153 Kaplon, M. F. 742 Kokin, A. A. 474 Kaplon, M. F. 742 Kokin, A. A. 474 Karpon, M. F. 742 Kokin, A. A. 474 Karpon, M. F. 748 Korin, A. M. 1453 Kard, P. G. 312 Kardashev, N. 796 Kolim, C. 147 Kardon, M. 201 Kardon, M. 2	Kalogeropoulos,	Koeppe, W 433	Lantratov, M. F. 1230	Louishard, N 29.
Kanda, E. 483 Kandatarowa, G. 8 1241 Kaplan, S. A. 823 Kaplan, S. A. 825 Kaplan, S. A. 825 Kaplan, S. A. 825 Kaplan, M. F. 742 Kokin, A. A. 474 Laue, M. V. 994 Lassen, W. 6, 999 Lass, H. 623 Lastew, W. 994 Karapoun, M. F. 742 Kokin, A. A. 474 Laue, M. V. 994 Karpova, R. A. 1138 Koleshinkov, V. K. 922 Karpova, R. A. 1138 Kondari, A. P. 702 Karpova, R. A. 1138 Kondari, A. P. 702 Kasankin, O. N. 363 Konjikow, M. W. 593 Kasankin, O. N. 363 Konjikow, M. W. 593 Kasankin, O. N. 365 Kasankin, O. N. 365 Konjikow, M. W. 593 Kasankin, O. N. 365	T. E	Kogan V I 994	Larrabee B. D 536	Lucchesi, P. J 89:
Kandaurowa, A. 8. 2 Kolzuni, N. 1134 Lassila, A. 623 Luceth, B. 52 Kaplon, M. F. 743 Kolin, A. I. 142 Lauren, B. 192 Luceth, B. 52 Karansonus, G. 748 Koln, C. 147 Lauren, B. 192 Luceth, B. 52 Kardashev, N. 796 Kollon, H. H. 443 Lauren, B. 192 Lukieriski, J. 16 Karplos, M. 946 Kolotyrkin, Y. M. 570 Leamer, R. N. 981 Lukieriski, A. P. Karplos, M. 946 Koldyrkin, Y. M. 570 Leamer, R. D. Lumbroso, H. 59 Kappowitschi, J. 338 Komanikin, O. A. 336 Komirajewa, M. 300 Leamer, R. 1. 322 Lebewitz, J. 1. 140 Lumbroso, H. 59 Karpowitschi, J. 338 Kondreijewa, M. 300 Lebewitz, J. 3. 31 Lumidren, F. Lumidren, F. 1. 1. 1. <td>Kanamori, J 446</td> <td>Kogan, W. S 999</td> <td>Larson T E 666</td> <td>Luckey, D 704</td>	Kanamori, J 446	Kogan, W. S 999	Larson T E 666	Luckey, D 704
Kandaurowa, A. 8. 2 Kolzuni, N. 1134 Lassila, A. 623 Luceth, B. 52 Kaplon, M. F. 743 Kolin, A. I. 142 Lauren, B. 192 Luceth, B. 52 Karansonus, G. 748 Koln, C. 147 Lauren, B. 192 Luceth, B. 52 Kardashev, N. 796 Kollon, H. H. 443 Lauren, B. 192 Lukieriski, J. 16 Karplos, M. 946 Kolotyrkin, Y. M. 570 Leamer, R. N. 981 Lukieriski, A. P. Karplos, M. 946 Koldyrkin, Y. M. 570 Leamer, R. D. Lumbroso, H. 59 Kappowitschi, J. 338 Komanikin, O. A. 336 Komirajewa, M. 300 Leamer, R. 1. 322 Lebewitz, J. 1. 140 Lumbroso, H. 59 Karpowitschi, J. 338 Kondreijewa, M. 300 Lebewitz, J. 3. 31 Lumidren, F. Lumidren, F. 1. 1. 1. <td>Kanda, E 483</td> <td>Kogarko, S. M 238</td> <td>Lasarew, W. G 999</td> <td></td>	Kanda, E 483	Kogarko, S. M 238	Lasarew, W. G 999	
Kaplon, M. F. 742		Koldan, W 244		
Karanjan, A. S., 786 Kohn, C. 147 Kard, P. G. 312 Kohn, C. 147 Kard, P. G. 312 Kohn, H. H. 443 Kardashev, N. S. 79 Kardashev,	Kaplan, S. A 82			
Kard, P. G. 312 Kolm, H. H. 443 Kard, P. G. 312 Kolm, H. H. 443 Kardisshev, N. S. 79 Koloshnikov, K. 922 Lawnichina, A. K. 784 Launibroso, H. 58 Karnovskii, M. 1261 Kolotyskin, Y. M. 579 Karnovskii, M. 1261 Kolotyskin, Y. M. 579 Leachman, R. B. 893 Launibroso, J. L. 110 Karnovskii, M. 1261 Konobejeff, J. W. 303 Leenter, B. D. 885 Leachman, R. B. 894 Launibroso, J. L. 110 Leachman, R. B. 894 Launibroso, J. Launibroso, J. L. 110 Leachman, R. B. 894 Launibroso, J. Launibroso,	Karagounis, G 963	Kokurin, J. L 1172	Launay, J. de 514	Lugt, W. van der 47.
Karpova, R. A. 1188 Karpova, R. A. 1189 Komar, A. P. 1235 Karpovatsch, I. A. 332 Komilander, A. P. 1235 Karpovatsch, I. A. 332 Komilander, A. P. 1235 Kasankin, O. N. 363 Komilander, A. P. 1235 Kasankin, O. N. 363 Komilander, A. P. 1235 Komilander, A. 980 Komil	Karamjan, A. S 786	Kolm, C 147	Laurent, B. E 192	Lukierski, J 167
Karpova, R. A. 1188 Karpova, R. A. 1189 Komar, A. P. 1235 Karpovatsch, I. A. 332 Komilander, A. P. 1235 Karpovatsch, I. A. 332 Komilander, A. P. 1235 Kasankin, O. N. 363 Komilander, A. P. 1235 Kasankin, O. N. 363 Komilander, A. P. 1235 Komilander, A. 980 Komil	Kard, P. G 312	Kolm, H. H 443	Laurie, V. W 981	
Karpova, R. A. 1188 Karpova, R. A. 1189 Komar, A. P. 1235 Karpovatsch, I. A. 332 Komilander, A. P. 1235 Karpovatsch, I. A. 332 Komilander, A. P. 1235 Kasankin, O. N. 363 Komilander, A. P. 1235 Kasankin, O. N. 363 Komilander, A. P. 1235 Komilander, A. 980 Komil		Koloshnikov, V. K. 922	Lavrukhina, A. K. 184	Lundberg J L. 1100
Karpowiskel, I. A. 332 Kondra, A. P. 1235 Lebedew, P. I. 745 Lebowitz, J. I. 391, 434 Lundgren, F. 122 Kasankin, O. N. 368 Konjukov, M. W. 503 Ledew, B. 504 Luric, K. A. 926 Katvijk, J. van 151 Konobejeff, J. W. 353 Lee, T. D. 1076 Lvov, A. N. 388 Katzman, J. 896 Konjukov, M. W. 503 Lee, T. D. 1076 Lvov, A. N. 388 Lee, T. D. 1076 Lvov, A. N. 388 Lee, T. D. 1076 Lvov, A. N. 388 Lee, T. D. 1076 Leibowitz, H. 1216		Koltav E 702		
Kasankin, O. N. 363 Konilin, J. 822 Lebowitz, J. L. 391, 434 Landqvist, S. O. 35 Kato, H. 936 Koninkow, M. W. 503 Lediey, B. 850 Lattsch, A. 25 Katvijk, J. van 151 Konobeiejf, J. W. 353 Lee, T. D. 1076 Katvajk, J. van 151 Konobeiejf, J. W. 353 Lee, T. D. 1076 Katvajk, J. van 151 Konobeiejf, J. W. 353 Lee, T. D. 1076 Kavadas, A. 1161 Kopadischwilli, T. I. 891 Lehmann, W. J. 969 Lefter, G. Q. 91 Lyon, W. S. 37 Kazachevskaya, T. V. 54 Koroleff, F. A. 923 Leibowitz, H. 1266 Kazachevskaya, T. V. 54 Koroleff, F. A. 923 Leibowitz, H. 1266 Kazachevskaya, T. V. 54 Koroleff, F. A. 923 Leibowitz, H. 1266 Kelty, G. 573 Kovice, A. E. 335 Leontic, B. 985 Lyon, W. S. 97 Leibach, H. 1160 Kelty, S. D. 136 Leibowitz, H. 1266 Kelty, G. 573 Koski, W. S. 992 Lepechin, F. G. 744 Kelty, G. 573 Koski, W. S. 992 Lepechin, F. G. 744 Kelty, M. S. 940 Leven, J. S. 986 Kelty, G. 573 Koski, W. S. 992 Leven, J. S. 986 Kelty, W. C. 96 Kramer, H. 599 Levy, B. 866 Kelty, W. C. 96 Kramer, H. 599 Levy, R. 637 MacDonald, R. A. 178 Koman, V. M. 686 Kramer, H. 599 Levy, R. 637 MacDonald, R. A. 378 Kenty, R. J. 140 Leibach, H. 1160 Krenty, R. J. 140 Leibach, H. 1160 Krenty, R. J. 140 Levy, R. 637 MacDonald, R. A. 378 Krestnikow, J. S. 750 Lewin, J. S. 966 Krewinkel, G. M. 602 Kregar, M. 762 Lewin, J. S. 966 Krewinkel, G. M. 602 Kregar, M. 762 Lewin, J. S. 966 Krewinkel, G. M. 602 Kregar, M. 762 Krestnikow, J. S. 760 Leibach, H. 1160 Krein, J. M. 686 Krein, J. M.				Lundgren, F1225
Katwijk, J. van. 151 Konobejeff, J. W. 353 Leedley, B. 850 Livsch, A. 255 Katzman, J. 896 Konjukow, M. W. 593 Leedley, B. 850 Livsch, A. 885 Katzman, J. 896 Konstantinow, O. W. 511 Lefler, G. Q. 91 Lyon, W. 8. 87 Kayadas, A. 1161 Konobejechwilli, T. 1. 891 Lehman, W. J. 969 Leflowitz, H. 1216 Kazachevskaya, T. V. 54 Koroleff, F. A. 923 Leipp, E. 253, 254 Lysina, L. A. 98 Keinath, G. 155 Korryage, A. E. 395 Keinath, G. 155 Korryage, A. E. 395 Keinath, G. 155 Korvyage, A. E. 395 Leontie, B. 685 McAllister, R. A. 21 Keldysch, L. W. 534 Koski, W. 8. 992 Lepechin, F. G. 741 McAllister, R. A. 21 Keldysch, L. W. 534 Koski, W. 8. 993 Levengood, W. C. 105 McCone, A. jr. 44 Kellogg, P. J. 1191 Koval, A. G. 698 Levin, J. S. 868 McDonald, Kelly, W. C. 96 Kramer, H. 599 Levy, R. 637 McDonald, R. A. 1237 Kelman, W. M. 687 Kramer, H. 599 Levy, R. 637 McDonald, R. A. 1818 Kenney, P. J. 875 Kramer, W. R. 374 Lewis, J. 960 Macero, D. J. 57 Kenney, R. W. 751 Kraus, J. D. 1180 Krent, D. W. jr. 866 Krawinka, L. D. 784 Lewis, J. 960 Macero, D. J. 57 Kern, J. 604 Kresari, A. 1818 Krener, W. R. 374 Kenney, R. W. 755 Kraus, J. D. 1180 Krenel, G. 792 Kresari, A. 1818 Krener, W. R. 374 Kenney, R. W. 755 Krestnikow, J. S. 759 Krestnikow, J.	Karpowitsch, I. A. 332	Kondratjewa, M. A. 900		
Katzman, J. 806 Konstantinow, O. W. 511 Leiler, G. Q. 91 Lyon, W. S. 57 Kavadas, A. 1161 Kopachesishwili, T. I. 891 Leinmann, W. J. 969 Lysina, L. A. 98 Kazachevskaya, T. V. 54 Korobochko, Y. S. 707 Leinbach, H. 1160 Kazes, E. 175 Koskoloff, F. A. 923 Leontie, B. 685 Kelbg, G. 573 Kosk, W. S. 992 Lepechin, F. G. 74 Keller, J. B. 304 Kosyobechko, Y. S. 86 Levin, J. S. 868 Keller, G. 573 Koski, W. S. 992 Lepechin, F. G. 741 Keller, J. B. 304 Kosyobechek, V. S. 131 Levesque, R. J. A. 807 Keller, J. B. 304 Kosaloff, B. A. 923 Levin, J. S. 868 Keller, J. B. 304 Kosaloff, B. A. 923 Levin, J. S. 868 McCall, D. W. 105 Keller, S. C. 96 Kramer, H. 599 Levin, J.		Konijin, J 832	Lecomte, M. J 309	
Katzman, J. 806 Konstantinow, O. W. 511 Leiler, G. Q. 91 Lyon, W. S. 57 Kavadas, A. 1161 Kopachesishwili, T. I. 891 Leinmann, W. J. 969 Lysina, L. A. 98 Kazachevskaya, T. V. 54 Korobochko, Y. S. 707 Leinbach, H. 1160 Kazes, E. 175 Koskoloff, F. A. 923 Leontie, B. 685 Kelbg, G. 573 Kosk, W. S. 992 Lepechin, F. G. 74 Keller, J. B. 304 Kosyobechko, Y. S. 86 Levin, J. S. 868 Keller, G. 573 Koski, W. S. 992 Lepechin, F. G. 741 Keller, J. B. 304 Kosyobechek, V. S. 131 Levesque, R. J. A. 807 Keller, J. B. 304 Kosaloff, B. A. 923 Levin, J. S. 868 Keller, J. B. 304 Kosaloff, B. A. 923 Levin, J. S. 868 McCall, D. W. 105 Keller, S. C. 96 Kramer, H. 599 Levin, J.		Konobeieff J W 252	Lee T D. 1076	L'vov. A. N 990
Kawarabayshi, K. 748 Kopaleischwill, T. I. 891 Lehmann, W. J. 969 Lysina, L. A. 98 Kawarabayshi, K. 748 Korolochko, Y. S. 707 Lehmann, W. J. 969 Lehmann, W. J. 969 Lehmann, W. J. 969 Lehmann, W. J. 969 Lehmann, W. J. 968 Leither, J. 738 Levengood, W. C. 105 Levesgood, W. C. 105 L	Katzman, J 896	Konstantinow, O. W. 511	Lefler, G. Q 91	Lyon, W. S 870
Razachevskaya, Korobechko, Y. S. Cholmach, H. 1216 Leibowitz, H. 1216 Leipp, E. 253,254 Leither, J. 136 Leibowitz, H. 1216 Leipp, E. 253,254 Leither, J. 738 Leither, J. 738 Leontie, B. 0.85 Leither, J. 738 Leontie, B. 0.85 Levengood, W. 105 Levengood, W.	Kavadas, A1161	Kopaleischwili, T. I. 891	Lehmann, W. J 969	Lysina, L. A 986
T. V.	Kawarabayashi, K. 748	Kopfermann, H 770	Leibowitz, H1216	
Keldysch, L. W. 534 Koski, W. S. 992 Keldysch, L. W. 534 Koskoff, B. P. 313 Keller, J. B. 304 Kosyreff, B. P. 313 Kellogg, P. J. 1191 Koval, A. G. 698 Kelly, A. 1237 Kelly, A. 1237 Kelly, W. C. 96 Kramer, H. 599 Kelly, W. C. 96 Kramer, W. 494 Kelman, V. M. 687 Kelman, W. M. 889 Kramer, W. 494 Kelman, W. M. 889 Kramer, W. 494 Kelman, W. M. 889 Kramer, W. 494 Kennan, W. 751 Kraus, J. D. 1180 Kent, D. W. Jr. 866 Krawinkel, G. H. 602 Keny, J. 31 Kent, D. W. Jr. 866 Krawinkel, G. H. 602 Kern, J. 668 Kresmin, A. A. 881, 883 Kernan, W. 755 Kreseni, A. A. 881, 883 Kernan, W. 755 Kreseni, G. 792 Kreser, I. M. 1105 Kershenzewa, N. P. 640 Krintschik, G. S. 604 Kenden, E. 1028 Kristein, P. T. 688 Krüger, L. 811 Kikuchi, T. 738 Krüger, L. 811 Kikuchi, T. 738 Krüger, L. 811 Kikuchi, Y. 982 Ku, DV. 595 Kim, C. O. 755 Kubanskii, P. N. 384 Kimura, A. 139 Kimura, A. 390 Kimura, A. 390 Kimura, A. 390 Kimura, K. 393 Kimun, K. 394 Kimunha, M. 1105 Kimenho, P. 496 Kimenho, P. 91 Kimenho, P. 91 Kimenho, P. 91 Kimenho, P. 92 Kimenho	Kazachevskaya,	Korobochko, Y. S. 707	Leinbach, H	Mana Paddy
Keldysch, L. W. 534 Koski, W. S. 992 Keldysch, L. W. 534 Koskoff, B. P. 313 Keller, J. B. 304 Kosyreff, B. P. 313 Kellogg, P. J. 1191 Koval, A. G. 698 Kelly, A. 1237 Kelly, A. 1237 Kelly, W. C. 96 Kramer, H. 599 Kelly, W. C. 96 Kramer, W. 494 Kelman, V. M. 687 Kelman, W. M. 889 Kramer, W. 494 Kelman, W. M. 889 Kramer, W. 494 Kelman, W. M. 889 Kramer, W. 494 Kennan, W. 751 Kraus, J. D. 1180 Kent, D. W. Jr. 866 Krawinkel, G. H. 602 Keny, J. 31 Kent, D. W. Jr. 866 Krawinkel, G. H. 602 Kern, J. 668 Kresmin, A. A. 881, 883 Kernan, W. 755 Kreseni, A. A. 881, 883 Kernan, W. 755 Kreseni, G. 792 Kreser, I. M. 1105 Kershenzewa, N. P. 640 Krintschik, G. S. 604 Kenden, E. 1028 Kristein, P. T. 688 Krüger, L. 811 Kikuchi, T. 738 Krüger, L. 811 Kikuchi, T. 738 Krüger, L. 811 Kikuchi, Y. 982 Ku, DV. 595 Kim, C. O. 755 Kubanskii, P. N. 384 Kimura, A. 139 Kimura, A. 390 Kimura, A. 390 Kimura, A. 390 Kimura, K. 393 Kimun, K. 394 Kimunha, M. 1105 Kimenho, P. 496 Kimenho, P. 91 Kimenho, P. 91 Kimenho, P. 91 Kimenho, P. 92 Kimenho	Kazes E			J. van der 108
Keldysch, L. W. 534 Koski, W. S. 992 Keldysch, L. W. 534 Koskoff, B. P. 313 Keller, J. B. 304 Kosyreff, B. P. 313 Kellogg, P. J. 1191 Koval, A. G. 698 Kelly, A. 1237 Kelly, A. 1237 Kelly, W. C. 96 Kramer, H. 599 Kelly, W. C. 96 Kramer, W. 494 Kelman, V. M. 687 Kelman, W. M. 889 Kramer, W. 494 Kelman, W. M. 889 Kramer, W. 494 Kelman, W. M. 889 Kramer, W. 494 Kennan, W. 751 Kraus, J. D. 1180 Kent, D. W. Jr. 866 Krawinkel, G. H. 602 Keny, J. 31 Kent, D. W. Jr. 866 Krawinkel, G. H. 602 Kern, J. 668 Kresmin, A. A. 881, 883 Kernan, W. 755 Kreseni, A. A. 881, 883 Kernan, W. 755 Kreseni, G. 792 Kreser, I. M. 1105 Kershenzewa, N. P. 640 Krintschik, G. S. 604 Kenden, E. 1028 Kristein, P. T. 688 Krüger, L. 811 Kikuchi, T. 738 Krüger, L. 811 Kikuchi, T. 738 Krüger, L. 811 Kikuchi, Y. 982 Ku, DV. 595 Kim, C. O. 755 Kubanskii, P. N. 384 Kimura, A. 139 Kimura, A. 390 Kimura, A. 390 Kimura, A. 390 Kimura, K. 393 Kimun, K. 394 Kimunha, M. 1105 Kimenho, P. 496 Kimenho, P. 91 Kimenho, P. 91 Kimenho, P. 91 Kimenho, P. 92 Kimenho	Keinath, G 155	Korvezee, A. E 395	Leontic, B 685	McAllister, R. A 21;
Kellegr, J. B. 304 Kosyreff, B. P. 313 Levesque, R. J. A. 807 McClone, A. jr. 418 Kellogg, P. J. 1191 Koval, A. G. 698 Kelly, A. 1237 Kozachenko, L. S. 417 Levi, B. S. 868 Kelly, W. C. 96 Kramer, H. 599 Kelman, V. M. 687 Kramer, V. 494 Levi, B. J. 321 McElhinney, J. 89 Kelman, V. M. 687 Kramer, W. 494 Levikoff, S. J. 321 McElhinney, J. 89 Kelman, V. M. 839 Kramer, W. R. 374 Levikoff, S. J. 321 McElhinney, J. 89 Kennedy, P. J. 875 Krassivina, L. D. 784 Levikoff, S. J. 321 McElhinney, J. 89 Kennedy, P. J. 875 Krassivina, L. D. 784 Levikoff, S. J. 321 McElhinney, J. 80 Kelman, V. M. 687 Kramer, W. R. 374 Levikoff, S. J. 321 McElhinney, J. 80 Kelman, V. M. 686 Krawinkel, G. H. 602 Liebau, F. 1023, 1034 McGowan, F. K. 81 MacGowan, F. K. 81 MacGowan, F. K. 81 Liebau, F. 1023, 1034 MacGowan, F. K. 81 Kramer, V. 881, 883 Liebaur, F. 1023, 1034 MacGowan, F. K. 81 MacGowan, F. K. 81 MacGowan, F. K. 81 MacGowan, F. K. 81 Liebau, F. 1023, 1034 MacKin, H. V. 16 Mackay, D. 114 Mac	Kelbg, G 573	Koski, W. S 992	Lepechin, F. G 741	MacArthur, J. D 810
Kelly A. 1237 Kozachenko, L. S. 417 Kelly W. C. 96 Kramer, H. 599 Kelman, V. M. 687 Kramer, H. 599 Kelman, V. M. 687 Kramer, W. 494 Kelman, W. M. 839 Kramer, W. R. 374 Kenney, R. W. 751 Krans, J. D. 1180 Kenney, R. W. 751 Krans, J. D. 1180 Kenney, R. W. 751 Krans, J. M. 1180 Kenyon, R. J. 641 Kenyon, R. J. 668 Krawinkel, G. H. 602 Keryon, R. J. 664 Krespan, M. 792 Kernel, G. 792 Kershenzewa, N. P. 640 Krestenzewa, N. P. 640 Kritschik, G. S. 604 Kwulen, E. 1028 Kritschik, G. S. 604 Kritzinger, C. A. 711 Kikuehi, T. 738 Kringer, L. 811 Kikuehi, Y. 982 King, G. S. D. 1206 King, G. S		Kosloff, B. A 923	Levengood, W. C. , 105	
Kelly, M. C. 96 Kramer, H. 599 Levy, R. 637 McDonald, R. A. 37 Kelman, V. M. 687 Kramer, V. 494 Lewikoff, S. J. 321 McEllinney, J. 89 Kelman, V. M. 687 Kramer, V. 494 Lewikoff, S. J. 321 McEllinney, J. 89 Kelman, V. M. 839 Kramer, W. R. 374 Lewikoff, S. J. 321 McEllinney, J. 89 Macero, D. J. 57 Levy, R. 637 McDonald, R. A. 37 Lewikoff, S. J. 321 McEllinney, J. 89 McElli	Kellogg P J 1191			MacDonald
Kelman, V. M. 687 Kelman, V. M. 839 Kelman, W. M. 839 Kramer, W. R. 374 Kennedy, P. J. 875 Krasavina, L. D. 784 Kennedy, P. J. 875 Krasavina, L. D. 784 Kennedy, R. W. 751 Krats, J. D. 1180 Kenney, R. J. 664 Krawinkel, G. H. 602 Kenyon, R. J. 641 Kresar, M. 792 Kernan, W. 755 Krestnikow, J. S. 759 Kernan, W. 755 Krestnikow, J. S. 759 Kernel, G. 792 Krieger, I. M. 1105 Kershenzewa, N. P. 640 Kritzinger, C. A. 711 Kikuchi, T. 738 Krizer, L. 811 Kikuchi, T. 738 Kriger, L. 811 Kikuchi, T. 738 Kimur, A. D. 395 Kimur, A. D. 395 Kimur, A. D. 395 Kimur, A. D. 395 Kimur, A. D. 448 Kimur, R. P. 27 Kiraky, J. 1140 Kirchenmayer, A. 721 Kirchenm	Kelly, A	Kozachenko, L. S 417	Levine, H 305	D. K. C 518, 61:
Kennedy, P. J. 875 Kenney, R. W. 751 Kenney, R. W. 751 Kenney, R. W. 751 Kenney, R. W. 751 Kenney, R. J. 664 Kenyon, R. J. 664 Kenyon, R. J. 664 Kenyon, R. J. 664 Kershin, J. 668 Krasinikow, J. 879 Kernen, W. 755 Kerselikow, J. 8, 759 Kernen, W. 755 Kerselikow, J. 8, 759 Kershenzewa, N. P. 640 Keulen, E. 1028 Kershenzewa, N. P. 640 Keulen, E. 1028 Keyes, R. W. 380 Khastgir, S. R. 1178 Kienle, P. 817 Kienle, P. 817 Kienle, P. 817 Kinge, C. J. 811 Kikuchi, T. 738 King, G. S. D. 1206 Kingsbury, R. F. 27 Kiraly, J. 1140 Kirchenmayer, A. 721 Kiraly, J. 1140 Kirchenmayer, A. 724 Kirals, J. D. 1180 Kenet, C. A. 751 Kirals, J. D. 1180 Kenet, D. 91 King, G. S. D. 1206 Kingsbury, R. F. 27 Kiraly, J. 1140 Kirchenmayer, A. 724 Kirals, J. C. 1218 King, G. S. D. 1206 King, G. S. D. 1206 Kingsbury, R. F. 27 Kiraly, J. 1140 Kirchenmayer, A. 724 Kirals, J. C. 1218 King, G. S. D. 1206 King, G. S. D. 1206 King, G. S. D. 1206 Kingsbury, R. F. 27 Kiraly, J. 1140 Kirchenmayer, A. 724 King, G. S. D. 1206 Kingsbury, R. F. 27 Kiraly, J. 1140 Kirchenmayer, A. 721 Kirenski, L. W. 448 Kung, S. M. 74, 75 Kiem, C. A. 1218 King, G. 387 Klein, C. A. 1218 King, G. 387 Kurt, V. G. 68 King, G. 387 Klein, C. A. 1218 Kutschinka, M. J. 988 Livingston, R. S. 714 Livingston, R. S. 714 Margoshes, M. 122 Looman, A. A. 177 Margoshes, M. 122 Looman, A. A. 177 Margoshes, M. 122 Margoshes, M. 122 Looman, A. A. 177 Margoshes, M. 120 Margony, J. B. 790 Margony, J	Kelly, W. C 96	Kramer, H 599	Levy, R 637	
Kennedy, P. J. 875 Kenney, R. W. 751 Kenney, R. W. 751 Kenney, R. W. 751 Kenney, R. W. 751 Kenney, R. J. 664 Kenyon, R. J. 664 Kenyon, R. J. 664 Kenyon, R. J. 664 Kershin, J. 668 Krasinikow, J. 879 Kernen, W. 755 Kerselikow, J. 8, 759 Kernen, W. 755 Kerselikow, J. 8, 759 Kershenzewa, N. P. 640 Keulen, E. 1028 Kershenzewa, N. P. 640 Keulen, E. 1028 Keyes, R. W. 380 Khastgir, S. R. 1178 Kienle, P. 817 Kienle, P. 817 Kienle, P. 817 Kinge, C. J. 811 Kikuchi, T. 738 King, G. S. D. 1206 Kingsbury, R. F. 27 Kiraly, J. 1140 Kirchenmayer, A. 721 Kiraly, J. 1140 Kirchenmayer, A. 724 Kirals, J. D. 1180 Kenet, C. A. 751 Kirals, J. D. 1180 Kenet, D. 91 King, G. S. D. 1206 Kingsbury, R. F. 27 Kiraly, J. 1140 Kirchenmayer, A. 724 Kirals, J. C. 1218 King, G. S. D. 1206 King, G. S. D. 1206 Kingsbury, R. F. 27 Kiraly, J. 1140 Kirchenmayer, A. 724 Kirals, J. C. 1218 King, G. S. D. 1206 King, G. S. D. 1206 King, G. S. D. 1206 Kingsbury, R. F. 27 Kiraly, J. 1140 Kirchenmayer, A. 724 King, G. S. D. 1206 Kingsbury, R. F. 27 Kiraly, J. 1140 Kirchenmayer, A. 721 Kirenski, L. W. 448 Kung, S. M. 74, 75 Kiem, C. A. 1218 King, G. 387 Klein, C. A. 1218 King, G. 387 Kurt, V. G. 68 King, G. 387 Klein, C. A. 1218 Kutschinka, M. J. 988 Livingston, R. S. 714 Livingston, R. S. 714 Margoshes, M. 122 Looman, A. A. 177 Margoshes, M. 122 Looman, A. A. 177 Margoshes, M. 122 Margoshes, M. 122 Looman, A. A. 177 Margoshes, M. 120 Margony, J. B. 790 Margony, J	Kelman, V. M 687	Kramer, V 494		McElhinney, J 890
Kenney, R. W. 751 Kraus, J. D. 1180 Ljde, D. R. jr. 981 McGowan, F. K. 81 Kent, D. W. jr. 866 Krawinkel, G. H. 602 Liebau, F. 1023, 1034 Machwe, M. K. 86 Kenyon, R. J. 641 Kregar, M. 792 Lieberman, D. 672 McIntosh, H. V. 16 Kernan, W. 755 Kernel, G. 792 Kresthikow, J. S. 759 Liebout, R. van McKeag, A. H. 35 Kershenzewa, N. P. 640 Kritschik, G. S. 604 Krischen, E. 1028 Krischer, L. C. 979, 980 Lillethun, E. 850 McKenzie, J. M. 68 Krischer, R. M. N. 308 Kritzinger, C. A. 711 Krime, P. 817 Krüger, L. 811 Lindemann, G. 1023 Macklin, R. L. 790, 87 Kinene, P. 817 Krüger, L. 811 Lindemann, G. 1023 Macklin, R. L. 790, 87 Kinene, P. 817 Krüger, L. 811 Lindemann, G. 1023 McKinney, P. C. 92 Kinura, K. 939 Kubon, M. 939 Kubon, M. 939 Kubota, H. 278 King, G. S. D. 1206 Kümmel, H. 845 Kirstein, P. T. 658 Kingsbury, R. F. 27 Kiraly, J. 1140 Kirchenmayer, A. 721 Kulenkampif, L. 872, 873 Kischko, S. M. 988 Kurt, V. G. 68 Kischen, P. 989 Kutscher, H. 1314 Kutschinka, M. J. 988 Kutscher, H. 1314 Kutschinka, M. J. 988 Kutscher, H. 1314 Kutschinka, M. J. 988 Kuzmetsov, A. Y. 1248 Kutscher, H. 1314 Livingston, R. S. 714 Mandel'shtam, S. L. 93 Kuzmetsov, A. Y. 1248 Kuzmenko, P. P. 1236 Look, W. O. 855 Marcel, L. C. van der Margarve, J. L. 30 Margoshes, M. 122 Margoshes, M. 123 Margoshes, M. 124 Margoshes, M. 124 Margoshes, M. 125 Margos	Kelman, W. M 839	Kramer, W. R 374		
Kenyon, R. J. 664 Kregar, M. 792 Lieberman, D. 672 McIntosh, H. V. 16 Kenyon, R. J. 668 Kresnin, A. A. 881, 883 Kernan, W. 755 Krestnikow, J. S. 759 Kernel, G. 792 Krieger, I. M. 1105 Kershenzewa, N. P. 640 Kritstehik, G. S. 604 Kenlen, E. 1028 Kriststehik, G. S. 604 Kriststehik, G. S. 604 Kriststehik, G. S. 604 Kriststenik, P. 817 Krieger, L. 811 Kriger, C. A. 711 Kikuchi, T. 738 Kriger, L. 811 Kikuchi, T. 738 Kruglak, H. 88, 89 Kikuchi, V. 982 Kin, C. O. 755 Kubanskii, P. N. 384 King, G. S. D. 1206 King, G. S. D. 1206 Kingsbury, R. F. 27 Kirger, L. 815 King, G. S. D. 1206 Kirgsbury, R. F. 27 Kirger, L. 816 Kirenski, L. W. 448 Kirstein, P. T. 658 Kumel, H. 845 Kirstein, P. T. 658 Kuno, H. 1154 Kirenski, L. W. 448 Kirstein, P. T. 658 Kuno, H. 1154 Kirenski, L. W. 448 Kirstein, P. T. 658 Kuno, H. 1154 Kirenski, L. W. 448 Kirstein, P. T. 658 Kuno, H. 1154 Kiren, A. 1150 Kiren, A. 1218 Kurt, N. 74, 75 Klein, C. A. 1218 Kiren, A. 150 Kiren, A.	Kenney, R. W 751			
Kernyon, R. J. 641 Kregar, M. 792 Lieberman, D. 672 McIntosh, H. V. 16 Kern, J. 668 Kresnin, A. A. 881, 883 Lienard, G. 410 Mackay, D. 114 Kernan, W. 755 Krestnikow, J. S. 759 Lieshout, R. van McKeag, A. H. 35 Kershenckewa, N. P. 640 Kribschik, G. S. 604 Litshits, E. M. 508 Mackie, A. G. 22 Keyes, R. W. 380 Kritschik, G. S. 604 Litshits, E. M. 508 Mackie, A. G. 22 Khastgir, S. R. 1178 Krom, M. N. 308 Lindig, O. 1243 Macklin, R. L. 790, 87 Kikuchi, T. 738 Kruglak, H. 88, 89 Kikuchi, V. 982 Kin, D. Y. 595 Lintin, D. R. 415 McLachlan, A. D. 94 Kimura, K. 939 Kubo, M. 939 Lindig, G. 78, P. C. 939, Macklin, R. L. 790, 87 Kimura, K. 939 Kubo, M. 939 Lindig, O. 1243 Macklin, E. 21 Kiraly, J. 1140 Kirchenmayer, A. 721 Kummer, J. T. 408 Kischko, S. M. 988 Kutt, V. G. 68 Kittle, L. H. 971 Malby, P. 126 Kiraly, J. L. 733 Kleim, C. A. 1218 Kutschinka, M. J. 988 Lloyd, M. B. 280 Markerif, W. J. 27 Kuzmin, A. 1150 Kuzmin, V. 628 Lock, W. O. 855 Managan, W. W. 75 Kuzmin, A. 1218 Kutschinka, M. J. 988 Lloyd, M. B. 280 Markerif, W. J. 28 Lowe, G. 1200 Logunov, A. A. 177 Margrave, J. L. 38 Margrave, J. L. 38 Margrave, J. L. 39 Margrave, J. L. 30 Margrave,	Kent, D. W. jr 866	Krawinkel, G. H 602	Liebau, F 1023, 1034	Machwe, M. K 866
Kernan, W. 755 Kresthikow, J. S. 759 Lieshout, R. van McKeag, A. H. 35 Kernel, G. 792 Krieger, I. M. 1105 831, 832, 833, 834, 835 McKeag, A. H. 36 Kersheuzewa, N. P. 640 Krintschik, G. S. 604 Lifishits, E. M. 508 McKenzie, J. M. 68 Keves, R. W. 380 Kritzinger, C. 711 Lindemann, G. 1023 McKinney, P. C. 92 Khastgir, S. R. 1178 Krom, M. N. 308 Lindig, O. 1243 McKinney, P. C. 92 Kikuchi, T. 738 Krüger, L. 811 Lindiag, O. 1243 Mckinney, P. C. 92 Kim, C. O. 755 Kub, M. 939 Lindiag, O. 1243 Mckein, R. L. 790, 87 King, G. S. D. 1206 Kub, M. 939 Lippert, E. 342 McLaughlin, E. 21 Kirelin, G. S. D. 1206 Kümmel, H. 845 Lisberper, P. H. 199 Maeritin, P. 96 King, G. S	Kenyon, R. J 641		Lieberman, D 672	McIntosh, H. V 16:
Kershenzewa, N. P. 640 Keulen, E. 1028 Keyes, R. W. 380 Krishenz, L. C. 979, 980 Khastgir, S. R. 1178 Kienele, P. 817 Kieuchi, T. 738 Kikuchi, T. 738 Kikuchi, V. 982 Kim, C. O. 755 Kimura, K. 939 King, A. D. jr. 985 King, G. S. D. 1206 Kirshen, P. T. 658 Kirshein, P. T. 658 Kischko, S. M. 988 Kisthko,	Kern, J 668 .	Kresnin, A. A. 881, 883	Lienard, G 410	
Kershenzewa, N. P. 640 Keulen, E. 1028 Keulen, E. 1028 Krisher, L. C. 979, 980 Khastgir, S. R. 1178 Kisher, L. 850 Krisher, C. A. 711 Kikuchi, T. 738 Kikuchi, T. 738 Kikuchi, Y. 982 Kim, C. O. 755 Kimura, K. 939 King, A. D. jr. 985 Kimg, G. S. D. 1266 Kingsbury, R. F. 27 Kirenski, L. W. 448 Kirstein, P. T. 658 Kisnel, L. 97 Kirenmayer, A. 721 Kirenski, L. W. 448 Kirstein, P. T. 658 Kisnel, S. M. 988 Kirstein, P. T. 658 Kir	Kernel, G 792	Krieger I. M. 1105		
Keulen, E. 1028 Krisher, L. C. 979, 980 Lillethun, E. 850 McKinley, J. D. jr 14 Keyes, R. W. 380 Kritzinger, C. A. 711 Lindemann, G. 1023 McKinney, P. C. 92 Khastgir, S. R. 1178 Krom, M. N. 308 Lindig, O. 1243 Macklin, R. L. 790, 87 Kienele, P. 817 Krüger, L. 811 Lindig, O. 1243 Macklin, R. L. 790, 87 Kikuchi, Y. 982 Ku, DY. 595 Lintin, D. R. 415 McLeachlan, A. D. 94 Kimura, A. 939 Kub, M. 939 Lippert, E. 342 Macritchie, F. 96 King, A. D. jr. 985 Kubota, H. 278 Lippert, W. 1119 Madelang, O. 52 Kings, G. S. D. 1206 Kümel, H. 845 Lisberger, P. H. 292 Mal, H. 118 Kirenski, L. W. 448 Kummer, J. T. 408 List, G. 589 Mairysalo, E. 25 <	Kershenzewa, N. P. 640	Krintschik G. S. 604	Lifshits, E. M 508	Mackie, A. G 22:
Khastgir, S. R. 1178 Kienle, P. 817 Kikuchi, T. 738 Kingder, L. 811 Kikuchi, V. 982 Kin, C. O. 755 Kimura, K. 939 King, A. D. jr. 985 Kingsbury, R. F. 27 Kiraly, J. 1140 Kirenski, L. W. 448 Kirstein, P. T. 658 Kischko, S. M. 988 Kisthko, S. M. 988 Kischko, S. M. 988 Kisthko, S. M. 988 Kisthandi, M. 1154 Litheland, M. 1154 Makushkini, V. P. 22 Mahl, H. 11	Keulen, E 1028	Krisher, L. C 979, 980	Lillethun, E 850	McKinley, J. D. jr 14:
Kikuchi, T. 738 Kikuchi, Y. 982 Kin, C. O. 755 Kubanskii, P. N. 384 Kimura, K. 939 King, A. D. jr. 985 King, G. S. D. 1206 Kimgshury, R. F. 27 Kiraly, J. 1140 Kirchenmayer, A. 721 Kirenski, L. W. 448 Kirstein, P. T. 658 Kisehko, S. M. 988 Kisehko, S. M. 988 Kisehko, S. M. 988 Kisehko, S. M. 988 Kilassen, I. F. 217 Kielmon, E. 459 Kleimon, E. 450 Kutscher, H. 134 Little, R. E. 143 Malyscheff, W. I. 22 Managan, W. W. 72 Managan, W. W. 72 Managan, W. W. 74 Maning, L. A. Marceley, R. G. 11 Lobersjoe, O. 853 Marcowitz, S. 86 Margune, J. C. van der 4 Lowe, G. 1200 Logunov, A. A. 171, 172 Margrave, J. L. 30 Marjon, J. B. 790 8 Marjon, J. B. 790 8	Keyes, R. W 380	Kritzinger, C. A 711		McKinney, P. C 929
Kim, C. O. 755 Kimg, A. D. 769 Kimg, A. D. jr. 985 King, G. S. D. 1206 Kingsbury, R. F. 27 Kiraly, J. 1140 Kirchenmayer, A. 721 Kirenski, L. W. 448 Kirstein, P. T. 658 Kisehko, S. M. 988 Kurt V. G. 68 Little, R. E. 143 Malyscheff, W. I. 28 Malzew, W. M. 88 Malzew, W. M. 88 Kisehko, R. 1218 Kitscher, H. 134 Livingston, R. S. 714 Mandel'shtam, S. L. 92 Maning, L. A. 628 Lock, W. O. 855 Marcowitz, S. Marcowitz, S. 81 Marcowitz, S. Marcowitz, S. 81 Marcowitz, S. Marcowitz, S. 81 Marcowitz, S. 81 Margrave, J. L. 93 Margrave, J. L. 93 Margrave, J. L. 94 Marcowitz, S. 94 Margrave, J. L. 94 Margrave, J.	Kienle P. 817	Krüger I. 811	Lindner R 710	Mackin, R. L. 790, 870
Kim, C. O. 755 Kimg, A. D. 769 Kimg, A. D. jr. 985 King, G. S. D. 1206 Kingsbury, R. F. 27 Kiraly, J. 1140 Kirchenmayer, A. 721 Kirenski, L. W. 448 Kirstein, P. T. 658 Kisehko, S. M. 988 Kurt V. G. 68 Little, R. E. 143 Malyscheff, W. I. 28 Malzew, W. M. 88 Malzew, W. M. 88 Kisehko, R. 1218 Kitscher, H. 134 Livingston, R. S. 714 Mandel'shtam, S. L. 92 Maning, L. A. 628 Lock, W. O. 855 Marcowitz, S. Marcowitz, S. 81 Marcowitz, S. Marcowitz, S. 81 Marcowitz, S. Marcowitz, S. 81 Marcowitz, S. 81 Margrave, J. L. 93 Margrave, J. L. 93 Margrave, J. L. 94 Marcowitz, S. 94 Margrave, J. L. 94 Margrave, J.	Kikuchi, T 738	Kruglak, H 88, 89	Lindsay, R. B 97, 243	
Kim, C. O. 755 Kimg, A. D. 769 Kimg, A. D. jr. 985 King, G. S. D. 1206 Kingsbury, R. F. 27 Kiraly, J. 1140 Kirchenmayer, A. 721 Kirenski, L. W. 448 Kirstein, P. T. 658 Kisehko, S. M. 988 Kurt V. G. 68 Little, R. E. 143 Malyscheff, W. I. 28 Malzew, W. M. 88 Malzew, W. M. 88 Kisehko, R. 1218 Kitscher, H. 134 Livingston, R. S. 714 Mandel'shtam, S. L. 92 Maning, L. A. 628 Lock, W. O. 855 Marcowitz, S. Marcowitz, S. 81 Marcowitz, S. Marcowitz, S. 81 Marcowitz, S. Marcowitz, S. 81 Marcowitz, S. 81 Margrave, J. L. 93 Margrave, J. L. 93 Margrave, J. L. 94 Marcowitz, S. 94 Margrave, J. L. 94 Margrave, J.	Kikuchi, Y 982	Ku, DY 595	Lintin, D. R 415	McNesby, J. R 99
King, A. D. jr. 985 King, G. S. D. 1206 Kingsbury, R. F. 27 Kiraly, J. 1140 Kirenski, L. W. 448 Kirstein, P. T. 658 Kischko, S. M. 988 Kischko, S. M. 988 Kischko, S. M. 988 Klassen, I. F. 217 Kirel, G. 459 Kielmon, E. 459 Kielmon, H. 1154 Little, R. E. 143 Maltysalo, E. 226 Mahl, H. 110 Mairysalo, E. 226 Mahl, H. 110 Mairysa	Kim, C. O 755	Kubanskii, P. N 384	Lippert, E 342	Macritchie, F 96
King, G. S. D		Kubota H 979	Lipsepph W N	Madelung, O 52
Kirgsbury, R. F. 27 Kulenkampff, 4. 721 Kirenski, L. W. 448 Kirstein, P. T. 658 Kischko, S. M. 988 Kischko, S. M. 988 Klassen, I. F. 217 Kurt. V. G. 68 Kurt. V. G. 68 Little, R. E. 143 Malyscheff, W. I. 28 Kurt. V. G. 68 Little, R. E. 143 Malyscheff, W. I. 28 Kurt. V. G. 68 Little, R. E. 143 Malyscheff, W. I. 28 Kurt. V. G. 68 Little, R. E. 143 Malyscheff, W. I. 28 Kurt. V. G. 68 Little, R. E. 143 Malyscheff, W. I. 28 Kurt. V. G. 68 Little, R. E. 143 Malyscheff, W. I. 28 Kurt. V. G. 693 Livingston, M. S. 15 Managan, W. W. 75 Klein, C. A. 1218 Kusch. P. 693 Livingston, R. S. 714 Mandel'shtam, S. L. 93 Klimontowitsch, J. L. 733 Klimg, G. 387 Klumeh, H. 397 Knaap. E. A. 751 Kleiner, C. A. 751 Kleiner, C. A. 752 Klumb, H. 397 Knaap. L. 484 Klimontowitsch, J. L. 753	King, G. S. D 1206	Kümmel, H 845	1030, 1031, 1032	Mäntysalo E
Kiraly, J. 1140 Kirchenmayer, A. 721 Kirchenmayer, A. 741 Kirchenmayer, A. 721 Kirchenmayer, A. 742 Kirchenmayer, A. 743 Kirchenmayer, A. 743 Kirchenmayer, A. 743 Kirchenmayer, A. 744 Kirchenmayer, A. 745 Kirchenmayer, A. 747 Kirchenmayer, A. 745 Kirchenmayer, A. 747 Kirchenmayer, A. 747 Kirchenmayer, A. 748 Kirchenmayer, A. 879 Kalenday, A. 747 Kirchenmayer, A. 748 Kirchenmayer, A. 879 Kirchenmayer, A. 8	Kingsbury, R. F 27	Kulenkampff,	Lissberger, P. H 292	
Kirstein, P. T. 658 Kinstein, P. T. 668 Kinstein, P. T. 668 Kinstein, P. T. 668 Kino, H. 1154 Little, R. E. 143 Malyscheff, W. I. 25 Kischko, S. M. 988 Klassen, I. F. 217 Klee, G. 459 Kleimon, E. 459 Kleimon, A. 1218 Klemm, A. 1150 Klimontowitsch, J. L. 733 Kling, G. 387 Klumb, H. 397 Knap. H. F. P. 392, 440 Knapp, E. A. 751 Klasher, Frolowa, Laberrigue-Frolowa, Logunov, A. A. 171, 172 Lachenaud, M. 277 Lohmann, W. 678 Margrave, J. C. van der 48 Logunov, A. A. 177 Margrave, J. L. 33 Margrave, J. L. 34 Maluskkin, V. P. 22 Maluskin, V. M. Sa Malusk	Kiraly, J	H 872, 873	List, G 589	Maire, JC 47
Kirstein, P. T. 658 Kischko, S. M. 988 Kirt, V. G. 68 Kirt, V. G. 68 Kirt, V. G. 68 Kirt, V. G. 68 Little, R. E. 143 Kirt, N. 774 Liubimov, V. B. 805 Malzew, W. M. 88 Kirt, V. G. 68 Little, R. E. 143 Kirt, N. 774 Liubimov, V. B. 805 Malzew, W. M. 88 Kirt, V. G. 68 Little, R. E. 143 Malyscheff, W. I. 28 Malzew, W. M. 88 Livingston, M. S. 714 Mandel'shtam, S. L. 93 Kirtlem, A. 1150 Look, W. O. 855 Kirtlem, A. 775 Kirtlem, A. 1150 Manifed, M. 1. 12 M	Kirenski I. W 118	Kummer, J. T 408		
Klee, G. 459 Klee, G. 459 Kleimon, E. 459 Kleimon, E. 459 Kleimon, A. 1150 Klimontowitsch J. L. 733 Kling, G. 387	Kirstein, P. T 658	Kuno, H. 1154		Makushkin, V. P 22
Klassen, I. F. 217 Klee, G. 459 Klusch, P. 693 Livingston, M. S. 15 Managan, W. W. 7.7 Kleimon, E. 459 Kleimon, E. 459 Kleimon, E. 459 Kleimon, E. 1218 Kleimon, A. 1218 Kleimon, A. 1150 Klimontowitsch, J. L. 733 Kling, G. 387 Klumb, H. 397 Knap, E. A. 392, 440 Knapp, E. A. 751 Kusch, C. A. 751 Kusch, C. A. 751 Kusch, C. A. 751 Kusch, P. C. 1248 Lock, W. O. 855 Manning, L. A. (1) Marcelev, R. G. 11 Loensjoe, O. 853 Marcowitz, S. 88 Löwdin, P. O. 925 Marel, L. C. van der 4 Löwe, G. 1200 Logunov, A. A. 171, 172 Margoshes, M. 122 Logunov, A. A. 177 Margrave, J. L. 31 Margon, J. B. 790, 80 Margin, D. 32 Margin, J. D. 33 Lachenaud, M. 277 Lohmann, W. 678 Margrave, J. L. 31 Margrave, J. Margr	Kischko, S. M 988	Kurt, V. G 68		Malyscheff W I 28
Kleimon, E. 459 Kutscher, H. 134 Livingston, M. S. 714 Managan, W. W. 72	Klassen, I. F 217	Kurti, N	Liubimov, V. B 805	Malzew, W. M 88
Kleim, C. A. 1218 Kutschinka, M. J. 988 Lloyd, M. B. 280 Manfredini 76 Klem, A. 1150 Kuzmenko, P. P. 1236 Lock, W. O. 855 Manfredini 77 Klimontowitsch. Kuzmin, Y. N. 628 Lodding, A. 777 Marcowitz, S. 8 J. L. 733 Kuzmetsov, A. Y. 1248 Loensjoe, O. 853 Marcowitz, S. 8 Klimb, H. 397 Knaap. Loeke, G. 1200 Margerum, J. D. 33 Knapp, E. A. 751 Lachenaud, M. 277 Lohmann, W. 678 Margrave, J. L. 3 Margrave, J. L. 30 Margrave, J. L. 3 3 3 3 3 3 3 3 3 3 3 4 4 4 4 4 4 4 4 4 4 4 4 4 4 4 4 4 4 4 4 4 4 4 4 <td>Klee, G 459</td> <td>Kusch, P 693</td> <td>Livingston, M. S 15</td> <td>Managan, W. W 72</td>	Klee, G 459	Kusch, P 693	Livingston, M. S 15	Managan, W. W 72
Klimontowitsch. J. L. 733 Kling, G. 367 Klumb, H. 397 Knap. E. A. 751 Laberrigue-Frolowa Knapp, E. A. 751 Knapp, E. A. 751 Klimontowitsch. J. L. 738 Kuzmin, Y. N. 628 Lodding, A. 777 Marcley, R. G. 11 Lowe, G. 250 Lowe, G. 200 Logunov, A. A. 171, 172 Margrave, J. L. 31 Margrave, J. L. 32 Margrave, J. Margrave, J. L. 32 Margrave, J. Margrave, J. Margrave, J. L. 32 Margrave, J. Margrave, J. Margrave, J. Margrave, J. Margrave, J	771-2- CL A 4040			Mandel'shtam, S. L. 92
Klimontowitsch. Kuzmin. Y. N. 628 Lodding, A. 777 Marcley. R. G. 1 J. L. 738 Kuznetsov, A. Y. 1248 Loensjoe, O. 853 Marcowitz, S. 8 Kling, G. 387 Kyhl, R. L. 484 Löwdin, P. O. 925 Marel, L. C. van der 4 Knap. H. F. P. 392,440 Löwe, G. 1200 Margerum, J. D. 3 Knapp. E. A. 751 Lachenaud, M. 277 Lohmann, W. 678 Margrave, J. L. 3 Knipp. E. A. 781 Lachenaud, M. 277 Lohmann, W. 678 Marjon, J. B. 790,8	Klemm, A	Kuzmenko, P. P 1236	Lock, W. O. 855	Manning I. A
Klumb, H. 387 Klumb, H. 387 Knaap. Laberrigue-Frolowa, J. V. 789 Knapp, E. A. 751 Knapp, E.	Klimontowitsch,	Kuzmin, Y. N 628	Lodding, A 777	Marcley, R. G.
Klumb, H. 387 Klumb, H. 387 Knaap. Laberrigue-Frolowa, J. V. 789 Knapp, E. A. 751 Knapp, E.	J. L 733	Kuznetsov, A. Y 1248	Loensjoe, O 853	Marcowitz, S 85
Kuaap. H. F. P	Klumb H	Kynl, R. L 484	Löwdin, P. O 925	Marel, L. C. van der 48
Knapp, E. A	Knaap.	Laberrique-Frolows	Logunov A 4 171 179	Margerum, J. D 32
Knapp, E. A. 751 Lachenaud, M. 277 Lohmann, W. 678 Marion, J. B. 790, 8	H. F. P 392, 440	J. V 789	Logunow, A. A. 171, 172	Margrave I I
Kinpe, G. F. G	Knapp, E. A 751	Lachenaud, M 277	Lohmann, W 678	Marion, J. B. 790 86
	Kinpe, G. F. G 1224	Ladell, J1005	Longequeue, J. P 684	Markow, P. K 68

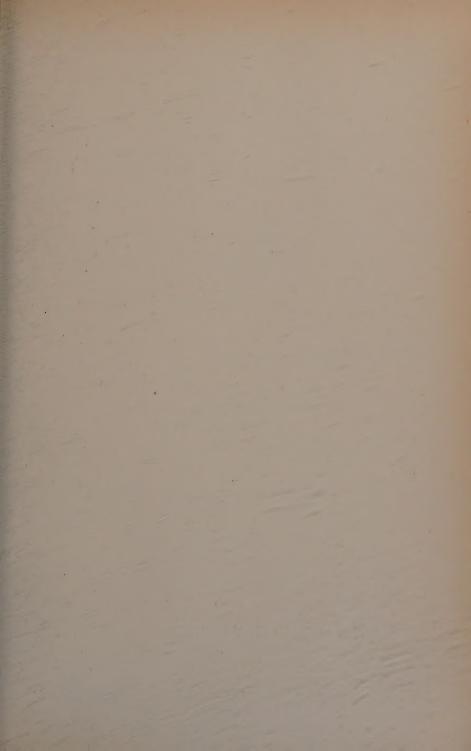
Marks, G. W. 256 Marmier, P. 829 Maron, S. H. 1105 Marsh D. M. 205 Marsh D. M. 205	Montaldi. E 42	Nöldeke, G 770	Parma V C 500
Marmier, P 829	Moody P. L. 147	Nogami, Y 747	Payne, K. G 586 Peacock, R. D 806
Joron S II 1105	Moody, P. L 147	Nogami, Y 747	Peacock, R. D 806
Taion, S. H 1105	Moore, H. R 469	Norman, V 495	Pearson, W. B 612
darsh D. M 205	Moore, W. R 1106 Moore, W. T 280	Norman, V	Peelaerts, G1232
Haishak, R. E 194	Moore, W. T 280	Nossow, W. G. 768	Doison II S 1094
Martin, M 829	Morcillo, J 967	Nottingham W B 1054	Poicl II 1000
Martinette, M 948	Morgan, B. B 1148	Nottingham, W. B. 1054 Noyes, R. M 324	Peisl, H. 1009 Pekermann, F. M. 363 Pelevin, V. S. 418 Penfold, A. S. 791 Perel, W. I. 511 Peretti I 278
Macali N	Morgan, B. B 1148	Noyes, R. M 324	Pekermann, F. M. 363
Masaki, N 1049	Morgan, F. R 1085	Nybo, K 793 Nyholm, R. S. 806, 960	Pelevin, V. S 418
lasloff, W. P 911	Morgan, M. G1194	Nyholm, R. S. 806, 960	Penfold A S. 791
Iason, E. A 378, 437	Mori. K. 182		Paral W I 511
Jason L. I. 647	Morino V 000	Observer C O 50	D
Iasloff, W. P. 911 Iason, E. A. 378, 437 Iason, L. J. 647 Iathews, M. v. 622	Mori, K. 182 Morino, Y. 982 Moriya, T. 476 Morokuma, K. 936 Moroson, H. 1094 Moros, V. 1 68	Obashev, S. O 56	Peretti, J 376 Perez-Mendez, V 751
fathews, M. v 022	Moriya, 1 476	Oberländer, S 557	Perez-Mendez, V 751
Iatsen, F. A 927	Morokuma, K 936	Oberländer, S 557 Obuchow, J. W 745	Perkins, F. M 60
Iatsuda, H 581 Iatthews, P. T 744	Moroson, H1094	Oda, N	Perkins, F. M 60 Perkins, W. H 50 Permingeat, F 1037
Iatthews, P. T 744	Moroz, V. I 68	Odintzoff A J 923	Permingent F 1027
Jatthysse S W 430	Morpurgo, G 826	Oehme, F 608 Ogiewezki, W. I 746	Denne Ti T 1
Iatthysse, S. W 439 Iatzke, H 719	Manufa D. T 620	Ochine, F 608	FEFFY, E. J IUOU
Tatzke, H 719	Morris, R. J 649	Ogiewezki, W. I 746	Peter, O 963
Iauer, F. A. 1024, 1135	Morrish, A. H1238 Morrison, D. R. O. 673	Ugie, K. N 12	Peter, O 963 Petoschina, L. N 363
daximenko, W. M. 681	Morrison, D. R. O. 673	Ohnesorge,	Petrashku, M. G 801
faximenko, W. M. 681 fayer, H 112	Morrow, J. C. III 495	Ohnesorge, W. E 343, 344	Petroff, A. P 298
Iayer, H. M 673	Morton, A. H 712	Ohao D W 575	Petrow, N. I 886
Town Wnolyn To 045	Mantalana T. D. 704	Ohse, R. W 575 Olsen, H 14	Petrow, N. I 886
fayer-Kuckuk, T 815	Moskaleva, L. F 784	Olsen, H 14	Pevsner, A 738
Iayfteld, J. W 287	Moskalew, W. I 760	Olsen, J. L 513	Peyron, M 984
Mayo, S 824	Moskaleva, L. P 784 Moskalew, W. I 760 Mostovskii, A. A 614	Olsen, L. O 37	Peyron, M 984 Peyrou, C 673
Iays, J. M 469	Mrass, H 1213	Oneda, S 743	Pfau, S 591
Iazing, M. A. 022	Mrass, H 1213 Mudholker, V. M 1025	O'Neill W T	Dfondo E 908
fazing, M. A 922 feares, P 1145	Müllengiefer A 1020	O'Neill, W. J 846 Ono, S 431	Pfende, E 208
Todace W A	Müllensiefen, A. 528, 749	Ono, S 431	Pfister, H. 538 Philippoff, W. 216 Phillips, J. G. 333 Pickelner, S. B. 80 Pierce, L. 979
Iedcof, M. A 268	Müller, E. W 1066	Onwumechilli.	Philippoff, W 216
Iedcof, M. A 268	Müller, H 818	C. A	Phillips, J. G 333
fedrud, R. C 1020	Müller, K. A 464	Onvon. P. F 1101	Pickelner S. B. 80
fedveczky, L 677	Müller, R 347	Onechowski W 452	Pierce I. 070
Taggan A 819	Mullon T. C. 199	Opening T 470	Distance T. T. T. 444
Ieessen, A 613	Muller, K. G 132	Oppenheim, I 478	Pietenpol, J. L 114
Iehta, M. L 860	Mullin, J. B 544	Orbach, R 445	Piggott, M. R1227
Ieier, H 564	Mullin, J. B. 544 Mullins, W. W. 429 Murgai, M. P. 233 Murin, A. N. 788	Orbach, R	Pika R P 213
Ieijering, J. L 395	Murgai, M. P 233	Оте. А	Pilkuhn, M 576
Ieissner, H 524	Murin A N 788	Orlows I W 955 956	Pitte I N ir 326
Leigener W W +	Mursin, W. S 758	Ore, A	Pilkuhn, M
Ieissner, K. W. † 9 Iellichamp, J. W 358	Mursin, W. S 758	Orther, J 1185	Piwkowski, I 572
temenamp, J. W 358	Muto, T 884	Ossipenkow, W. T. 886	Piwowaroff, W. M 968
lelmed, A. J1058		Uster, G	
Ielmed, A. J.	Nägele, W 342	Oster, G. K 1094 Ostrander, H 846	Plane, R. A. 323 Plasko, W. B. 911 Platas, O. 927 Plewe, A. 786 Podgoretskii, M. I. 805
Iemmert, G 720	Nagamatsu,	Ostronder H 846	Plasko W B 911
Iendlowitz H 161	77 1111 1110	Ostranuci, II 040	Dlatas O
Iendlowitz, H 161 Ienshikov, M. I 139	K 1111, 1112	Ostroumow, W. I. 682	Platas, U 927
tensnikov, M. I 139	Nagata, C. 399, 936 Nakajima, N. 1105 Nakamura, T. 476, 796 Nakasima, R. 787	Oth, J. F. M 1095 Otwinowski, S. S 789 Ovchinnikov, I. K 901	Plewe, A. A 786
lerkie, K 444	Nakajima, N 1105	Otwinowski, S. S 789	Podgoretskii, M. I 805
[errill, E. W 1093	Nakamura, T. 476, 796	Ovehinnikov T. K. 901	Podlubny, L. I 926
lerritt, L. L 18	Nakasima R 787	0 1013111111111111111111111111111111111	Polluntier, W 1232
leschkowski, A. G. 759	Nakhodkin, N. G. 615	Dodolles W C 910	Polowin, R. W 734
teschikowski, A. G. 759	Makhoukin, N. G. 010	Padalka, W. G 310 Paderno, Y. B 587 Page, D. F 570	Polowin, N. W 104
leshcheriakov, V. A. 757 lestres, R 153	Napjus, P. J 1151	Paderno, Y. B 587	Polyakova, A. L 246
lestres, R 153	Nassiff, S. J 824	Page, D. F 570	Pondrom, L. G. 752, 850
leyer, K. P	Natanson, G. L 583	Paiewonsky, B. H 240	Poole, C. P. jr 467 Poole, M. J 703
ever. K. P 662	Naumann, H1249	Palmer, J. L 660	Poole, M. J 703
leyer, R 350	Nedlin, G. M 611	Palmer, J. L 660 Palmieri, J. N 851	Pope, K. E 227
Parahmaniah wili	Not T 1000	Panasyuk, V. S 715	Pople, J. A 943
ezchwarischwili,	Néel, J 1202		ropie, J. A 949
B. J 839	Nelms, A. T 876	Pandey, A. D 1149	Posik, L. N 092
R. J 839 ichejew, W. L 802 ickiewicz, N. W 193	Nelson, R. C 560	Panikar, W. J 911 Panish, M. B 368	Posik, L. N. 692 Post, B. 1051 Post, D. 203
ickiewicz, N. W 193	Nemetz, O. F 671	Panish, M. B 368	Post, D 203
iddleton.	Nepomuceno, L. X. 269	Pannetier, G 422	Postma, H 148, 775
R. 789 788 849	Nemetz, O. F 671 Nepomuceno, L. X. 269 Neshpor, V. S 587	Paoletti, A 1083	Postma, H 148, 775 Potters, M. L 1016 Poulis, N. J 457, 477
indows A D 140 775	Marranes V 496	Demograp II A 50	Poulis N. T. 457 477
R 782, 783, 843 ledema A. R. 148, 775 lhailovic, M. V.792, 879	Neumann, K 426	Papazian, H. A 58	Daniel T
mallovic, M. V.792, 879	Neuroth, N 1244	Fappas, A. C 797	Pouradier, J 328
ikhul, A. K 801	Newhall, H. F 102	Pappas, A. C 797 Parker, E. N 81, 1162	Powell, C. F 897
iklavzic, U, 706	Newton, R. F 368 Newton, R. G. 170, 844	Parker, J. G 263 Parmenter, R. H 530	Powell, W. M 762
iller, J. S.	Newton, R. G. 170 844	Parmenter, R. H. 530	Prakash, S
94, 115, 116, 229	Ney, E. P 894	Parrish, W1005	Pregl, G 792
94, 119, 110, 229	MOY, E. I	D D 444#	Preobrashenski,
ills, R. L 1080	Niblett, G. B. F , 728	Parsons, R. , 1117	
ilton, J. C. D 799	Nichols, B1163	Pasiuk, A. S 862	В. К 839
inkner, R 700	Nicolet, M1173	Pasquarelli, A 819	Preobřazhenskii,
inkner, R 700 ishuev, A. V 223	Nichols B	Pastor, R. C 1057	Preobřazhenskii, B. K 788
itra, A. P 1174	Nierhaus, R 815	Pate B. D. 800	Preuss. H 4
	Nightingolo E D i- 214	Pate, B. D 800 Patronis, E. T. jr 867	Provot F 719
itui, T	Nightingale, E. R. jr. 214	Datashana I C	Prevot. F
izushima,	Nikitin, A. A 77	Patschewa, I. C 771	Price, P. B 1059
B. V. M. S 948	Nikitin, E. E 412	Patterson, D. A 146	Prigogine, I 430, 431
zushima, S 962	Nine, H. D 101	Patty, R. R 965	Primak, W 203
oe, D. E 104	Nishida, M 73	Patty, R. R 965 Paul, D. A. L 737	Pronyk, V. I. 72
obling E 1074	Nishimura, K 858	Paul. H 713	Prigogine, I 430, 431 Primak, W. 203 Pronyk, V. I. 72 Prosperi, D. 669
phling, F 1076			Pullman, B 399
ohn, H	Nissan, A. H 210	Pauli, R 696	
Dhorcic, G 1102			
	Nittel, J 258	Paulin, A 704	Pupke, H 664, 780
ollerud, R. B 793	Nittel, J	Paulin, A 704 Pavlenko, E. A 671	Pustowoit W. I 194
bhorcie, G 1102 bllerud, R. B 793	Nittel, J	Paulin, A 704 Pavlenko, E. A 671	Pupke, H 664, 780 Pustowoit W. I 194

Quagliano, J. V 948	Russakow, W. A 886	Schtscherbakowa,	Skinner, G. B 22
Quené, W. C 1052	Russakow, W. A 886 Russell, T. W. F 220	M. N 681	Skinner, N. J 118
Quinio, R. le 718	Rutgers, A. J 736	Schubert, E. D 244	Skoheliew N K 80
Quinio, 10.10 1.1111 110	Rutgers, J. G 326	Schubert, R 248	Skogen, N112:
Rabinovich, I.S 139	Rutscher, A 591	Schubert, E. D 244 Schubert, R 248 Schuelke, W. W 1209	Skogen, N
Rademacher,1200	Rzewuski, J 166	Schulz, F	Slater J. C 93-
Paether 8 550	Tene ii dinazi, or veci i v	Schur, J. S 1241	Slater, R. C. L. M. 1040 Slater, W. E 740
Raether, S 550 Raeuchle, R. F. 1233 Rahman, S. M. K. 1130	Sacharjewski,	Schurz, J 1113	Slater, W. E 740
Palman S M W 1120	A N 1087	Schwahn, D. H 92	Slatew. I. S 88:
Rajagopal, E. S 1152	A. N 1087 Sacharow, A. D 730	Schweitzer, J 131	Slatew, I. S 88: Slivkov, I. N 590
Ramsey, N. F 851	Sachartschenja,	Schwinger J. 163	Smallman, R. E. 107- Smart, J. S 44
Ramsey, N. F 651	В. Р 357	Schwinger, J 163 Schwirzke, F 904	Smart. J. S 44
Rand, G	Sackmann, H 390	Sciuti, S 669	Smirous, K 610
Dag W N 1174	Sänger-Bredt, I 235	Scoles, G 406	O:41 A OB
Dachiwin D S 956	Saito. O.	Scott, R 219	Smith. A. E 409
Rasbirin, B. S 356	1096, 1097, 1098, 1099	Sorihnor R F 1996	Smith A G
Ratti, S 856 Rautian, S. G. 282, 284 Ray, A. K 233	Saito, S 247	Scurlock, R. G 773 Seaborg, G. T 727 Searcy, A. W 1027	Smith E. R 24
Day A V 999	Sall A O 207	Sanhara G T 727	Smitth, A. E. 40: Smitth, A. G. 5: Smitth, E. R. 24: Smitth, L. E. 31, 3: Smitth, W. G. 81: Smitth, W. I. B. 71: Smorgonskaja, W. J. 63:
Dashan I D	Sall, A. O. 297 Salwen, H. 952 Samoilow, I. M. 708	Source A W 1027	Smith W G 81.
Rechen, J. B 683 Redheffer, R. M 600	Samellow I M 708	Searles, S 326	Smith W I R 71
Redfielder, R. M 600	Samollow I W 957		Smorgonskaja W J 69
Redlich, O 396 Rees, M. H. 1158, 1159	Samoilow, L. N 857	Sebe, T	Sneddon, J. G113
Rees, M. H. 1158, 1159	Samsonov, G. V 587		Sheddon, J. G
Rehfuß, D. E 816	Sannikov, F. G 185	Seibold-Blankenstein	Snowdon S C ' 96
Reich, HJ 902	Saraogi, J 1044	I	Showdon, S. C 60
Reid, G. C. 1158, 1160	Sarma, J. M. D 983 Sasaki, Y 939	Seidel, H1070	Snell, A. H. 2 Snowdon, S. C. 86 Snyder, C. W. 118 Snyder, D. D. 10
Reining, J. V 722	Sasaki, 1 939	Seidel, H.	Scholmen
Reid, G. C. 1158, 1160 Reihing, J. V. 722 Reinhold, G. 700 Reiss, H. 391	Sato, S	Seidi, K 619	Sobelman, I. I 920, 921, 92 Sodha, M. S 58
Reiss, H 391	Sato, T	Seiler, H 903	1. 1 920, 921, 92
Reissig, R 201	Satyanarayana, R1178	Seitz, J 700	Sodna, M. S
Reitmayer, F 1245	Sauerwein, K 1222	Senior, T. B. A 627	Sohma, J110
Remeika, J. P 494 Renard, M 523	Saur, E 98	Senne, J. H 67 Servranckx, R 133	Sokolov, M. V. 67 Sola, A. 72 Solomon, I. 46
Renard, M 523	Savitsky, G. B 110	Servranckx, R 133	Sola, A 72
Renau, J	Savitsky, G. B 110 Sawin, F. D	Sessier, A. M 1080	Solomon, I 46
Rense, W. A1159	Sawtschenko, M. K. 448	Setti, R. L 740 Seville, A. T. K 205	Solovyov, L. D 17
Résibois, P 430 Reynolds, J. M 519	Sawwinych, S.K 373	Seville, A. T. K 205	Solowjow, L. D 17
Reynolds, J. M 519	Saxena, S. C 378, 437	Shafroth, S. M 807	Solymar, L 63
Ricei,	Schäfer, K 1053	Shain, I 577	Solymosi, F 40
R. A 831, 832, 833	Schafranowa, N. G. 680	Shapiro, I 969	Sonder, E 54
Ridley, E. C 910	Schalamow, J. J 759	Sharma, K. P 633	Sone, K 49
R. A 831, 832, 833 Ridley, E. C 910 Riedel, G 675	Schäfer, K 1053 Schafranowa, N. G. 680 Schalamow, J. J 759 Schapiro, I. S 840	Sharma, K. P 633 Shdanow, A. P 741 Shdanow, G. B 680 Shdanow, G. W 681	Solymosi, F. 40 Sonder, E. 54 Sone, K. 49 Sowinski, A. 4 Spalding, D. B. 41
Right, N 348	Schay, G	Shdanow, G. B 680	Spalding, D. B 41
Rieser, L. M. jr 106	Schebanow, W. A. 759	Shdanow, G. W 681	Spalthoff, W 46 Spear, R. H 86
Rietveld, A. O. 218, 779	Scheer, M 872, 888	Shelton, H 504 Shestopalov, V. P 601 Shewakin, S. A 1182	Spear, R. H 86
Ripamonti, A1045	Scheglov, P. V 68	Shestopalov, V. P 601	Specker, H 30
Ritchie, R. H 187	BUILDIOL I 10	Shewakin, S. A 1182	Speich, G. R122
Ritschl, R 4	Schestonalowa S A 822	Shields, J 569	Speroni, G 97
Roach, F. E	Schindler, H 559 Schirkow, D. W 177 Schirmer, W 250	Shields, J 569 Shimanouchi, T 962	Speich, G. R. . 122 Speroni, G. . 97 Spinner, E. . 120
Robertson, D. S 1240	Schirkow, D. W 177	Shingu, H 941	Spreadborough.
Robertson, W. W 985	Schirmer, W 250	Shiono, R 18	J 1014, 108
Robinson, B. J 652	Schischatzkaja,	Shklovsky, I. S 68 Shockley, W. B 566	Spuhler, H. A 64 Squires, E. J 76
Roeh, P	L. P 321	Shockley, W. B: 566	Squires, E. J 76
Römer, H 340	Schkljarewski, J. N. 310 Schkljarewski, J. N. 286		Ssiwkoff, A. A 29
Roemgens, M. J. H. 1016	Schkljarewski, J. N. 286	Shukeilo, I. A 338	Ssokoloff, N. D 91
Römgens, M.J.H 1016	Schläfer, R 291	Shuler, W. E 489	Ssuchorukich, W. S. 30
	Schlosser, EG1116	Shulman, R. G 469	Ssiwkoff, A. A. 29 Ssokoloff, N. D. 91 Ssuchorukich, W. S. 30 Stacey, F. D. 116 Staiger, U. 34
Rogers, L. B. 343, 344		Shurawljow, N. N. 522	Staiger, U 34
Roman, P 501	Н 1119, 1120	Shukeilo, I. A	Stam, B101
Romanenko, E. V. 262	Schmid, G. 401, 403, 404	Siebert, H 957	Stam C II 100
Romanovskii, V. A. 615	Schmid, O 199	Siebring, B. R 92	Starr, F. C 10
Romanow, W. A 839	Schmid, P 662	Siegman, A. E 649	Start, P. L 14
Rogers, L. B. 343, 344 Roman, P 501 Romanenko, E. V. 262 Romanovskii, V. A. 615 Romanow, W. A 839 Romanowski, J. A. 848 Romne R. 4 1200	H 1119, 1120 Schmid, G. 401, 403, 404 Schmid, O 199 Schmid, P 662 Schmidlin, P 71	Sigli, P. 1137 Sim, A. C. 546 Sim, G. A. 1002	Starr, F. C
Rompe, R 4, 1200	Schmidt, P 234	Sim, A. C 546	Stavroudis, O. N 31
Rompe, R 4, 1200 Rosemeyer, M. A. 1208 Rosenblatt, J 686	Schmidt, P	Sim, G. A 1002	Steenland, M. J. 148, 77
Rosenblatt, J 686	Schmidt-Rohr, U 815	Simon, A. C 156	Stein, S 4
Rosenblum, S 812 Rosenbruch, KJ. 273	Schmitt, H. W 790	Simon, J 275	Steinbach, S 121
Rosenbruch, KJ. 273	Schmitt, K. H 1155	Singer, J. R 1142	Stelson, P. H 81
Rosenfeld, A. M 336	Schmitter, K. H 710	Singer, L. S 471	Stepanowa, A. A 52
Rosenhauer, K 273	Schmitt, H. W. 790 Schmitt, K. H. 1155 Schmitter, K. H. 710 Schneider, K. 199 Schneider, K. 199 Schneider, M. 199	Singer, L. S 471 Singer, O 1200	Stephan, K
Roshchina, G. P 257	Dennerder, M 030	Singer, S. F 49	Stephan, K
Ross, V 1026	Schoch, A	Singh, H 264	Stendel A. 77
Rossetti, P 598		Singh, H	Stevens D K
Roth, L1120	Schopper, H 818	Sinke, G. C	Steudel, A. 77 Stevens, D. K. 54 Stevenson, A. F. 108
Rother, H 592	Schopper, H 818 Schossberger, F 1144	Sinton, W. M 48	Stevenson, D. P 40
Ruby, L 683	SCHOUL E 6	Sirdeshmukh D. B. 1095	Stewart C F 119
Ruby, L 683 Ruff, D. O 571	Schröder, H 280	Sirdeshmukh, D. B. 1025 Sisefsky J. 1217	Stewart, C. E 118
Rulfs, C. L 574	Schröder, H 289 Schröder, M. C 892	Sizmann R 348 1067	Stewart, J. E 97
Rulfs, C. L 574 Runciman, W. A 912	Schroeder, M. R. 249	Siusin N. I. 520, 1007	Stewart, R. M 62
Ruppel, W 530	Schtolz, E. W1241	Sisefsky, J	Stewart, R. M. jr 6 Stockmayer, W. H. 109
			Toolainayor, W. II. 108

tooksberry, R. W. 865	Tomizuka, C. T 144	Vorobyev, Y. V 337	Wilman, H 1227
torey, W. H. jr 991	Tompkins, R. D 631	Vos, A	Wilson, C. O. jr 969
tourac, L 610	Tordesillas, I. M 578	Voss, W 342	Wilson, D. J 398
trandberg,	Tozer, B. A 549	Voss, W. D. von 617 Vrkljan, V. S 255	Wilson, E. B. jr 980
M. W. P 484 traub, W. D 1218	Trageser, D. A 691 Trembley, J 673	Vroomen, A. R. de 512	Wilson, J. N 509 Wilson, R 851
trauch, H 204	Tretjakowa, M. I.	Vysotsky, G. L 881	Winckler, J. R 984
trauch, H 204 trelzow, W. N 680 trunin, B. M 206	680, 681	, , , , , , , , , , , , , , , , , , , ,	Windle, J. J 492
trunin, B. M 206	Trischka, J 952	Waeser, B1090	Winsel, A 576
trutinski, W. M 803	Trofimenko,	Wagner, C 562	Winstel, G 527
trzalkowski, A 852 tull, D. R 374	Troighii W 9 1100	Wahl, F	Wisseroth, K. 1088, 1089
tull, D. R 374 ubudhi, K. S 701	A. P 561 Troizkij, W. S 1182 Trotter, J 1008, 1042,	Wahr, J. C 375 Waidelich, W. 552, 1009	Witkiewitsch, W. W
uchan, H. L 1064	1042	Wainschtein, L. A. 655	Wittig, F. E 1228
uffczynski, M 311	Troup, G. J 650 Truby, F. K 991 Tsai, C 679	920 921	Wlassow, K. B 499
ugano, R 181	Truby, F. K 991	Wainwright, T. E. 427 Walen, R. J. 813 Walker, R. E. 436	Wlassow, W. W 1221
ummerfield, M 239	Tsai, C 679	Walen, R. J 813	Wölfel, E1017
undahl, E 846	Tschaika, M. P 771 Tschetkin, W. M 604	Walker, R. E 436 Wallace, W. E 563	Woessner, D. E 468 Wolcott, N. M 372
undkvist, G 1225 ung. S. S 399	Tschilaschwili, G. A. 891	Walter, A. K 830	Wolf F 1130
ung, S. S 399 unyar, A. W 809	Tsekhmistrenko,	Walther, J. B 1212	Wolf, F
uvorov, S 1	Y. V 861	Wanmaker, W. O 351 Ward, I. M 491	Wolf, R
uvorov, S	Tsepkov, L. P 1247	Ward, I. M 491	Wolfe, E. N 274
wann, W. F. G 190	Tsujiuchi, J 279 Tsvetkov, V. P 1084 Tsytko, S. P 830	Warke, C. S 860	Wolff, G. A 358, 1118
wart, J. J. de 794 ymons, M. C. R 470	Tsvetkov, V. P1084	Warner, R. E 849	Wolinki E A 791
ytschew, J. D 503	Tulub, T. P 1082	Warner, R. E 849 Warren, B. E 1013 Wartanjan, A. T 986	Wolkenschtein, N. W.
zabo, Z. G 400	Turunen, L 1115	Warwicker, J. O 1009	1235
2000, 2000, 000	Turunen, L	Warwicker, J. O 1009 Waschakidse, I. S 891	Wollan, E. O 458
ladic, D 823	Tutschkewitsch,	Washer, F. E 276	Wolter, H 432
aguchi, I1049	W. W 839	Wassilenko, S. S 820	Wolter, W 899
akamatsu, K 796	Tuvdendorzh, D 805	Watanabe, S 174 Watanabe T 1049	Woodhead D W
lakemoto, T 1111 lamaki, K 1128	Tverdovskii, I. P	Waterman P C 435	Wollan, E. O. 458 Wolter, H. 432 Wolter, W. 899 Wood, D. E. 869 Woodhead, D. W. 232 Wooding, E. R. 415 Woods, S. B. 383 Woolner, J. W. 605 Worsley, B. H. 1015
amamushi, B 1128	19105, 0	Waterman, P. C 435 Watson, K. M 767	Woods, S. B 383
amm, I. J 730	Ubbink, J 652	Watt, L. A. K 1238	Woolner, J. W 605
lang, C. C. H 653	Uemura, S 270 Underwood, F. A. 1007	Wauschkun, G 664	
ang, Y. C 739	Underwood, F. A. 1007	Weatherford, R. L. 666	Wright D A. 1050
angen, R 853 aniguchi, S 455	Uretsky, J. L 744 Utschewatkin, I. F. 822	Weaver, C	Wright, R. W1186
anner, E. M 972	Utschewatkin, I. F. 822	Weblen W 184	Wright, R. W
anner, R. L 108	Vagner, S. D 596	Weil, J. A 465	Wulfman, C. E 931
annert. S 135	Vagner, S. D 596 Vainshtein, L. A 922	Wehlau, W 184 Weil, J. A 465 Weinberg, F. J 586	
lannert, S	Vakselj, M 878 Valadares, M 837	Weingeroff, M. L 298	Yamaguchi, A 962
aylor, C. A1007	Valadares, M 837	Weir, D. G 222	Yamamoto, M 455
aylor, J. 1005 ayman, W. P. 276 eare, P. W. 1046 elegdi, V. L. 754	Valk, H. S 877	Weisbrod, S1177	Yamamura, K 299 Yamanouchi, T 742
ayman, W. P 270	Vallauri, M. E 406 Vanchikova, N. I 596	Weiss, R. J	Yamazaki, M 182
elegdi V I. 754	Vandakurov, V. V. 731	Weizer, V. G 507 Weklenko, B. A 918 Wells, H. W	Varwood, J 137
ellez-Plasencia, H. 329	Vandakurov, Y. V. 731 Varekamp, F. H.	Weklenko, B. A 918	Yasumi, S 796
empleton, I. M 612	392, 393	Wells, H. W1181	Yata, M 796 Yessipov, M 68
ennent, R. W 661 entjukowa, G. N 179	Vaughan, P. A1001 Veenendaal, A. L1016	Wendt, R. P 369	Yessipov, M 68 Yonezawa, T 399, 936
entjukowa, G. N. 179	Veenendaal, A. L1016	Wentorf, R. H. jr1063	Vork C M 755
ernowski, F. F 847 esarik, K 150	Vekshinsky, S. A. 139 Velds, C. A. 779 Vene, N. 1102	Wenzl H 1067	York, C. M
evssié. P 966	Vene. N	Wenzl, H1067 Wergeland, H 14	Young, R. W 242
hiele, E 398	Venema, A 141	Werschinin, O. E 313	Yukhvidin, Y. A 128
hiele, K 127	Venzke, G 266	Wesemeyer, H 485 Wesselago, W. G 976	
eyssié, P. 966 hiele, E. 398 hiele, K. 127 homas, G. 1229	Verde, M 160	Wesselago, W. G 976	Zachariasen, W. H. 1018
nomas 8 250	Veret, C1199	Westernberg, A. A. 436 Westmacott, K. H. 1074	Zähringer, J 71 Zatzkis, H 191
hompson, H. W 958	Verstelle, J. C 480 Vetter, K. J 402	Whale, H. A 632	Zehender, O 889
homson, R. A. M. 377 horp, J. M 1131	Vicentini, M 1083	Wheatley, J. C. 475, 776	Zeitler, E 872
hosar, B. V 838	Vida, I 157	Whelan, M. J 39	Zeltmann, A. H 411
houless D. J 169	Vida, I	White, G. K 383	Zemann, J 1035
hosar, B. V 838 houless D. J 169 hring, M. W. 145, 367	Vincent, D. H 665 Vincent-Geisse, J 309	Wiesner, L 690	Zerbst, M 527
iggelen, A. van 424	Vincent-Geisse, J 309	William S 460 461	Zimm, B. H 1201 Zimmerman, D 144
iggelen, A. van 424 imofeev, A. D 698 itov, N. E 788	Vine, J 335	Wilcock, W. L 292 Wilking, S 460, 461 Wilkins, R. L 371 Wilkinson, M. K 458	Zinchenko, N. S 901
itov, N. E 788 katschuk, A. M 354	Vinz, O 290 Viswanathan, K. S. 928	Wilkinson, M. K 458	Zinnes, I. I 159
obin, R. A 890	Voge, H. H 409	Willard, J. E 325	Zinnes, I. I
obolsky, A. V 937	Voigt, W 124	Willard, J. E 325 Willardson R. K 542	Zorn, J. C 656 Zukernik, W. M 450
obolsky, A. V 937 oeroek, T 301	Voisin, J 909	Williams, D. E. 18, 1019	Zukernik, W. M 450
on, S. J. au 711	Volkov, V. V 862 Vollerner, N. F 261	Williams, P. P1004 Williams, R. L 959 Willinski, M. I 236	Zupancie, C 706
olstoi. N. A 354, 355	Vollerner, N. F 261	Willingly M I 228	Zussman, J 1036 Zwicker, E 1211
omiie, Y 1003	Vorob'eva, O. B 614	Wilmiski, M. 1 250	2WIGHOI, 12
Section of the second			

Redaktion und verantwortlich für den Inhalt: Professor Dr. Hermann Ebert. Anschrift der Redaktibraunschweig, Bundesaliee 100, Fernsprecher: Braunschweig 20521 und Professor Dr. Michael Schön, un Mitarbeit von Dr. G. Beggerow. Anschrift der Redaktion: Augsburg, Obere Lechdammstr. 65. Verl Akademie-Verlag GmbH, Berlin W 1, Leipziger Straße 3-4 / Fernruf: 200441, Postscheckkonto: 350 Bestellnummer dieses Heftes 1008/39/7. Bezugspreis: Jahresabonnement einschließlich Register 118,— I die einseitige Ausgabe einschließlich Register 142,— DM. Die Physikalischen Berichte erscheinen monatil Abbestellungen können nur bis vier Wochen vor Quartalsende anerkannt werden, andernfalls wird folgende Quartal noch geliefert. Nachdruck, fotografische Vervielfältigung, Mikrofilme, Mikrofotoganzen Heften, einzelnen Referaten oder Tellen daraus sind ohne ausdrückliche Genehmigung des Verlanicht gestattet.

Satz und Druck: Druckhaus "Maxim Gorki", Altenburg Veröffentlicht unter der Lizenznummer 202/100/548/60 Printed in Germany



REGISTER

zu den

PHYSIKALISCHEN BERICHTEN

erleichtern Ihnen das Nachschlagen!

Bis Band 37 (1958) liegen nunmehr auch alle Registerhefte vollständig vor.

Der Preis beträgt 34,- DM je Heft.

Sie enthalten:

Liste der Mitarbeiter Verzeichnis der referierten Zeitschriften Stoffgliederung Alphabetisches Namenregister Systematisches Register

zum laufenden Jahrgang.

Alle seit 1950 erschienenen Text-Hefte sind ebenfalls noch lieferbar

Bitte überprüfen Sie Ihre Sammlung!

Bestellungen erbeten

AKADEMIE-VERLAG · BERLIN